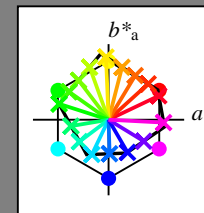


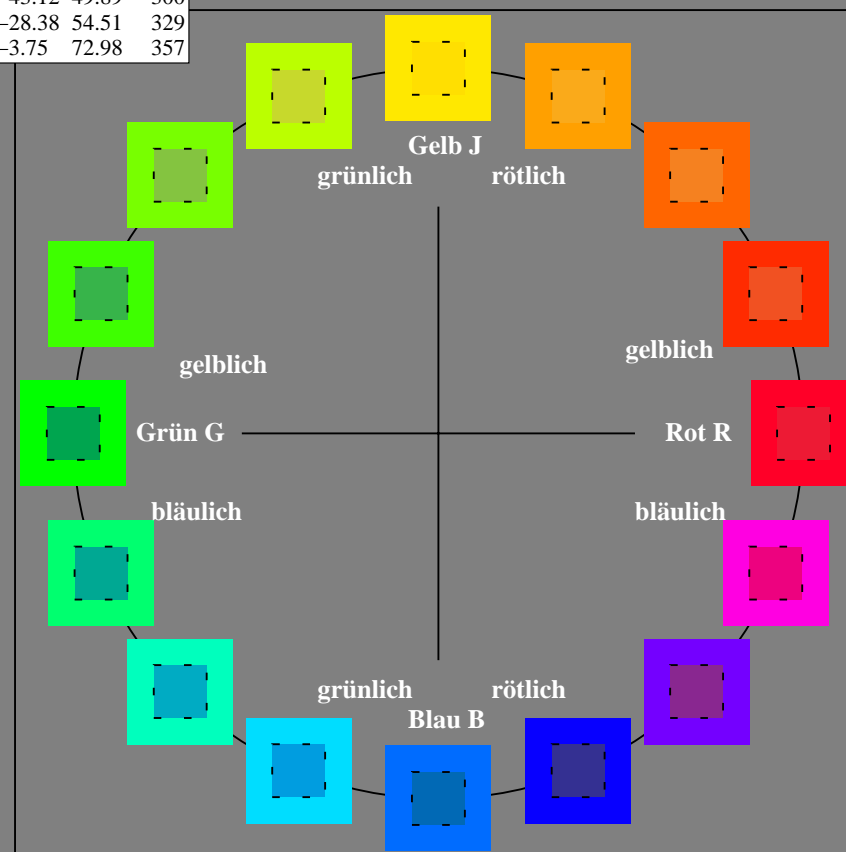
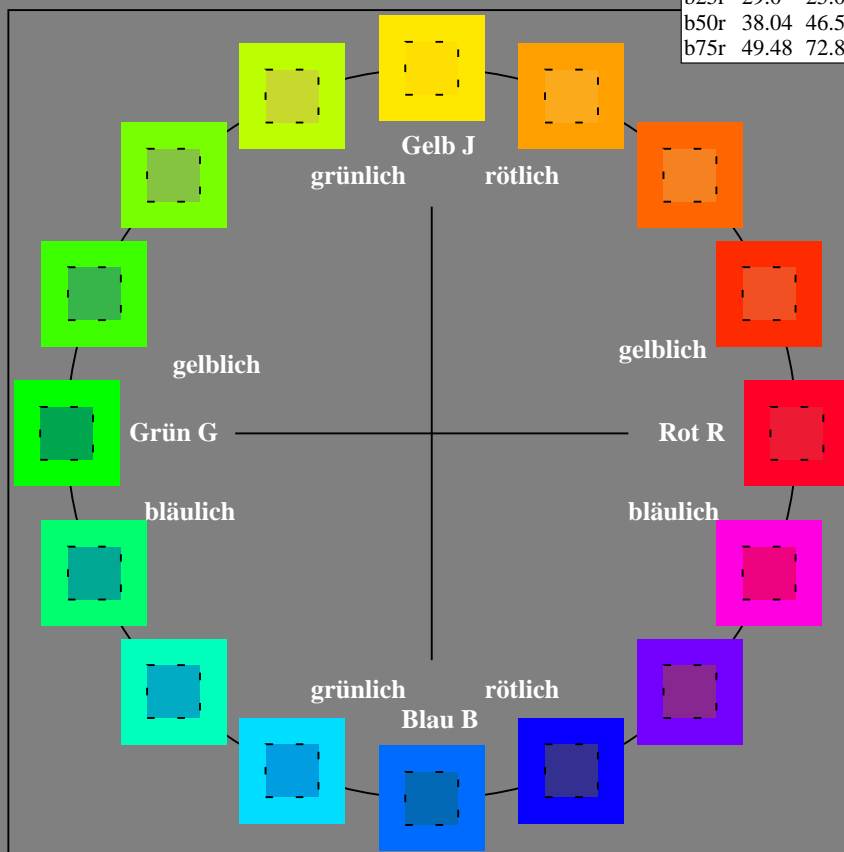
Ein und Ausgabe:
Farbmetrisches Drucker-Reflektiv-System ORS19_96a
Daten für jede Farbe:
 $lab^{*}ch^{*}$ und $lab^{*}icu^{*}$
Elementar-Bunttontext:
 $u^{*} = 16$ Bunttöne $r00j$, $r25j$, ..., $b75r$
Kontrastreduzierungsfaktor:
 $c_R = 1.0$

ORS19_96a; adaptierte CIELAB-Daten					
	$L^{*}=L^{*}_a$	a^{*}_a	b^{*}_a	$C^{*}_{ab,a}$	$h^{*}_{ab,a}$
r00j	48.88	66.47	31.67	73.63	25
r25j	55.85	52.39	47.48	70.7	42
r50j	65.45	35.22	58.37	68.17	59
r75j	75.19	17.82	69.41	71.66	76
j00g	87.03	-3.34	82.83	82.9	92
j25g	80.72	-25.0	69.5	73.86	110
j50g	70.64	-39.53	51.97	65.3	127
j75g	61.93	-52.09	36.83	63.8	145
g00b	52.8	-65.27	20.93	68.56	162
g25b	55.7	-49.57	-8.38	50.28	190
g50b	57.82	-38.39	-28.91	48.07	217
g75b	55.5	-22.04	-45.94	50.97	244
b00r	41.6	1.37	-45.0	45.03	272
b25r	29.0	25.08	-43.12	49.89	300
b50r	38.04	46.53	-28.38	54.51	329
b75r	49.48	72.88	-3.75	72.98	357



%Umfang
 $u^{*}_{rel} = 89$
%Regularität
 $g^{*}_{H,rel} = 72$
 $g^{*}_{C,rel} = 57$

ORS19_96a; adaptierte CIELAB-Daten					
	$L^{*}=L^{*}_a$	a^{*}_a	b^{*}_a	$C^{*}_{ab,a}$	$h^{*}_{ab,a}$
O _{Ma}	48.75	65.07	39.43	76.08	31
Y _{Ma}	90.92	-10.28	87.24	87.85	97
L _{Ma}	52.69	-65.43	20.75	68.65	162
C _{Ma}	59.61	-28.97	-46.21	54.56	238
V _{Ma}	28.39	23.63	-44.12	50.06	298
M _{Ma}	49.58	73.93	-9.55	74.55	353
N _{Ma}	18.89	0.0	0.0	0.0	0
W _{Ma}	96.9	0.0	0.0	0.0	0
R _{CIE}	39.92	58.74	27.99	65.07	25
J _{CIE}	81.26	-2.88	71.56	71.62	92
G _{CIE}	52.23	-42.41	13.6	44.55	162
B _{CIE}	30.57	1.41	-46.46	46.49	272



Ein und Ausgabe: Farbmetrisches Drucker-Reflektiv-System ORS19_96a für relativen CIELAB-Buntton $h^* = lab^*h^* = h_{ab}/360 = 25/360 = 0.071$ $u^* = r00j$

Daten für jede Farbe:

lab^*ch^* und lab^*icu^*

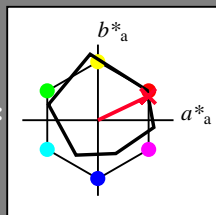
Elementar-Bunttontext:

$u^* = r00j$

Kontrastreduzierungsfaktor:

$c_R = 1.0$

Dreiecks-Helligkeit t^*



ORS19_96a; adaptierte CIELAB-Daten

	$L^*=L_a^*$	a_a^*	b_a^*	$C_{ab,a}^*$	$h_{ab,a}^*$
O _{Ma}	48.75	65.07	39.43	76.08	31
Y _{Ma}	90.92	-10.28	87.24	87.85	97
L _{Ma}	52.69	-65.43	20.75	68.65	162
C _{Ma}	59.61	-28.97	-46.21	54.56	238
V _{Ma}	28.39	23.63	-44.12	50.06	298
M _{Ma}	49.58	73.93	-9.55	74.55	353
N _{Ma}	18.89	0.0	0.0	0.0	0
W _{Ma}	96.9	0.0	0.0	0.0	0
R _{CIE}	39.92	58.74	27.99	65.07	25
J _{CIE}	81.26	-2.88	71.56	71.62	92
G _{CIE}	52.23	-42.41	13.6	44.55	162
B _{CIE}	30.57	1.41	-46.46	46.49	272

Daten für Maximalfarbe (Ma):

LAB^*LAB^*Ma : 49 66 32

LAB^*LCH^*Ma : 49 74 25

lab^*rgb^*Ma : 1.0 0.0 0.0

lab^*olv^*Ma : 1.0 0.0 0.16

Dreiecks-Helligkeit t^*

%Umfang

$u^*_{rel} = 89$

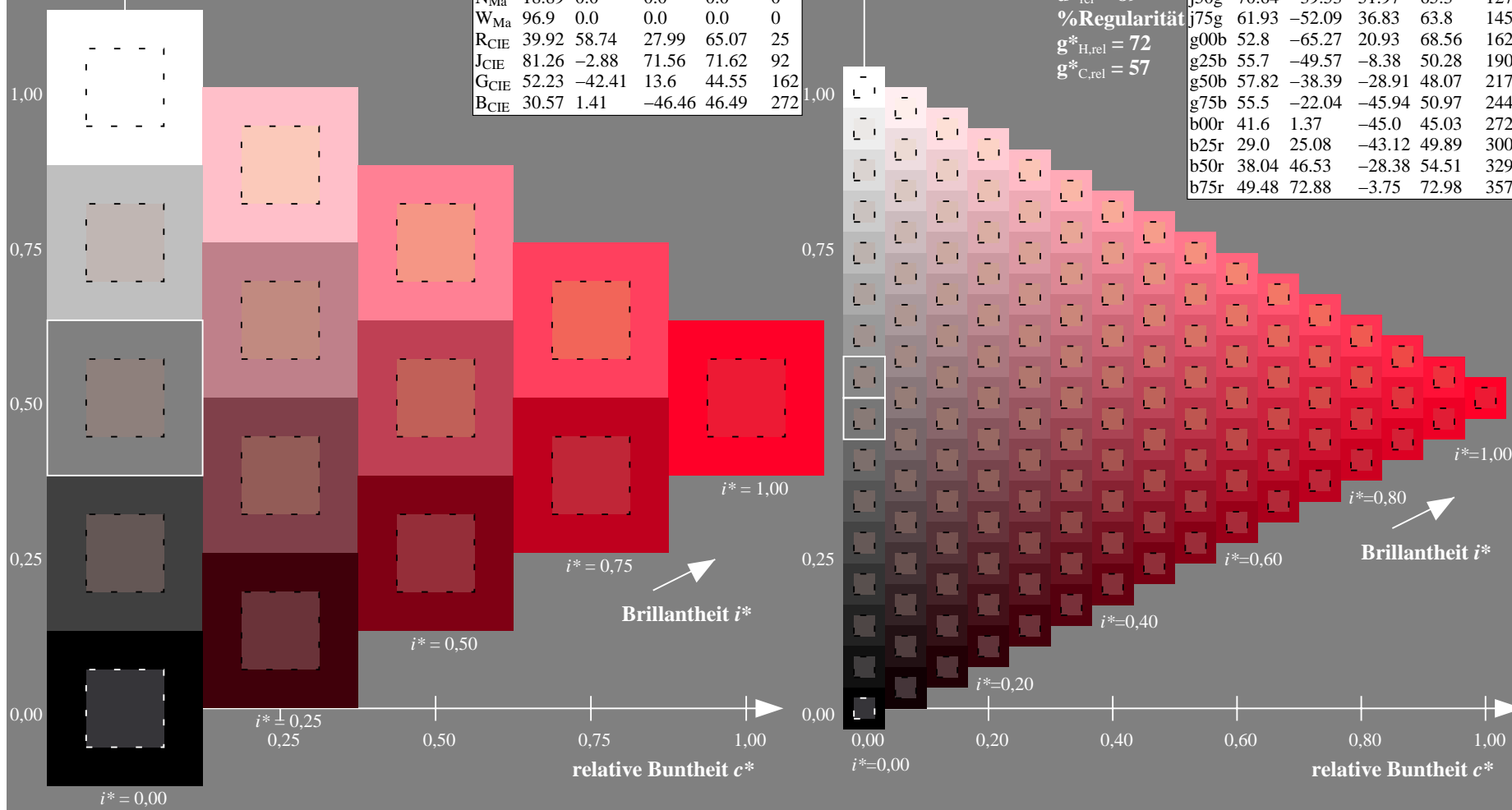
%Regularität

$g^*_{H,rel} = 72$

$g^*_{C,rel} = 57$

ORS19_96a; adaptierte CIELAB-Daten

	$L^*=L_a^*$	a_a^*	b_a^*	$C_{ab,a}^*$	$h_{ab,a}^*$
r00j	48.88	66.47	31.67	73.63	25
r25j	55.85	52.39	47.48	70.7	42
r50j	65.45	35.22	58.37	68.17	59
r75j	75.19	17.82	69.41	71.66	76
j00g	87.03	-3.34	82.83	82.9	92
j25g	80.72	-25.0	69.5	73.86	110
j50g	70.64	-39.53	51.97	65.3	127
j75g	61.93	-52.09	36.83	63.8	145
g00b	52.8	-65.27	20.93	68.56	162
g25b	55.7	-49.57	-8.38	50.28	190
g50b	57.82	-38.39	-28.91	48.07	217
g75b	55.5	-22.04	-45.94	50.97	244
b00r	41.6	1.37	-45.0	45.03	272
b25r	29.0	25.08	-43.12	49.89	300
b50r	38.04	46.53	-28.38	54.51	329
b75r	49.48	72.88	-3.75	72.98	357



Ein und Ausgabe: Farbmetrisches Drucker-Reflektiv-System ORS19_96a für relativen CIELAB-Buntton $h^* = lab^*h^* = h_{ab}/360 = 42/360 = 0.117$ $u^* = r25j$

Daten für jede Farbe:

lab^*ch^* und lab^*icu^*

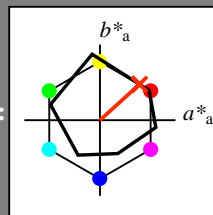
Elementar-Bunttoncontext:

$u^* = r25j$

Kontrastreduzierungsfaktor:

$c_R = 1.0$

Dreiecks-Helligkeit t^*



ORS19_96a; adaptierte CIELAB-Daten

	$L^*=L^*_a$	a^*_a	b^*_a	$C^*_{ab,a}$	$h^*_{ab,a}$
O _{Ma}	48.75	65.07	39.43	76.08	31
Y _{Ma}	90.92	-10.28	87.24	87.85	97
L _{Ma}	52.69	-65.43	20.75	68.65	162
C _{Ma}	59.61	-28.97	-46.21	54.56	238
V _{Ma}	28.39	23.63	-44.12	50.06	298
M _{Ma}	49.58	73.93	-9.55	74.55	353
N _{Ma}	18.89	0.0	0.0	0.0	0
W _{Ma}	96.9	0.0	0.0	0.0	0
R _{CIE}	39.92	58.74	27.99	65.07	25
J _{CIE}	81.26	-2.88	71.56	71.62	92
G _{CIE}	52.23	-42.41	13.6	44.55	162
B _{CIE}	30.57	1.41	-46.46	46.49	272

Daten für Maximalfarbe (Ma):

$LAB^*LAB^*_{Ma}$: 56 52 47

$LAB^*LCH^*_{Ma}$: 56 71 42

$lab^*rgb^*_{Ma}$: 1.0 0.25 0.0

$lab^*olv^*_{Ma}$: 1.0 0.17 0.0

Dreiecks-Helligkeit t^*

%Umfang

$u^*_{rel} = 89$

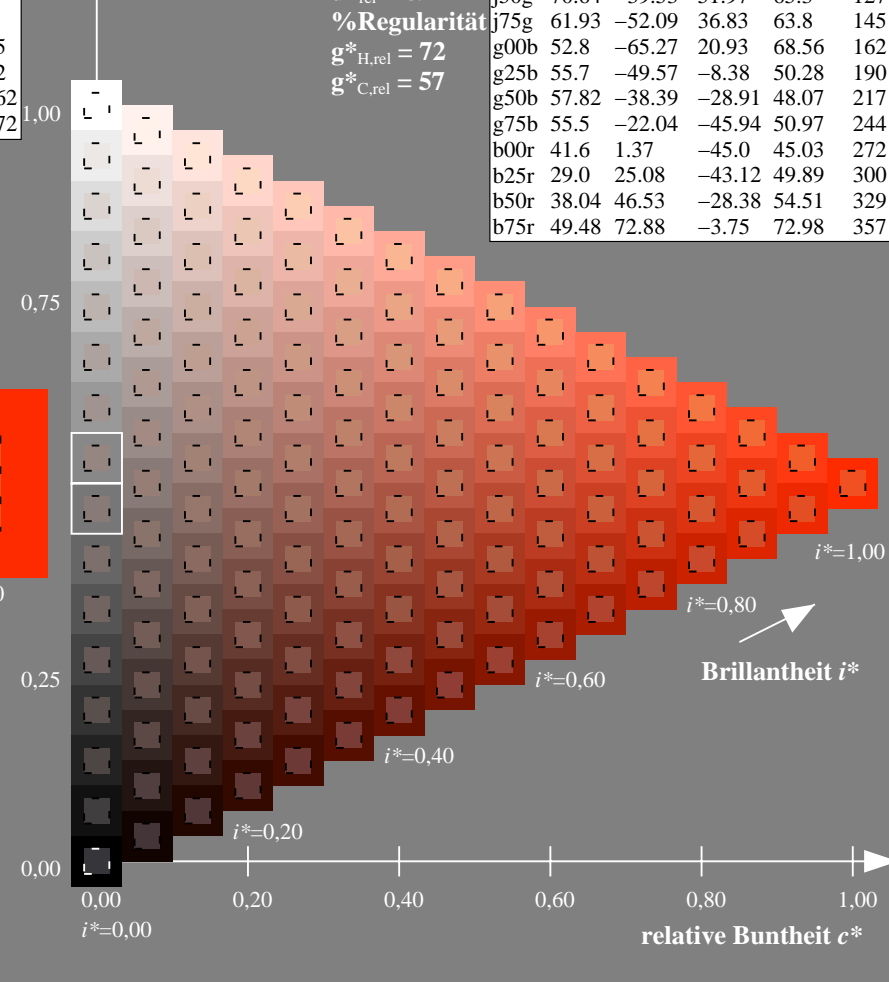
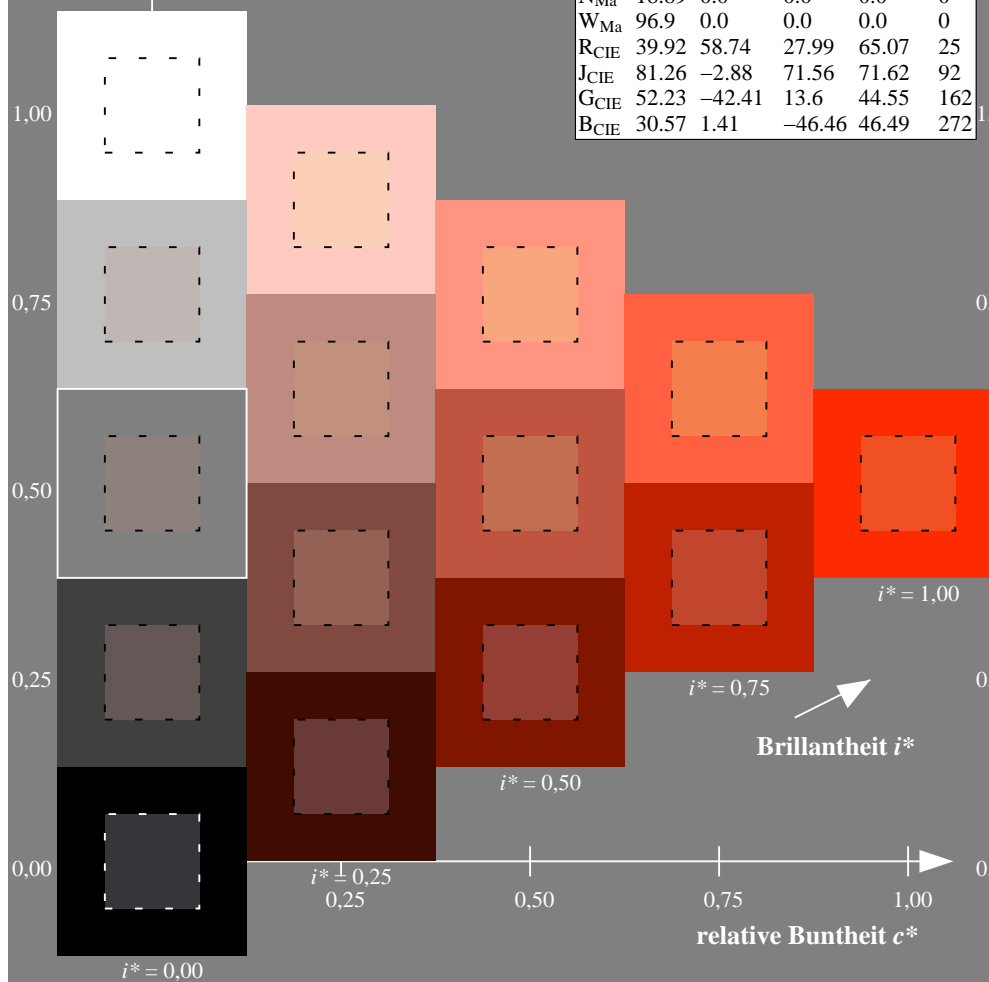
%Regularität

$g^*_{H,rel} = 72$

$g^*_{C,rel} = 57$

ORS19_96a; adaptierte CIELAB-Daten

	$L^*=L^*_a$	a^*_a	b^*_a	$C^*_{ab,a}$	$h^*_{ab,a}$
r00j	48.88	66.47	31.67	73.63	25
r25j	55.85	52.39	47.48	70.7	42
r50j	65.45	35.22	58.37	68.17	59
r75j	75.19	17.82	69.41	71.66	76
j00g	87.03	-3.34	82.83	82.9	92
j25g	80.72	-25.0	69.5	73.86	110
j50g	70.64	-39.53	51.97	65.3	127
j75g	61.93	-52.09	36.83	63.8	145
g00b	52.8	-65.27	20.93	68.56	162
g25b	55.7	-49.57	-8.38	50.28	190
g50b	57.82	-38.39	-28.91	48.07	217
g75b	55.5	-22.04	-45.94	50.97	244
b00r	41.6	1.37	-45.0	45.03	272
b25r	29.0	25.08	-43.12	49.89	300
b50r	38.04	46.53	-28.38	54.51	329
b75r	49.48	72.88	-3.75	72.98	357



Ein und Ausgabe: Farbmetrisches Drucker-Reflektiv-System ORS19_96a für relativen CIELAB-Buntton $h^* = lab^*h^* = h_{ab}/360 = 59/360 = 0.164$ $u^* = r50j$

Daten für jede Farbe:

lab^*ch^* und lab^*icu^*

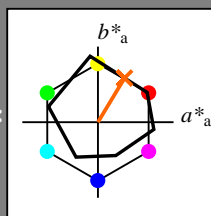
Elementar-Bunttontext:

$u^* = r50j$

Kontrastreduzierungsfaktor:

$c_R = 1.0$

Dreiecks-Helligkeit t^*



ORS19_96a; adaptierte CIELAB-Daten

	$L^*=L^*_a$	a^*_a	b^*_a	$C^*_{ab,a}$	$h^*_{ab,a}$
O _{Ma}	48.75	65.07	39.43	76.08	31
Y _{Ma}	90.92	-10.28	87.24	87.85	97
L _{Ma}	52.69	-65.43	20.75	68.65	162
C _{Ma}	59.61	-28.97	-46.21	54.56	238
V _{Ma}	28.39	23.63	-44.12	50.06	298
M _{Ma}	49.58	73.93	-9.55	74.55	353
N _{Ma}	18.89	0.0	0.0	0.0	0
W _{Ma}	96.9	0.0	0.0	0.0	0
R _{CIE}	39.92	58.74	27.99	65.07	25
J _{CIE}	81.26	-2.88	71.56	71.62	92
G _{CIE}	52.23	-42.41	13.6	44.55	162
B _{CIE}	30.57	1.41	-46.46	46.49	272

Daten für Maximalfarbe (Ma):

$LAB^*LAB^*_{Ma}$: 65 35 58

$LAB^*LCH^*_{Ma}$: 65 68 59

$lab^*rgb^*_{Ma}$: 1.0 0.5 0.0

$lab^*olv^*_{Ma}$: 1.0 0.4 0.0

Dreiecks-Helligkeit t^*

%Umfang

$u^*_{rel} = 89$

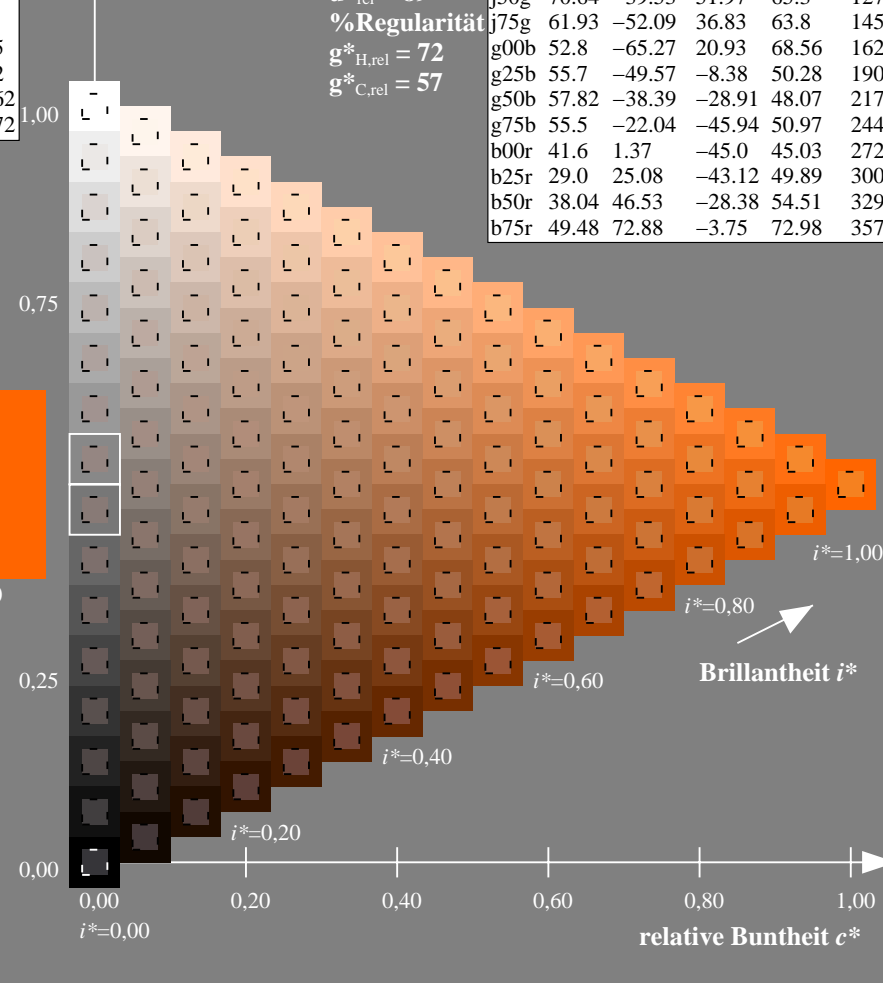
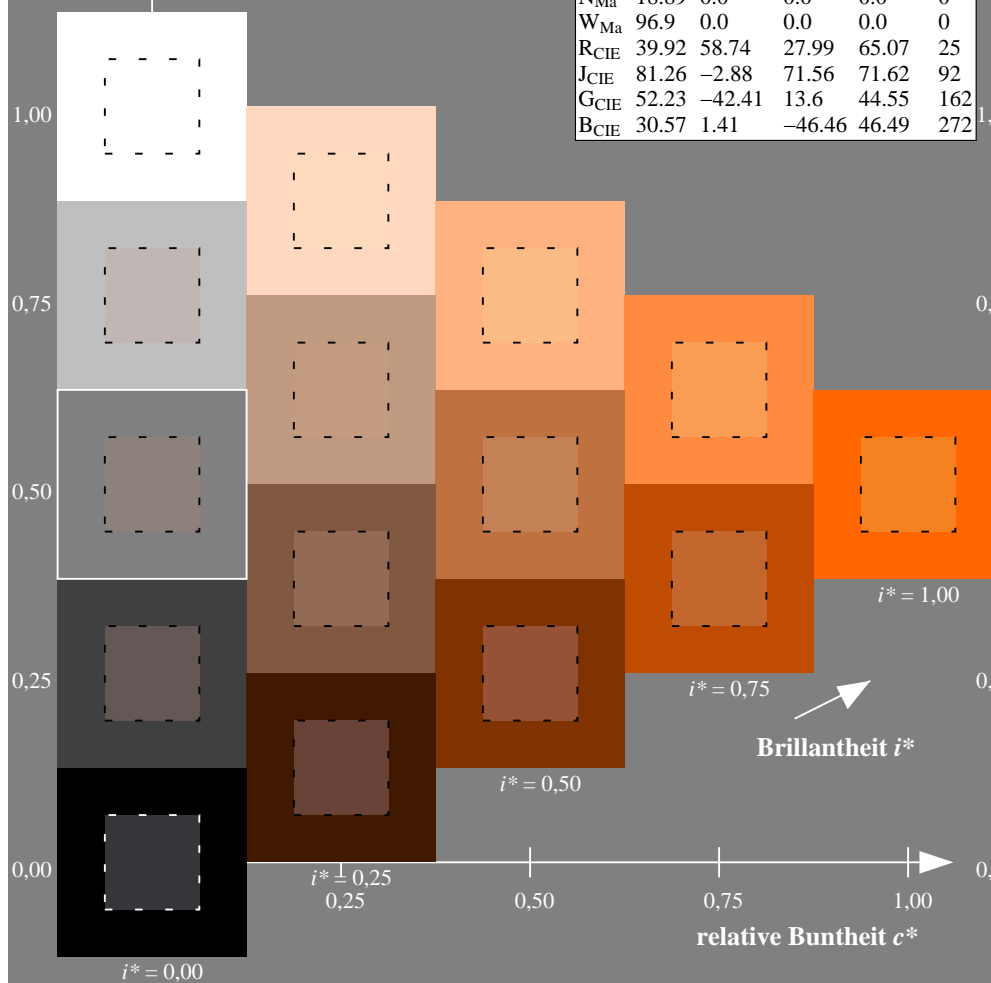
%Regularität

$g^*_{H,rel} = 72$

$g^*_{C,rel} = 57$

ORS19_96a; adaptierte CIELAB-Daten

	$L^*=L^*_a$	a^*_a	b^*_a	$C^*_{ab,a}$	$h^*_{ab,a}$
r00j	48.88	66.47	31.67	73.63	25
r25j	55.85	52.39	47.48	70.7	42
r50j	65.45	35.22	58.37	68.17	59
r75j	75.19	17.82	69.41	71.66	76
j00g	87.03	-3.34	82.83	82.9	92
j25g	80.72	-25.0	69.5	73.86	110
j50g	70.64	-39.53	51.97	65.3	127
j75g	61.93	-52.09	36.83	63.8	145
g00b	52.8	-65.27	20.93	68.56	162
g25b	55.7	-49.57	-8.38	50.28	190
g50b	57.82	-38.39	-28.91	48.07	217
g75b	55.5	-22.04	-45.94	50.97	244
b00r	41.6	1.37	-45.0	45.03	272
b25r	29.0	25.08	-43.12	49.89	300
b50r	38.04	46.53	-28.38	54.51	329
b75r	49.48	72.88	-3.75	72.98	357



Ein und Ausgabe: Farbmetrisches Drucker-Reflektiv-System ORS19_96a für relativen CIELAB-Buntton $h^* = lab^*h^* = h_{ab}/360 = 76/360 = 0.21$ $u^* = r75j$

Daten für jede Farbe:

lab^*ch^* und lab^*icu^*

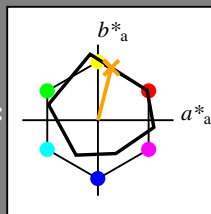
Elementar-Bunttontext:

$u^* = r75j$

Kontrastreduzierungsfaktor:

$c_R = 1.0$

Dreiecks-Helligkeit t^*



ORS19_96a; adaptierte CIELAB-Daten

	$L^* = L^*_a$	a^*_a	b^*_a	$C^*_{ab,a}$	$h^*_{ab,a}$
O _{Ma}	48.75	65.07	39.43	76.08	31
Y _{Ma}	90.92	-10.28	87.24	87.85	97
L _{Ma}	52.69	-65.43	20.75	68.65	162
C _{Ma}	59.61	-28.97	-46.21	54.56	238
V _{Ma}	28.39	23.63	-44.12	50.06	298
M _{Ma}	49.58	73.93	-9.55	74.55	353
N _{Ma}	18.89	0.0	0.0	0.0	0
W _{Ma}	96.9	0.0	0.0	0.0	0
R _{CIE}	39.92	58.74	27.99	65.07	25
J _{CIE}	81.26	-2.88	71.56	71.62	92
G _{CIE}	52.23	-42.41	13.6	44.55	162
B _{CIE}	30.57	1.41	-46.46	46.49	272

Daten für Maximalfarbe (Ma):

$LAB^*LAB^*_{Ma}$: 75 18 69

$LAB^*LCH^*_{Ma}$: 75 72 76

$lab^*rgb^*_{Ma}$: 1.0 0.75 0.0

$lab^*olv^*_{Ma}$: 1.0 0.63 0.0

Dreiecks-Helligkeit t^*

%Umfang

$u^*_{rel} = 89$

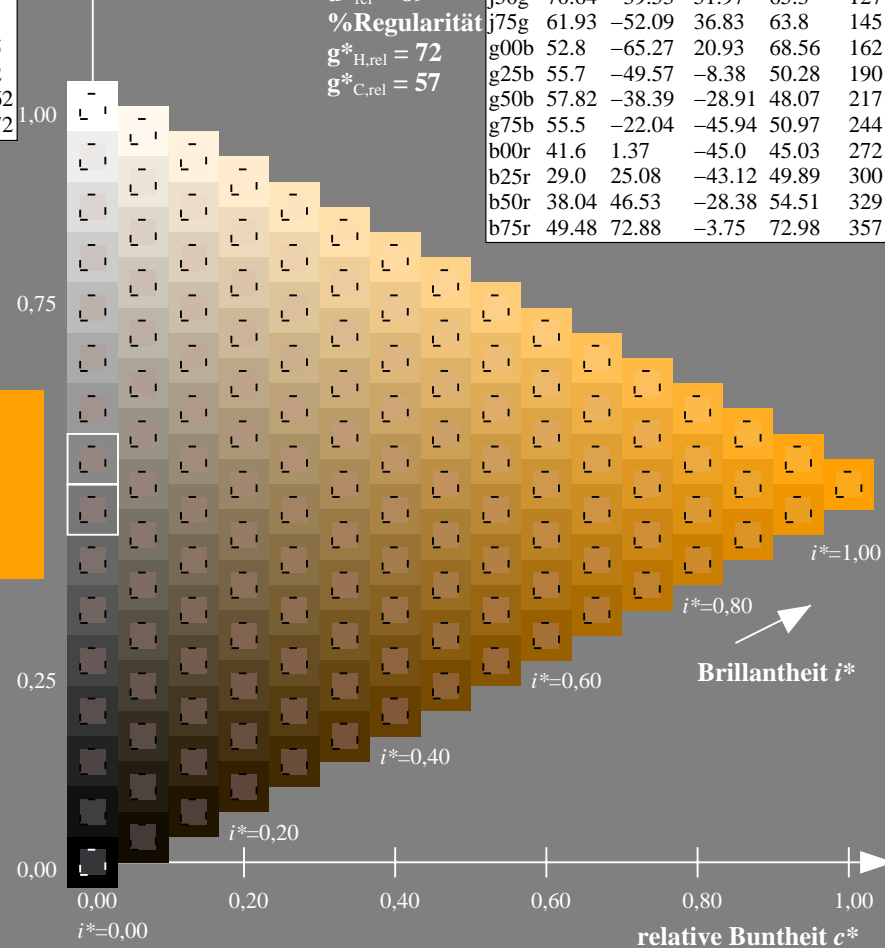
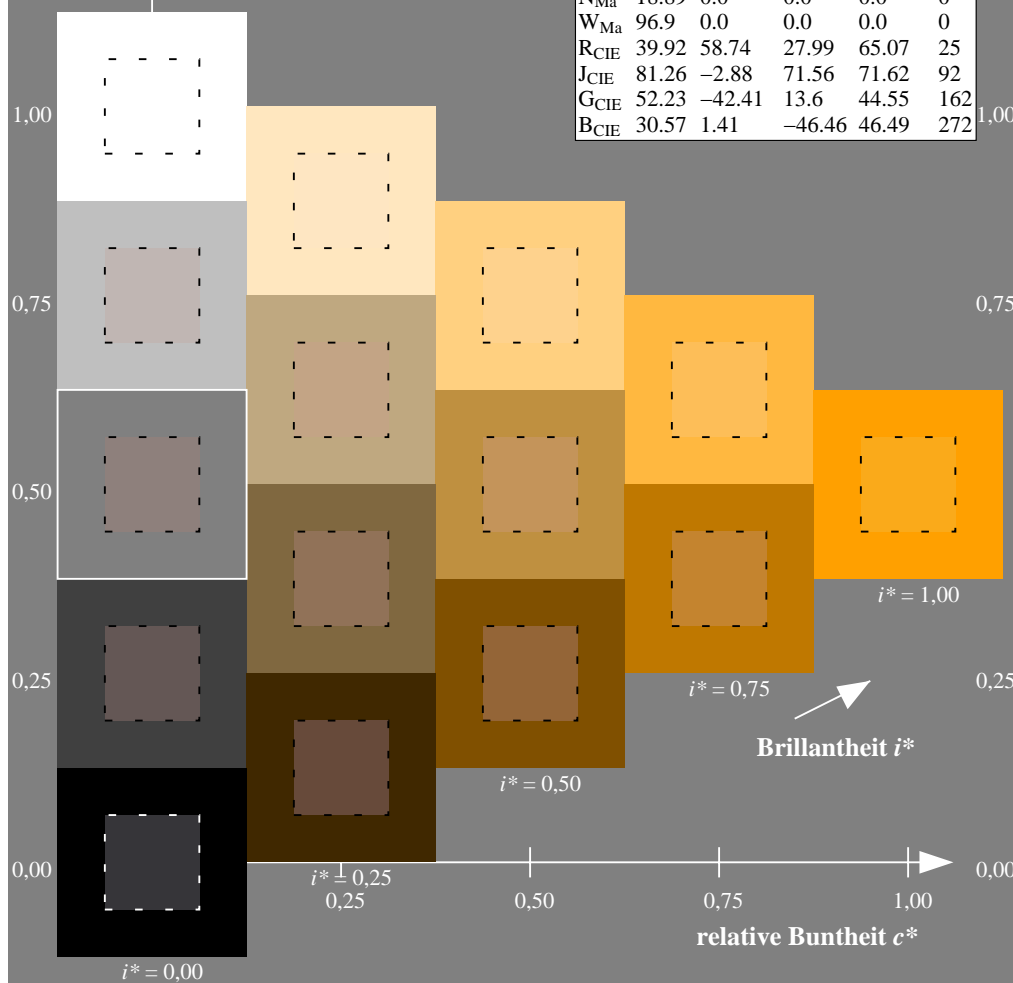
%Regularität

$g^*_{H,rel} = 72$

$g^*_{C,rel} = 57$

ORS19_96a; adaptierte CIELAB-Daten

	$L^* = L^*_a$	a^*_a	b^*_a	$C^*_{ab,a}$	$h^*_{ab,a}$
r00j	48.88	66.47	31.67	73.63	25
r25j	55.85	52.39	47.48	70.7	42
r50j	65.45	35.22	58.37	68.17	59
r75j	75.19	17.82	69.41	71.66	76
j00g	87.03	-3.34	82.83	82.9	92
j25g	80.72	-25.0	69.5	73.86	110
j50g	70.64	-39.53	51.97	65.3	127
j75g	61.93	-52.09	36.83	63.8	145
g00b	52.8	-65.27	20.93	68.56	162
g25b	55.7	-49.57	-8.38	50.28	190
g50b	57.82	-38.39	-28.91	48.07	217
g75b	55.5	-22.04	-45.94	50.97	244
b00r	41.6	1.37	-45.0	45.03	272
b25r	29.0	25.08	-43.12	49.89	300
b50r	38.04	46.53	-28.38	54.51	329
b75r	49.48	72.88	-3.75	72.98	357



Ein und Ausgabe: Farbmetrisches Drucker-Reflektiv-System ORS19_96a für relativen CIELAB-Buntton $h^* = lab^*h^* = h_{ab}/360 = 92/360 = 0.256$ $u^* = j00g$

Daten für jede Farbe:

lab^*ch^* und lab^*icu^*

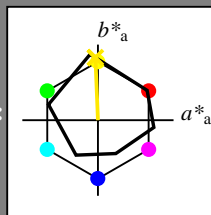
Elementar-Bunttontext:

$u^* = j00g$

Kontrastreduzierungsfaktor:

$c_R = 1.0$

Dreiecks-Helligkeit i^*



ORS19_96a; adaptierte CIELAB-Daten

	$L^*=L_a^*$	a_a^*	b_a^*	$C_{ab,a}^*$	$h_{ab,a}^*$
O _{Ma}	48.75	65.07	39.43	76.08	31
Y _{Ma}	90.92	-10.28	87.24	87.85	97
L _{Ma}	52.69	-65.43	20.75	68.65	162
C _{Ma}	59.61	-28.97	-46.21	54.56	238
V _{Ma}	28.39	23.63	-44.12	50.06	298
M _{Ma}	49.58	73.93	-9.55	74.55	353
N _{Ma}	18.89	0.0	0.0	0.0	0
W _{Ma}	96.9	0.0	0.0	0.0	0
R _{CIE}	39.92	58.74	27.99	65.07	25
J _{CIE}	81.26	-2.88	71.56	71.62	92
G _{CIE}	52.23	-42.41	13.6	44.55	162
B _{CIE}	30.57	1.41	-46.46	46.49	272

Daten für Maximalfarbe (Ma):

LAB^*LAB^*Ma : 87 -2 83

LAB^*LCH^*Ma : 87 83 92

lab^*rgb^*Ma : 1.0 1.0 0.0

lab^*olv^*Ma : 1.0 0.91 0.0

Dreiecks-Helligkeit i^*

%Umfang

$u^*_{rel} = 89$

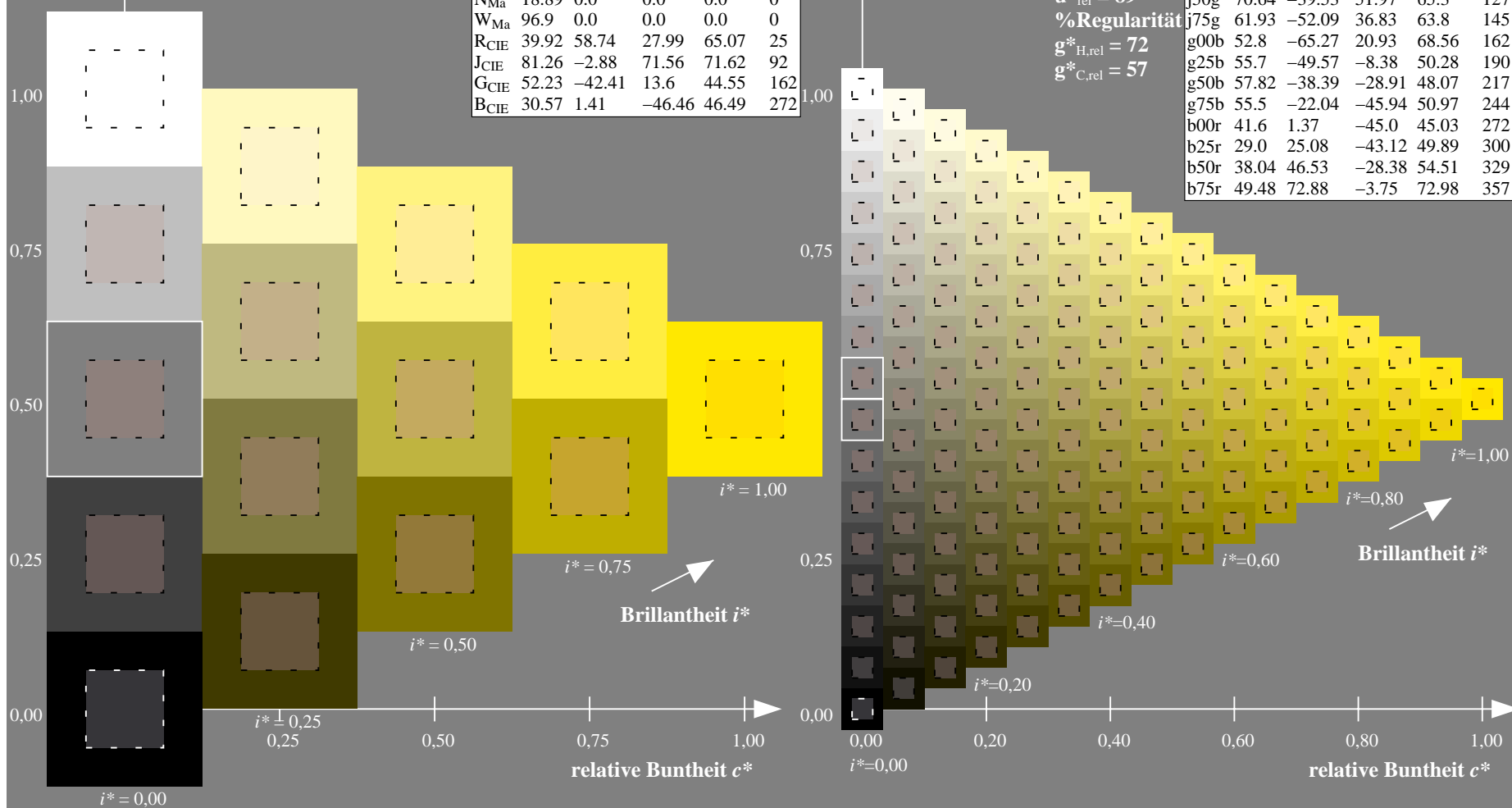
%Regularität

$g^*_{H,rel} = 72$

$g^*_{C,rel} = 57$

ORS19_96a; adaptierte CIELAB-Daten

	$L^*=L_a^*$	a_a^*	b_a^*	$C_{ab,a}^*$	$h_{ab,a}^*$
r00j	48.88	66.47	31.67	73.63	25
r25j	55.85	52.39	47.48	70.7	42
r50j	65.45	35.22	58.37	68.17	59
r75j	75.19	17.82	69.41	71.66	76
j00g	87.03	-3.34	82.83	82.9	92
j25g	80.72	-25.0	69.5	73.86	110
j50g	70.64	-39.53	51.97	65.3	127
j75g	61.93	-52.09	36.83	63.8	145
g00b	52.8	-65.27	20.93	68.56	162
g25b	55.7	-49.57	-8.38	50.28	190
g50b	57.82	-38.39	-28.91	48.07	217
g75b	55.5	-22.04	-45.94	50.97	244
b00r	41.6	1.37	-45.0	45.03	272
b25r	29.0	25.08	-43.12	49.89	300
b50r	38.04	46.53	-28.38	54.51	329
b75r	49.48	72.88	-3.75	72.98	357



Ein und Ausgabe: Farbmetrisches Drucker-Reflektiv-System ORS19_96a für relativen CIELAB-Buntton $h^* = lab^*h^* = h_{ab}/360 = 110/360 = 0.305$ $u^* = j25g$

Daten für jede Farbe:

lab^*ch^* und lab^*icu^*

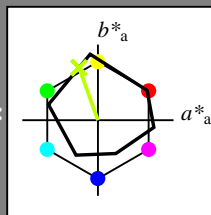
Elementar-Bunttontext:

$u^* = j25g$

Kontrastreduzierungsfaktor:

$c_R = 1.0$

Dreiecks-Helligkeit i^*



ORS19_96a; adaptierte CIELAB-Daten

	$L^* = L^*_a$	a^*_a	b^*_a	$C^*_{ab,a}$	$h^*_{ab,a}$
O _{Ma}	48.75	65.07	39.43	76.08	31
Y _{Ma}	90.92	-10.28	87.24	87.85	97
L _{Ma}	52.69	-65.43	20.75	68.65	162
C _{Ma}	59.61	-28.97	-46.21	54.56	238
V _{Ma}	28.39	23.63	-44.12	50.06	298
M _{Ma}	49.58	73.93	-9.55	74.55	353
N _{Ma}	18.89	0.0	0.0	0.0	0
W _{Ma}	96.9	0.0	0.0	0.0	0
R _{CIE}	39.92	58.74	27.99	65.07	25
J _{CIE}	81.26	-2.88	71.56	71.62	92
G _{CIE}	52.23	-42.41	13.6	44.55	162
B _{CIE}	30.57	1.41	-46.46	46.49	272

Daten für Maximalfarbe (Ma):

$LAB^*LAB^*_{Ma}$: 81 -24 69

$LAB^*LCH^*_{Ma}$: 81 74 110

$lab^*rgb^*_{Ma}$: 0.75 1.0 0.0

$lab^*olv^*_{Ma}$: 0.73 1.0 0.0

Dreiecks-Helligkeit i^*

%Umfang

$u^*_{rel} = 89$

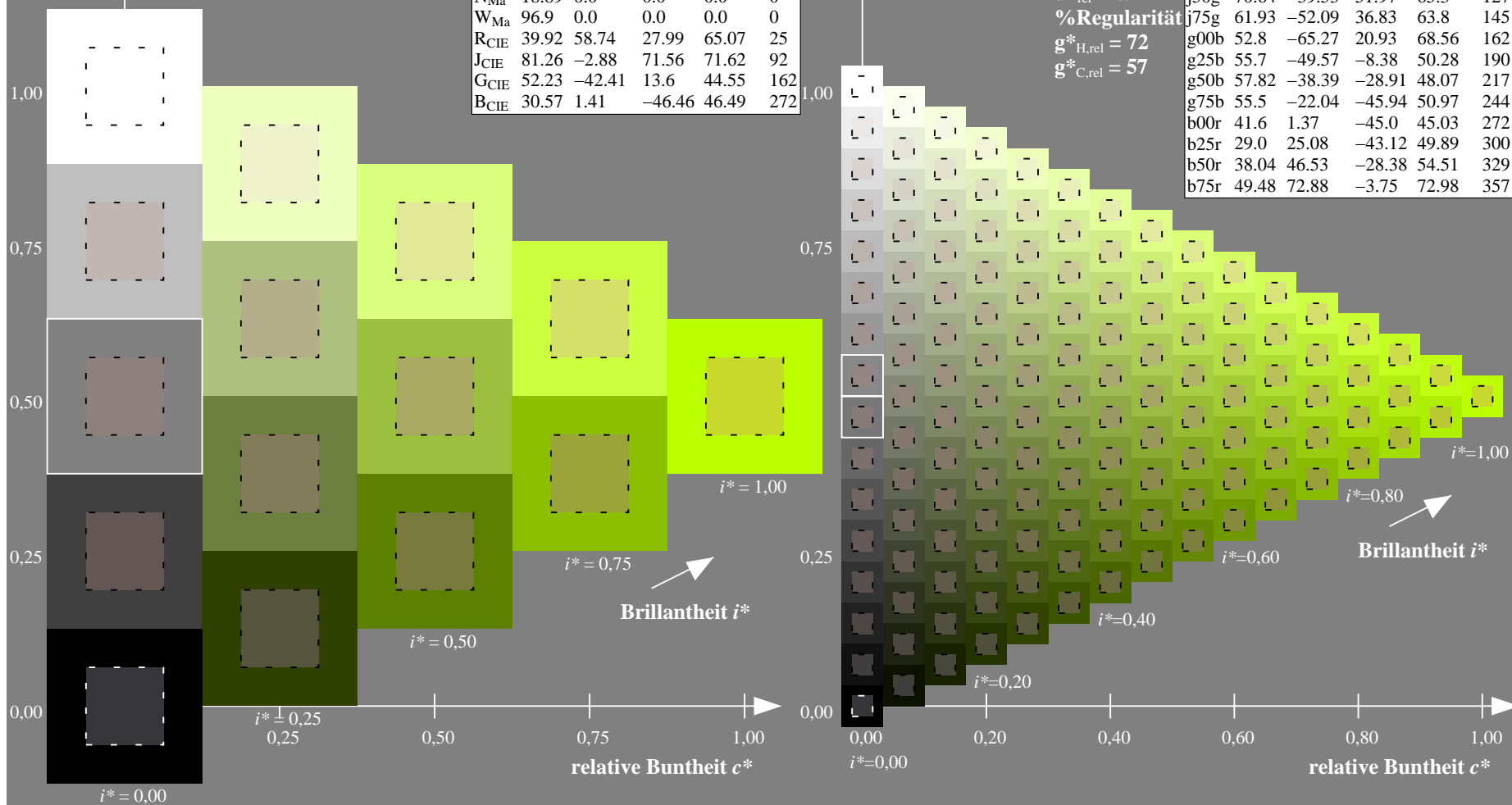
%Regularität

$g^*_{H,rel} = 72$

$g^*_{C,rel} = 57$

ORS19_96a; adaptierte CIELAB-Daten

	$L^* = L^*_a$	a^*_a	b^*_a	$C^*_{ab,a}$	$h^*_{ab,a}$
r00j	48.88	66.47	31.67	73.63	25
r25j	55.85	52.39	47.48	70.7	42
r50j	65.45	35.22	58.37	68.17	59
r75j	75.19	17.82	69.41	71.66	76
j00g	87.03	-3.34	82.83	82.9	92
j25g	80.72	-25.0	69.5	73.86	110
j50g	70.64	-39.53	51.97	65.3	127
j75g	61.93	-52.09	36.83	63.8	145
g00b	52.8	-65.27	20.93	68.56	162
g25b	55.7	-49.57	-8.38	50.28	190
g50b	57.82	-38.39	-28.91	48.07	217
g75b	55.5	-22.04	-45.94	50.97	244
b00r	41.6	1.37	-45.0	45.03	272
b25r	29.0	25.08	-43.12	49.89	300
b50r	38.04	46.53	-28.38	54.51	329
b75r	49.48	72.88	-3.75	72.98	357



Ein und Ausgabe: Farbmetrisches Drucker-Reflektiv-System ORS19_96a für relativen CIELAB-Buntton $h^* = lab^*h^* = h_{ab}/360 = 127/360 = 0.354$ $u^* = j50g$

Daten für jede Farbe:

lab^*ch^* und lab^*icu^*

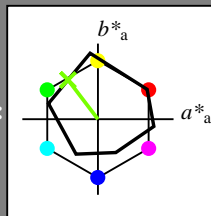
Elementar-Bunttontext:

$u^* = j50g$

Kontrastreduzierungsfaktor:

$c_R = 1.0$

Dreiecks-Helligkeit i^*



ORS19_96a; adaptierte CIELAB-Daten

	$L^* = L^*_a$	a^*_a	b^*_a	$C^*_{ab,a}$	$h^*_{ab,a}$
O _{Ma}	48.75	65.07	39.43	76.08	31
Y _{Ma}	90.92	-10.28	87.24	87.85	97
L _{Ma}	52.69	-65.43	20.75	68.65	162
C _{Ma}	59.61	-28.97	-46.21	54.56	238
V _{Ma}	28.39	23.63	-44.12	50.06	298
M _{Ma}	49.58	73.93	-9.55	74.55	353
N _{Ma}	18.89	0.0	0.0	0.0	0
W _{Ma}	96.9	0.0	0.0	0.0	0
R _{CIE}	39.92	58.74	27.99	65.07	25
J _{CIE}	81.26	-2.88	71.56	71.62	92
G _{CIE}	52.23	-42.41	13.6	44.55	162
B _{CIE}	30.57	1.41	-46.46	46.49	272

Daten für Maximalfarbe (Ma):

$LAB^*LAB^*_{Ma}$: 71 -39 52

$LAB^*LCH^*_{Ma}$: 71 65 127

$lab^*rgb^*_{Ma}$: 0.5 1.0 0.0

$lab^*olv^*_{Ma}$: 0.47 1.0 0.0

Dreiecks-Helligkeit i^*

%Umfang

$u^*_{rel} = 89$

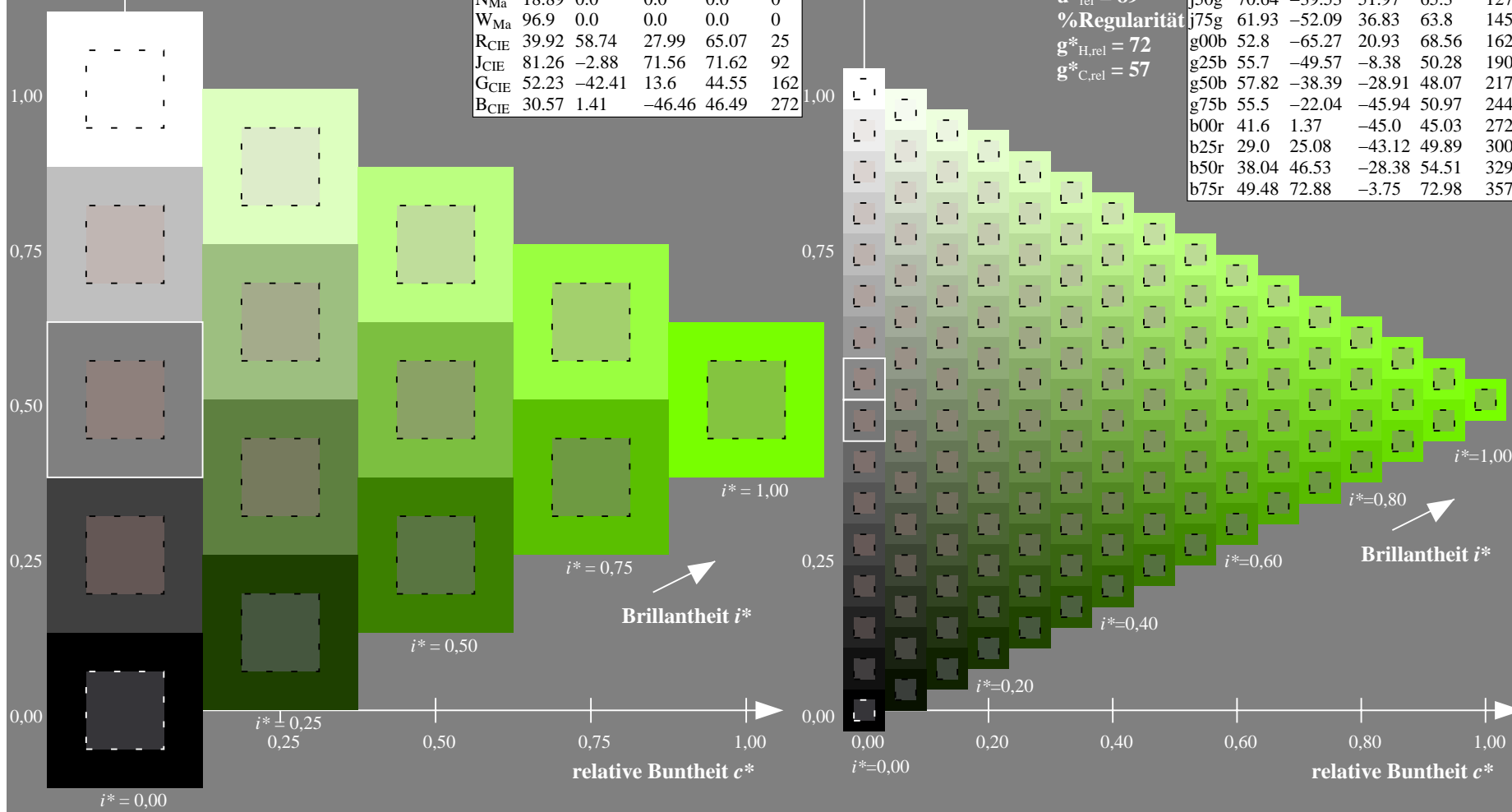
%Regularität

$g^*_{H,rel} = 72$

$g^*_{C,rel} = 57$

ORS19_96a; adaptierte CIELAB-Daten

	$L^* = L^*_a$	a^*_a	b^*_a	$C^*_{ab,a}$	$h^*_{ab,a}$
r00j	48.88	66.47	31.67	73.63	25
r25j	55.85	52.39	47.48	70.7	42
r50j	65.45	35.22	58.37	68.17	59
r75j	75.19	17.82	69.41	71.66	76
j00g	87.03	-3.34	82.83	82.9	92
j25g	80.72	-25.0	69.5	73.86	110
j50g	70.64	-39.53	51.97	65.3	127
j75g	61.93	-52.09	36.83	63.8	145
g00b	52.8	-65.27	20.93	68.56	162
g25b	55.7	-49.57	-8.38	50.28	190
g50b	57.82	-38.39	-28.91	48.07	217
g75b	55.5	-22.04	-45.94	50.97	244
b00r	41.6	1.37	-45.0	45.03	272
b25r	29.0	25.08	-43.12	49.89	300
b50r	38.04	46.53	-28.38	54.51	329
b75r	49.48	72.88	-3.75	72.98	357



Ein und Ausgabe: Farbmetrisches Drucker-Reflektiv-System ORS19_96a für relativen CIELAB-Buntton $h^* = lab^*h^* = h_{ab}/360 = 145/360 = 0.402$ $u^* = j75g$

Daten für jede Farbe:

lab^*ch^* und lab^*icu^*

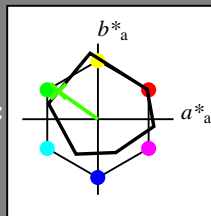
Elementar-Bunttontext:

$u^* = j75g$

Kontrastreduzierungsfaktor:

$c_R = 1.0$

Dreiecks-Helligkeit i^*



ORS19_96a; adaptierte CIELAB-Daten

	$L^* = L^*_a$	a^*_a	b^*_a	$C^*_{ab,a}$	$h^*_{ab,a}$
O _{Ma}	48.75	65.07	39.43	76.08	31
Y _{Ma}	90.92	-10.28	87.24	87.85	97
L _{Ma}	52.69	-65.43	20.75	68.65	162
C _{Ma}	59.61	-28.97	-46.21	54.56	238
V _{Ma}	28.39	23.63	-44.12	50.06	298
M _{Ma}	49.58	73.93	-9.55	74.55	353
N _{Ma}	18.89	0.0	0.0	0.0	0
W _{Ma}	96.9	0.0	0.0	0.0	0
R _{CIE}	39.92	58.74	27.99	65.07	25
J _{CIE}	81.26	-2.88	71.56	71.62	92
G _{CIE}	52.23	-42.41	13.6	44.55	162
B _{CIE}	30.57	1.41	-46.46	46.49	272

Daten für Maximalfarbe (Ma):

$LAB^*LAB^*_{Ma}$: 62 -51 37

$LAB^*LCH^*_{Ma}$: 62 64 145

$lab^*rgb^*_{Ma}$: 0.25 1.0 0.0

$lab^*olv^*_{Ma}$: 0.24 1.0 0.0

Dreiecks-Helligkeit i^*

%Umfang

$u^*_{rel} = 89$

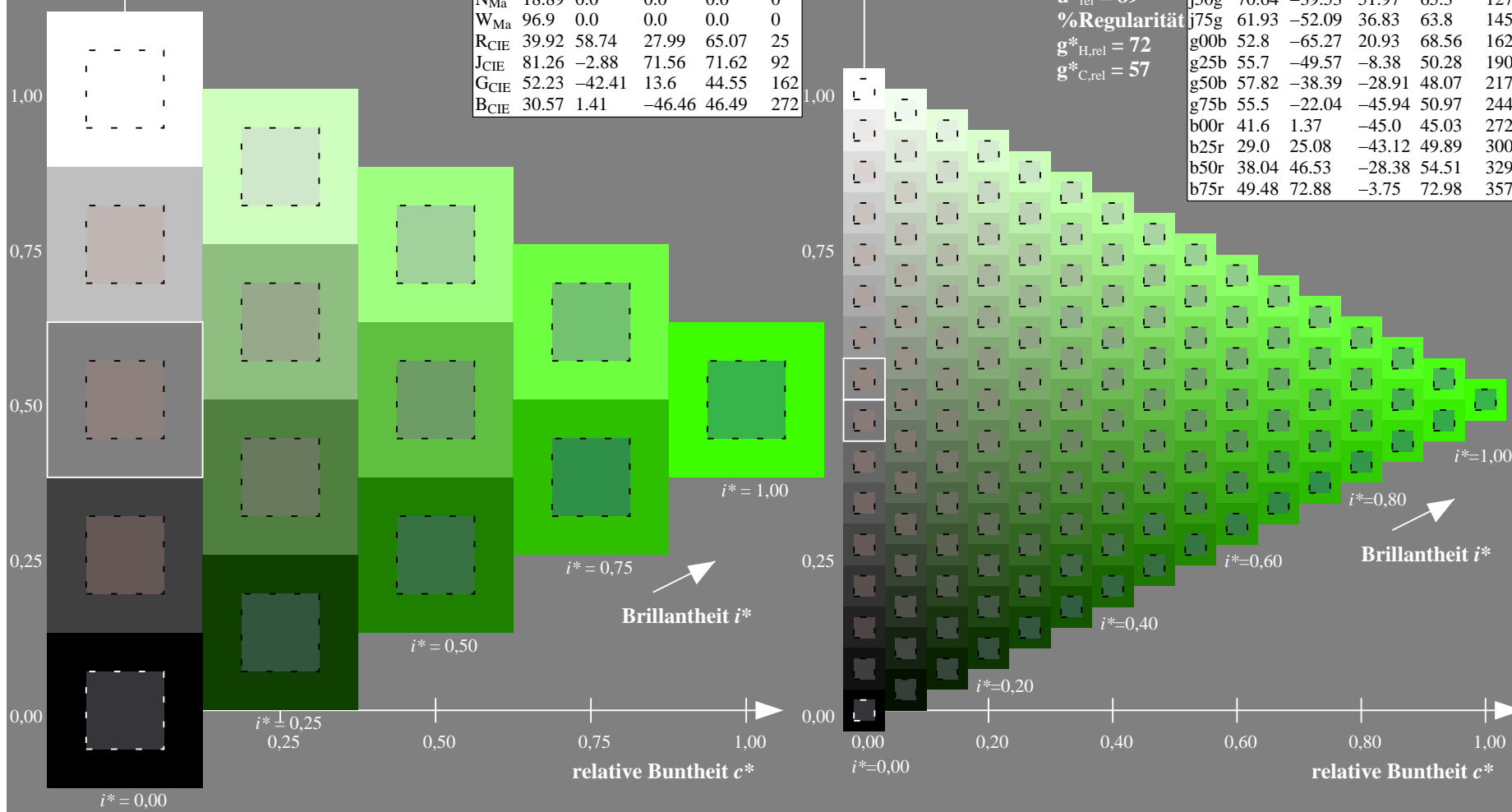
%Regularität

$g^*_{H,rel} = 72$

$g^*_{C,rel} = 57$

ORS19_96a; adaptierte CIELAB-Daten

	$L^* = L^*_a$	a^*_a	b^*_a	$C^*_{ab,a}$	$h^*_{ab,a}$
r00j	48.88	66.47	31.67	73.63	25
r25j	55.85	52.39	47.48	70.7	42
r50j	65.45	35.22	58.37	68.17	59
r75j	75.19	17.82	69.41	71.66	76
j00g	87.03	-3.34	82.83	82.9	92
j25g	80.72	-25.0	69.5	73.86	110
j50g	70.64	-39.53	51.97	65.3	127
j75g	61.93	-52.09	36.83	63.8	145
g00b	52.8	-65.27	20.93	68.56	162
g25b	55.7	-49.57	-8.38	50.28	190
g50b	57.82	-38.39	-28.91	48.07	217
g75b	55.5	-22.04	-45.94	50.97	244
b00r	41.6	1.37	-45.0	45.03	272
b25r	29.0	25.08	-43.12	49.89	300
b50r	38.04	46.53	-28.38	54.51	329
b75r	49.48	72.88	-3.75	72.98	357



Ein und Ausgabe: Farbmetrisches Drucker-Reflektiv-System ORS19_96a für relativen CIELAB-Buntonn $h^* = lab^*h^* = h_{ab}/360 = 162/360 = 0.451$ $u^* = g00b$

Daten für jede Farbe:

lab^*tc^* und lab^*icu^*

Elementar-Bunntext:

$u^* = g00b$

Kontrastreduzierungsfaktor:

$c_R = 1.0$

Dreiecks-Helligkeit t^*

ORS19_96a; adaptierte CIELAB-Daten					
	$L^*=L^*_a$	a^*_a	b^*_a	$C^*_{ab,a}$	$h^*_{ab,a}$
O _{Ma}	48.75	65.07	39.43	76.08	31
Y _{Ma}	90.92	-10.28	87.24	87.85	97
L _{Ma}	52.69	-65.43	20.75	68.65	162
C _{Ma}	59.61	-28.97	-46.21	54.56	238
V _{Ma}	28.39	23.63	-44.12	50.06	298

Daten für Maximalfarbe (Ma):

$LAB^*LAB^*_{Ma}$: 53 -64 21

$LAB^*LCH^*_{Ma}$: 53 69 162

$lab^*rgb^*_{Ma}$: 0.0 1.0 0.0

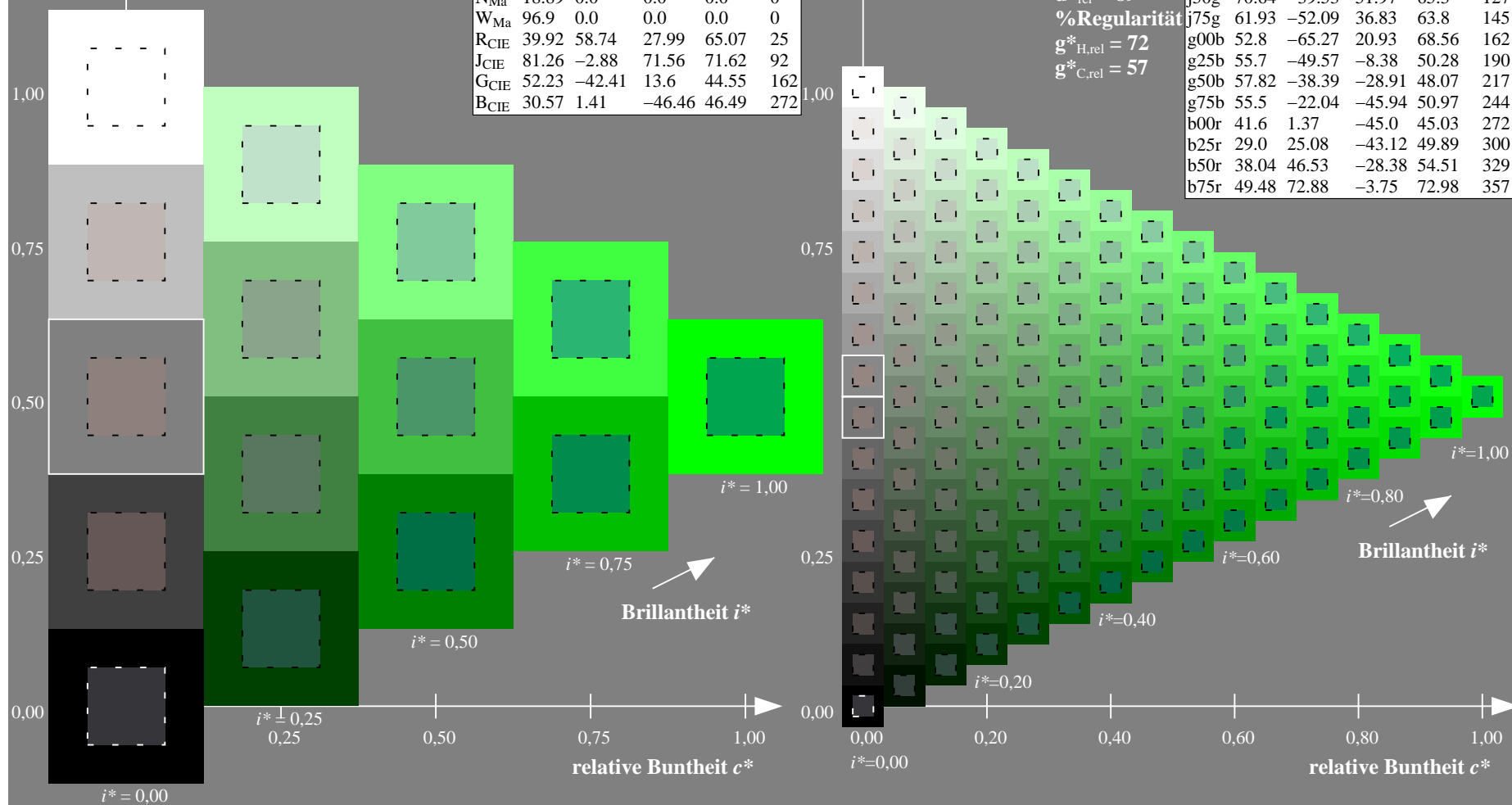
$lab^*olv^*_{Ma}$: 0.0 1.0 0.0

Dreiecks-Helligkeit t^*

ORS19_96a; adaptierte CIELAB-Daten					
	$L^*=L^*_a$	a^*_a	b^*_a	$C^*_{ab,a}$	h^*
r00j	48.88	66.47	31.67	73.63	2
r25j	55.85	52.39	47.48	70.7	4
r50j	65.45	35.22	58.37	68.17	5
r75j	75.19	17.82	69.41	71.66	7
j00g	87.03	-3.34	82.83	82.9	9

ORS19_96a; adaptierte CIELAB-Daten					
	L^*_a	a^*_a	b^*_a	$C^*_{ab,a}$	$h^*_{ab,a}$
O _{Ma}	48.75	65.07	39.43	76.08	31
Y _{Ma}	90.92	-10.28	87.24	87.85	97
L _{Ma}	52.69	-65.43	20.75	68.65	162
C _{Ma}	59.61	-28.97	-46.21	54.56	238
V _{Ma}	28.39	23.63	-44.12	50.06	298
M _{Ma}	49.58	73.93	-9.55	74.55	353
N _{Ma}	18.89	0.0	0.0	0.0	0
W _{Ma}	96.9	0.0	0.0	0.0	0
R _{CIE}	39.92	58.74	27.99	65.07	25
J _{CIE}	81.26	-2.88	71.56	71.62	92
G _{CIE}	52.23	-42.41	13.6	44.55	162
B _{CIE}	30.57	1.41	-46.46	46.49	272

ORS19 96a; adaptierte CIELAB-Daten					
	L^*_a	a^*_a	b^*_a	$C^*_{ab,a}$	$h^*_{ab,a}$
r00j	48.88	66.47	31.67	73.63	25
r25j	55.85	52.39	47.48	70.7	42
r50j	65.45	35.22	58.37	68.17	59
r75j	75.19	17.82	69.41	71.66	76
j00g	87.03	-3.34	82.83	82.9	92
j25g	80.72	-25.0	69.5	73.86	110
j50g	70.64	-39.53	51.97	65.3	127
j75g	61.93	-52.09	36.83	63.8	145
g00b	52.8	-65.27	20.93	68.56	162
g25b	55.7	-49.57	-8.38	50.28	190
g50b	57.82	-38.39	-28.91	48.07	217
g75b	55.5	-22.04	-45.94	50.97	244
b00r	41.6	1.37	-45.0	45.03	272
b25r	29.0	25.08	-43.12	49.89	300
b50r	38.04	46.53	-28.38	54.51	329
b75r	49.48	72.88	-3.75	72.98	357



Ein und Ausgabe: Farbmetrisches Drucker-Reflektiv-System ORS19_96a für relativen CIELAB-Buntton $h^* = lab^*h^* = h_{ab}/360 = 190/360 = 0.527$ $u^* = g25b$

Daten für jede Farbe:

lab^*ch^* und lab^*icu^*

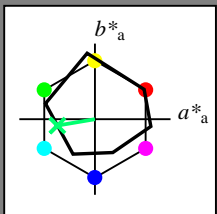
Elementar-Bunttontext:

$u^* = g25b$

Kontrastreduzierungsfaktor:

$c_R = 1.0$

Dreiecks-Helligkeit i^*



ORS19_96a; adaptierte CIELAB-Daten

	$L^*=L^*_a$	a^*_a	b^*_a	$C^*_{ab,a}$	$h^*_{ab,a}$
O _{Ma}	48.75	65.07	39.43	76.08	31
Y _{Ma}	90.92	-10.28	87.24	87.85	97
L _{Ma}	52.69	-65.43	20.75	68.65	162
C _{Ma}	59.61	-28.97	-46.21	54.56	238
V _{Ma}	28.39	23.63	-44.12	50.06	298
M _{Ma}	49.58	73.93	-9.55	74.55	353
N _{Ma}	18.89	0.0	0.0	0.0	0
W _{Ma}	96.9	0.0	0.0	0.0	0
R _{CIE}	39.92	58.74	27.99	65.07	25
J _{CIE}	81.26	-2.88	71.56	71.62	92
G _{CIE}	52.23	-42.41	13.6	44.55	162
B _{CIE}	30.57	1.41	-46.46	46.49	272

Daten für Maximalfarbe (Ma):

$LAB^*LAB^*_{Ma}$: 56 -49 -7

$LAB^*LCH^*_{Ma}$: 56 50 190

$lab^*rgb^*_{Ma}$: 0.0 1.0 0.5

$lab^*olv^*_{Ma}$: 0.0 1.0 0.44

Dreiecks-Helligkeit i^*

%Umfang

$u^*_{rel} = 89$

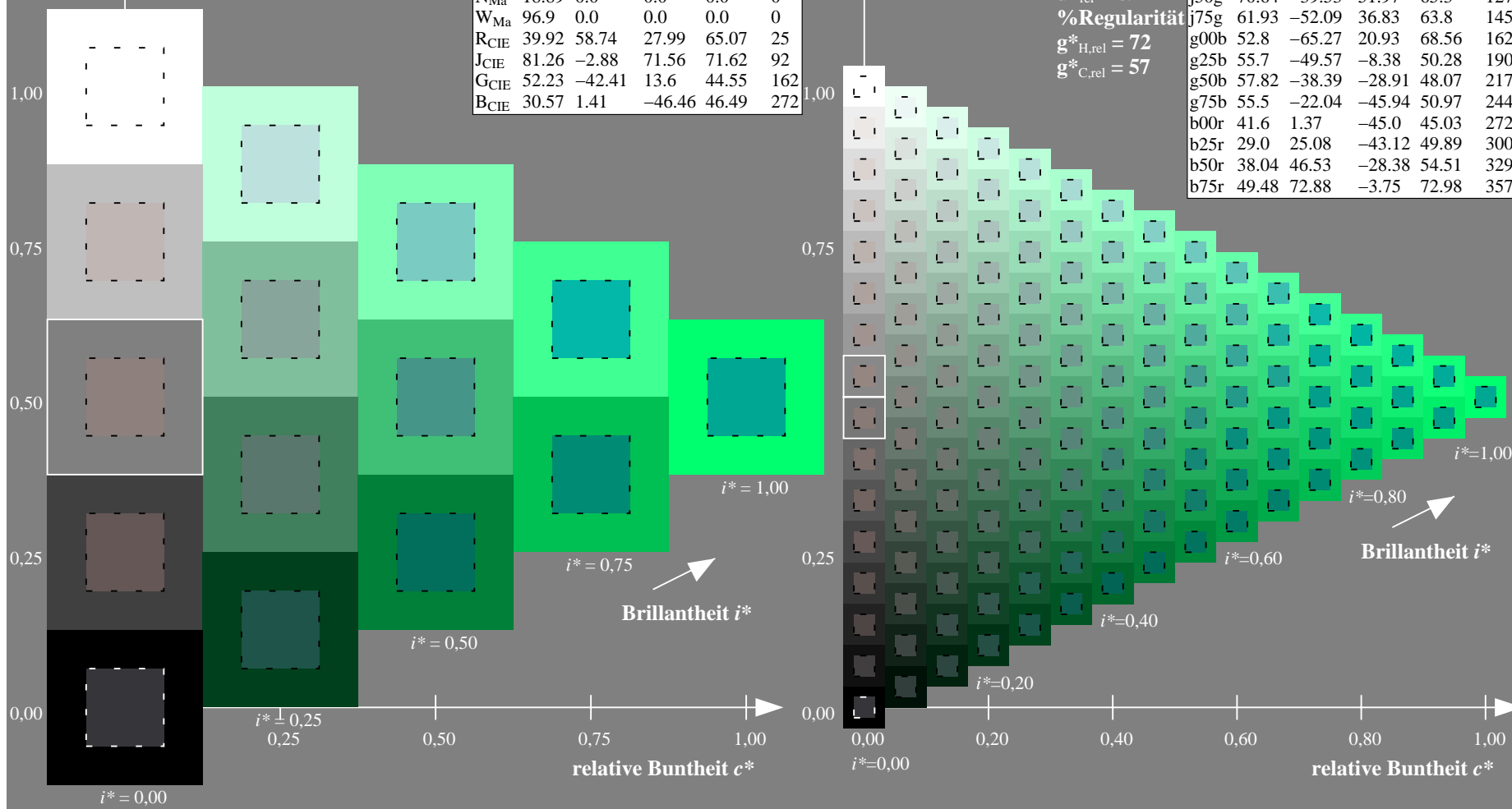
%Regularität

$g^*_{H,rel} = 72$

$g^*_{C,rel} = 57$

ORS19_96a; adaptierte CIELAB-Daten

	$L^*=L^*_a$	a^*_a	b^*_a	$C^*_{ab,a}$	$h^*_{ab,a}$
r00j	48.88	66.47	31.67	73.63	25
r25j	55.85	52.39	47.48	70.7	42
r50j	65.45	35.22	58.37	68.17	59
r75j	75.19	17.82	69.41	71.66	76
j00g	87.03	-3.34	82.83	82.9	92
j25g	80.72	-25.0	69.5	73.86	110
j50g	70.64	-39.53	51.97	65.3	127
j75g	61.93	-52.09	36.83	63.8	145
g00b	52.8	-65.27	20.93	68.56	162
g25b	55.7	-49.57	-8.38	50.28	190
g50b	57.82	-38.39	-28.91	48.07	217
g75b	55.5	-22.04	-45.94	50.97	244
b00r	41.6	1.37	-45.0	45.03	272
b25r	29.0	25.08	-43.12	49.89	300
b50r	38.04	46.53	-28.38	54.51	329
b75r	49.48	72.88	-3.75	72.98	357



Ein und Ausgabe: Farbmetrisches Drucker-Reflektiv-System ORS19_96a für relativen CIELAB-Buntton $h^* = lab^*h^* = h_{ab}/360 = 217/360 = 0.603$ $u^* = g50b$

Daten für jede Farbe:

lab^*ch^* und lab^*icu^*

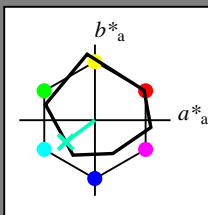
Elementar-Bunttontext:

$u^* = g50b$

Kontrastreduzierungsfaktor:

$c_R = 1.0$

Dreiecks-Helligkeit i^*



ORS19_96a; adaptierte CIELAB-Daten

	$L^*=L^*_a$	a^*_a	b^*_a	$C^*_{ab,a}$	$h^*_{ab,a}$
O _{Ma}	48.75	65.07	39.43	76.08	31
Y _{Ma}	90.92	-10.28	87.24	87.85	97
L _{Ma}	52.69	-65.43	20.75	68.65	162
C _{Ma}	59.61	-28.97	-46.21	54.56	238
V _{Ma}	28.39	23.63	-44.12	50.06	298
M _{Ma}	49.58	73.93	-9.55	74.55	353
N _{Ma}	18.89	0.0	0.0	0.0	0
W _{Ma}	96.9	0.0	0.0	0.0	0
R _{CIE}	39.92	58.74	27.99	65.07	25
J _{CIE}	81.26	-2.88	71.56	71.62	92
G _{CIE}	52.23	-42.41	13.6	44.55	162
B _{CIE}	30.57	1.41	-46.46	46.49	272

Daten für Maximalfarbe (Ma):

$LAB^*LAB^*_{Ma}$: 58 -37 -28

$LAB^*LCH^*_{Ma}$: 58 48 217

$lab^*rgb^*_{Ma}$: 0.0 1.0 1.0

$lab^*olv^*_{Ma}$: 0.0 1.0 0.74

Dreiecks-Helligkeit i^*

%Umfang

$u^*_{rel} = 89$

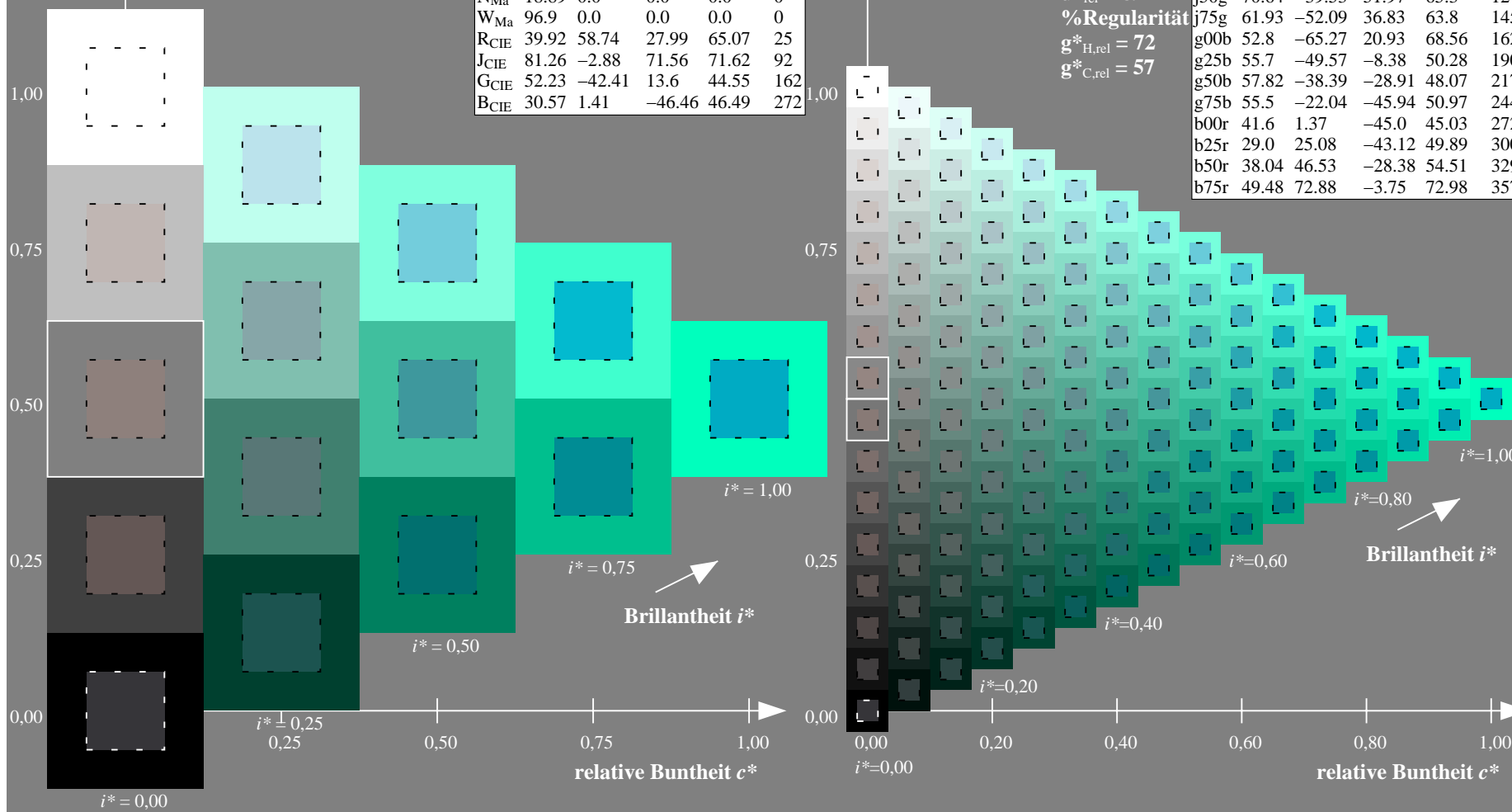
%Regularität

$g^*_{H,rel} = 72$

$g^*_{C,rel} = 57$

ORS19_96a; adaptierte CIELAB-Daten

	$L^*=L^*_a$	a^*_a	b^*_a	$C^*_{ab,a}$	$h^*_{ab,a}$
r00j	48.88	66.47	31.67	73.63	25
r25j	55.85	52.39	47.48	70.7	42
r50j	65.45	35.22	58.37	68.17	59
r75j	75.19	17.82	69.41	71.66	76
j00g	87.03	-3.34	82.83	82.9	92
j25g	80.72	-25.0	69.5	73.86	110
j50g	70.64	-39.53	51.97	65.3	127
j75g	61.93	-52.09	36.83	63.8	145
g00b	52.8	-65.27	20.93	68.56	162
g25b	55.7	-49.57	-8.38	50.28	190
g50b	57.82	-38.39	-28.91	48.07	217
g75b	55.5	-22.04	-45.94	50.97	244
b00r	41.6	1.37	-45.0	45.03	272
b25r	29.0	25.08	-43.12	49.89	300
b50r	38.04	46.53	-28.38	54.51	329
b75r	49.48	72.88	-3.75	72.98	357



Ein und Ausgabe: Farbmetrisches Drucker-Reflektiv-System ORS19_96a für relativen CIELAB-Buntton $h^* = lab^*h^* = h_{ab}/360 = 244/360 = 0.679$ $u^* = g75b$

Daten für jede Farbe:

lab^*ch^* und lab^*icu^*

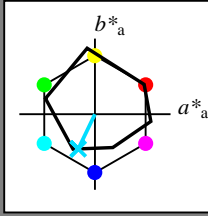
Elementar-Bunttontext:

$u^* = g75b$

Kontrastreduzierungsfaktor:

$c_R = 1.0$

Dreiecks-Helligkeit i^*



ORS19_96a; adaptierte CIELAB-Daten

	$L^*=L^*_a$	a^*_a	b^*_a	$C^*_{ab,a}$	$h^*_{ab,a}$
O _{Ma}	48.75	65.07	39.43	76.08	31
Y _{Ma}	90.92	-10.28	87.24	87.85	97
L _{Ma}	52.69	-65.43	20.75	68.65	162
C _{Ma}	59.61	-28.97	-46.21	54.56	238
V _{Ma}	28.39	23.63	-44.12	50.06	298
M _{Ma}	49.58	73.93	-9.55	74.55	353
N _{Ma}	18.89	0.0	0.0	0.0	0
W _{Ma}	96.9	0.0	0.0	0.0	0
R _{CIE}	39.92	58.74	27.99	65.07	25
J _{CIE}	81.26	-2.88	71.56	71.62	92
G _{CIE}	52.23	-42.41	13.6	44.55	162
B _{CIE}	30.57	1.41	-46.46	46.49	272

Daten für Maximalfarbe (Ma):

$LAB^*LAB^*_{Ma}$: 55 -21 -45

$LAB^*LCH^*_{Ma}$: 55 51 244

$lab^*rgb^*_{Ma}$: 0.0 0.5 1.0

$lab^*olv^*_{Ma}$: 0.0 0.87 1.0

Dreiecks-Helligkeit i^*

%Umfang

$u^*_{rel} = 89$

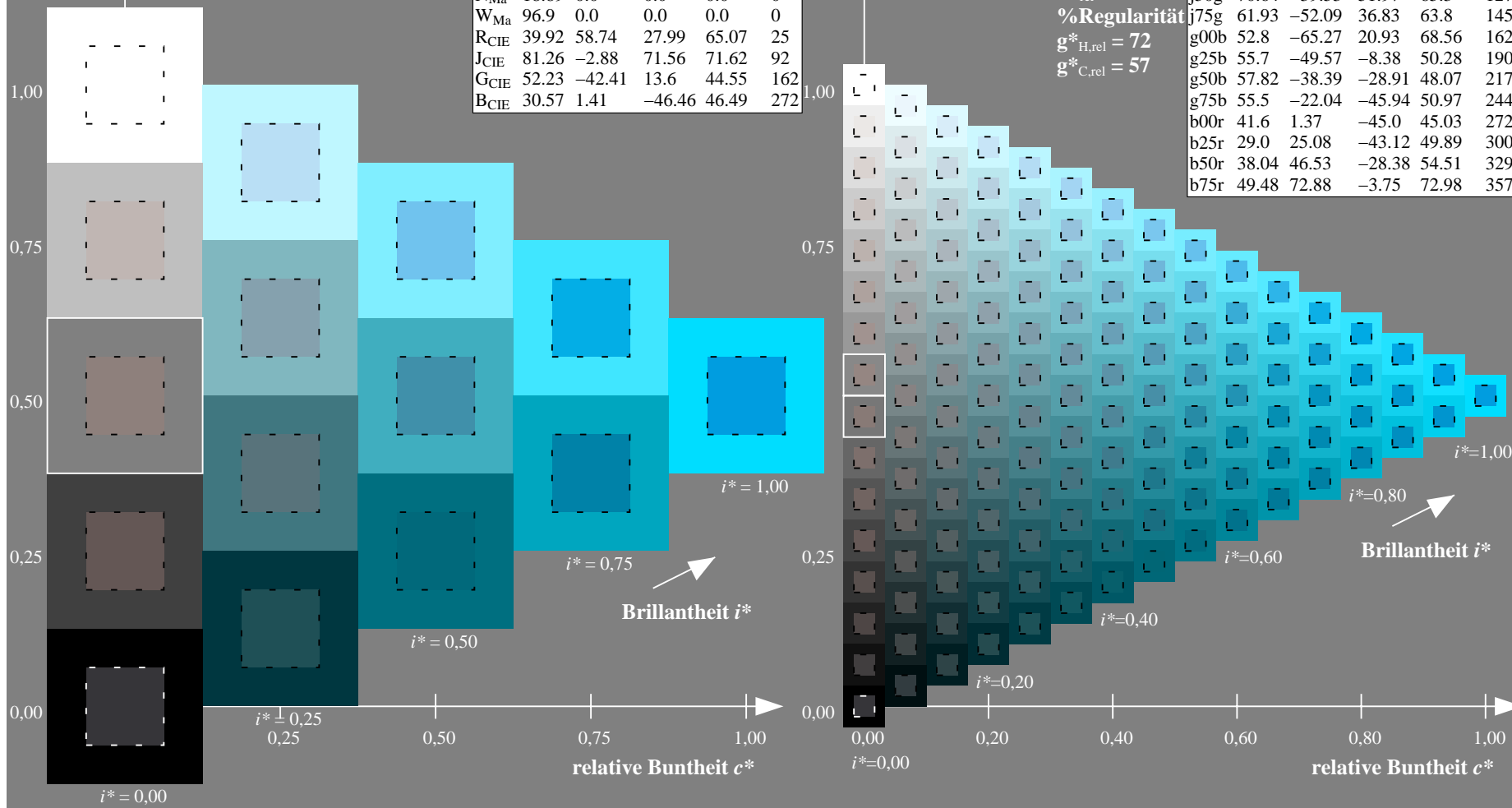
%Regularität

$g^*_{H,rel} = 72$

$g^*_{C,rel} = 57$

ORS19_96a; adaptierte CIELAB-Daten

	$L^*=L^*_a$	a^*_a	b^*_a	$C^*_{ab,a}$	$h^*_{ab,a}$
r00j	48.88	66.47	31.67	73.63	25
r25j	55.85	52.39	47.48	70.7	42
r50j	65.45	35.22	58.37	68.17	59
r75j	75.19	17.82	69.41	71.66	76
j00g	87.03	-3.34	82.83	82.9	92
j25g	80.72	-25.0	69.5	73.86	110
j50g	70.64	-39.53	51.97	65.3	127
j75g	61.93	-52.09	36.83	63.8	145
g00b	52.8	-65.27	20.93	68.56	162
g25b	55.7	-49.57	-8.38	50.28	190
g50b	57.82	-38.39	-28.91	48.07	217
g75b	55.5	-22.04	-45.94	50.97	244
b00r	41.6	1.37	-45.0	45.03	272
b25r	29.0	25.08	-43.12	49.89	300
b50r	38.04	46.53	-28.38	54.51	329
b75r	49.48	72.88	-3.75	72.98	357



Ein und Ausgabe: Farbmetrisches Drucker-Reflektiv-System ORS19_96a für relativen CIELAB-Buntton $h^* = lab^*h^* = h_{ab}/360 = 272/360 = 0.755$ $u^* = b00r$

Daten für jede Farbe:

lab^*ch^* und lab^*icu^*

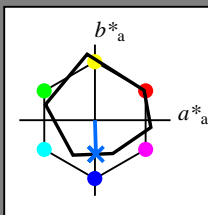
Elementar-Bunttontext:

$u^* = b00r$

Kontrastreduzierungsfaktor:

$c_R = 1.0$

Dreiecks-Helligkeit i^*



ORS19_96a; adaptierte CIELAB-Daten

	$L^*=L^*_a$	a^*_a	b^*_a	$C^*_{ab,a}$	$h^*_{ab,a}$
O _{Ma}	48.75	65.07	39.43	76.08	31
Y _{Ma}	90.92	-10.28	87.24	87.85	97
L _{Ma}	52.69	-65.43	20.75	68.65	162
C _{Ma}	59.61	-28.97	-46.21	54.56	238
V _{Ma}	28.39	23.63	-44.12	50.06	298
M _{Ma}	49.58	73.93	-9.55	74.55	353
N _{Ma}	18.89	0.0	0.0	0.0	0
W _{Ma}	96.9	0.0	0.0	0.0	0
R _{CIE}	39.92	58.74	27.99	65.07	25
J _{CIE}	81.26	-2.88	71.56	71.62	92
G _{CIE}	52.23	-42.41	13.6	44.55	162
B _{CIE}	30.57	1.41	-46.46	46.49	272

Daten für Maximalfarbe (Ma):

$LAB^*LAB^*_{Ma}$: 42 1 -44

$LAB^*LCH^*_{Ma}$: 42 45 272

$lab^*rgb^*_{Ma}$: 0.0 0.0 1.0

$lab^*olv^*_{Ma}$: 0.0 0.42 1.0

Dreiecks-Helligkeit i^*

%Umfang

$u^*_{rel} = 89$

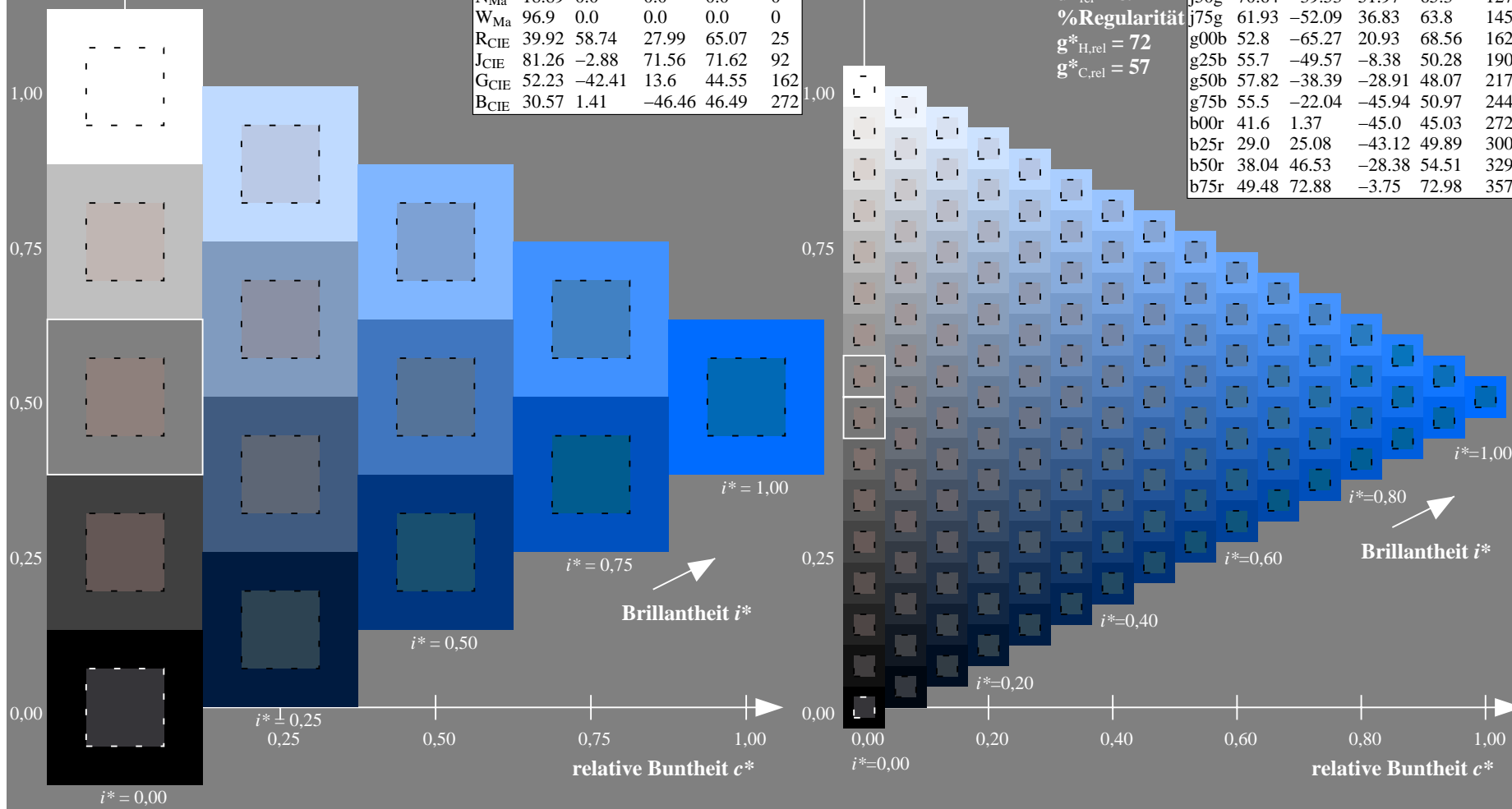
%Regularität

$g^*_{H,rel} = 72$

$g^*_{C,rel} = 57$

ORS19_96a; adaptierte CIELAB-Daten

	$L^*=L^*_a$	a^*_a	b^*_a	$C^*_{ab,a}$	$h^*_{ab,a}$
r00j	48.88	66.47	31.67	73.63	25
r25j	55.85	52.39	47.48	70.7	42
r50j	65.45	35.22	58.37	68.17	59
r75j	75.19	17.82	69.41	71.66	76
j00g	87.03	-3.34	82.83	82.9	92
j25g	80.72	-25.0	69.5	73.86	110
j50g	70.64	-39.53	51.97	65.3	127
j75g	61.93	-52.09	36.83	63.8	145
g00b	52.8	-65.27	20.93	68.56	162
g25b	55.7	-49.57	-8.38	50.28	190
g50b	57.82	-38.39	-28.91	48.07	217
g75b	55.5	-22.04	-45.94	50.97	244
b00r	41.6	1.37	-45.0	45.03	272
b25r	29.0	25.08	-43.12	49.89	300
b50r	38.04	46.53	-28.38	54.51	329
b75r	49.48	72.88	-3.75	72.98	357



Ein und Ausgabe: Farbmétrisches Drucker-Reflektiv-System ORS19_96a für relativen CIELAB-Buntton $h^* = lab^*h^* = h_{ab}/360 = 300/360 = 0.834$ $u^* = b25r$

Daten für jede Farbe:

lab^*ch^* und lab^*icu^*

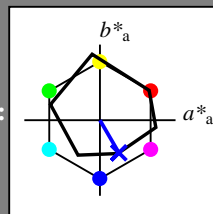
Elementar-Bunttontext:

$u^* = b25r$

Kontrastreduzierungsfaktor:

$c_R = 1.0$

Dreiecks-Helligkeit i^*



ORS19_96a; adaptierte CIELAB-Daten

	$L^*=L^*_a$	a^*_a	b^*_a	$C^*_{ab,a}$	$h^*_{ab,a}$
O _{Ma}	48.75	65.07	39.43	76.08	31
Y _{Ma}	90.92	-10.28	87.24	87.85	97
L _{Ma}	52.69	-65.43	20.75	68.65	162
C _{Ma}	59.61	-28.97	-46.21	54.56	238
V _{Ma}	28.39	23.63	-44.12	50.06	298
M _{Ma}	49.58	73.93	-9.55	74.55	353
N _{Ma}	18.89	0.0	0.0	0.0	0
W _{Ma}	96.9	0.0	0.0	0.0	0
R _{CIE}	39.92	58.74	27.99	65.07	25
J _{CIE}	81.26	-2.88	71.56	71.62	92
G _{CIE}	52.23	-42.41	13.6	44.55	162
B _{CIE}	30.57	1.41	-46.46	46.49	272

Daten für Maximalfarbe (Ma):

$LAB^*LAB^*_{Ma}$: 29 25 -42

$LAB^*LCH^*_{Ma}$: 29 50 300

$lab^*rgb^*_{Ma}$: 0.5 0.0 1.0

$lab^*olv^*_{Ma}$: 0.03 0.0 1.0

Dreiecks-Helligkeit i^*

%Umfang

$u^*_{rel} = 89$

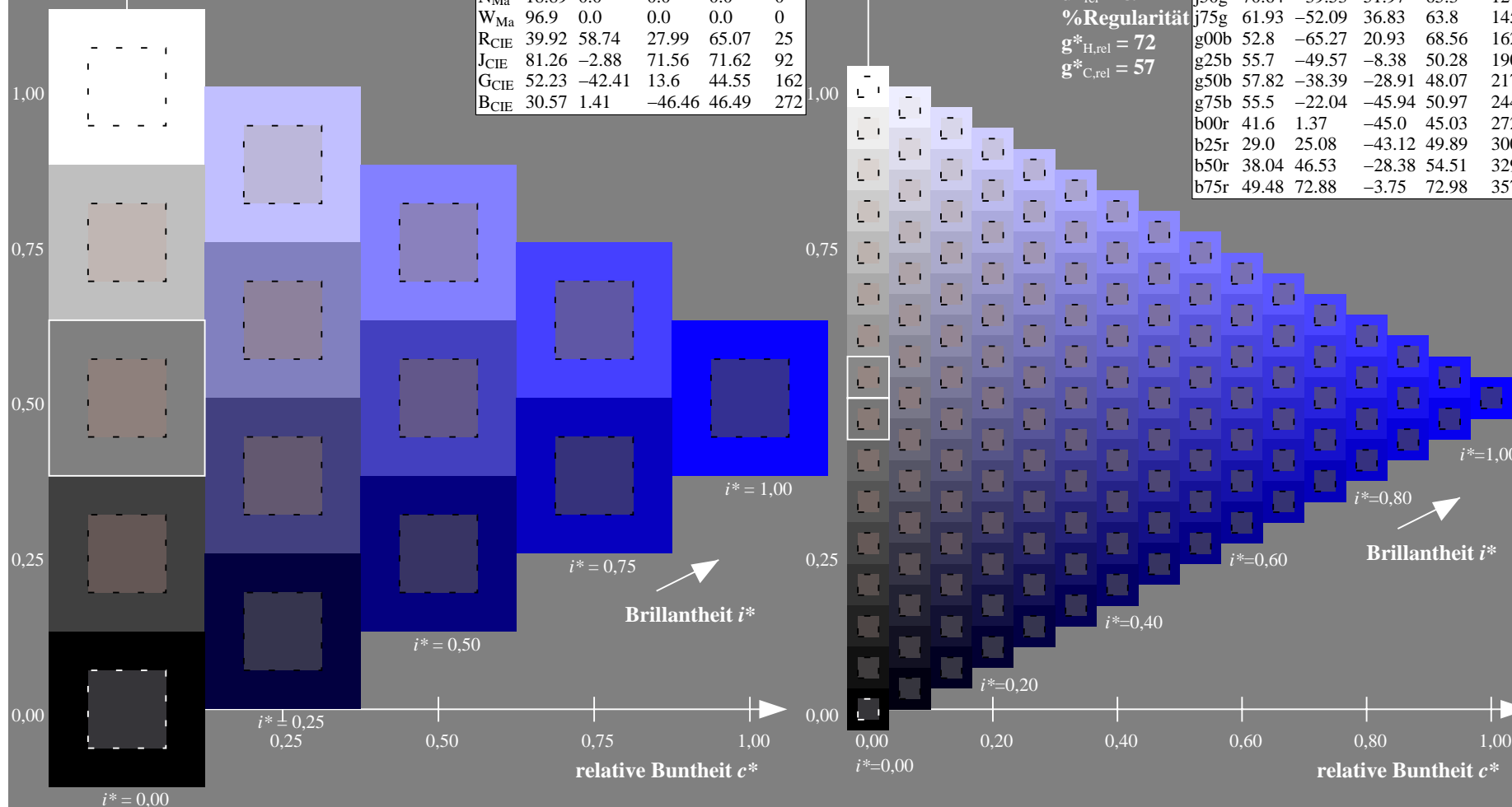
%Regularität

$g^*_{H,rel} = 72$

$g^*_{C,rel} = 57$

ORS19_96a; adaptierte CIELAB-Daten

	$L^*=L^*_a$	a^*_a	b^*_a	$C^*_{ab,a}$	$h^*_{ab,a}$
r00j	48.88	66.47	31.67	73.63	25
r25j	55.85	52.39	47.48	70.7	42
r50j	65.45	35.22	58.37	68.17	59
r75j	75.19	17.82	69.41	71.66	76
j00g	87.03	-3.34	82.83	82.9	92
j25g	80.72	-25.0	69.5	73.86	110
j50g	70.64	-39.53	51.97	65.3	127
j75g	61.93	-52.09	36.83	63.8	145
g00b	52.8	-65.27	20.93	68.56	162
g25b	55.7	-49.57	-8.38	50.28	190
g50b	57.82	-38.39	-28.91	48.07	217
g75b	55.5	-22.04	-45.94	50.97	244
b00r	41.6	1.37	-45.0	45.03	272
b25r	29.0	25.08	-43.12	49.89	300
b50r	38.04	46.53	-28.38	54.51	329
b75r	49.48	72.88	-3.75	72.98	357



Ein und Ausgabe: Farbmetrisches Drucker-Reflektiv-System ORS19_96a für relativen CIELAB-Buntton $h^* = lab^*h^* = h_{ab}/360 = 329/360 = 0.913$ $u^* = b50r$

Daten für jede Farbe:

lab^*ch^* und lab^*icu^*

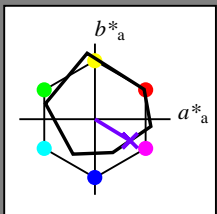
Elementar-Bunttontext:

$u^* = b50r$

Kontrastreduzierungsfaktor:

$c_R = 1.0$

Dreiecks-Helligkeit t^*



ORS19_96a; adaptierte CIELAB-Daten

	$L^*=L^*_a$	a^*_a	b^*_a	$C^*_{ab,a}$	$h^*_{ab,a}$
O _{Ma}	48.75	65.07	39.43	76.08	31
Y _{Ma}	90.92	-10.28	87.24	87.85	97
L _{Ma}	52.69	-65.43	20.75	68.65	162
C _{Ma}	59.61	-28.97	-46.21	54.56	238
V _{Ma}	28.39	23.63	-44.12	50.06	298
M _{Ma}	49.58	73.93	-9.55	74.55	353
N _{Ma}	18.89	0.0	0.0	0.0	0
W _{Ma}	96.9	0.0	0.0	0.0	0
R _{CIE}	39.92	58.74	27.99	65.07	25
J _{CIE}	81.26	-2.88	71.56	71.62	92
G _{CIE}	52.23	-42.41	13.6	44.55	162
B _{CIE}	30.57	1.41	-46.46	46.49	272

Daten für Maximalfarbe (Ma):

$LAB^*LAB^*_{Ma}$: 38 47 -27

$LAB^*LCH^*_{Ma}$: 38 55 329

$lab^*rgb^*_{Ma}$: 1.0 0.0 1.0

$lab^*olv^*_{Ma}$: 0.46 0.0 1.0

Dreiecks-Helligkeit t^*

%Umfang

$u^*_{rel} = 89$

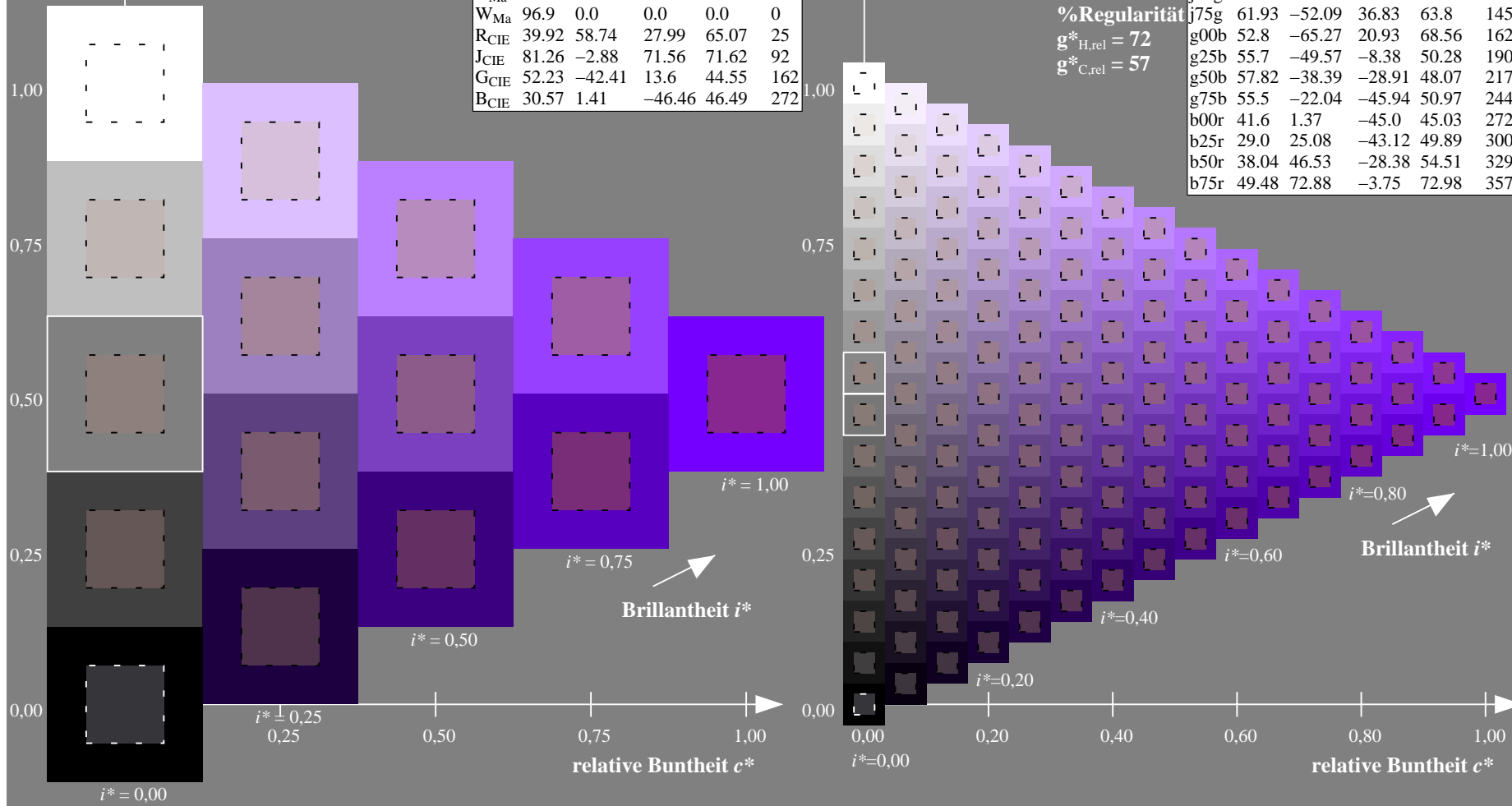
%Regularität

$g^*_{H,rel} = 72$

$g^*_{C,rel} = 57$

ORS19_96a; adaptierte CIELAB-Daten

	$L^*=L^*_a$	a^*_a	b^*_a	$C^*_{ab,a}$	$h^*_{ab,a}$
r00j	48.88	66.47	31.67	73.63	25
r25j	55.85	52.39	47.48	70.7	42
r50j	65.45	35.22	58.37	68.17	59
r75j	75.19	17.82	69.41	71.66	76
j00g	87.03	-3.34	82.83	82.9	92
j25g	80.72	-25.0	69.5	73.86	110
j50g	70.64	-39.53	51.97	65.3	127
j75g	61.93	-52.09	36.83	63.8	145
g00b	52.8	-65.27	20.93	68.56	162
g25b	55.7	-49.57	-8.38	50.28	190
g50b	57.82	-38.39	-28.91	48.07	217
g75b	55.5	-22.04	-45.94	50.97	244
b00r	41.6	1.37	-45.0	45.03	272
b25r	29.0	25.08	-43.12	49.89	300
b50r	38.04	46.53	-28.38	54.51	329
b75r	49.48	72.88	-3.75	72.98	357



Ein und Ausgabe: Farbmetrisches Drucker-Reflektiv-System ORS19_96a für relativen CIELAB-Buntton $h^* = lab^*h^* = h_{ab}/360 = 357/360 = 0.992$ $u^* = b75r$

Daten für jede Farbe:

lab^*ch^* und lab^*icu^*

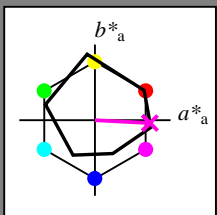
Elementar-Bunttontext:

$u^* = b75r$

Kontrastreduzierungsfaktor:

$c_R = 1.0$

Dreiecks-Helligkeit t^*



ORS19_96a; adaptierte CIELAB-Daten					
	$L^*=L^*_a$	a^*_a	b^*_a	$C^*_{ab,a}$	$h^*_{ab,a}$
O _{Ma}	48.75	65.07	39.43	76.08	31
Y _{Ma}	90.92	-10.28	87.24	87.85	97
L _{Ma}	52.69	-65.43	20.75	68.65	162
C _{Ma}	59.61	-28.97	-46.21	54.56	238
V _{Ma}	28.39	23.63	-44.12	50.06	298
M _{Ma}	49.58	73.93	-9.55	74.55	353
N _{Ma}	18.89	0.0	0.0	0.0	0
W _{Ma}	96.9	0.0	0.0	0.0	0
R _{CIE}	39.92	58.74	27.99	65.07	25
J _{CIE}	81.26	-2.88	71.56	71.62	92
G _{CIE}	52.23	-42.41	13.6	44.55	162
B _{CIE}	30.57	1.41	-46.46	46.49	272

Daten für Maximalfarbe (Ma):

$LAB^*LAB^*_{Ma}$: 49 73 -3

$LAB^*LCH^*_{Ma}$: 49 73 357

$lab^*rgb^*_{Ma}$: 1.0 0.0 0.5

$lab^*olv^*_{Ma}$: 1.0 0.0 0.88

Dreiecks-Helligkeit t^*

%Umfang

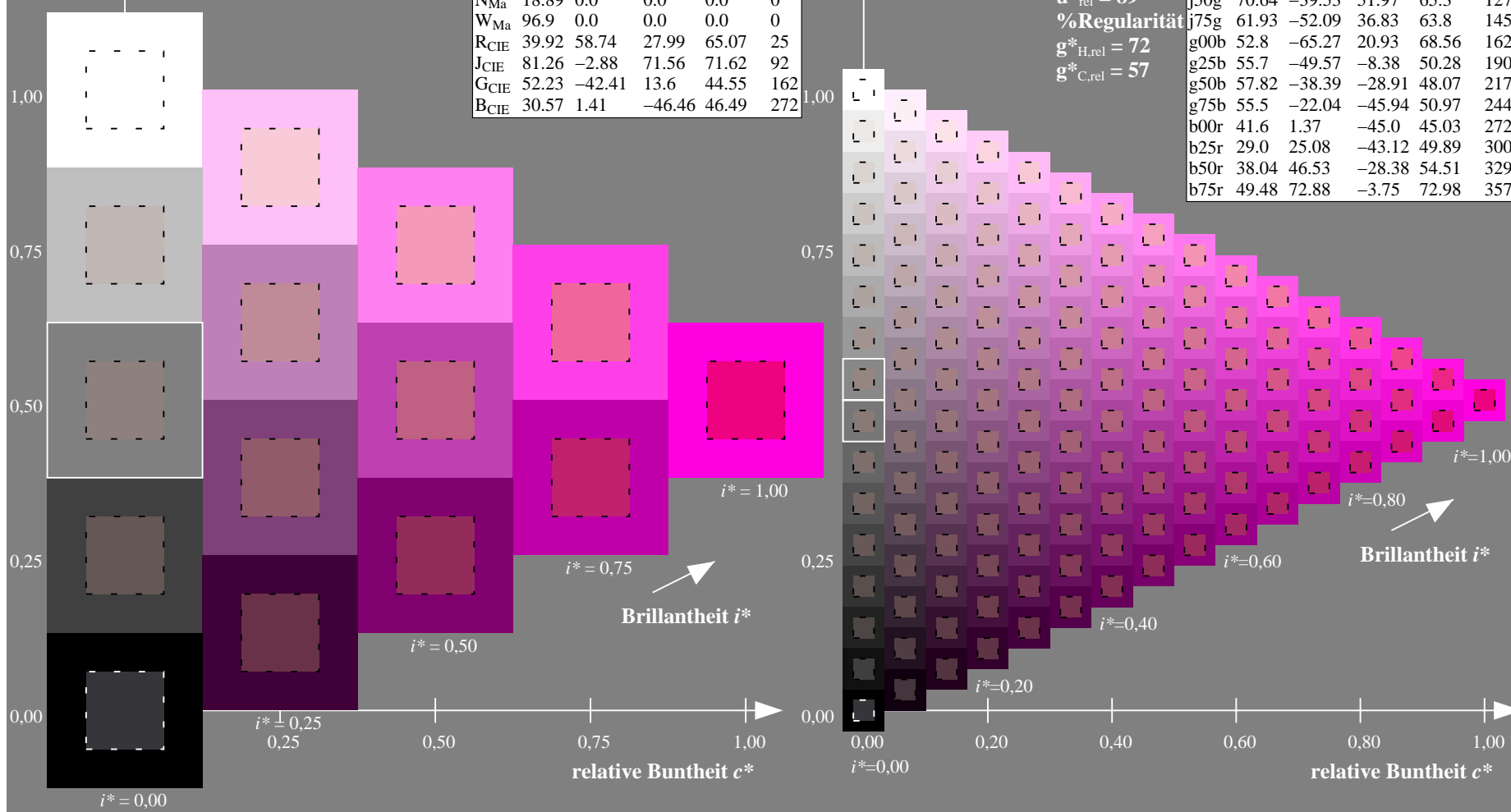
$u^*_{rel} = 89$

%Regularität

$g^*_{H,rel} = 72$

$g^*_{C,rel} = 57$

ORS19_96a; adaptierte CIELAB-Daten					
	$L^*=L^*_a$	a^*_a	b^*_a	$C^*_{ab,a}$	$h^*_{ab,a}$
r00j	48.88	66.47	31.67	73.63	25
r25j	55.85	52.39	47.48	70.7	42
r50j	65.45	35.22	58.37	68.17	59
r75j	75.19	17.82	69.41	71.66	76
j00g	87.03	-3.34	82.83	82.9	92
j25g	80.72	-25.0	69.5	73.86	110
j50g	70.64	-39.53	51.97	65.3	127
j75g	61.93	-52.09	36.83	63.8	145
g00b	52.8	-65.27	20.93	68.56	162
g25b	55.7	-49.57	-8.38	50.28	190
g50b	57.82	-38.39	-28.91	48.07	217
g75b	55.5	-22.04	-45.94	50.97	244
b00r	41.6	1.37	-45.0	45.03	272
b25r	29.0	25.08	-43.12	49.89	300
b50r	38.04	46.53	-28.38	54.51	329
b75r	49.48	72.88	-3.75	72.98	357

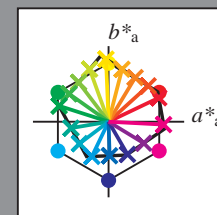


Siehe ähnliche Dateien: <http://www.ps.bam.de/Dg98/>; www.ps.bam.de/Dg98/HTM
Technische Information: <http://www.ps.bam.de> Version 2.1, io=1,1, ColSpx=1



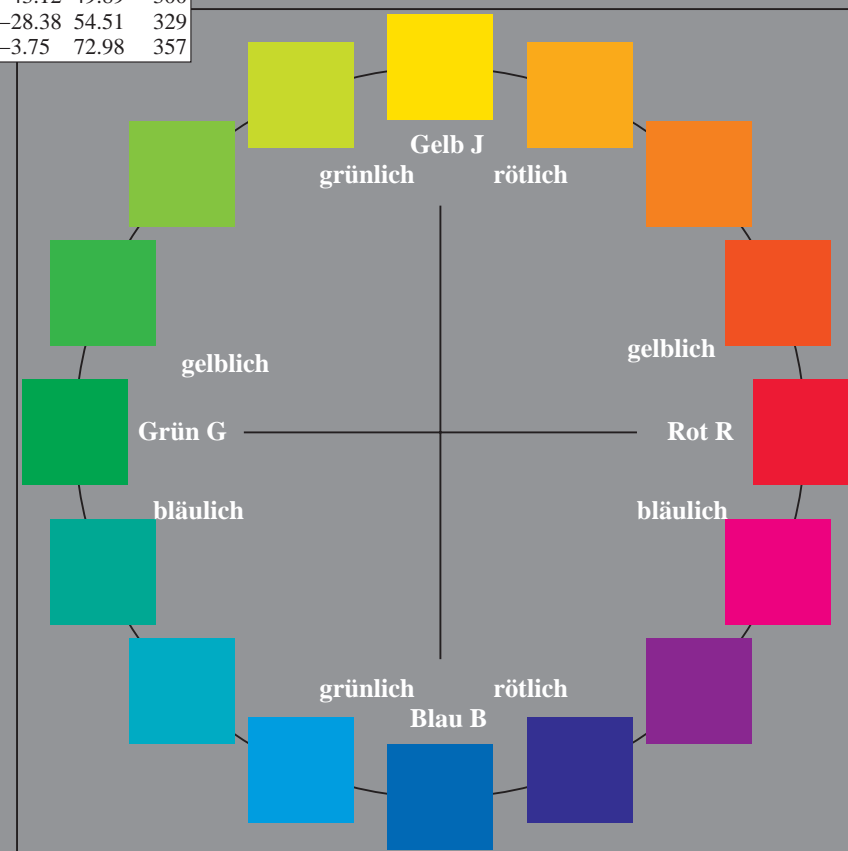
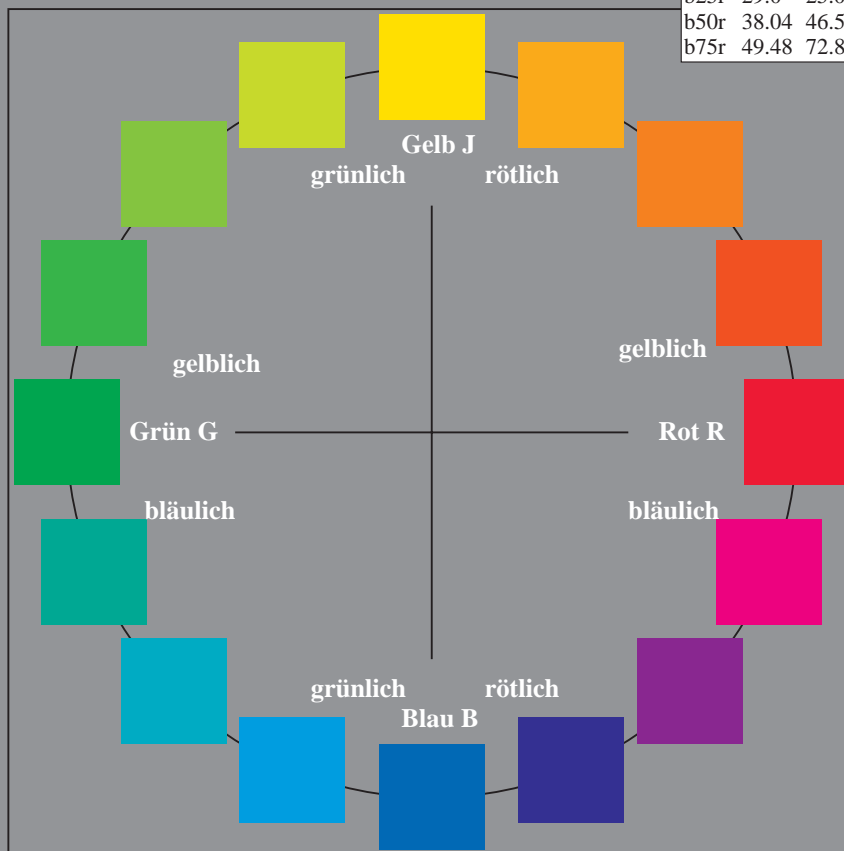
Ein und Ausgabe:
Farbmetrisches Drucker-Reflektiv-System ORS19_96a
Daten für jede Farbe:
 $lab^{*}ch^{*}$ und $lab^{*}icu^{*}$
Elementar-Bunttontext:
 $u^{*} = 16$ Bunttöne $r00j$, $r25j$, ..., $b75r$
Kontrastreduzierungsfaktor:
 $c_R = 1.0$

ORS19_96a; adaptierte CIELAB-Daten					
	$L^{*}=L^{*}_a$	a^{*}_a	b^{*}_a	$C^{*}_{ab,a}$	$h^{*}_{ab,a}$
r00j	48.88	66.47	31.67	73.63	25
r25j	55.85	52.39	47.48	70.7	42
r50j	65.45	35.22	58.37	68.17	59
r75j	75.19	17.82	69.41	71.66	76
j00g	87.03	-3.34	82.83	82.9	92
j25g	80.72	-25.0	69.5	73.86	110
j50g	70.64	-39.53	51.97	65.3	127
j75g	61.93	-52.09	36.83	63.8	145
g00b	52.8	-65.27	20.93	68.56	162
g25b	55.7	-49.57	-8.38	50.28	190
g50b	57.82	-38.39	-28.91	48.07	217
g75b	55.5	-22.04	-45.94	50.97	244
b00r	41.6	1.37	-45.0	45.03	272
b25r	29.0	25.08	-43.12	49.89	300
b50r	38.04	46.53	-28.38	54.51	329
b75r	49.48	72.88	-3.75	72.98	357



%Umfang
 $u^{*}_{rel} = 89$
%Regularität
 $g^{*}_{H,rel} = 72$
 $g^{*}_{C,rel} = 57$

ORS19_96a; adaptierte CIELAB-Daten					
	$L^{*}=L^{*}_a$	a^{*}_a	b^{*}_a	$C^{*}_{ab,a}$	$h^{*}_{ab,a}$
OMa	48.75	65.07	39.43	76.08	31
YMa	90.92	-10.28	87.24	87.85	97
LMa	52.69	-65.43	20.75	68.65	162
CMa	59.61	-28.97	-46.21	54.56	238
VMa	28.39	23.63	-44.12	50.06	298
MMa	49.58	73.93	-9.55	74.55	353
NMa	18.89	0.0	0.0	0.0	0
WMa	96.9	0.0	0.0	0.0	0
RCIE	39.92	58.74	27.99	65.07	25
JCIE	81.26	-2.88	71.56	71.62	92
GCIE	52.23	-42.41	13.6	44.55	162
BCIE	30.57	1.41	-46.46	46.49	272



Ein und Ausgabe: Farbmetrisches Drucker-Reflektiv-System ORS19_96a für relativen CIELAB-Buntton $h^* = lab^*h^* = h_{ab}/360 = 25/360 = 0.071$ $u^* = r00j$

Daten für jede Farbe:

lab^*ch^* und lab^*icu^*

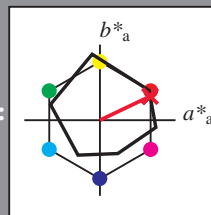
Elementar-Bunttontext:

$u^* = r00j$

Kontrastreduzierungsfaktor:

$c_R = 1.0$

Dreiecks-Helligkeit t^*



ORS19_96a; adaptierte CIELAB-Daten

	$L^* = \bar{L}^*_a$	a^*_a	b^*_a	$C^*_{ab,a}$	$h^*_{ab,a}$
O _{Ma}	48.75	65.07	39.43	76.08	31
Y _{Ma}	90.92	-10.28	87.24	87.85	97
L _{Ma}	52.69	-65.43	20.75	68.65	162
C _{Ma}	59.61	-28.97	-46.21	54.56	238
V _{Ma}	28.39	23.63	-44.12	50.06	298
M _{Ma}	49.58	73.93	-9.55	74.55	353
N _{Ma}	18.89	0.0	0.0	0.0	0
W _{Ma}	96.9	0.0	0.0	0.0	0
R _{CIE}	39.92	58.74	27.99	65.07	25
J _{CIE}	81.26	-2.88	71.56	71.62	92
G _{CIE}	52.23	-42.41	13.6	44.55	162
B _{CIE}	30.57	1.41	-46.46	46.49	272

Daten für Maximalfarbe (Ma):

$LAB^*LAB^*_{Ma}$: 49 66 32

$LAB^*LCH^*_{Ma}$: 49 74 25

$lab^*rgb^*_{Ma}$: 1.0 0.0 0.0

$lab^*olv^*_{Ma}$: 1.0 0.0 0.16

Dreiecks-Helligkeit t^*

%Umfang

$u^*_{rel} = 89$

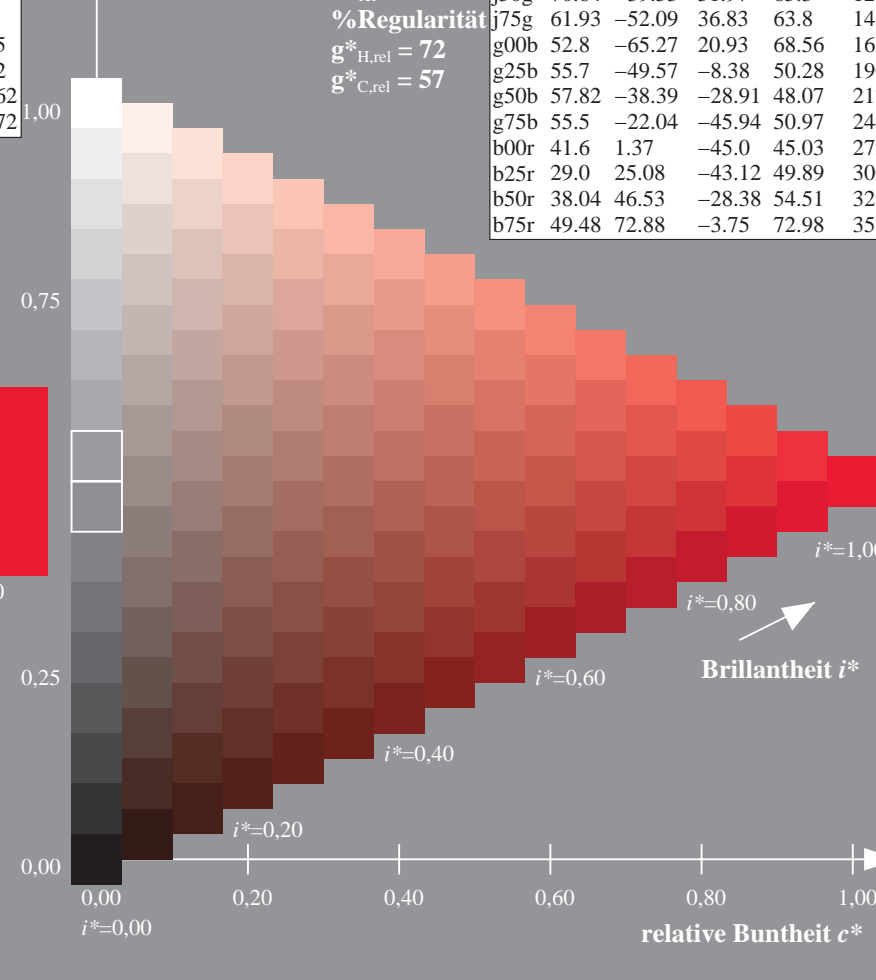
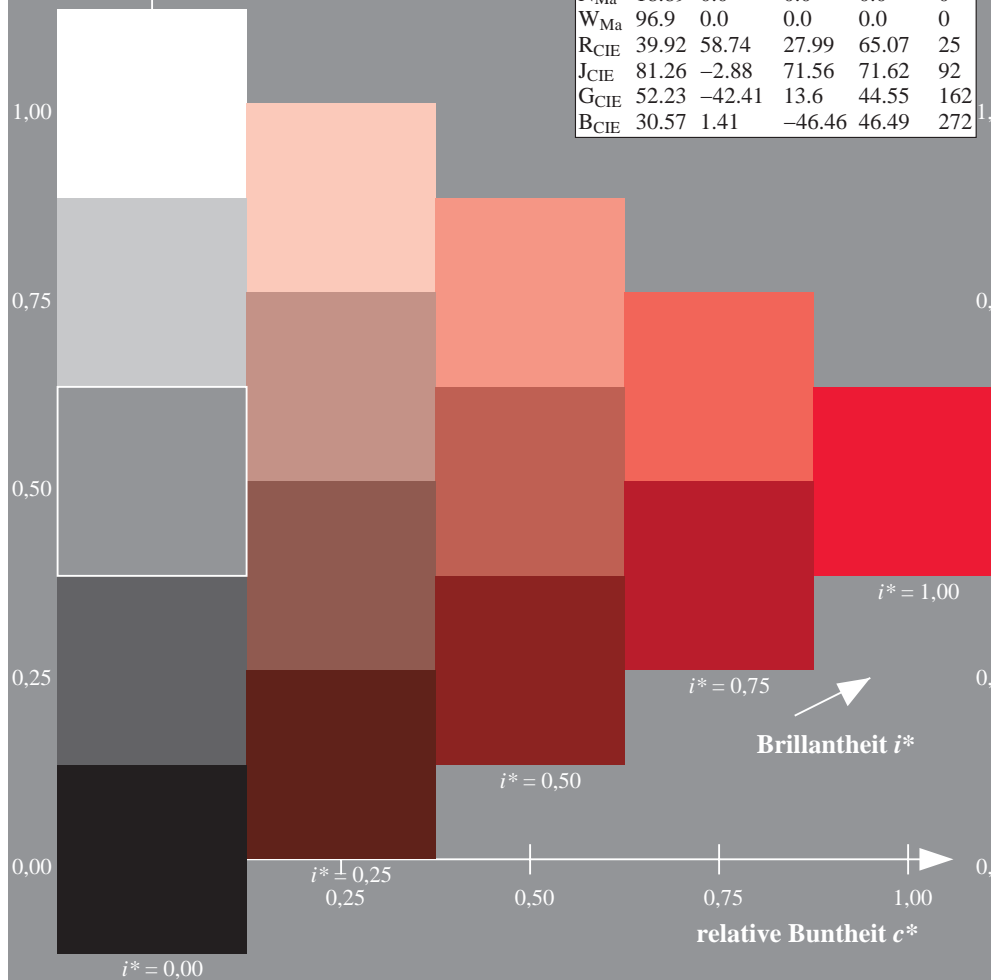
%Regularität

$g^*_{H,rel} = 72$

$g^*_{C,rel} = 57$

ORS19_96a; adaptierte CIELAB-Daten

	$L^* = \bar{L}^*_a$	a^*_a	b^*_a	$C^*_{ab,a}$	$h^*_{ab,a}$
r00j	48.88	66.47	31.67	73.63	25
r25j	55.85	52.39	47.48	70.7	42
r50j	65.45	35.22	58.37	68.17	59
r75j	75.19	17.82	69.41	71.66	76
j00g	87.03	-3.34	82.83	82.9	92
j25g	80.72	-25.0	69.5	73.86	110
j50g	70.64	-39.53	51.97	65.3	127
j75g	61.93	-52.09	36.83	63.8	145
g00b	52.8	-65.27	20.93	68.56	162
g25b	55.7	-49.57	-8.38	50.28	190
g50b	57.82	-38.39	-28.91	48.07	217
g75b	55.5	-22.04	-45.94	50.97	244
b00r	41.6	1.37	-45.0	45.03	272
b25r	29.0	25.08	-43.12	49.89	300
b50r	38.04	46.53	-28.38	54.51	329
b75r	49.48	72.88	-3.75	72.98	357



Daten für jede Farbe:

*lab*tch** und *lab*icu**

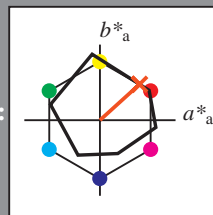
Elementar-Bunttontext:

$$u^* = r25j$$

Kontrastreduzierungsfaktor:

$$c_R = 1.0$$

Dreiecks-Helligkeit t^*



ORS19 96a; adaptierte CIELAB-Daten					
	$L^*-\bar{L}^*_a$	a^*_a	b^*_a	$C^*_{ab,a}$	$h^*_{ab,a}$
O _{Ma}	48.75	65.07	39.43	76.08	31
Y _{Ma}	90.92	-10.28	87.24	87.85	97
L _{Ma}	52.69	-65.43	20.75	68.65	162
C _{Ma}	59.61	-28.97	-46.21	54.56	238
V _{Ma}	28.39	23.63	-44.12	50.06	298
M _{Ma}	49.58	73.93	-9.55	74.55	353
N _{Ma}	18.89	0.0	0.0	0.0	0
W _{Ma}	96.9	0.0	0.0	0.0	0
R _{CIE}	39.92	58.74	27.99	65.07	25
J _{CIE}	81.26	-2.88	71.56	71.62	92
G _{CIE}	52.23	-42.41	13.6	44.55	162
B _{CIE}	30.57	1.41	-46.46	46.49	272

Daten für Maximalfarbe (Ma):

*LAB*LAB*Me*: 56 52 47

LAD*LCU* = 56 71 42

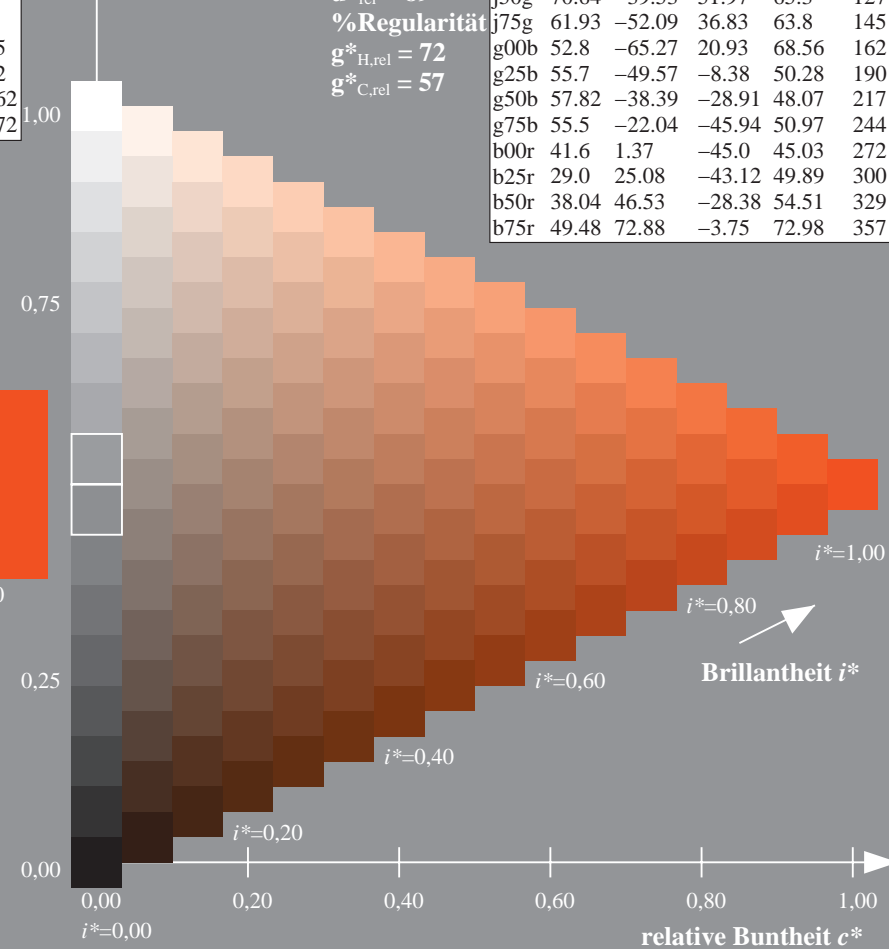
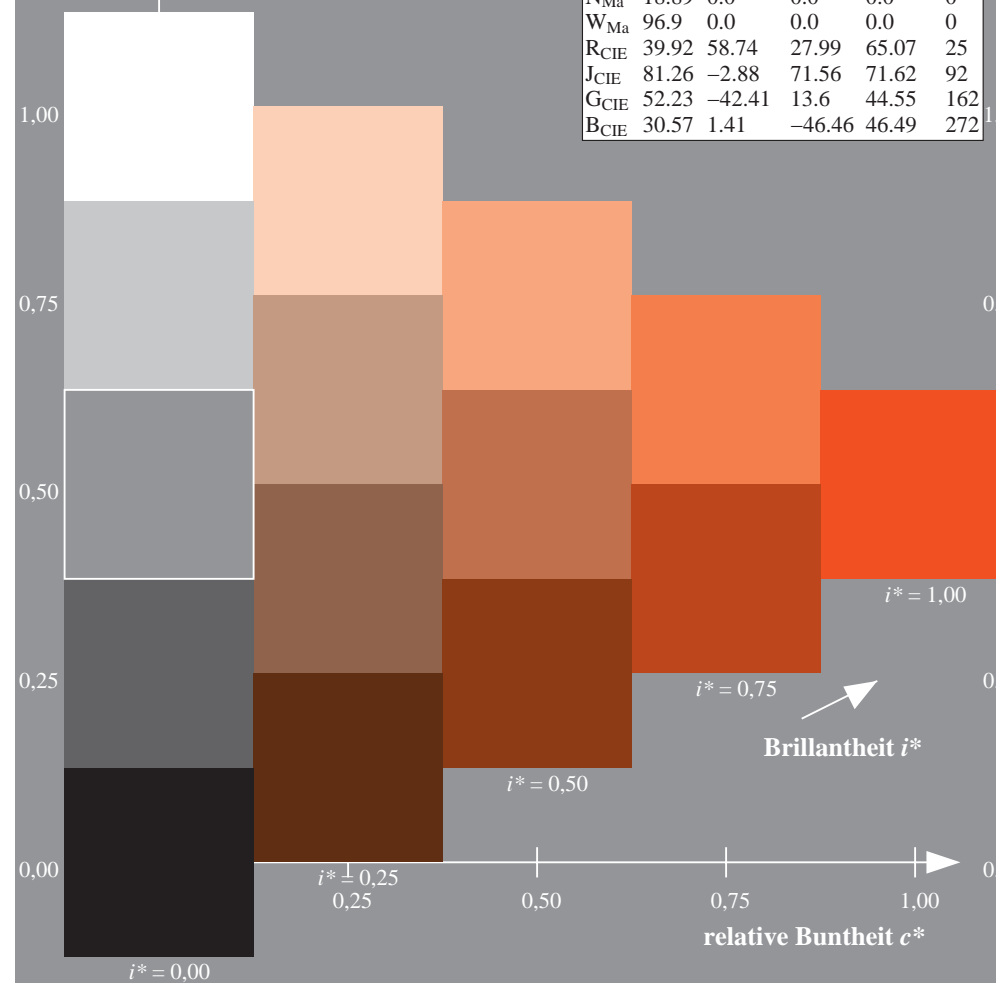
LAB*LCH*Ma: 56 71 42

*lab*rgb*_Ma: 1.0 0.25 0.0*

*lab*olv**_{Ma}: 1.0 0.17 0.0

Dreiecks-Helligkeit t^*

ORS19_96a; adaptierte CIELAB-Daten					
	L^*_a	a^*_a	b^*_a	$C^*_{ab,a}$	$h^*_{ab,a}$
r00j	48.88	66.47	31.67	73.63	25.0
r25j	55.85	52.39	47.48	70.7	42.0
r50j	65.45	35.22	58.37	68.17	59.0
r75j	75.19	17.82	69.41	71.66	76.0
j00g	87.03	-3.34	82.83	82.9	92.0
j25g	80.72	-25.0	69.5	73.86	110.0
j50g	70.64	-39.53	51.97	65.3	127.0
j75g	61.93	-52.09	36.83	63.8	145.0
g00b	52.8	-65.27	20.93	68.56	162.0
g25b	55.7	-49.57	-8.38	50.28	190.0
g50b	57.82	-38.39	-28.91	48.07	217.0
g75b	55.5	-22.04	-45.94	50.97	244.0
b00r	41.6	1.37	-45.0	45.03	272.0
b25r	29.0	25.08	-43.12	49.89	300.0
b50r	38.04	46.53	-28.38	54.51	329.0
b75r	49.48	72.88	-3.75	72.98	357.0



Ein und Ausgabe: Farbmetrisches Drucker-Reflektiv-System ORS19_96a für relativen CIELAB-Buntton $h^* = lab^*h^* = h_{ab}/360 = 59/360 = 0.164$ $u^* = r50j$

Daten für jede Farbe:

lab^*ch^* und lab^*icu^*

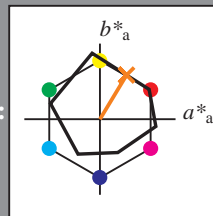
Elementar-Bunttontext:

$u^* = r50j$

Kontrastreduzierungsfaktor:

$c_R = 1.0$

Dreiecks-Helligkeit t^*



ORS19_96a; adaptierte CIELAB-Daten

	$L^* = L^*_a$	a^*_a	b^*_a	$C^*_{ab,a}$	$h^*_{ab,a}$
O _{Ma}	48.75	65.07	39.43	76.08	31
Y _{Ma}	90.92	-10.28	87.24	87.85	97
L _{Ma}	52.69	-65.43	20.75	68.65	162
C _{Ma}	59.61	-28.97	-46.21	54.56	238
V _{Ma}	28.39	23.63	-44.12	50.06	298
M _{Ma}	49.58	73.93	-9.55	74.55	353
N _{Ma}	18.89	0.0	0.0	0.0	0
W _{Ma}	96.9	0.0	0.0	0.0	0
R _{CIE}	39.92	58.74	27.99	65.07	25
J _{CIE}	81.26	-2.88	71.56	71.62	92
G _{CIE}	52.23	-42.41	13.6	44.55	162
B _{CIE}	30.57	1.41	-46.46	46.49	272

Daten für Maximalfarbe (Ma):

$LAB^*LAB^*_{Ma}$: 65 35 58

$LAB^*LCH^*_{Ma}$: 65 68 59

$lab^*rgb^*_{Ma}$: 1.0 0.5 0.0

$lab^*olv^*_{Ma}$: 1.0 0.4 0.0

Dreiecks-Helligkeit t^*

%Umfang

$u^*_{rel} = 89$

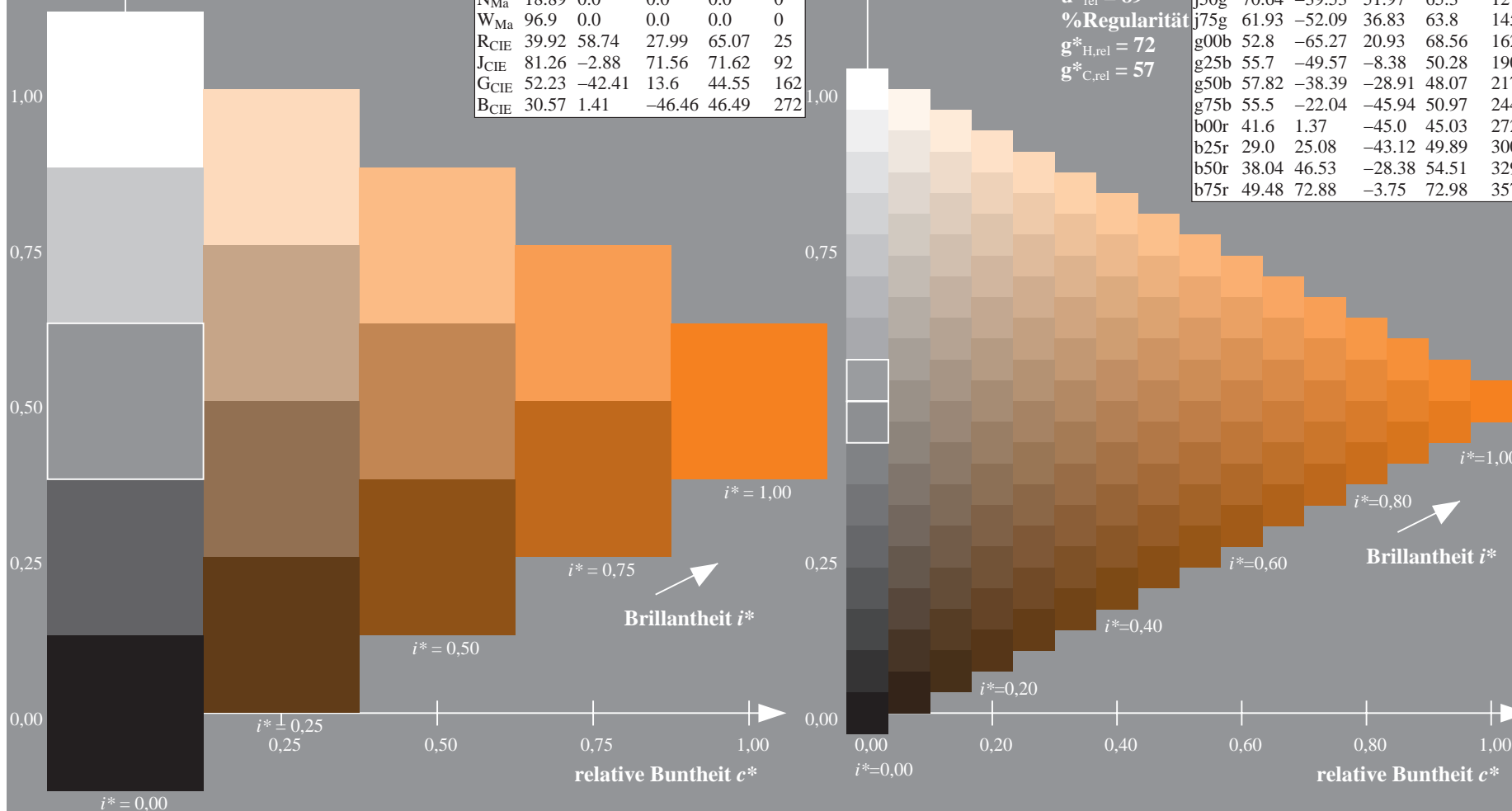
%Regularität

$g^*_{H,rel} = 72$

$g^*_{C,rel} = 57$

ORS19_96a; adaptierte CIELAB-Daten

	$L^* = L^*_a$	a^*_a	b^*_a	$C^*_{ab,a}$	$h^*_{ab,a}$
r00j	48.88	66.47	31.67	73.63	25
r25j	55.85	52.39	47.48	70.7	42
r50j	65.45	35.22	58.37	68.17	59
r75j	75.19	17.82	69.41	71.66	76
j00g	87.03	-3.34	82.83	82.9	92
j25g	80.72	-25.0	69.5	73.86	110
j50g	70.64	-39.53	51.97	65.3	127
j75g	61.93	-52.09	36.83	63.8	145
g00b	52.8	-65.27	20.93	68.56	162
g25b	55.7	-49.57	-8.38	50.28	190
g50b	57.82	-38.39	-28.91	48.07	217
g75b	55.5	-22.04	-45.94	50.97	244
b00r	41.6	1.37	-45.0	45.03	272
b25r	29.0	25.08	-43.12	49.89	300
b50r	38.04	46.53	-28.38	54.51	329
b75r	49.48	72.88	-3.75	72.98	357



Ein und Ausgabe: Farbmetrisches Drucker-Reflektiv-System ORS19_96a für relativen CIELAB-Buntton $h^* = lab^*h^* = h_{ab}/360 = 76/360 = 0.21$ $u^* = r75j$

Daten für jede Farbe:

lab^*ch^* und lab^*icu^*

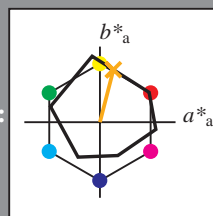
Elementar-Bunttontext:

$u^* = r75j$

Kontrastreduzierungsfaktor:

$c_R = 1.0$

Dreiecks-Helligkeit i^*



ORS19_96a; adaptierte CIELAB-Daten

	$L^*=L^*_a$	a^*_a	b^*_a	$C^*_{ab,a}$	$h^*_{ab,a}$
O _{Ma}	48.75	65.07	39.43	76.08	31
Y _{Ma}	90.92	-10.28	87.24	87.85	97
L _{Ma}	52.69	-65.43	20.75	68.65	162
C _{Ma}	59.61	-28.97	-46.21	54.56	238
V _{Ma}	28.39	23.63	-44.12	50.06	298
M _{Ma}	49.58	73.93	-9.55	74.55	353
N _{Ma}	18.89	0.0	0.0	0.0	0
W _{Ma}	96.9	0.0	0.0	0.0	0
R _{CIE}	39.92	58.74	27.99	65.07	25
J _{CIE}	81.26	-2.88	71.56	71.62	92
G _{CIE}	52.23	-42.41	13.6	44.55	162
B _{CIE}	30.57	1.41	-46.46	46.49	272

Daten für Maximalfarbe (Ma):

$LAB^*LAB^*_{Ma}$: 75 18 69

$LAB^*LCH^*_{Ma}$: 75 72 76

$lab^*rgb^*_{Ma}$: 1.0 0.75 0.0

$lab^*olv^*_{Ma}$: 1.0 0.63 0.0

Dreiecks-Helligkeit i^*

%Umfang

$u^*_{rel} = 89$

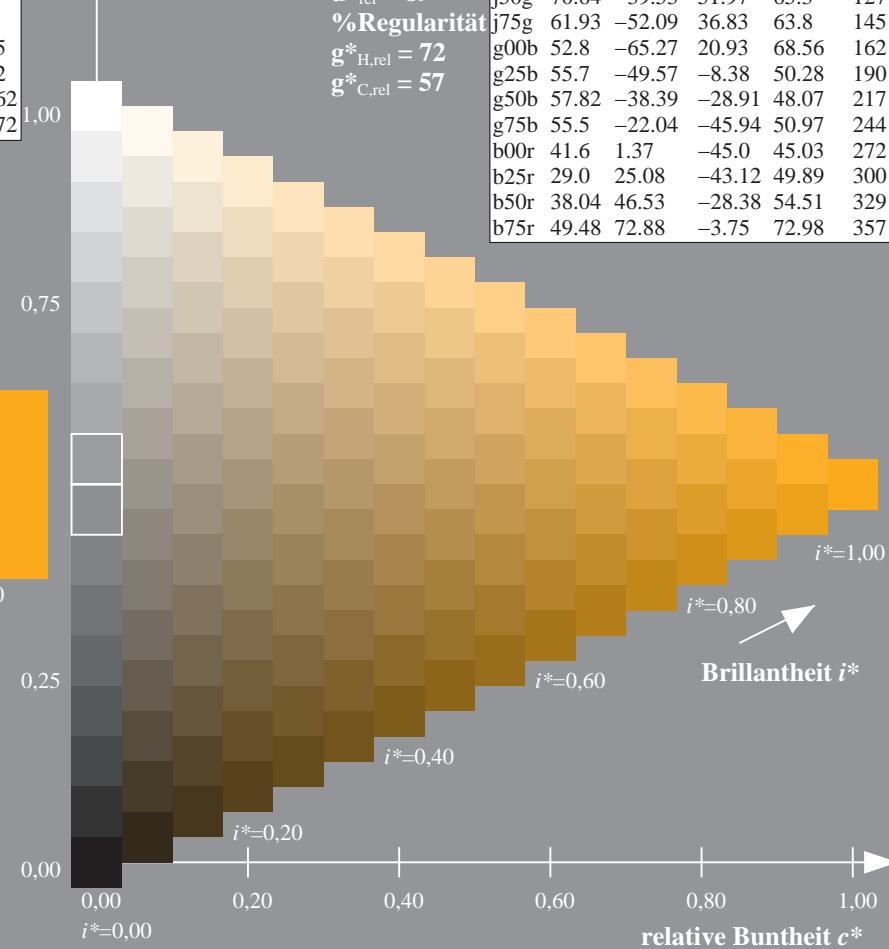
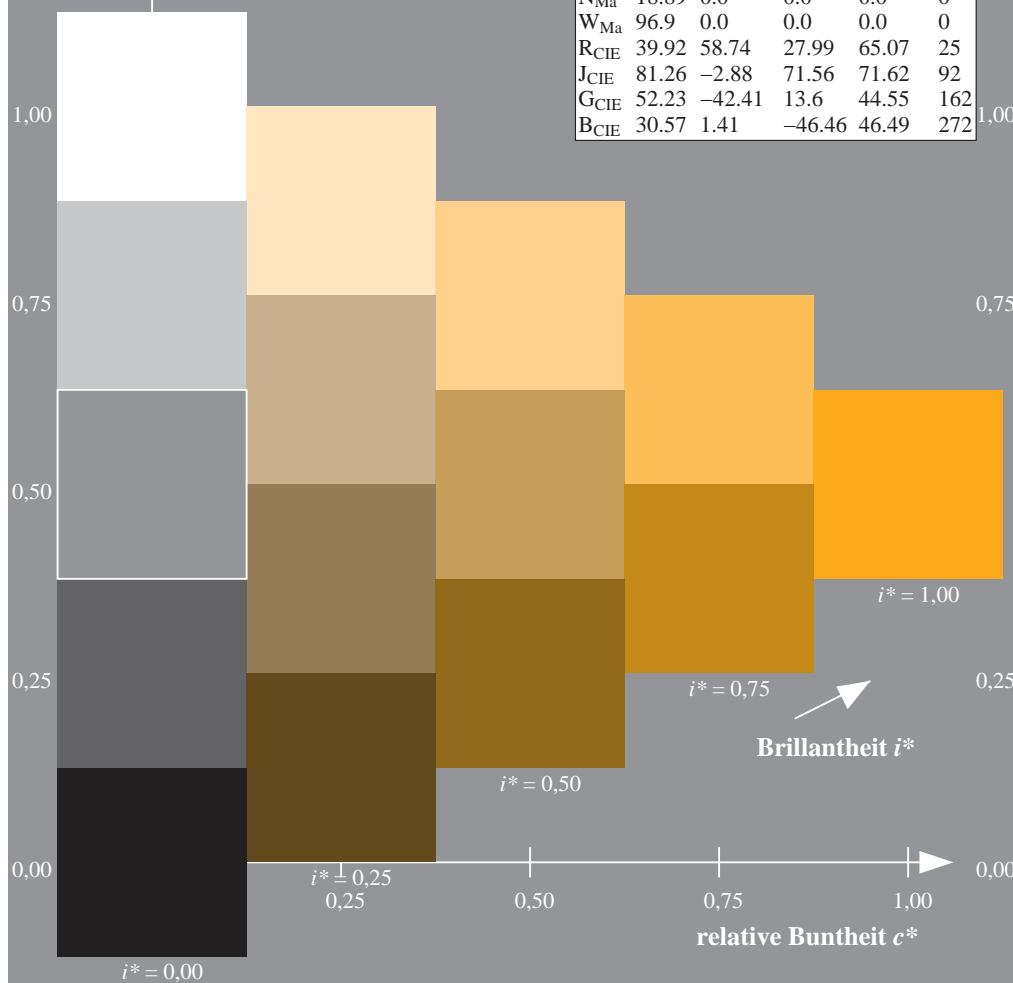
%Regularität

$g^*_{H,rel} = 72$

$g^*_{C,rel} = 57$

ORS19_96a; adaptierte CIELAB-Daten

	$L^*=L^*_a$	a^*_a	b^*_a	$C^*_{ab,a}$	$h^*_{ab,a}$
r00j	48.88	66.47	31.67	73.63	25
r25j	55.85	52.39	47.48	70.7	42
r50j	65.45	35.22	58.37	68.17	59
r75j	75.19	17.82	69.41	71.66	76
j00g	87.03	-3.34	82.83	82.9	92
j25g	80.72	-25.0	69.5	73.86	110
j50g	70.64	-39.53	51.97	65.3	127
j75g	61.93	-52.09	36.83	63.8	145
g00b	52.8	-65.27	20.93	68.56	162
g25b	55.7	-49.57	-8.38	50.28	190
g50b	57.82	-38.39	-28.91	48.07	217
g75b	55.5	-22.04	-45.94	50.97	244
b00r	41.6	1.37	-45.0	45.03	272
b25r	29.0	25.08	-43.12	49.89	300
b50r	38.04	46.53	-28.38	54.51	329
b75r	49.48	72.88	-3.75	72.98	357



Ein und Ausgabe: Farbmetrisches Drucker-Reflektiv-System ORS19_96a für relativen CIELAB-Buntton $h^* = lab^*h^* = h_{ab}/360 = 92/360 = 0.256$ $u^* = j00g$

Daten für jede Farbe:

lab^*ch^* und lab^*icu^*

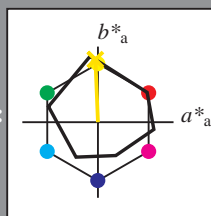
Elementar-Bunttontext:

$u^* = j00g$

Kontrastreduzierungsfaktor:

$c_R = 1.0$

Dreiecks-Helligkeit i^*



ORS19_96a; adaptierte CIELAB-Daten

	$L^* = L^*_a$	a^*_a	b^*_a	$C^*_{ab,a}$	$h^*_{ab,a}$
O _{Ma}	48.75	65.07	39.43	76.08	31
Y _{Ma}	90.92	-10.28	87.24	87.85	97
L _{Ma}	52.69	-65.43	20.75	68.65	162
C _{Ma}	59.61	-28.97	-46.21	54.56	238
V _{Ma}	28.39	23.63	-44.12	50.06	298
M _{Ma}	49.58	73.93	-9.55	74.55	353
N _{Ma}	18.89	0.0	0.0	0.0	0
W _{Ma}	96.9	0.0	0.0	0.0	0
R _{CIE}	39.92	58.74	27.99	65.07	25
J _{CIE}	81.26	-2.88	71.56	71.62	92
G _{CIE}	52.23	-42.41	13.6	44.55	162
B _{CIE}	30.57	1.41	-46.46	46.49	272

Daten für Maximalfarbe (Ma):

$LAB^*LAB^*_{Ma}$: 87 -2 83

$LAB^*LCH^*_{Ma}$: 87 83 92

$lab^*rgb^*_{Ma}$: 1.0 1.0 0.0

$lab^*olv^*_{Ma}$: 1.0 0.91 0.0

Dreiecks-Helligkeit i^*

%Umfang

$u^*_{rel} = 89$

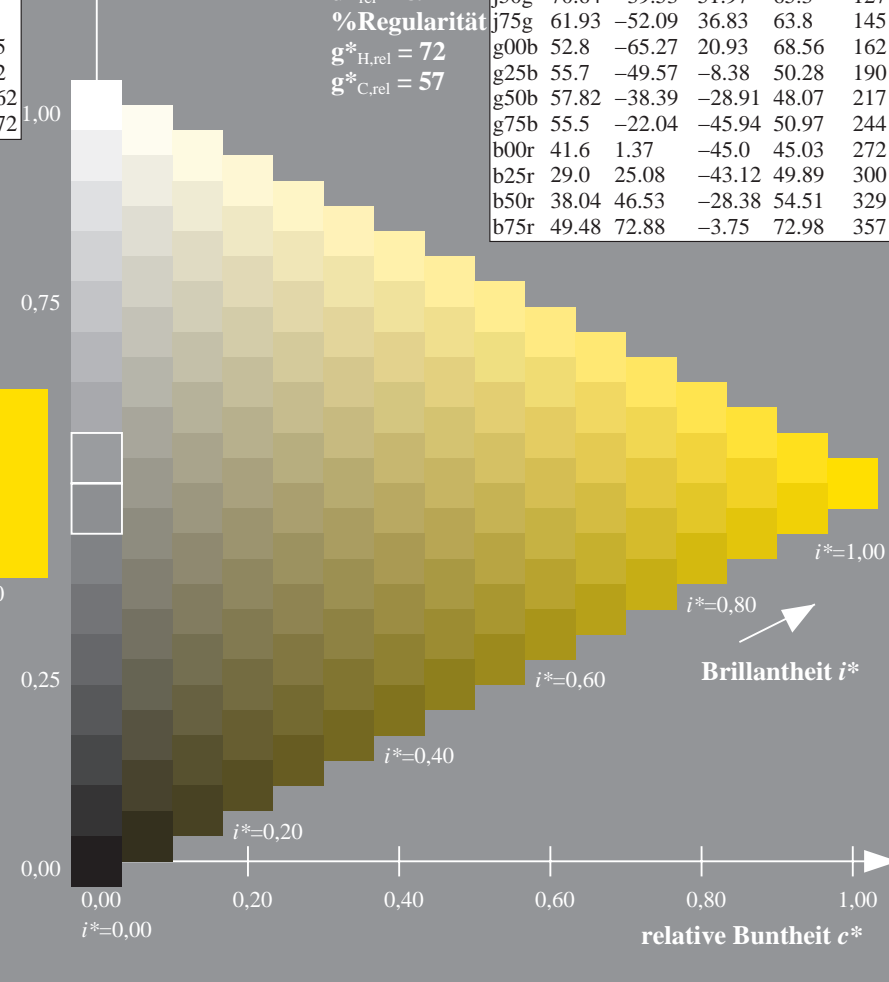
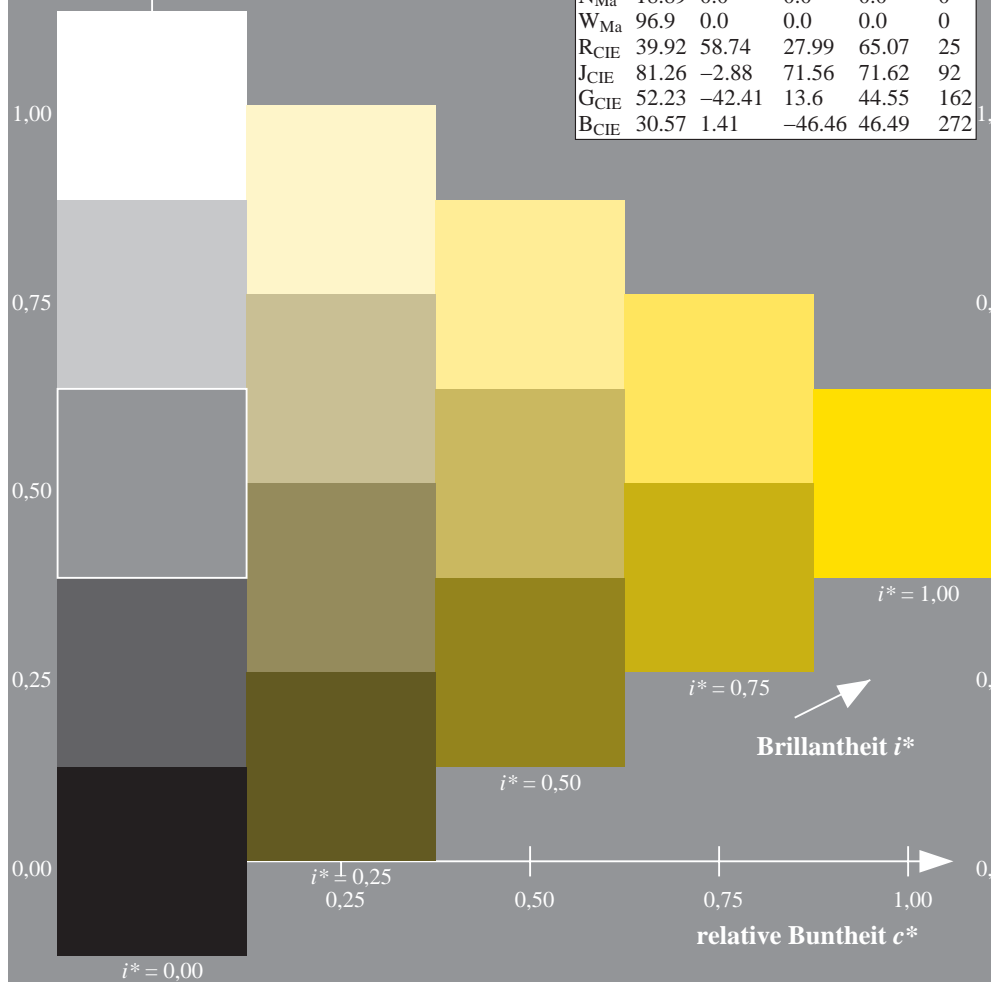
%Regularität

$g^*_{H,rel} = 72$

$g^*_{C,rel} = 57$

ORS19_96a; adaptierte CIELAB-Daten

	$L^* = L^*_a$	a^*_a	b^*_a	$C^*_{ab,a}$	$h^*_{ab,a}$
r00j	48.88	66.47	31.67	73.63	25
r25j	55.85	52.39	47.48	70.7	42
r50j	65.45	35.22	58.37	68.17	59
r75j	75.19	17.82	69.41	71.66	76
j00g	87.03	-3.34	82.83	82.9	92
j25g	80.72	-25.0	69.5	73.86	110
j50g	70.64	-39.53	51.97	65.3	127
j75g	61.93	-52.09	36.83	63.8	145
g00b	52.8	-65.27	20.93	68.56	162
g25b	55.7	-49.57	-8.38	50.28	190
g50b	57.82	-38.39	-28.91	48.07	217
g75b	55.5	-22.04	-45.94	50.97	244
b00r	41.6	1.37	-45.0	45.03	272
b25r	29.0	25.08	-43.12	49.89	300
b50r	38.04	46.53	-28.38	54.51	329
b75r	49.48	72.88	-3.75	72.98	357



Ein und Ausgabe: Farbmetrisches Drucker-Reflektiv-System ORS19_96a für relativen CIELAB-Buntton $h^* = lab^*h^* = h_{ab}/360 = 110/360 = 0.305$ $u^* = j25g$

Daten für jede Farbe:

lab^*ch^* und lab^*icu^*

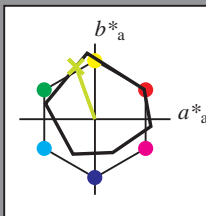
Elementar-Bunttontext:

$u^* = j25g$

Kontrastreduzierungsfaktor:

$c_R = 1.0$

Dreiecks-Helligkeit i^*



ORS19_96a; adaptierte CIELAB-Daten

	$L^* = L^*_a$	a^*_a	b^*_a	$C^*_{ab,a}$	$h^*_{ab,a}$
O _{Ma}	48.75	65.07	39.43	76.08	31
Y _{Ma}	90.92	-10.28	87.24	87.85	97
L _{Ma}	52.69	-65.43	20.75	68.65	162
C _{Ma}	59.61	-28.97	-46.21	54.56	238
V _{Ma}	28.39	23.63	-44.12	50.06	298
M _{Ma}	49.58	73.93	-9.55	74.55	353
N _{Ma}	18.89	0.0	0.0	0.0	0
W _{Ma}	96.9	0.0	0.0	0.0	0
R _{CIE}	39.92	58.74	27.99	65.07	25
J _{CIE}	81.26	-2.88	71.56	71.62	92
G _{CIE}	52.23	-42.41	13.6	44.55	162
B _{CIE}	30.57	1.41	-46.46	46.49	272

Daten für Maximalfarbe (Ma):

$LAB^*LAB^*_{Ma}$: 81 -24 69

$LAB^*LCH^*_{Ma}$: 81 74 110

$lab^*rgb^*_{Ma}$: 0.75 1.0 0.0

$lab^*olv^*_{Ma}$: 0.73 1.0 0.0

Dreiecks-Helligkeit i^*

%Umfang

$u^*_{rel} = 89$

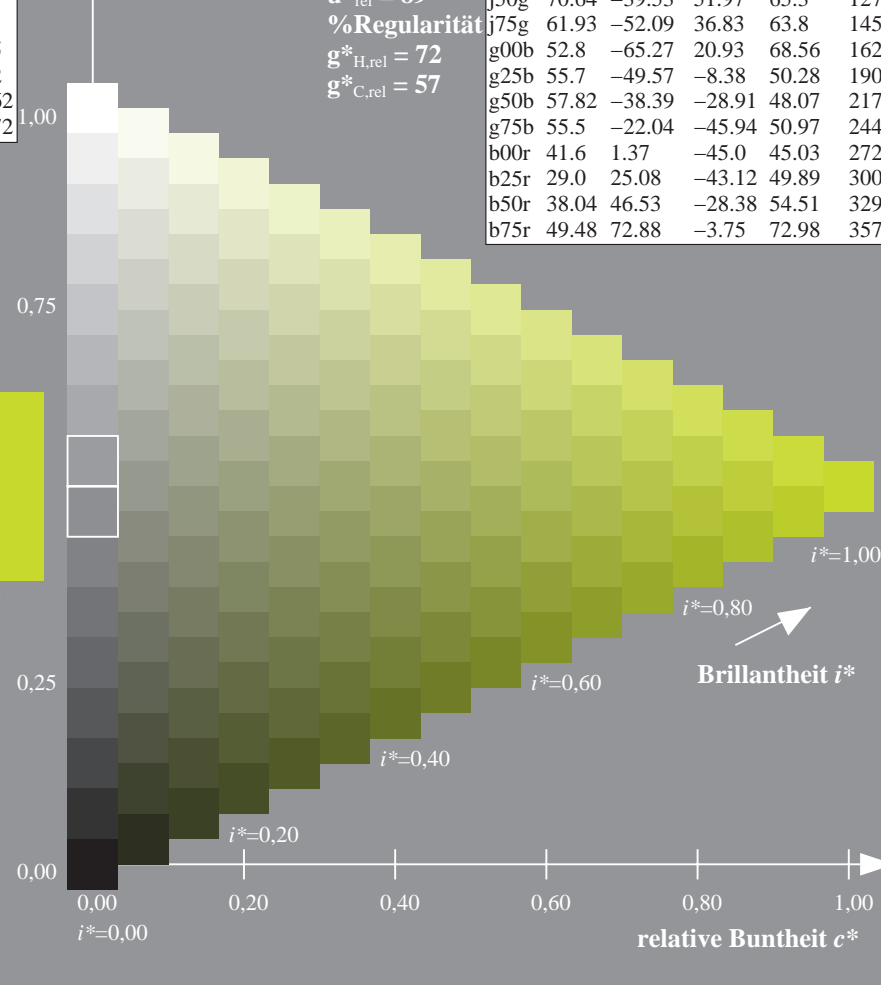
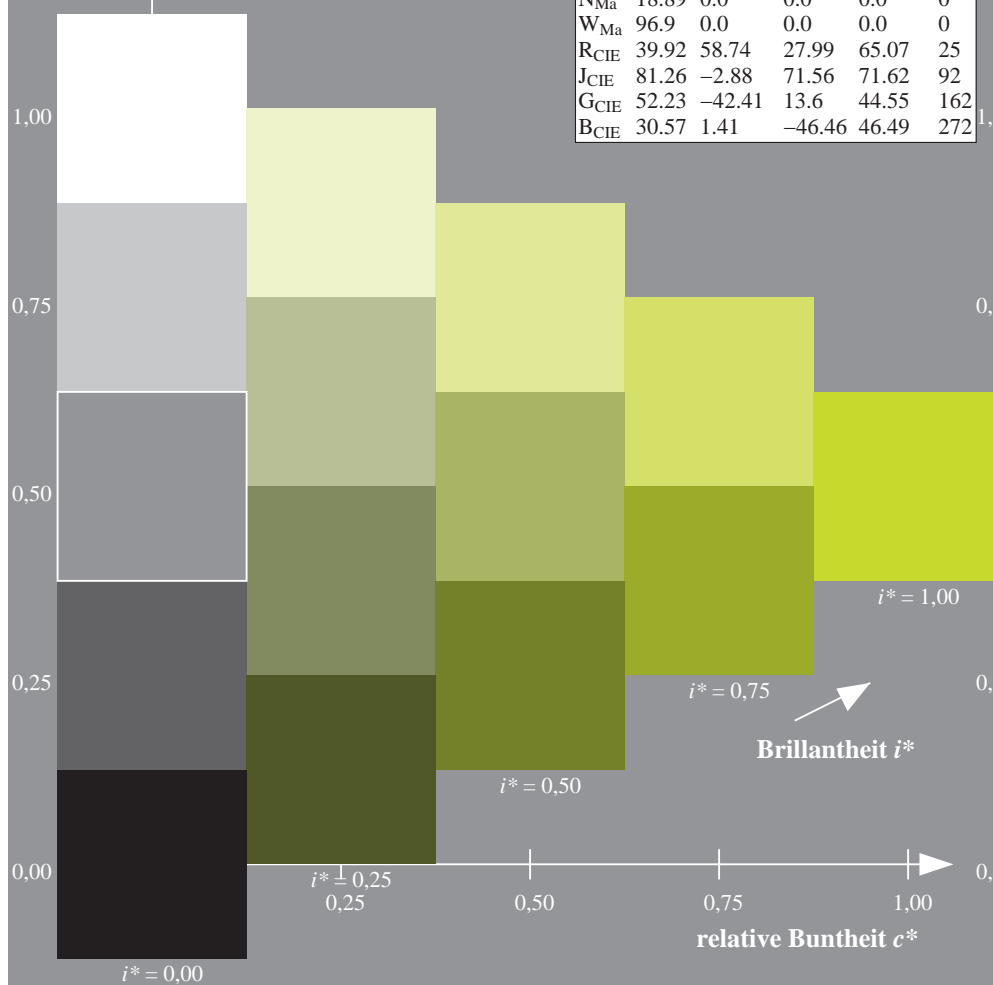
%Regularität

$g^*_{H,rel} = 72$

$g^*_{C,rel} = 57$

ORS19_96a; adaptierte CIELAB-Daten

	$L^* = L^*_a$	a^*_a	b^*_a	$C^*_{ab,a}$	$h^*_{ab,a}$
r00j	48.88	66.47	31.67	73.63	25
r25j	55.85	52.39	47.48	70.7	42
r50j	65.45	35.22	58.37	68.17	59
r75j	75.19	17.82	69.41	71.66	76
j00g	87.03	-3.34	82.83	82.9	92
j25g	80.72	-25.0	69.5	73.86	110
j50g	70.64	-39.53	51.97	65.3	127
j75g	61.93	-52.09	36.83	63.8	145
g00b	52.8	-65.27	20.93	68.56	162
g25b	55.7	-49.57	-8.38	50.28	190
g50b	57.82	-38.39	-28.91	48.07	217
g75b	55.5	-22.04	-45.94	50.97	244
b00r	41.6	1.37	-45.0	45.03	272
b25r	29.0	25.08	-43.12	49.89	300
b50r	38.04	46.53	-28.38	54.51	329
b75r	49.48	72.88	-3.75	72.98	357



Ein und Ausgabe: Farbmetrisches Drucker-Reflektiv-System ORS19_96a für relativen CIELAB-Buntton $h^* = lab^*h^* = h_{ab}/360 = 127/360 = 0.354$ $u^* = j50g$

Daten für jede Farbe:

lab^*ch^* und lab^*icu^*

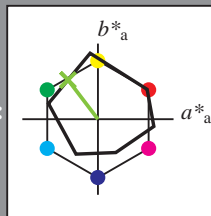
Elementar-Bunttontext:

$u^* = j50g$

Kontrastreduzierungsfaktor:

$c_R = 1.0$

Dreiecks-Helligkeit i^*



ORS19_96a; adaptierte CIELAB-Daten

	$L^*=L^*_a$	a^*_a	b^*_a	$C^*_{ab,a}$	$h^*_{ab,a}$
O _{Ma}	48.75	65.07	39.43	76.08	31
Y _{Ma}	90.92	-10.28	87.24	87.85	97
L _{Ma}	52.69	-65.43	20.75	68.65	162
C _{Ma}	59.61	-28.97	-46.21	54.56	238
V _{Ma}	28.39	23.63	-44.12	50.06	298
M _{Ma}	49.58	73.93	-9.55	74.55	353
N _{Ma}	18.89	0.0	0.0	0.0	0
W _{Ma}	96.9	0.0	0.0	0.0	0
R _{CIE}	39.92	58.74	27.99	65.07	25
J _{CIE}	81.26	-2.88	71.56	71.62	92
G _{CIE}	52.23	-42.41	13.6	44.55	162
B _{CIE}	30.57	1.41	-46.46	46.49	272

Daten für Maximalfarbe (Ma):

$LAB^*LAB^*_{Ma}$: 71 -39 52

$LAB^*LCH^*_{Ma}$: 71 65 127

$lab^*rgb^*_{Ma}$: 0.5 1.0 0.0

$lab^*olv^*_{Ma}$: 0.47 1.0 0.0

Dreiecks-Helligkeit i^*

%Umfang

$u^*_{rel} = 89$

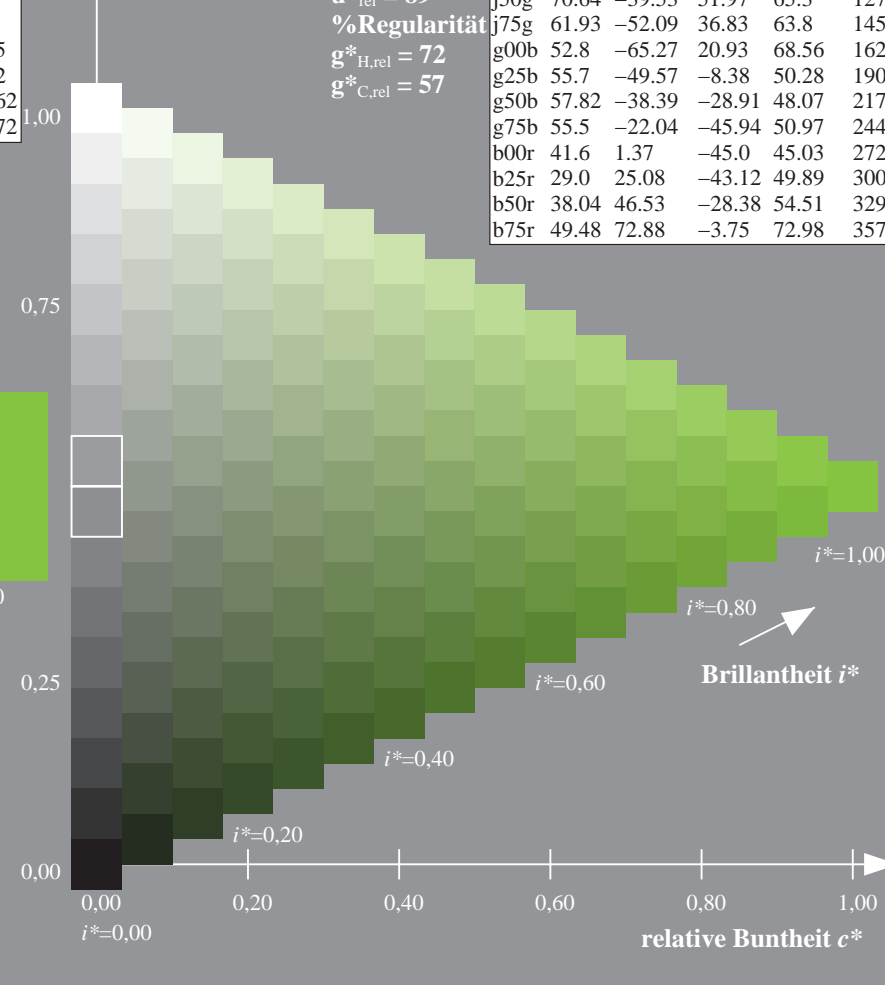
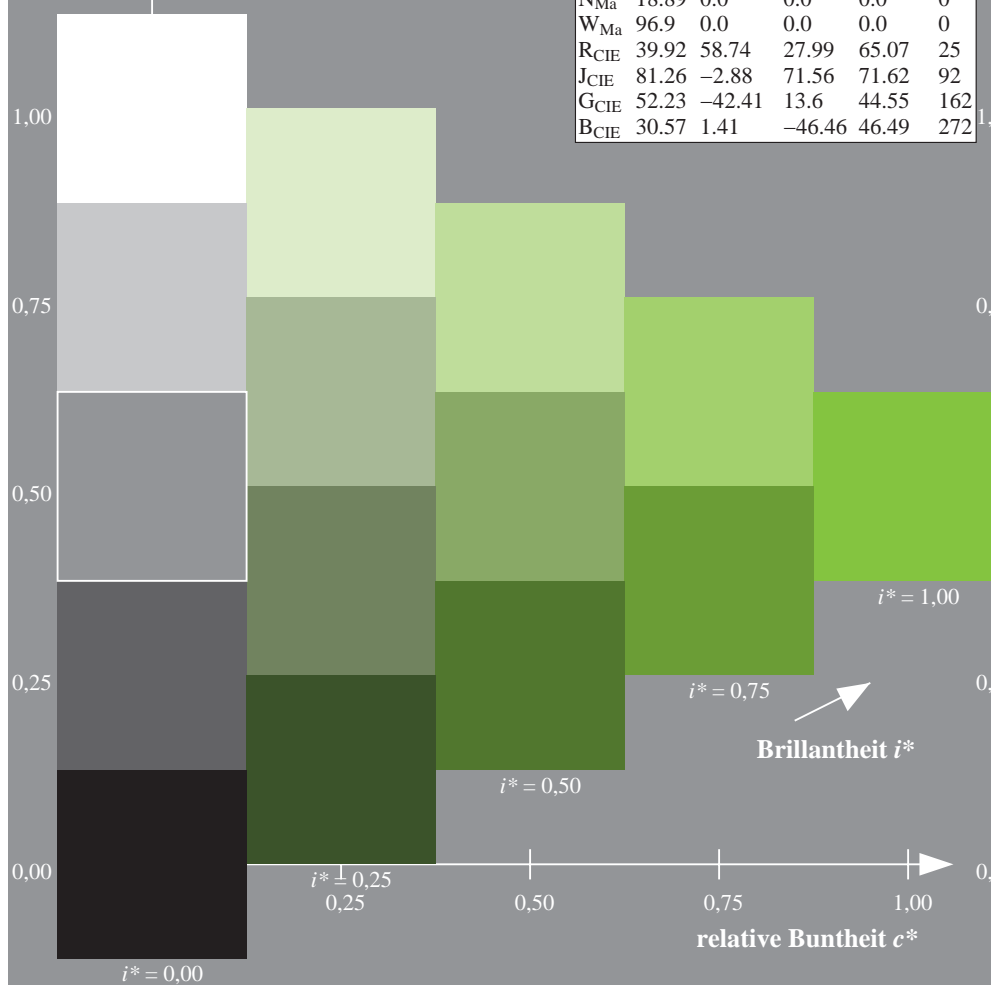
%Regularität

$g^*_{H,rel} = 72$

$g^*_{C,rel} = 57$

ORS19_96a; adaptierte CIELAB-Daten

	$L^*=L^*_a$	a^*_a	b^*_a	$C^*_{ab,a}$	$h^*_{ab,a}$
r00j	48.88	66.47	31.67	73.63	25
r25j	55.85	52.39	47.48	70.7	42
r50j	65.45	35.22	58.37	68.17	59
r75j	75.19	17.82	69.41	71.66	76
j00g	87.03	-3.34	82.83	82.9	92
j25g	80.72	-25.0	69.5	73.86	110
j50g	70.64	-39.53	51.97	65.3	127
j75g	61.93	-52.09	36.83	63.8	145
g00b	52.8	-65.27	20.93	68.56	162
g25b	55.7	-49.57	-8.38	50.28	190
g50b	57.82	-38.39	-28.91	48.07	217
g75b	55.5	-22.04	-45.94	50.97	244
b00r	41.6	1.37	-45.0	45.03	272
b25r	29.0	25.08	-43.12	49.89	300
b50r	38.04	46.53	-28.38	54.51	329
b75r	49.48	72.88	-3.75	72.98	357



Ein und Ausgabe: Farbmetrisches Drucker-Reflektiv-System ORS19_96a für relativen CIELAB-Buntton $h^* = lab^*h^* = h_{ab}/360 = 145/360 = 0.402$ $u^* = j75g$

Daten für jede Farbe:

lab^*ch^* und lab^*icu^*

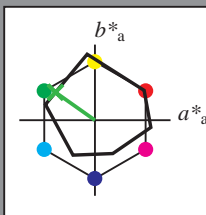
Elementar-Bunttontext:

$u^* = j75g$

Kontrastreduzierungsfaktor:

$c_R = 1.0$

Dreiecks-Helligkeit t^*



ORS19_96a; adaptierte CIELAB-Daten					
	$L^*=L^*_a$	a^*_a	b^*_a	$C^*_{ab,a}$	$h^*_{ab,a}$
O _{Ma}	48.75	65.07	39.43	76.08	31
Y _{Ma}	90.92	-10.28	87.24	87.85	97
L _{Ma}	52.69	-65.43	20.75	68.65	162
C _{Ma}	59.61	-28.97	-46.21	54.56	238
V _{Ma}	28.39	23.63	-44.12	50.06	298
M _{Ma}	49.58	73.93	-9.55	74.55	353
N _{Ma}	18.89	0.0	0.0	0.0	0
W _{Ma}	96.9	0.0	0.0	0.0	0
R _{CIE}	39.92	58.74	27.99	65.07	25
J _{CIE}	81.26	-2.88	71.56	71.62	92
G _{CIE}	52.23	-42.41	13.6	44.55	162
B _{CIE}	30.57	1.41	-46.46	46.49	272

Daten für Maximalfarbe (Ma):

$LAB^*LAB^*_{Ma}$: 62 -51 37

$LAB^*LCH^*_{Ma}$: 62 64 145

$lab^*rgb^*_{Ma}$: 0.25 1.0 0.0

$lab^*olv^*_{Ma}$: 0.24 1.0 0.0

Dreiecks-Helligkeit t^*

%Umfang

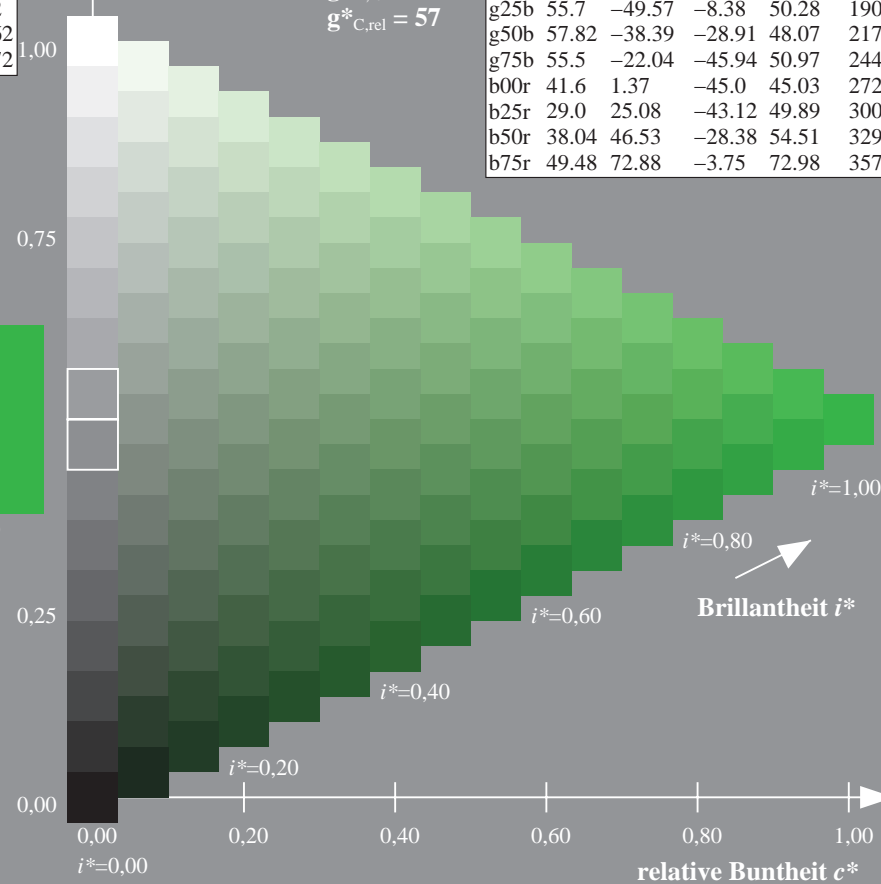
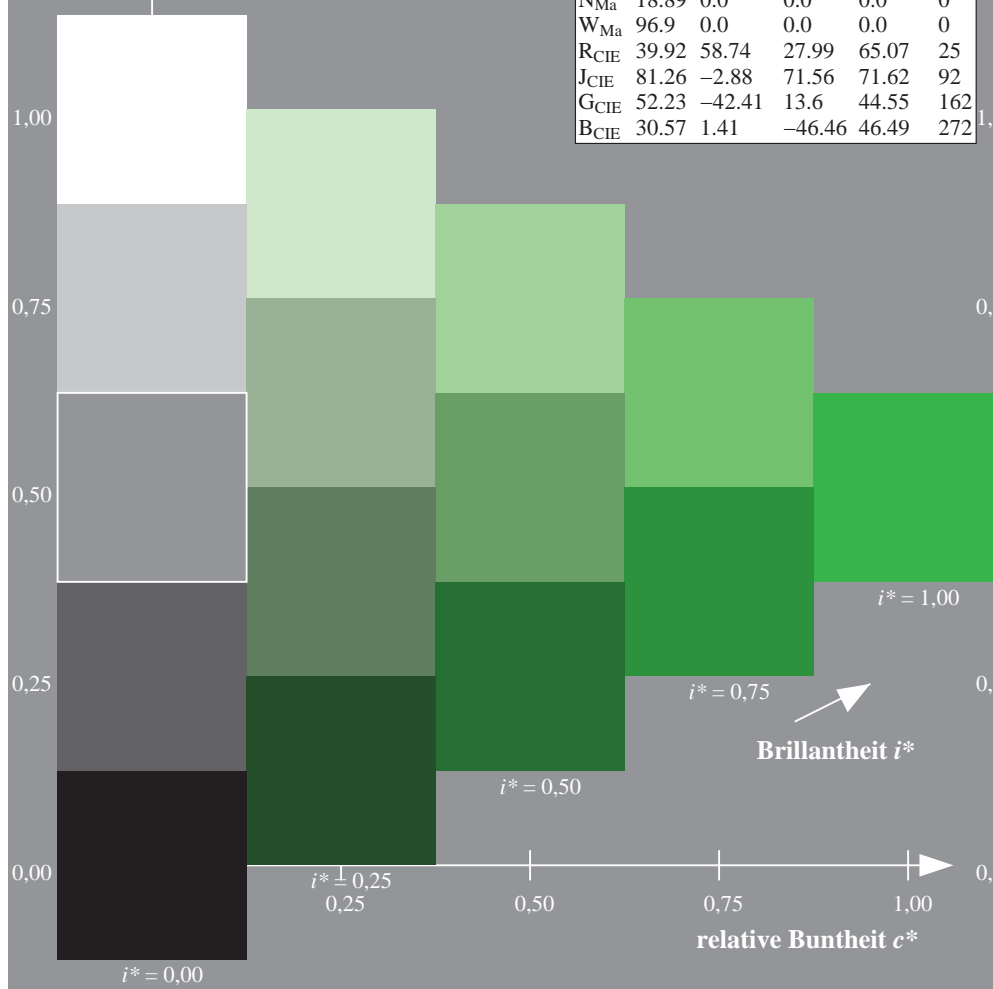
$u^*_{rel} = 89$

%Regularität

$g^*_{H,rel} = 72$

$g^*_{C,rel} = 57$

ORS19_96a; adaptierte CIELAB-Daten					
	$L^*=L^*_a$	a^*_a	b^*_a	$C^*_{ab,a}$	$h^*_{ab,a}$
r00j	48.88	66.47	31.67	73.63	25
r25j	55.85	52.39	47.48	70.7	42
r50j	65.45	35.22	58.37	68.17	59
r75j	75.19	17.82	69.41	71.66	76
j00g	87.03	-3.34	82.83	82.9	92
j25g	80.72	-25.0	69.5	73.86	110
j50g	70.64	-39.53	51.97	65.3	127
j75g	61.93	-52.09	36.83	63.8	145
g00b	52.8	-65.27	20.93	68.56	162
g25b	55.7	-49.57	-8.38	50.28	190
g50b	57.82	-38.39	-28.91	48.07	217
g75b	55.5	-22.04	-45.94	50.97	244
b00r	41.6	1.37	-45.0	45.03	272
b25r	29.0	25.08	-43.12	49.89	300
b50r	38.04	46.53	-28.38	54.51	329
b75r	49.48	72.88	-3.75	72.98	357



Ein und Ausgabe: Farbmetrisches Drucker-Reflektiv-System ORS19_96a für relativen CIELAB-Buntton $h^* = lab^*h^* = h_{ab}/360 = 162/360 = 0.451$ $u^* = g00b$

Daten für jede Farbe:

lab^*ch^* und lab^*icu^*

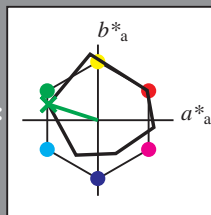
Elementar-Bunttontext:

$u^* = g00b$

Kontrastreduzierungsfaktor:

$c_R = 1.0$

Dreiecks-Helligkeit t^*



ORS19_96a; adaptierte CIELAB-Daten

	$L^* = \bar{L}^*_a$	a^*_a	b^*_a	$C^*_{ab,a}$	$h^*_{ab,a}$
O _{Ma}	48.75	65.07	39.43	76.08	31
Y _{Ma}	90.92	-10.28	87.24	87.85	97
L _{Ma}	52.69	-65.43	20.75	68.65	162
C _{Ma}	59.61	-28.97	-46.21	54.56	238
V _{Ma}	28.39	23.63	-44.12	50.06	298
M _{Ma}	49.58	73.93	-9.55	74.55	353
N _{Ma}	18.89	0.0	0.0	0.0	0
W _{Ma}	96.9	0.0	0.0	0.0	0
R _{CIE}	39.92	58.74	27.99	65.07	25
J _{CIE}	81.26	-2.88	71.56	71.62	92
G _{CIE}	52.23	-42.41	13.6	44.55	162
B _{CIE}	30.57	1.41	-46.46	46.49	272

Daten für Maximalfarbe (Ma):

$LAB^*LAB^*_{Ma}$: 53 -64 21

$LAB^*LCH^*_{Ma}$: 53 69 162

$lab^*rgb^*_{Ma}$: 0.0 1.0 0.0

$lab^*olv^*_{Ma}$: 0.0 1.0 0.0

Dreiecks-Helligkeit t^*

%Umfang

$u^*_{rel} = 89$

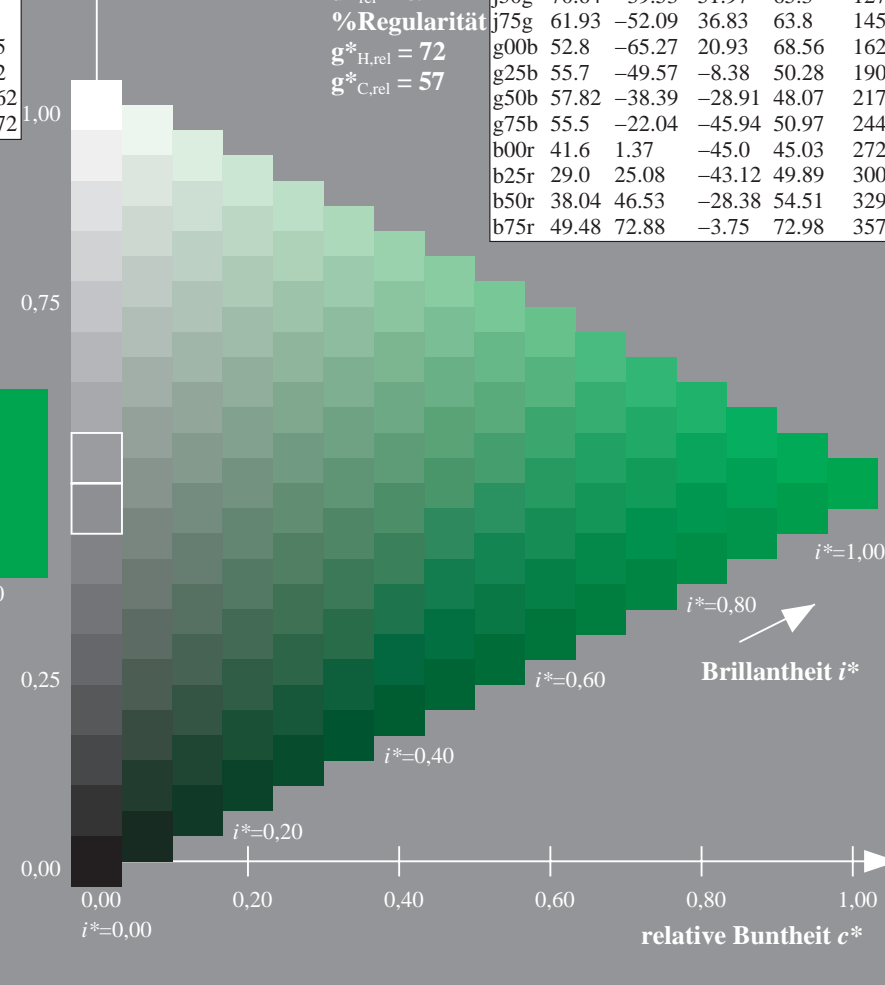
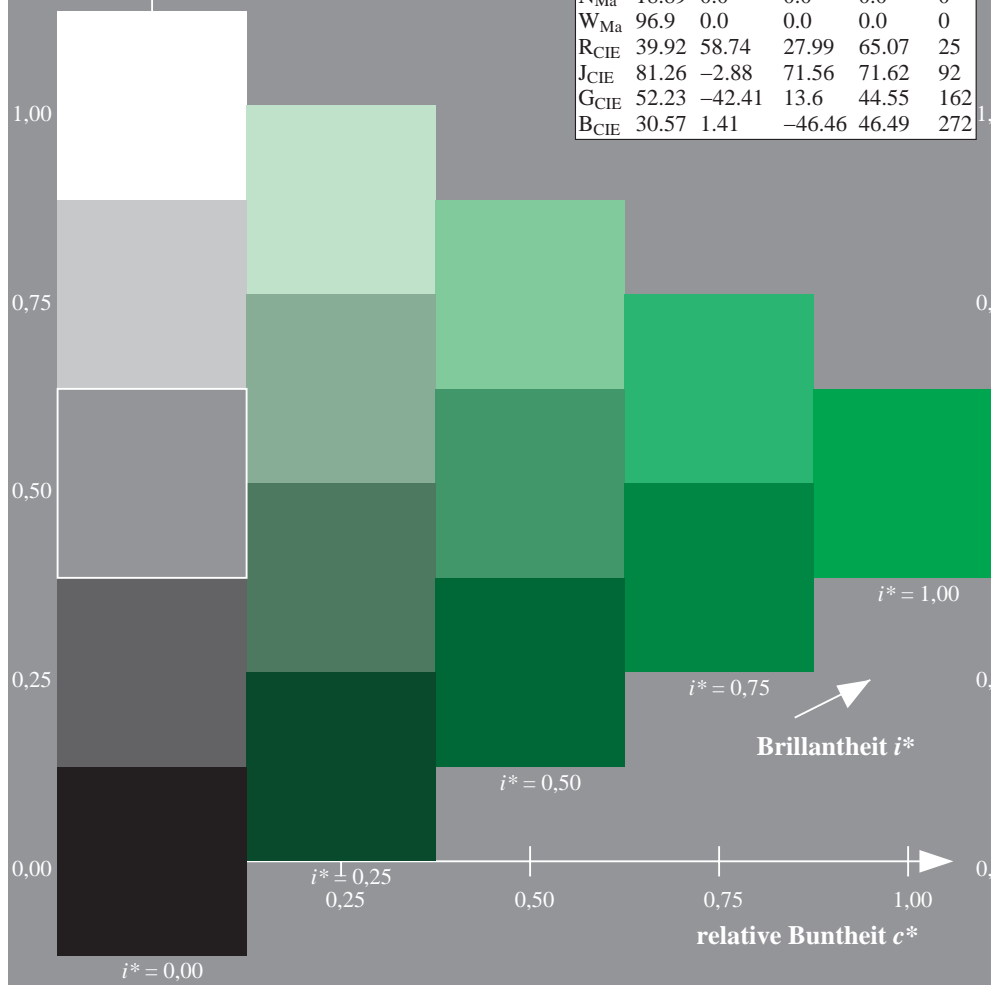
%Regularität

$g^*_{H,rel} = 72$

$g^*_{C,rel} = 57$

ORS19_96a; adaptierte CIELAB-Daten

	$L^* = \bar{L}^*_a$	a^*_a	b^*_a	$C^*_{ab,a}$	$h^*_{ab,a}$
r00j	48.88	66.47	31.67	73.63	25
r25j	55.85	52.39	47.48	70.7	42
r50j	65.45	35.22	58.37	68.17	59
r75j	75.19	17.82	69.41	71.66	76
j00g	87.03	-3.34	82.83	82.9	92
j25g	80.72	-25.0	69.5	73.86	110
j50g	70.64	-39.53	51.97	65.3	127
j75g	61.93	-52.09	36.83	63.8	145
g00b	52.8	-65.27	20.93	68.56	162
g25b	55.7	-49.57	-8.38	50.28	190
g50b	57.82	-38.39	-28.91	48.07	217
g75b	55.5	-22.04	-45.94	50.97	244
b00r	41.6	1.37	-45.0	45.03	272
b25r	29.0	25.08	-43.12	49.89	300
b50r	38.04	46.53	-28.38	54.51	329
b75r	49.48	72.88	-3.75	72.98	357



Ein und Ausgabe: Farbmetrisches Drucker-Reflektiv-System ORS19_96a für relativen CIELAB-Buntton $h^* = lab^*h^* = h_{ab}/360 = 190/360 = 0.527$ $u^* = g25b$

Daten für jede Farbe:

lab^*ch^* und lab^*icu^*

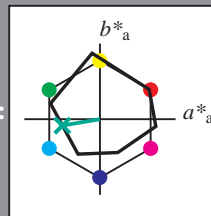
Elementar-Bunttontext:

$u^* = g25b$

Kontrastreduzierungsfaktor:

$c_R = 1.0$

Dreiecks-Helligkeit i^*



ORS19_96a; adaptierte CIELAB-Daten

	$L^*=\bar{L}^*_a$	a^*_a	b^*_a	$C^*_{ab,a}$	$h^*_{ab,a}$
O _{Ma}	48.75	65.07	39.43	76.08	31
Y _{Ma}	90.92	-10.28	87.24	87.85	97
L _{Ma}	52.69	-65.43	20.75	68.65	162
C _{Ma}	59.61	-28.97	-46.21	54.56	238
V _{Ma}	28.39	23.63	-44.12	50.06	298
M _{Ma}	49.58	73.93	-9.55	74.55	353
N _{Ma}	18.89	0.0	0.0	0.0	0
W _{Ma}	96.9	0.0	0.0	0.0	0
R _{CIE}	39.92	58.74	27.99	65.07	25
J _{CIE}	81.26	-2.88	71.56	71.62	92
G _{CIE}	52.23	-42.41	13.6	44.55	162
B _{CIE}	30.57	1.41	-46.46	46.49	272

Daten für Maximalfarbe (Ma):

$LAB^*LAB^*_{Ma}$: 56 -49 -7

$LAB^*LCH^*_{Ma}$: 56 50 190

$lab^*rgb^*_{Ma}$: 0.0 1.0 0.5

$lab^*olv^*_{Ma}$: 0.0 1.0 0.44

Dreiecks-Helligkeit i^*

%Umfang

$u^*_{rel} = 89$

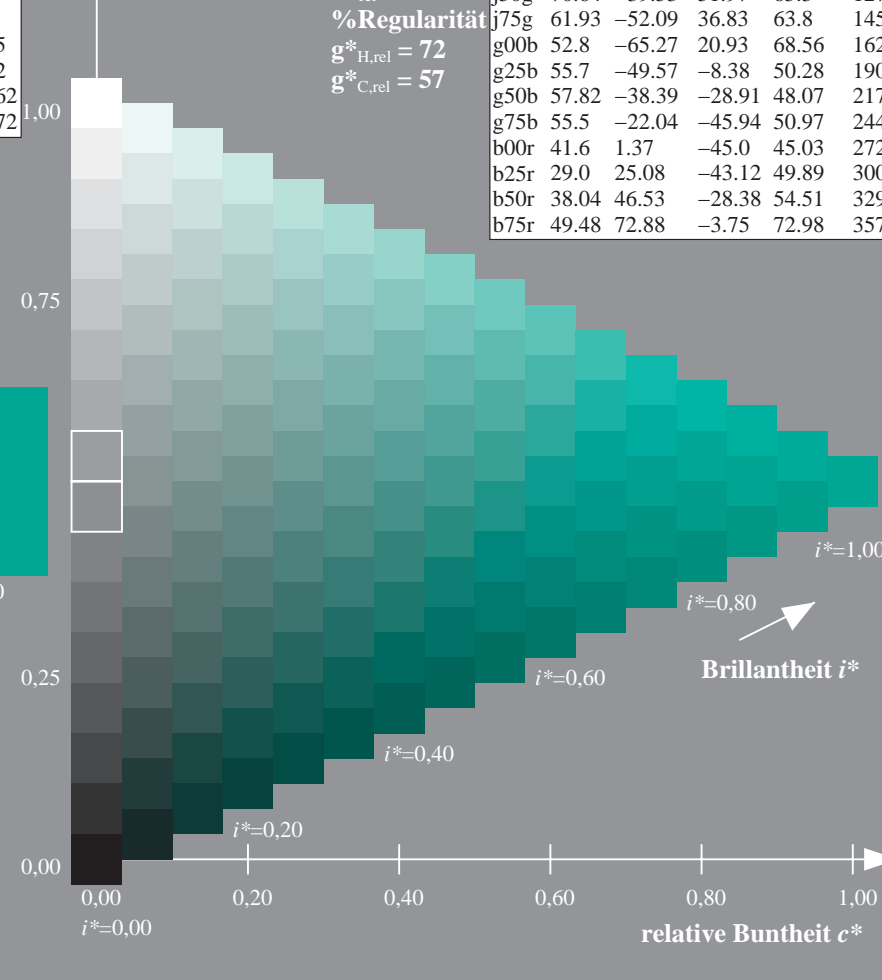
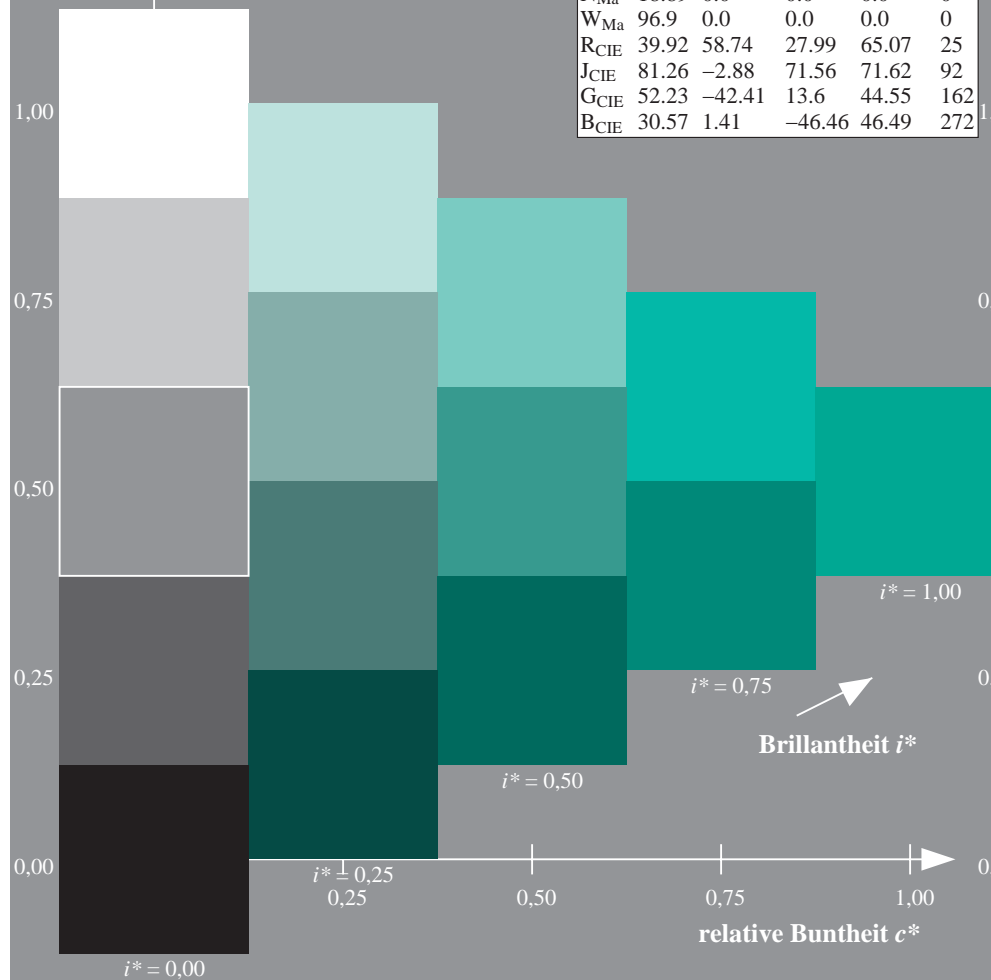
%Regularität

$g^*_{H,rel} = 72$

$g^*_{C,rel} = 57$

ORS19_96a; adaptierte CIELAB-Daten

	$L^*=\bar{L}^*_a$	a^*_a	b^*_a	$C^*_{ab,a}$	$h^*_{ab,a}$
r00j	48.88	66.47	31.67	73.63	25
r25j	55.85	52.39	47.48	70.7	42
r50j	65.45	35.22	58.37	68.17	59
r75j	75.19	17.82	69.41	71.66	76
j00g	87.03	-3.34	82.83	82.9	92
j25g	80.72	-25.0	69.5	73.86	110
j50g	70.64	-39.53	51.97	65.3	127
j75g	61.93	-52.09	36.83	63.8	145
g00b	52.8	-65.27	20.93	68.56	162
g25b	55.7	-49.57	-8.38	50.28	190
g50b	57.82	-38.39	-28.91	48.07	217
g75b	55.5	-22.04	-45.94	50.97	244
b00r	41.6	1.37	-45.0	45.03	272
b25r	29.0	25.08	-43.12	49.89	300
b50r	38.04	46.53	-28.38	54.51	329
b75r	49.48	72.88	-3.75	72.98	357



Ein und Ausgabe: Farbmetrisches Drucker-Reflektiv-System ORS19_96a für relativen CIELAB-Buntton $h^* = lab^*h^* = h_{ab}/360 = 217/360 = 0.603$ $u^* = g50b$

Daten für jede Farbe:

lab^*ch^* und lab^*icu^*

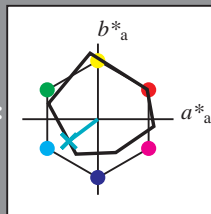
Elementar-Bunttontext:

$u^* = g50b$

Kontrastreduzierungsfaktor:

$c_R = 1.0$

Dreiecks-Helligkeit i^*



ORS19_96a; adaptierte CIELAB-Daten

	$L^* = \bar{L}^*_a$	a^*_a	b^*_a	$C^*_{ab,a}$	$h^*_{ab,a}$
O _{Ma}	48.75	65.07	39.43	76.08	31
Y _{Ma}	90.92	-10.28	87.24	87.85	97
L _{Ma}	52.69	-65.43	20.75	68.65	162
C _{Ma}	59.61	-28.97	-46.21	54.56	238
V _{Ma}	28.39	23.63	-44.12	50.06	298
M _{Ma}	49.58	73.93	-9.55	74.55	353
N _{Ma}	18.89	0.0	0.0	0.0	0
W _{Ma}	96.9	0.0	0.0	0.0	0
R _{CIE}	39.92	58.74	27.99	65.07	25
J _{CIE}	81.26	-2.88	71.56	71.62	92
G _{CIE}	52.23	-42.41	13.6	44.55	162
B _{CIE}	30.57	1.41	-46.46	46.49	272

Daten für Maximalfarbe (Ma):

$LAB^*LAB^*_{Ma}$: 58 -37 -28

$LAB^*LCH^*_{Ma}$: 58 48 217

$lab^*rgb^*_{Ma}$: 0.0 1.0 1.0

$lab^*olv^*_{Ma}$: 0.0 1.0 0.74

Dreiecks-Helligkeit i^*

%Umfang

$u^*_{rel} = 89$

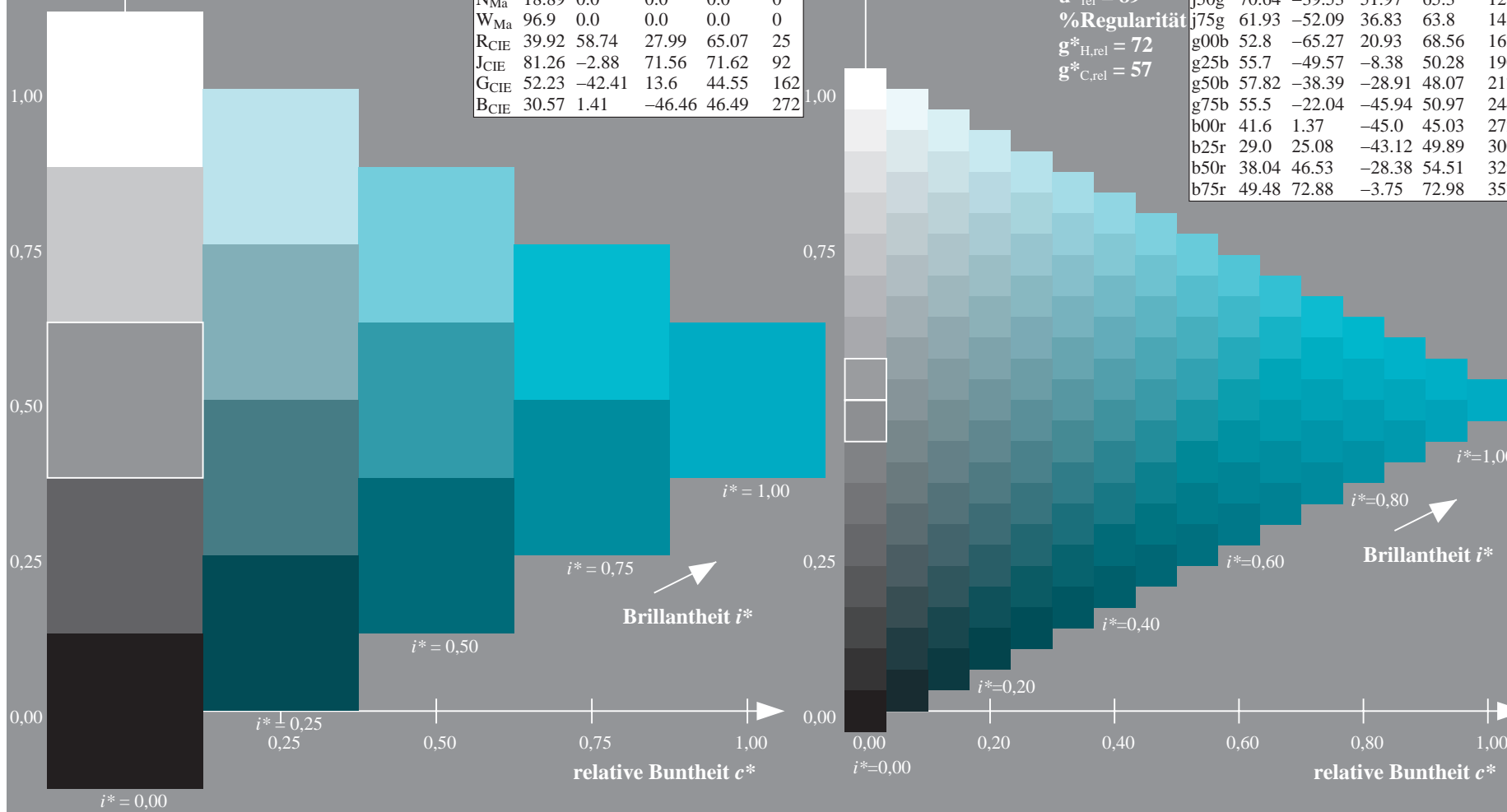
%Regularität

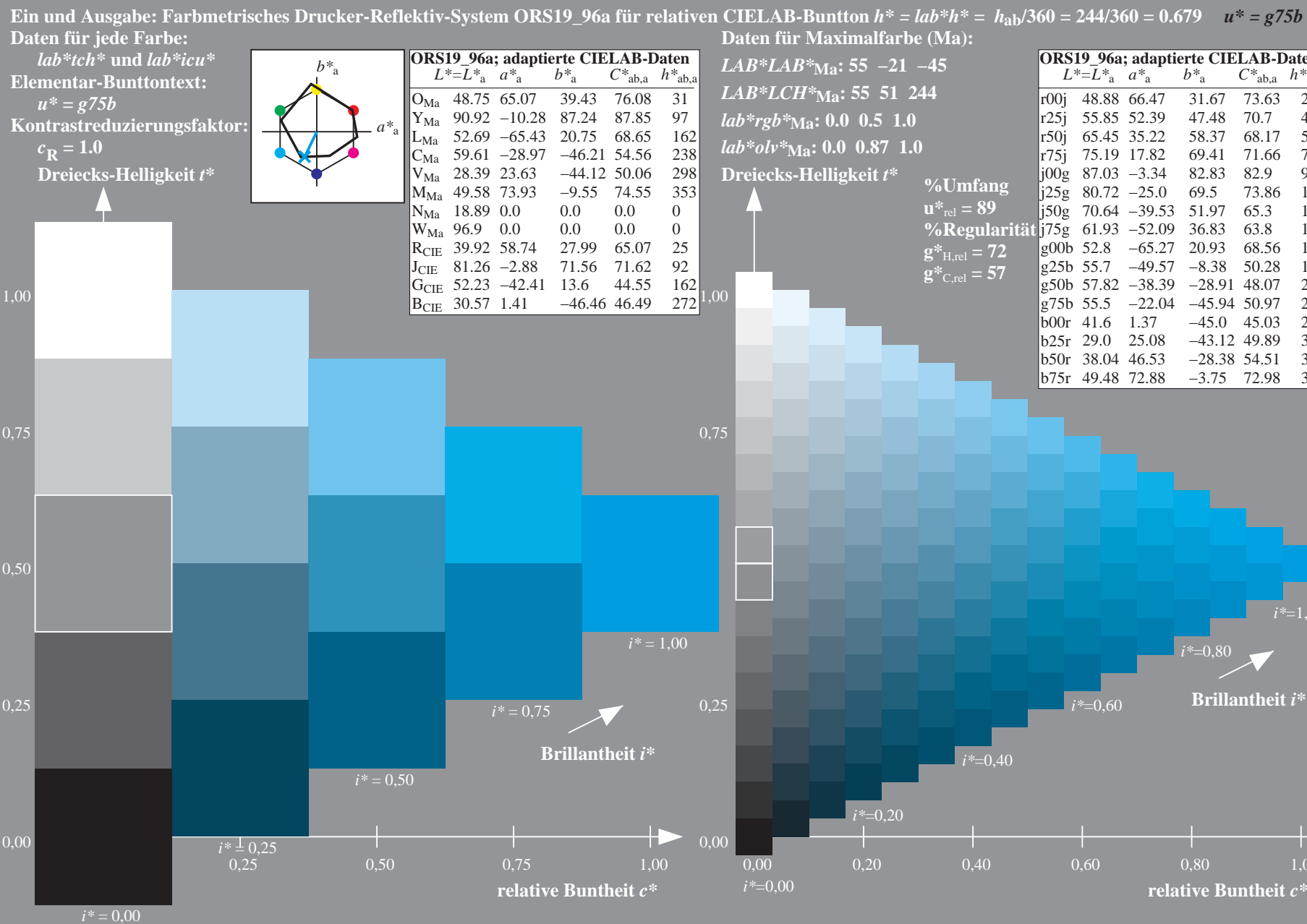
$g^*_{H,rel} = 72$

$g^*_{C,rel} = 57$

ORS19_96a; adaptierte CIELAB-Daten

	$L^* = \bar{L}^*_a$	a^*_a	b^*_a	$C^*_{ab,a}$	$h^*_{ab,a}$
r00j	48.88	66.47	31.67	73.63	25
r25j	55.85	52.39	47.48	70.7	42
r50j	65.45	35.22	58.37	68.17	59
r75j	75.19	17.82	69.41	71.66	76
j00g	87.03	-3.34	82.83	82.9	92
j25g	80.72	-25.0	69.5	73.86	110
j50g	70.64	-39.53	51.97	65.3	127
j75g	61.93	-52.09	36.83	63.8	145
g00b	52.8	-65.27	20.93	68.56	162
g25b	55.7	-49.57	-8.38	50.28	190
g50b	57.82	-38.39	-28.91	48.07	217
g75b	55.5	-22.04	-45.94	50.97	244
b00r	41.6	1.37	-45.0	45.03	272
b25r	29.0	25.08	-43.12	49.89	300
b50r	38.04	46.53	-28.38	54.51	329
b75r	49.48	72.88	-3.75	72.98	357





Ein und Ausgabe: Farbmetrisches Drucker-Reflektiv-System ORS19_96a für relativen CIELAB-Buntton $h^* = lab^*h^* = h_{ab}/360 = 272/360 = 0.755$ $u^* = b00r$

Daten für jede Farbe:

lab^*ch^* und lab^*icu^*

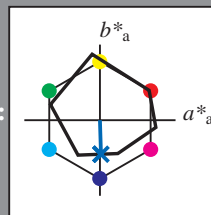
Elementar-Bunttontext:

$u^* = b00r$

Kontrastreduzierungsfaktor:

$c_R = 1.0$

Dreiecks-Helligkeit t^*



ORS19_96a; adaptierte CIELAB-Daten

	$L^* = \bar{L}^*_a$	a^*_a	b^*_a	$C^*_{ab,a}$	$h^*_{ab,a}$
O _{Ma}	48.75	65.07	39.43	76.08	31
Y _{Ma}	90.92	-10.28	87.24	87.85	97
L _{Ma}	52.69	-65.43	20.75	68.65	162
C _{Ma}	59.61	-28.97	-46.21	54.56	238
V _{Ma}	28.39	23.63	-44.12	50.06	298
M _{Ma}	49.58	73.93	-9.55	74.55	353
N _{Ma}	18.89	0.0	0.0	0.0	0
W _{Ma}	96.9	0.0	0.0	0.0	0
R _{CIE}	39.92	58.74	27.99	65.07	25
J _{CIE}	81.26	-2.88	71.56	71.62	92
G _{CIE}	52.23	-42.41	13.6	44.55	162
B _{CIE}	30.57	1.41	-46.46	46.49	272

Daten für Maximalfarbe (Ma):

$LAB^*LAB^*_{Ma}$: 42 1 -44

$LAB^*LCH^*_{Ma}$: 42 45 272

$lab^*rgb^*_{Ma}$: 0.0 0.0 1.0

$lab^*olv^*_{Ma}$: 0.0 0.42 1.0

Dreiecks-Helligkeit t^*

%Umfang

$u^*_{rel} = 89$

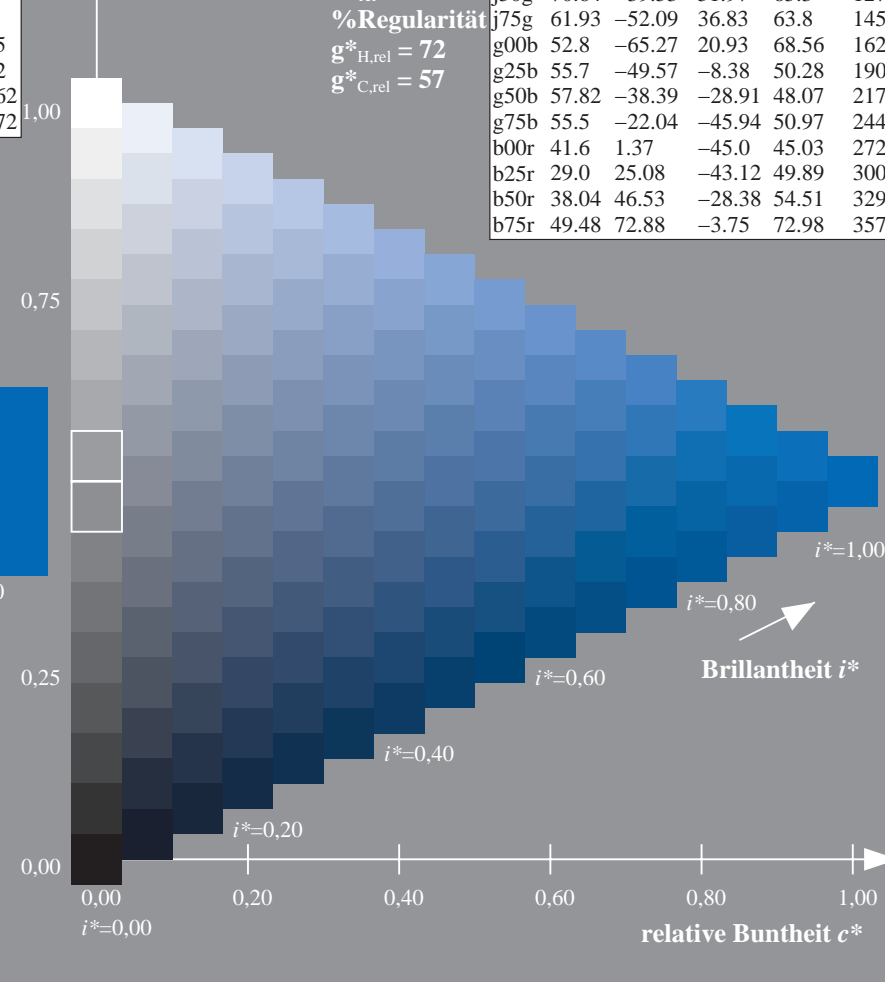
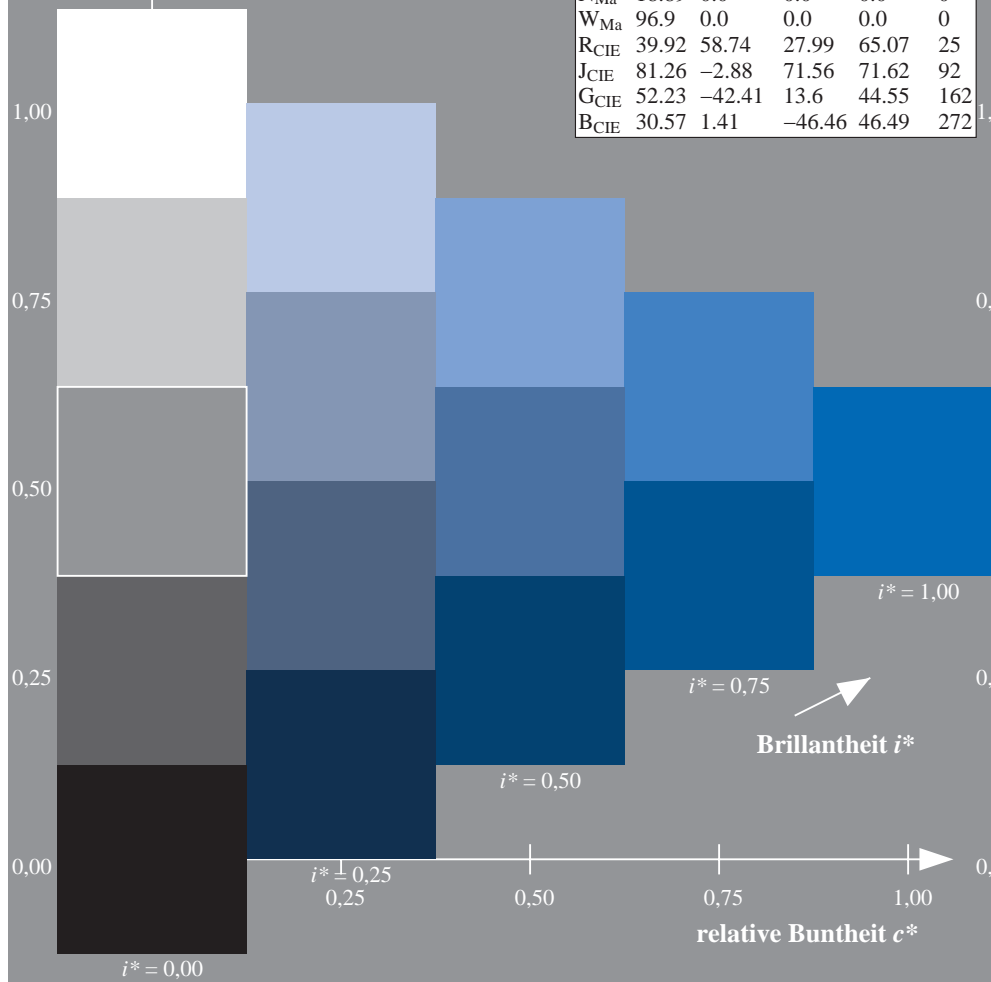
%Regularität

$g^*_{H,rel} = 72$

$g^*_{C,rel} = 57$

ORS19_96a; adaptierte CIELAB-Daten

	$L^* = \bar{L}^*_a$	a^*_a	b^*_a	$C^*_{ab,a}$	$h^*_{ab,a}$
r00j	48.88	66.47	31.67	73.63	25
r25j	55.85	52.39	47.48	70.7	42
r50j	65.45	35.22	58.37	68.17	59
r75j	75.19	17.82	69.41	71.66	76
j00g	87.03	-3.34	82.83	82.9	92
j25g	80.72	-25.0	69.5	73.86	110
j50g	70.64	-39.53	51.97	65.3	127
j75g	61.93	-52.09	36.83	63.8	145
g00b	52.8	-65.27	20.93	68.56	162
g25b	55.7	-49.57	-8.38	50.28	190
g50b	57.82	-38.39	-28.91	48.07	217
g75b	55.5	-22.04	-45.94	50.97	244
b00r	41.6	1.37	-45.0	45.03	272
b25r	29.0	25.08	-43.12	49.89	300
b50r	38.04	46.53	-28.38	54.51	329
b75r	49.48	72.88	-3.75	72.98	357



Ein und Ausgabe: Farbmetrisches Drucker-Reflektiv-System ORS19_96a für relativen CIELAB-Buntton $h^* = lab^*h^* = h_{ab}/360 = 300/360 = 0.834$ $u^* = b25r$

Daten für jede Farbe:

lab^*ch^* und lab^*icu^*

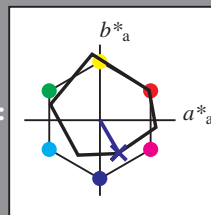
Elementar-Bunttontext:

$u^* = b25r$

Kontrastreduzierungsfaktor:

$c_R = 1.0$

Dreiecks-Helligkeit t^*



ORS19_96a; adaptierte CIELAB-Daten

	$L^* = L^*_a$	a^*_a	b^*_a	$C^*_{ab,a}$	$h^*_{ab,a}$
O _{Ma}	48.75	65.07	39.43	76.08	31
Y _{Ma}	90.92	-10.28	87.24	87.85	97
L _{Ma}	52.69	-65.43	20.75	68.65	162
C _{Ma}	59.61	-28.97	-46.21	54.56	238
V _{Ma}	28.39	23.63	-44.12	50.06	298
M _{Ma}	49.58	73.93	-9.55	74.55	353
N _{Ma}	18.89	0.0	0.0	0.0	0
W _{Ma}	96.9	0.0	0.0	0.0	0
R _{CIE}	39.92	58.74	27.99	65.07	25
J _{CIE}	81.26	-2.88	71.56	71.62	92
G _{CIE}	52.23	-42.41	13.6	44.55	162
B _{CIE}	30.57	1.41	-46.46	46.49	272

Daten für Maximalfarbe (Ma):

$LAB^*LAB^*_{Ma}$: 29 25 -42

$LAB^*LCH^*_{Ma}$: 29 50 300

$lab^*rgb^*_{Ma}$: 0.5 0.0 1.0

$lab^*olv^*_{Ma}$: 0.03 0.0 1.0

Dreiecks-Helligkeit t^*

%Umfang

$u^*_{rel} = 89$

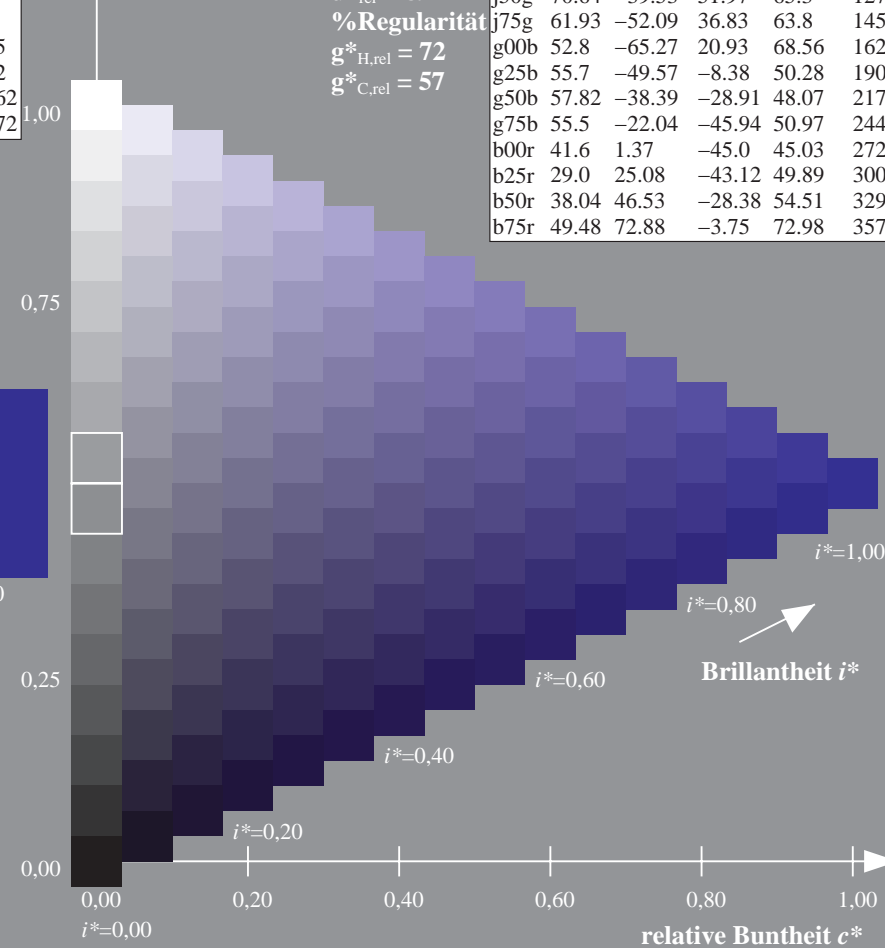
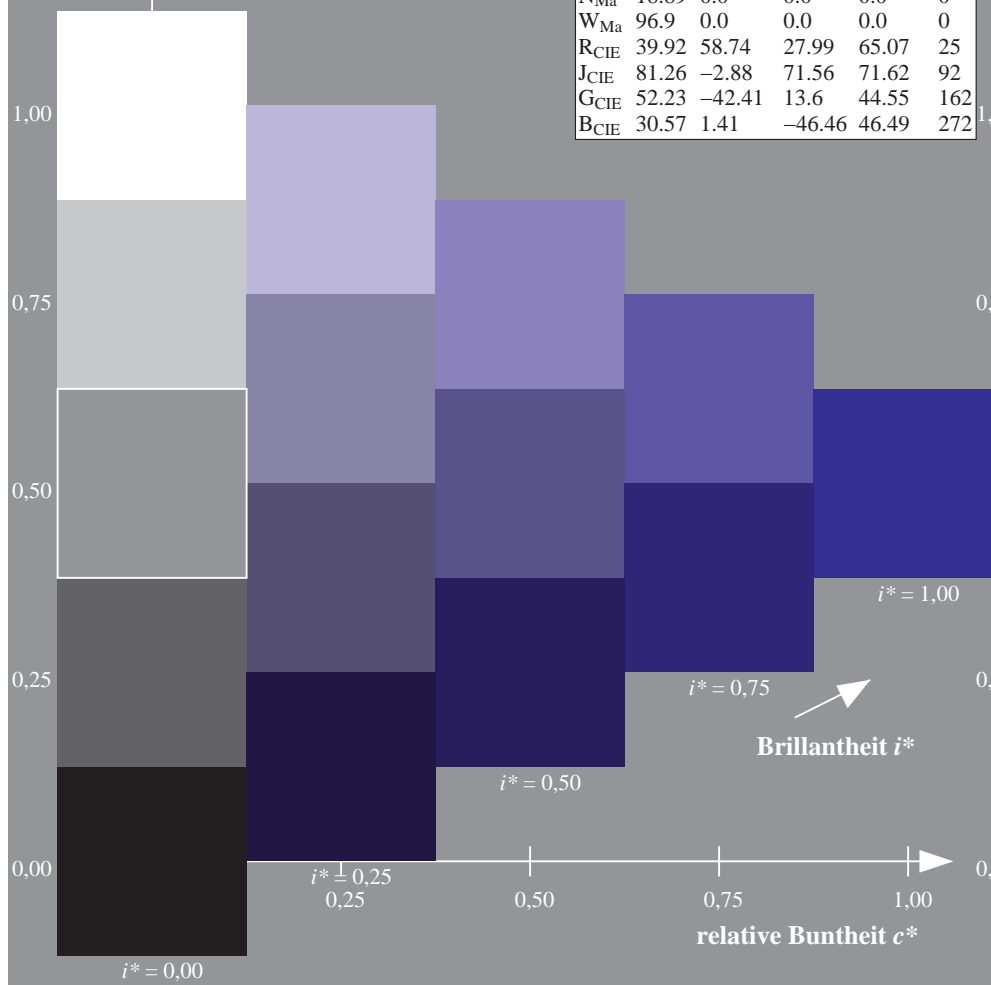
%Regelartigkeit

$g^*_{H,rel} = 72$

$g^*_{C,rel} = 57$

ORS19_96a; adaptierte CIELAB-Daten

	$L^* = L^*_a$	a^*_a	b^*_a	$C^*_{ab,a}$	$h^*_{ab,a}$
r00j	48.88	66.47	31.67	73.63	25
r25j	55.85	52.39	47.48	70.7	42
r50j	65.45	35.22	58.37	68.17	59
r75j	75.19	17.82	69.41	71.66	76
j00g	87.03	-3.34	82.83	82.9	92
j25g	80.72	-25.0	69.5	73.86	110
j50g	70.64	-39.53	51.97	65.3	127
j75g	61.93	-52.09	36.83	63.8	145
g00b	52.8	-65.27	20.93	68.56	162
g25b	55.7	-49.57	-8.38	50.28	190
g50b	57.82	-38.39	-28.91	48.07	217
g75b	55.5	-22.04	-45.94	50.97	244
b00r	41.6	1.37	-45.0	45.03	272
b25r	29.0	25.08	-43.12	49.89	300
b50r	38.04	46.53	-28.38	54.51	329
b75r	49.48	72.88	-3.75	72.98	357



Ein und Ausgabe: Farbmétrisches Drucker-Reflektiv-System ORS19_96a für relativen CIELAB-Buntton $h^* = lab^*h^* = h_{ab}/360 = 329/360 = 0.913$ $u^* = b50r$

Daten für jede Farbe:

lab^*ch^* und lab^*icu^*

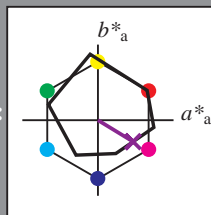
Elementar-Bunttonext:

$u^* = b50r$

Kontrastreduzierungsfaktor:

$c_R = 1.0$

Dreiecks-Helligkeit t^*



ORS19_96a; adaptierte CIELAB-Daten

	$L^* = \bar{L}_a^*$	a_a^*	b_a^*	$C_{ab,a}^*$	$h_{ab,a}^*$
O _{Ma}	48.75	65.07	39.43	76.08	31
Y _{Ma}	90.92	-10.28	87.24	87.85	97
L _{Ma}	52.69	-65.43	20.75	68.65	162
C _{Ma}	59.61	-28.97	-46.21	54.56	238
V _{Ma}	28.39	23.63	-44.12	50.06	298
M _{Ma}	49.58	73.93	-9.55	74.55	353
N _{Ma}	18.89	0.0	0.0	0.0	0
W _{Ma}	96.9	0.0	0.0	0.0	0
R _{CIE}	39.92	58.74	27.99	65.07	25
J _{CIE}	81.26	-2.88	71.56	71.62	92
G _{CIE}	52.23	-42.41	13.6	44.55	162
B _{CIE}	30.57	1.41	-46.46	46.49	272

Daten für Maximalfarbe (Ma):

$LAB^*LAB^*_{Ma}$: 38 47 -27

$LAB^*LCH^*_{Ma}$: 38 55 329

$lab^*rgb^*_{Ma}$: 1.0 0.0 1.0

$lab^*olv^*_{Ma}$: 0.46 0.0 1.0

Dreiecks-Helligkeit t^*

%Umfang

$u^*_{rel} = 89$

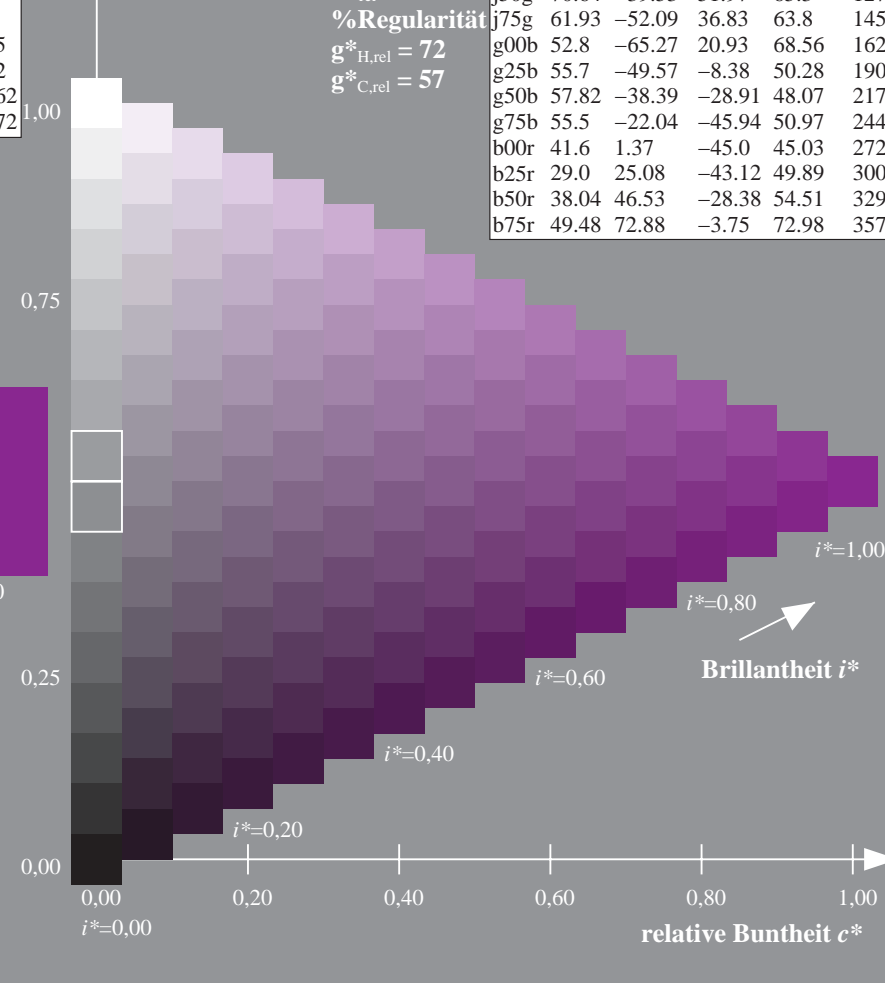
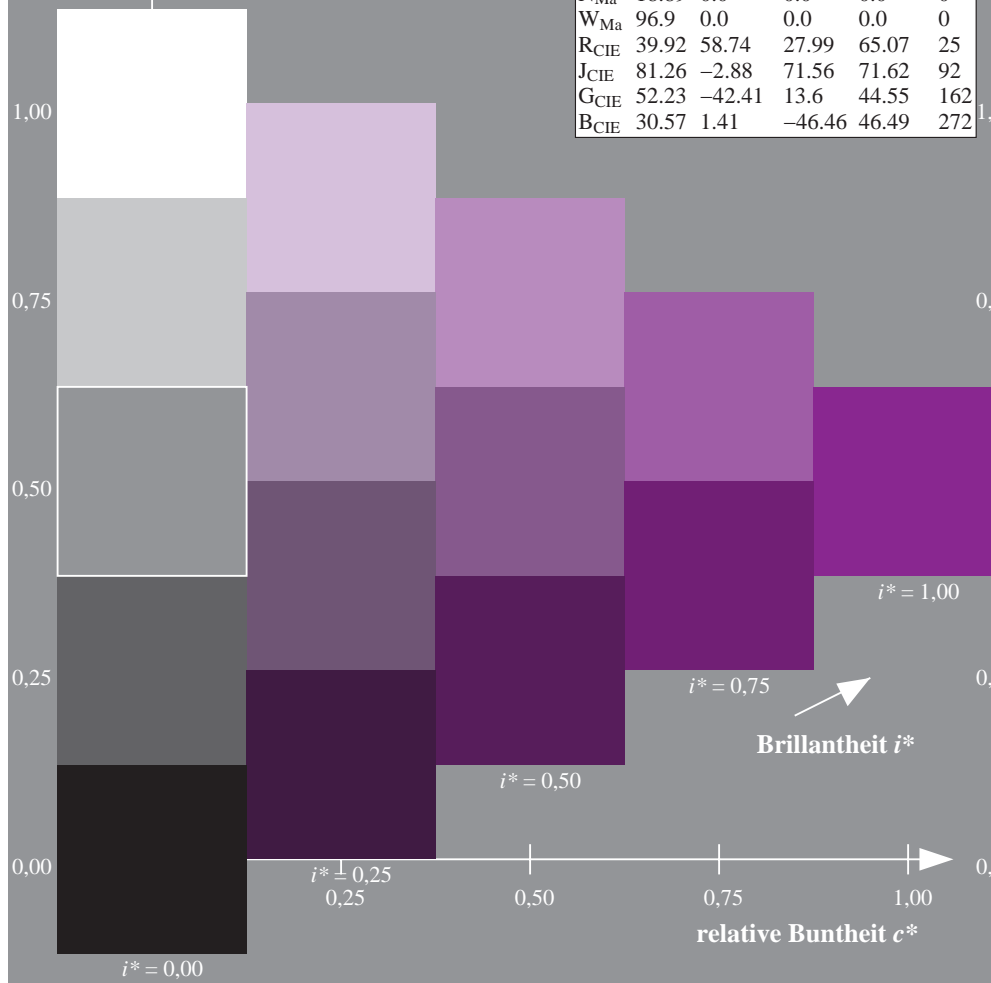
%Regularität

$g^*_{H,rel} = 72$

$g^*_{C,rel} = 57$

ORS19_96a; adaptierte CIELAB-Daten

	$L^* = \bar{L}_a^*$	a_a^*	b_a^*	$C_{ab,a}^*$	$h_{ab,a}^*$
r00j	48.88	66.47	31.67	73.63	25
r25j	55.85	52.39	47.48	70.7	42
r50j	65.45	35.22	58.37	68.17	59
r75j	75.19	17.82	69.41	71.66	76
j00g	87.03	-3.34	82.83	82.9	92
j25g	80.72	-25.0	69.5	73.86	110
j50g	70.64	-39.53	51.97	65.3	127
j75g	61.93	-52.09	36.83	63.8	145
g00b	52.8	-65.27	20.93	68.56	162
g25b	55.7	-49.57	-8.38	50.28	190
g50b	57.82	-38.39	-28.91	48.07	217
g75b	55.5	-22.04	-45.94	50.97	244
b00r	41.6	1.37	-45.0	45.03	272
b25r	29.0	25.08	-43.12	49.89	300
b50r	38.04	46.53	-28.38	54.51	329
b75r	49.48	72.88	-3.75	72.98	357



Ein und Ausgabe: Farbmetrisches Drucker-Reflektiv-System ORS19_96a für relativen CIELAB-Buntton $h^* = lab^*h^* = h_{ab}/360 = 357/360 = 0.992$ $u^* = b75r$

Daten für jede Farbe:

lab^*ch^* und lab^*icu^*

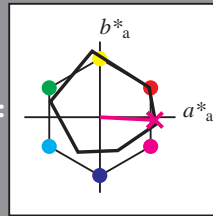
Elementar-Bunttontext:

$u^* = b75r$

Kontrastreduzierungsfaktor:

$c_R = 1.0$

Dreiecks-Helligkeit t^*



ORS19_96a; adaptierte CIELAB-Daten

	$L^*=L^*_a$	a^*_a	b^*_a	$C^*_{ab,a}$	$h^*_{ab,a}$
O _{Ma}	48.75	65.07	39.43	76.08	31
Y _{Ma}	90.92	-10.28	87.24	87.85	97
L _{Ma}	52.69	-65.43	20.75	68.65	162
C _{Ma}	59.61	-28.97	-46.21	54.56	238
V _{Ma}	28.39	23.63	-44.12	50.06	298
M _{Ma}	49.58	73.93	-9.55	74.55	353
N _{Ma}	18.89	0.0	0.0	0.0	0
W _{Ma}	96.9	0.0	0.0	0.0	0
R _{CIE}	39.92	58.74	27.99	65.07	25
J _{CIE}	81.26	-2.88	71.56	71.62	92
G _{CIE}	52.23	-42.41	13.6	44.55	162
B _{CIE}	30.57	1.41	-46.46	46.49	272

Daten für Maximalfarbe (Ma):

$LAB^*LAB^*_{Ma}$: 49 73 -3

$LAB^*LCH^*_{Ma}$: 49 73 357

$lab^*rgb^*_{Ma}$: 1.0 0.0 0.5

$lab^*olv^*_{Ma}$: 1.0 0.0 0.88

Dreiecks-Helligkeit t^*

%Umfang

$u^*_{rel} = 89$

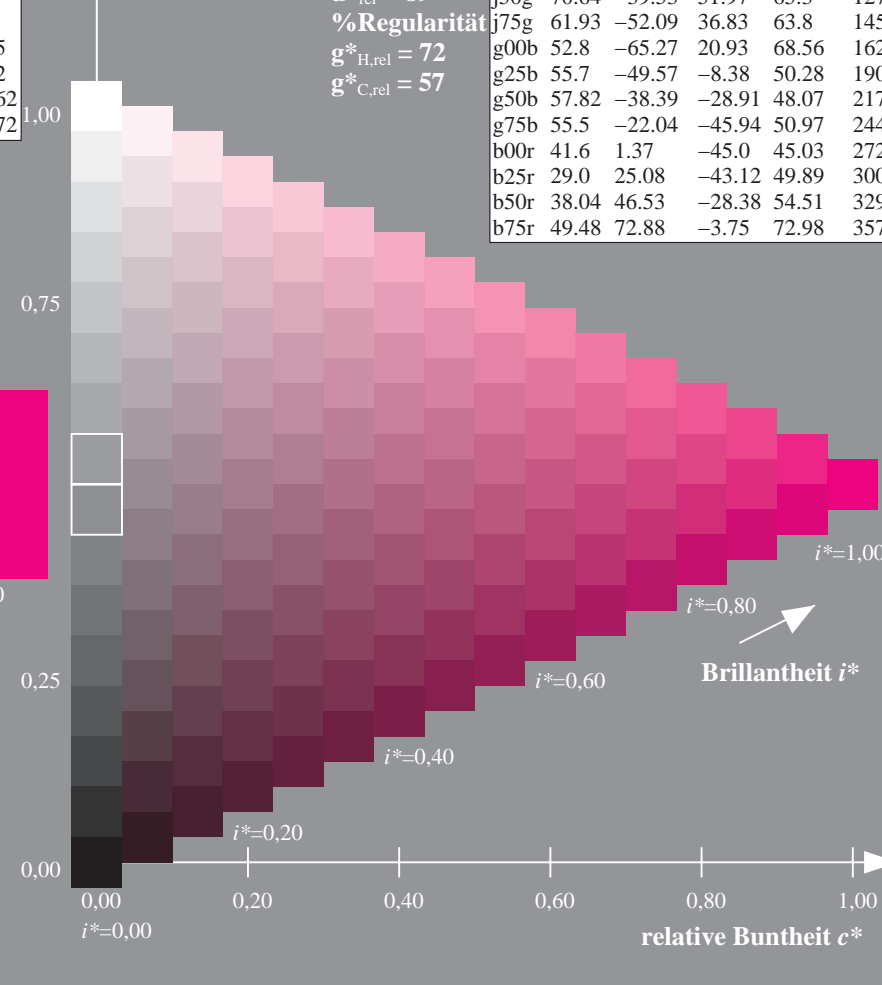
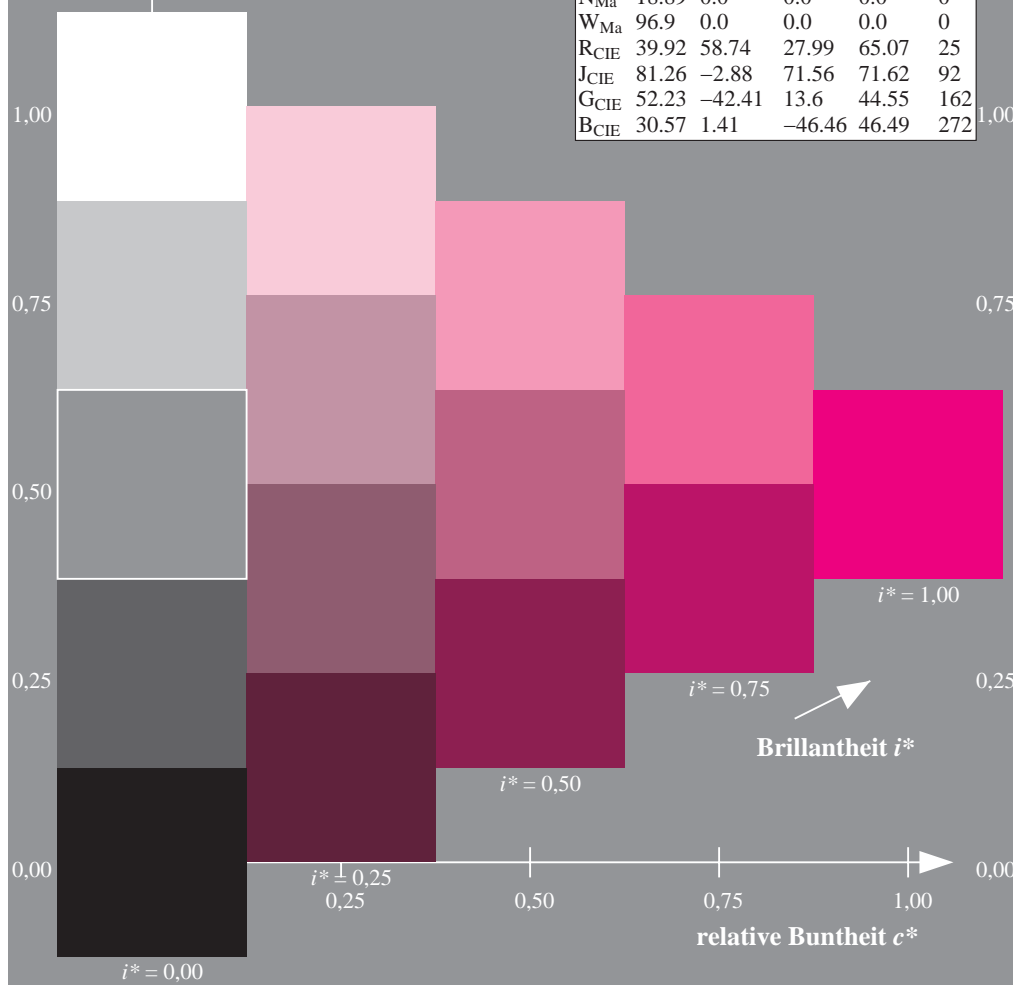
%Regularität

$g^*_{H,rel} = 72$

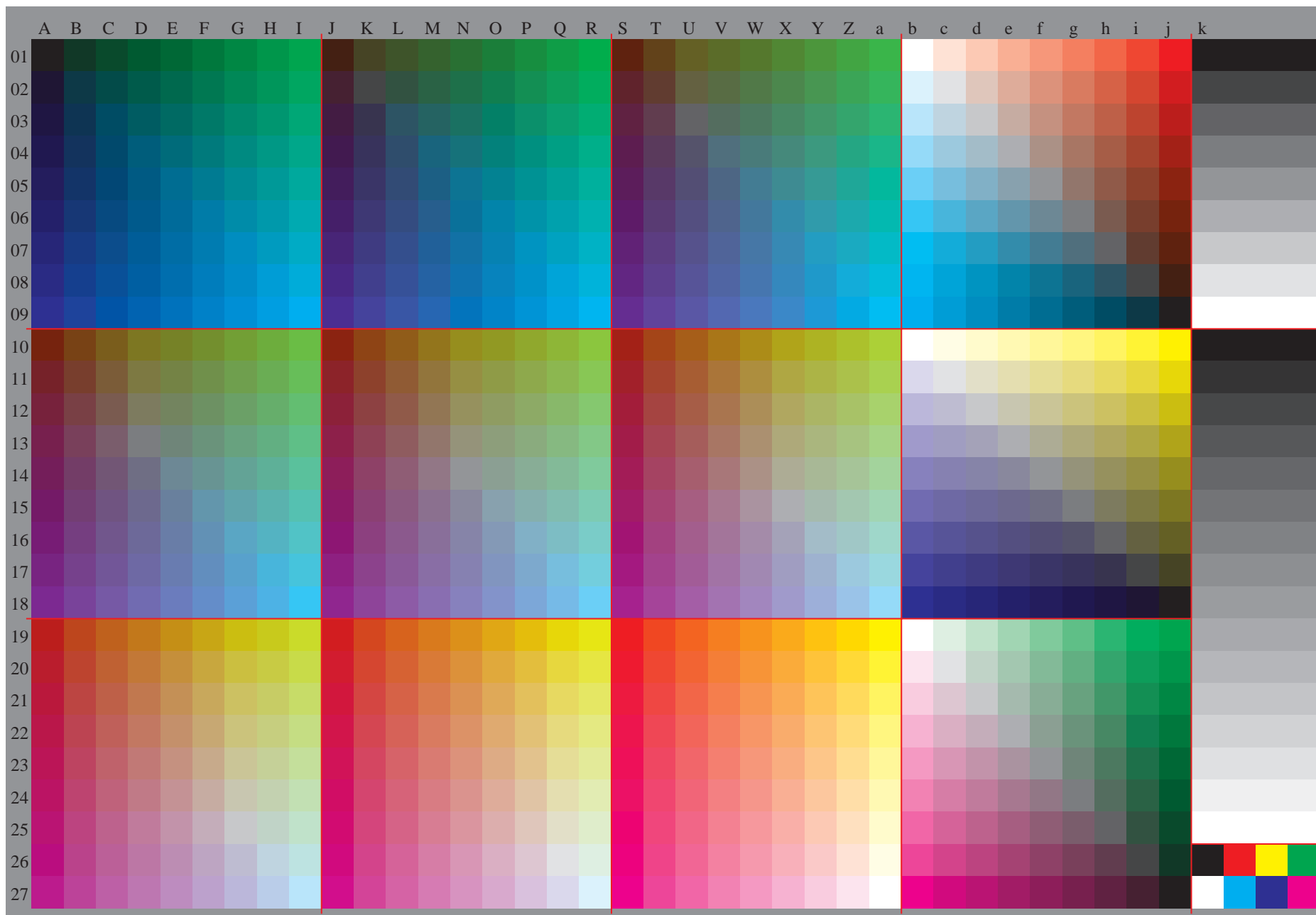
$g^*_{C,rel} = 57$

ORS19_96a; adaptierte CIELAB-Daten

	$L^*=L^*_a$	a^*_a	b^*_a	$C^*_{ab,a}$	$h^*_{ab,a}$
r00j	48.88	66.47	31.67	73.63	25
r25j	55.85	52.39	47.48	70.7	42
r50j	65.45	35.22	58.37	68.17	59
r75j	75.19	17.82	69.41	71.66	76
j00g	87.03	-3.34	82.83	82.9	92
j25g	80.72	-25.0	69.5	73.86	110
j50g	70.64	-39.53	51.97	65.3	127
j75g	61.93	-52.09	36.83	63.8	145
g00b	52.8	-65.27	20.93	68.56	162
g25b	55.7	-49.57	-8.38	50.28	190
g50b	57.82	-38.39	-28.91	48.07	217
g75b	55.5	-22.04	-45.94	50.97	244
b00r	41.6	1.37	-45.0	45.03	272
b25r	29.0	25.08	-43.12	49.89	300
b50r	38.04	46.53	-28.38	54.51	329
b75r	49.48	72.88	-3.75	72.98	357

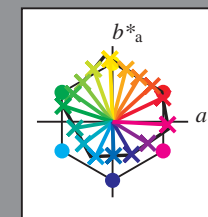


Siehe ähnliche Dateien: <http://www.ps.bam.de/Dg98/>; www.ps.bam.de/Dg98/10L/L98G00NP.PS/.PDF BAM-Material: Code=rh4ta
Technische Information: <http://www.ps.bam.de> Version 2.1, io=1,1, ColSpx=1



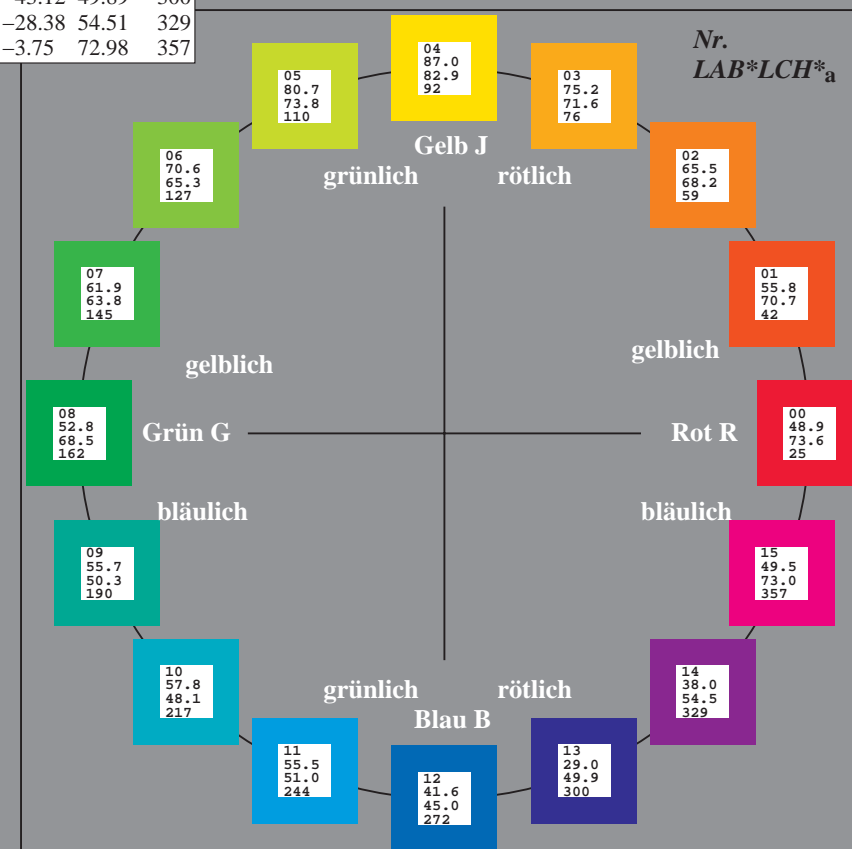
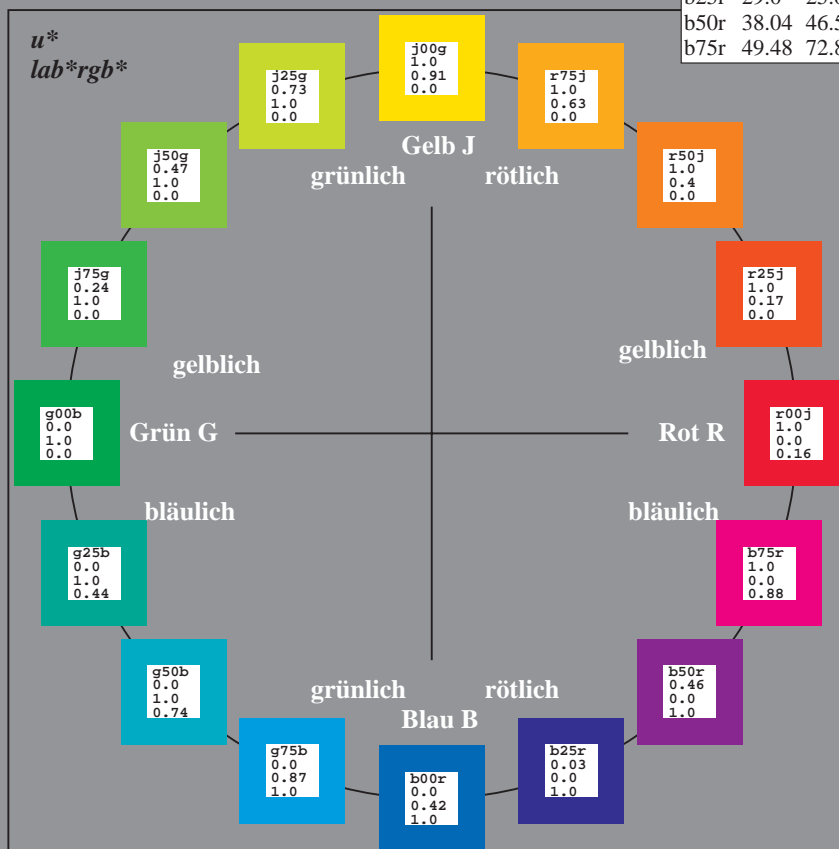
Ein und Ausgabe:
Farbmetrisches Drucker-Reflektiv-System ORS19_96a
Daten für jede Farbe:
*lab*_{tch*}* und *lab*_{icu*}*
Elementar-Bunttontext:
*u** = 16 Bunttöne *r00j*, *r25j*, ..., *b75r*
Kontrastreduzierungsfaktor:
c_R = 1.0

ORS19_96a; adaptierte CIELAB-Daten					
	<i>L*</i> = <i>L*</i> _a	<i>a*</i> _a	<i>b*</i> _a	<i>C*</i> _{ab,a}	<i>h*</i> _{ab,a}
r00j	48.88	66.47	31.67	73.63	25
r25j	55.85	52.39	47.48	70.7	42
r50j	65.45	35.22	58.37	68.17	59
r75j	75.19	17.82	69.41	71.66	76
j00g	87.03	-3.34	82.83	82.9	92
j25g	80.72	-25.0	69.5	73.86	110
j50g	70.64	-39.53	51.97	65.3	127
j75g	61.93	-52.09	36.83	63.8	145
g00b	52.8	-65.27	20.93	68.56	162
g25b	55.7	-49.57	-8.38	50.28	190
g50b	57.82	-38.39	-28.91	48.07	217
g75b	55.5	-22.04	-45.94	50.97	244
b00r	41.6	1.37	-45.0	45.03	272
b25r	29.0	25.08	-43.12	49.89	300
b50r	38.04	46.53	-28.38	54.51	329
b75r	49.48	72.88	-3.75	72.98	357



%Umfang
*u**_{rel} = 89
%Regularität
*g**_{H,rel} = 72
*g**_{C,rel} = 57

ORS19_96a; adaptierte CIELAB-Daten					
	<i>L*</i> = <i>L*</i> _a	<i>a*</i> _a	<i>b*</i> _a	<i>C*</i> _{ab,a}	<i>h*</i> _{ab,a}
OMa	48.75	65.07	39.43	76.08	31
YMa	90.92	-10.28	87.24	87.85	97
LMa	52.69	-65.43	20.75	68.65	162
CMa	59.61	-28.97	-46.21	54.56	238
VMa	28.39	23.63	-44.12	50.06	298
MMa	49.58	73.93	-9.55	74.55	353
NMa	18.89	0.0	0.0	0.0	0
WMa	96.9	0.0	0.0	0.0	0
RCIE	39.92	58.74	27.99	65.07	25
JCIE	81.26	-2.88	71.56	71.62	92
GCIE	52.23	-42.41	13.6	44.55	162
BCIE	30.57	1.41	-46.46	46.49	272



Ein und Ausgabe: Farbmetrisches Drucker-Reflexiv-System ORS19_96a für relativen CIELAB-Buntton $h^* = lab^*h^* = h_{ab}/360 = 25/360 = 0.071$ $u^* = r00j$
Daten für jede Farbe: lab^*ch^* und lab^*icu^*

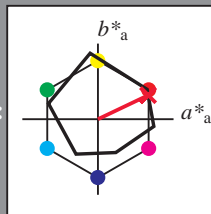
Elementar-Bunttontext:

$u^* = r00j$

Kontrastreduzierungsfaktor:

$c_R = 1.0$

Dreiecks-Helligkeit t^*



ORS19_96a; adaptierte CIELAB-Daten

	$L^*=L^*_a$	a^*_a	b^*_a	$C^*_{ab,a}$	$h^*_{ab,a}$
O _{Ma}	48.75	65.07	39.43	76.08	31
Y _{Ma}	90.92	-10.28	87.24	87.85	97
L _{Ma}	52.69	-65.43	20.75	68.65	162
C _{Ma}	59.61	-28.97	-46.21	54.56	238
V _{Ma}	28.39	23.63	-44.12	50.06	298
M _{Ma}	49.58	73.93	-9.55	74.55	353
N _{Ma}	18.89	0.0	0.0	0.0	0
W _{Ma}	96.9	0.0	0.0	0.0	0
R _{CIE}	39.92	58.74	27.99	65.07	25
J _{CIE}	81.26	-2.88	71.56	71.62	92
G _{CIE}	52.23	-42.41	13.6	44.55	162
B _{CIE}	30.57	1.41	-46.46	46.49	272

Daten für Maximalfarbe (Ma):

$LAB^*LAB^*_{Ma}$: 49 66 32

$LAB^*LCH^*_{Ma}$: 49 74 25

$lab^*rgb^*_{Ma}$: 1.0 0.0 0.0

$lab^*olv^*_{Ma}$: 1.0 0.0 0.16

Dreiecks-Helligkeit t^*

%Umfang

$u^*_{rel} = 89$

%Regularität

$g^*_{H,rel} = 72$

$g^*_{C,rel} = 57$

ORS19_96a; adaptierte CIELAB-Daten

	$L^*=L^*_a$	a^*_a	b^*_a	$C^*_{ab,a}$	$h^*_{ab,a}$
r00j	48.88	66.47	31.67	73.63	25
r25j	55.85	52.39	47.48	70.7	42
r50j	65.45	35.22	58.37	68.17	59
r75j	75.19	17.82	69.41	71.66	76
j00g	87.03	-3.34	82.83	82.9	92
j25g	80.72	-25.0	69.5	73.86	110
j50g	70.64	-39.53	51.97	65.3	127
j75g	61.93	-52.09	36.83	63.8	145
g00b	52.8	-65.27	20.93	68.56	162
g25b	55.7	-49.57	-8.38	50.28	190
g50b	57.82	-38.39	-28.91	48.07	217
g75b	55.5	-22.04	-45.94	50.97	244
b00r	41.6	1.37	-45.0	45.03	272
b25r	29.0	25.08	-43.12	49.89	300
b50r	38.04	46.53	-28.38	54.51	329
b75r	49.48	72.88	-3.75	72.98	357

lab^*rgb^*

$i^* = 1.00$

Brillantheit i^*

$i^* = 0.80$

$i^* = 0.60$

$i^* = 0.40$

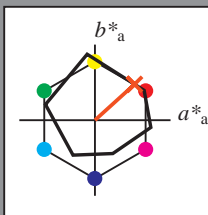
$i^* = 0.20$

$i^* = 0.00$

Ein und Ausgabe: Farbmetrisches Drucker-Reflektiv-System ORS19_96a für relativen CIELAB-Buntton $h^* = lab^*h^* = h_{ab}/360 = 42/360 = 0.117$ $u^* = r25j$
Daten für jede Farbe: lab^*ch^* und lab^*icu^*

Elementar-Bunttontext:
 $u^* = r25j$

Kontrastreduzierungsfaktor:
 $c_R = 1.0$
Dreiecks-Helligkeit t^*



ORS19_96a; adaptierte CIELAB-Daten					
	$L^*=L^*_a$	a^*_a	b^*_a	$C^*_{ab,a}$	$h^*_{ab,a}$
O _{Ma}	48.75	65.07	39.43	76.08	31
Y _{Ma}	90.92	-10.28	87.24	87.85	97
L _{Ma}	52.69	-65.43	20.75	68.65	162
C _{Ma}	59.61	-28.97	-46.21	54.56	238
V _{Ma}	28.39	23.63	-44.12	50.06	298
M _{Ma}	49.58	73.93	-9.55	74.55	353
N _{Ma}	18.89	0.0	0.0	0.0	0
W _{Ma}	96.9	0.0	0.0	0.0	0
R _{CIE}	39.92	58.74	27.99	65.07	25
J _{CIE}	81.26	-2.88	71.56	71.62	92
G _{CIE}	52.23	-42.41	13.6	44.55	162
B _{CIE}	30.57	1.41	-46.46	46.49	272

Daten für Maximalfarbe (Ma):

$LAB^*LAB^*_{Ma}$: 56 52 47

$LAB^*LCH^*_{Ma}$: 56 71 42

$lab^*rgb^*_{Ma}$: 1.0 0.25 0.0

$lab^*olv^*_{Ma}$: 1.0 0.17 0.0

Dreiecks-Helligkeit t^*

%Umfang

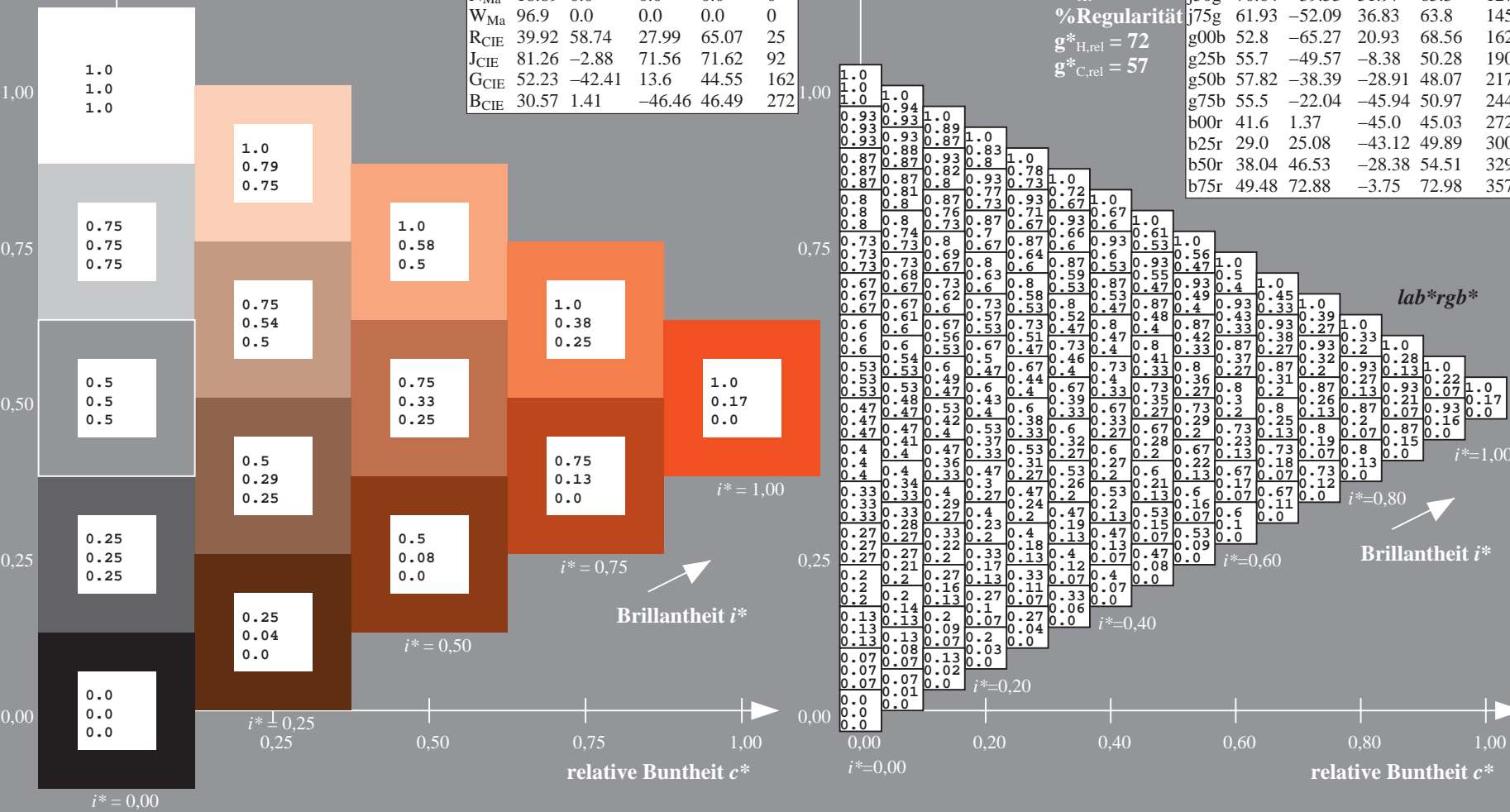
$u^*_{rel} = 89$

%Regularität

$g^*_{H,rel} = 72$

$g^*_{C,rel} = 57$

ORS19_96a; adaptierte CIELAB-Daten					
	$L^*=L^*_a$	a^*_a	b^*_a	$C^*_{ab,a}$	$h^*_{ab,a}$
r00j	48.88	66.47	31.67	73.63	25
r25j	55.85	52.39	47.48	70.7	42
r50j	65.45	35.22	58.37	68.17	59
r75j	75.19	17.82	69.41	71.66	76
j00g	87.03	-3.34	82.83	82.9	92
j25g	80.72	-25.0	69.5	73.86	110
j50g	70.64	-39.53	51.97	65.3	127
j75g	61.93	-52.09	36.83	63.8	145
g00b	52.8	-65.27	20.93	68.56	162
g25b	55.7	-49.57	-8.38	50.28	190
g50b	57.82	-38.39	-28.91	48.07	217
g75b	55.5	-22.04	-45.94	50.97	244
b00r	41.6	1.37	-45.0	45.03	272
b25r	29.0	25.08	-43.12	49.89	300
b50r	38.04	46.53	-28.38	54.51	329
b75r	49.48	72.88	-3.75	72.98	357



Ein und Ausgabe: Farbmetrisches Drucker-Reflektiv-System ORS19_96a für relativen CIELAB-Buntton $h^* = lab^*h^* = h_{ab}/360 = 59/360 = 0.164$ $u^* = r50j$
Daten für jede Farbe: lab^*ch^* und lab^*icu^*

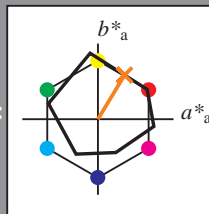
Elementar-Bunttontext:

$u^* = r50j$

Kontrastreduzierungsfaktor:

$c_R = 1.0$

Dreiecks-Helligkeit t^*



ORS19_96a; adaptierte CIELAB-Daten					
	$L^*=L_a^*$	a_a^*	b_a^*	$C^*_{ab,a}$	$h^*_{ab,a}$
O _{Ma}	48.75	65.07	39.43	76.08	31
Y _{Ma}	90.92	-10.28	87.24	87.85	97
L _{Ma}	52.69	-65.43	20.75	68.65	162
C _{Ma}	59.61	-28.97	-46.21	54.56	238
V _{Ma}	28.39	23.63	-44.12	50.06	298
M _{Ma}	49.58	73.93	-9.55	74.55	353
N _{Ma}	18.89	0.0	0.0	0.0	0
W _{Ma}	96.9	0.0	0.0	0.0	0
R _{CIE}	39.92	58.74	27.99	65.07	25
J _{CIE}	81.26	-2.88	71.56	71.62	92
G _{CIE}	52.23	-42.41	13.6	44.55	162
B _{CIE}	30.57	1.41	-46.46	46.49	272

Daten für Maximalfarbe (Ma):

$LAB^*LAB^*_{Ma}$: 65 35 58

$LAB^*LCH^*_{Ma}$: 65 68 59

$lab^*rgb^*_{Ma}$: 1.0 0.5 0.0

$lab^*olv^*_{Ma}$: 1.0 0.4 0.0

Dreiecks-Helligkeit t^*

%Umfang

$u^*_{rel} = 89$

%Regularität

$g^*_{H,rel} = 72$

$g^*_{C,rel} = 57$

ORS19_96a; adaptierte CIELAB-Daten					
	$L^*=L_a^*$	a_a^*	b_a^*	$C^*_{ab,a}$	$h^*_{ab,a}$
r00j	48.88	66.47	31.67	73.63	25
r25j	55.85	52.39	47.48	70.7	42
r50j	65.45	35.22	58.37	68.17	59
r75j	75.19	17.82	69.41	71.66	76
j00g	87.03	-3.34	82.83	82.9	92
j25g	80.72	-25.0	69.5	73.86	110
j50g	70.64	-39.53	51.97	65.3	127
j75g	61.93	-52.09	36.83	63.8	145
g00b	52.8	-65.27	20.93	68.56	162
g25b	55.7	-49.57	-8.38	50.28	190
g50b	57.82	-38.39	-28.91	48.07	217
g75b	55.5	-22.04	-45.94	50.97	244
b00r	41.6	1.37	-45.0	45.03	272
b25r	29.0	25.08	-43.12	49.89	300
b50r	38.04	46.53	-28.38	54.51	329
b75r	49.48	72.88	-3.75	72.98	357

lab^*rgb^*

$i^* = 1.00$

Brillantheit i^*

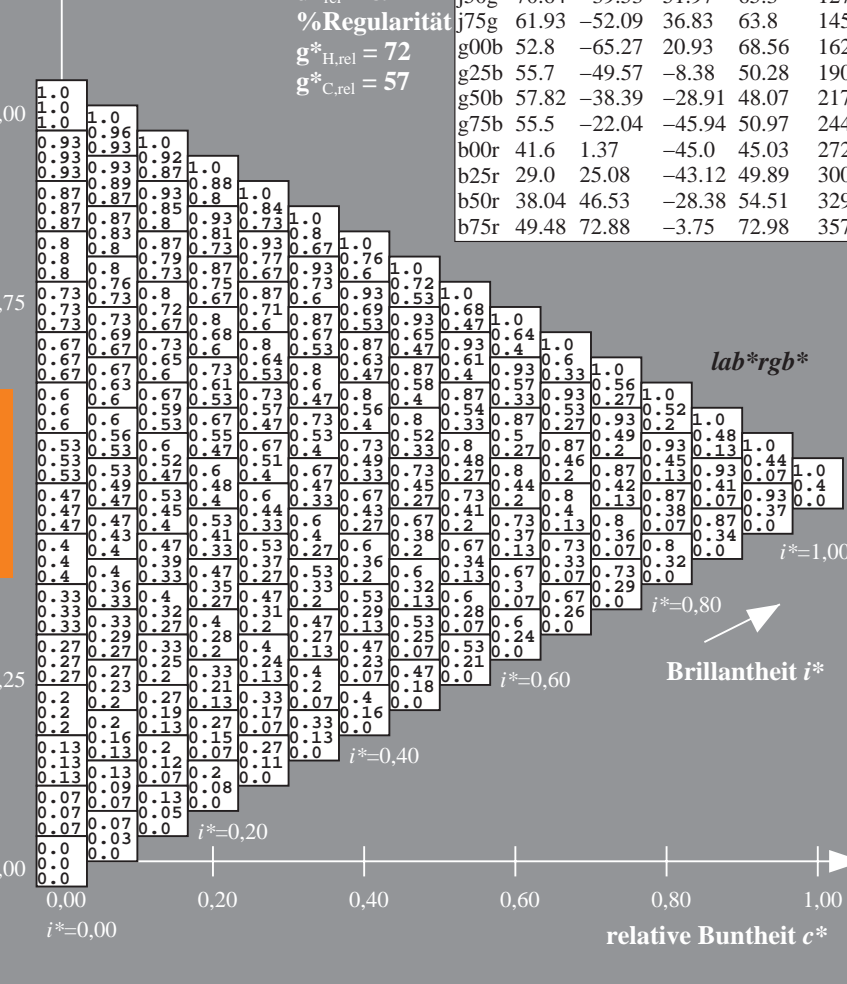
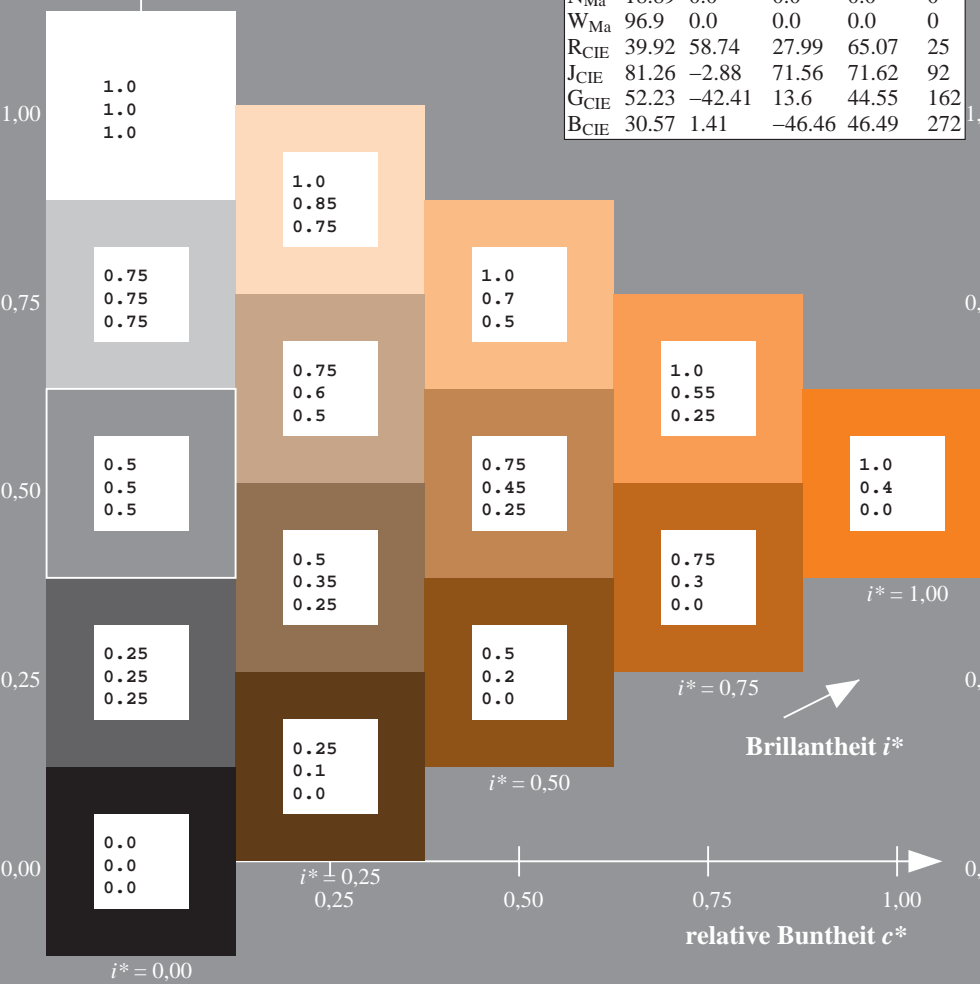
$i^* = 0.80$

$i^* = 0.60$

$i^* = 0.40$

$i^* = 0.20$

$i^* = 0.00$



Ein und Ausgabe: Farbmetrisches Drucker-Reflektiv-System ORS19_96a für relativen CIELAB-Buntton $h^* = \text{lab}^*h^* = h_{ab}/360 = 76/360 = 0.21$

Daten für jede Farbe:

lab^*ch^* und lab^*icu^*

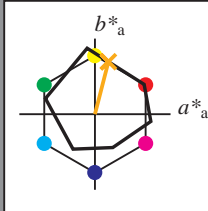
Elementar-Bunttontext:

$u^* = r75j$

Kontrastreduzierungsfaktor:

$c_R = 1.0$

Dreiecks-Helligkeit t^*



ORS19_96a; adaptierte CIELAB-Daten

	$L^*=L_a^*$	a_a^*	b_a^*	$C_{ab,a}^*$	$h_{ab,a}^*$
O _{Ma}	48.75	65.07	39.43	76.08	31
Y _{Ma}	90.92	-10.28	87.24	87.85	97
L _{Ma}	52.69	-65.43	20.75	68.65	162
C _{Ma}	59.61	-28.97	-46.21	54.56	238
V _{Ma}	28.39	23.63	-44.12	50.06	298
M _{Ma}	49.58	73.93	-9.55	74.55	353
N _{Ma}	18.89	0.0	0.0	0.0	0
W _{Ma}	96.9	0.0	0.0	0.0	0
R _{CIE}	39.92	58.74	27.99	65.07	25
J _{CIE}	81.26	-2.88	71.56	71.62	92
G _{CIE}	52.23	-42.41	13.6	44.55	162
B _{CIE}	30.57	1.41	-46.46	46.49	272

Daten für Maximalfarbe (Ma):

$\text{LAB}^*\text{LAB}^*\text{Ma}$: 75 18 69

$\text{LAB}^*\text{LCH}^*\text{Ma}$: 75 72 76

$\text{lab}^*\text{rgb}^*\text{Ma}$: 1.0 0.75 0.0

$\text{lab}^*\text{olv}^*\text{Ma}$: 1.0 0.63 0.0

Dreiecks-Helligkeit t^*

%Umfang

$u^*_{\text{rel}} = 89$

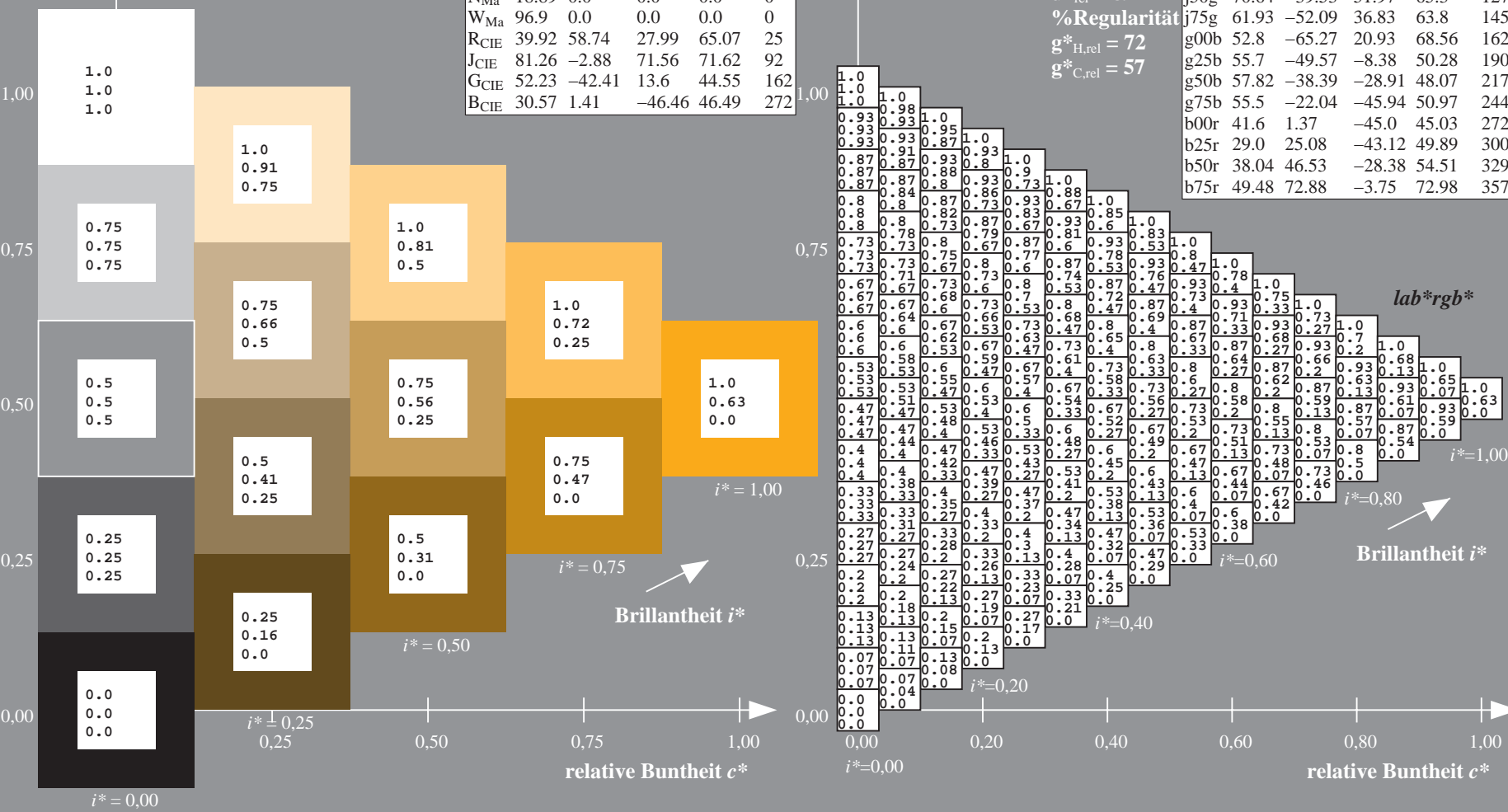
%Regularität

$g^*_{H,\text{rel}} = 72$

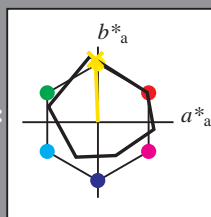
$g^*_{C,\text{rel}} = 57$

ORS19_96a; adaptierte CIELAB-Daten

	$L^*=L_a^*$	a_a^*	b_a^*	$C_{ab,a}^*$	$h_{ab,a}^*$
r00j	48.88	66.47	31.67	73.63	25
r25j	55.85	52.39	47.48	70.7	42
r50j	65.45	35.22	58.37	68.17	59
r75j	75.19	17.82	69.41	71.66	76
j00g	87.03	-3.34	82.83	82.9	92
j25g	80.72	-25.0	69.5	73.86	110
j50g	70.64	-39.53	51.97	65.3	127
j75g	61.93	-52.09	36.83	63.8	145
g00b	52.8	-65.27	20.93	68.56	162
g25b	55.7	-49.57	-8.38	50.28	190
g50b	57.82	-38.39	-28.91	48.07	217
g75b	55.5	-22.04	-45.94	50.97	244
b00r	41.6	1.37	-45.0	45.03	272
b25r	29.0	25.08	-43.12	49.89	300
b50r	38.04	46.53	-28.38	54.51	329
b75r	49.48	72.88	-3.75	72.98	357



Ein und Ausgabe: Farbmetrisches Drucker-Reflektiv-System ORS19_96a für relativen CIELAB-Buntton $h^* = lab^*h^* = h_{ab}/360 = 92/360 = 0.256$ $u^* = j00g$
Daten für jede Farbe: lab^*ch^* und lab^*icu^*
Elementar-Bunttontext: $u^* = j00g$
Kontrastreduzierungsfaktor: $c_R = 1.0$
Dreiecks-Helligkeit t^*



ORS19_96a; adaptierte CIELAB-Daten					
	$L^*=L^*_a$	a^*_a	b^*_a	$C^*_{ab,a}$	$h^*_{ab,a}$
O _{Ma}	48.75	65.07	39.43	76.08	31
Y _{Ma}	90.92	-10.28	87.24	87.85	97
L _{Ma}	52.69	-65.43	20.75	68.65	162
C _{Ma}	59.61	-28.97	-46.21	54.56	238
V _{Ma}	28.39	23.63	-44.12	50.06	298
M _{Ma}	49.58	73.93	-9.55	74.55	353
N _{Ma}	18.89	0.0	0.0	0.0	0
W _{Ma}	96.9	0.0	0.0	0.0	0
R _{CIE}	39.92	58.74	27.99	65.07	25
J _{CIE}	81.26	-2.88	71.56	71.62	92
G _{CIE}	52.23	-42.41	13.6	44.55	162
B _{CIE}	30.57	1.41	-46.46	46.49	272

Daten für Maximalfarbe (Ma):

$LAB^*LAB^*_{Ma}$: 87 -2 83

$LAB^*LCH^*_{Ma}$: 87 83 92

$lab^*rgb^*_{Ma}$: 1.0 1.0 0.0

$lab^*olv^*_{Ma}$: 1.0 0.91 0.0

Dreiecks-Helligkeit t^*

%Umfang

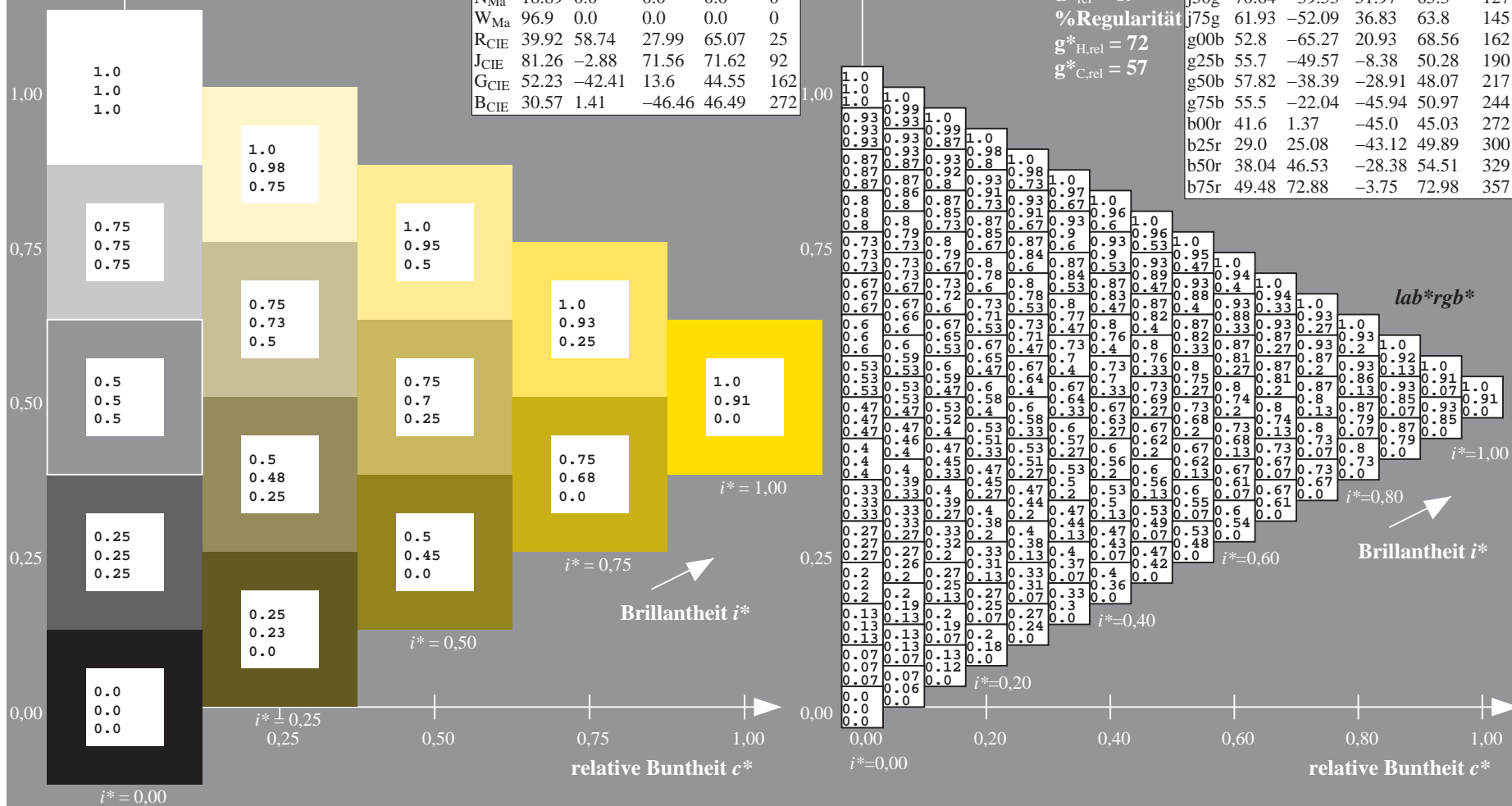
$u^*_{rel} = 89$

%Regularität

$g^*_{H,rel} = 72$

$g^*_{C,rel} = 57$

ORS19_96a; adaptierte CIELAB-Daten					
	$L^*=L^*_a$	a^*_a	b^*_a	$C^*_{ab,a}$	$h^*_{ab,a}$
r00j	48.88	66.47	31.67	73.63	25
r25j	55.85	52.39	47.48	70.7	42
r50j	65.45	35.22	58.37	68.17	59
r75j	75.19	17.82	69.41	71.66	76
j00g	87.03	-3.34	82.83	82.9	92
j25g	80.72	-25.0	69.5	73.86	110
j50g	70.64	-39.53	51.97	65.3	127
j75g	61.93	-52.09	36.83	63.8	145
g00b	52.8	-65.27	20.93	68.56	162
g25b	55.7	-49.57	-8.38	50.28	190
g50b	57.82	-38.39	-28.91	48.07	217
g75b	55.5	-22.04	-45.94	50.97	244
b00r	41.6	1.37	-45.0	45.03	272
b25r	29.0	25.08	-43.12	49.89	300
b50r	38.04	46.53	-28.38	54.51	329
b75r	49.48	72.88	-3.75	72.98	357



Ein und Ausgabe: Farbmetrisches Drucker-Reflektiv-System ORS19_96a für relativen CIELAB-Buntton $h^* = lab^*h^* = h_{ab}/360 = 110/360 = 0.305$ $u^* = j25g$
Daten für jede Farbe: lab^*ch^* und lab^*icu^*

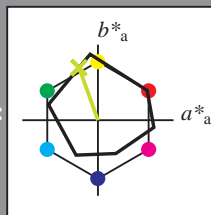
Elementar-Bunttonextext:

$u^* = j25g$

Kontrastreduzierungsfaktor:

$c_R = 1.0$

Dreiecks-Helligkeit t^*



ORS19_96a; adaptierte CIELAB-Daten					
	$L^*=L^*_a$	a^*_a	b^*_a	$C^*_{ab,a}$	$h^*_{ab,a}$
O _{Ma}	48.75	65.07	39.43	76.08	31
Y _{Ma}	90.92	-10.28	87.24	87.85	97
L _{Ma}	52.69	-65.43	20.75	68.65	162
C _{Ma}	59.61	-28.97	-46.21	54.56	238
V _{Ma}	28.39	23.63	-44.12	50.06	298
M _{Ma}	49.58	73.93	-9.55	74.55	353
N _{Ma}	18.89	0.0	0.0	0.0	0
W _{Ma}	96.9	0.0	0.0	0.0	0
R _{CIE}	39.92	58.74	27.99	65.07	25
J _{CIE}	81.26	-2.88	71.56	71.62	92
G _{CIE}	52.23	-42.41	13.6	44.55	162
B _{CIE}	30.57	1.41	-46.46	46.49	272

Daten für Maximalfarbe (Ma):

$LAB^*LAB^*_{Ma}$: 81 -24 69

$LAB^*LCH^*_{Ma}$: 81 74 110

$lab^*rgb^*_{Ma}$: 0.75 1.0 0.0

$lab^*olv^*_{Ma}$: 0.73 1.0 0.0

Dreiecks-Helligkeit t^*

%Umfang

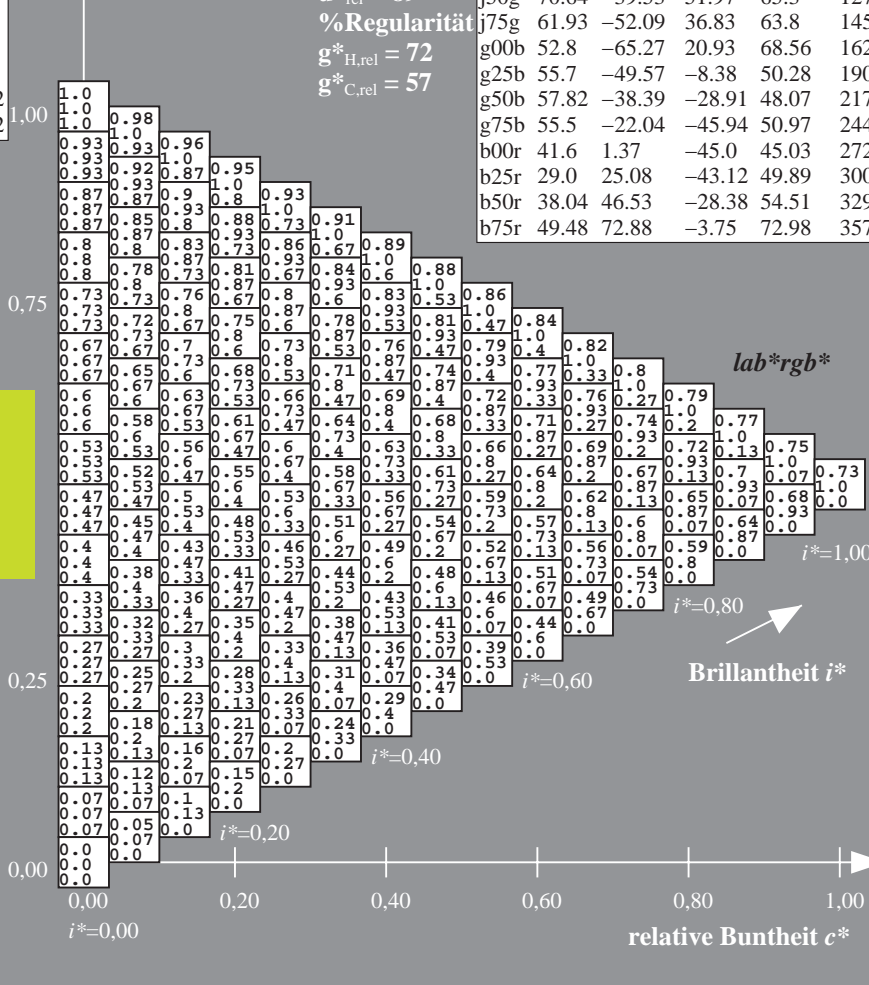
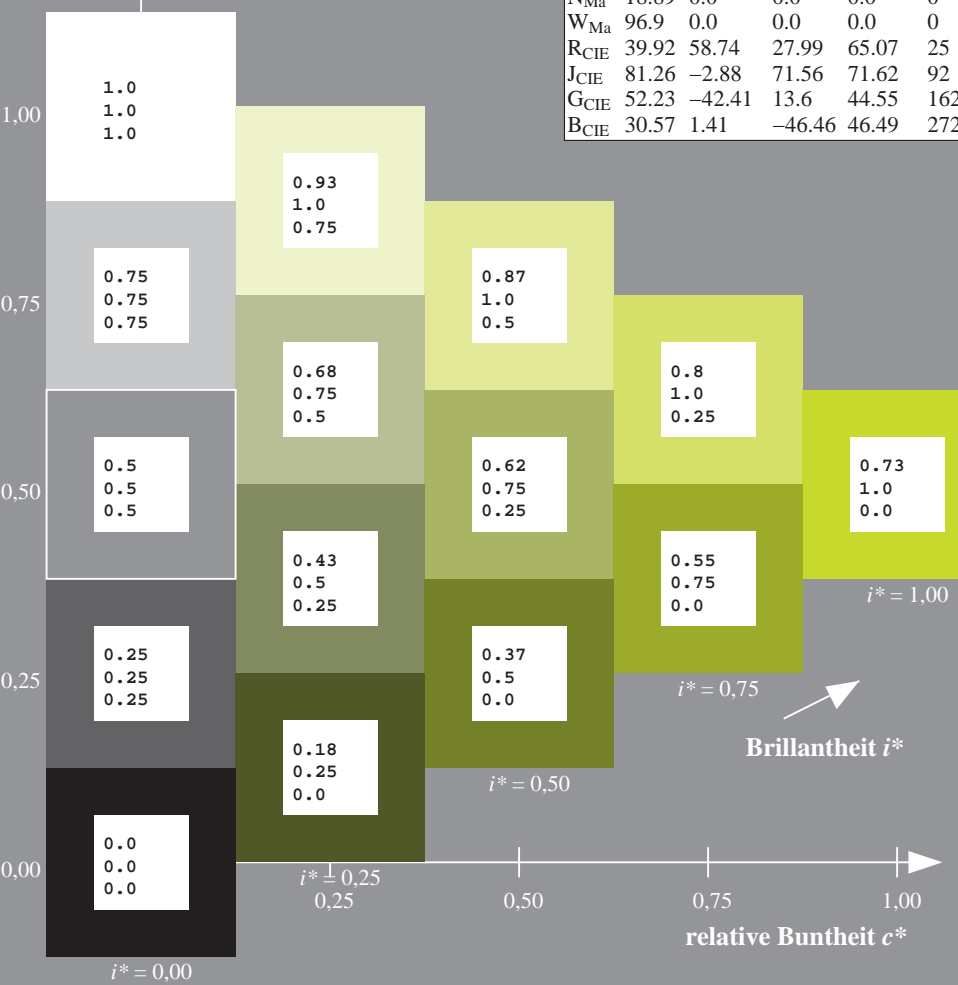
$u^*_{rel} = 89$

%Regularität

$g^*_{H,rel} = 72$

$g^*_{C,rel} = 57$

ORS19_96a; adaptierte CIELAB-Daten					
	$L^*=L^*_a$	a^*_a	b^*_a	$C^*_{ab,a}$	$h^*_{ab,a}$
r00j	48.88	66.47	31.67	73.63	25
r25j	55.85	52.39	47.48	70.7	42
r50j	65.45	35.22	58.37	68.17	59
r75j	75.19	17.82	69.41	71.66	76
j00g	87.03	-3.34	82.83	82.9	92
j25g	80.72	-25.0	69.5	73.86	110
j50g	70.64	-39.53	51.97	65.3	127
j75g	61.93	-52.09	36.83	63.8	145
g00b	52.8	-65.27	20.93	68.56	162
g25b	55.7	-49.57	-8.38	50.28	190
g50b	57.82	-38.39	-28.91	48.07	217
g75b	55.5	-22.04	-45.94	50.97	244
b00r	41.6	1.37	-45.0	45.03	272
b25r	29.0	25.08	-43.12	49.89	300
b50r	38.04	46.53	-28.38	54.51	329
b75r	49.48	72.88	-3.75	72.98	357



Ein und Ausgabe: Farbmetrisches Drucker-Reflektiv-System ORS19_96a für relativen CIELAB-Buntton $h^* = lab^*h^* = h_{ab}/360 = 127/360 = 0.354$ $u^* = j50g$
Daten für jede Farbe: lab^*ch^* und lab^*icu^*

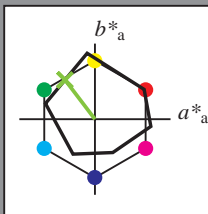
Elementar-Bunttonextext:

$u^* = j50g$

Kontrastreduzierungsfaktor:

$c_R = 1.0$

Dreiecks-Helligkeit t^*



ORS19_96a; adaptierte CIELAB-Daten					
	$L^*=L^*_a$	a^*_a	b^*_a	$C^*_{ab,a}$	$h^*_{ab,a}$
O _{Ma}	48.75	65.07	39.43	76.08	31
Y _{Ma}	90.92	-10.28	87.24	87.85	97
L _{Ma}	52.69	-65.43	20.75	68.65	162
C _{Ma}	59.61	-28.97	-46.21	54.56	238
V _{Ma}	28.39	23.63	-44.12	50.06	298
M _{Ma}	49.58	73.93	-9.55	74.55	353
N _{Ma}	18.89	0.0	0.0	0.0	0
W _{Ma}	96.9	0.0	0.0	0.0	0
R _{CIE}	39.92	58.74	27.99	65.07	25
J _{CIE}	81.26	-2.88	71.56	71.62	92
G _{CIE}	52.23	-42.41	13.6	44.55	162
B _{CIE}	30.57	1.41	-46.46	46.49	272

Daten für Maximalfarbe (Ma):

$LAB^*LAB^*_{Ma}$: 71 -39 52

$LAB^*LCH^*_{Ma}$: 71 65 127

$lab^*rgb^*_{Ma}$: 0.5 1.0 0.0

$lab^*olv^*_{Ma}$: 0.47 1.0 0.0

Dreiecks-Helligkeit t^*

%Umfang

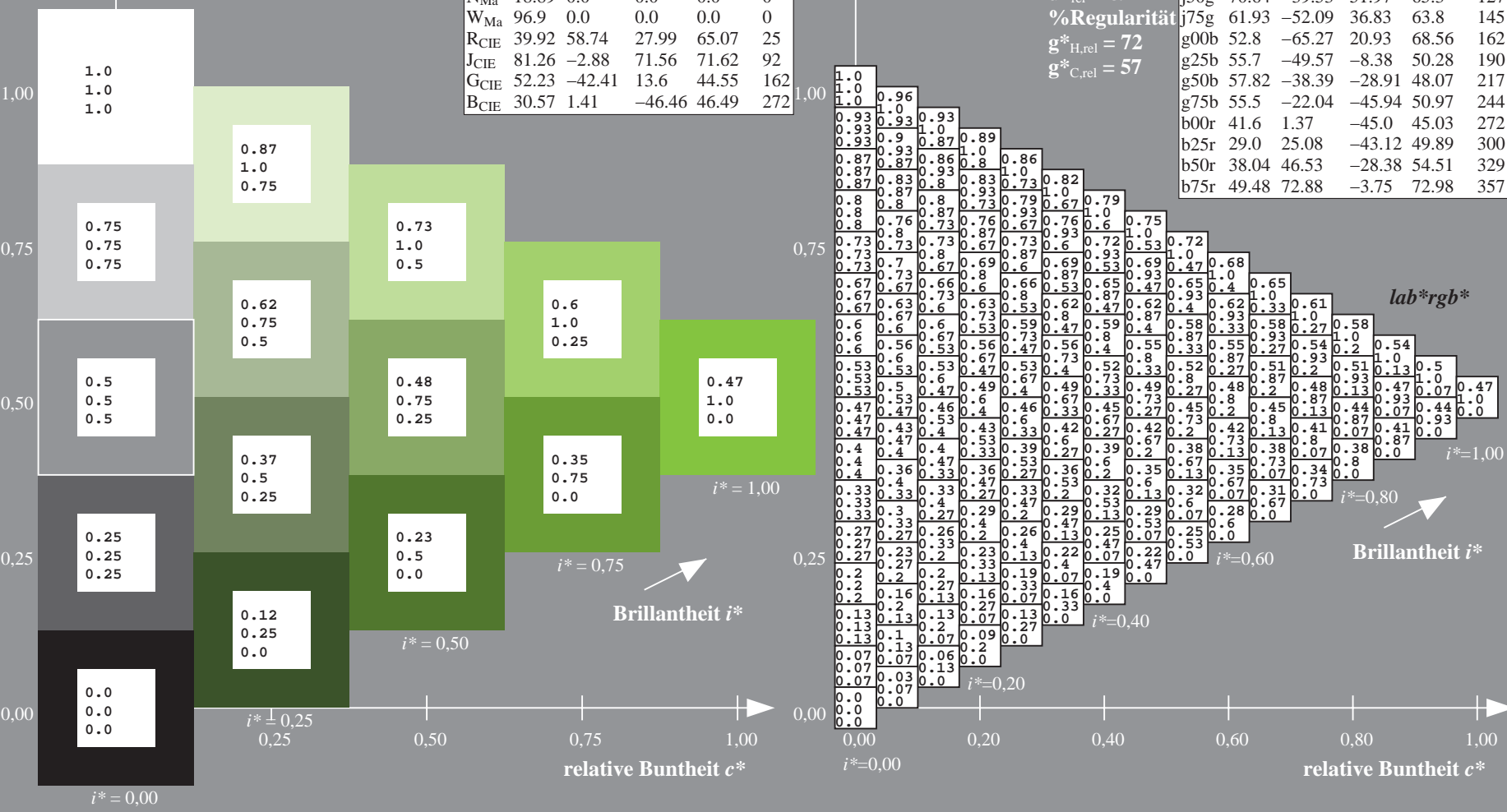
$u^*_{rel} = 89$

%Regularität

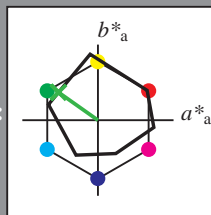
$g^*_{H,rel} = 72$

$g^*_{C,rel} = 57$

ORS19_96a; adaptierte CIELAB-Daten					
	$L^*=L^*_a$	a^*_a	b^*_a	$C^*_{ab,a}$	$h^*_{ab,a}$
r00j	48.88	66.47	31.67	73.63	25
r25j	55.85	52.39	47.48	70.7	42
r50j	65.45	35.22	58.37	68.17	59
r75j	75.19	17.82	69.41	71.66	76
j00g	87.03	-3.34	82.83	82.9	92
j25g	80.72	-25.0	69.5	73.86	110
j50g	70.64	-39.53	51.97	65.3	127
j75g	61.93	-52.09	36.83	63.8	145
g00b	52.8	-65.27	20.93	68.56	162
g25b	55.7	-49.57	-8.38	50.28	190
g50b	57.82	-38.39	-28.91	48.07	217
g75b	55.5	-22.04	-45.94	50.97	244
b00r	41.6	1.37	-45.0	45.03	272
b25r	29.0	25.08	-43.12	49.89	300
b50r	38.04	46.53	-28.38	54.51	329
b75r	49.48	72.88	-3.75	72.98	357



Ein und Ausgabe: Farbmetrisches Drucker-Reflektiv-System ORS19_96a für relativen CIELAB-Buntton $h^* = lab^*h^* = h_{ab}/360 = 145/360 = 0.402$ $u^* = j75g$
Daten für jede Farbe: lab^*ch^* und lab^*icu^*
Elementar-Bunttontext: $u^* = j75g$
Kontrastreduzierungsfaktor: $c_R = 1.0$
Dreiecks-Helligkeit t^*



ORS19_96a; adaptierte CIELAB-Daten					
	$L^*=L^*_a$	a^*_a	b^*_a	$C^*_{ab,a}$	$h^*_{ab,a}$
O _{Ma}	48.75	65.07	39.43	76.08	31
Y _{Ma}	90.92	-10.28	87.24	87.85	97
L _{Ma}	52.69	-65.43	20.75	68.65	162
C _{Ma}	59.61	-28.97	-46.21	54.56	238
V _{Ma}	28.39	23.63	-44.12	50.06	298
M _{Ma}	49.58	73.93	-9.55	74.55	353
N _{Ma}	18.89	0.0	0.0	0.0	0
W _{Ma}	96.9	0.0	0.0	0.0	0
R _{CIE}	39.92	58.74	27.99	65.07	25
J _{CIE}	81.26	-2.88	71.56	71.62	92
G _{CIE}	52.23	-42.41	13.6	44.55	162
B _{CIE}	30.57	1.41	-46.46	46.49	272

Daten für Maximalfarbe (Ma):

$LAB^*LAB^*_{Ma}$: 62 -51 37

$LAB^*LCH^*_{Ma}$: 62 64 145

$lab^*rgb^*_{Ma}$: 0.25 1.0 0.0

$lab^*olv^*_{Ma}$: 0.24 1.0 0.0

Dreiecks-Helligkeit t^*

%Umfang

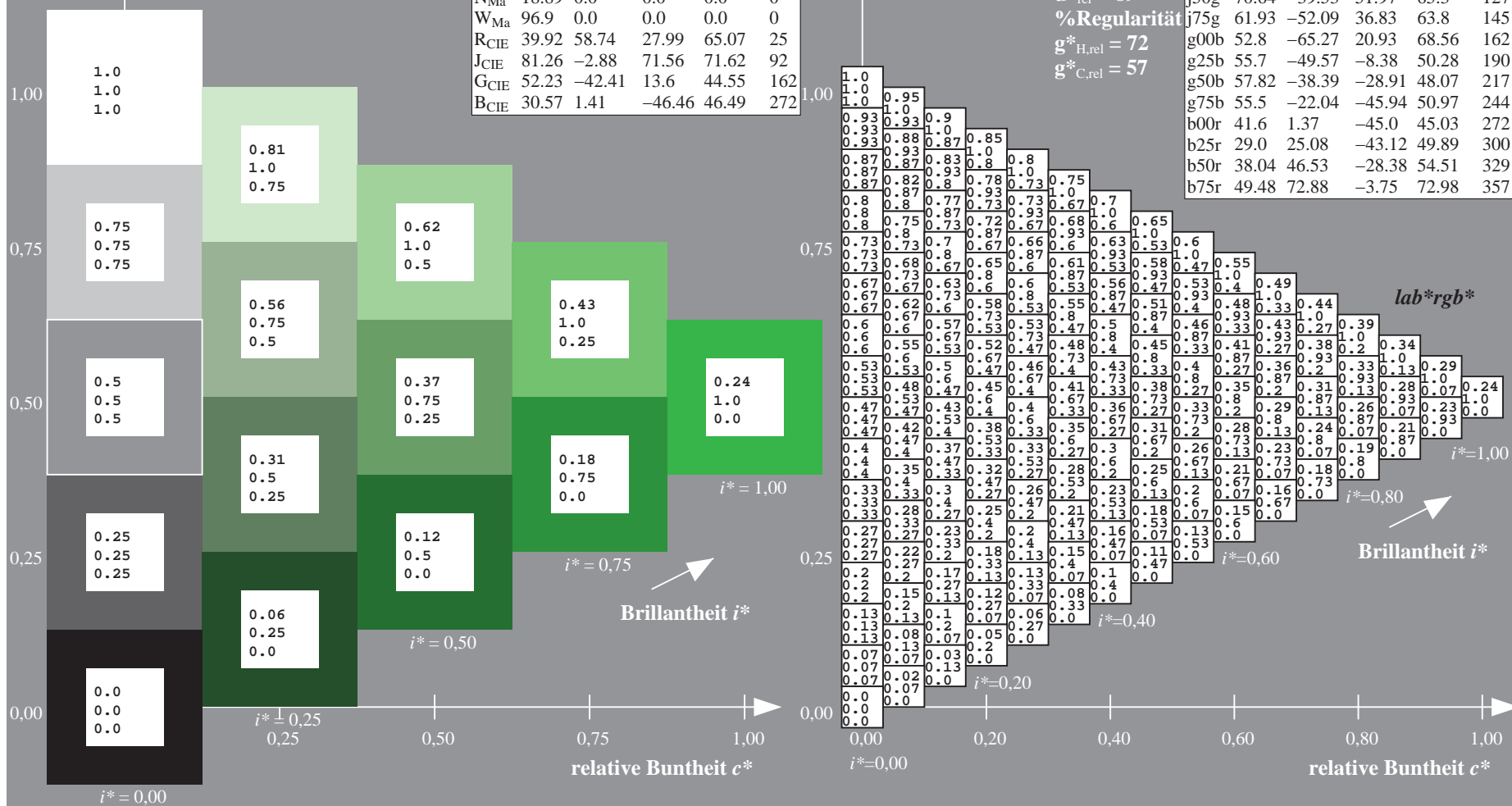
$u^*_{rel} = 89$

%Regularität

$g^*_{H,rel} = 72$

$g^*_{C,rel} = 57$

ORS19_96a; adaptierte CIELAB-Daten					
	$L^*=L^*_a$	a^*_a	b^*_a	$C^*_{ab,a}$	$h^*_{ab,a}$
r00j	48.88	66.47	31.67	73.63	25
r25j	55.85	52.39	47.48	70.7	42
r50j	65.45	35.22	58.37	68.17	59
r75j	75.19	17.82	69.41	71.66	76
j00g	87.03	-3.34	82.83	82.9	92
j25g	80.72	-25.0	69.5	73.86	110
j50g	70.64	-39.53	51.97	65.3	127
j75g	61.93	-52.09	36.83	63.8	145
g00b	52.8	-65.27	20.93	68.56	162
g25b	55.7	-49.57	-8.38	50.28	190
g50b	57.82	-38.39	-28.91	48.07	217
g75b	55.5	-22.04	-45.94	50.97	244
b00r	41.6	1.37	-45.0	45.03	272
b25r	29.0	25.08	-43.12	49.89	300
b50r	38.04	46.53	-28.38	54.51	329
b75r	49.48	72.88	-3.75	72.98	357



Ein und Ausgabe: Farbmetrisches Drucker-Reflektiv-System ORS19_96a für relativen CIELAB-Buntton $h^* = lab^*h^* = h_{ab}/360 = 162/360 = 0.451$ $u^* = g00b$

Daten für jede Farbe:

lab^*ch^* und lab^*icu^*

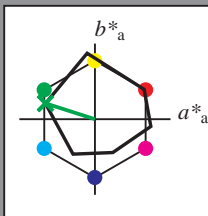
Elementar-Bunttontext:

$u^* = g00b$

Kontrastreduzierungsfaktor:

$c_R = 1.0$

Dreiecks-Helligkeit i^*



ORS19_96a; adaptierte CIELAB-Daten

	$L^*=L^*_a$	a^*_a	b^*_a	$C^*_{ab,a}$	$h^*_{ab,a}$
O _{Ma}	48.75	65.07	39.43	76.08	31
Y _{Ma}	90.92	-10.28	87.24	87.85	97
L _{Ma}	52.69	-65.43	20.75	68.65	162
C _{Ma}	59.61	-28.97	-46.21	54.56	238
V _{Ma}	28.39	23.63	-44.12	50.06	298
M _{Ma}	49.58	73.93	-9.55	74.55	353
N _{Ma}	18.89	0.0	0.0	0.0	0
W _{Ma}	96.9	0.0	0.0	0.0	0
R _{CIE}	39.92	58.74	27.99	65.07	25
J _{CIE}	81.26	-2.88	71.56	71.62	92
G _{CIE}	52.23	-42.41	13.6	44.55	162
B _{CIE}	30.57	1.41	-46.46	46.49	272

Daten für Maximalfarbe (Ma):

$LAB^*LAB^*_{Ma}$: 53 -64 21

$LAB^*LCH^*_{Ma}$: 53 69 162

$lab^*rgb^*_{Ma}$: 0.0 1.0 0.0

$lab^*olv^*_{Ma}$: 0.0 1.0 0.0

Dreiecks-Helligkeit i^*

%Umfang

$u^*_{rel} = 89$

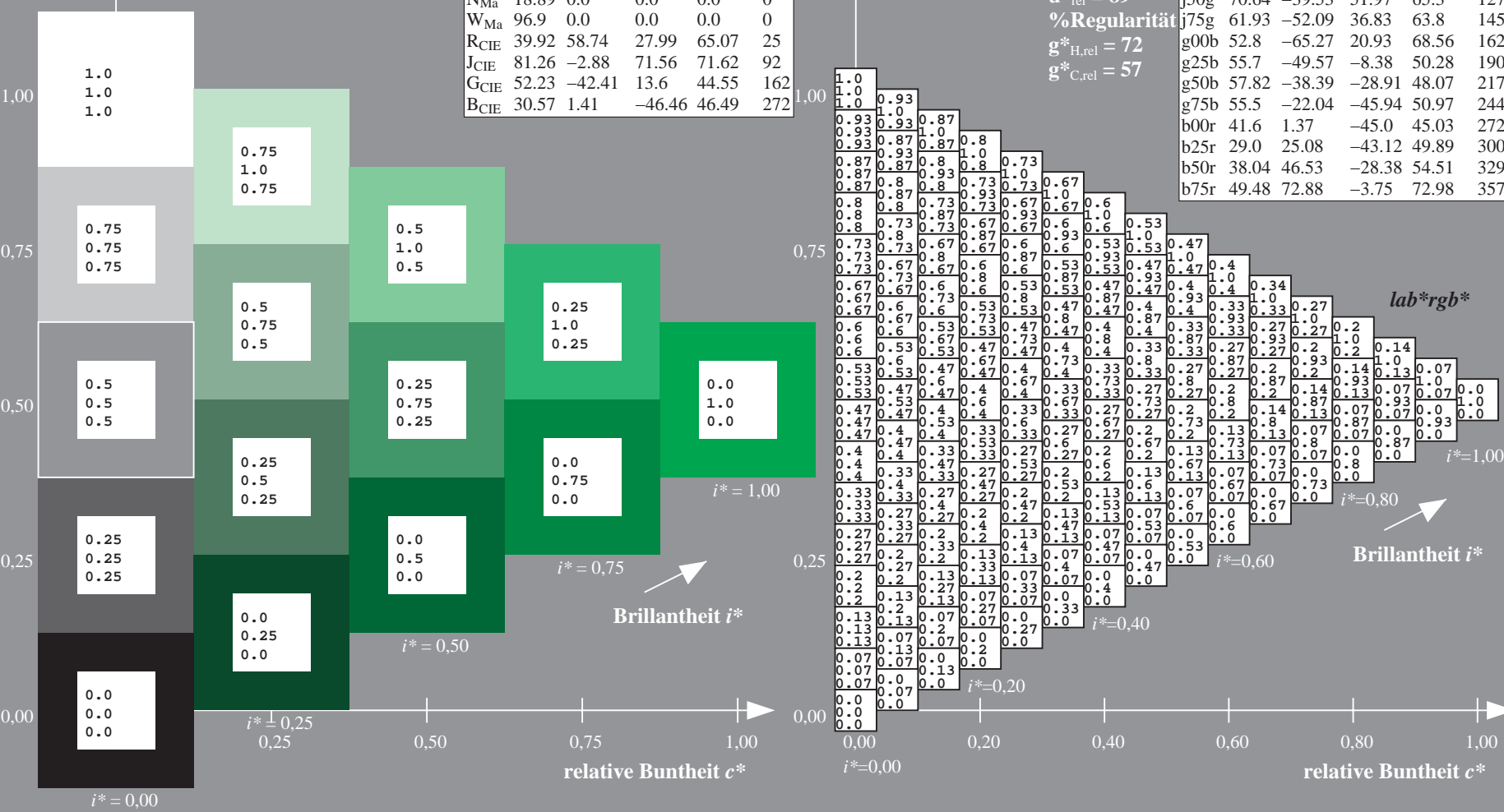
%Regularität

$g^*_{H,rel} = 72$

$g^*_{C,rel} = 57$

ORS19_96a; adaptierte CIELAB-Daten

	$L^*=L^*_a$	a^*_a	b^*_a	$C^*_{ab,a}$	$h^*_{ab,a}$
r00j	48.88	66.47	31.67	73.63	25
r25j	55.85	52.39	47.48	70.7	42
r50j	65.45	35.22	58.37	68.17	59
r75j	75.19	17.82	69.41	71.66	76
j00g	87.03	-3.34	82.83	82.9	92
j25g	80.72	-25.0	69.5	73.86	110
j50g	70.64	-39.53	51.97	65.3	127
j75g	61.93	-52.09	36.83	63.8	145
g00b	52.8	-65.27	20.93	68.56	162
g25b	55.7	-49.57	-8.38	50.28	190
g50b	57.82	-38.39	-28.91	48.07	217
g75b	55.5	-22.04	-45.94	50.97	244
b00r	41.6	1.37	-45.0	45.03	272
b25r	29.0	25.08	-43.12	49.89	300
b50r	38.04	46.53	-28.38	54.51	329
b75r	49.48	72.88	-3.75	72.98	357



Ein und Ausgabe: Farbmetrisches Drucker-Reflektiv-System ORS19_96a für relativen CIELAB-Buntton $h^* = lab^*h^* = h_{ab}/360 = 190/360 = 0.527$ $u^* = g25b$

Daten für jede Farbe:

lab^*ch^* und lab^*icu^*

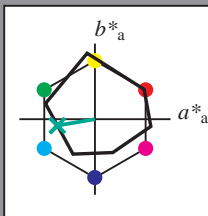
Elementar-Bunttontext:

$u^* = g25b$

Kontrastreduzierungsfaktor:

$c_R = 1.0$

Dreiecks-Helligkeit i^*



ORS19_96a; adaptierte CIELAB-Daten

	$L^*=L_a^*$	a_a^*	b_a^*	$C^*_{ab,a}$	$h^*_{ab,a}$
O _{Ma}	48.75	65.07	39.43	76.08	31
Y _{Ma}	90.92	-10.28	87.24	87.85	97
L _{Ma}	52.69	-65.43	20.75	68.65	162
C _{Ma}	59.61	-28.97	-46.21	54.56	238
V _{Ma}	28.39	23.63	-44.12	50.06	298
M _{Ma}	49.58	73.93	-9.55	74.55	353
N _{Ma}	18.89	0.0	0.0	0.0	0
W _{Ma}	96.9	0.0	0.0	0.0	0
R _{CIE}	39.92	58.74	27.99	65.07	25
J _{CIE}	81.26	-2.88	71.56	71.62	92
G _{CIE}	52.23	-42.41	13.6	44.55	162
B _{CIE}	30.57	1.41	-46.46	46.49	272

Daten für Maximalfarbe (Ma):

$LAB^*LAB^*_{Ma}$: 56 -49 -7

$LAB^*LCH^*_{Ma}$: 56 50 190

$lab^*rgb^*_{Ma}$: 0.0 1.0 0.5

$lab^*olv^*_{Ma}$: 0.0 1.0 0.44

Dreiecks-Helligkeit i^*

%Umfang

$u^*_{rel} = 89$

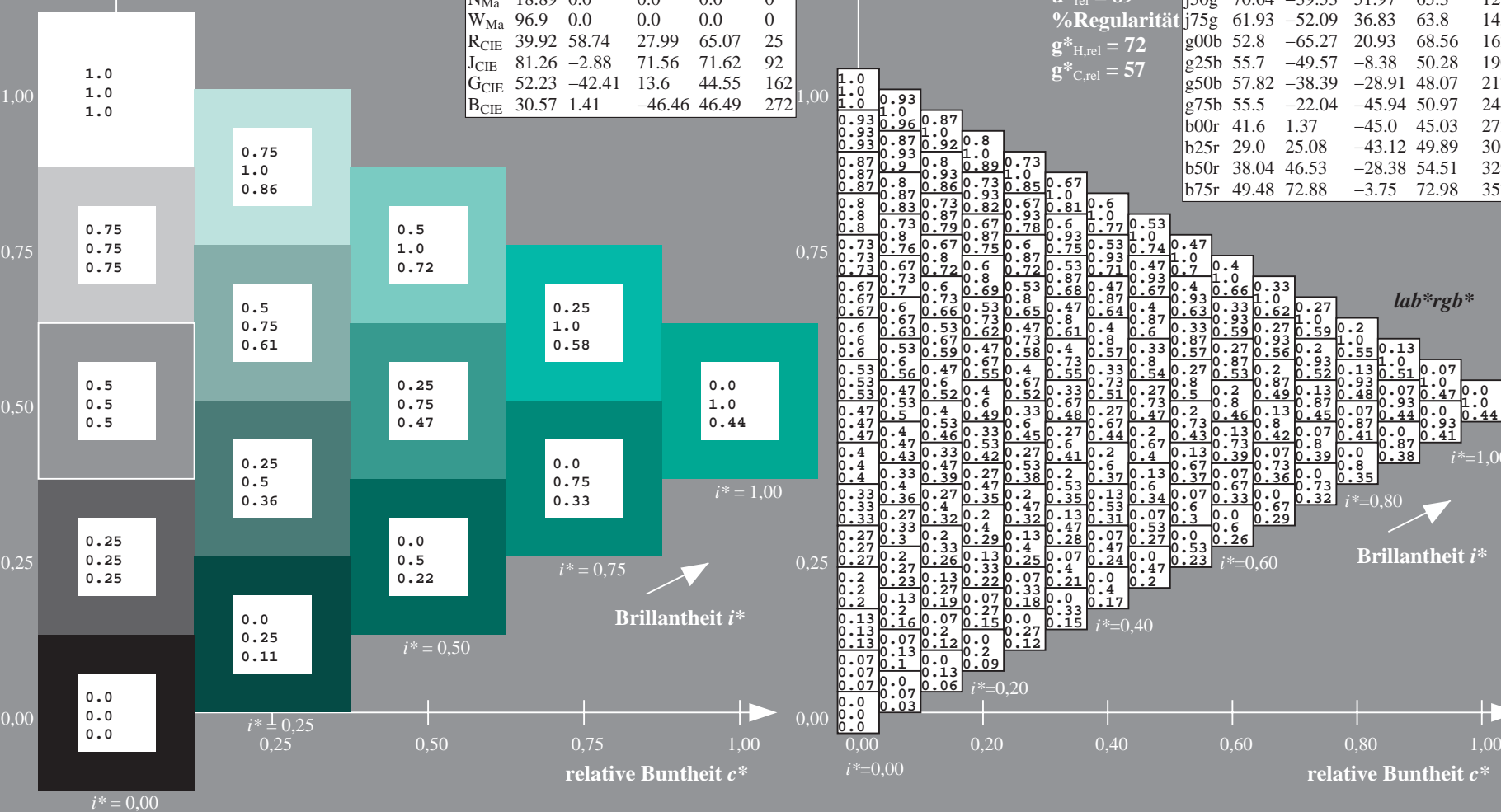
%Regularität

$g^*_{H,rel} = 72$

$g^*_{C,rel} = 57$

ORS19_96a; adaptierte CIELAB-Daten

	$L^*=L_a^*$	a_a^*	b_a^*	$C^*_{ab,a}$	$h^*_{ab,a}$
r00j	48.88	66.47	31.67	73.63	25
r25j	55.85	52.39	47.48	70.7	42
r50j	65.45	35.22	58.37	68.17	59
r75j	75.19	17.82	69.41	71.66	76
j00g	87.03	-3.34	82.83	82.9	92
j25g	80.72	-25.0	69.5	73.86	110
j50g	70.64	-39.53	51.97	65.3	127
j75g	61.93	-52.09	36.83	63.8	145
g00b	52.8	-65.27	20.93	68.56	162
g25b	55.7	-49.57	-8.38	50.28	190
g50b	57.82	-38.39	-28.91	48.07	217
g75b	55.5	-22.04	-45.94	50.97	244
b00r	41.6	1.37	-45.0	45.03	272
b25r	29.0	25.08	-43.12	49.89	300
b50r	38.04	46.53	-28.38	54.51	329
b75r	49.48	72.88	-3.75	72.98	357



Ein und Ausgabe: Farbmetrisches Drucker-Reflektiv-System ORS19_96a für relativen CIELAB-Buntton $h^* = lab^*h^* = h_{ab}/360 = 217/360 = 0.603$ $u^* = g50b$

Daten für jede Farbe:

lab^*ch^* und lab^*icu^*

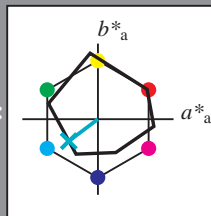
Elementar-Bunttontext:

$u^* = g50b$

Kontrastreduzierungsfaktor:

$c_R = 1.0$

Dreiecks-Helligkeit i^*



ORS19_96a; adaptierte CIELAB-Daten					
	$L^*=L^*_a$	a^*_a	b^*_a	$C^*_{ab,a}$	$h^*_{ab,a}$
O _{Ma}	48.75	65.07	39.43	76.08	31
Y _{Ma}	90.92	-10.28	87.24	87.85	97
L _{Ma}	52.69	-65.43	20.75	68.65	162
C _{Ma}	59.61	-28.97	-46.21	54.56	238
V _{Ma}	28.39	23.63	-44.12	50.06	298
M _{Ma}	49.58	73.93	-9.55	74.55	353
N _{Ma}	18.89	0.0	0.0	0.0	0
W _{Ma}	96.9	0.0	0.0	0.0	0
R _{CIE}	39.92	58.74	27.99	65.07	25
J _{CIE}	81.26	-2.88	71.56	71.62	92
G _{CIE}	52.23	-42.41	13.6	44.55	162
B _{CIE}	30.57	1.41	-46.46	46.49	272

Daten für Maximalfarbe (Ma):

$LAB^*LAB^*_{Ma}$: 58 -37 -28

$LAB^*LCH^*_{Ma}$: 58 48 217

$lab^*rgb^*_{Ma}$: 0.0 1.0 1.0

$lab^*olv^*_{Ma}$: 0.0 1.0 0.74

Dreiecks-Helligkeit i^*

%Umfang

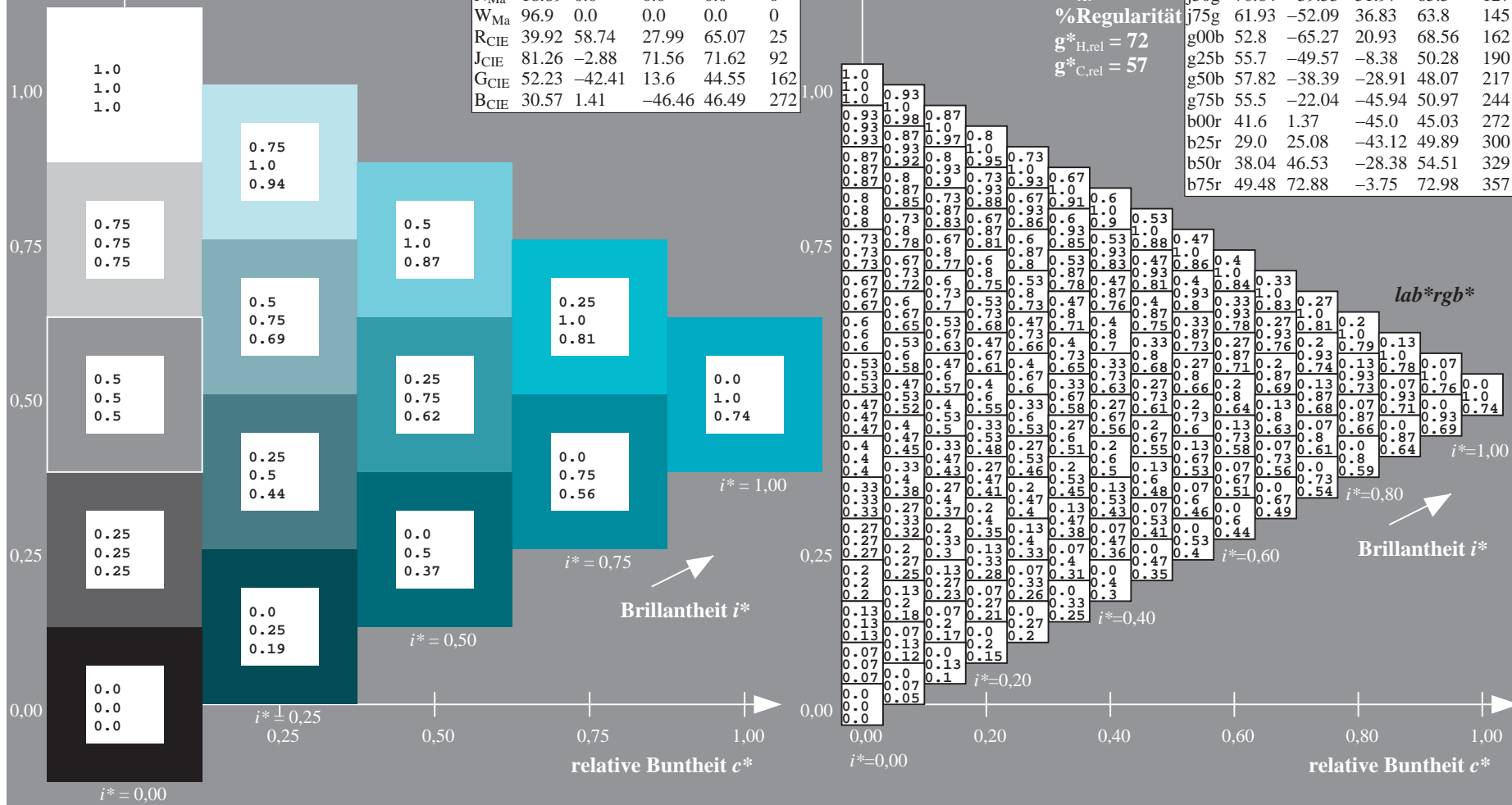
$u^*_{rel} = 89$

%Regularität

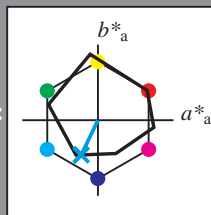
$g^*_{H,rel} = 72$

$g^*_{C,rel} = 57$

ORS19_96a; adaptierte CIELAB-Daten					
	$L^*=L^*_a$	a^*_a	b^*_a	$C^*_{ab,a}$	$h^*_{ab,a}$
r00j	48.88	66.47	31.67	73.63	25
r25j	55.85	52.39	47.48	70.7	42
r50j	65.45	35.22	58.37	68.17	59
r75j	75.19	17.82	69.41	71.66	76
j00g	87.03	-3.34	82.83	82.9	92
j25g	80.72	-25.0	69.5	73.86	110
j50g	70.64	-39.53	51.97	65.3	127
j75g	61.93	-52.09	36.83	63.8	145
g00b	52.8	-65.27	20.93	68.56	162
g25b	55.7	-49.57	-8.38	50.28	190
g50b	57.82	-38.39	-28.91	48.07	217
g75b	55.5	-22.04	-45.94	50.97	244
b00r	41.6	1.37	-45.0	45.03	272
b25r	29.0	25.08	-43.12	49.89	300
b50r	38.04	46.53	-28.38	54.51	329
b75r	49.48	72.88	-3.75	72.98	357



Ein und Ausgabe: Farbmetrisches Drucker-Reflektiv-System ORS19_96a für relativen CIELAB-Buntton $h^* = lab^*h^* = h_{ab}/360 = 244/360 = 0.679$ $u^* = g75b$
Daten für jede Farbe: lab^*ch^* und lab^*icu^*
Elementar-Bunttonstext: $u^* = g75b$
Kontrastreduzierungsfaktor: $c_R = 1.0$
Dreiecks-Helligkeit i^*



ORS19_96a; adaptierte CIELAB-Daten					
	$L^*=L^*_a$	a^*_a	b^*_a	$C^*_{ab,a}$	$h^*_{ab,a}$
O _{Ma}	48.75	65.07	39.43	76.08	31
Y _{Ma}	90.92	-10.28	87.24	87.85	97
L _{Ma}	52.69	-65.43	20.75	68.65	162
C _{Ma}	59.61	-28.97	-46.21	54.56	238
V _{Ma}	28.39	23.63	-44.12	50.06	298
M _{Ma}	49.58	73.93	-9.55	74.55	353
N _{Ma}	18.89	0.0	0.0	0.0	0
W _{Ma}	96.9	0.0	0.0	0.0	0
R _{CIE}	39.92	58.74	27.99	65.07	25
J _{CIE}	81.26	-2.88	71.56	71.62	92
G _{CIE}	52.23	-42.41	13.6	44.55	162
B _{CIE}	30.57	1.41	-46.46	46.49	272

Daten für Maximalfarbe (Ma):

$LAB^*LAB^*_{Ma}$: 55 -21 -45

$LAB^*LCH^*_{Ma}$: 55 51 244

$lab^*rgb^*_{Ma}$: 0.0 0.5 1.0

$lab^*olv^*_{Ma}$: 0.0 0.87 1.0

Dreiecks-Helligkeit i^*

%Umfang

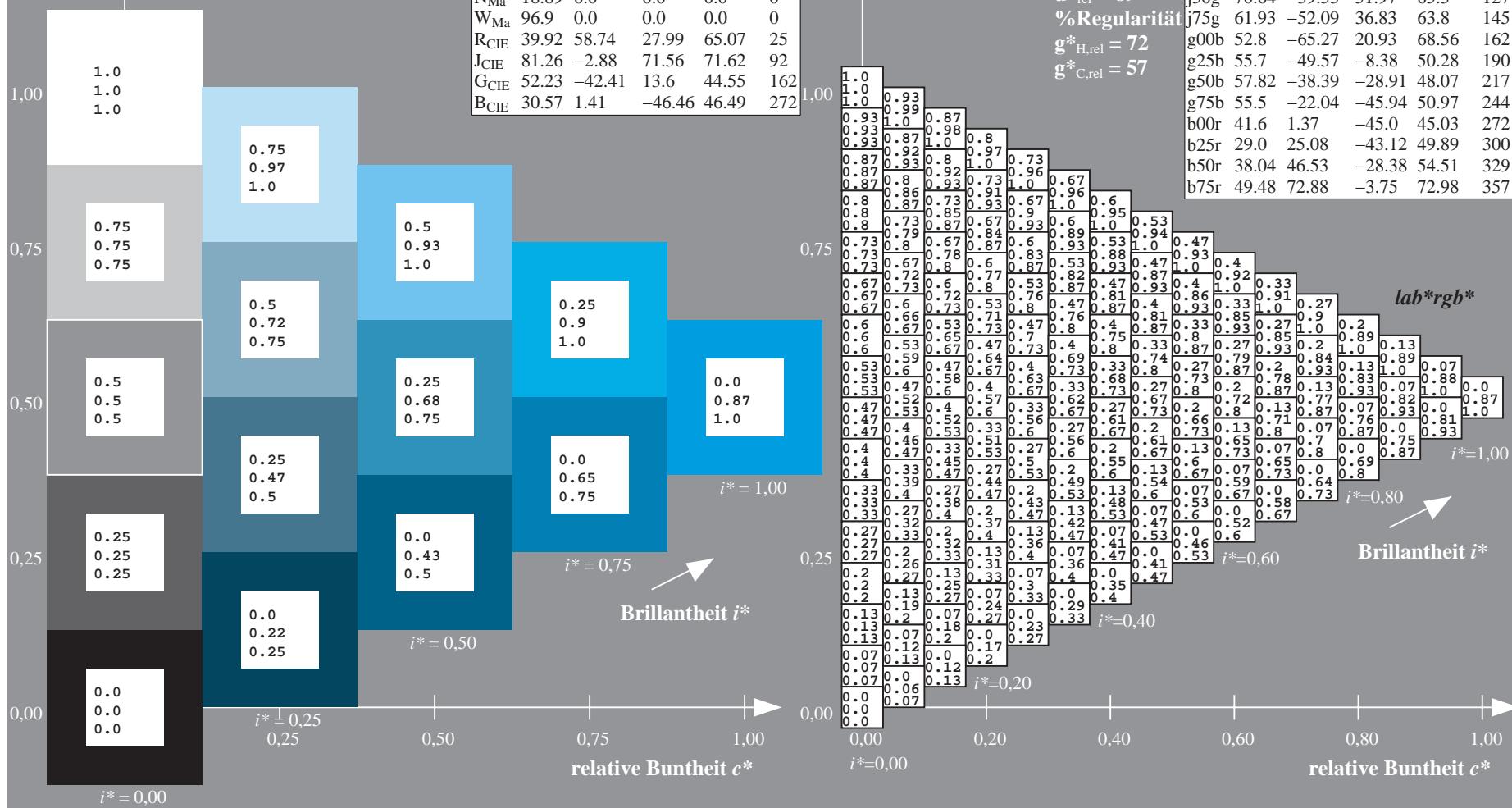
$u^*_{rel} = 89$

%Regularität

$g^*_{H,rel} = 72$

$g^*_{C,rel} = 57$

ORS19_96a; adaptierte CIELAB-Daten					
	$L^*=L^*_a$	a^*_a	b^*_a	$C^*_{ab,a}$	$h^*_{ab,a}$
r00j	48.88	66.47	31.67	73.63	25
r25j	55.85	52.39	47.48	70.7	42
r50j	65.45	35.22	58.37	68.17	59
r75j	75.19	17.82	69.41	71.66	76
j00g	87.03	-3.34	82.83	82.9	92
j25g	80.72	-25.0	69.5	73.86	110
j50g	70.64	-39.53	51.97	65.3	127
j75g	61.93	-52.09	36.83	63.8	145
g00b	52.8	-65.27	20.93	68.56	162
g25b	55.7	-49.57	-8.38	50.28	190
g50b	57.82	-38.39	-28.91	48.07	217
g75b	55.5	-22.04	-45.94	50.97	244
b00r	41.6	1.37	-45.0	45.03	272
b25r	29.0	25.08	-43.12	49.89	300
b50r	38.04	46.53	-28.38	54.51	329
b75r	49.48	72.88	-3.75	72.98	357



Ein und Ausgabe: Farbmetrisches Drucker-Reflektiv-System ORS19_96a für relativen CIELAB-Buntton $h^* = lab^*h^* = h_{ab}/360 = 272/360 = 0.755$ $u^* = b00r$
Daten für jede Farbe: lab^*ch^* und lab^*icu^*

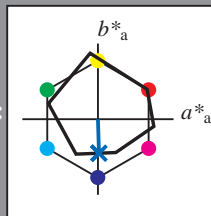
Elementar-Bunttontext:

$u^* = b00r$

Kontrastreduzierungsfaktor:

$c_R = 1.0$

Dreiecks-Helligkeit t^*



ORS19_96a; adaptierte CIELAB-Daten					
	$L^*=L^*_a$	a^*_a	b^*_a	$C^*_{ab,a}$	$h^*_{ab,a}$
O _{Ma}	48.75	65.07	39.43	76.08	31
Y _{Ma}	90.92	-10.28	87.24	87.85	97
L _{Ma}	52.69	-65.43	20.75	68.65	162
C _{Ma}	59.61	-28.97	-46.21	54.56	238
V _{Ma}	28.39	23.63	-44.12	50.06	298
M _{Ma}	49.58	73.93	-9.55	74.55	353
N _{Ma}	18.89	0.0	0.0	0.0	0
W _{Ma}	96.9	0.0	0.0	0.0	0
R _{CIE}	39.92	58.74	27.99	65.07	25
J _{CIE}	81.26	-2.88	71.56	71.62	92
G _{CIE}	52.23	-42.41	13.6	44.55	162
B _{CIE}	30.57	1.41	-46.46	46.49	272

Daten für Maximalfarbe (Ma):

$LAB^*LAB^*_{Ma}$: 42 1 -44

$LAB^*LCH^*_{Ma}$: 42 45 272

$lab^*rgb^*_{Ma}$: 0.0 0.0 1.0

$lab^*olv^*_{Ma}$: 0.0 0.42 1.0

Dreiecks-Helligkeit t^*

%Umfang

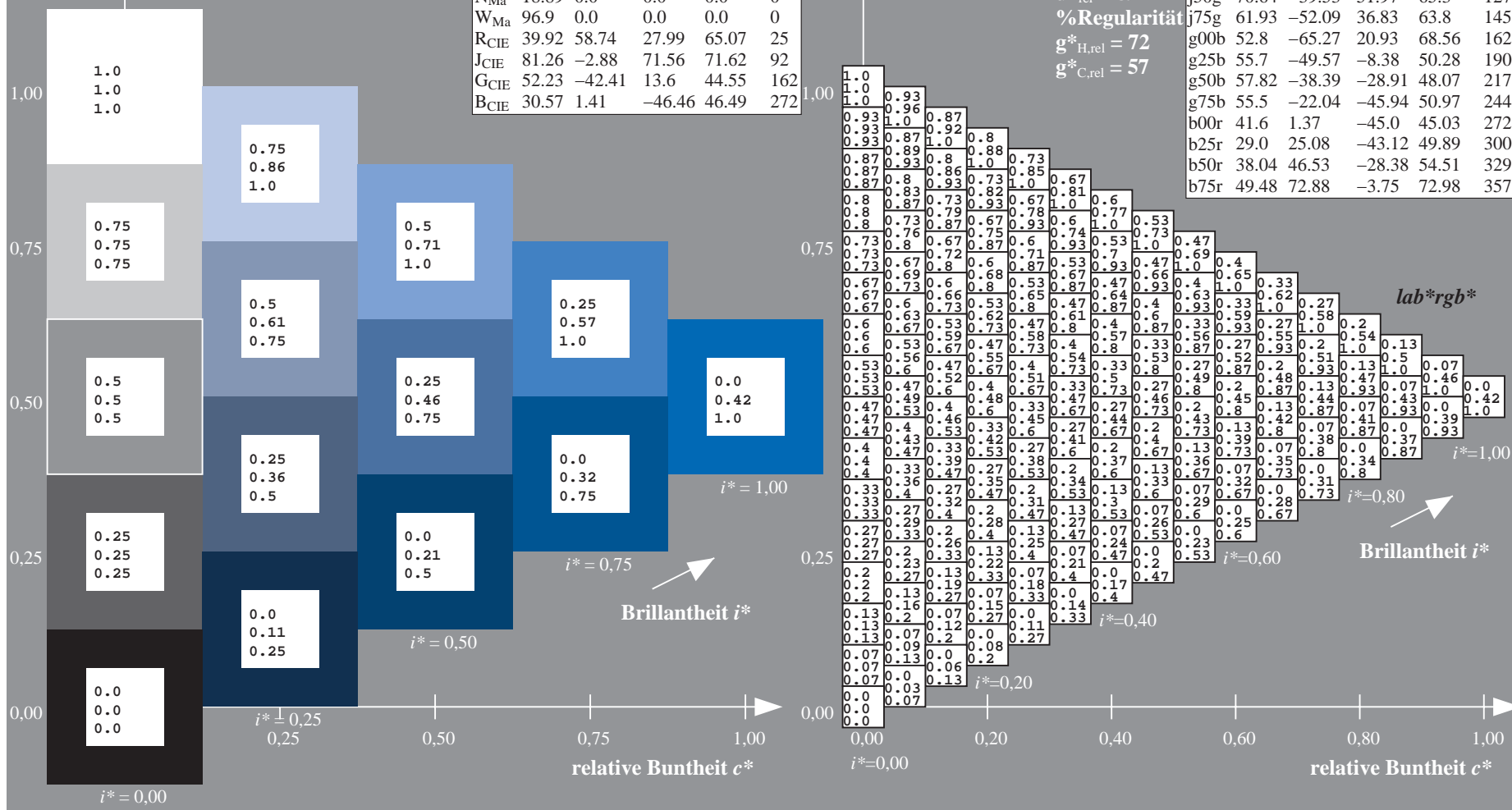
$u^*_{rel} = 89$

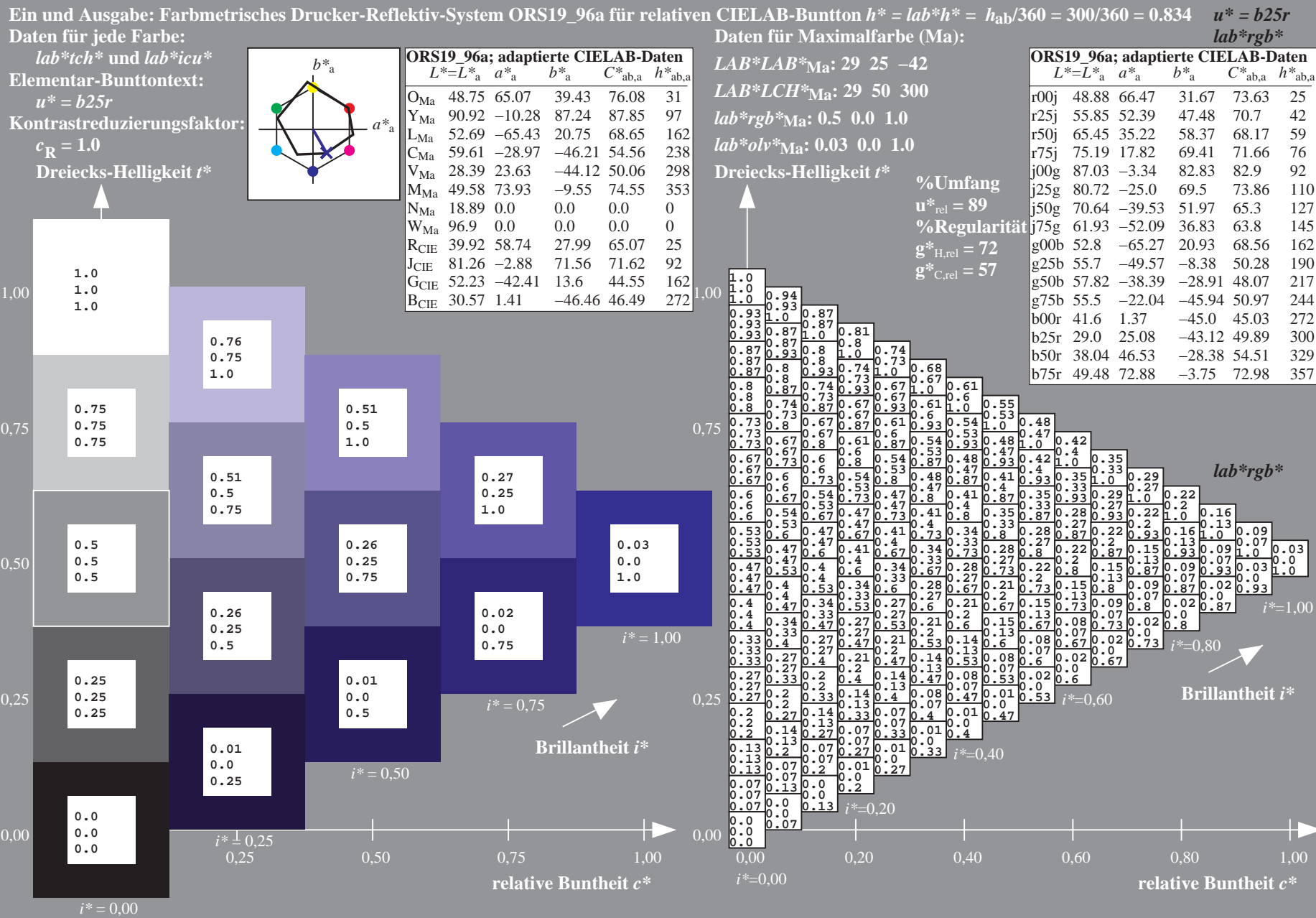
%Regularität

$g^*_{H,rel} = 72$

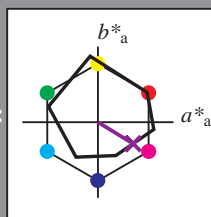
$g^*_{C,rel} = 57$

ORS19_96a; adaptierte CIELAB-Daten					
	$L^*=L^*_a$	a^*_a	b^*_a	$C^*_{ab,a}$	$h^*_{ab,a}$
r00j	48.88	66.47	31.67	73.63	25
r25j	55.85	52.39	47.48	70.7	42
r50j	65.45	35.22	58.37	68.17	59
r75j	75.19	17.82	69.41	71.66	76
j00g	87.03	-3.34	82.83	82.9	92
j25g	80.72	-25.0	69.5	73.86	110
j50g	70.64	-39.53	51.97	65.3	127
j75g	61.93	-52.09	36.83	63.8	145
g00b	52.8	-65.27	20.93	68.56	162
g25b	55.7	-49.57	-8.38	50.28	190
g50b	57.82	-38.39	-28.91	48.07	217
g75b	55.5	-22.04	-45.94	50.97	244
b00r	41.6	1.37	-45.0	45.03	272
b25r	29.0	25.08	-43.12	49.89	300
b50r	38.04	46.53	-28.38	54.51	329
b75r	49.48	72.88	-3.75	72.98	357





Ein und Ausgabe: Farbmetrisches Drucker-Reflektiv-System ORS19_96a für relativen CIELAB-Buntton $h^* = lab^*h^* = h_{ab}/360 = 329/360 = 0.913$ $u^* = b50r$
Daten für jede Farbe: lab^*ch^* und lab^*icu^*
Elementar-Bunttontext: $u^* = b50r$
Kontrastreduzierungsfaktor: $c_R = 1.0$
Dreiecks-Helligkeit i^*



ORS19_96a; adaptierte CIELAB-Daten					
	$L^*=L^*_a$	a^*_a	b^*_a	$C^*_{ab,a}$	$h^*_{ab,a}$
O _{Ma}	48.75	65.07	39.43	76.08	31
Y _{Ma}	90.92	-10.28	87.24	87.85	97
L _{Ma}	52.69	-65.43	20.75	68.65	162
C _{Ma}	59.61	-28.97	-46.21	54.56	238
V _{Ma}	28.39	23.63	-44.12	50.06	298
M _{Ma}	49.58	73.93	-9.55	74.55	353
N _{Ma}	18.89	0.0	0.0	0.0	0
W _{Ma}	96.9	0.0	0.0	0.0	0
R _{CIE}	39.92	58.74	27.99	65.07	25
J _{CIE}	81.26	-2.88	71.56	71.62	92
G _{CIE}	52.23	-42.41	13.6	44.55	162
B _{CIE}	30.57	1.41	-46.46	46.49	272

Daten für Maximalfarbe (Ma):

$LAB^*LAB^*_{Ma}$: 38 47 -27

$LAB^*LCH^*_{Ma}$: 38 55 329

$lab^*rgb^*_{Ma}$: 1.0 0.0 1.0

$lab^*olv^*_{Ma}$: 0.46 0.0 1.0

Dreiecks-Helligkeit i^*

%Umfang

$u^*_{rel} = 89$

%Regularität

$g^*_{H,rel} = 72$

$g^*_{C,rel} = 57$

ORS19_96a; adaptierte CIELAB-Daten					
	$L^*=L^*_a$	a^*_a	b^*_a	$C^*_{ab,a}$	$h^*_{ab,a}$
r00j	48.88	66.47	31.67	73.63	25
r25j	55.85	52.39	47.48	70.7	42
r50j	65.45	35.22	58.37	68.17	59
r75j	75.19	17.82	69.41	71.66	76
j00g	87.03	-3.34	82.83	82.9	92
j25g	80.72	-25.0	69.5	73.86	110
j50g	70.64	-39.53	51.97	65.3	127
j75g	61.93	-52.09	36.83	63.8	145
g00b	52.8	-65.27	20.93	68.56	162
g25b	55.7	-49.57	-8.38	50.28	190
g50b	57.82	-38.39	-28.91	48.07	217
g75b	55.5	-22.04	-45.94	50.97	244
b00r	41.6	1.37	-45.0	45.03	272
b25r	29.0	25.08	-43.12	49.89	300
b50r	38.04	46.53	-28.38	54.51	329
b75r	49.48	72.88	-3.75	72.98	357

lab^*rgb^*

$i^* = 1.00$

Brillantheit i^*

$i^* = 0.80$

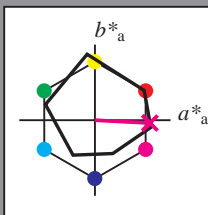
$i^* = 0.60$

$i^* = 0.40$

$i^* = 0.20$

$i^* = 0.00$

Ein und Ausgabe: Farbmetrisches Drucker-Reflektiv-System ORS19_96a für relativen CIELAB-Buntton $h^* = lab^*h^* = h_{ab}/360 = 357/360 = 0.992$ $u^* = b75r$
Daten für jede Farbe:
 lab^*ch^* und lab^*icu^*
Elementar-Bunttontext:
 $u^* = b75r$
Kontrastreduzierungsfaktor:
 $c_R = 1.0$
Dreiecks-Helligkeit t^*



ORS19_96a; adaptierte CIELAB-Daten					
	$L^*=L^*_a$	a^*_a	b^*_a	$C^*_{ab,a}$	$h^*_{ab,a}$
O _{Ma}	48.75	65.07	39.43	76.08	31
Y _{Ma}	90.92	-10.28	87.24	87.85	97
L _{Ma}	52.69	-65.43	20.75	68.65	162
C _{Ma}	59.61	-28.97	-46.21	54.56	238
V _{Ma}	28.39	23.63	-44.12	50.06	298
M _{Ma}	49.58	73.93	-9.55	74.55	353
N _{Ma}	18.89	0.0	0.0	0.0	0
W _{Ma}	96.9	0.0	0.0	0.0	0
R _{CIE}	39.92	58.74	27.99	65.07	25
J _{CIE}	81.26	-2.88	71.56	71.62	92
G _{CIE}	52.23	-42.41	13.6	44.55	162
B _{CIE}	30.57	1.41	-46.46	46.49	272

Daten für Maximalfarbe (Ma):

$LAB^*LAB^*_{Ma}$: 49 73 -3

$LAB^*LCH^*_{Ma}$: 49 73 357

$lab^*rgb^*_{Ma}$: 1.0 0.0 0.5

$lab^*olv^*_{Ma}$: 1.0 0.0 0.88

Dreiecks-Helligkeit t^*

%Umfang

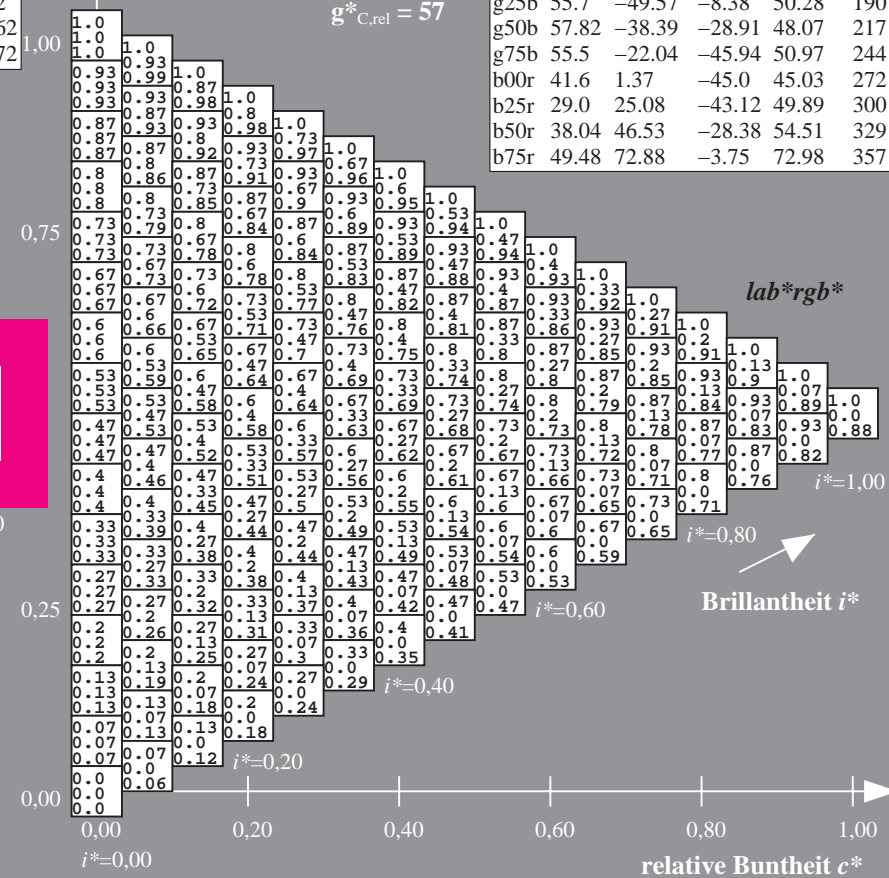
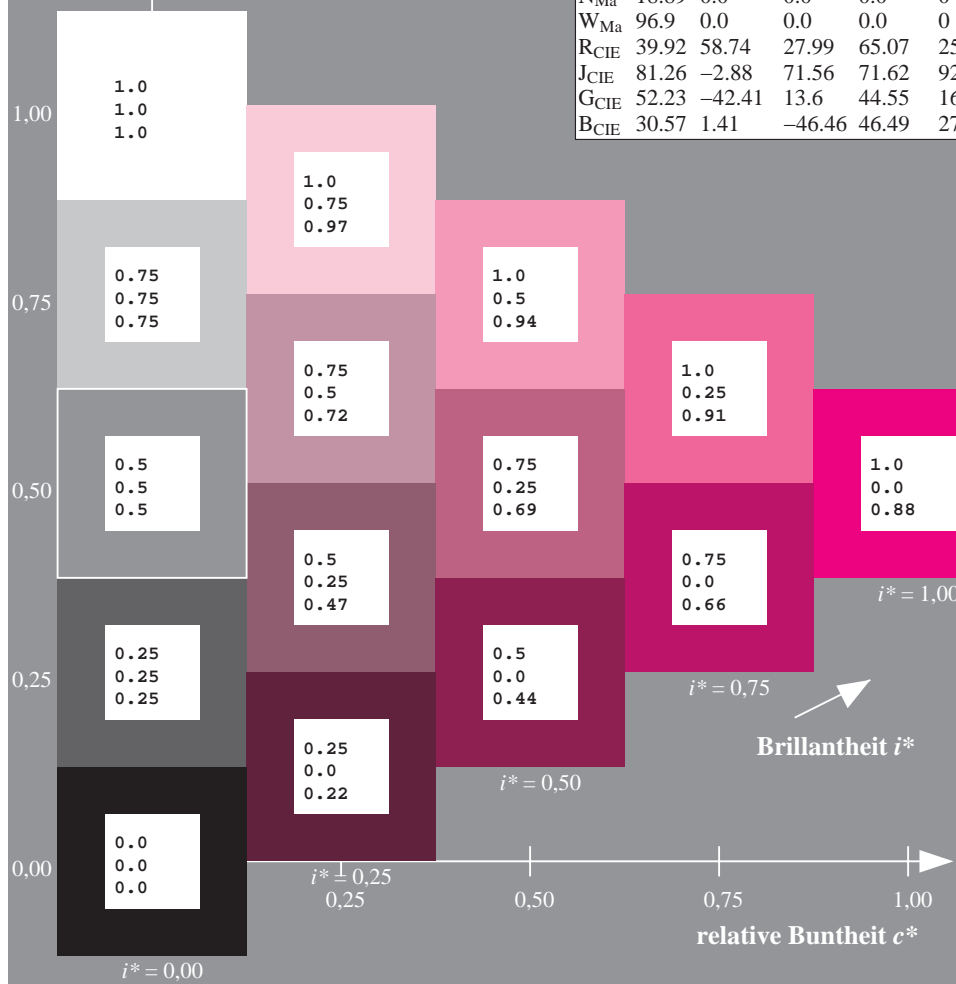
$u^*_{rel} = 89$

%Regularität

$g^*_{H,rel} = 72$

$g^*_{C,rel} = 57$

ORS19_96a; adaptierte CIELAB-Daten					
	$L^*=L^*_a$	a^*_a	b^*_a	$C^*_{ab,a}$	$h^*_{ab,a}$
r00j	48.88	66.47	31.67	73.63	25
r25j	55.85	52.39	47.48	70.7	42
r50j	65.45	35.22	58.37	68.17	59
r75j	75.19	17.82	69.41	71.66	76
j00g	87.03	-3.34	82.83	82.9	92
j25g	80.72	-25.0	69.5	73.86	110
j50g	70.64	-39.53	51.97	65.3	127
j75g	61.93	-52.09	36.83	63.8	145
g00b	52.8	-65.27	20.93	68.56	162
g25b	55.7	-49.57	-8.38	50.28	190
g50b	57.82	-38.39	-28.91	48.07	217
g75b	55.5	-22.04	-45.94	50.97	244
b00r	41.6	1.37	-45.0	45.03	272
b25r	29.0	25.08	-43.12	49.89	300
b50r	38.04	46.53	-28.38	54.51	329
b75r	49.48	72.88	-3.75	72.98	357



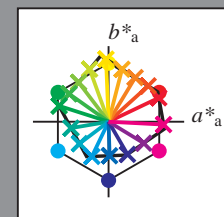
Siehe ähnliche Dateien: <http://www.ps.bam.de/Dg98/>; www.ps.bam.de/Dg98/10L/L98G00NP.PS/.PDF BAM-Material: Code=th4ta
Technische Information: <http://www.ps.bam.de> Version 2.1, io=1,1, ColSpX=1

	A	B	C	D	E	F	G	H	I	J	K	L	M	N	O	P	Q	R	S	T	U	V	W	X	Y	Z	a	b	c	d	e	f	g	h	i	j	k	lab*rgb*								
01	0.0	0.0	0.0	0.0	0.0	0.0	0.0	0.0	0.0	0.0	0.0	0.0	0.0	0.0	0.0	0.0	0.0	0.0	0.0	0.0	0.0	0.0	0.0	0.0	0.0	0.0	0.0	0.0	0.0	0.0	0.0	0.0	0.0	0.0	0.0	0.0	0.0	0.0	0.0	0.0						
02	0.0	0.0	0.0	0.0	0.0	0.0	0.0	0.0	0.0	0.0	0.0	0.0	0.0	0.0	0.0	0.0	0.0	0.0	0.0	0.0	0.0	0.0	0.0	0.0	0.0	0.0	0.0	0.0	0.0	0.0	0.0	0.0	0.0	0.0	0.0	0.0	0.0	0.0	0.0	0.0	0.0	0.0				
03	0.0	0.0	0.0	0.0	0.0	0.0	0.0	0.0	0.0	0.0	0.0	0.0	0.0	0.0	0.0	0.0	0.0	0.0	0.0	0.0	0.0	0.0	0.0	0.0	0.0	0.0	0.0	0.0	0.0	0.0	0.0	0.0	0.0	0.0	0.0	0.0	0.0	0.0	0.0	0.0	0.0	0.0	0.0	0.0		
04	0.0	0.0	0.0	0.0	0.0	0.0	0.0	0.0	0.0	0.0	0.0	0.0	0.0	0.0	0.0	0.0	0.0	0.0	0.0	0.0	0.0	0.0	0.0	0.0	0.0	0.0	0.0	0.0	0.0	0.0	0.0	0.0	0.0	0.0	0.0	0.0	0.0	0.0	0.0	0.0	0.0	0.0	0.0	0.0	0.0	
05	0.0	0.0	0.0	0.0	0.0	0.0	0.0	0.0	0.0	0.0	0.0	0.0	0.0	0.0	0.0	0.0	0.0	0.0	0.0	0.0	0.0	0.0	0.0	0.0	0.0	0.0	0.0	0.0	0.0	0.0	0.0	0.0	0.0	0.0	0.0	0.0	0.0	0.0	0.0	0.0	0.0	0.0	0.0	0.0	0.0	
06	0.0	0.0	0.0	0.0	0.0	0.0	0.0	0.0	0.0	0.0	0.0	0.0	0.0	0.0	0.0	0.0	0.0	0.0	0.0	0.0	0.0	0.0	0.0	0.0	0.0	0.0	0.0	0.0	0.0	0.0	0.0	0.0	0.0	0.0	0.0	0.0	0.0	0.0	0.0	0.0	0.0	0.0	0.0	0.0	0.0	
07	0.0	0.0	0.0	0.0	0.0	0.0	0.0	0.0	0.0	0.0	0.0	0.0	0.0	0.0	0.0	0.0	0.0	0.0	0.0	0.0	0.0	0.0	0.0	0.0	0.0	0.0	0.0	0.0	0.0	0.0	0.0	0.0	0.0	0.0	0.0	0.0	0.0	0.0	0.0	0.0	0.0	0.0	0.0	0.0	0.0	
08	0.0	0.0	0.0	0.0	0.0	0.0	0.0	0.0	0.0	0.0	0.0	0.0	0.0	0.0	0.0	0.0	0.0	0.0	0.0	0.0	0.0	0.0	0.0	0.0	0.0	0.0	0.0	0.0	0.0	0.0	0.0	0.0	0.0	0.0	0.0	0.0	0.0	0.0	0.0	0.0	0.0	0.0	0.0	0.0	0.0	
09	0.0	0.0	0.0	0.0	0.0	0.0	0.0	0.0	0.0	0.0	0.0	0.0	0.0	0.0	0.0	0.0	0.0	0.0	0.0	0.0	0.0	0.0	0.0	0.0	0.0	0.0	0.0	0.0	0.0	0.0	0.0	0.0	0.0	0.0	0.0	0.0	0.0	0.0	0.0	0.0	0.0	0.0	0.0	0.0	0.0	0.0
10	0.0	0.0	0.0	0.0	0.0	0.0	0.0	0.0	0.0	0.0	0.0	0.0	0.0	0.0	0.0	0.0	0.0	0.0	0.0	0.0	0.0	0.0	0.0	0.0	0.0	0.0	0.0	0.0	0.0	0.0	0.0	0.0	0.0	0.0	0.0	0.0	0.0	0.0	0.0	0.0	0.0	0.0	0.0	0.0	0.0	0.0
11	0.0	0.0	0.0	0.0	0.0	0.0	0.0	0.0	0.0	0.0	0.0	0.0	0.0	0.0	0.0	0.0	0.0	0.0	0.0	0.0	0.0	0.0	0.0	0.0	0.0	0.0	0.0	0.0	0.0	0.0	0.0	0.0	0.0	0.0	0.0	0.0	0.0	0.0	0.0	0.0	0.0	0.0	0.0	0.0	0.0	0.0
12	0.0	0.0	0.0	0.0	0.0	0.0	0.0	0.0	0.0	0.0	0.0	0.0	0.0	0.0	0.0	0.0	0.0	0.0	0.0	0.0	0.0	0.0	0.0	0.0	0.0	0.0	0.0	0.0	0.0	0.0	0.0	0.0	0.0	0.0	0.0	0.0	0.0	0.0	0.0	0.0	0.0	0.0	0.0	0.0	0.0	0.0
13	0.0	0.0	0.0	0.0	0.0	0.0	0.0	0.0	0.0	0.0	0.0	0.0	0.0	0.0	0.0	0.0	0.0	0.0	0.0	0.0	0.0	0.0	0.0	0.0	0.0	0.0	0.0	0.0	0.0	0.0	0.0	0.0	0.0	0.0	0.0	0.0	0.0	0.0	0.0	0.0	0.0	0.0	0.0	0.0	0.0	0.0
14	0.0	0.0	0.0	0.0	0.0	0.0	0.0	0.0	0.0	0.0	0.0	0.0	0.0	0.0	0.0	0.0	0.0	0.0	0.0	0.0	0.0	0.0	0.0	0.0	0.0	0.0	0.0	0.0	0.0	0.0	0.0	0.0	0.0	0.0	0.0	0.0	0.0	0.0	0.0	0.0	0.0	0.0	0.0	0.0	0.0	0.0
15	0.0	0.0	0.0	0.0	0.0	0.0	0.0	0.0	0.0	0.0	0.0	0.0	0.0	0.0	0.0	0.0	0.0	0.0	0.0	0.0	0.0	0.0	0.0	0.0	0.0	0.0	0.0	0.0	0.0	0.0	0.0	0.0	0.0	0.0	0.0	0.0	0.0	0.0	0.0	0.0	0.0	0.0	0.0	0.0	0.0	0.0
16	0.0	0.0	0.0	0.0	0.0	0.0	0.0	0.0	0.0	0.0	0.0	0.0	0.0	0.0	0.0	0.0	0.0	0.0	0.0	0.0	0.0	0.0	0.0	0.0	0.0	0.0	0.0	0.0	0.0	0.0	0.0	0.0	0.0	0.0	0.0	0.0	0.0	0.0	0.0	0.0	0.0	0.0	0.0	0.0	0.0	0.0
17	0.0	0.0	0.0	0.0	0.0	0.0	0.0	0.0	0.0	0.0	0.0	0.0	0.0	0.0	0.0	0.0	0.0	0.0	0.0	0.0	0.0	0.0	0.0	0.0	0.0	0.0	0.0	0.0	0.0	0.0	0.0	0.0	0.0	0.0	0.0	0.0	0.0	0.0	0.0	0.0	0.0	0.0	0.0	0.0	0.0	0.0
18	0.0	0.0	0.0	0.0	0.0	0.0	0.0	0.0	0.0	0.0	0.0	0.0	0.0	0.0	0.0	0.0	0.0	0.0	0.0	0.0	0.0	0.0	0.0	0.0	0.0	0.0	0.0	0.0	0.0	0.0	0.0	0.0	0.0	0.0	0.0	0.0	0.0	0.0	0.0	0.0	0.0	0.0	0.0	0.0	0.0	0.0
19	0.0	0.0	0.0	0.0	0.0	0.0	0.0	0.0	0.0	0.0	0.0	0.0	0.0	0.0	0.0	0.0	0.0	0.0	0.0	0.0	0.0	0.0	0.0	0.0	0.0	0.0	0.0	0.0	0.0	0.0	0.0	0.0	0.0	0.0	0.0	0.0	0.0	0.0	0.0	0.0	0.0	0.0	0.0	0.0	0.0	0.0
20	0.0	0.0	0.0	0.0	0.0	0.0	0.0	0.0	0.0	0.0	0.0	0.0	0.0	0.0	0.0	0.0	0.0	0.0	0.0	0.0	0.0	0.0	0.0	0.0	0.0	0.0	0.0	0.0	0.0	0.0	0.0	0.0	0.0	0.0	0.0	0.0	0.0	0.0	0.0	0.0	0.0	0.0	0.0	0.0	0.0	0.0
21	0.0	0.0	0.0	0.0	0.0	0.0	0.0	0.0	0.0	0.0	0.0	0.0	0.0	0.0	0.0	0.0	0.0	0.0	0.0	0.0	0.0	0.0	0.0	0.0	0.0	0.0	0.0	0.0	0.0	0.0	0.0	0.0	0.0	0.0	0.0	0.0	0.0	0.0	0.0	0.0	0.0	0.0	0.0	0.0	0.0	0.0
22	0.0	0.0	0.0	0.0	0.0	0.0	0.0	0.0	0.0	0.0	0.0	0.0	0.0	0.0	0.0	0.0	0.0	0.0	0.0	0.0	0.0	0.0	0.0	0.0	0.0	0.0	0.0	0.0	0.0	0.0	0.0	0.0	0.0	0.0	0.0	0.0	0.0	0.0	0.0	0.0	0.0	0.0	0.0	0.0	0.0	0.0
23	0.0	0.0	0.0	0.0	0.0	0.0	0.0	0.0	0.0	0.0	0.0	0.0	0.0	0.0	0.0	0.0	0.0	0.0	0.0	0.0	0.0	0.0	0.0	0.0	0.0	0.0	0.0	0.0	0.0	0.0	0.0	0.0	0.0	0.0	0.0	0.0	0.0	0.0	0.0	0.0	0.0	0.0	0.0	0.0	0.0	0.0
24	0.0	0.0	0.0	0.0	0.0	0.0	0.0	0.0	0.0	0.0	0.0	0.0	0.0	0.0	0.0	0.0	0.0	0.0	0.0	0.0	0.0	0.0	0.0	0.0	0.0	0.0	0.0	0.0	0.0	0.0	0.0	0.0	0.0	0.0	0.0	0.0	0.0	0.0	0.0	0.0	0.0	0.0	0.0	0.0	0.0	0.0
25	0.0	0.0	0.0	0.0	0.0	0.0	0.0	0.0	0.0	0.0	0.0	0.0	0.0	0.0	0.0	0.0	0.0	0.0	0.0	0.0	0.0	0.0	0.0	0.0	0.0	0.0	0.0	0.0	0.0	0.0	0.0	0.0	0.0	0.0	0.0	0.0	0.0	0.0	0.0	0.0	0.0	0.0	0.0	0.0	0.0	0.0
26	0.0	0.0	0.0	0.0	0.0	0.0	0.0	0.0	0.0	0.0	0.0	0.0	0.0	0.0	0.0	0.0	0.0	0.0	0.0	0.0	0.0	0.0	0.0	0.0	0.0	0.0	0.0	0.0	0.0	0.0	0.0	0.0	0.0	0.0	0.0	0.0	0.0	0.0	0.0	0.0	0.0	0.0	0.0	0.0	0.0	0.0
27	0.0	0.0	0.0	0.0	0.0	0.0	0.0	0.0	0.0	0.0	0.0	0.0	0.0	0.0	0.0	0.0	0.0	0.0	0.0	0.0	0.0	0.0	0.0	0.0	0.0	0.0	0.0	0.0	0.0	0.0	0.0	0.0	0.0	0.0	0.0	0.0	0.0	0.0	0.0	0.0	0.0	0.0	0.0	0.0	0.0	0.0

BAM-Registrierung: 20080701-Dg98/10L/L98G00NP.PS/.PDF BAM-Material: Code=th4ta
Anwendung für Beurteilung und Messung von Drucker- oder Monitorsystemen

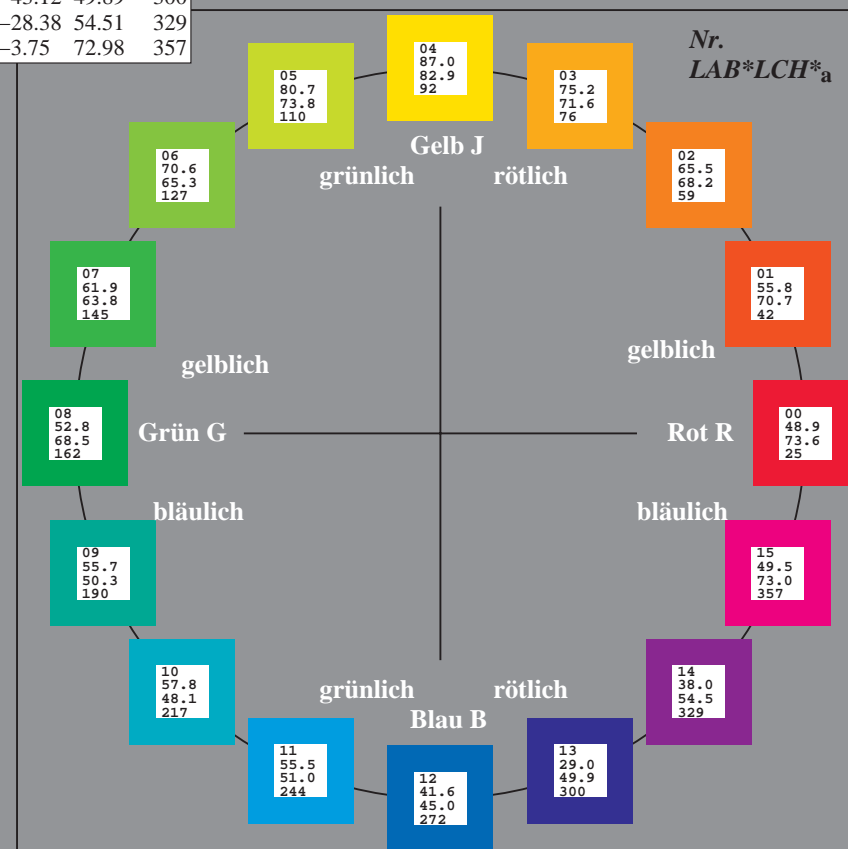
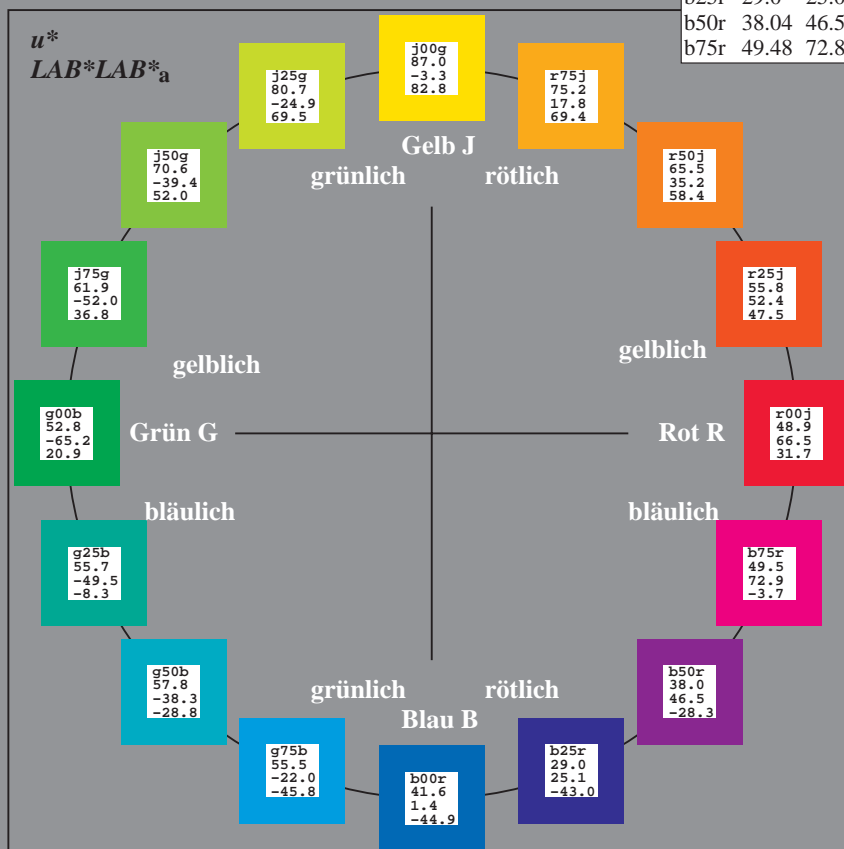
Ein und Ausgabe:
Farbmetrisches Drucker-Reflektiv-System ORS19_96a
Daten für jede Farbe:
*lab*_{tch}** und *lab*_{icu}**
Elementar-Bunttontext:
*u** = 16 Buntttöne *r00j*, *r25j*, ..., *b75r*
Kontrastreduzierungsfaktor:
c_R = 1.0

ORS19_96a; adaptierte CIELAB-Daten					
	<i>L*</i> _a	<i>a*</i> _a	<i>b*</i> _a	<i>C*</i> _{ab,a}	<i>h*</i> _{ab,a}
r00j	48.88	66.47	31.67	73.63	25
r25j	55.85	52.39	47.48	70.7	42
r50j	65.45	35.22	58.37	68.17	59
r75j	75.19	17.82	69.41	71.66	76
j00g	87.03	-3.34	82.83	82.9	92
j25g	80.72	-25.0	69.5	73.86	110
j50g	70.64	-39.53	51.97	65.3	127
j75g	61.93	-52.09	36.83	63.8	145
g00b	52.8	-65.27	20.93	68.56	162
g25b	55.7	-49.57	-8.38	50.28	190
g50b	57.82	-38.39	-28.91	48.07	217
g75b	55.5	-22.04	-45.94	50.97	244
b00r	41.6	1.37	-45.0	45.03	272
b25r	29.0	25.08	-43.12	49.89	300
b50r	38.04	46.53	-28.38	54.51	329
b75r	49.48	72.88	-3.75	72.98	357



%Umfang
*u**_{rel} = 89
%Regularität
*g**_{H,rel} = 72
*g**_{C,rel} = 57

ORS19_96a; adaptierte CIELAB-Daten					
	<i>L*</i> _a	<i>a*</i> _a	<i>b*</i> _a	<i>C*</i> _{ab,a}	<i>h*</i> _{ab,a}
OMa	48.75	65.07	39.43	76.08	31
YMa	90.92	-10.28	87.24	87.85	97
LMa	52.69	-65.43	20.75	68.65	162
CMa	59.61	-28.97	-46.21	54.56	238
VMa	28.39	23.63	-44.12	50.06	298
MMa	49.58	73.93	-9.55	74.55	353
NMa	18.89	0.0	0.0	0.0	0
WMa	96.9	0.0	0.0	0.0	0
RCIE	39.92	58.74	27.99	65.07	25
JCIE	81.26	-2.88	71.56	71.62	92
GCIE	52.23	-42.41	13.6	44.55	162
BCIE	30.57	1.41	-46.46	46.49	272



Ein und Ausgabe: Farbmetrisches Drucker-Reflektiv-System ORS19_96a für relativen CIELAB-Buntton $h^* = lab^*h^* = h_{ab}/360 = 25/360 = 0.071$ $u^* = r00j$

Daten für jede Farbe:

lab^*ch^* und lab^*icu^*

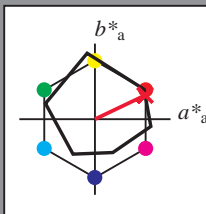
Elementar-Bunttontext:

$u^* = r00j$

Kontrastreduzierungsfaktor:

$c_R = 1.0$

Dreiecks-Helligkeit i^*



ORS19_96a; adaptierte CIELAB-Daten

	$L^* = L^*_a$	a^*_a	b^*_a	$C^*_{ab,a}$	$h^*_{ab,a}$
O _{Ma}	48.75	65.07	39.43	76.08	31
Y _{Ma}	90.92	-10.28	87.24	87.85	97
L _{Ma}	52.69	-65.43	20.75	68.65	162
C _{Ma}	59.61	-28.97	-46.21	54.56	238
V _{Ma}	28.39	23.63	-44.12	50.06	298
M _{Ma}	49.58	73.93	-9.55	74.55	353
N _{Ma}	18.89	0.0	0.0	0.0	0
W _{Ma}	96.9	0.0	0.0	0.0	0
R _{CIE}	39.92	58.74	27.99	65.07	25
J _{CIE}	81.26	-2.88	71.56	71.62	92
G _{CIE}	52.23	-42.41	13.6	44.55	162
B _{CIE}	30.57	1.41	-46.46	46.49	272

Daten für Maximalfarbe (Ma):

$LAB^*LAB^*_{Ma}$: 49 66 32

$LAB^*LCH^*_{Ma}$: 49 74 25

$lab^*rgb^*_{Ma}$: 1.0 0.0 0.0

$lab^*olv^*_{Ma}$: 1.0 0.0 0.16

Dreiecks-Helligkeit i^*

%Umfang

$u^*_{rel} = 89$

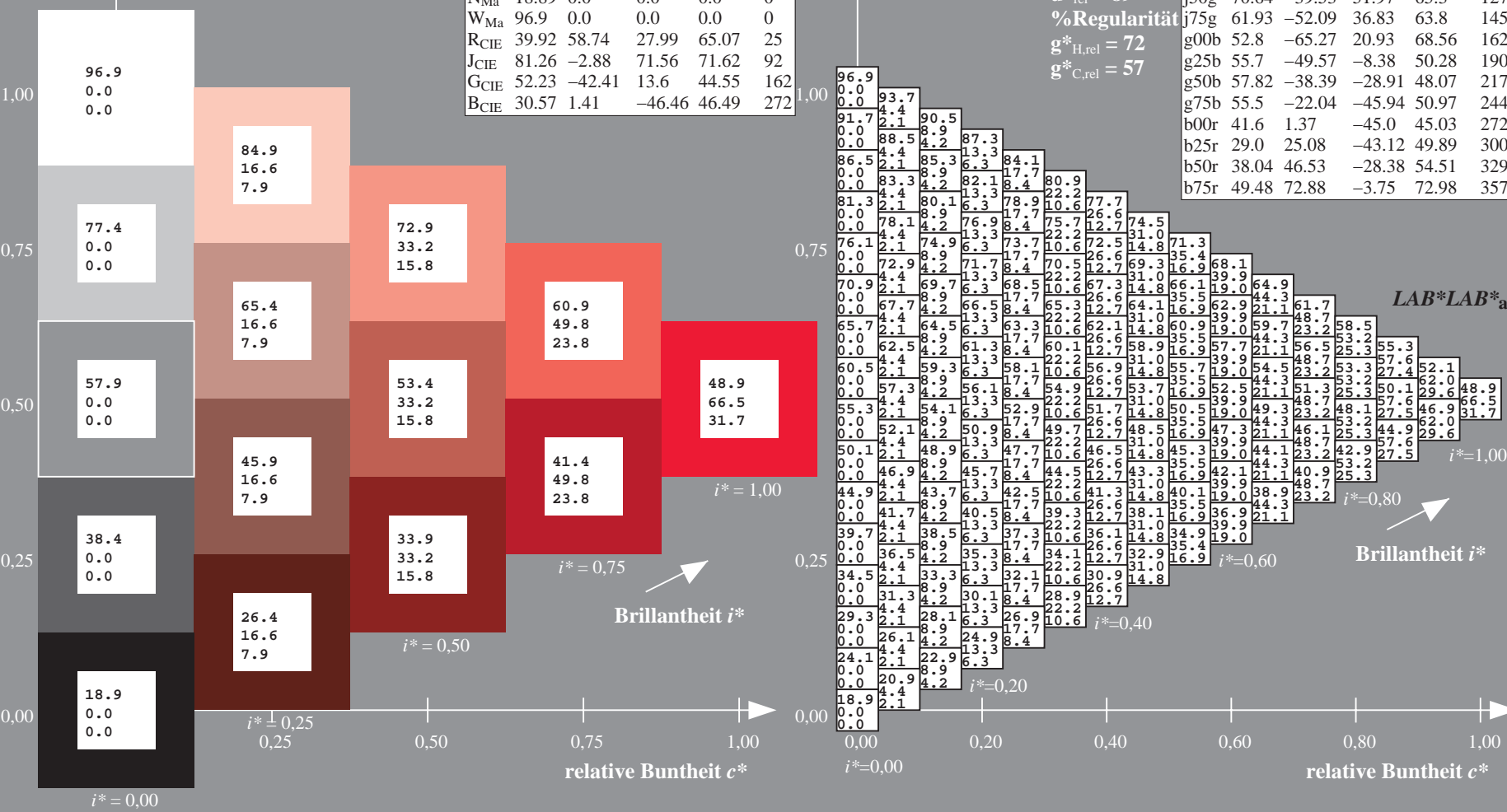
%Regularität

$g^*_{H,rel} = 72$

$g^*_{C,rel} = 57$

ORS19_96a; adaptierte CIELAB-Daten

	$L^* = L^*_a$	a^*_a	b^*_a	$C^*_{ab,a}$	$h^*_{ab,a}$
r00j	48.88	66.47	31.67	73.63	25
r25j	55.85	52.39	47.48	70.7	42
r50j	65.45	35.22	58.37	68.17	59
r75j	75.19	17.82	69.41	71.66	76
j00g	87.03	-3.34	82.83	82.9	92
j25g	80.72	-25.0	69.5	73.86	110
j50g	70.64	-39.53	51.97	65.3	127
j75g	61.93	-52.09	36.83	63.8	145
g00b	52.8	-65.27	20.93	68.56	162
g25b	55.7	-49.57	-8.38	50.28	190
g50b	57.82	-38.39	-28.91	48.07	217
g75b	55.5	-22.04	-45.94	50.97	244
b00r	41.6	1.37	-45.0	45.03	272
b25r	29.0	25.08	-43.12	49.89	300
b50r	38.04	46.53	-28.38	54.51	329
b75r	49.48	72.88	-3.75	72.98	357



Ein und Ausgabe: Farbmetrisches Drucker-Reflektiv-System ORS19_96a für relativen CIELAB-Buntton $h^* = lab^*h^* = h_{ab}/360 = 42/360 = 0.117$ $u^* = r25j$

Daten für jede Farbe:

lab^*tch^* und lab^*icu^*

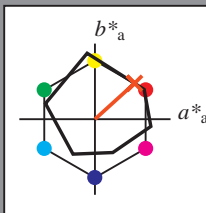
Elementar-Bunttontext:

$u^* = r25j$

Kontrastreduzierungsfaktor:

$c_R = 1.0$

Dreiecks-Helligkeit t^*



ORS19_96a; adaptierte CIELAB-Daten

	$L^*=L_a^*$	a_a^*	b_a^*	$C_{ab,a}^*$	$h_{ab,a}^*$
O _{Ma}	48.75	65.07	39.43	76.08	31
Y _{Ma}	90.92	-10.28	87.24	87.85	97
L _{Ma}	52.69	-65.43	20.75	68.65	162
C _{Ma}	59.61	-28.97	-46.21	54.56	238
V _{Ma}	28.39	23.63	-44.12	50.06	298
M _{Ma}	49.58	73.93	-9.55	74.55	353
N _{Ma}	18.89	0.0	0.0	0.0	0
W _{Ma}	96.9	0.0	0.0	0.0	0
R _{CIE}	39.92	58.74	27.99	65.07	25
J _{CIE}	81.26	-2.88	71.56	71.62	92
G _{CIE}	52.23	-42.41	13.6	44.55	162
B _{CIE}	30.57	1.41	-46.46	46.49	272

Daten für Maximalfarbe (Ma):

$LAB^*LAB^*_{Ma}$: 56 52 47

$LAB^*LCH^*_{Ma}$: 56 71 42

$lab^*rgb^*_{Ma}$: 1.0 0.25 0.0

$lab^*olv^*_{Ma}$: 1.0 0.17 0.0

Dreiecks-Helligkeit t^*

%Umfang

$u^*_{rel} = 89$

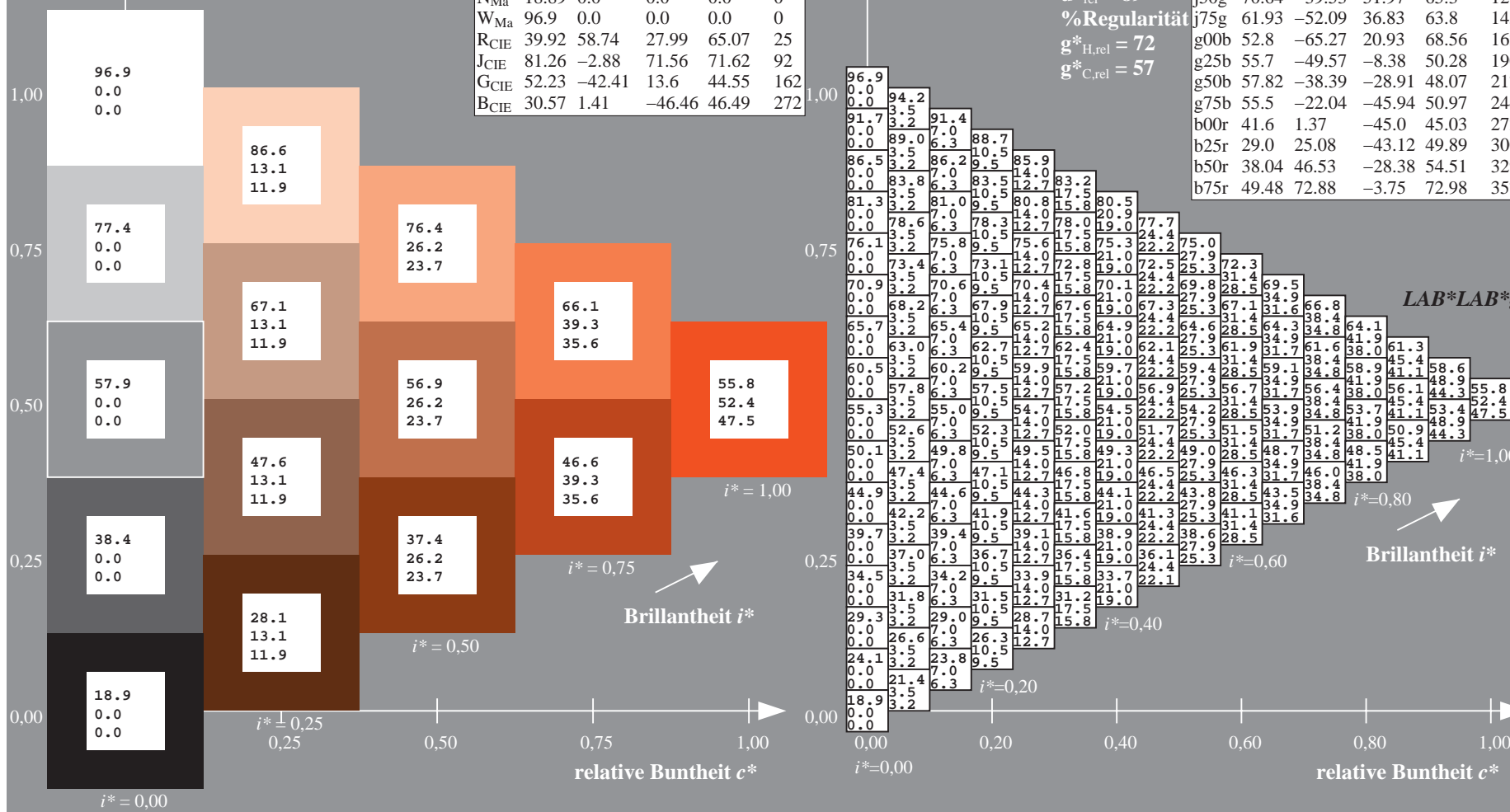
%Regularität

$g^*_{H,rel} = 72$

$g^*_{C,rel} = 57$

ORS19_96a; adaptierte CIELAB-Daten

	$L^*=L_a^*$	a_a^*	b_a^*	$C_{ab,a}^*$	$h_{ab,a}^*$
r00j	48.88	66.47	31.67	73.63	25
r25j	55.85	52.39	47.48	70.7	42
r50j	65.45	35.22	58.37	68.17	59
r75j	75.19	17.82	69.41	71.66	76
j00g	87.03	-3.34	82.83	82.9	92
j25g	80.72	-25.0	69.5	73.86	110
j50g	70.64	-39.53	51.97	65.3	127
j75g	61.93	-52.09	36.83	63.8	145
g00b	52.8	-65.27	20.93	68.56	162
g25b	55.7	-49.57	-8.38	50.28	190
g50b	57.82	-38.39	-28.91	48.07	217
g75b	55.5	-22.04	-45.94	50.97	244
b00r	41.6	1.37	-45.0	45.03	272
b25r	29.0	25.08	-43.12	49.89	300
b50r	38.04	46.53	-28.38	54.51	329
b75r	49.48	72.88	-3.75	72.98	357



Ein und Ausgabe: Farbmetrisches Drucker-Reflektiv-System ORS19_96a für relativen CIELAB-Buntton $h^* = lab^*h^* = h_{ab}/360 = 59/360 = 0.164$ $u^* = r50j$

Daten für jede Farbe:

lab^*tch^* und lab^*icu^*

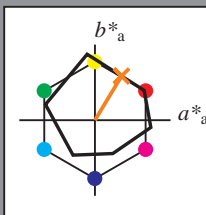
Elementar-Bunttontext:

$u^* = r50j$

Kontrastreduzierungsfaktor:

$c_R = 1.0$

Dreiecks-Helligkeit t^*



ORS19_96a; adaptierte CIELAB-Daten					
	$L^*=L_a^*$	a_a^*	b_a^*	$C^*_{ab,a}$	$h^*_{ab,a}$
O _{Ma}	48.75	65.07	39.43	76.08	31
Y _{Ma}	90.92	-10.28	87.24	87.85	97
L _{Ma}	52.69	-65.43	20.75	68.65	162
C _{Ma}	59.61	-28.97	-46.21	54.56	238
V _{Ma}	28.39	23.63	-44.12	50.06	298
M _{Ma}	49.58	73.93	-9.55	74.55	353
N _{Ma}	18.89	0.0	0.0	0.0	0
W _{Ma}	96.9	0.0	0.0	0.0	0
R _{CIE}	39.92	58.74	27.99	65.07	25
J _{CIE}	81.26	-2.88	71.56	71.62	92
G _{CIE}	52.23	-42.41	13.6	44.55	162
B _{CIE}	30.57	1.41	-46.46	46.49	272

Daten für Maximalfarbe (Ma):

$LAB^*LAB^*_{Ma}$: 65 35 58

$LAB^*LCH^*_{Ma}$: 65 68 59

$lab^*rgb^*_{Ma}$: 1.0 0.5 0.0

$lab^*olv^*_{Ma}$: 1.0 0.4 0.0

Dreiecks-Helligkeit t^*

%Umfang

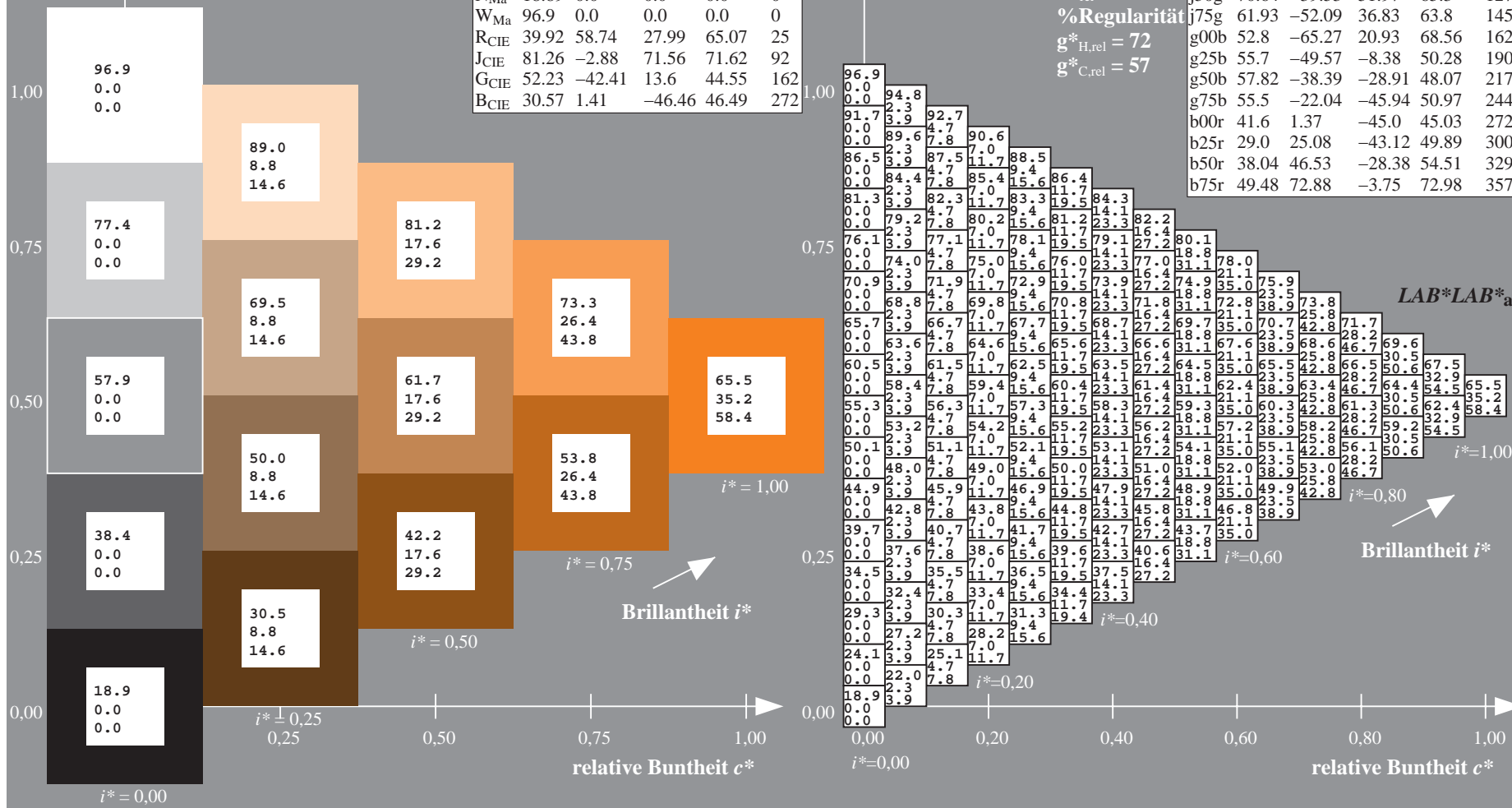
$u^*_{rel} = 89$

%Regularität

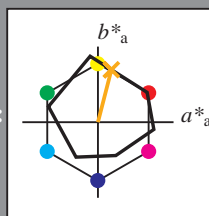
$g^*_{H,rel} = 72$

$g^*_{C,rel} = 57$

ORS19_96a; adaptierte CIELAB-Daten					
	$L^*=L_a^*$	a_a^*	b_a^*	$C^*_{ab,a}$	$h^*_{ab,a}$
r00j	48.88	66.47	31.67	73.63	25
r25j	55.85	52.39	47.48	70.7	42
r50j	65.45	35.22	58.37	68.17	59
r75j	75.19	17.82	69.41	71.66	76
j00g	87.03	-3.34	82.83	82.9	92
j25g	80.72	-25.0	69.5	73.86	110
j50g	70.64	-39.53	51.97	65.3	127
j75g	61.93	-52.09	36.83	63.8	145
g00b	52.8	-65.27	20.93	68.56	162
g25b	55.7	-49.57	-8.38	50.28	190
g50b	57.82	-38.39	-28.91	48.07	217
g75b	55.5	-22.04	-45.94	50.97	244
b00r	41.6	1.37	-45.0	45.03	272
b25r	29.0	25.08	-43.12	49.89	300
b50r	38.04	46.53	-28.38	54.51	329
b75r	49.48	72.88	-3.75	72.98	357



Ein und Ausgabe: Farbmetrisches Drucker-Reflektiv-System ORS19_96a für relativen CIELAB-Buntton $h^* = lab^*h^* = h_{ab}/360 = 76/360 = 0.21$ $u^* = r75j$
Daten für jede Farbe: lab^*ch^* und lab^*icu^*
Elementar-Bunttontext: $u^* = r75j$
Kontrastreduzierungsfaktor: $c_R = 1.0$
Dreiecks-Helligkeit i^*



ORS19_96a; adaptierte CIELAB-Daten					
	$L^*=L^*_a$	a^*_a	b^*_a	$C^*_{ab,a}$	$h^*_{ab,a}$
O _{Ma}	48.75	65.07	39.43	76.08	31
Y _{Ma}	90.92	-10.28	87.24	87.85	97
L _{Ma}	52.69	-65.43	20.75	68.65	162
C _{Ma}	59.61	-28.97	-46.21	54.56	238
V _{Ma}	28.39	23.63	-44.12	50.06	298
M _{Ma}	49.58	73.93	-9.55	74.55	353
N _{Ma}	18.89	0.0	0.0	0.0	0
W _{Ma}	96.9	0.0	0.0	0.0	0
R _{CIE}	39.92	58.74	27.99	65.07	25
J _{CIE}	81.26	-2.88	71.56	71.62	92
G _{CIE}	52.23	-42.41	13.6	44.55	162
B _{CIE}	30.57	1.41	-46.46	46.49	272

Daten für Maximalfarbe (Ma):

$LAB^*LAB^*_{Ma}$: 75 18 69

$LAB^*LCH^*_{Ma}$: 75 72 76

$lab^*rgb^*_{Ma}$: 1.0 0.75 0.0

$lab^*olv^*_{Ma}$: 1.0 0.63 0.0

Dreiecks-Helligkeit i^*

%Umfang

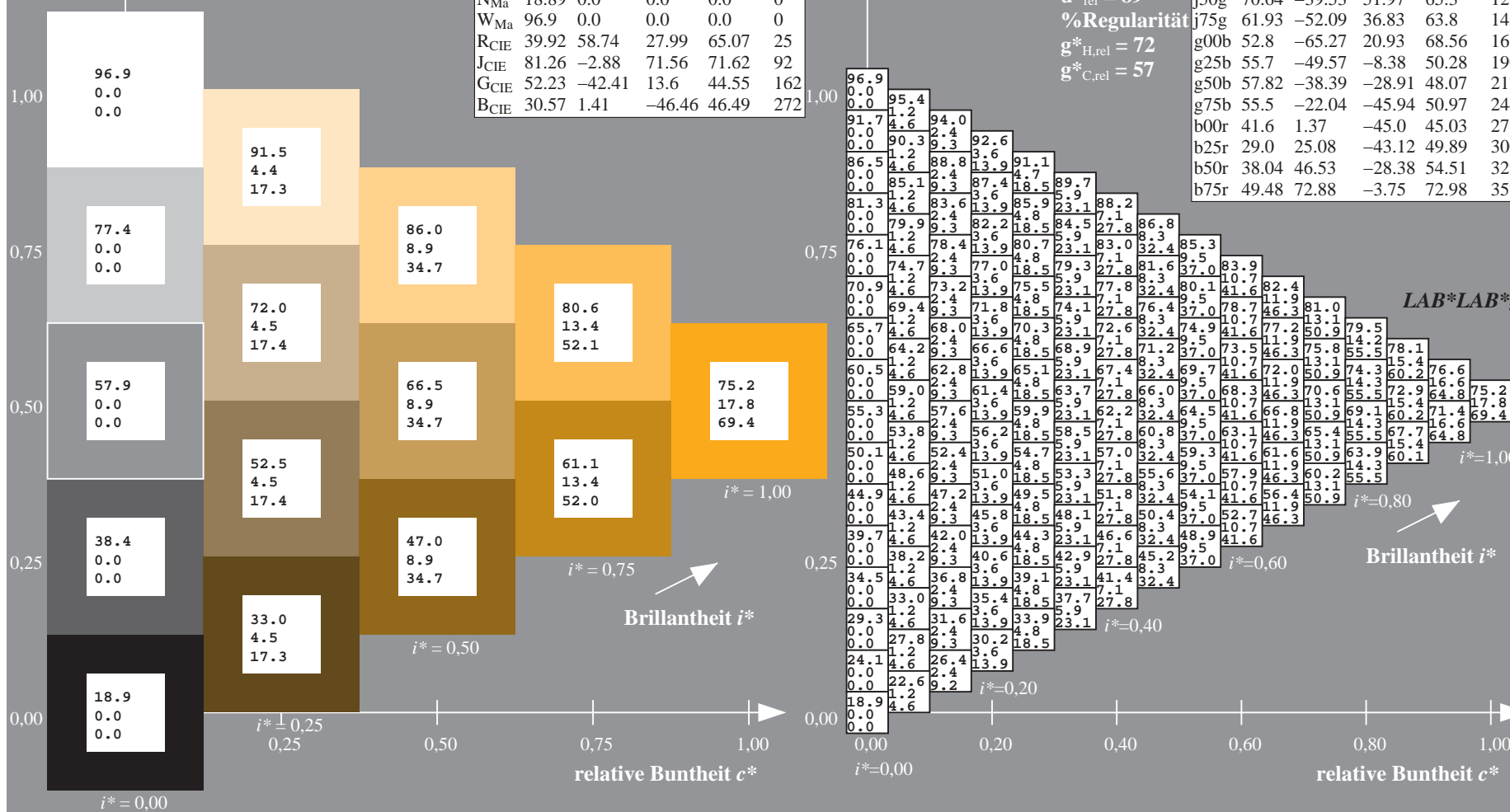
$u^*_{rel} = 89$

%Regularität

$g^*_{H,rel} = 72$

$g^*_{C,rel} = 57$

ORS19_96a; adaptierte CIELAB-Daten					
	$L^*=L^*_a$	a^*_a	b^*_a	$C^*_{ab,a}$	$h^*_{ab,a}$
r00j	48.88	66.47	31.67	73.63	25
r25j	55.85	52.39	47.48	70.7	42
r50j	65.45	35.22	58.37	68.17	59
r75j	75.19	17.82	69.41	71.66	76
j00g	87.03	-3.34	82.83	82.9	92
j25g	80.72	-25.0	69.5	73.86	110
j50g	70.64	-39.53	51.97	65.3	127
j75g	61.93	-52.09	36.83	63.8	145
g00b	52.8	-65.27	20.93	68.56	162
g25b	55.7	-49.57	-8.38	50.28	190
g50b	57.82	-38.39	-28.91	48.07	217
g75b	55.5	-22.04	-45.94	50.97	244
b00r	41.6	1.37	-45.0	45.03	272
b25r	29.0	25.08	-43.12	49.89	300
b50r	38.04	46.53	-28.38	54.51	329
b75r	49.48	72.88	-3.75	72.98	357



Ein und Ausgabe: Farbmetrisches Drucker-Reflektiv-System ORS19_96a für relativen CIELAB-Buntton $h^* = \text{lab}^*h^* = h_{ab}/360 = 92/360 = 0.256$ $u^* = j00g$

Daten für jede Farbe:

lab^*tch^* und lab^*icu^*

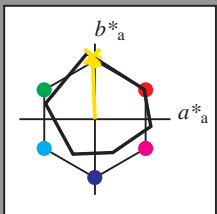
Elementar-Bunttontext:

$u^* = j00g$

Kontrastreduzierungsfaktor:

$c_R = 1.0$

Dreiecks-Helligkeit t^*



ORS19_96a; adaptierte CIELAB-Daten

	$L^*=L^*_a$	a^*_a	b^*_a	$C^*_{ab,a}$	$h^*_{ab,a}$
O _{Ma}	48.75	65.07	39.43	76.08	31
Y _{Ma}	90.92	-10.28	87.24	87.85	97
L _{Ma}	52.69	-65.43	20.75	68.65	162
C _{Ma}	59.61	-28.97	-46.21	54.56	238
V _{Ma}	28.39	23.63	-44.12	50.06	298
M _{Ma}	49.58	73.93	-9.55	74.55	353
N _{Ma}	18.89	0.0	0.0	0.0	0
W _{Ma}	96.9	0.0	0.0	0.0	0
R _{CIE}	39.92	58.74	27.99	65.07	25
J _{CIE}	81.26	-2.88	71.56	71.62	92
G _{CIE}	52.23	-42.41	13.6	44.55	162
B _{CIE}	30.57	1.41	-46.46	46.49	272

Daten für Maximalfarbe (Ma):

$\text{LAB}^*\text{LAB}^*_{Ma}$: 87 -2 83

$\text{LAB}^*\text{LCH}^*_{Ma}$: 87 83 92

$\text{lab}^*\text{rgb}^*_{Ma}$: 1.0 1.0 0.0

$\text{lab}^*\text{olv}^*_{Ma}$: 1.0 0.91 0.0

Dreiecks-Helligkeit t^*

%Umfang

$u^*_{rel} = 89$

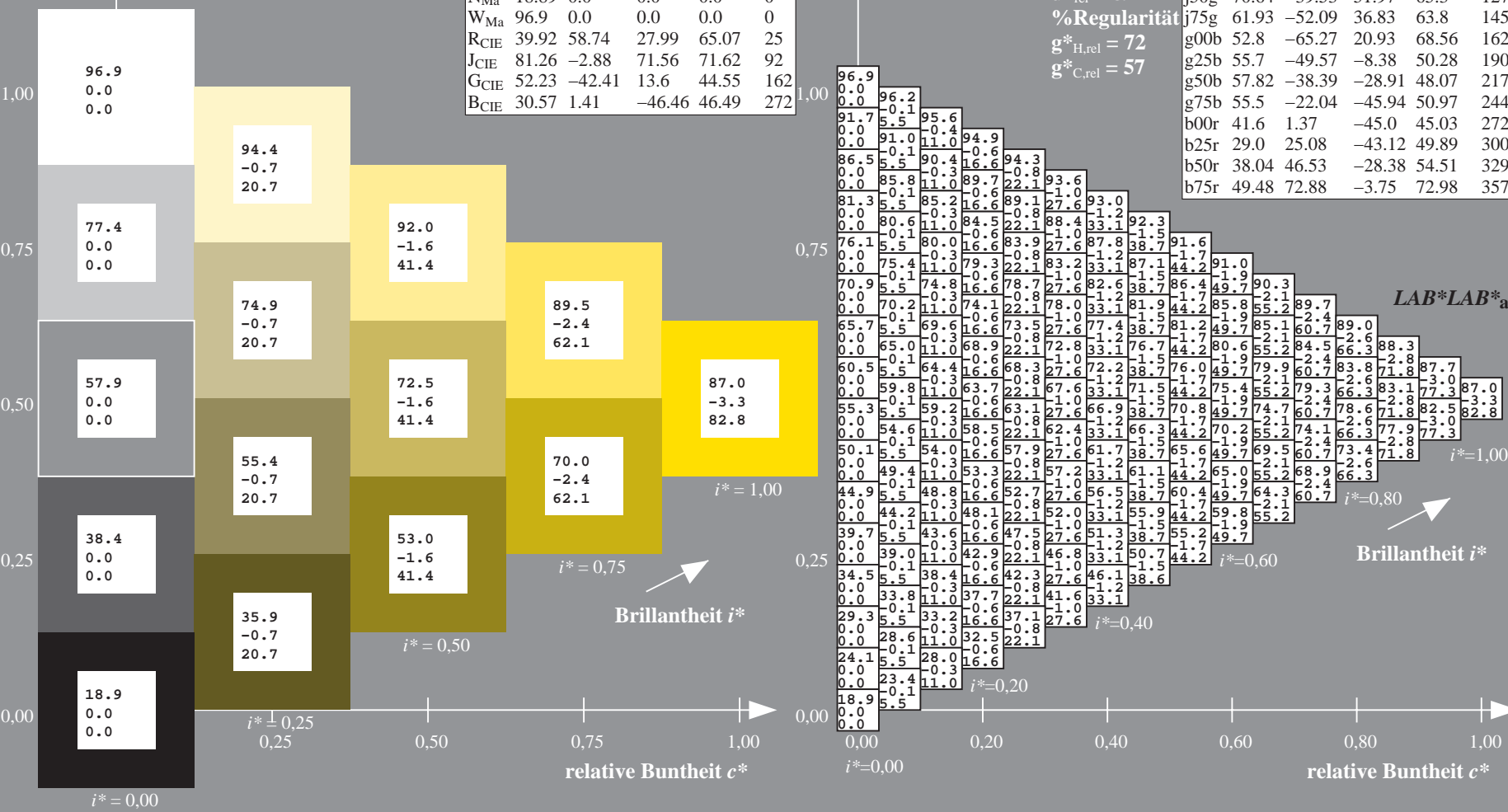
%Regularität

$g^*_{H,rel} = 72$

$g^*_{C,rel} = 57$

ORS19_96a; adaptierte CIELAB-Daten

	$L^*=L^*_a$	a^*_a	b^*_a	$C^*_{ab,a}$	$h^*_{ab,a}$
r00j	48.88	66.47	31.67	73.63	25
r25j	55.85	52.39	47.48	70.7	42
r50j	65.45	35.22	58.37	68.17	59
r75j	75.19	17.82	69.41	71.66	76
j00g	87.03	-3.34	82.83	82.9	92
j25g	80.72	-25.0	69.5	73.86	110
j50g	70.64	-39.53	51.97	65.3	127
j75g	61.93	-52.09	36.83	63.8	145
g00b	52.8	-65.27	20.93	68.56	162
g25b	55.7	-49.57	-8.38	50.28	190
g50b	57.82	-38.39	-28.91	48.07	217
g75b	55.5	-22.04	-45.94	50.97	244
b00r	41.6	1.37	-45.0	45.03	272
b25r	29.0	25.08	-43.12	49.89	300
b50r	38.04	46.53	-28.38	54.51	329
b75r	49.48	72.88	-3.75	72.98	357



Ein und Ausgabe: Farbmetrisches Drucker-Reflektiv-System ORS19_96a für relativen CIELAB-Buntton $h^* = lab^*h^* = h_{ab}/360 = 110/360 = 0.305$ $u^* = j25g$

Daten für jede Farbe:

lab^*ch^* und lab^*icu^*

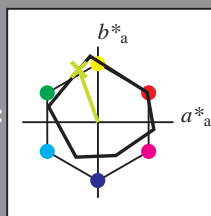
Elementar-Bunttonext:

$u^* = j25g$

Kontrastreduzierungsfaktor:

$c_R = 1.0$

Dreiecks-Helligkeit t^*



ORS19_96a; adaptierte CIELAB-Daten					
	$L^*=L^*_a$	a^*_a	b^*_a	$C^*_{ab,a}$	$h^*_{ab,a}$
O _{Ma}	48.75	65.07	39.43	76.08	31
Y _{Ma}	90.92	-10.28	87.24	87.85	97
L _{Ma}	52.69	-65.43	20.75	68.65	162
C _{Ma}	59.61	-28.97	-46.21	54.56	238
V _{Ma}	28.39	23.63	-44.12	50.06	298
M _{Ma}	49.58	73.93	-9.55	74.55	353
N _{Ma}	18.89	0.0	0.0	0.0	0
W _{Ma}	96.9	0.0	0.0	0.0	0
R _{CIE}	39.92	58.74	27.99	65.07	25
J _{CIE}	81.26	-2.88	71.56	71.62	92
G _{CIE}	52.23	-42.41	13.6	44.55	162
B _{CIE}	30.57	1.41	-46.46	46.49	272

Daten für Maximalfarbe (Ma):

$LAB^*LAB^*_Ma$: 81 -24 69

$LAB^*LCH^*_Ma$: 81 74 110

$lab^*rgb^*_Ma$: 0.75 1.0 0.0

$lab^*olv^*_Ma$: 0.73 1.0 0.0

Dreiecks-Helligkeit t^*

%Umfang

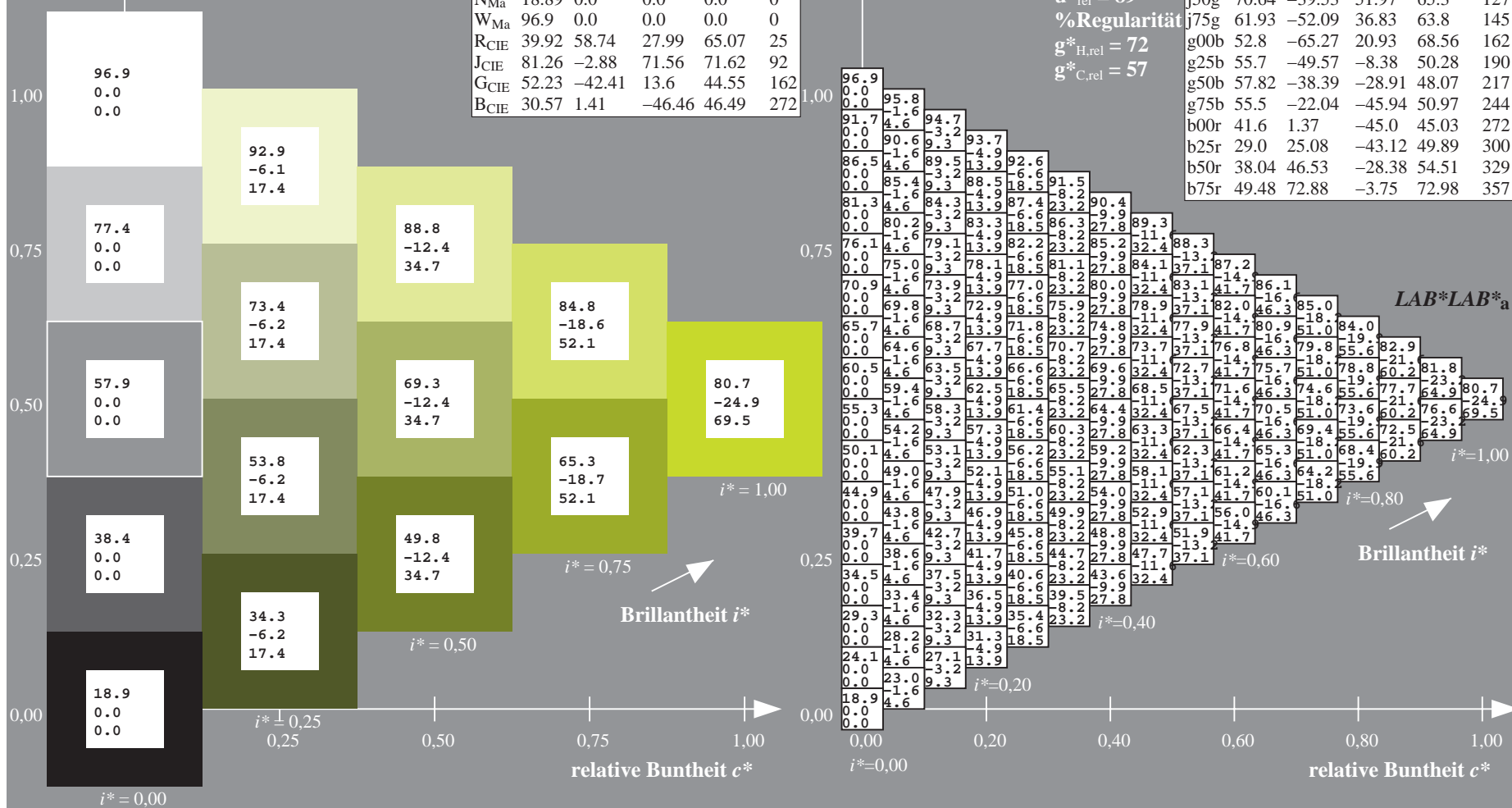
$u^*_{rel} = 89$

%Regularität

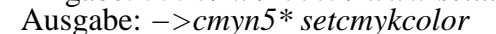
$g^*_{H,rel} = 72$

$g^*_{C,rel} = 57$

ORS19_96a; adaptierte CIELAB-Daten					
	$L^*=L^*_a$	a^*_a	b^*_a	$C^*_{ab,a}$	$h^*_{ab,a}$
r00j	48.88	66.47	31.67	73.63	25
r25j	55.85	52.39	47.48	70.7	42
r50j	65.45	35.22	58.37	68.17	59
r75j	75.19	17.82	69.41	71.66	76
j00g	87.03	-3.34	82.83	82.9	92
j25g	80.72	-25.0	69.5	73.86	110
j50g	70.64	-39.53	51.97	65.3	127
j75g	61.93	-52.09	36.83	63.8	145
g00b	52.8	-65.27	20.93	68.56	162
g25b	55.7	-49.57	-8.38	50.28	190
g50b	57.82	-38.39	-28.91	48.07	217
g75b	55.5	-22.04	-45.94	50.97	244
b00r	41.6	1.37	-45.0	45.03	272
b25r	29.0	25.08	-43.12	49.89	300
b50r	38.04	46.53	-28.38	54.51	329
b75r	49.48	72.88	-3.75	72.98	357



100



BAM-Registrierung: 20080701-Dg98/10L/L98G00NP.PS/.PDF BAM-Material: Code=rha4ta
- Anwendung für Beurteilung und Messung von Drucker- oder Monitorsystemen

Siehe ähnliche Dateien: <http://www.ps.bam.de/Dg98/>; www.ps.bam.de/Dg.HTM
Technische Information: <http://www.ps.bam.de> Version 2.1, io=1,1, ColSp=1

Ein und Ausgabe: Farbmetrisches Drucker-Reflektiv-System ORS19_96a für relativen CIELAB-Buntton $h^* = lab^*h^* = h_{ab}/360 = 145/360 = 0.402$ $u^* = j75g$

Daten für jede Farbe:

lab^*ch^* und lab^*icu^*

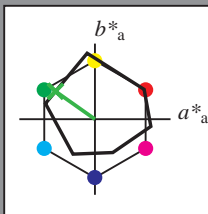
Elementar-Bunttontext:

$u^* = j75g$

Kontrastreduzierungsfaktor:

$c_R = 1.0$

Dreiecks-Helligkeit i^*



ORS19_96a; adaptierte CIELAB-Daten

	$L^*=L^*_a$	a^*_a	b^*_a	$C^*_{ab,a}$	$h^*_{ab,a}$
O _{Ma}	48.75	65.07	39.43	76.08	31
Y _{Ma}	90.92	-10.28	87.24	87.85	97
L _{Ma}	52.69	-65.43	20.75	68.65	162
C _{Ma}	59.61	-28.97	-46.21	54.56	238
V _{Ma}	28.39	23.63	-44.12	50.06	298
M _{Ma}	49.58	73.93	-9.55	74.55	353
N _{Ma}	18.89	0.0	0.0	0.0	0
W _{Ma}	96.9	0.0	0.0	0.0	0
R _{CIE}	39.92	58.74	27.99	65.07	25
J _{CIE}	81.26	-2.88	71.56	71.62	92
G _{CIE}	52.23	-42.41	13.6	44.55	162
B _{CIE}	30.57	1.41	-46.46	46.49	272

Daten für Maximalfarbe (Ma):

$LAB^*LAB^*_{Ma}$: 62 -51 37

$LAB^*LCH^*_{Ma}$: 62 64 145

$lab^*rgb^*_{Ma}$: 0.25 1.0 0.0

$lab^*olv^*_{Ma}$: 0.24 1.0 0.0

Dreiecks-Helligkeit i^*

%Umfang

$u^*_{rel} = 89$

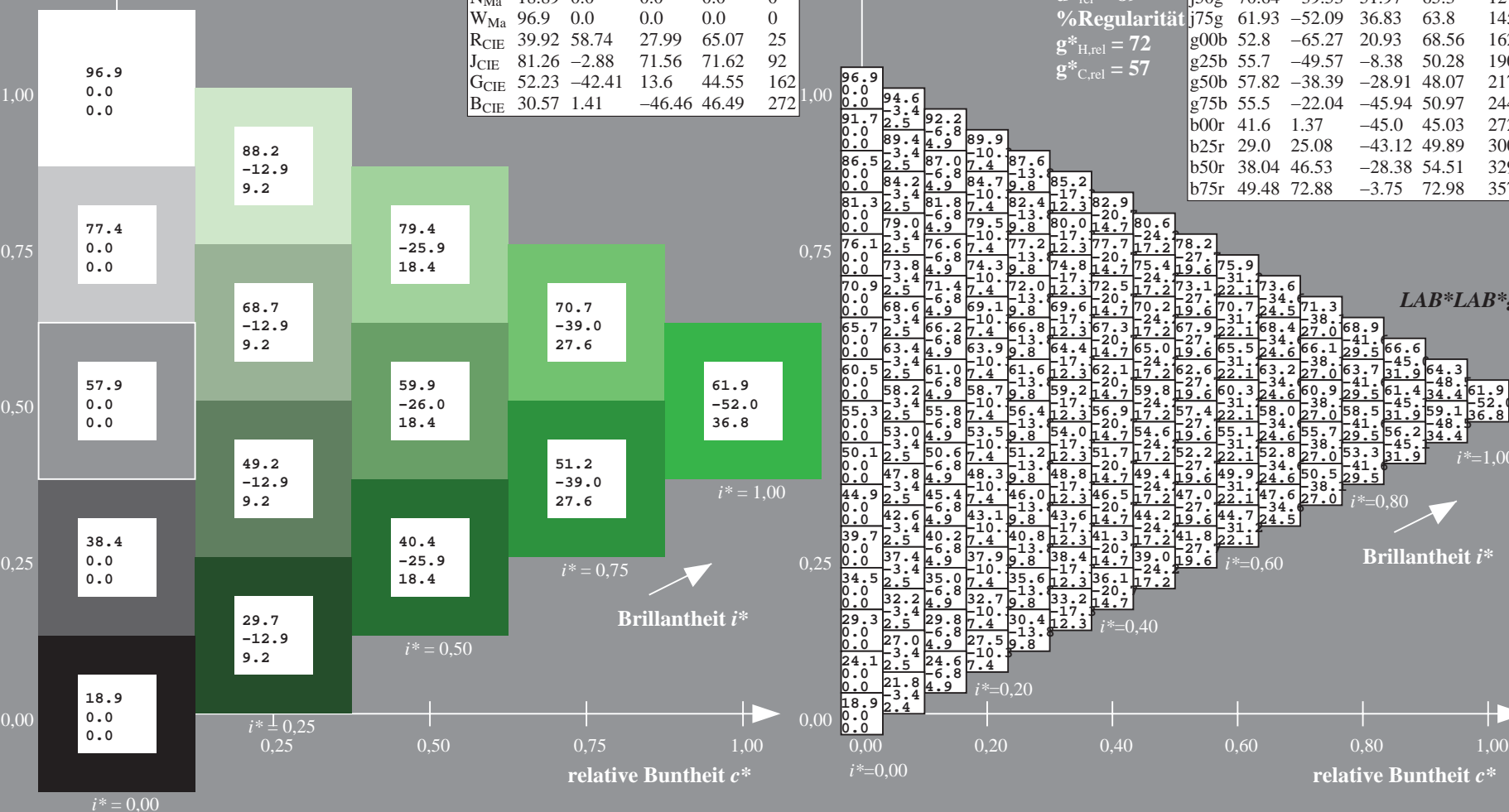
%Regularität

$g^*_{H,rel} = 72$

$g^*_{C,rel} = 57$

ORS19_96a; adaptierte CIELAB-Daten

	$L^*=L^*_a$	a^*_a	b^*_a	$C^*_{ab,a}$	$h^*_{ab,a}$
r00j	48.88	66.47	31.67	73.63	25
r25j	55.85	52.39	47.48	70.7	42
r50j	65.45	35.22	58.37	68.17	59
r75j	75.19	17.82	69.41	71.66	76
j00g	87.03	-3.34	82.83	82.9	92
j25g	80.72	-25.0	69.5	73.86	110
j50g	70.64	-39.53	51.97	65.3	127
j75g	61.93	-52.09	36.83	63.8	145
g00b	52.8	-65.27	20.93	68.56	162
g25b	55.7	-49.57	-8.38	50.28	190
g50b	57.82	-38.39	-28.91	48.07	217
g75b	55.5	-22.04	-45.94	50.97	244
b00r	41.6	1.37	-45.0	45.03	272
b25r	29.0	25.08	-43.12	49.89	300
b50r	38.04	46.53	-28.38	54.51	329
b75r	49.48	72.88	-3.75	72.98	357



Ein und Ausgabe: Farbmetrisches Drucker-Reflektiv-System ORS19_96a für relativen CIELAB-Buntton $h^* = lab^*h^* = h_{ab}/360 = 162/360 = 0.451$ $u^* = g00b$

Daten für jede Farbe:

lab^*ch^* und lab^*icu^*

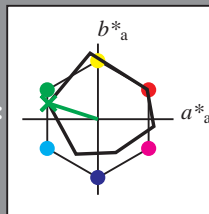
Elementar-Bunttontext:

$u^* = g00b$

Kontrastreduzierungsfaktor:

$c_R = 1.0$

Dreiecks-Helligkeit i^*



ORS19_96a; adaptierte CIELAB-Daten

	$L^*=L^*_a$	a^*_a	b^*_a	$C^*_{ab,a}$	$h^*_{ab,a}$
O _{Ma}	48.75	65.07	39.43	76.08	31
Y _{Ma}	90.92	-10.28	87.24	87.85	97
L _{Ma}	52.69	-65.43	20.75	68.65	162
C _{Ma}	59.61	-28.97	-46.21	54.56	238
V _{Ma}	28.39	23.63	-44.12	50.06	298
M _{Ma}	49.58	73.93	-9.55	74.55	353
N _{Ma}	18.89	0.0	0.0	0.0	0
W _{Ma}	96.9	0.0	0.0	0.0	0
R _{CIE}	39.92	58.74	27.99	65.07	25
J _{CIE}	81.26	-2.88	71.56	71.62	92
G _{CIE}	52.23	-42.41	13.6	44.55	162
B _{CIE}	30.57	1.41	-46.46	46.49	272

Daten für Maximalfarbe (Ma):

$LAB^*LAB^*_Ma$: 53 -64 21

$LAB^*LCH^*_Ma$: 53 69 162

$lab^*rgb^*_Ma$: 0.0 1.0 0.0

$lab^*olv^*_Ma$: 0.0 1.0 0.0

Dreiecks-Helligkeit i^*

%Umfang

$u^*_{rel} = 89$

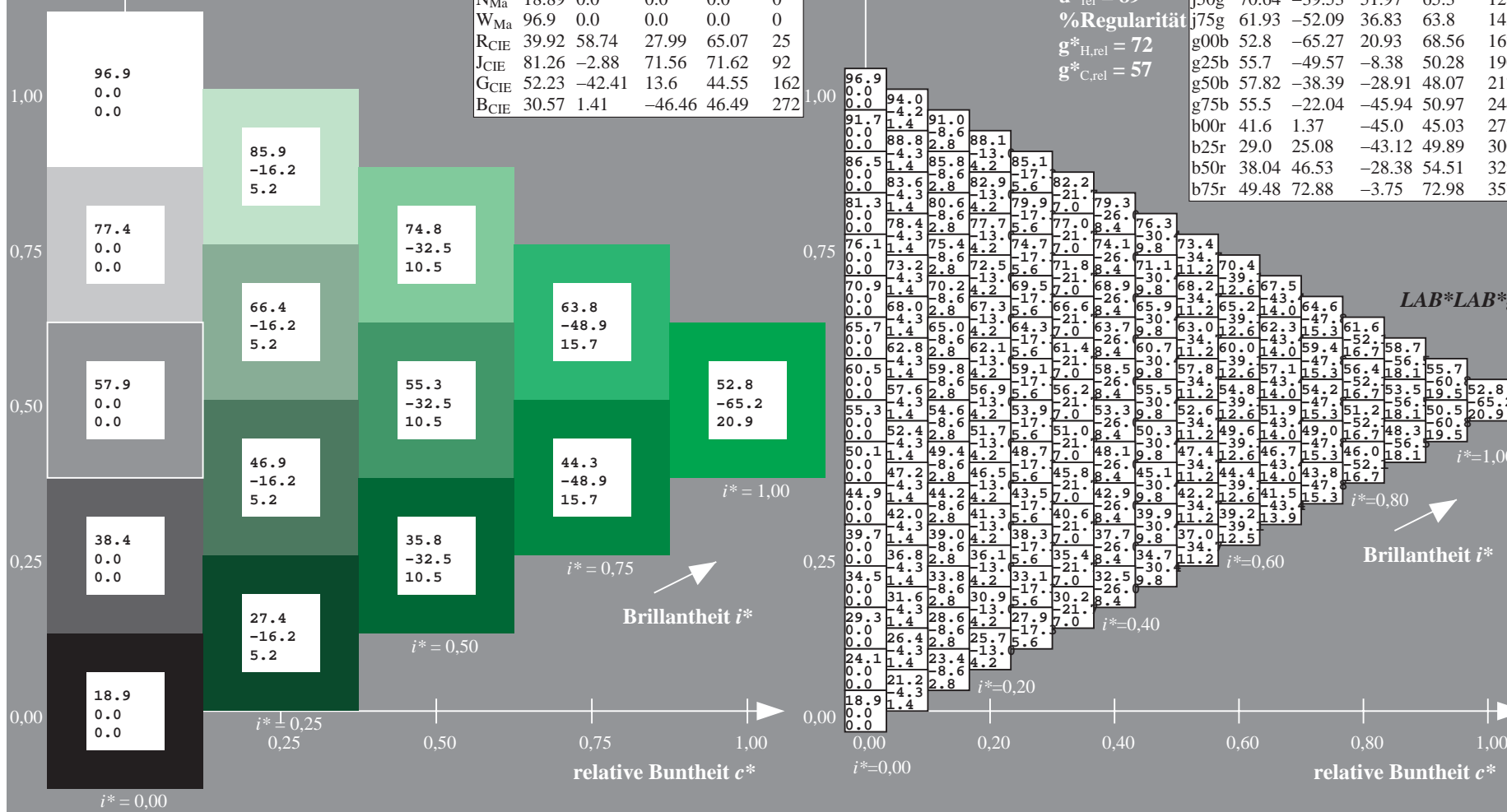
%Regularität

$g^*_{H,rel} = 72$

$g^*_{C,rel} = 57$

ORS19_96a; adaptierte CIELAB-Daten

	$L^*=L^*_a$	a^*_a	b^*_a	$C^*_{ab,a}$	$h^*_{ab,a}$
r00j	48.88	66.47	31.67	73.63	25
r25j	55.85	52.39	47.48	70.7	42
r50j	65.45	35.22	58.37	68.17	59
r75j	75.19	17.82	69.41	71.66	76
j00g	87.03	-3.34	82.83	82.9	92
j25g	80.72	-25.0	69.5	73.86	110
j50g	70.64	-39.53	51.97	65.3	127
j75g	61.93	-52.09	36.83	63.8	145
g00b	52.8	-65.27	20.93	68.56	162
g25b	55.7	-49.57	-8.38	50.28	190
g50b	57.82	-38.39	-28.91	48.07	217
g75b	55.5	-22.04	-45.94	50.97	244
b00r	41.6	1.37	-45.0	45.03	272
b25r	29.0	25.08	-43.12	49.89	300
b50r	38.04	46.53	-28.38	54.51	329
b75r	49.48	72.88	-3.75	72.98	357



Ein und Ausgabe: Farbmetrisches Drucker-Reflektiv-System ORS19_96a für relativen CIELAB-Buntton $h^* = \text{lab}^*h^* = h_{ab}/360 = 190/360 = 0.527$ $u^* = g25b$

Daten für jede Farbe:

lab^*ch^* und lab^*icu^*

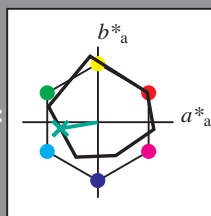
Elementar-Bunttontext:

$u^* = g25b$

Kontrastreduzierungsfaktor:

$c_R = 1.0$

Dreiecks-Helligkeit i^*



ORS19_96a; adaptierte CIELAB-Daten

	$L^*=L_a^*$	a_a^*	b_a^*	$C_{ab,a}^*$	$h_{ab,a}^*$
O _{Ma}	48.75	65.07	39.43	76.08	31
Y _{Ma}	90.92	-10.28	87.24	87.85	97
L _{Ma}	52.69	-65.43	20.75	68.65	162
C _{Ma}	59.61	-28.97	-46.21	54.56	238
V _{Ma}	28.39	23.63	-44.12	50.06	298
M _{Ma}	49.58	73.93	-9.55	74.55	353
N _{Ma}	18.89	0.0	0.0	0.0	0
Y _{Ma}	96.9	0.0	0.0	0.0	0
R _{CIE}	39.92	58.74	27.99	65.07	25
J _{CIE}	81.26	-2.88	71.56	71.62	92
G _{CIE}	52.23	-42.41	13.6	44.55	162
B _{CIE}	30.57	1.41	-46.46	46.49	272

Daten für Maximalfarbe (Ma):

$\text{LAB}^*\text{LAB}^*_{\text{Ma}}$: 56 -49 -7

$\text{LAB}^*\text{LCH}^*_{\text{Ma}}$: 56 50 190

$\text{lab}^*\text{rgb}^*_{\text{Ma}}$: 0.0 1.0 0.5

$\text{lab}^*\text{olv}^*_{\text{Ma}}$: 0.0 1.0 0.44

Dreiecks-Helligkeit i^*

%Umfang

$u^*_{\text{rel}} = 89$

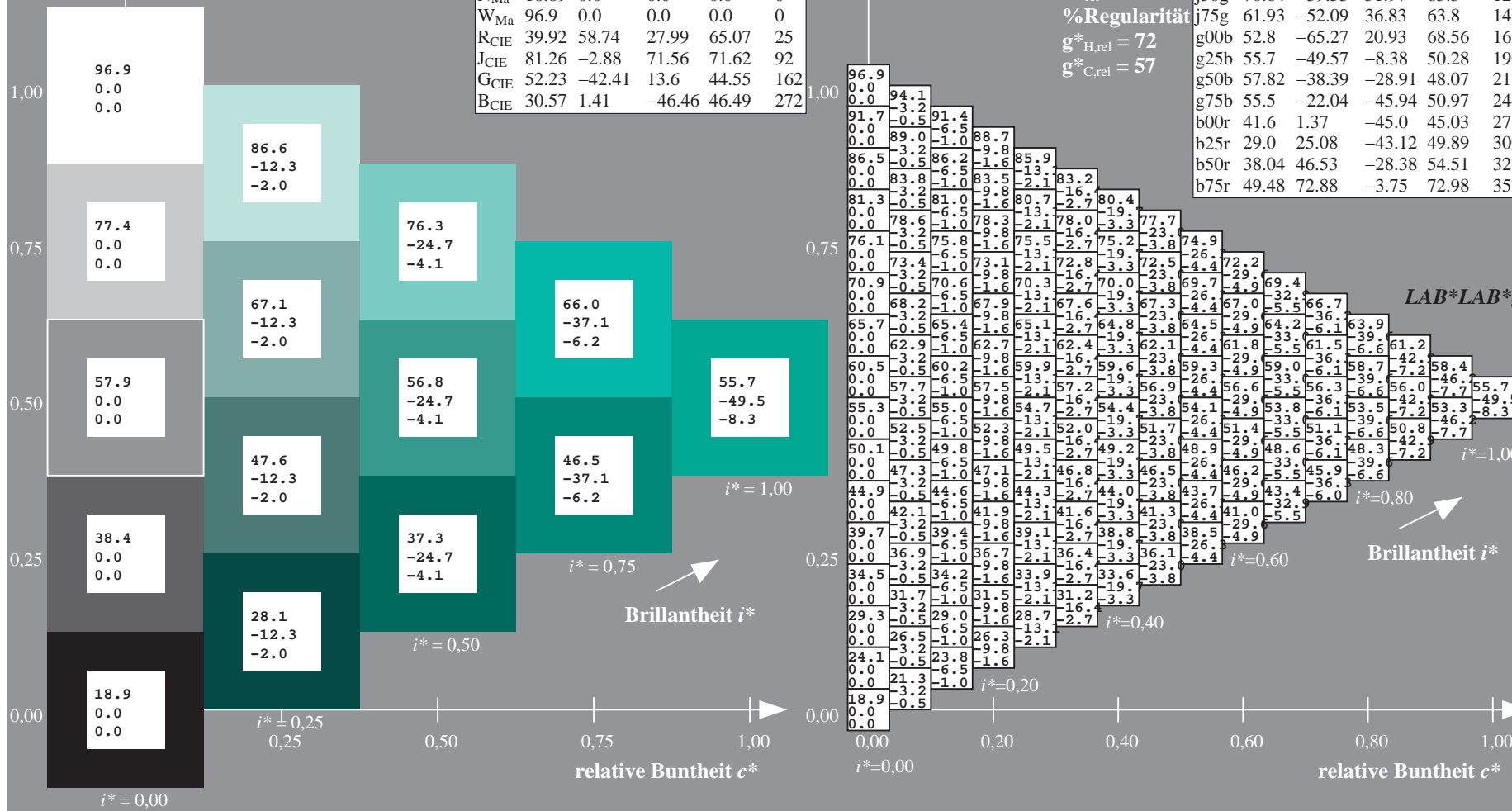
%Regularität

$g^*_{H,\text{rel}} = 72$

$g^*_{C,\text{rel}} = 57$

ORS19_96a; adaptierte CIELAB-Daten

	$L^*=L_a^*$	a_a^*	b_a^*	$C_{ab,a}^*$	$h_{ab,a}^*$
r00j	48.88	66.47	31.67	73.63	25
r25j	55.85	52.39	47.48	70.7	42
r50j	65.45	35.22	58.37	68.17	59
r75j	75.19	17.82	69.41	71.66	76
j00g	87.03	-3.34	82.83	82.9	92
j25g	80.72	-25.0	69.5	73.86	110
j50g	70.64	-39.53	51.97	65.3	127
j75g	61.93	-52.09	36.83	63.8	145
g00b	52.8	-65.27	20.93	68.56	162
g25b	55.7	-49.57	-8.38	50.28	190
g50b	57.82	-38.39	-28.91	48.07	217
g75b	55.5	-22.04	-45.94	50.97	244
b00r	41.6	1.37	-45.0	45.03	272
b25r	29.0	25.08	-43.12	49.89	300
b50r	38.04	46.53	-28.38	54.51	329
b75r	49.48	72.88	-3.75	72.98	357



Ein und Ausgabe: Farbmetrisches Drucker-Reflektiv-System ORS19_96a für relativen CIELAB-Buntton $h^* = lab^*h^* = h_{ab}/360 = 217/360 = 0.603$ $u^* = g50b$

Daten für jede Farbe:

lab^*ch^* und lab^*icu^*

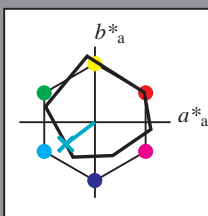
Elementar-Bunttontext:

$u^* = g50b$

Kontrastreduzierungsfaktor:

$c_R = 1.0$

Dreiecks-Helligkeit i^*



ORS19_96a; adaptierte CIELAB-Daten					
	$L^*=L^*_a$	a^*_a	b^*_a	$C^*_{ab,a}$	$h^*_{ab,a}$
O _{Ma}	48.75	65.07	39.43	76.08	31
Y _{Ma}	90.92	-10.28	87.24	87.85	97
L _{Ma}	52.69	-65.43	20.75	68.65	162
C _{Ma}	59.61	-28.97	-46.21	54.56	238
V _{Ma}	28.39	23.63	-44.12	50.06	298
M _{Ma}	49.58	73.93	-9.55	74.55	353
N _{Ma}	18.89	0.0	0.0	0.0	0
W _{Ma}	96.9	0.0	0.0	0.0	0
R _{CIE}	39.92	58.74	27.99	65.07	25
J _{CIE}	81.26	-2.88	71.56	71.62	92
G _{CIE}	52.23	-42.41	13.6	44.55	162
B _{CIE}	30.57	1.41	-46.46	46.49	272

Daten für Maximalfarbe (Ma):

$LAB^*LAB^*_{Ma}$: 58 -37 -28

$LAB^*LCH^*_{Ma}$: 58 48 217

$lab^*rgb^*_{Ma}$: 0.0 1.0 1.0

$lab^*olv^*_{Ma}$: 0.0 1.0 0.74

Dreiecks-Helligkeit i^*

%Umfang

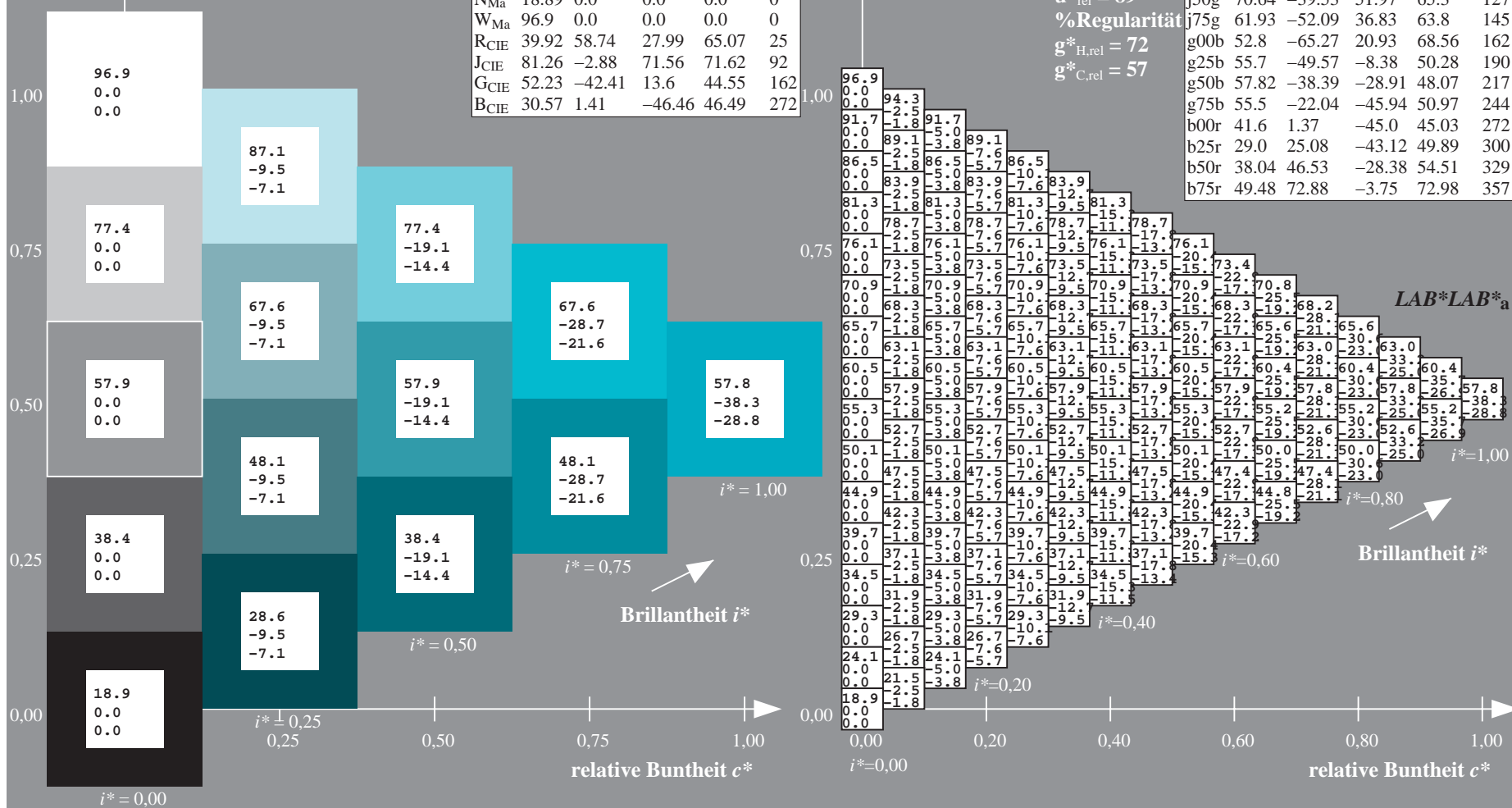
$u^*_{rel} = 89$

%Regularität

$g^*_{H,rel} = 72$

$g^*_{C,rel} = 57$

ORS19_96a; adaptierte CIELAB-Daten					
	$L^*=L^*_a$	a^*_a	b^*_a	$C^*_{ab,a}$	$h^*_{ab,a}$
r00j	48.88	66.47	31.67	73.63	25
r25j	55.85	52.39	47.48	70.7	42
r50j	65.45	35.22	58.37	68.17	59
r75j	75.19	17.82	69.41	71.66	76
j00g	87.03	-3.34	82.83	82.9	92
j25g	80.72	-25.0	69.5	73.86	110
j50g	70.64	-39.53	51.97	65.3	127
j75g	61.93	-52.09	36.83	63.8	145
g00b	52.8	-65.27	20.93	68.56	162
g25b	55.7	-49.57	-8.38	50.28	190
g50b	57.82	-38.39	-28.91	48.07	217
g75b	55.5	-22.04	-45.94	50.97	244
b00r	41.6	1.37	-45.0	45.03	272
b25r	29.0	25.08	-43.12	49.89	300
b50r	38.04	46.53	-28.38	54.51	329
b75r	49.48	72.88	-3.75	72.98	357



Ein und Ausgabe: Farbmetrisches Drucker-Reflektiv-System ORS19_96a für relativen CIELAB-Buntton $h^* = lab^*h^* = h_{ab}/360 = 244/360 = 0.679$ $u^* = g75b$

Daten für jede Farbe:

lab^*ch^* und lab^*icu^*

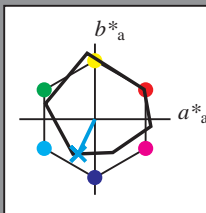
Elementar-Bunttontext:

$u^* = g75b$

Kontrastreduzierungsfaktor:

$c_R = 1.0$

Dreiecks-Helligkeit i^*



ORS19_96a; adaptierte CIELAB-Daten

	$L^*=L_a^*$	a_a^*	b_a^*	$C^*_{ab,a}$	$h^*_{ab,a}$
O _{Ma}	48.75	65.07	39.43	76.08	31
Y _{Ma}	90.92	-10.28	87.24	87.85	97
L _{Ma}	52.69	-65.43	20.75	68.65	162
C _{Ma}	59.61	-28.97	-46.21	54.56	238
V _{Ma}	28.39	23.63	-44.12	50.06	298
M _{Ma}	49.58	73.93	-9.55	74.55	353
N _{Ma}	18.89	0.0	0.0	0.0	0
W _{Ma}	96.9	0.0	0.0	0.0	0
R _{CIE}	39.92	58.74	27.99	65.07	25
J _{CIE}	81.26	-2.88	71.56	71.62	92
G _{CIE}	52.23	-42.41	13.6	44.55	162
B _{CIE}	30.57	1.41	-46.46	46.49	272

Daten für Maximalfarbe (Ma):

$LAB^*LAB^*_{Ma}$: 55 -21 -45

$LAB^*LCH^*_{Ma}$: 55 51 244

$lab^*rgb^*_{Ma}$: 0.0 0.5 1.0

$lab^*olv^*_{Ma}$: 0.0 0.87 1.0

Dreiecks-Helligkeit i^*

%Umfang

$u^*_{rel} = 89$

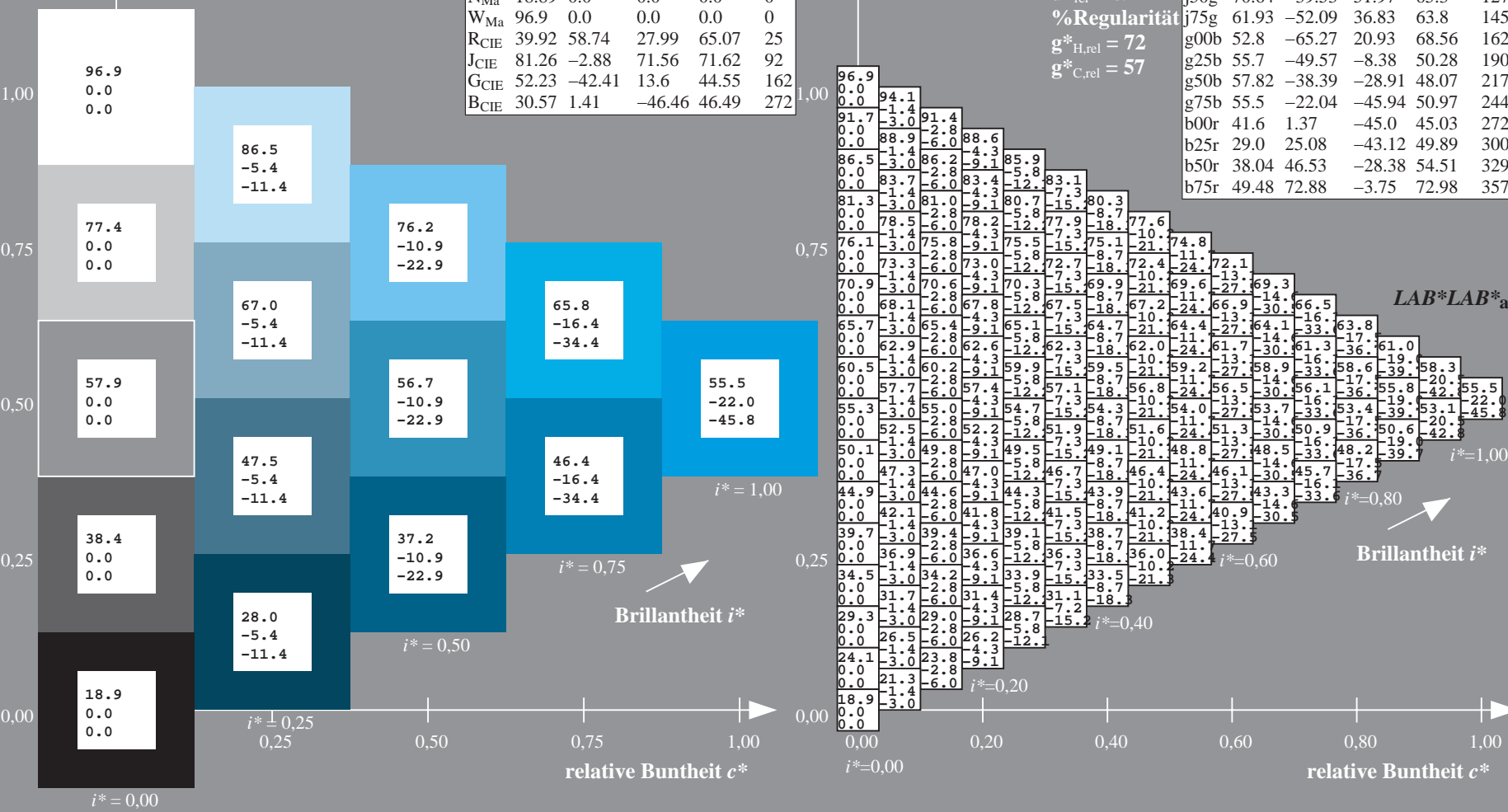
%Regularität

$g^*_{H,rel} = 72$

$g^*_{C,rel} = 57$

ORS19_96a; adaptierte CIELAB-Daten

	$L^*=L_a^*$	a_a^*	b_a^*	$C^*_{ab,a}$	$h^*_{ab,a}$
r00j	48.88	66.47	31.67	73.63	25
r25j	55.85	52.39	47.48	70.7	42
r50j	65.45	35.22	58.37	68.17	59
r75j	75.19	17.82	69.41	71.66	76
j00g	87.03	-3.34	82.83	82.9	92
j25g	80.72	-25.0	69.5	73.86	110
j50g	70.64	-39.53	51.97	65.3	127
j75g	61.93	-52.09	36.83	63.8	145
g00b	52.8	-65.27	20.93	68.56	162
g25b	55.7	-49.57	-8.38	50.28	190
g50b	57.82	-38.39	-28.91	48.07	217
g75b	55.5	-22.04	-45.94	50.97	244
b00r	41.6	1.37	-45.0	45.03	272
b25r	29.0	25.08	-43.12	49.89	300
b50r	38.04	46.53	-28.38	54.51	329
b75r	49.48	72.88	-3.75	72.98	357



Ein und Ausgabe: Farbmetrisches Drucker-Reflektiv-System ORS19_96a für relativen CIELAB-Buntton $h^* = lab^*h^* = h_{ab}/360 = 272/360 = 0.755$ $u^* = b00r$

Daten für jede Farbe:

lab^*ch^* und lab^*icu^*

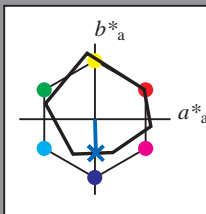
Elementar-Bunttontext:

$u^* = b00r$

Kontrastreduzierungsfaktor:

$c_R = 1.0$

Dreiecks-Helligkeit i^*



ORS19_96a; adaptierte CIELAB-Daten

	$L^*=L^*_a$	a^*_a	b^*_a	$C^*_{ab,a}$	$h^*_{ab,a}$
O _{Ma}	48.75	65.07	39.43	76.08	31
Y _{Ma}	90.92	-10.28	87.24	87.85	97
L _{Ma}	52.69	-65.43	20.75	68.65	162
C _{Ma}	59.61	-28.97	-46.21	54.56	238
V _{Ma}	28.39	23.63	-44.12	50.06	298
M _{Ma}	49.58	73.93	-9.55	74.55	353
N _{Ma}	18.89	0.0	0.0	0.0	0
W _{Ma}	96.9	0.0	0.0	0.0	0
R _{CIE}	39.92	58.74	27.99	65.07	25
J _{CIE}	81.26	-2.88	71.56	71.62	92
G _{CIE}	52.23	-42.41	13.6	44.55	162
B _{CIE}	30.57	1.41	-46.46	46.49	272

Daten für Maximalfarbe (Ma):

$LAB^*LAB^*_{Ma}$: 42 1 -44

$LAB^*LCH^*_{Ma}$: 42 45 272

$lab^*rgb^*_{Ma}$: 0.0 0.0 1.0

$lab^*olv^*_{Ma}$: 0.0 0.42 1.0

Dreiecks-Helligkeit i^*

%Umfang

$u^*_{rel} = 89$

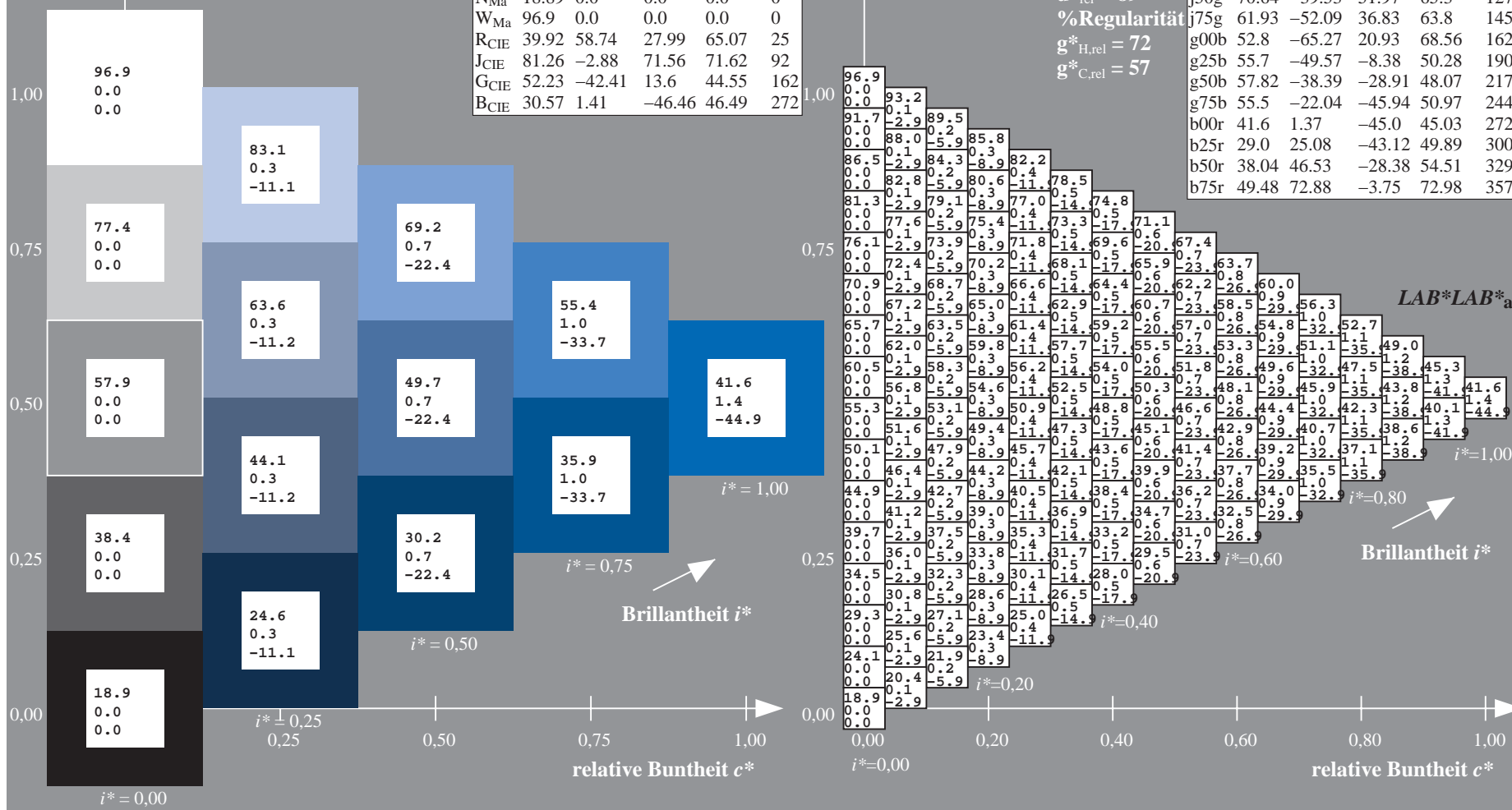
%Regularität

$g^*_{H,rel} = 72$

$g^*_{C,rel} = 57$

ORS19_96a; adaptierte CIELAB-Daten

	$L^*=L^*_a$	a^*_a	b^*_a	$C^*_{ab,a}$	$h^*_{ab,a}$
r00j	48.88	66.47	31.67	73.63	25
r25j	55.85	52.39	47.48	70.7	42
r50j	65.45	35.22	58.37	68.17	59
r75j	75.19	17.82	69.41	71.66	76
j00g	87.03	-3.34	82.83	82.9	92
j25g	80.72	-25.0	69.5	73.86	110
j50g	70.64	-39.53	51.97	65.3	127
j75g	61.93	-52.09	36.83	63.8	145
g00b	52.8	-65.27	20.93	68.56	162
g25b	55.7	-49.57	-8.38	50.28	190
g50b	57.82	-38.39	-28.91	48.07	217
g75b	55.5	-22.04	-45.94	50.97	244
b00r	41.6	1.37	-45.0	45.03	272
b25r	29.0	25.08	-43.12	49.89	300
b50r	38.04	46.53	-28.38	54.51	329
b75r	49.48	72.88	-3.75	72.98	357



Ein und Ausgabe: Farbmetrisches Drucker-Reflektiv-System ORS19_96a für relativen CIELAB-Buntton $h^* = lab^*h^* = h_{ab}/360 = 300/360 = 0.834$ $u^* = b25r$

Daten für jede Farbe:

lab^*ch^* und lab^*icu^*

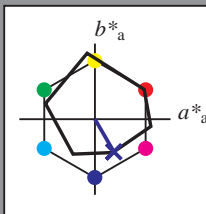
Elementar-Bunttontext:

$u^* = b25r$

Kontrastreduzierungsfaktor:

$c_R = 1.0$

Dreiecks-Helligkeit i^*



ORS19_96a; adaptierte CIELAB-Daten

	$L^*=L^*_a$	a^*_a	b^*_a	$C^*_{ab,a}$	$h^*_{ab,a}$
OMa	48.75	65.07	39.43	76.08	31
YMa	90.92	-10.28	87.24	87.85	97
LMa	52.69	-65.43	20.75	68.65	162
CMa	59.61	-28.97	-46.21	54.56	238
VMa	28.39	23.63	-44.12	50.06	298
MMa	49.58	73.93	-9.55	74.55	353
NMa	18.89	0.0	0.0	0.0	0
YMa	96.9	0.0	0.0	0.0	0
RCIE	39.92	58.74	27.99	65.07	25
JCIE	81.26	-2.88	71.56	71.62	92
GCIE	52.23	-42.41	13.6	44.55	162
BCIE	30.57	1.41	-46.46	46.49	272

Daten für Maximalfarbe (Ma):

$LAB^*LAB^*_Ma$: 29 25 -42

$LAB^*LCH^*_Ma$: 29 50 300

$lab^*rgb^*_Ma$: 0.5 0.0 1.0

$lab^*olv^*_Ma$: 0.03 0.0 1.0

Dreiecks-Helligkeit i^*

%Umfang

$u^*_{rel} = 89$

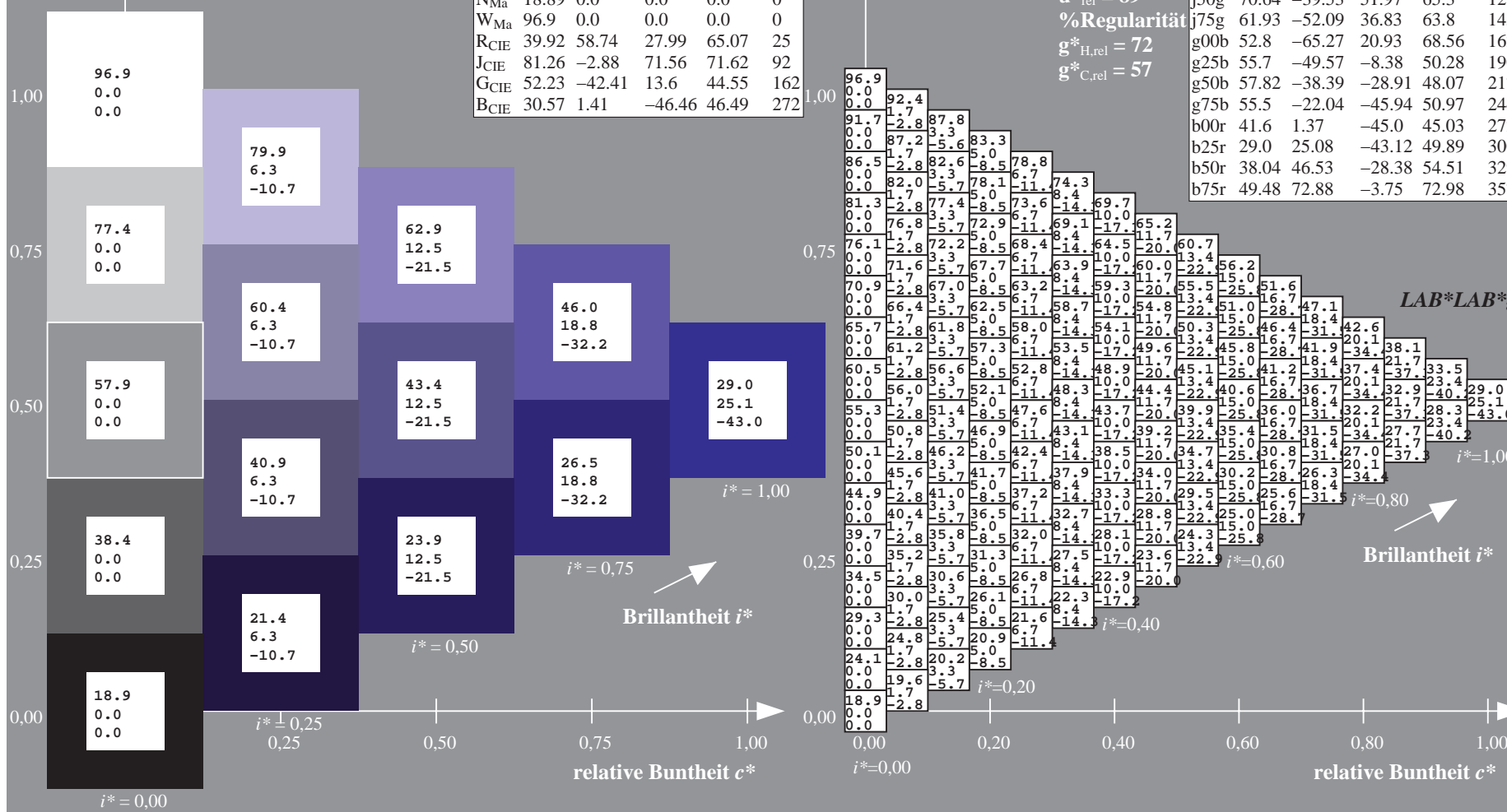
%Regularität

$g^*_{H,rel} = 72$

$g^*_{C,rel} = 57$

ORS19_96a; adaptierte CIELAB-Daten

	$L^*=L^*_a$	a^*_a	b^*_a	$C^*_{ab,a}$	$h^*_{ab,a}$
r00j	48.88	66.47	31.67	73.63	25
r25j	55.85	52.39	47.48	70.7	42
r50j	65.45	35.22	58.37	68.17	59
r75j	75.19	17.82	69.41	71.66	76
j00g	87.03	-3.34	82.83	82.9	92
j25g	80.72	-25.0	69.5	73.86	110
j50g	70.64	-39.53	51.97	65.3	127
j75g	61.93	-52.09	36.83	63.8	145
g00b	52.8	-65.27	20.93	68.56	162
g25b	55.7	-49.57	-8.38	50.28	190
g50b	57.82	-38.39	-28.91	48.07	217
g75b	55.5	-22.04	-45.94	50.97	244
b00r	41.6	1.37	-45.0	45.03	272
b25r	29.0	25.08	-43.12	49.89	300
b50r	38.04	46.53	-28.38	54.51	329
b75r	49.48	72.88	-3.75	72.98	357



Ein und Ausgabe: Farbmetrisches Drucker-Reflektiv-System ORS19_96a für relativen CIELAB-Buntton $h^* = lab^*h^* = h_{ab}/360 = 329/360 = 0.913$ $u^* = b50r$

Daten für jede Farbe:

lab^*ch^* und lab^*icu^*

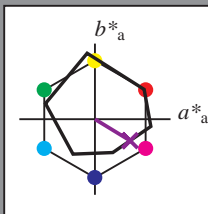
Elementar-Bunttontext:

$u^* = b50r$

Kontrastreduzierungsfaktor:

$c_R = 1.0$

Dreiecks-Helligkeit t^*



ORS19_96a; adaptierte CIELAB-Daten

	$L^*=L^*_a$	a^*_a	b^*_a	$C^*_{ab,a}$	$h^*_{ab,a}$
O _{Ma}	48.75	65.07	39.43	76.08	31
Y _{Ma}	90.92	-10.28	87.24	87.85	97
L _{Ma}	52.69	-65.43	20.75	68.65	162
C _{Ma}	59.61	-28.97	-46.21	54.56	238
V _{Ma}	28.39	23.63	-44.12	50.06	298
M _{Ma}	49.58	73.93	-9.55	74.55	353
N _{Ma}	18.89	0.0	0.0	0.0	0
W _{Ma}	96.9	0.0	0.0	0.0	0
R _{CIE}	39.92	58.74	27.99	65.07	25
J _{CIE}	81.26	-2.88	71.56	71.62	92
G _{CIE}	52.23	-42.41	13.6	44.55	162
B _{CIE}	30.57	1.41	-46.46	46.49	272

Daten für Maximalfarbe (Ma):

$LAB^*LAB^*_{Ma}$: 38 47 -27

$LAB^*LCH^*_{Ma}$: 38 55 329

$lab^*rgb^*_{Ma}$: 1.0 0.0 1.0

$lab^*olv^*_{Ma}$: 0.46 0.0 1.0

Dreiecks-Helligkeit t^*

%Umfang

$u^*_{rel} = 89$

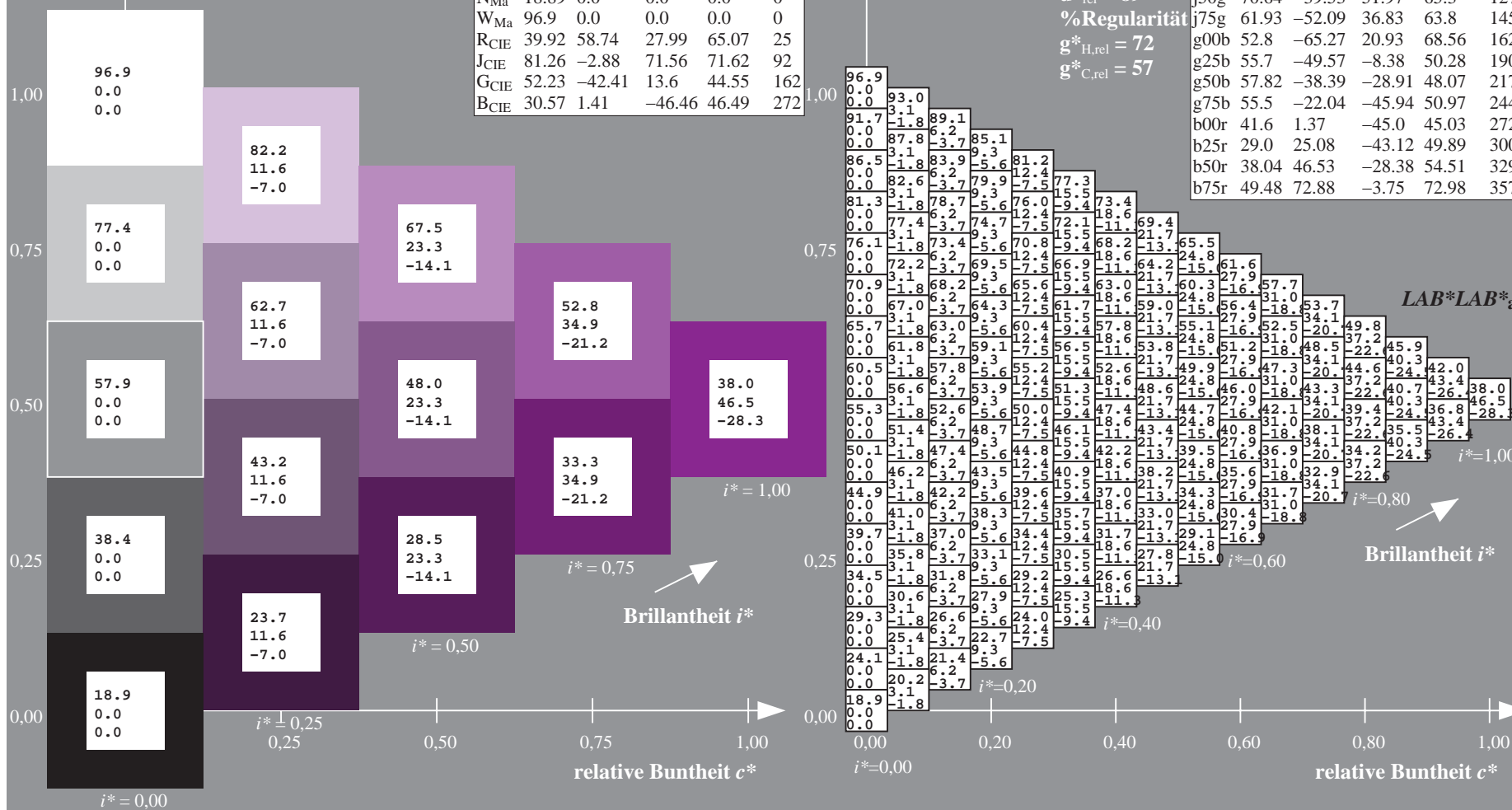
%Regularität

$g^*_{H,rel} = 72$

$g^*_{C,rel} = 57$

ORS19_96a; adaptierte CIELAB-Daten

	$L^*=L^*_a$	a^*_a	b^*_a	$C^*_{ab,a}$	$h^*_{ab,a}$
r00j	48.88	66.47	31.67	73.63	25
r25j	55.85	52.39	47.48	70.7	42
r50j	65.45	35.22	58.37	68.17	59
r75j	75.19	17.82	69.41	71.66	76
j00g	87.03	-3.34	82.83	82.9	92
j25g	80.72	-25.0	69.5	73.86	110
j50g	70.64	-39.53	51.97	65.3	127
j75g	61.93	-52.09	36.83	63.8	145
g00b	52.8	-65.27	20.93	68.56	162
g25b	55.7	-49.57	-8.38	50.28	190
g50b	57.82	-38.39	-28.91	48.07	217
g75b	55.5	-22.04	-45.94	50.97	244
b00r	41.6	1.37	-45.0	45.03	272
b25r	29.0	25.08	-43.12	49.89	300
b50r	38.04	46.53	-28.38	54.51	329
b75r	49.48	72.88	-3.75	72.98	357

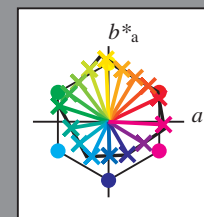


BAM-Registrierung: 20080701-Dg9810/L198G00NP.PS/.PDF BAM-Material
Anwendung für Beurteilung und Messung von Drucker- oder Monitorsystemen

```
Eingabe: 000n / w / nnn0 / www set..  
Ausgabe: ->cmyn5* setcmykcolor
```

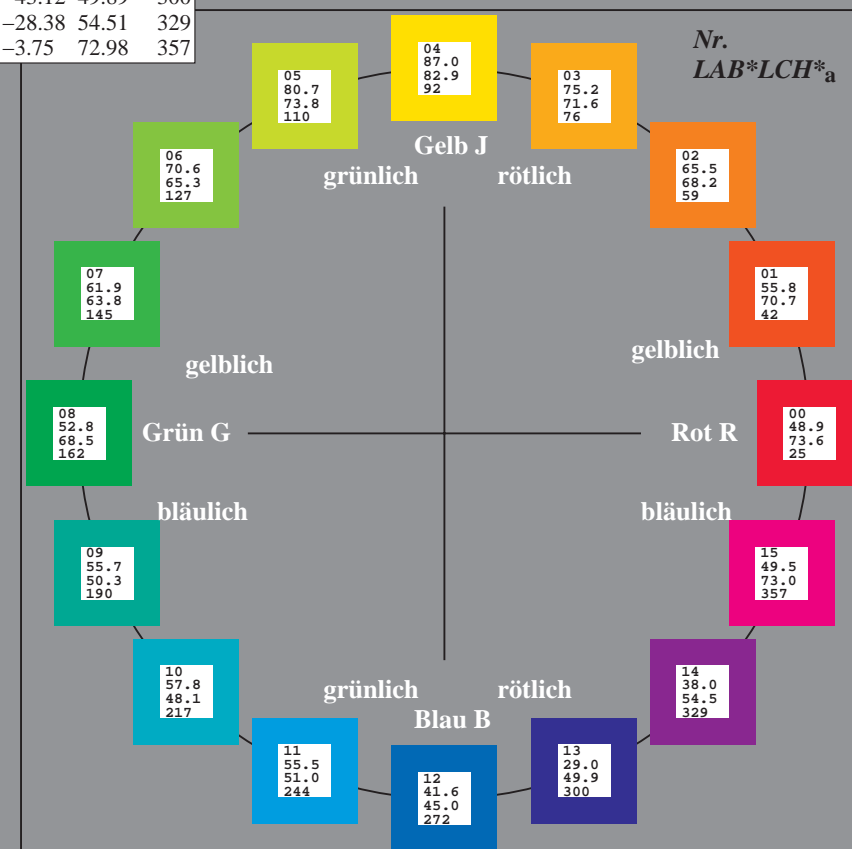
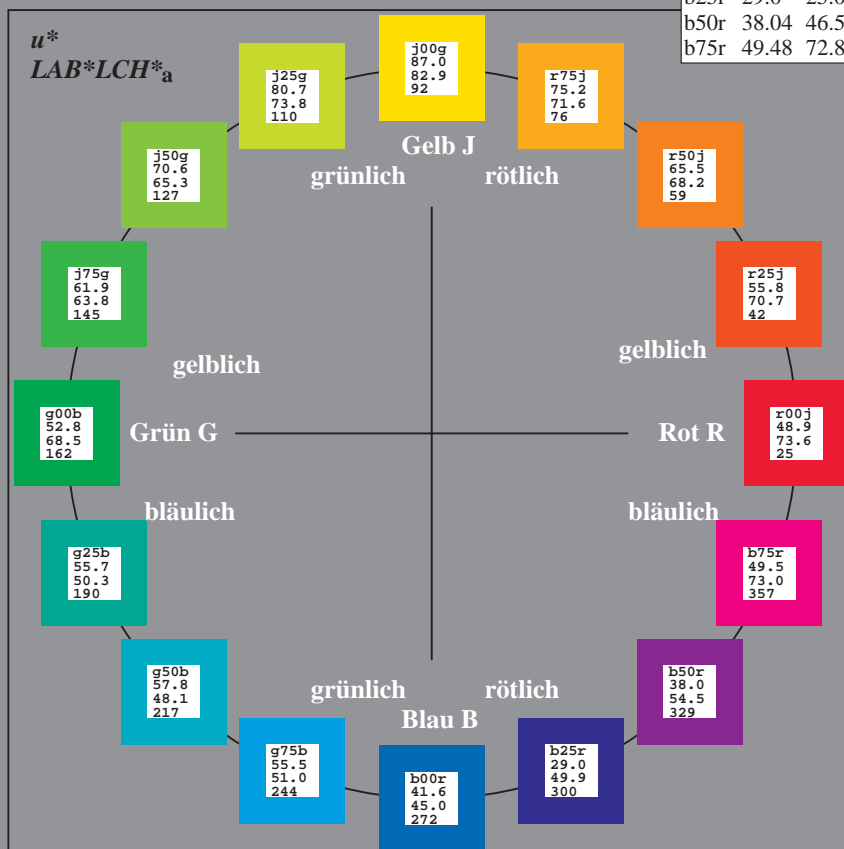

Ein und Ausgabe:
Farbmetrisches Drucker-Reflektiv-System ORS19_96a
Daten für jede Farbe:
*lab*_{tch}** und *lab*_{icu}**
Elementar-Bunttontext:
*u** = 16 Bunttöne *r00j*, *r25j*, ..., *b75r*
Kontrastreduzierungsfaktor:
c_R = 1.0

ORS19_96a; adaptierte CIELAB-Daten					
	<i>L*</i> _a	<i>a*</i> _a	<i>b*</i> _a	<i>C*</i> _{ab,a}	<i>h*</i> _{ab,a}
r00j	48.88	66.47	31.67	73.63	25
r25j	55.85	52.39	47.48	70.7	42
r50j	65.45	35.22	58.37	68.17	59
r75j	75.19	17.82	69.41	71.66	76
j00g	87.03	-3.34	82.83	82.9	92
j25g	80.72	-25.0	69.5	73.86	110
j50g	70.64	-39.53	51.97	65.3	127
j75g	61.93	-52.09	36.83	63.8	145
g00b	52.8	-65.27	20.93	68.56	162
g25b	55.7	-49.57	-8.38	50.28	190
g50b	57.82	-38.39	-28.91	48.07	217
g75b	55.5	-22.04	-45.94	50.97	244
b00r	41.6	1.37	-45.0	45.03	272
b25r	29.0	25.08	-43.12	49.89	300
b50r	38.04	46.53	-28.38	54.51	329
b75r	49.48	72.88	-3.75	72.98	357



%Umfang
*u**_{rel} = 89
%Regularität
*g**_{H,rel} = 72
*g**_{C,rel} = 57

ORS19_96a; adaptierte CIELAB-Daten					
	<i>L*</i> _a	<i>a*</i> _a	<i>b*</i> _a	<i>C*</i> _{ab,a}	<i>h*</i> _{ab,a}
OMa	48.75	65.07	39.43	76.08	31
YMa	90.92	-10.28	87.24	87.85	97
LMa	52.69	-65.43	20.75	68.65	162
CMa	59.61	-28.97	-46.21	54.56	238
VMa	28.39	23.63	-44.12	50.06	298
MMa	49.58	73.93	-9.55	74.55	353
NMa	18.89	0.0	0.0	0.0	0
WMa	96.9	0.0	0.0	0.0	0
RCIE	39.92	58.74	27.99	65.07	25
JCIE	81.26	-2.88	71.56	71.62	92
GCIE	52.23	-42.41	13.6	44.55	162
BCIE	30.57	1.41	-46.46	46.49	272



Ein und Ausgabe: Farbmetrisches Drucker-Reflektiv-System ORS19_96a für relativen CIELAB-Buntton $h^* = lab^*h^* = h_{ab}/360 = 25/360 = 0.071$

Daten für jede Farbe:

lab^*tch^* und lab^*icu^*

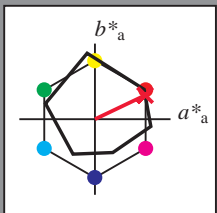
Elementar-Bunttontext:

$u^* = r00j$

Kontrastreduzierungsfaktor:

$c_R = 1.0$

Dreiecks-Helligkeit t^*



ORS19_96a; adaptierte CIELAB-Daten

	$L^*=L^*_a$	a^*_a	b^*_a	$C^*_{ab,a}$	$h^*_{ab,a}$
O _{Ma}	48.75	65.07	39.43	76.08	31
Y _{Ma}	90.92	-10.28	87.24	87.85	97
L _{Ma}	52.69	-65.43	20.75	68.65	162
C _{Ma}	59.61	-28.97	-46.21	54.56	238
V _{Ma}	28.39	23.63	-44.12	50.06	298
M _{Ma}	49.58	73.93	-9.55	74.55	353
N _{Ma}	18.89	0.0	0.0	0.0	0
W _{Ma}	96.9	0.0	0.0	0.0	0
R _{CIE}	39.92	58.74	27.99	65.07	25
J _{CIE}	81.26	-2.88	71.56	71.62	92
G _{CIE}	52.23	-42.41	13.6	44.55	162
B _{CIE}	30.57	1.41	-46.46	46.49	272

Daten für Maximalfarbe (Ma):

$LAB^*LAB^*_{Ma}$: 49 66 32

$LAB^*LCH^*_{Ma}$: 49 74 25

$lab^*rgb^*_{Ma}$: 1.0 0.0 0.0

$lab^*olv^*_{Ma}$: 1.0 0.0 0.16

Dreiecks-Helligkeit t^*

%Umfang

$u^*_{rel} = 89$

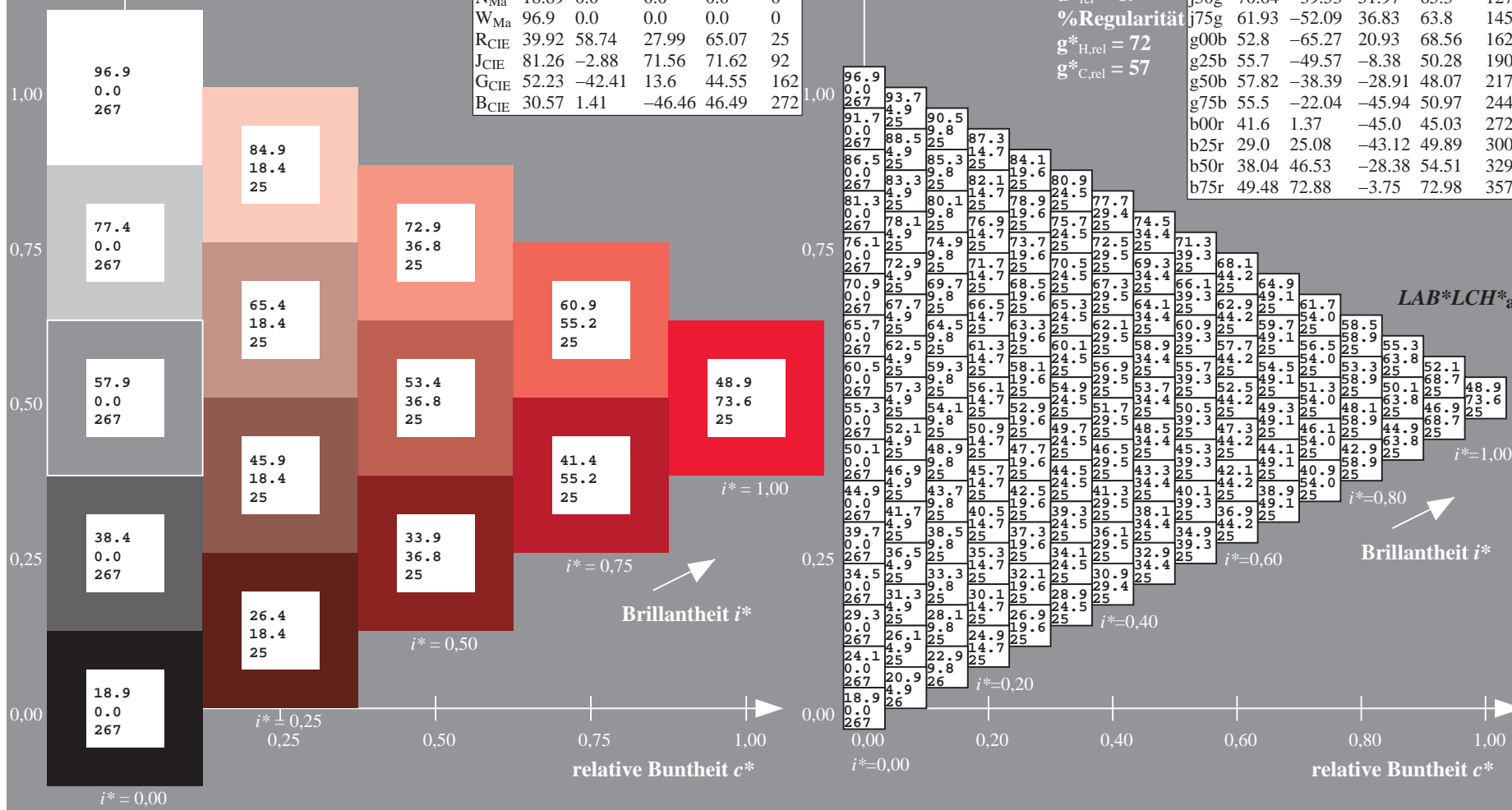
%Regularität

$g^*_{H,rel} = 72$

$g^*_{C,rel} = 57$

ORS19_96a; adaptierte CIELAB-Daten

	$L^*=L^*_a$	a^*_a	b^*_a	$C^*_{ab,a}$	$h^*_{ab,a}$
r00j	48.88	66.47	31.67	73.63	25
r25j	55.85	52.39	47.48	70.7	42
r50j	65.45	35.22	58.37	68.17	59
r75j	75.19	17.82	69.41	71.66	76
j00g	87.03	-3.34	82.83	82.9	92
j25g	80.72	-25.0	69.5	73.86	110
j50g	70.64	-39.53	51.97	65.3	127
j75g	61.93	-52.09	36.83	63.8	145
g00b	52.8	-65.27	20.93	68.56	162
g25b	55.7	-49.57	-8.38	50.28	190
g50b	57.82	-38.39	-28.91	48.07	217
g75b	55.5	-22.04	-45.94	50.97	244
b00r	41.6	1.37	-45.0	45.03	272
b25r	29.0	25.08	-43.12	49.89	300
b50r	38.04	46.53	-28.38	54.51	329
b75r	49.48	72.88	-3.75	72.98	357



Ein und Ausgabe: Farbmetrisches Drucker-Reflektiv-System ORS19_96a für relativen CIELAB-Buntton $h^* = \text{lab}^*h^* = h_{ab}/360 = 42/360 = 0.117$ $u^* = r25j$

Daten für jede Farbe:

lab^*tch^* und lab^*icu^*

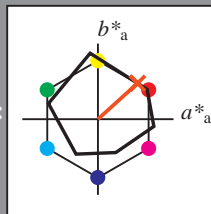
Elementar-Bunttontext:

$u^* = r25j$

Kontrastreduzierungsfaktor:

$c_R = 1.0$

Dreiecks-Helligkeit t^*



ORS19_96a; adaptierte CIELAB-Daten

	$L^*=L^*_a$	a^*_a	b^*_a	$C^*_{ab,a}$	$h^*_{ab,a}$
O _{Ma}	48.75	65.07	39.43	76.08	31
Y _{Ma}	90.92	-10.28	87.24	87.85	97
L _{Ma}	52.69	-65.43	20.75	68.65	162
C _{Ma}	59.61	-28.97	-46.21	54.56	238
V _{Ma}	28.39	23.63	-44.12	50.06	298
M _{Ma}	49.58	73.93	-9.55	74.55	353
N _{Ma}	18.89	0.0	0.0	0.0	0
W _{Ma}	96.9	0.0	0.0	0.0	0
R _{CIE}	39.92	58.74	27.99	65.07	25
J _{CIE}	81.26	-2.88	71.56	71.62	92
G _{CIE}	52.23	-42.41	13.6	44.55	162
B _{CIE}	30.57	1.41	-46.46	46.49	272

Daten für Maximalfarbe (Ma):

$\text{LAB}^*\text{LAB}^*_{\text{Ma}}$: 56 52 47

$\text{LAB}^*\text{LCH}^*_{\text{Ma}}$: 56 71 42

$\text{lab}^*\text{rgb}^*_{\text{Ma}}$: 1.0 0.25 0.0

$\text{lab}^*\text{olv}^*_{\text{Ma}}$: 1.0 0.17 0.0

Dreiecks-Helligkeit t^*

%Umfang

$u^*_{\text{rel}} = 89$

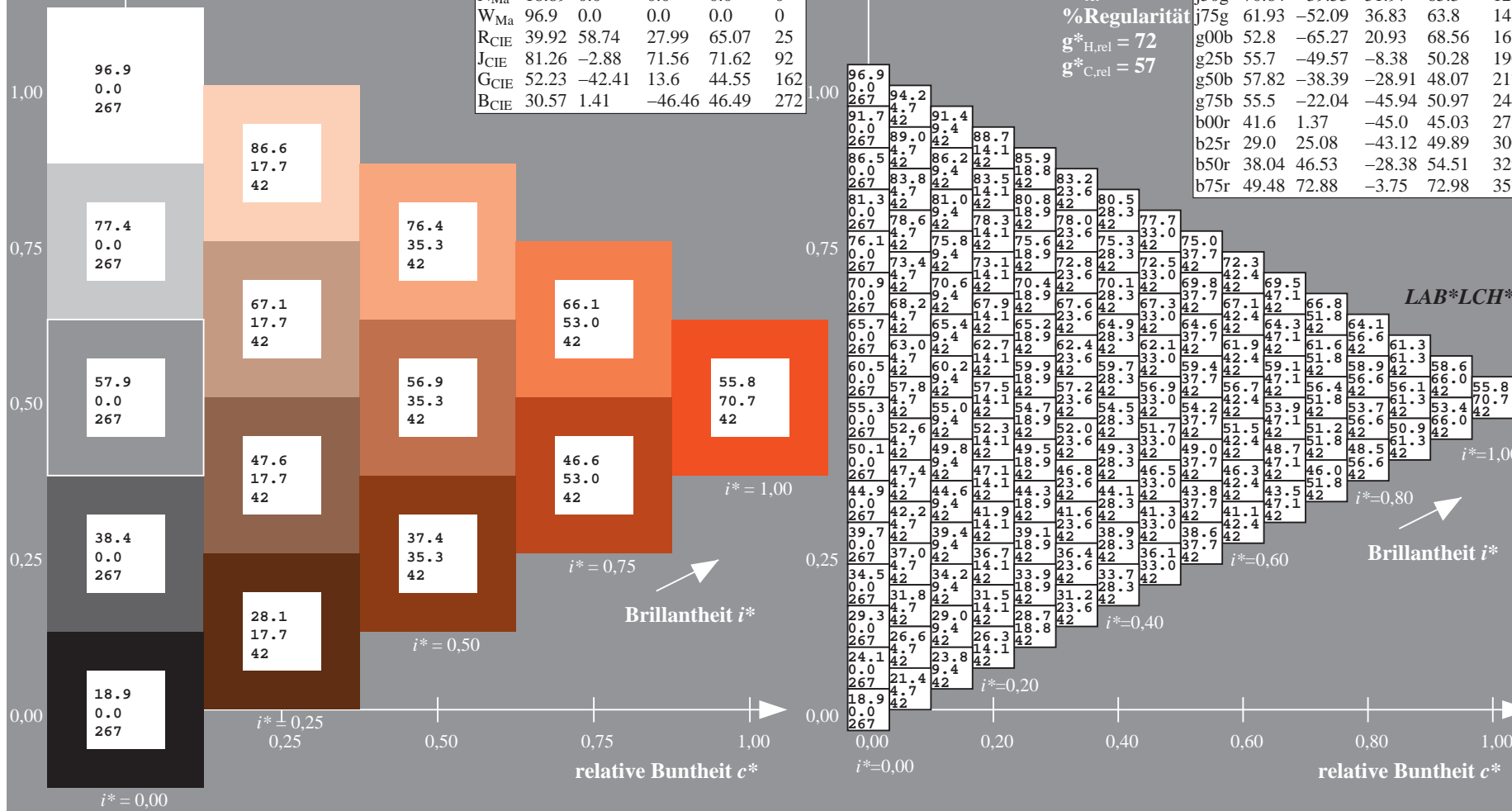
%Regularität

$g^*_{H,\text{rel}} = 72$

$g^*_{C,\text{rel}} = 57$

ORS19_96a; adaptierte CIELAB-Daten

	$L^*=L^*_a$	a^*_a	b^*_a	$C^*_{ab,a}$	$h^*_{ab,a}$
r00j	48.88	66.47	31.67	73.63	25
r25j	55.85	52.39	47.48	70.7	42
r50j	65.45	35.22	58.37	68.17	59
r75j	75.19	17.82	69.41	71.66	76
j00g	87.03	-3.34	82.83	82.9	92
j25g	80.72	-25.0	69.5	73.86	110
j50g	70.64	-39.53	51.97	65.3	127
j75g	61.93	-52.09	36.83	63.8	145
g00b	52.8	-65.27	20.93	68.56	162
g25b	55.7	-49.57	-8.38	50.28	190
g50b	57.82	-38.39	-28.91	48.07	217
g75b	55.5	-22.04	-45.94	50.97	244
b00r	41.6	1.37	-45.0	45.03	272
b25r	29.0	25.08	-43.12	49.89	300
b50r	38.04	46.53	-28.38	54.51	329
b75r	49.48	72.88	-3.75	72.98	357

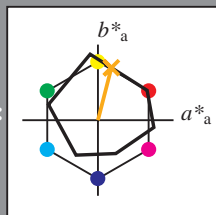


0



Ausgabe: $\rightarrow cmy\mathbf{n}5^* setcmykcolor$

Ein und Ausgabe: Farbmetrisches Drucker-Reflektiv-System ORS19_96a für relativen CIELAB-Buntton $h^* = lab^*h^* = h_{ab}/360 = 76/360 = 0.21$ $u^* = r75j$
Daten für jede Farbe: lab^*ch^* und lab^*icu^*
Elementar-Bunttontext: $u^* = r75j$
Kontrastreduzierungsfaktor: $c_R = 1.0$
Dreiecks-Helligkeit i^*



ORS19_96a; adaptierte CIELAB-Daten					
	$L^*=L^*_a$	a^*_a	b^*_a	$C^*_{ab,a}$	$h^*_{ab,a}$
O _{Ma}	48.75	65.07	39.43	76.08	31
Y _{Ma}	90.92	-10.28	87.24	87.85	97
L _{Ma}	52.69	-65.43	20.75	68.65	162
C _{Ma}	59.61	-28.97	-46.21	54.56	238
V _{Ma}	28.39	23.63	-44.12	50.06	298
M _{Ma}	49.58	73.93	-9.55	74.55	353
N _{Ma}	18.89	0.0	0.0	0.0	0
W _{Ma}	96.9	0.0	0.0	0.0	0
R _{CIE}	39.92	58.74	27.99	65.07	25
J _{CIE}	81.26	-2.88	71.56	71.62	92
G _{CIE}	52.23	-42.41	13.6	44.55	162
B _{CIE}	30.57	1.41	-46.46	46.49	272

Daten für Maximalfarbe (Ma):

$LAB^*LAB^*_{Ma}$: 75 18 69

$LAB^*LCH^*_{Ma}$: 75 72 76

$lab^*rgb^*_{Ma}$: 1.0 0.75 0.0

$lab^*olv^*_{Ma}$: 1.0 0.63 0.0

Dreiecks-Helligkeit i^*

%Umfang

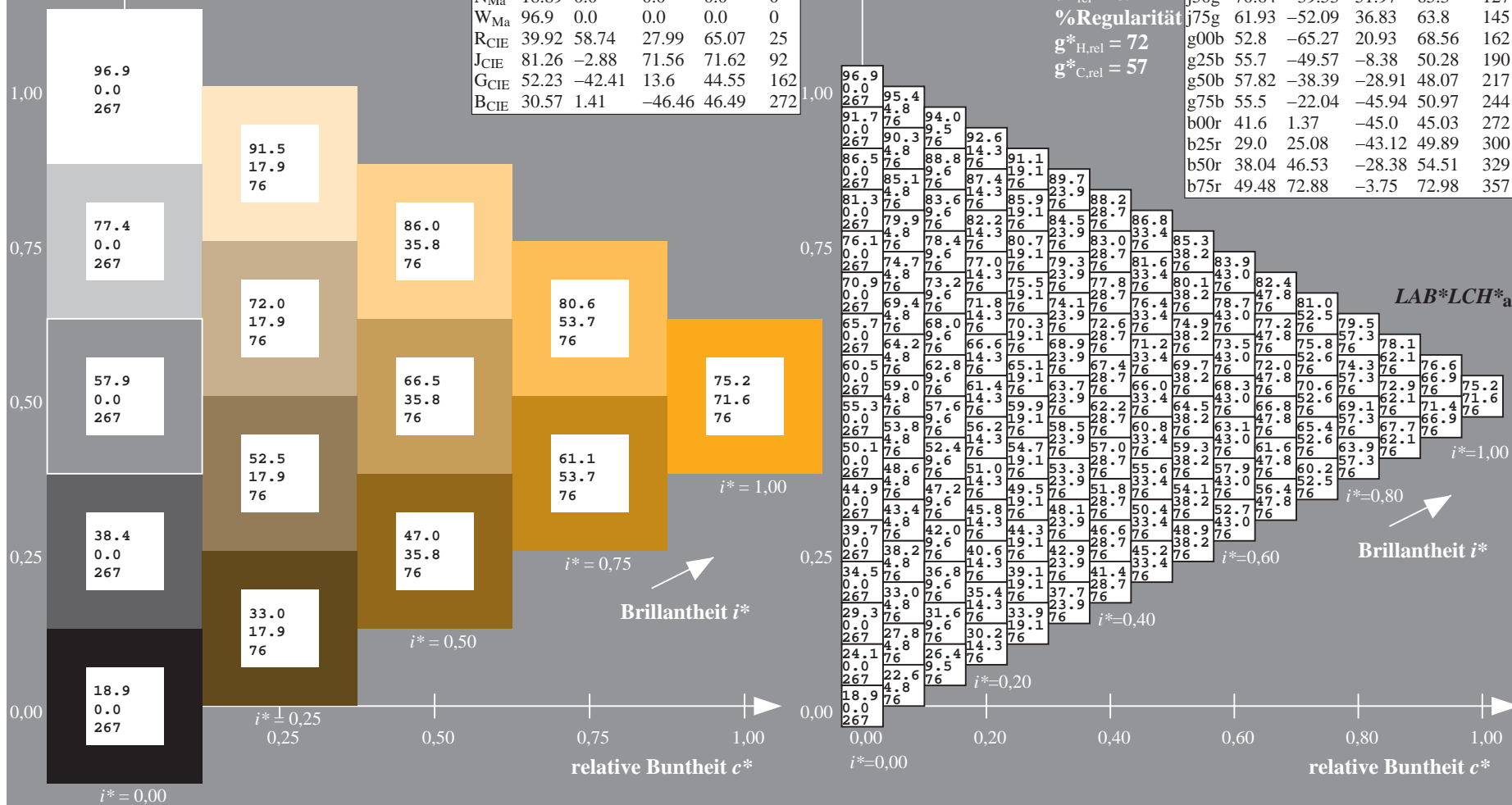
$u^*_{rel} = 89$

%Regularität

$g^*_{H,rel} = 72$

$g^*_{C,rel} = 57$

ORS19_96a; adaptierte CIELAB-Daten					
	$L^*=L^*_a$	a^*_a	b^*_a	$C^*_{ab,a}$	$h^*_{ab,a}$
r00j	48.88	66.47	31.67	73.63	25
r25j	55.85	52.39	47.48	70.7	42
r50j	65.45	35.22	58.37	68.17	59
r75j	75.19	17.82	69.41	71.66	76
j00g	87.03	-3.34	82.83	82.9	92
j25g	80.72	-25.0	69.5	73.86	110
j50g	70.64	-39.53	51.97	65.3	127
j75g	61.93	-52.09	36.83	63.8	145
g00b	52.8	-65.27	20.93	68.56	162
g25b	55.7	-49.57	-8.38	50.28	190
g50b	57.82	-38.39	-28.91	48.07	217
g75b	55.5	-22.04	-45.94	50.97	244
b00r	41.6	1.37	-45.0	45.03	272
b25r	29.0	25.08	-43.12	49.89	300
b50r	38.04	46.53	-28.38	54.51	329
b75r	49.48	72.88	-3.75	72.98	357



Ein und Ausgabe: Farbmetrisches Drucker-Reflektiv-System ORS19_96a für relativen CIELAB-Buntton $h^* = lab^*h^* = h_{ab}/360 = 92/360 = 0.256$ $u^* = j00g$

Daten für jede Farbe:

lab^*ch^* und lab^*icu^*

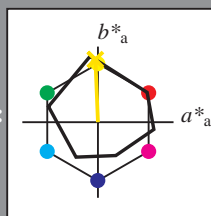
Elementar-Bunttontext:

$u^* = j00g$

Kontrastreduzierungsfaktor:

$c_R = 1.0$

Dreiecks-Helligkeit t^*



ORS19_96a; adaptierte CIELAB-Daten					
	$L^*=L^*_a$	a^*_a	b^*_a	$C^*_{ab,a}$	$h^*_{ab,a}$
O _{Ma}	48.75	65.07	39.43	76.08	31
Y _{Ma}	90.92	-10.28	87.24	87.85	97
L _{Ma}	52.69	-65.43	20.75	68.65	162
C _{Ma}	59.61	-28.97	-46.21	54.56	238
V _{Ma}	28.39	23.63	-44.12	50.06	298
M _{Ma}	49.58	73.93	-9.55	74.55	353
N _{Ma}	18.89	0.0	0.0	0.0	0
W _{Ma}	96.9	0.0	0.0	0.0	0
R _{CIE}	39.92	58.74	27.99	65.07	25
J _{CIE}	81.26	-2.88	71.56	71.62	92
G _{CIE}	52.23	-42.41	13.6	44.55	162
B _{CIE}	30.57	1.41	-46.46	46.49	272

Daten für Maximalfarbe (Ma):

$LAB^*LAB^*_{Ma}$: 87 -2 83

$LAB^*LCH^*_{Ma}$: 87 83 92

$lab^*rgb^*_{Ma}$: 1.0 1.0 0.0

$lab^*olv^*_{Ma}$: 1.0 0.91 0.0

Dreiecks-Helligkeit t^*

%Umfang

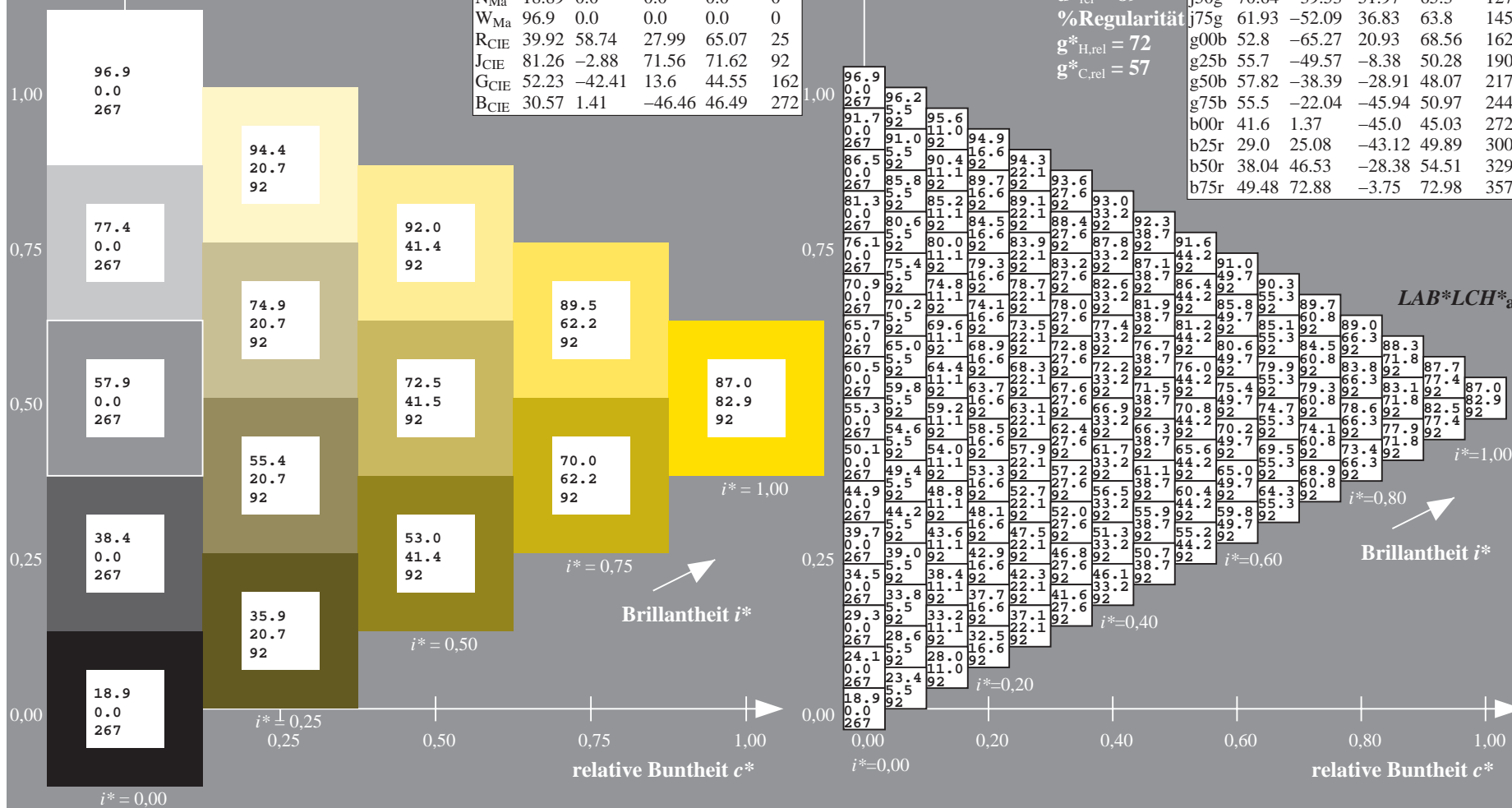
$u^*_{rel} = 89$

%Regularität

$g^*_{H,rel} = 72$

$g^*_{C,rel} = 57$

ORS19_96a; adaptierte CIELAB-Daten					
	$L^*=L^*_a$	a^*_a	b^*_a	$C^*_{ab,a}$	$h^*_{ab,a}$
r00j	48.88	66.47	31.67	73.63	25
r25j	55.85	52.39	47.48	70.7	42
r50j	65.45	35.22	58.37	68.17	59
r75j	75.19	17.82	69.41	71.66	76
j00g	87.03	-3.34	82.83	82.9	92
j25g	80.72	-25.0	69.5	73.86	110
j50g	70.64	-39.53	51.97	65.3	127
j75g	61.93	-52.09	36.83	63.8	145
g00b	52.8	-65.27	20.93	68.56	162
g25b	55.7	-49.57	-8.38	50.28	190
g50b	57.82	-38.39	-28.91	48.07	217
g75b	55.5	-22.04	-45.94	50.97	244
b00r	41.6	1.37	-45.0	45.03	272
b25r	29.0	25.08	-43.12	49.89	300
b50r	38.04	46.53	-28.38	54.51	329
b75r	49.48	72.88	-3.75	72.98	357



Ein und Ausgabe: Farbmetrisches Drucker-Reflektiv-System ORS19_96a für relativen CIELAB-Buntton $h^* = lab^*h^* = h_{ab}/360 = 110/360 = 0.305$ $u^* = j25g$

Daten für jede Farbe:

lab^*ch^* und lab^*icu^*

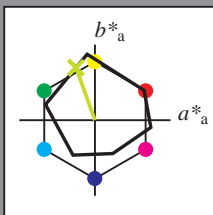
Elementar-Bunttontext:

$u^* = j25g$

Kontrastreduzierungsfaktor:

$c_R = 1.0$

Dreiecks-Helligkeit i^*



ORS19_96a; adaptierte CIELAB-Daten					
	$L^*=L^*_a$	a^*_a	b^*_a	$C^*_{ab,a}$	$h^*_{ab,a}$
O _{Ma}	48.75	65.07	39.43	76.08	31
Y _{Ma}	90.92	-10.28	87.24	87.85	97
L _{Ma}	52.69	-65.43	20.75	68.65	162
C _{Ma}	59.61	-28.97	-46.21	54.56	238
V _{Ma}	28.39	23.63	-44.12	50.06	298
M _{Ma}	49.58	73.93	-9.55	74.55	353
N _{Ma}	18.89	0.0	0.0	0.0	0
W _{Ma}	96.9	0.0	0.0	0.0	0
R _{CIE}	39.92	58.74	27.99	65.07	25
J _{CIE}	81.26	-2.88	71.56	71.62	92
G _{CIE}	52.23	-42.41	13.6	44.55	162
B _{CIE}	30.57	1.41	-46.46	46.49	272

Daten für Maximalfarbe (Ma):

$LAB^*LAB^*_{Ma}$: 81 -24 69

$LAB^*LCH^*_{Ma}$: 81 74 110

$lab^*rgb^*_{Ma}$: 0.75 1.0 0.0

$lab^*olv^*_{Ma}$: 0.73 1.0 0.0

Dreiecks-Helligkeit i^*

%Umfang

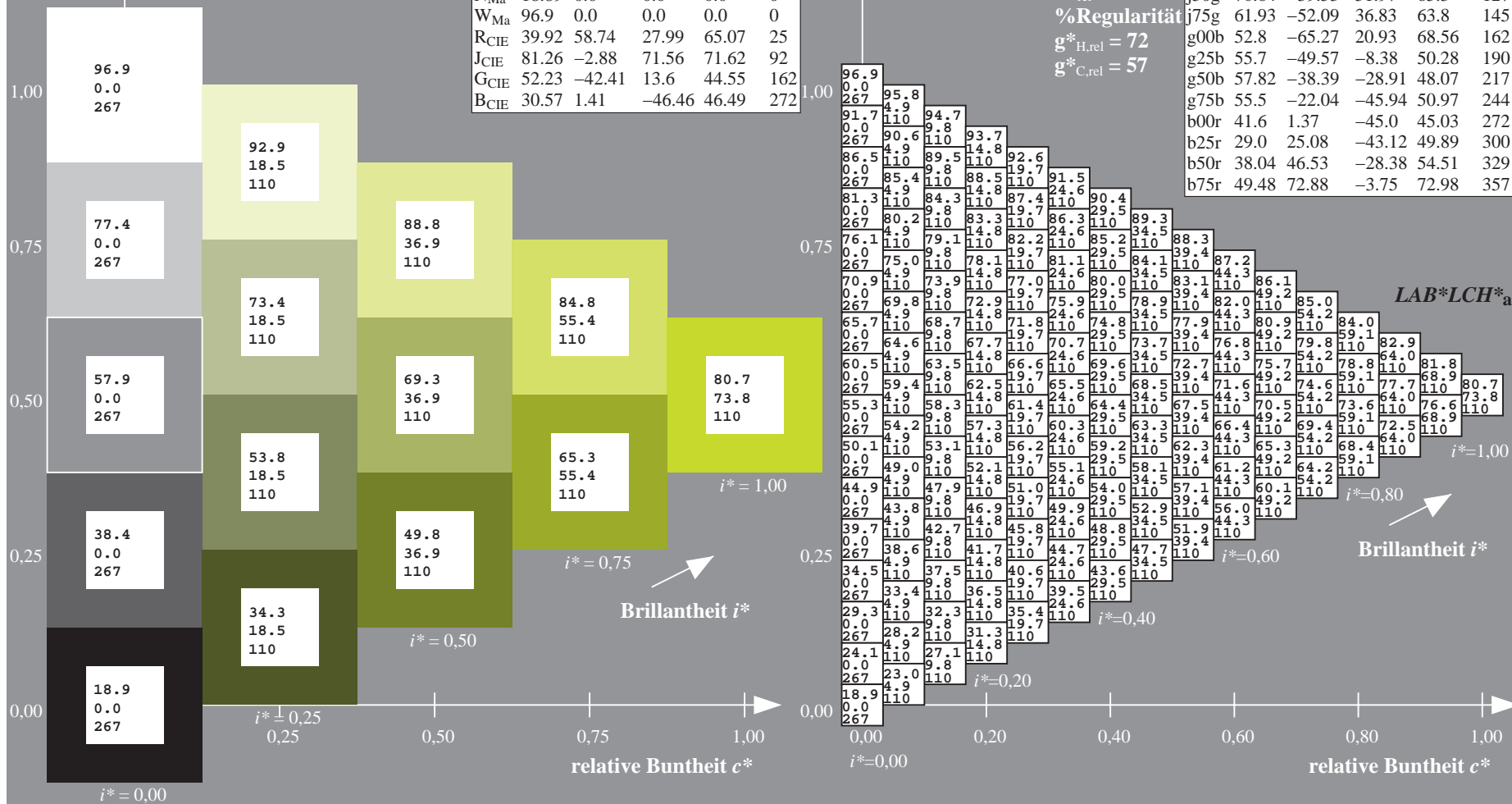
$u^*_{rel} = 89$

%Regularität

$g^*_{H,rel} = 72$

$g^*_{C,rel} = 57$

ORS19_96a; adaptierte CIELAB-Daten					
	$L^*=L^*_a$	a^*_a	b^*_a	$C^*_{ab,a}$	$h^*_{ab,a}$
r00j	48.88	66.47	31.67	73.63	25
r25j	55.85	52.39	47.48	70.7	42
r50j	65.45	35.22	58.37	68.17	59
r75j	75.19	17.82	69.41	71.66	76
j00g	87.03	-3.34	82.83	82.9	92
j25g	80.72	-25.0	69.5	73.86	110
j50g	70.64	-39.53	51.97	65.3	127
j75g	61.93	-52.09	36.83	63.8	145
g00b	52.8	-65.27	20.93	68.56	162
g25b	55.7	-49.57	-8.38	50.28	190
g50b	57.82	-38.39	-28.91	48.07	217
g75b	55.5	-22.04	-45.94	50.97	244
b00r	41.6	1.37	-45.0	45.03	272
b25r	29.0	25.08	-43.12	49.89	300
b50r	38.04	46.53	-28.38	54.51	329
b75r	49.48	72.88	-3.75	72.98	357



Ein und Ausgabe: Farbmetrisches Drucker-Reflektiv-System ORS19_96a für relativen CIELAB-Buntton $h^* = lab^*h^* = h_{ab}/360 = 127/360 = 0.354$ $u^* = j50g$

Daten für jede Farbe:

lab^*ch^* und lab^*icu^*

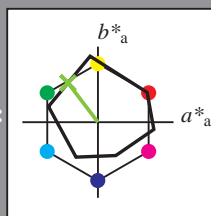
Elementar-Bunttontext:

$u^* = j50g$

Kontrastreduzierungsfaktor:

$c_R = 1.0$

Dreiecks-Helligkeit i^*



ORS19_96a; adaptierte CIELAB-Daten					
	$L^*=L^*_a$	a^*_a	b^*_a	$C^*_{ab,a}$	$h^*_{ab,a}$
O _{Ma}	48.75	65.07	39.43	76.08	31
Y _{Ma}	90.92	-10.28	87.24	87.85	97
L _{Ma}	52.69	-65.43	20.75	68.65	162
C _{Ma}	59.61	-28.97	-46.21	54.56	238
V _{Ma}	28.39	23.63	-44.12	50.06	298
M _{Ma}	49.58	73.93	-9.55	74.55	353
N _{Ma}	18.89	0.0	0.0	0.0	0
W _{Ma}	96.9	0.0	0.0	0.0	0
R _{CIE}	39.92	58.74	27.99	65.07	25
J _{CIE}	81.26	-2.88	71.56	71.62	92
G _{CIE}	52.23	-42.41	13.6	44.55	162
B _{CIE}	30.57	1.41	-46.46	46.49	272

Daten für Maximalfarbe (Ma):

$LAB^*LAB^*_{Ma}$: 71 -39 52

$LAB^*LCH^*_{Ma}$: 71 65 127

$lab^*rgb^*_{Ma}$: 0.5 1.0 0.0

$lab^*olv^*_{Ma}$: 0.47 1.0 0.0

Dreiecks-Helligkeit i^*

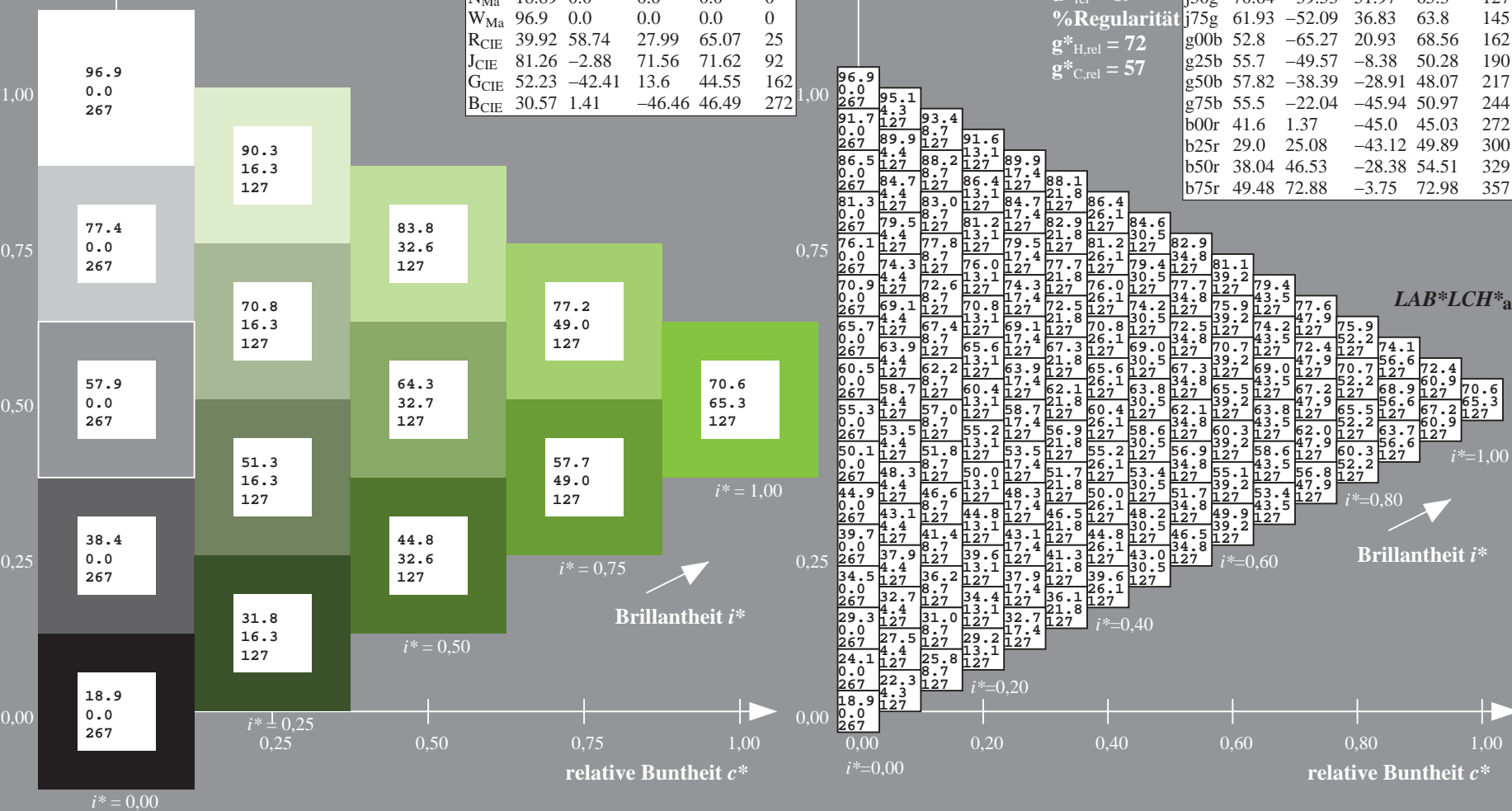
%Umfang

$u^*_{rel} = 89$

%Regularität

$g^*_{H,rel} = 72$

$g^*_{C,rel} = 57$



Ein und Ausgabe: Farbmetrisches Drucker-Reflektiv-System ORS19_96a für relativen CIELAB-Buntton $h^* = lab^*h^* = h_{ab}/360 = 145/360 = 0.402$ $u^* = j75g$

Daten für jede Farbe:

lab^*ch^* und lab^*icu^*

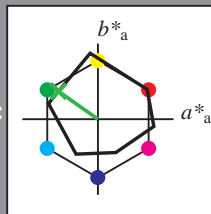
Elementar-Bunttontext:

$u^* = j75g$

Kontrastreduzierungsfaktor:

$c_R = 1.0$

Dreiecks-Helligkeit i^*



ORS19_96a; adaptierte CIELAB-Daten

	$L^*=L^*_a$	a^*_a	b^*_a	$C^*_{ab,a}$	$h^*_{ab,a}$
O _{Ma}	48.75	65.07	39.43	76.08	31
Y _{Ma}	90.92	-10.28	87.24	87.85	97
L _{Ma}	52.69	-65.43	20.75	68.65	162
C _{Ma}	59.61	-28.97	-46.21	54.56	238
V _{Ma}	28.39	23.63	-44.12	50.06	298
M _{Ma}	49.58	73.93	-9.55	74.55	353
N _{Ma}	18.89	0.0	0.0	0.0	0
W _{Ma}	96.9	0.0	0.0	0.0	0
R _{CIE}	39.92	58.74	27.99	65.07	25
J _{CIE}	81.26	-2.88	71.56	71.62	92
G _{CIE}	52.23	-42.41	13.6	44.55	162
B _{CIE}	30.57	1.41	-46.46	46.49	272

Daten für Maximalfarbe (Ma):

$LAB^*LAB^*_{Ma}$: 62 -51 37

$LAB^*LCH^*_{Ma}$: 62 64 145

$lab^*rgb^*_{Ma}$: 0.25 1.0 0.0

$lab^*olv^*_{Ma}$: 0.24 1.0 0.0

Dreiecks-Helligkeit i^*

%Umfang

$u^*_{rel} = 89$

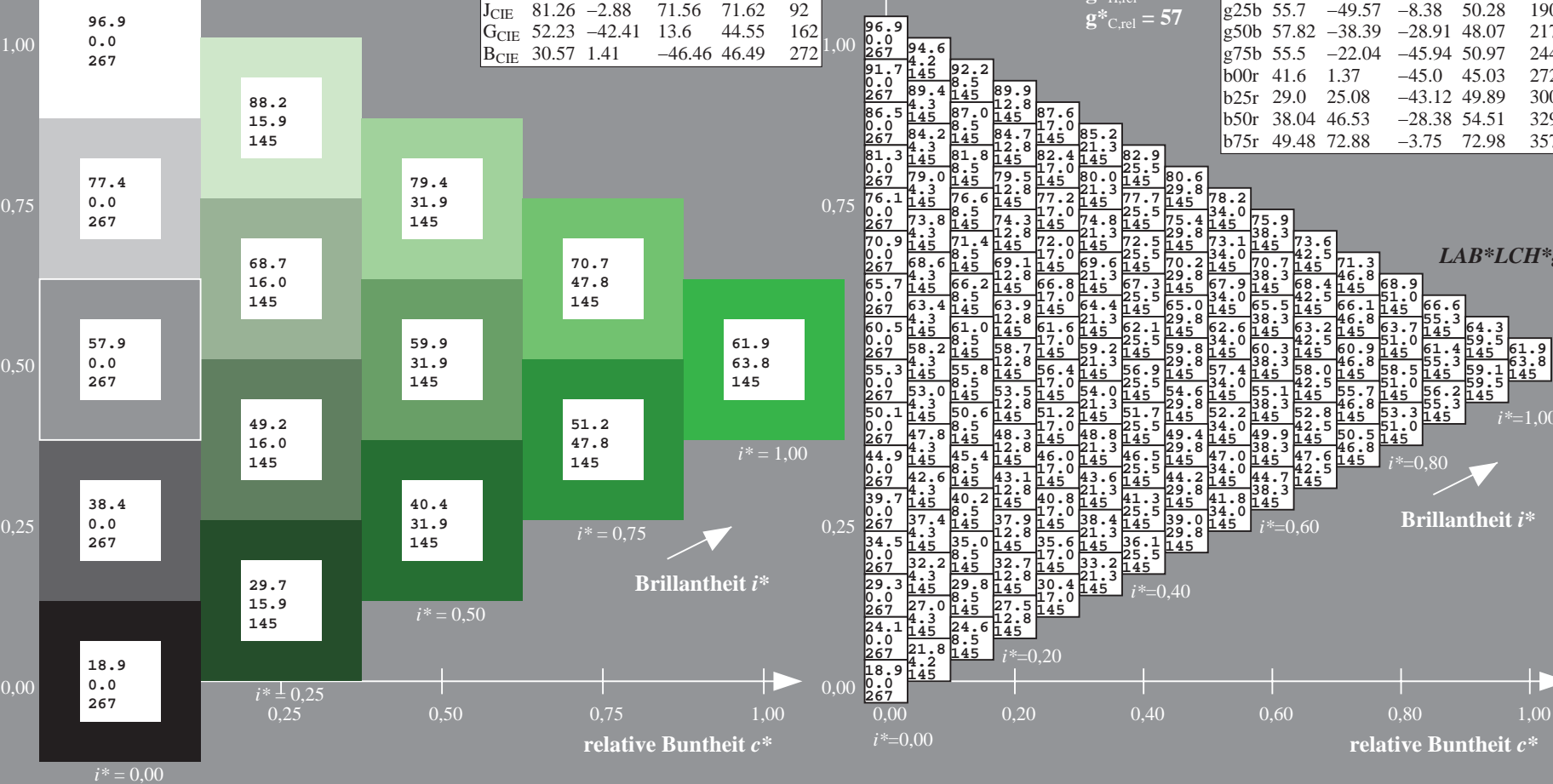
%Regularität

$g^*_{H,rel} = 72$

$g^*_{C,rel} = 57$

ORS19_96a; adaptierte CIELAB-Daten

	$L^*=L^*_a$	a^*_a	b^*_a	$C^*_{ab,a}$	$h^*_{ab,a}$
r00j	48.88	66.47	31.67	73.63	25
r25j	55.85	52.39	47.48	70.7	42
r50j	65.45	35.22	58.37	68.17	59
r75j	75.19	17.82	69.41	71.66	76
j00g	87.03	-3.34	82.83	82.9	92
j25g	80.72	-25.0	69.5	73.86	110
j50g	70.64	-39.53	51.97	65.3	127
j75g	61.93	-52.09	36.83	63.8	145
g00b	52.8	-65.27	20.93	68.56	162
g25b	55.7	-49.57	-8.38	50.28	190
g50b	57.82	-38.39	-28.91	48.07	217
g75b	55.5	-22.04	-45.94	50.97	244
b00r	41.6	1.37	-45.0	45.03	272
b25r	29.0	25.08	-43.12	49.89	300
b50r	38.04	46.53	-28.38	54.51	329
b75r	49.48	72.88	-3.75	72.98	357



Ein und Ausgabe: Farbmetrisches Drucker-Reflektiv-System ORS19_96a für relativen CIELAB-Buntton $h^* = lab^*h^* = h_{ab}/360 = 162/360 = 0.451$ $u^* = g00b$

Daten für jede Farbe:

lab^*ch^* und lab^*icu^*

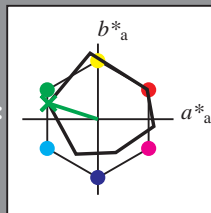
Elementar-Bunttontext:

$u^* = g00b$

Kontrastreduzierungsfaktor:

$c_R = 1.0$

Dreiecks-Helligkeit i^*



ORS19_96a; adaptierte CIELAB-Daten

	$L^*=L^*_a$	a^*_a	b^*_a	$C^*_{ab,a}$	$h^*_{ab,a}$
O _{Ma}	48.75	65.07	39.43	76.08	31
Y _{Ma}	90.92	-10.28	87.24	87.85	97
L _{Ma}	52.69	-65.43	20.75	68.65	162
C _{Ma}	59.61	-28.97	-46.21	54.56	238
V _{Ma}	28.39	23.63	-44.12	50.06	298
M _{Ma}	49.58	73.93	-9.55	74.55	353
N _{Ma}	18.89	0.0	0.0	0.0	0
W _{Ma}	96.9	0.0	0.0	0.0	0
R _{CIE}	39.92	58.74	27.99	65.07	25
J _{CIE}	81.26	-2.88	71.56	71.62	92
G _{CIE}	52.23	-42.41	13.6	44.55	162
B _{CIE}	30.57	1.41	-46.46	46.49	272

Daten für Maximalfarbe (Ma):

$LAB^*LAB^*_{Ma}$: 53 -64 21

$LAB^*LCH^*_{Ma}$: 53 69 162

$lab^*rgb^*_{Ma}$: 0.0 1.0 0.0

$lab^*olv^*_{Ma}$: 0.0 1.0 0.0

Dreiecks-Helligkeit i^*

%Umfang

$u^*_{rel} = 89$

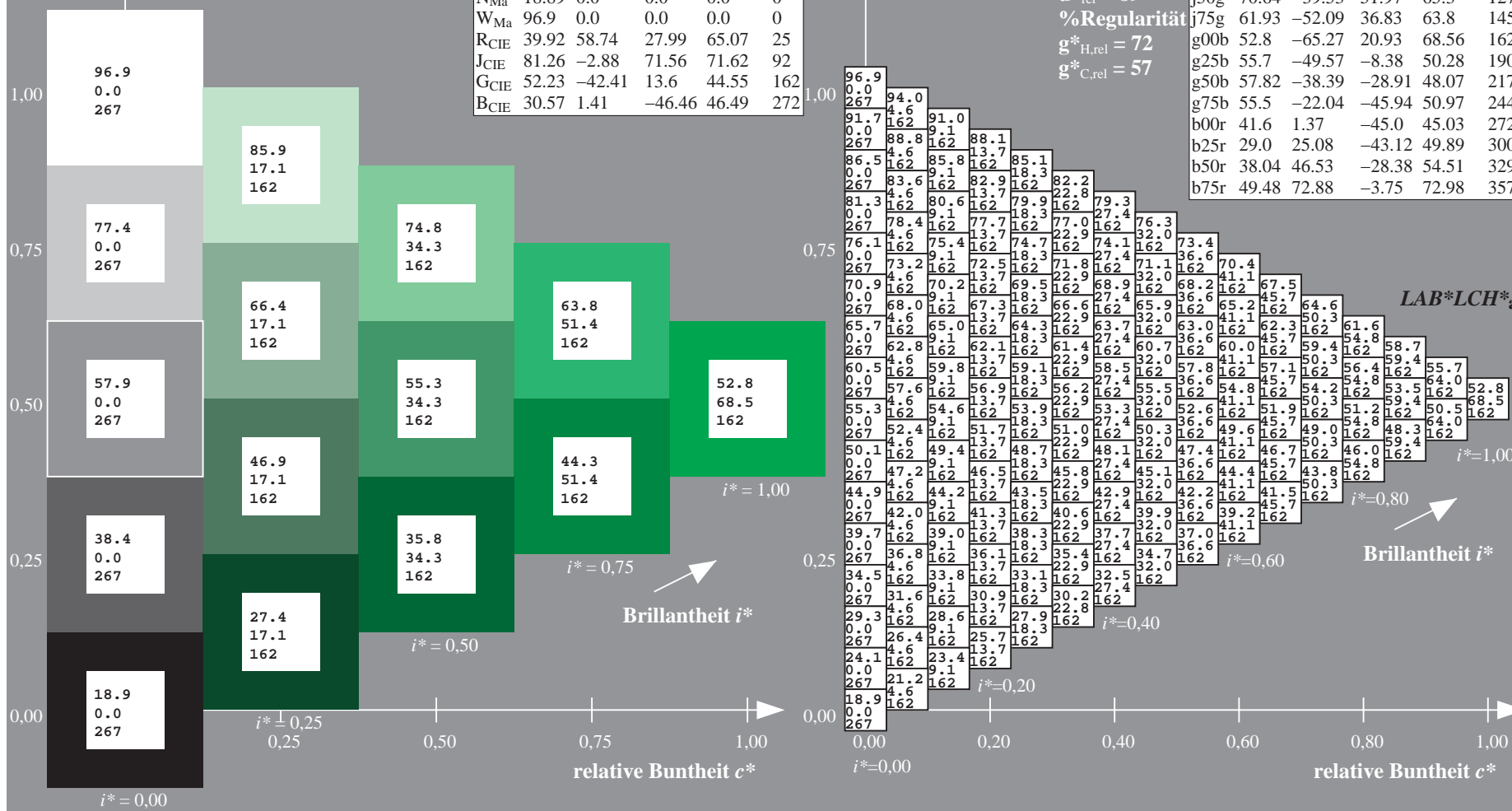
%Regularität

$g^*_{H,rel} = 72$

$g^*_{C,rel} = 57$

ORS19_96a; adaptierte CIELAB-Daten

	$L^*=L^*_a$	a^*_a	b^*_a	$C^*_{ab,a}$	$h^*_{ab,a}$
r00j	48.88	66.47	31.67	73.63	25
r25j	55.85	52.39	47.48	70.7	42
r50j	65.45	35.22	58.37	68.17	59
r75j	75.19	17.82	69.41	71.66	76
j00g	87.03	-3.34	82.83	82.9	92
j25g	80.72	-25.0	69.5	73.86	110
j50g	70.64	-39.53	51.97	65.3	127
j75g	61.93	-52.09	36.83	63.8	145
g00b	52.8	-65.27	20.93	68.56	162
g25b	55.7	-49.57	-8.38	50.28	190
g50b	57.82	-38.39	-28.91	48.07	217
g75b	55.5	-22.04	-45.94	50.97	244
b00r	41.6	1.37	-45.0	45.03	272
b25r	29.0	25.08	-43.12	49.89	300
b50r	38.04	46.53	-28.38	54.51	329
b75r	49.48	72.88	-3.75	72.98	357



Ein und Ausgabe: Farbmetrisches Drucker-Reflektiv-System ORS19_96a für relativen CIELAB-Buntton $h^* = lab^*h^* = h_{ab}/360 = 190/360 = 0.527$ $u^* = g25b$

Daten für jede Farbe:

lab^*ch^* und lab^*icu^*

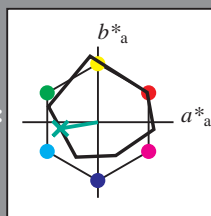
Elementar-Bunttontext:

$u^* = g25b$

Kontrastreduzierungsfaktor:

$c_R = 1.0$

Dreiecks-Helligkeit i^*



ORS19_96a; adaptierte CIELAB-Daten					
	$L^*=L^*_a$	a^*_a	b^*_a	$C^*_{ab,a}$	$h^*_{ab,a}$
O _{Ma}	48.75	65.07	39.43	76.08	31
Y _{Ma}	90.92	-10.28	87.24	87.85	97
L _{Ma}	52.69	-65.43	20.75	68.65	162
C _{Ma}	59.61	-28.97	-46.21	54.56	238
V _{Ma}	28.39	23.63	-44.12	50.06	298
M _{Ma}	49.58	73.93	-9.55	74.55	353
N _{Ma}	18.89	0.0	0.0	0.0	0
W _{Ma}	96.9	0.0	0.0	0.0	0
R _{CIE}	39.92	58.74	27.99	65.07	25
J _{CIE}	81.26	-2.88	71.56	71.62	92
G _{CIE}	52.23	-42.41	13.6	44.55	162
B _{CIE}	30.57	1.41	-46.46	46.49	272

Daten für Maximalfarbe (Ma):

$LAB^*LAB^*_{Ma}$: 56 -49 -7

$LAB^*LCH^*_{Ma}$: 56 50 190

$lab^*rgb^*_{Ma}$: 0.0 1.0 0.5

$lab^*olv^*_{Ma}$: 0.0 1.0 0.44

Dreiecks-Helligkeit i^*

%Umfang

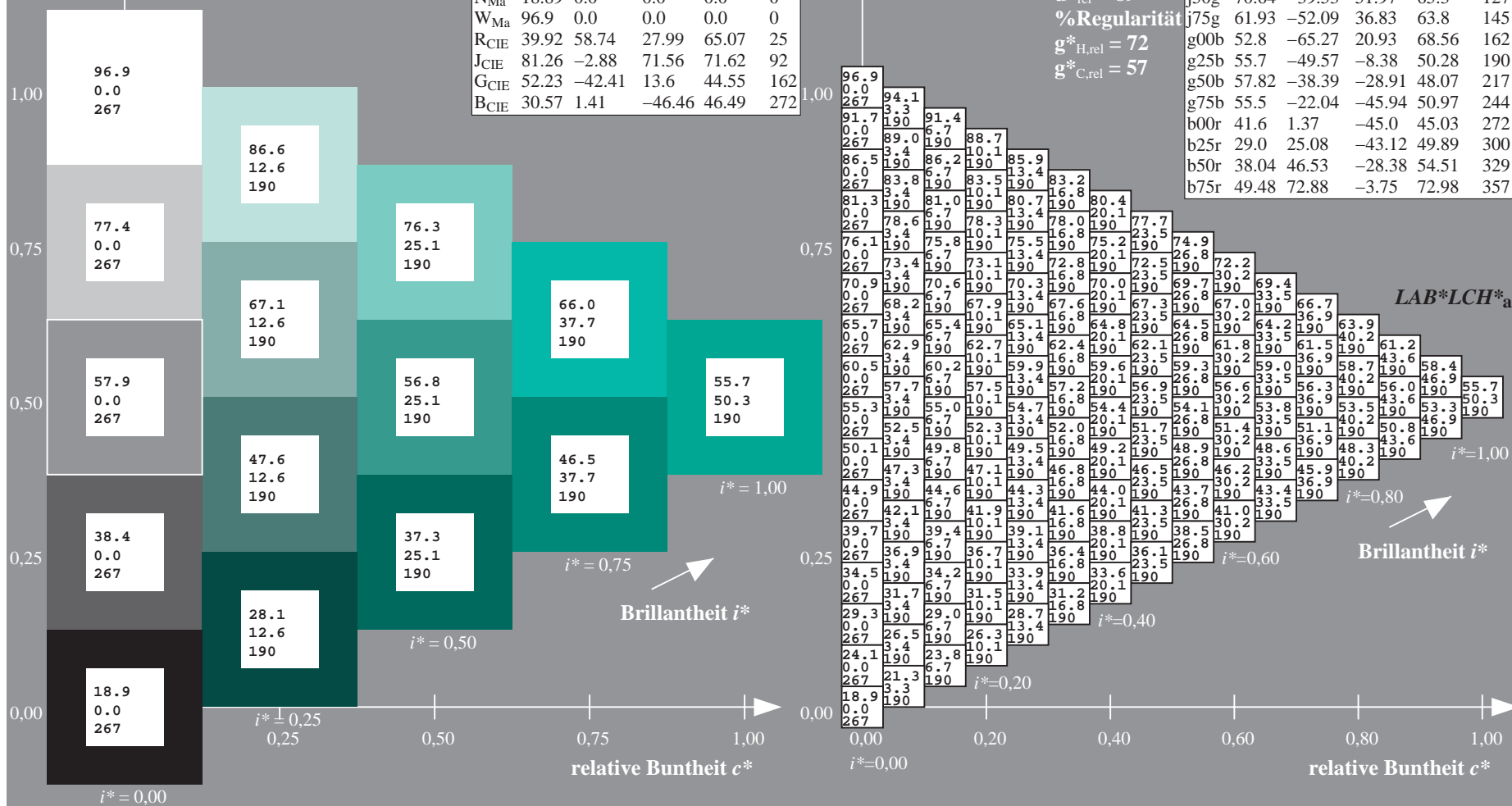
$u^*_{rel} = 89$

%Regularität

$g^*_{H,rel} = 72$

$g^*_{C,rel} = 57$

ORS19_96a; adaptierte CIELAB-Daten					
	$L^*=L^*_a$	a^*_a	b^*_a	$C^*_{ab,a}$	$h^*_{ab,a}$
r00j	48.88	66.47	31.67	73.63	25
r25j	55.85	52.39	47.48	70.7	42
r50j	65.45	35.22	58.37	68.17	59
r75j	75.19	17.82	69.41	71.66	76
j00g	87.03	-3.34	82.83	82.9	92
j25g	80.72	-25.0	69.5	73.86	110
j50g	70.64	-39.53	51.97	65.3	127
j75g	61.93	-52.09	36.83	63.8	145
g00b	52.8	-65.27	20.93	68.56	162
g25b	55.7	-49.57	-8.38	50.28	190
g50b	57.82	-38.39	-28.91	48.07	217
g75b	55.5	-22.04	-45.94	50.97	244
b00r	41.6	1.37	-45.0	45.03	272
b25r	29.0	25.08	-43.12	49.89	300
b50r	38.04	46.53	-28.38	54.51	329
b75r	49.48	72.88	-3.75	72.98	357



Ein und Ausgabe: Farbmetrisches Drucker-Reflektiv-System ORS19_96a für relativen CIELAB-Buntton $h^* = lab^*h^* = h_{ab}/360 = 217/360 = 0.603$ $u^* = g50b$

Daten für jede Farbe:

lab^*ch^* und lab^*icu^*

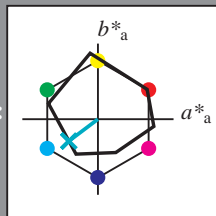
Elementar-Bunttontext:

$u^* = g50b$

Kontrastreduzierungsfaktor:

$c_R = 1.0$

Dreiecks-Helligkeit i^*



ORS19_96a; adaptierte CIELAB-Daten					
	$L^*=L^*_a$	a^*_a	b^*_a	$C^*_{ab,a}$	$h^*_{ab,a}$
O _{Ma}	48.75	65.07	39.43	76.08	31
Y _{Ma}	90.92	-10.28	87.24	87.85	97
L _{Ma}	52.69	-65.43	20.75	68.65	162
C _{Ma}	59.61	-28.97	-46.21	54.56	238
V _{Ma}	28.39	23.63	-44.12	50.06	298
M _{Ma}	49.58	73.93	-9.55	74.55	353
N _{Ma}	18.89	0.0	0.0	0.0	0
W _{Ma}	96.9	0.0	0.0	0.0	0
R _{CIE}	39.92	58.74	27.99	65.07	25
J _{CIE}	81.26	-2.88	71.56	71.62	92
G _{CIE}	52.23	-42.41	13.6	44.55	162
B _{CIE}	30.57	1.41	-46.46	46.49	272

Daten für Maximalfarbe (Ma):

$LAB^*LAB^*_{Ma}$: 58 -37 -28

$LAB^*LCH^*_{Ma}$: 58 48 217

$lab^*rgb^*_{Ma}$: 0.0 1.0 1.0

$lab^*olv^*_{Ma}$: 0.0 1.0 0.74

Dreiecks-Helligkeit i^*

%Umfang

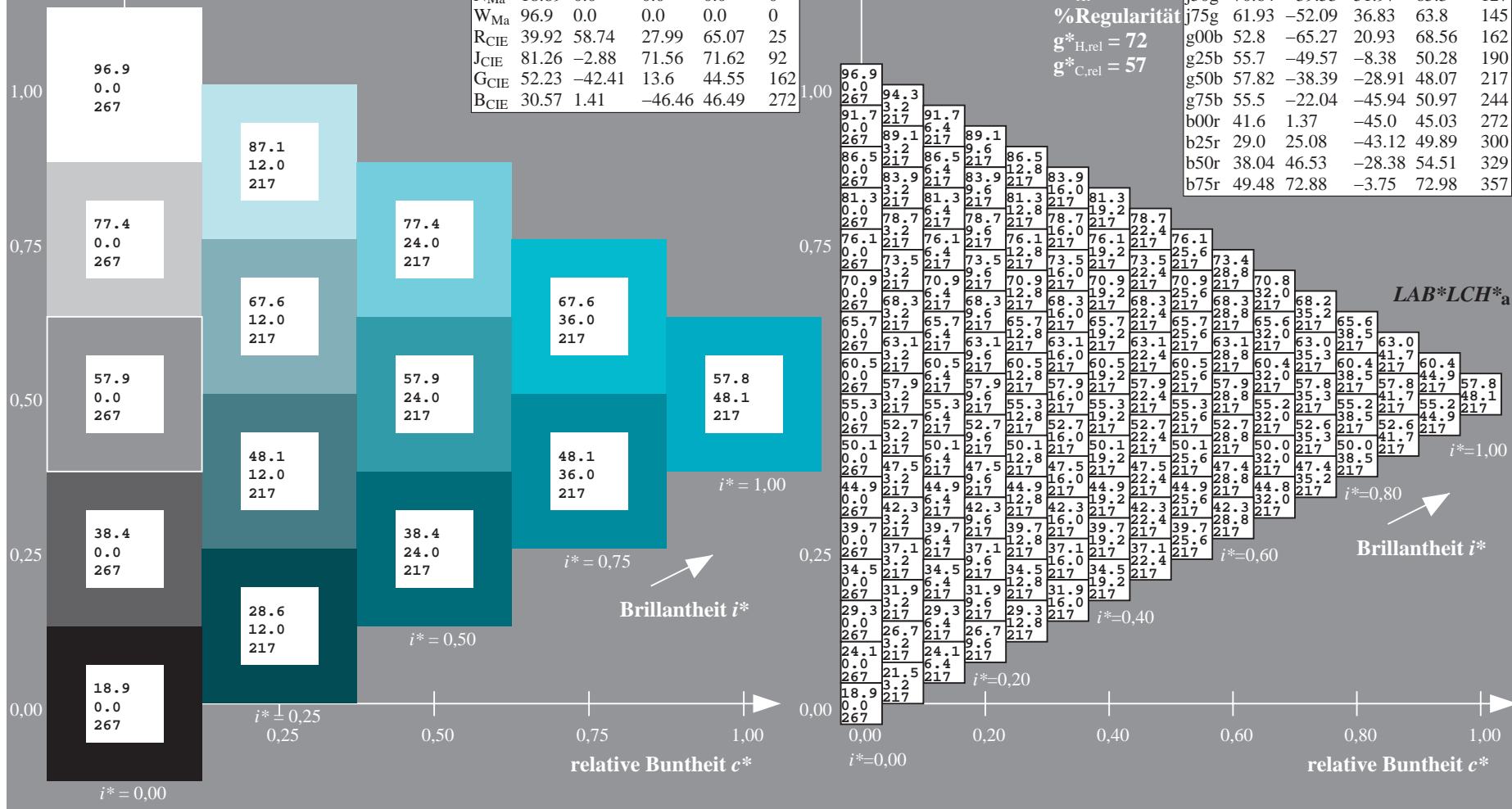
$u^*_{rel} = 89$

%Regularität

$g^*_{H,rel} = 72$

$g^*_{C,rel} = 57$

ORS19_96a; adaptierte CIELAB-Daten					
	$L^*=L^*_a$	a^*_a	b^*_a	$C^*_{ab,a}$	$h^*_{ab,a}$
r00j	48.88	66.47	31.67	73.63	25
r25j	55.85	52.39	47.48	70.7	42
r50j	65.45	35.22	58.37	68.17	59
r75j	75.19	17.82	69.41	71.66	76
j00g	87.03	-3.34	82.83	82.9	92
j25g	80.72	-25.0	69.5	73.86	110
j50g	70.64	-39.53	51.97	65.3	127
j75g	61.93	-52.09	36.83	63.8	145
g00b	52.8	-65.27	20.93	68.56	162
g25b	55.7	-49.57	-8.38	50.28	190
g50b	57.82	-38.39	-28.91	48.07	217
g75b	55.5	-22.04	-45.94	50.97	244
b00r	41.6	1.37	-45.0	45.03	272
b25r	29.0	25.08	-43.12	49.89	300
b50r	38.04	46.53	-28.38	54.51	329
b75r	49.48	72.88	-3.75	72.98	357



Ein und Ausgabe: Farbmimetrisches Drucker-Reflektiv-System ORS19_96a für relativen CIELAB-Buntton $h^* = \text{lab}^*h^* = h_{ab}/360 = 244/360 = 0.679$ $u^* = g75b$

Daten für jede Farbe:

lab^*ch^* und lab^*icu^*

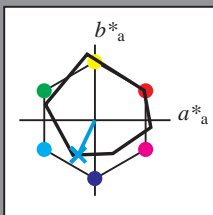
Elementar-Bunttontext:

$u^* = g75b$

Kontrastreduzierungsfaktor:

$c_R = 1.0$

Dreiecks-Helligkeit i^*



ORS19_96a; adaptierte CIELAB-Daten					
	$L^*=L^*_a$	a^*_a	b^*_a	$C^*_{ab,a}$	$h^*_{ab,a}$
O _{Ma}	48.75	65.07	39.43	76.08	31
Y _{Ma}	90.92	-10.28	87.24	87.85	97
L _{Ma}	52.69	-65.43	20.75	68.65	162
C _{Ma}	59.61	-28.97	-46.21	54.56	238
V _{Ma}	28.39	23.63	-44.12	50.06	298
M _{Ma}	49.58	73.93	-9.55	74.55	353
N _{Ma}	18.89	0.0	0.0	0.0	0
W _{Ma}	96.9	0.0	0.0	0.0	0
R _{CIE}	39.92	58.74	27.99	65.07	25
J _{CIE}	81.26	-2.88	71.56	71.62	92
G _{CIE}	52.23	-42.41	13.6	44.55	162
B _{CIE}	30.57	1.41	-46.46	46.49	272

Daten für Maximalfarbe (Ma):

$\text{LAB}^*\text{LAB}^*_{Ma}$: 55 -21 -45

$\text{LAB}^*\text{LCH}^*_{Ma}$: 55 51 244

$\text{lab}^*\text{rgb}^*_{Ma}$: 0.0 0.5 1.0

$\text{lab}^*\text{olv}^*_{Ma}$: 0.0 0.87 1.0

Dreiecks-Helligkeit i^*

%Umfang

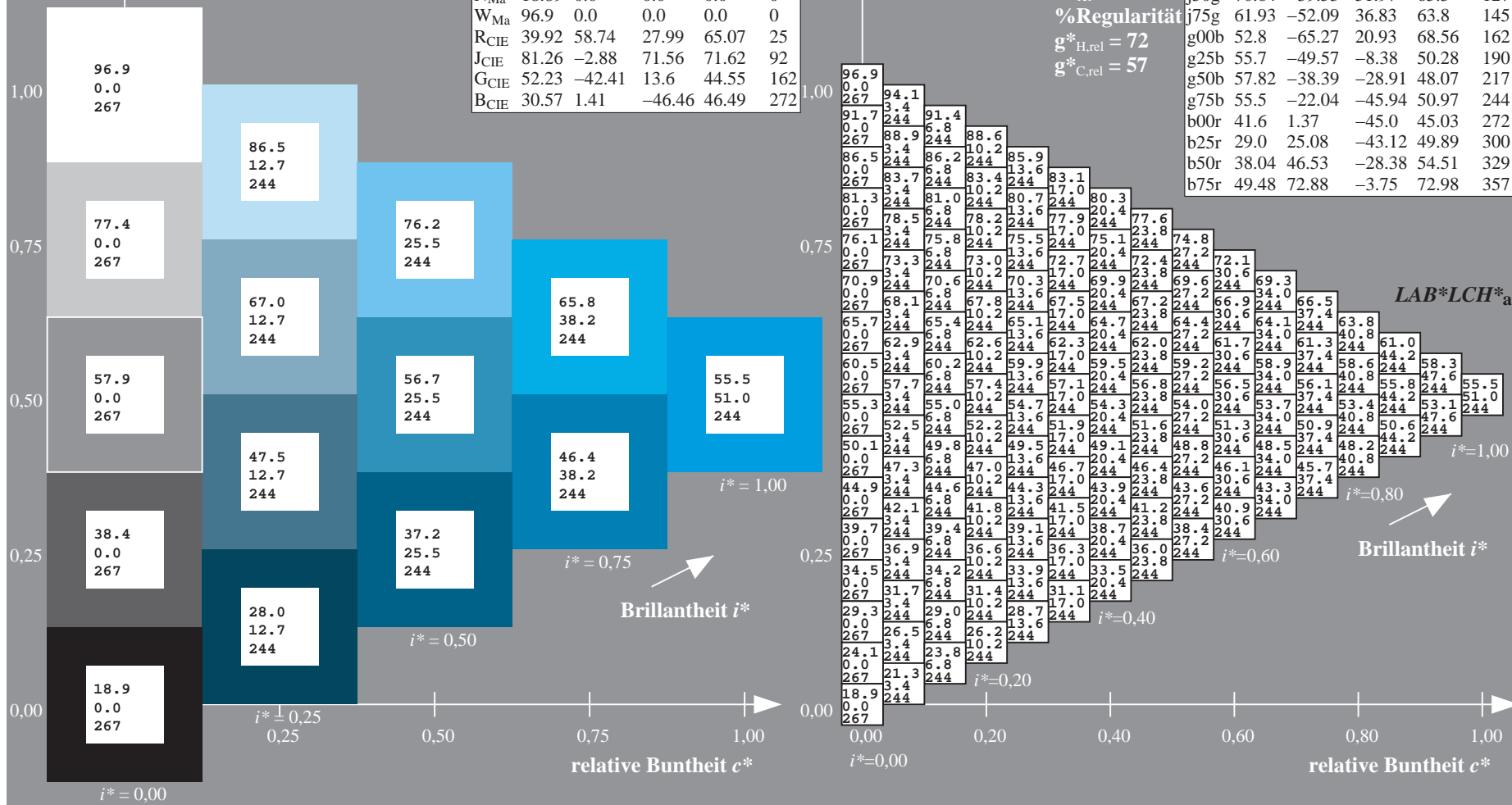
$u^*_{rel} = 89$

%Regularität

$g^*_{H,rel} = 72$

$g^*_{C,rel} = 57$

ORS19_96a; adaptierte CIELAB-Daten					
	$L^*=L^*_a$	a^*_a	b^*_a	$C^*_{ab,a}$	$h^*_{ab,a}$
r00j	48.88	66.47	31.67	73.63	25
r25j	55.85	52.39	47.48	70.7	42
r50j	65.45	35.22	58.37	68.17	59
r75j	75.19	17.82	69.41	71.66	76
j00g	87.03	-3.34	82.83	82.9	92
j25g	80.72	-25.0	69.5	73.86	110
j50g	70.64	-39.53	51.97	65.3	127
j75g	61.93	-52.09	36.83	63.8	145
g00b	52.8	-65.27	20.93	68.56	162
g25b	55.7	-49.57	-8.38	50.28	190
g50b	57.82	-38.39	-28.91	48.07	217
g75b	55.5	-22.04	-45.94	50.97	244
b00r	41.6	1.37	-45.0	45.03	272
b25r	29.0	25.08	-43.12	49.89	300
b50r	38.04	46.53	-28.38	54.51	329
b75r	49.48	72.88	-3.75	72.98	357



Ein und Ausgabe: Farbmetrisches Drucker-Reflektiv-System ORS19_96a für relativen CIELAB-Buntton $h^* = lab^*h^* = h_{ab}/360 = 272/360 = 0.755$ $u^* = b00r$

Daten für jede Farbe:

lab^*ch^* und lab^*icu^*

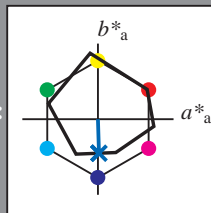
Elementar-Bunttontext:

$u^* = b00r$

Kontrastreduzierungsfaktor:

$c_R = 1.0$

Dreiecks-Helligkeit i^*



ORS19_96a; adaptierte CIELAB-Daten					
	$L^*=L^*_a$	a^*_a	b^*_a	$C^*_{ab,a}$	$h^*_{ab,a}$
O _{Ma}	48.75	65.07	39.43	76.08	31
Y _{Ma}	90.92	-10.28	87.24	87.85	97
L _{Ma}	52.69	-65.43	20.75	68.65	162
C _{Ma}	59.61	-28.97	-46.21	54.56	238
V _{Ma}	28.39	23.63	-44.12	50.06	298
M _{Ma}	49.58	73.93	-9.55	74.55	353
N _{Ma}	18.89	0.0	0.0	0.0	0
W _{Ma}	96.9	0.0	0.0	0.0	0
R _{CIE}	39.92	58.74	27.99	65.07	25
J _{CIE}	81.26	-2.88	71.56	71.62	92
G _{CIE}	52.23	-42.41	13.6	44.55	162
B _{CIE}	30.57	1.41	-46.46	46.49	272

Daten für Maximalfarbe (Ma):

$LAB^*LAB^*_{Ma}$: 42 1 -44

$LAB^*LCH^*_{Ma}$: 42 45 272

$lab^*rgb^*_{Ma}$: 0.0 0.0 1.0

$lab^*olv^*_{Ma}$: 0.0 0.42 1.0

Dreiecks-Helligkeit i^*

%Umfang

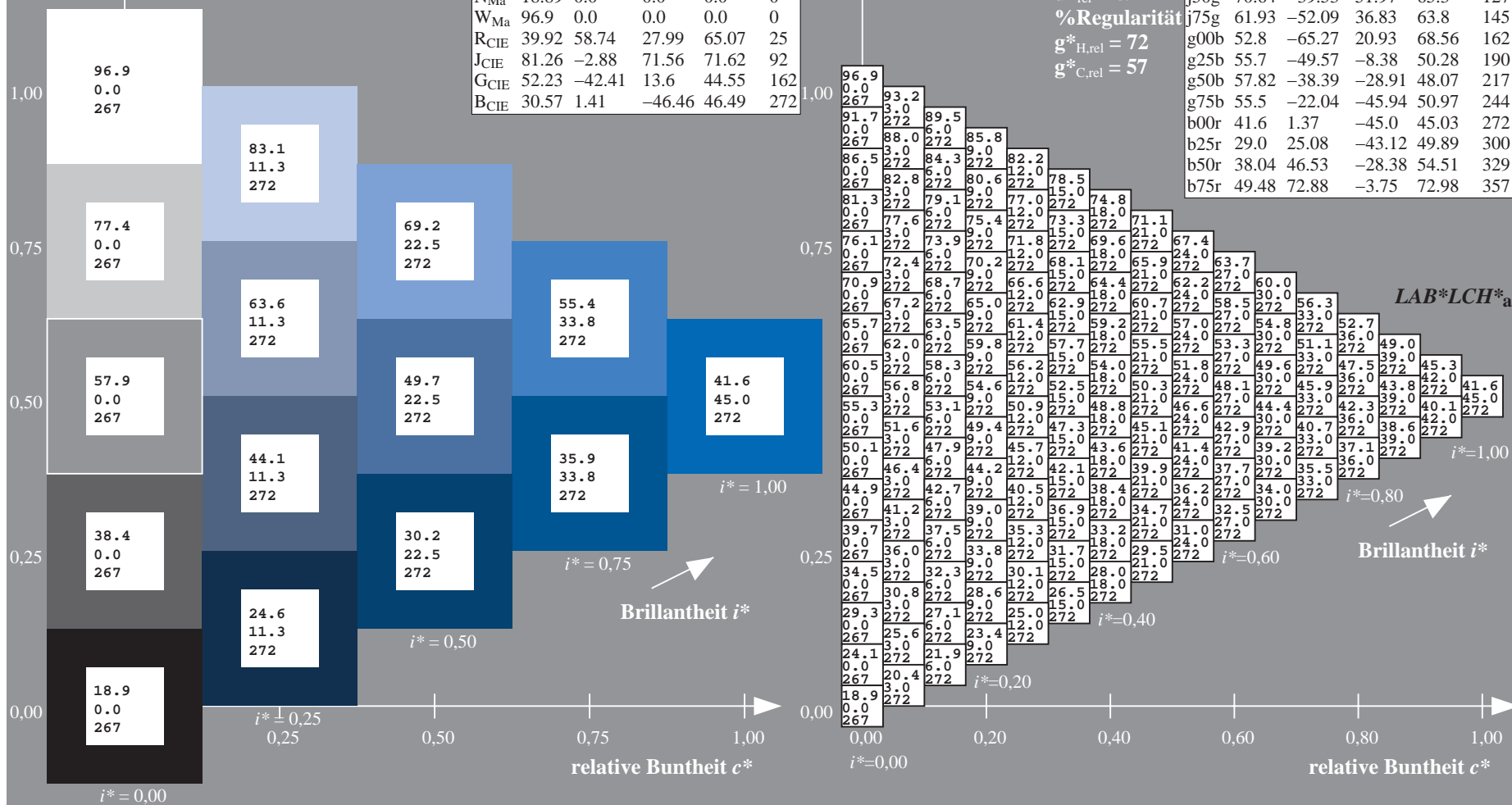
$u^*_{rel} = 89$

%Regularität

$g^*_{H,rel} = 72$

$g^*_{C,rel} = 57$

ORS19_96a; adaptierte CIELAB-Daten					
	$L^*=L^*_a$	a^*_a	b^*_a	$C^*_{ab,a}$	$h^*_{ab,a}$
r00j	48.88	66.47	31.67	73.63	25
r25j	55.85	52.39	47.48	70.7	42
r50j	65.45	35.22	58.37	68.17	59
r75j	75.19	17.82	69.41	71.66	76
j00g	87.03	-3.34	82.83	82.9	92
j25g	80.72	-25.0	69.5	73.86	110
j50g	70.64	-39.53	51.97	65.3	127
j75g	61.93	-52.09	36.83	63.8	145
g00b	52.8	-65.27	20.93	68.56	162
g25b	55.7	-49.57	-8.38	50.28	190
g50b	57.82	-38.39	-28.91	48.07	217
g75b	55.5	-22.04	-45.94	50.97	244
b00r	41.6	1.37	-45.0	45.03	272
b25r	29.0	25.08	-43.12	49.89	300
b50r	38.04	46.53	-28.38	54.51	329
b75r	49.48	72.88	-3.75	72.98	357



Ein und Ausgabe: Farbmetrisches Drucker-Reflektiv-System ORS19_96a für relativen CIELAB-Buntton $h^* = lab^*h^* = h_{ab}/360 = 300/360 = 0.834$ $u^* = b25r$

Daten für jede Farbe:

lab^*tch^* und lab^*icu^*

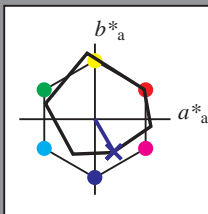
Elementar-Bunttontext:

$u^* = b25r$

Kontrastreduzierungsfaktor:

$c_R = 1.0$

Dreiecks-Helligkeit t^*



ORS19_96a; adaptierte CIELAB-Daten

	$L^*=L^*_a$	a^*_a	b^*_a	$C^*_{ab,a}$	$h^*_{ab,a}$
O _{Ma}	48.75	65.07	39.43	76.08	31
Y _{Ma}	90.92	-10.28	87.24	87.85	97
L _{Ma}	52.69	-65.43	20.75	68.65	162
C _{Ma}	59.61	-28.97	-46.21	54.56	238
V _{Ma}	28.39	23.63	-44.12	50.06	298
M _{Ma}	49.58	73.93	-9.55	74.55	353
N _{Ma}	18.89	0.0	0.0	0.0	0
W _{Ma}	96.9	0.0	0.0	0.0	0
R _{CIE}	39.92	58.74	27.99	65.07	25
J _{CIE}	81.26	-2.88	71.56	71.62	92
G _{CIE}	52.23	-42.41	13.6	44.55	162
B _{CIE}	30.57	1.41	-46.46	46.49	272

Daten für Maximalfarbe (Ma):

$LAB^*LAB^*_{Ma}$: 29 25 -42

$LAB^*LCH^*_{Ma}$: 29 50 300

$lab^*rgb^*_{Ma}$: 0.5 0.0 1.0

$lab^*olv^*_{Ma}$: 0.03 0.0 1.0

Dreiecks-Helligkeit t^*

%Umfang

$u^*_{rel} = 89$

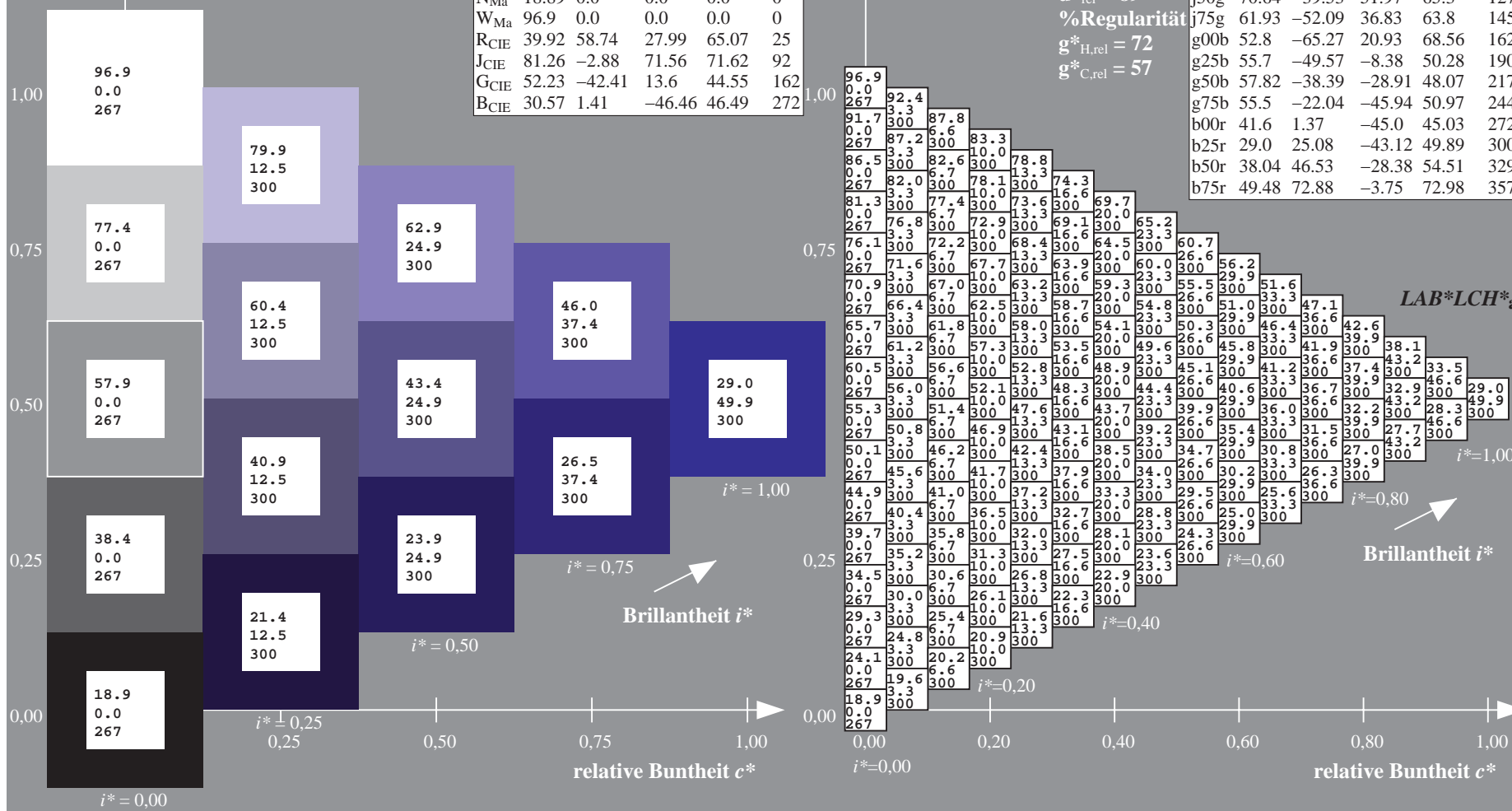
%Regularität

$g^*_{H,rel} = 72$

$g^*_{C,rel} = 57$

ORS19_96a; adaptierte CIELAB-Daten

	$L^*=L^*_a$	a^*_a	b^*_a	$C^*_{ab,a}$	$h^*_{ab,a}$
r00j	48.88	66.47	31.67	73.63	25
r25j	55.85	52.39	47.48	70.7	42
r50j	65.45	35.22	58.37	68.17	59
r75j	75.19	17.82	69.41	71.66	76
j00g	87.03	-3.34	82.83	82.9	92
j25g	80.72	-25.0	69.5	73.86	110
j50g	70.64	-39.53	51.97	65.3	127
j75g	61.93	-52.09	36.83	63.8	145
g00b	52.8	-65.27	20.93	68.56	162
g25b	55.7	-49.57	-8.38	50.28	190
g50b	57.82	-38.39	-28.91	48.07	217
g75b	55.5	-22.04	-45.94	50.97	244
b00r	41.6	1.37	-45.0	45.03	272
b25r	29.0	25.08	-43.12	49.89	300
b50r	38.04	46.53	-28.38	54.51	329
b75r	49.48	72.88	-3.75	72.98	357



Ein und Ausgabe: Farbmetrisches Drucker-Reflektiv-System ORS19_96a für relativen CIELAB-Buntton $h^* = lab^*h^* = h_{ab}/360 = 329/360 = 0.913$ $u^* = b50r$

Daten für jede Farbe:

lab^*ch^* und lab^*icu^*

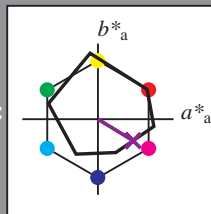
Elementar-Bunttontext:

$u^* = b50r$

Kontrastreduzierungsfaktor:

$c_R = 1.0$

Dreiecks-Helligkeit i^*



ORS19_96a; adaptierte CIELAB-Daten					
	$L^*=L_a^*$	a_a^*	b_a^*	$C^*_{ab,a}$	$h^*_{ab,a}$
O _{Ma}	48.75	65.07	39.43	76.08	31
Y _{Ma}	90.92	-10.28	87.24	87.85	97
L _{Ma}	52.69	-65.43	20.75	68.65	162
C _{Ma}	59.61	-28.97	-46.21	54.56	238
V _{Ma}	28.39	23.63	-44.12	50.06	298
M _{Ma}	49.58	73.93	-9.55	74.55	353
N _{Ma}	18.89	0.0	0.0	0.0	0
W _{Ma}	96.9	0.0	0.0	0.0	0
R _{CIE}	39.92	58.74	27.99	65.07	25
J _{CIE}	81.26	-2.88	71.56	71.62	92
G _{CIE}	52.23	-42.41	13.6	44.55	162
B _{CIE}	30.57	1.41	-46.46	46.49	272

Daten für Maximalfarbe (Ma):

$LAB^*LAB^*_{Ma}$: 38 47 -27

$LAB^*LCH^*_{Ma}$: 38 55 329

$lab^*rgb^*_{Ma}$: 1.0 0.0 1.0

$lab^*olv^*_{Ma}$: 0.46 0.0 1.0

Dreiecks-Helligkeit i^*

%Umfang

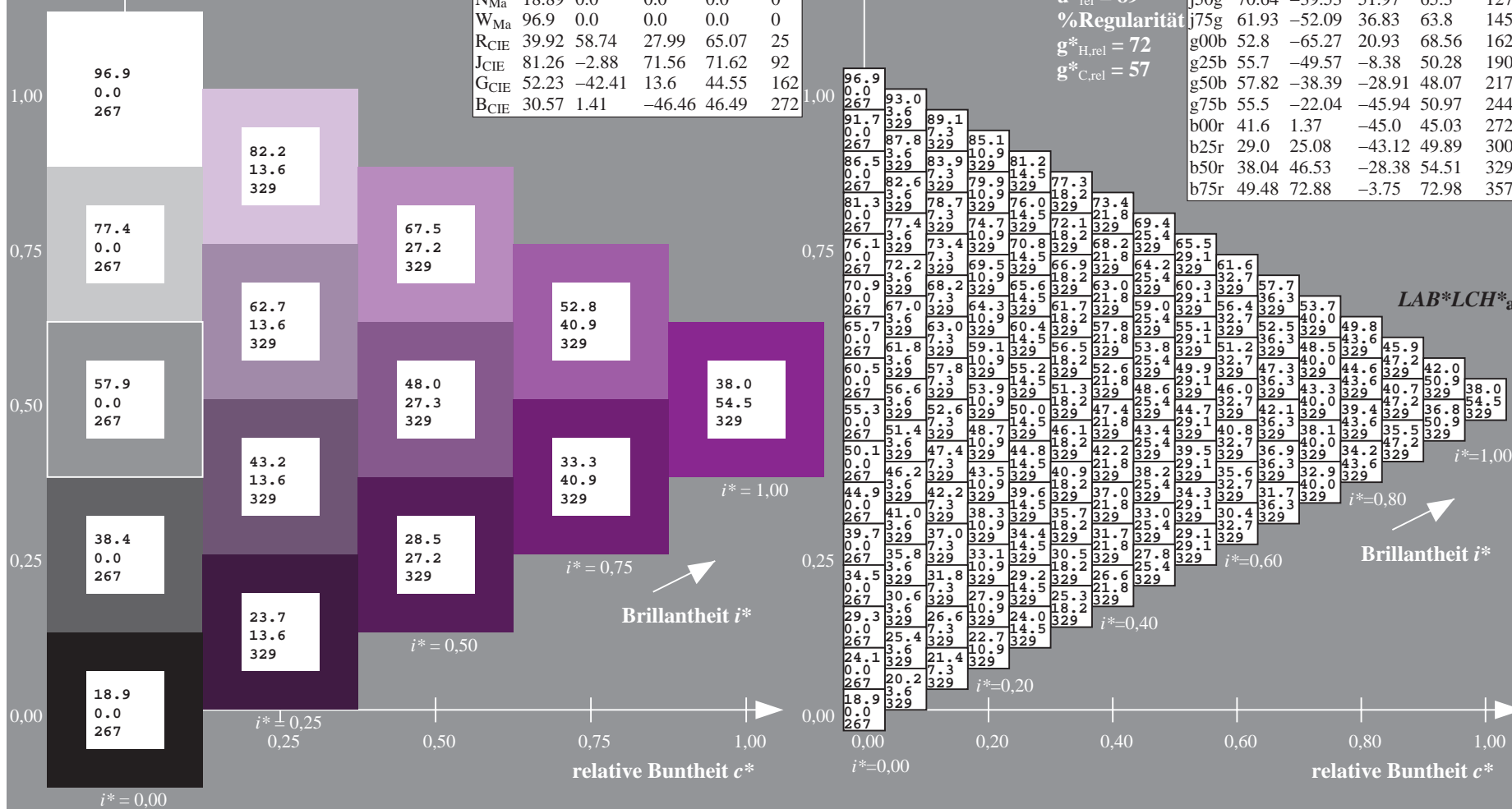
$u^*_{rel} = 89$

%Regularität

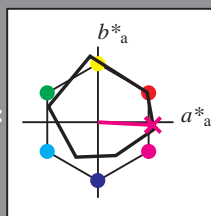
$g^*_{H,rel} = 72$

$g^*_{C,rel} = 57$

ORS19_96a; adaptierte CIELAB-Daten					
	$L^*=L_a^*$	a_a^*	b_a^*	$C^*_{ab,a}$	$h^*_{ab,a}$
r00j	48.88	66.47	31.67	73.63	25
r25j	55.85	52.39	47.48	70.7	42
r50j	65.45	35.22	58.37	68.17	59
r75j	75.19	17.82	69.41	71.66	76
j00g	87.03	-3.34	82.83	82.9	92
j25g	80.72	-25.0	69.5	73.86	110
j50g	70.64	-39.53	51.97	65.3	127
j75g	61.93	-52.09	36.83	63.8	145
g00b	52.8	-65.27	20.93	68.56	162
g25b	55.7	-49.57	-8.38	50.28	190
g50b	57.82	-38.39	-28.91	48.07	217
g75b	55.5	-22.04	-45.94	50.97	244
b00r	41.6	1.37	-45.0	45.03	272
b25r	29.0	25.08	-43.12	49.89	300
b50r	38.04	46.53	-28.38	54.51	329
b75r	49.48	72.88	-3.75	72.98	357



Ein und Ausgabe: Farbmetri-
Daten für jede Farbe:
 $lab^*_{tch^*}$ und $lab^*_{icu^*}$
Elementar-Bunttontext:
 $u^* = b75r$
Kontrastreduzierungsfaktor:
 $c_R = 1.0$
Dreiecks-Helligkeit l^*



ORS19 96a; adaptierte CIELAB-Daten					
	L^*_a	a^*_a	b^*_a	$C^*_{ab,a}$	$h^*_{ab,a}$
O _{Ma}	48.75	65.07	39.43	76.08	31
Y _{Ma}	90.92	-10.28	87.24	87.85	97
L _{Ma}	52.69	-65.43	20.75	68.65	162
C _{Ma}	59.61	-28.97	-46.21	54.56	238
V _{Ma}	28.39	23.63	-44.12	50.06	298
M _{Ma}	49.58	73.93	-9.55	74.55	353
N _{Ma}	18.89	0.0	0.0	0.0	0
W _{Ma}	96.9	0.0	0.0	0.0	0
R _{CIE}	39.92	58.74	27.99	65.07	25
J _{CIE}	81.26	-2.88	71.56	71.62	92
G _{CIE}	52.23	-42.41	13.6	44.55	162
B _{CIE}	30.57	1.41	-46.46	46.49	272

Daten für Maximalfarbe (Ma):

LAB*LAB*Ma: 49 73 -3

LAB*LCH*Ma: 49 73 357

*lab*rgb*_Ma: 1.0 0.0 0.5*

*lab*oly**M₂: 1.0 0.0 0.88

Dreiecks-Helligkeit t^*

100

%Umfang

$$\mathbf{u}_{\text{rel}}^* = 89$$

%Regular

$$g^*_{H,rel} = 72$$

$$g^*_{H,rel} = 57$$

ORS19_96a; adaptierte CIELAB-Daten					
	L^*_a	a^*_a	b^*_a	$C^*_{ab,a}$	$h^*_{ab,a}$
r00j	48.88	66.47	31.67	73.63	25
r25j	55.85	52.39	47.48	70.7	42
r50j	65.45	35.22	58.37	68.17	59
r75j	75.19	17.82	69.41	71.66	76
j00g	87.03	-3.34	82.83	82.9	92
j25g	80.72	-25.0	69.5	73.86	110
j50g	70.64	-39.53	51.97	65.3	127
j75g	61.93	-52.09	36.83	63.8	145
g00b	52.8	-65.27	20.93	68.56	162
g25b	55.7	-49.57	-8.38	50.28	190
g50b	57.82	-38.39	-28.91	48.07	217
g75b	55.5	-22.04	-45.94	50.97	244
b00r	41.6	1.37	-45.0	45.03	272
b25r	29.0	25.08	-43.12	49.89	300
b50r	38.04	46.53	-28.38	54.51	329
b75r	49.48	72.88	-3.75	72.98	357

*LAB*LCH**_a

$$i^*=1,00$$

Brillanthe

relative Buntheit c^*

BAM-Prüfvorlage Dg98; Farbmatrik-Systeme, Seite 89/180
Farbreihen, 8 Datentabellen für 16 Bunttöne *r00j* bis *b75r*

Eingabe: 000n / w / nnn0 / www set...
Ausgabe: ->cmyn5* setcmykcolor

BAM-Registrierung: 20080701-Dg98/10L/L98G00NP.PS/ .PDF BAM-Material: Code=rha4ta
Anwendung für Beurteilung und Messung von Drucker- oder Monitorsystemen

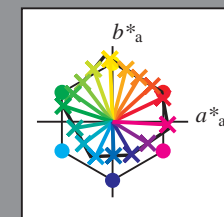
Siehe ähnliche Dateien: <http://www.ps.bam.de/Dg98/>; www.ps.bam.de/Dg98/10L/L98G00NP.PS/.PDF BAM-Material: Code=rh4ta
Technische Information: <http://www.ps.bam.de> Version 2.1, io=1,1, ColSpX=1

	A	B	C	D	E	F	G	H	I	J	K	L	M	N	O	P	Q	R	S	T	U	V	W	X	Y	Z	a	b	c	d	e	f	g	h	i	j	k	LAB*LCH*a		
01	18.9	23.1	27.3	31.6	35.8	40.0	44.2	48.5	52.7	56.9	61.1	65.3	69.6	73.8	78.0	82.2	86.4	90.6	94.8	99.0	103.2	107.4	111.6	115.8	120.0	124.2	128.4	132.6	136.8	141.0	145.2	149.4	153.6	157.8	162.0	166.2	170.4	174.6	178.8	183.0
02	0.0	8.6	17.2	25.7	34.3	42.9	51.5	60.1	68.6	77.1	85.7	94.3	102.9	111.5	120.1	128.7	137.3	145.9	154.5	163.1	171.7	180.3	188.9	197.5	206.1	214.7	223.3	231.9	240.5	249.1	257.7	266.3	274.9	283.5	292.1	300.7	309.3	317.9	326.5	
03	21.0	24.0	28.2	32.4	36.7	40.9	45.1	49.3	53.6	57.8	62.0	66.2	70.4	74.6	78.8	83.0	87.2	91.4	95.6	99.8	104.0	108.2	112.4	116.6	120.8	125.0	129.2	133.4	137.6	141.8	146.0	150.2	154.4	158.6	162.8	167.0	171.2	175.4	179.6	
04	6.3	6.8	12.0	20.0	28.2	36.6	45.1	53.6	62.1	70.6	79.1	87.6	96.1	104.6	113.1	121.6	130.1	138.6	147.1	155.6	164.1	172.6	181.1	189.6	198.1	206.6	215.1	223.6	232.1	240.6	249.1	257.6	266.1	274.6	283.1	291.6	300.1	308.6		
05	298	238	195	182	176	173	171	169	169	353	267	162	162	162	162	162	162	162	162	162	162	162	162	162	162	162	162	162	162	162	162	162	162	162	162	162	162	162	162	
06	21.3	25.2	29.1	33.3	37.5	41.7	46.0	50.2	54.4	58.6	62.8	67.0	71.2	75.4	79.6	83.8	88.0	92.2	96.4	100.6	104.8	109.0	113.2	117.4	121.6	125.8	130.0	134.2	138.4	142.6	146.8	151.0	155.2	159.4	163.6	167.8	172.0	176.2		
07	12.5	11.3	13.6	17.8	24.4	32.0	40.0	48.2	56.6	65.1	73.6	82.1	90.6	99.1	107.6	116.1	124.6	133.1	141.6	150.1	158.6	167.1	175.6	184.1	192.6	201.1	209.6	218.1	226.6	235.1	243.6	252.1	260.6	269.1	277.6	286.1	294.6	303.1		
08	298	267	238	210	195	187	182	178	176	351	266	162	162	162	162	162	162	162	162	162	162	162	162	162	162	162	162	162	162	162	162	162	162	162	162	162	162	162		
09	22.5	26.4	30.3	34.2	38.4	42.6	46.8	51.1	55.3	59.5	63.7	67.9	72.1	76.3	80.5	84.7	88.9	93.1	97.3	101.5	105.7	109.9	114.1	118.3	122.5	126.7	130.9	135.1	139.3	143.5	147.7	151.9	156.1	160.3	164.5	168.7	172.9	177.1		
10	18.8	17.0	17.6	20.5	24.1	29.8	36.7	43.8	51.1	58.4	65.7	73.0	80.3	87.6	94.9	102.2	109.5	116.8	124.1	131.4	138.7	146.0	153.3	160.6	167.9	175.2	182.5	189.8	197.1	204.4	211.7	219.0	226.3	233.6	240.9	248.2	255.5			
11	23.6	27.5	31.4	35.4	39.3	43.5	47.7	51.9	56.2	60.4	64.6	68.8	73.0	77.2	81.4	85.6	89.8	94.0	98.2	102.4	106.6	110.8	115.0	119.2	123.4	127.6	131.8	136.0	140.2	144.4	148.6	152.8	157.0	161.2	165.4	169.6	173.8	178.0		
12	25.0	22.9	22.6	24.2	27.3	30.6	35.7	41.9	48.2	54.5	60.8	67.1	73.4	79.7	86.0	92.3	98.6	104.9	111.2	117.5	123.8	130.1	136.4	142.7	149.0	155.3	161.6	167.9	174.2	180.5	186.8	193.1	199.4	205.7	212.0	218.3	224.6			
13	298	283	267	251	238	222	210	201	195	316	298	278	256	238	218	204	195	189	331	321	298	267	238	210	195	187	182	183	238	238	238	238	238	238	238	238	238	238		
14	24.8	28.7	32.6	36.5	40.4	44.3	48.2	52.1	56.0	59.9	63.8	67.7	71.6	75.5	79.4	83.3	87.2	91.1	95.0	98.9	102.8	106.7	110.6	114.5	118.4	122.3	126.2	130.1	134.0	137.9	141.8	145.7	149.6	153.5	157.4	161.3	165.2			
15	31.3	29.0	28.1	28.8	30.0	34.1	37.2	41.8	47.6	53.4	59.2	65.0	70.8	76.6	82.4	88.2	94.0	99.8	105.6	111.4	117.2	123.0	128.8	134.6	140.4	146.2	152.0	157.8	163.6	169.4	175.2	181.0	186.8	192.6	198.4	204.2	210.0			
16	298	286	273	260	248	238	225	215	206	312	298	283	267	251	238	222	210	201	325	316	298	278	256	238	218	204	195	187	182	183	238	238	238	238	238	238	238	238		
17	26.0	29.9	33.8	37.7	41.6	45.5	49.4	53.3	57.2	61.1	65.0	68.9	72.8	76.7	80.6	84.5	88.4	92.3	96.2	100.1	104.0	107.9	111.8	115.7	119.6	123.5	127.4	131.3	135.2	139.1	143.0	146.9	150.8	154.7	158.6	162.5	166.4			
18	37.5	35.2	33.9	33.9	35.2	37.6	40.9	43.9	46.8	49.7	52.6	55.5	58.4	61.3	64.2	67.1	70.0	72.9	75.8	78.7	81.6	84.5	87.4	90.3	93.2	96.1	99.0	101.9	104.8	107.7	110.6	113.5	116.4	119.3	122.2	125.1				
19	298	288	278	267	256	246	238	227	218	310	298	286	273	260	248	238	225	215	321	312	298	283	267	251	238	222	210	238	238	238	238	238	238	238	238	238	238			
20	27.2	31.1	35.0	38.9	42.8	46.7	50.6	54.5	58.4	62.3	66.2	70.1	74.0	77.9	81.8	85.7	89.6	93.5	97.4	101.3	105.2	109.1	113.0	116.9	120.8	124.7	128.6	132.5	136.4	140.3	144.2	148.1	152.0	155.9	159.8	163.7				
21	43.8	41.3	39.8	39.0	40.1	41.7	44.4	47.7	50.6	53.6	56.5	59.5	62.4	65.4	68.3	71.3	74.2	77.1	80.1	83.0	85.9	88.8	91.7	94.6	97.5	100.4	103.3	106.2	109.1	112.0	114.9	117.8	120.7	123.6	126.5	129.4				
22	298	290	281	271	262	253	245	238	238	308	298	288	278	268	258	248	238	228	318	310	298	286	273	260	248	238	228	218	208	198	188	178	168	158	148	138	128			
23	28.4	32.3	36.2	40.1	44.0	47.9	51.8	55.7	59.6	63.5	67.4	71.3	75.2	79.1	83.0	86.9	90.8	94.7	98.6	102.5	106.4	110.3	114.2	118.1	122.0	125.9	129.8	133.7	137.6	141.5	145.4	149.3	153.2	157.1	161.0	164.9				
24	40.0	47.5	45.9	45.1	46.2	46.4	48.8	51.1	54.5	57.8	61.1	64.4	67.7	71.0	74.3	77.6	80.9	84.2	87.5	90.8	94.1	97.4	100.7	104.0	107.3	110.6	113.9	117.2	120.5	123.8	127.1	130.4	133.7	137.0	140.3	143.6				
25	298	291	283	275	267	258	251	244	238	307	298	290	281	271	262	253	245	238	316	308	298	288	278	267	256	246	236	226	238	238	238	238	238	238	238	238	238			
26	31.0	35.4	40.6	45.9	50.1	54.4	58.6	62.8	67.0	71.2	75.4	79.6	83.8	88.0	92.2	96.4	100.6	104.8	109.0	113.2	117.4	121.6	125.8	129.9	134.1	138.3	142.5	146.7	150.9	155.1	159.3	163.5	167.7	171.9	176.1	180.3				
27	28.5	25.6	27.3	32.9	37.3	42.9	49.4	56.5	63.8	71.1	78.4	85.7	93.0	100.3	107.6	114.9	122.2	129.5	136.8	144.1	151.4	158.7	166.0	173.3	180.6	187.9	195.2	202.5	209.8	217.1	224.4	231.7	239.0	246.3	253.6	260.9				
28	32.0	36.1	41.1	46.6	50.9	55.1	59.3	63.5	67.7	71.9	76.1	80.3	84.5	88.7	92.9	97.1	101.3	105.5	109.7	113.9	118.1	122.3	126.5	130.7	134.9	139.1	143.3	147.5	151.7	155.9	160.1	164.3	168.5	172.7	176.9	181.1				
29	26.9	19.0	17.3	22.0	26.7	33.0	40.1	47.8	55.7	63.6	71.5	79.4	87.3	95.2	103.1	111.0	118.9	126.8	134.7	142.6	150.5	158.4	166.3	174.2	182.1	190.0	197.9	205.8	213.7	221.6	229.5	237.4	245.3	253.2	261.1	269.0				
30	19	31	67	97	114	125	132	138	141	22	31	54	78	97	109	118	125	130	31	48	67	84	97	106	114	120	128	136	144	152	160	168	176	184	192	200	208			
31	33.2	36.2	42.1	47.4	51.6	55.8	60.1	64.3	68.5	72.7	76.9	81.1	85.3	89.5	93.7	97.9	102.1	106.3	110.5	114.7	118.9	123.1	127.3	131.5	135.7	139.9	144.1	148.3	152.5	156.7	160.9	165.1	169.3	173.5	177.7	181.9				
32	26.7	17.8	9.5	11.0	16.5	23.9	31.0	40.1	48.5	56.5	64.5	72.5	80.5	88.5	96.5	104.5	112.5	120.5	128.5	136.5	144.5	152.5	160.5	168.5	176.5	184.5	192.5	200.5	208.5	216.5	224.5	232.5	240.5	248.5	256.5					
33	5																																							

BAM-Registrierung: 20080701-Dg98/10L/L98G00NP.PS/.PDF BAM-Material: Code=rh4ta
Anwendung für Beurteilung und Messung von Drucker- oder Monitorsystemen

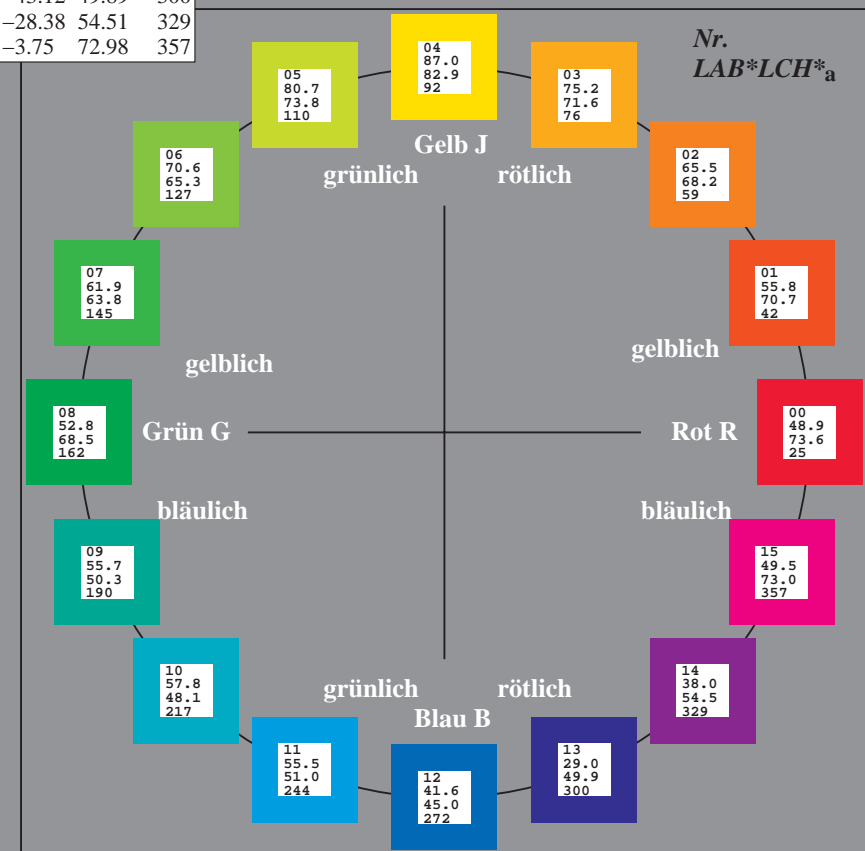
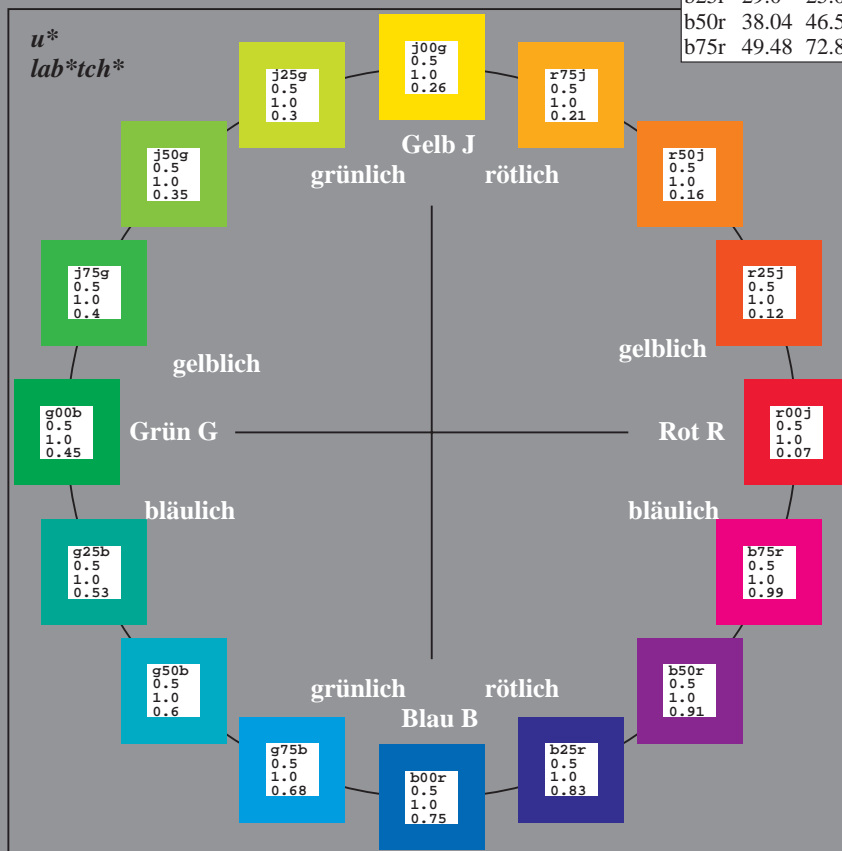
Ein und Ausgabe:
Farbmetrisches Drucker-Reflektiv-System ORS19_96a
Daten für jede Farbe:
*lab*tch** und *lab*icu**
Elementar-Bunttontext:
*u** = 16 Buntttöne *r00j*, *r25j*, ..., *b75r*
Kontrastreduzierungsfaktor:
 $c_R = 1.0$

ORS19_96a; adaptierte CIELAB-Daten					
	$L^*=L^*_a$	a^*_a	b^*_a	$C^*_{ab,a}$	$h^*_{ab,a}$
r00j	48.88	66.47	31.67	73.63	25
r25j	55.85	52.39	47.48	70.7	42
r50j	65.45	35.22	58.37	68.17	59
r75j	75.19	17.82	69.41	71.66	76
j00g	87.03	-3.34	82.83	82.9	92
j25g	80.72	-25.0	69.5	73.86	110
j50g	70.64	-39.53	51.97	65.3	127
j75g	61.93	-52.09	36.83	63.8	145
g00b	52.8	-65.27	20.93	68.56	162
g25b	55.7	-49.57	-8.38	50.28	190
g50b	57.82	-38.39	-28.91	48.07	217
g75b	55.5	-22.04	-45.94	50.97	244
b00r	41.6	1.37	-45.0	45.03	272
b25r	29.0	25.08	-43.12	49.89	300
b50r	38.04	46.53	-28.38	54.51	329
b75r	49.48	72.88	-3.75	72.98	357



%Umfang
 $u^*_{rel} = 89$
%Regularität
 $g^*_{H,rel} = 72$
 $g^*_{C,rel} = 57$

ORS19_96a; adaptierte CIELAB-Daten					
	$L^*=L^*_a$	a^*_a	b^*_a	$C^*_{ab,a}$	$h^*_{ab,a}$
OMa	48.75	65.07	39.43	76.08	31
YMa	90.92	-10.28	87.24	87.85	97
LMa	52.69	-65.43	20.75	68.65	162
CMa	59.61	-28.97	-46.21	54.56	238
VMa	28.39	23.63	-44.12	50.06	298
MMa	49.58	73.93	-9.55	74.55	353
NMa	18.89	0.0	0.0	0.0	0
WMa	96.9	0.0	0.0	0.0	0
RCIE	39.92	58.74	27.99	65.07	25
JCIE	81.26	-2.88	71.56	71.62	92
GCIE	52.23	-42.41	13.6	44.55	162
BCIE	30.57	1.41	-46.46	46.49	272



Ein und Ausgabe: Farbmetrisches Drucker-Reflektiv-System ORS19_96a für relativen CIELAB-Buntton $h^* = lab^*h^* = h_{ab}/360 = 25/360 = 0.071$ $u^* = r00j$
Daten für jede Farbe: lab^*tch^* und lab^*icu^*

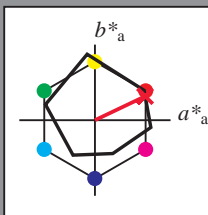
Elementar-Bunttontext:

$u^* = r00j$

Kontrastreduzierungsfaktor:

$c_R = 1.0$

Dreiecks-Helligkeit t^*



ORS19_96a; adaptierte CIELAB-Daten					
	$L^*=L^*_a$	a^*_a	b^*_a	$C^*_{ab,a}$	$h^*_{ab,a}$
O _{Ma}	48.75	65.07	39.43	76.08	31
Y _{Ma}	90.92	-10.28	87.24	87.85	97
L _{Ma}	52.69	-65.43	20.75	68.65	162
C _{Ma}	59.61	-28.97	-46.21	54.56	238
V _{Ma}	28.39	23.63	-44.12	50.06	298
M _{Ma}	49.58	73.93	-9.55	74.55	353
N _{Ma}	18.89	0.0	0.0	0.0	0
W _{Ma}	96.9	0.0	0.0	0.0	0
R _{CIE}	39.92	58.74	27.99	65.07	25
J _{CIE}	81.26	-2.88	71.56	71.62	92
G _{CIE}	52.23	-42.41	13.6	44.55	162
B _{CIE}	30.57	1.41	-46.46	46.49	272

Daten für Maximalfarbe (Ma):

$LAB^*LAB^*_{Ma}$: 49 66 32

$LAB^*LCH^*_{Ma}$: 49 74 25

$lab^*rgb^*_{Ma}$: 1.0 0.0 0.0

$lab^*olv^*_{Ma}$: 1.0 0.0 0.16

Dreiecks-Helligkeit t^*

%Umfang

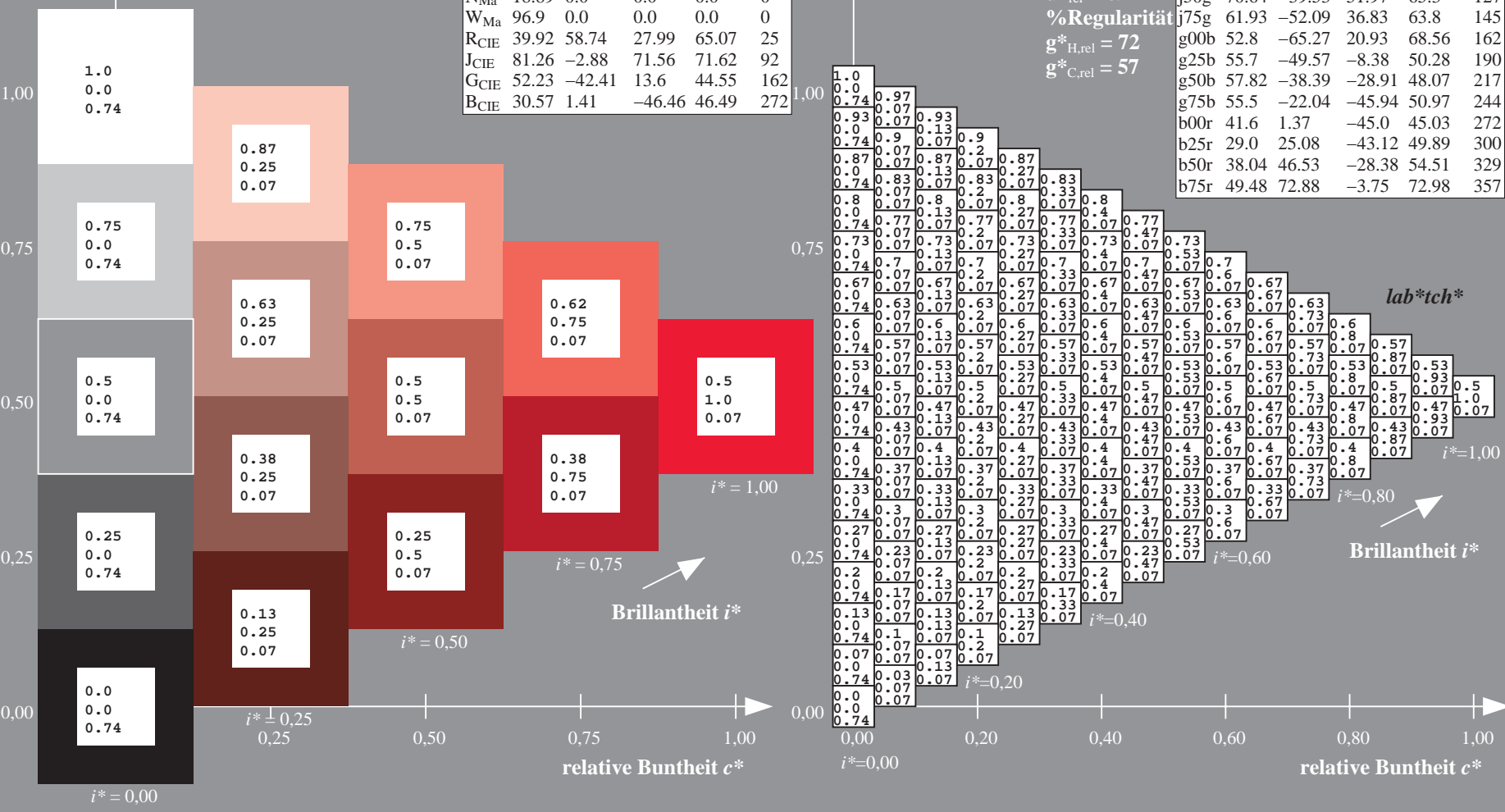
$u^*_{rel} = 89$

%Regularität

$g^*_{H,rel} = 72$

$g^*_{C,rel} = 57$

ORS19_96a; adaptierte CIELAB-Daten					
	$L^*=L^*_a$	a^*_a	b^*_a	$C^*_{ab,a}$	$h^*_{ab,a}$
r00j	48.88	66.47	31.67	73.63	25
r25j	55.85	52.39	47.48	70.7	42
r50j	65.45	35.22	58.37	68.17	59
r75j	75.19	17.82	69.41	71.66	76
j00g	87.03	-3.34	82.83	82.9	92
j25g	80.72	-25.0	69.5	73.86	110
j50g	70.64	-39.53	51.97	65.3	127
j75g	61.93	-52.09	36.83	63.8	145
g00b	52.8	-65.27	20.93	68.56	162
g25b	55.7	-49.57	-8.38	50.28	190
g50b	57.82	-38.39	-28.91	48.07	217
g75b	55.5	-22.04	-45.94	50.97	244
b00r	41.6	1.37	-45.0	45.03	272
b25r	29.0	25.08	-43.12	49.89	300
b50r	38.04	46.53	-28.38	54.51	329
b75r	49.48	72.88	-3.75	72.98	357



Ein und Ausgabe: Farbmimetrisches Drucker-Reflektiv-System ORS19_96a für relativen CIELAB-Buntton $h^* = lab^*h^* = h_{ab}/360 = 42/360 = 0.117$ $u^* = r25j$

Daten für jede Farbe:

lab^*tch^* und lab^*icu^*

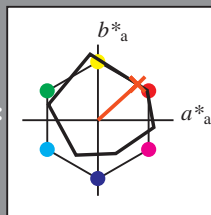
Elementar-Bunttonext:

$u^* = r25j$

Kontrastreduzierungsfaktor:

$c_R = 1.0$

Dreiecks-Helligkeit t^*



ORS19_96a; adaptierte CIELAB-Daten

	$L^*=L_a^*$	a_a^*	b_a^*	$C^*_{ab,a}$	$h^*_{ab,a}$
O _{Ma}	48.75	65.07	39.43	76.08	31
Y _{Ma}	90.92	-10.28	87.24	87.85	97
L _{Ma}	52.69	-65.43	20.75	68.65	162
C _{Ma}	59.61	-28.97	-46.21	54.56	238
V _{Ma}	28.39	23.63	-44.12	50.06	298
M _{Ma}	49.58	73.93	-9.55	74.55	353
N _{Ma}	18.89	0.0	0.0	0.0	0
W _{Ma}	96.9	0.0	0.0	0.0	0
R _{CIE}	39.92	58.74	27.99	65.07	25
J _{CIE}	81.26	-2.88	71.56	71.62	92
G _{CIE}	52.23	-42.41	13.6	44.55	162
B _{CIE}	30.57	1.41	-46.46	46.49	272

Daten für Maximalfarbe (Ma):

$LAB^*LAB^*_{Ma}$: 56 52 47

$LAB^*LCH^*_{Ma}$: 56 71 42

$lab^*rgb^*_{Ma}$: 1.0 0.25 0.0

$lab^*olv^*_{Ma}$: 1.0 0.17 0.0

Dreiecks-Helligkeit t^*

%Umfang

$u^*_{rel} = 89$

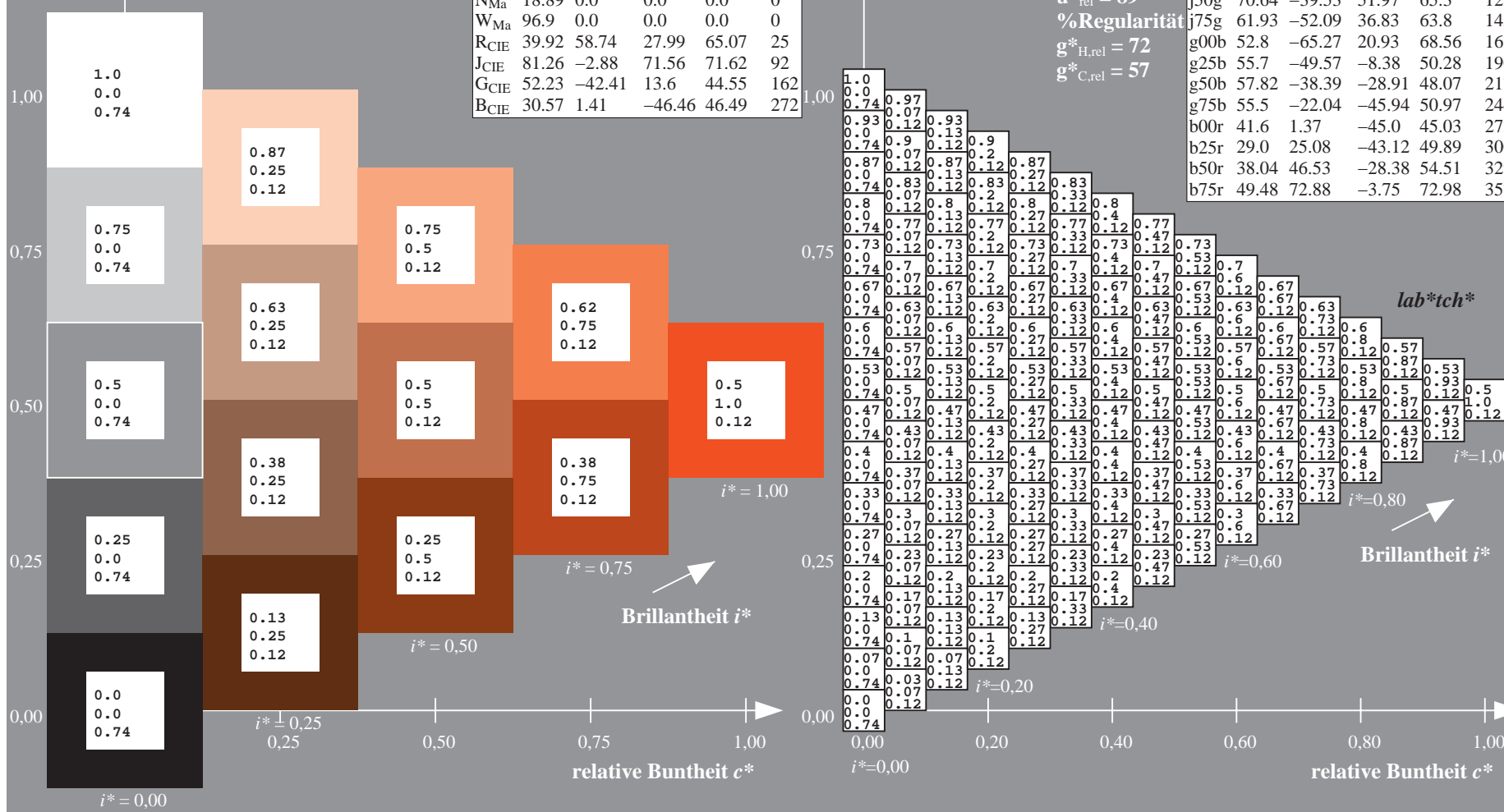
%Regularität

$g^*_{H,rel} = 72$

$g^*_{C,rel} = 57$

ORS19_96a; adaptierte CIELAB-Daten

	$L^*=L_a^*$	a_a^*	b_a^*	$C^*_{ab,a}$	$h^*_{ab,a}$
r00j	48.88	66.47	31.67	73.63	25
r25j	55.85	52.39	47.48	70.7	42
r50j	65.45	35.22	58.37	68.17	59
r75j	75.19	17.82	69.41	71.66	76
j00g	87.03	-3.34	82.83	82.9	92
j25g	80.72	-25.0	69.5	73.86	110
j50g	70.64	-39.53	51.97	65.3	127
j75g	61.93	-52.09	36.83	63.8	145
g00b	52.8	-65.27	20.93	68.56	162
g25b	55.7	-49.57	-8.38	50.28	190
g50b	57.82	-38.39	-28.91	48.07	217
g75b	55.5	-22.04	-45.94	50.97	244
b00r	41.6	1.37	-45.0	45.03	272
b25r	29.0	25.08	-43.12	49.89	300
b50r	38.04	46.53	-28.38	54.51	329
b75r	49.48	72.88	-3.75	72.98	357



Ein und Ausgabe: Farbmetrisches Drucker-Reflektiv-System ORS19_96a für relativen CIELAB-Buntton $h^* = \text{lab}^*h^* = h_{ab}/360 = 59/360 = 0.164$ $u^* = r50j$
Daten für jede Farbe: lab^*ch^* und lab^*icu^*

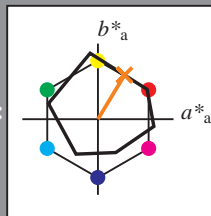
Elementar-Bunttontext:

$u^* = r50j$

Kontrastreduzierungsfaktor:

$c_R = 1.0$

Dreiecks-Helligkeit t^*



ORS19_96a; adaptierte CIELAB-Daten

	$L^*=L_a^*$	a_a^*	b_a^*	$C^*_{ab,a}$	$h^*_{ab,a}$
O _{Ma}	48.75	65.07	39.43	76.08	31
Y _{Ma}	90.92	-10.28	87.24	87.85	97
L _{Ma}	52.69	-65.43	20.75	68.65	162
C _{Ma}	59.61	-28.97	-46.21	54.56	238
V _{Ma}	28.39	23.63	-44.12	50.06	298
M _{Ma}	49.58	73.93	-9.55	74.55	353
N _{Ma}	18.89	0.0	0.0	0.0	0
W _{Ma}	96.9	0.0	0.0	0.0	0
R _{CIE}	39.92	58.74	27.99	65.07	25
J _{CIE}	81.26	-2.88	71.56	71.62	92
G _{CIE}	52.23	-42.41	13.6	44.55	162
B _{CIE}	30.57	1.41	-46.46	46.49	272

Daten für Maximalfarbe (Ma):

$\text{LAB}^*\text{LAB}^*_{Ma}$: 65 35 58

$\text{LAB}^*\text{LCH}^*_{Ma}$: 65 68 59

$\text{lab}^*\text{rgb}^*_{Ma}$: 1.0 0.5 0.0

$\text{lab}^*\text{olv}^*_{Ma}$: 1.0 0.4 0.0

Dreiecks-Helligkeit t^*

%Umfang

$u^*_{rel} = 89$

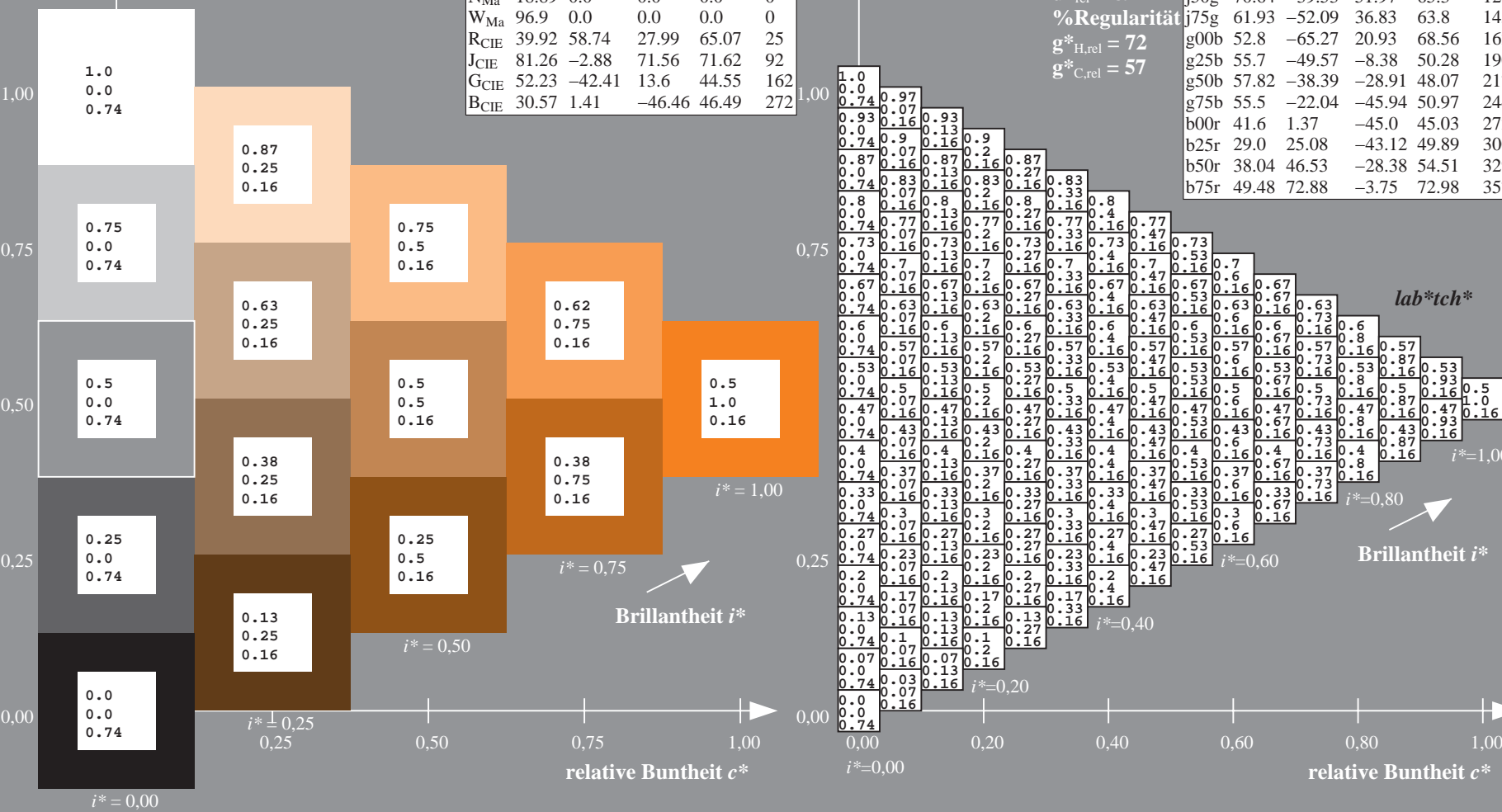
%Regularität

$g^*_{H,rel} = 72$

$g^*_{C,rel} = 57$

ORS19_96a; adaptierte CIELAB-Daten

	$L^*=L_a^*$	a_a^*	b_a^*	$C^*_{ab,a}$	$h^*_{ab,a}$
r00j	48.88	66.47	31.67	73.63	25
r25j	55.85	52.39	47.48	70.7	42
r50j	65.45	35.22	58.37	68.17	59
r75j	75.19	17.82	69.41	71.66	76
j00g	87.03	-3.34	82.83	82.9	92
j25g	80.72	-25.0	69.5	73.86	110
j50g	70.64	-39.53	51.97	65.3	127
j75g	61.93	-52.09	36.83	63.8	145
g00b	52.8	-65.27	20.93	68.56	162
g25b	55.7	-49.57	-8.38	50.28	190
g50b	57.82	-38.39	-28.91	48.07	217
g75b	55.5	-22.04	-45.94	50.97	244
b00r	41.6	1.37	-45.0	45.03	272
b25r	29.0	25.08	-43.12	49.89	300
b50r	38.04	46.53	-28.38	54.51	329
b75r	49.48	72.88	-3.75	72.98	357



Ein und Ausgabe: Farbmetrisches Drucker-Reflektiv-System ORS19_96a für relativen CIELAB-Buntton $h^* = lab^*h^* = h_{ab}/360 = 76/360 = 0.21$ $u^* = r75j$
Daten für jede Farbe: lab^*tch^* und lab^*icu^*

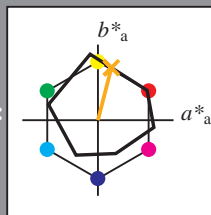
Elementar-Bunttontext:

$u^* = r75j$

Kontrastreduzierungsfaktor:

$c_R = 1.0$

Dreiecks-Helligkeit t^*



ORS19_96a; adaptierte CIELAB-Daten

	$L^*=L_a^*$	a_a^*	b_a^*	$C^*_{ab,a}$	$h^*_{ab,a}$
O _{Ma}	48.75	65.07	39.43	76.08	31
Y _{Ma}	90.92	-10.28	87.24	87.85	97
L _{Ma}	52.69	-65.43	20.75	68.65	162
C _{Ma}	59.61	-28.97	-46.21	54.56	238
V _{Ma}	28.39	23.63	-44.12	50.06	298
M _{Ma}	49.58	73.93	-9.55	74.55	353
N _{Ma}	18.89	0.0	0.0	0.0	0
W _{Ma}	96.9	0.0	0.0	0.0	0
R _{CIE}	39.92	58.74	27.99	65.07	25
J _{CIE}	81.26	-2.88	71.56	71.62	92
G _{CIE}	52.23	-42.41	13.6	44.55	162
B _{CIE}	30.57	1.41	-46.46	46.49	272

Daten für Maximalfarbe (Ma):

$LAB^*LAB^*_{Ma}$: 75 18 69

$LAB^*LCH^*_{Ma}$: 75 72 76

$lab^*rgb^*_{Ma}$: 1.0 0.75 0.0

$lab^*olv^*_{Ma}$: 1.0 0.63 0.0

Dreiecks-Helligkeit t^*

%Umfang

$u^*_{rel} = 89$

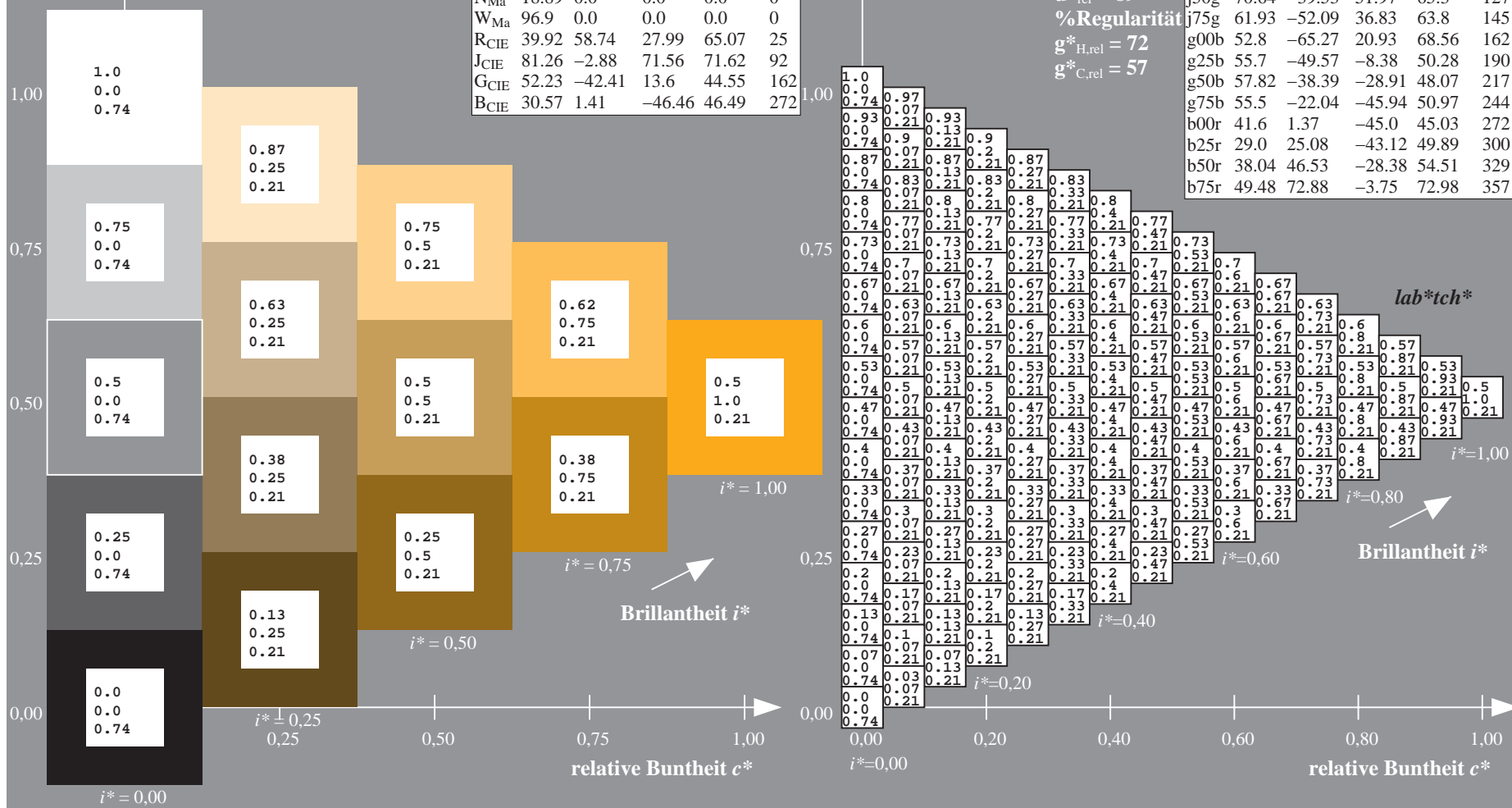
%Regularität

$g^*_{H,rel} = 72$

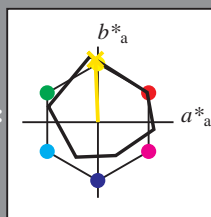
$g^*_{C,rel} = 57$

ORS19_96a; adaptierte CIELAB-Daten

	$L^*=L_a^*$	a_a^*	b_a^*	$C^*_{ab,a}$	$h^*_{ab,a}$
r00j	48.88	66.47	31.67	73.63	25
r25j	55.85	52.39	47.48	70.7	42
r50j	65.45	35.22	58.37	68.17	59
r75j	75.19	17.82	69.41	71.66	76
j00g	87.03	-3.34	82.83	82.9	92
j25g	80.72	-25.0	69.5	73.86	110
j50g	70.64	-39.53	51.97	65.3	127
j75g	61.93	-52.09	36.83	63.8	145
g00b	52.8	-65.27	20.93	68.56	162
g25b	55.7	-49.57	-8.38	50.28	190
g50b	57.82	-38.39	-28.91	48.07	217
g75b	55.5	-22.04	-45.94	50.97	244
b00r	41.6	1.37	-45.0	45.03	272
b25r	29.0	25.08	-43.12	49.89	300
b50r	38.04	46.53	-28.38	54.51	329
b75r	49.48	72.88	-3.75	72.98	357



Ein und Ausgabe: Farbmetrisches Drucker-Reflektiv-System ORS19_96a für relativen CIELAB-Buntton $h^* = lab^*h^* = h_{ab}/360 = 92/360 = 0.256$ $u^* = j00g$
Daten für jede Farbe: lab^*ch^* und lab^*icu^*
Elementar-Bunttontext: $u^* = j00g$
Kontrastreduzierungsfaktor: $c_R = 1.0$
Dreiecks-Helligkeit i^*



ORS19_96a; adaptierte CIELAB-Daten					
	$L^*=L^*_a$	a^*_a	b^*_a	$C^*_{ab,a}$	$h^*_{ab,a}$
O _{Ma}	48.75	65.07	39.43	76.08	31
Y _{Ma}	90.92	-10.28	87.24	87.85	97
L _{Ma}	52.69	-65.43	20.75	68.65	162
C _{Ma}	59.61	-28.97	-46.21	54.56	238
V _{Ma}	28.39	23.63	-44.12	50.06	298
M _{Ma}	49.58	73.93	-9.55	74.55	353
N _{Ma}	18.89	0.0	0.0	0.0	0
W _{Ma}	96.9	0.0	0.0	0.0	0
R _{CIE}	39.92	58.74	27.99	65.07	25
J _{CIE}	81.26	-2.88	71.56	71.62	92
G _{CIE}	52.23	-42.41	13.6	44.55	162
B _{CIE}	30.57	1.41	-46.46	46.49	272

Daten für Maximalfarbe (Ma):

$LAB^*LAB^*_{Ma}$: 87 -2 83

$LAB^*LCH^*_{Ma}$: 87 83 92

$lab^*rgb^*_{Ma}$: 1.0 1.0 0.0

$lab^*olv^*_{Ma}$: 1.0 0.91 0.0

Dreiecks-Helligkeit i^*

%Umfang

$u^*_{rel} = 89$

%Regularität

$g^*_{H,rel} = 72$

$g^*_{C,rel} = 57$

ORS19_96a; adaptierte CIELAB-Daten					
	$L^*=L^*_a$	a^*_a	b^*_a	$C^*_{ab,a}$	$h^*_{ab,a}$
r00j	48.88	66.47	31.67	73.63	25
r25j	55.85	52.39	47.48	70.7	42
r50j	65.45	35.22	58.37	68.17	59
r75j	75.19	17.82	69.41	71.66	76
j00g	87.03	-3.34	82.83	82.9	92
j25g	80.72	-25.0	69.5	73.86	110
j50g	70.64	-39.53	51.97	65.3	127
j75g	61.93	-52.09	36.83	63.8	145
g00b	52.8	-65.27	20.93	68.56	162
g25b	55.7	-49.57	-8.38	50.28	190
g50b	57.82	-38.39	-28.91	48.07	217
g75b	55.5	-22.04	-45.94	50.97	244
b00r	41.6	1.37	-45.0	45.03	272
b25r	29.0	25.08	-43.12	49.89	300
b50r	38.04	46.53	-28.38	54.51	329
b75r	49.48	72.88	-3.75	72.98	357

lab^*ch^*

$i^* = 1.00$

Brillantheit i^*

$i^* = 0.80$

$i^* = 0.60$

$i^* = 0.40$

$i^* = 0.20$

$i^* = 0.00$

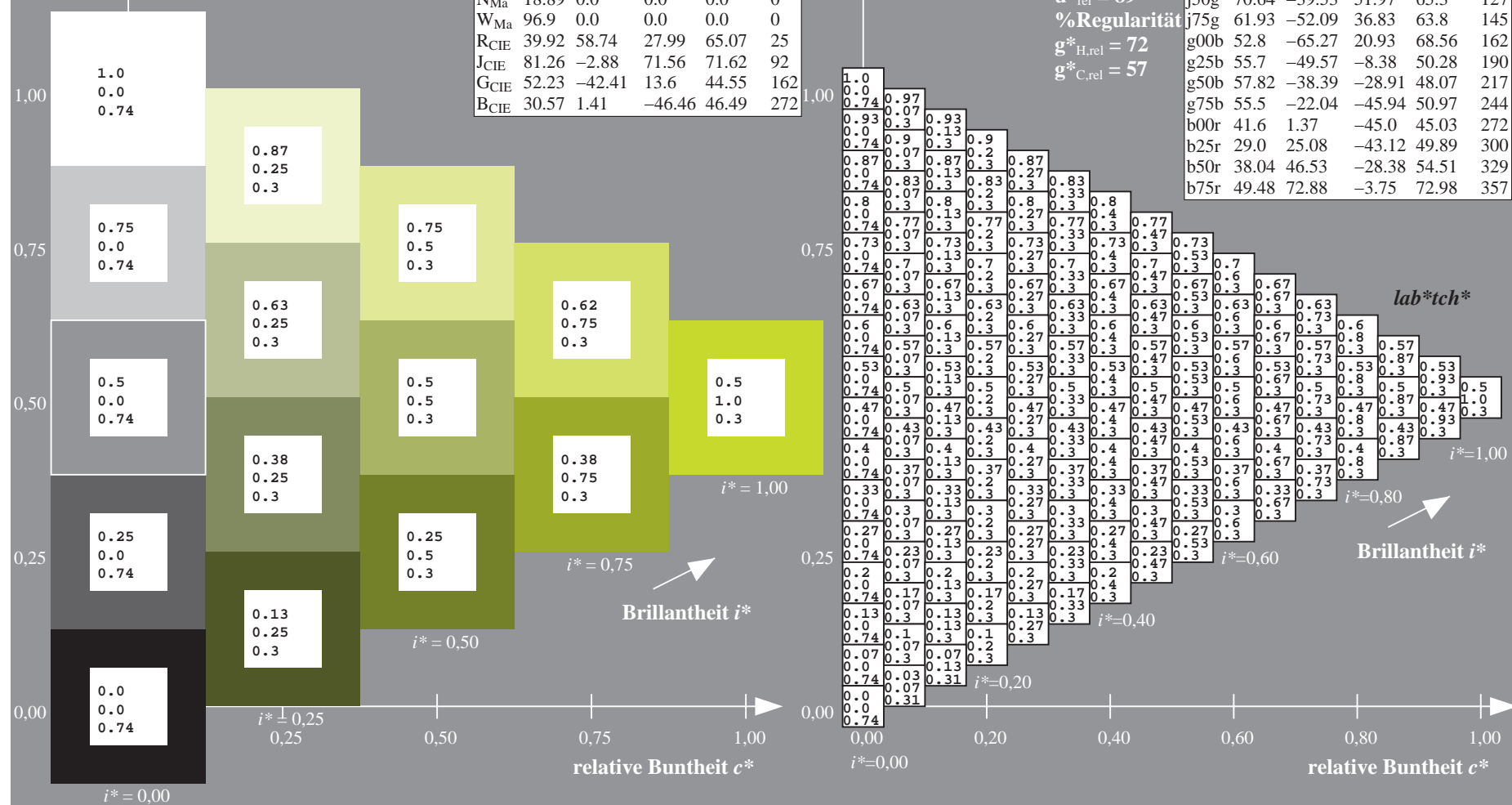
relative Buntheit c^*

relative Buntheit c^*

100%



	a	a	a	a/a	a/a
r00j	48.88	66.47	31.67	73.63	25
r25j	55.85	52.39	47.48	70.7	42
r50j	65.45	35.22	58.37	68.17	59
r75j	75.19	17.82	69.41	71.66	76
j00g	87.03	-3.34	82.83	82.9	92
j25g	80.72	-25.0	69.5	73.86	110
j50g	70.64	-39.53	51.97	65.3	127
j75g	61.93	-52.09	36.83	63.8	145
g00b	52.8	-65.27	20.93	68.56	162
g25b	55.7	-49.57	-8.38	50.28	190
g50b	57.82	-38.39	-28.91	48.07	217
g75b	55.5	-22.04	-45.94	50.97	244
b00r	41.6	1.37	-45.0	45.03	272
b25r	29.0	25.08	-43.12	49.89	300
b50r	38.04	46.53	-28.38	54.51	329
b75r	49.48	72.88	-3.75	72.98	357



BAM-Prüfvorlage Dg98; Farbmeter-Systeme, Seite 97/180
Farbreihen, 8 Datentabellen für 16 Bunttöne *r00j* bis *b75r*

Eingabe: 000n / w / nnn0 / www set...
Ausgabe: ->cmyn5* setcmykcolor

BAM-Registrierung: 20080701-Dg98/10L/L98G00NP.PS/.PDF BAM-Material: Code=rhata
t Anwendung für Beurteilung und Messung von Drucker- oder Monitorsystemen

Ein und Ausgabe: Farbmetrisches Drucker-Reflektiv-System ORS19_96a für relativen CIELAB-Buntton $h^* = lab^*h^* = h_{ab}/360 = 127/360 = 0.354$ $u^* = j50g$
Daten für jede Farbe: lab^*tch^* und lab^*icu^*

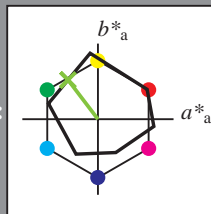
Elementar-Bunttontext:

$u^* = j50g$

Kontrastreduzierungsfaktor:

$c_R = 1.0$

Dreiecks-Helligkeit t^*



ORS19_96a; adaptierte CIELAB-Daten					
	$L^*=L^*_a$	a^*_a	b^*_a	$C^*_{ab,a}$	$h^*_{ab,a}$
O _{Ma}	48.75	65.07	39.43	76.08	31
Y _{Ma}	90.92	-10.28	87.24	87.85	97
L _{Ma}	52.69	-65.43	20.75	68.65	162
C _{Ma}	59.61	-28.97	-46.21	54.56	238
V _{Ma}	28.39	23.63	-44.12	50.06	298
M _{Ma}	49.58	73.93	-9.55	74.55	353
N _{Ma}	18.89	0.0	0.0	0.0	0
W _{Ma}	96.9	0.0	0.0	0.0	0
R _{CIE}	39.92	58.74	27.99	65.07	25
J _{CIE}	81.26	-2.88	71.56	71.62	92
G _{CIE}	52.23	-42.41	13.6	44.55	162
B _{CIE}	30.57	1.41	-46.46	46.49	272

Daten für Maximalfarbe (Ma):

$LAB^*LAB^*_{Ma}$: 71 -39 52

$LAB^*LCH^*_{Ma}$: 71 65 127

$lab^*rgb^*_{Ma}$: 0.5 1.0 0.0

$lab^*olv^*_{Ma}$: 0.47 1.0 0.0

Dreiecks-Helligkeit t^*

%Umfang

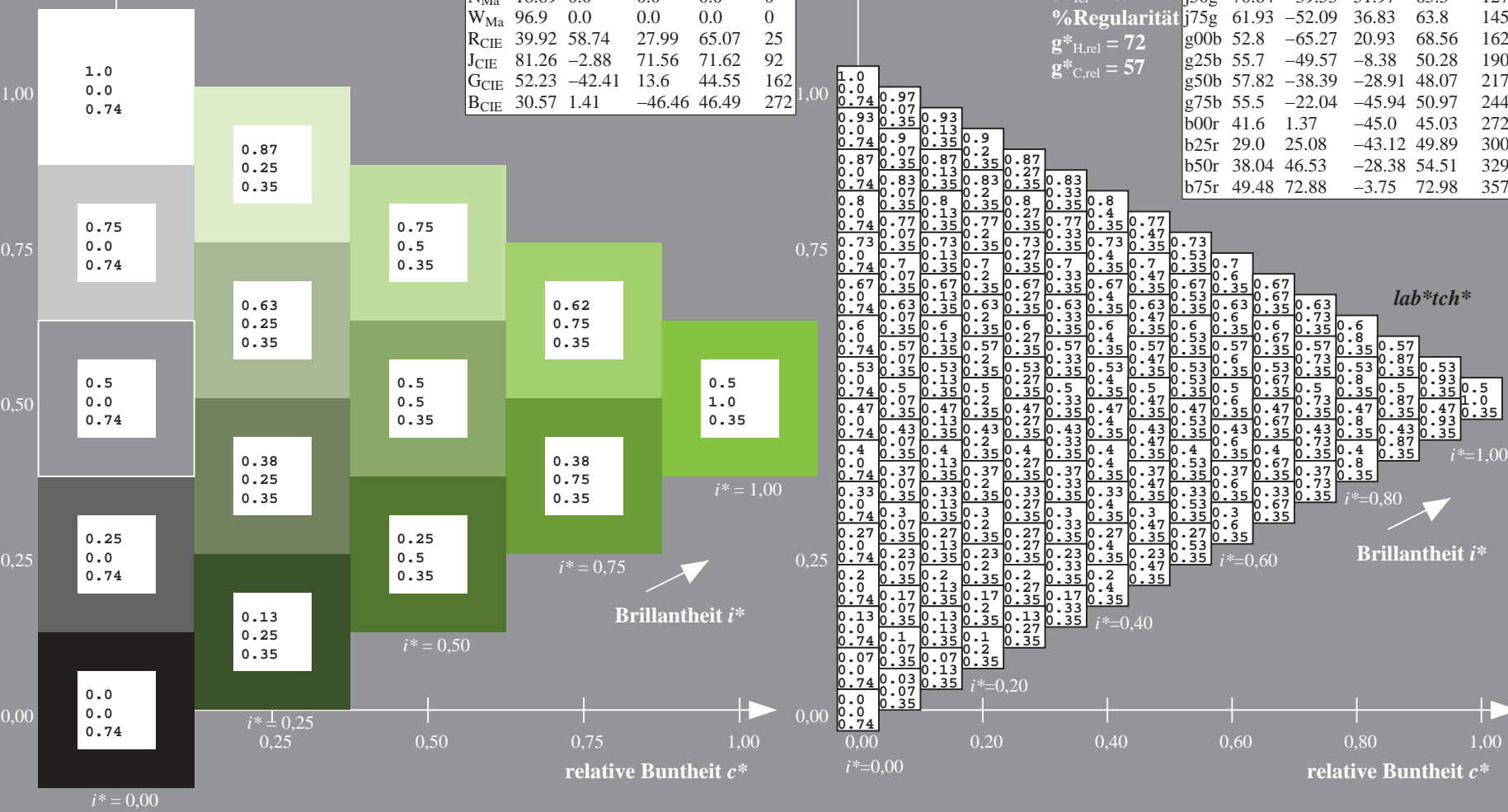
$u^*_{rel} = 89$

%Regularität

$g^*_{H,rel} = 72$

$g^*_{C,rel} = 57$

ORS19_96a; adaptierte CIELAB-Daten					
	$L^*=L^*_a$	a^*_a	b^*_a	$C^*_{ab,a}$	$h^*_{ab,a}$
r00j	48.88	66.47	31.67	73.63	25
r25j	55.85	52.39	47.48	70.7	42
r50j	65.45	35.22	58.37	68.17	59
r75j	75.19	17.82	69.41	71.66	76
j00g	87.03	-3.34	82.83	82.9	92
j25g	80.72	-25.0	69.5	73.86	110
j50g	70.64	-39.53	51.97	65.3	127
j75g	61.93	-52.09	36.83	63.8	145
g00b	52.8	-65.27	20.93	68.56	162
g25b	55.7	-49.57	-8.38	50.28	190
g50b	57.82	-38.39	-28.91	48.07	217
g75b	55.5	-22.04	-45.94	50.97	244
b00r	41.6	1.37	-45.0	45.03	272
b25r	29.0	25.08	-43.12	49.89	300
b50r	38.04	46.53	-28.38	54.51	329
b75r	49.48	72.88	-3.75	72.98	357



Ein und Ausgabe: Farbmetrisches Drucker-Reflektiv-System ORS19_96a für relativen CIELAB-Buntton $h^* = lab^*h^* = h_{ab}/360 = 145/360 = 0.402$ $u^* = j75g$
Daten für jede Farbe: lab^*tch^* und lab^*icu^*

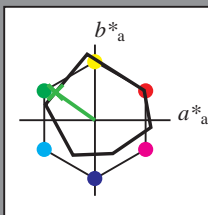
Elementar-Bunttontext:

$u^* = j75g$

Kontrastreduzierungsfaktor:

$c_R = 1.0$

Dreiecks-Helligkeit t^*



ORS19_96a; adaptierte CIELAB-Daten					
	$L^*=L_a^*$	a_a^*	b_a^*	$C^*_{ab,a}$	$h^*_{ab,a}$
O _{Ma}	48.75	65.07	39.43	76.08	31
Y _{Ma}	90.92	-10.28	87.24	87.85	97
L _{Ma}	52.69	-65.43	20.75	68.65	162
C _{Ma}	59.61	-28.97	-46.21	54.56	238
V _{Ma}	28.39	23.63	-44.12	50.06	298
M _{Ma}	49.58	73.93	-9.55	74.55	353
N _{Ma}	18.89	0.0	0.0	0.0	0
W _{Ma}	96.9	0.0	0.0	0.0	0
R _{CIE}	39.92	58.74	27.99	65.07	25
J _{CIE}	81.26	-2.88	71.56	71.62	92
G _{CIE}	52.23	-42.41	13.6	44.55	162
B _{CIE}	30.57	1.41	-46.46	46.49	272

Daten für Maximalfarbe (Ma):

$LAB^*LAB^*_{Ma}$: 62 -51 37

$LAB^*LCH^*_{Ma}$: 62 64 145

$lab^*rgb^*_{Ma}$: 0.25 1.0 0.0

$lab^*olv^*_{Ma}$: 0.24 1.0 0.0

Dreiecks-Helligkeit t^*

%Umfang

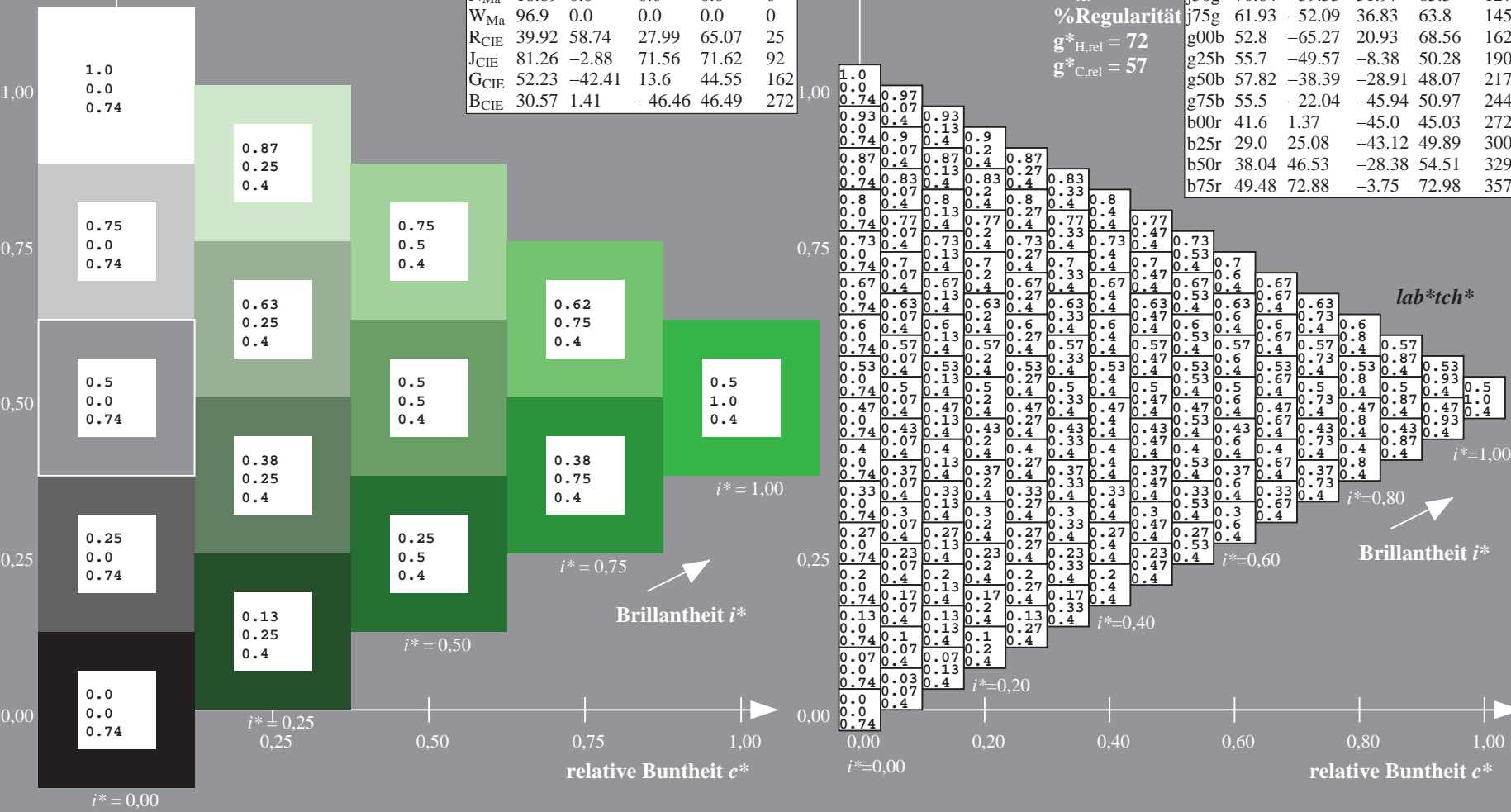
$u^*_{rel} = 89$

%Regularität

$g^*_{H,rel} = 72$

$g^*_{C,rel} = 57$

ORS19_96a; adaptierte CIELAB-Daten					
	$L^*=L_a^*$	a_a^*	b_a^*	$C^*_{ab,a}$	$h^*_{ab,a}$
r00j	48.88	66.47	31.67	73.63	25
r25j	55.85	52.39	47.48	70.7	42
r50j	65.45	35.22	58.37	68.17	59
r75j	75.19	17.82	69.41	71.66	76
j00g	87.03	-3.34	82.83	82.9	92
j25g	80.72	-25.0	69.5	73.86	110
j50g	70.64	-39.53	51.97	65.3	127
j75g	61.93	-52.09	36.83	63.8	145
g00b	52.8	-65.27	20.93	68.56	162
g25b	55.7	-49.57	-8.38	50.28	190
g50b	57.82	-38.39	-28.91	48.07	217
g75b	55.5	-22.04	-45.94	50.97	244
b00r	41.6	1.37	-45.0	45.03	272
b25r	29.0	25.08	-43.12	49.89	300
b50r	38.04	46.53	-28.38	54.51	329
b75r	49.48	72.88	-3.75	72.98	357



Ein und Ausgabe: Farbmetrisches Drucker-Reflektiv-System ORS19_96a für relativen CIELAB-Buntton $h^* = lab^*h^* = h_{ab}/360 = 162/360 = 0.451$ $u^* = g00b$

Daten für jede Farbe:

lab^*tch^* und lab^*icu^*

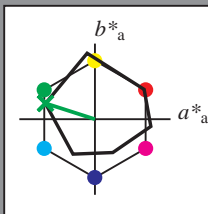
Elementar-Bunttontext:

$u^* = g00b$

Kontrastreduzierungsfaktor:

$c_R = 1.0$

Dreiecks-Helligkeit t^*



ORS19_96a; adaptierte CIELAB-Daten

	$L^*=L_a^*$	a_a^*	b_a^*	$C^*_{ab,a}$	$h^*_{ab,a}$
O _{Ma}	48.75	65.07	39.43	76.08	31
Y _{Ma}	90.92	-10.28	87.24	87.85	97
L _{Ma}	52.69	-65.43	20.75	68.65	162
C _{Ma}	59.61	-28.97	-46.21	54.56	238
V _{Ma}	28.39	23.63	-44.12	50.06	298
M _{Ma}	49.58	73.93	-9.55	74.55	353
N _{Ma}	18.89	0.0	0.0	0.0	0
W _{Ma}	96.9	0.0	0.0	0.0	0
R _{CIE}	39.92	58.74	27.99	65.07	25
J _{CIE}	81.26	-2.88	71.56	71.62	92
G _{CIE}	52.23	-42.41	13.6	44.55	162
B _{CIE}	30.57	1.41	-46.46	46.49	272

Daten für Maximalfarbe (Ma):

$LAB^*LAB^*_{Ma}$: 53 -64 21

$LAB^*LCH^*_{Ma}$: 53 69 162

$lab^*rgb^*_{Ma}$: 0.0 1.0 0.0

$lab^*olv^*_{Ma}$: 0.0 1.0 0.0

Dreiecks-Helligkeit t^*

%Umfang

$u^*_{rel} = 89$

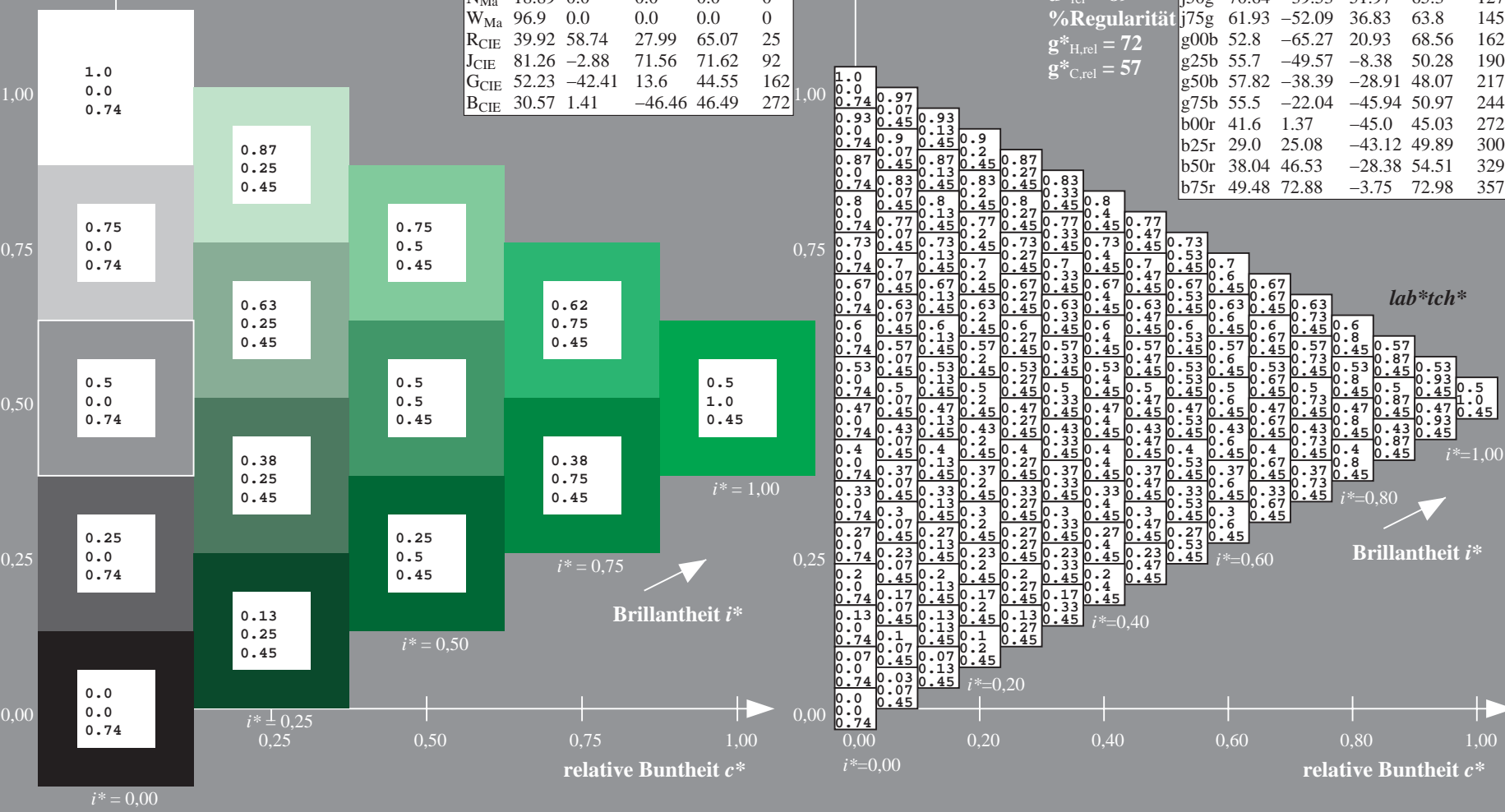
%Regularität

$g^*_{H,rel} = 72$

$g^*_{C,rel} = 57$

ORS19_96a; adaptierte CIELAB-Daten

	$L^*=L_a^*$	a_a^*	b_a^*	$C^*_{ab,a}$	$h^*_{ab,a}$
r00j	48.88	66.47	31.67	73.63	25
r25j	55.85	52.39	47.48	70.7	42
r50j	65.45	35.22	58.37	68.17	59
r75j	75.19	17.82	69.41	71.66	76
j00g	87.03	-3.34	82.83	82.9	92
j25g	80.72	-25.0	69.5	73.86	110
j50g	70.64	-39.53	51.97	65.3	127
j75g	61.93	-52.09	36.83	63.8	145
g00b	52.8	-65.27	20.93	68.56	162
g25b	55.7	-49.57	-8.38	50.28	190
g50b	57.82	-38.39	-28.91	48.07	217
g75b	55.5	-22.04	-45.94	50.97	244
b00r	41.6	1.37	-45.0	45.03	272
b25r	29.0	25.08	-43.12	49.89	300
b50r	38.04	46.53	-28.38	54.51	329
b75r	49.48	72.88	-3.75	72.98	357



Ein und Ausgabe: Farbmetrisches Drucker-Reflektiv-System ORS19_96a für relativen CIELAB-Buntton $h^* = lab^*h^* = h_{ab}/360 = 190/360 = 0.527$ $u^* = g25b$ lab^*tch^*

Daten für jede Farbe:

lab^*tch^* und lab^*icu^*

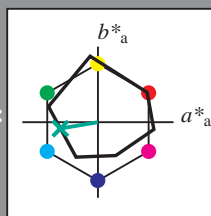
Elementar-Bunttontext:

$u^* = g25b$

Kontrastreduzierungsfaktor:

$c_R = 1.0$

Dreiecks-Helligkeit t^*



ORS19_96a; adaptierte CIELAB-Daten

	$L^*=L_a^*$	a_a^*	b_a^*	$C_{ab,a}^*$	$h_{ab,a}^*$
OMa	48.75	65.07	39.43	76.08	31
YMa	90.92	-10.28	87.24	87.85	97
LMa	52.69	-65.43	20.75	68.65	162
CMa	59.61	-28.97	-46.21	54.56	238
VMa	28.39	23.63	-44.12	50.06	298
MMa	49.58	73.93	-9.55	74.55	353
NMa	18.89	0.0	0.0	0.0	0
WMa	96.9	0.0	0.0	0.0	0
R_CIE	39.92	58.74	27.99	65.07	25
J_CIE	81.26	-2.88	71.56	71.62	92
G_CIE	52.23	-42.41	13.6	44.55	162
B_CIE	30.57	1.41	-46.46	46.49	272

Daten für Maximalfarbe (Ma):

LAB^*LAB^*Ma : 56 -49 -7

LAB^*LCH^*Ma : 56 50 190

lab^*rgb^*Ma : 0.0 1.0 0.5

lab^*olv^*Ma : 0.0 1.0 0.44

Dreiecks-Helligkeit t^*

%Umfang

$u^*_{rel} = 89$

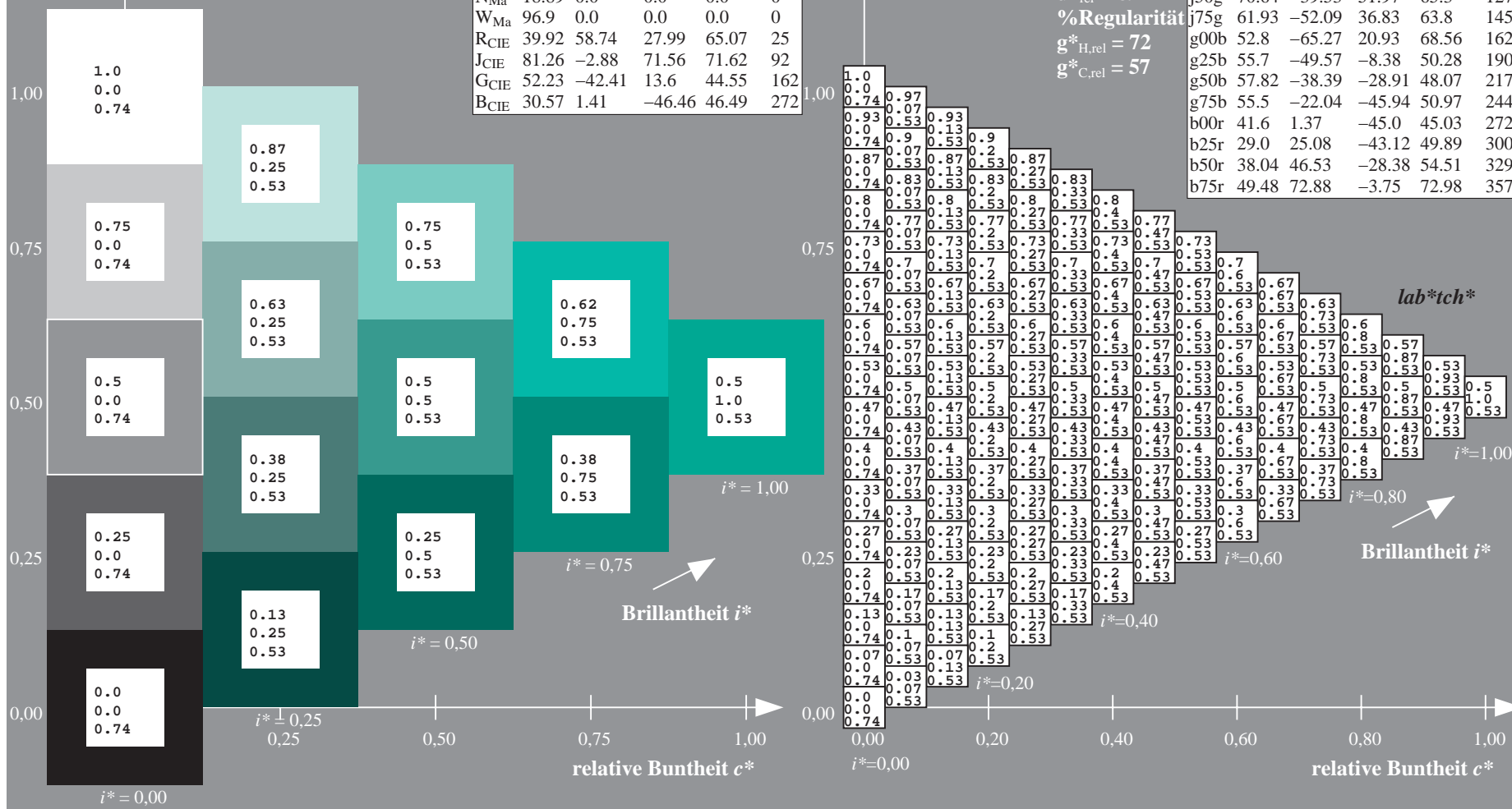
%Regularität

$g^*_{H,rel} = 72$

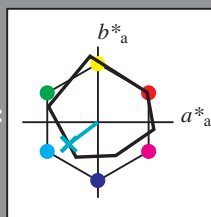
$g^*_{C,rel} = 57$

ORS19_96a; adaptierte CIELAB-Daten

	$L^*=L_a^*$	a_a^*	b_a^*	$C_{ab,a}^*$	$h_{ab,a}^*$
r00j	48.88	66.47	31.67	73.63	25
r25j	55.85	52.39	47.48	70.7	42
r50j	65.45	35.22	58.37	68.17	59
r75j	75.19	17.82	69.41	71.66	76
j00g	87.03	-3.34	82.83	82.9	92
j25g	80.72	-25.0	69.5	73.86	110
j50g	70.64	-39.53	51.97	65.3	127
j75g	61.93	-52.09	36.83	63.8	145
g00b	52.8	-65.27	20.93	68.56	162
g25b	55.7	-49.57	-8.38	50.28	190
g50b	57.82	-38.39	-28.91	48.07	217
g75b	55.5	-22.04	-45.94	50.97	244
b00r	41.6	1.37	-45.0	45.03	272
b25r	29.0	25.08	-43.12	49.89	300
b50r	38.04	46.53	-28.38	54.51	329
b75r	49.48	72.88	-3.75	72.98	357



Ein und Ausgabe: Farbmetrisches Drucker-Reflektiv-System ORS19_96a für relativen CIELAB-Buntton $h^* = lab^*h^* = h_{ab}/360 = 217/360 = 0.603$ $u^* = g50b$
Daten für jede Farbe:
 lab^*ch^* und lab^*icu^*
Elementar-Bunttontext:
 $u^* = g50b$
Kontrastreduzierungsfaktor:
 $c_R = 1.0$
Dreiecks-Helligkeit i^*



ORS19_96a; adaptierte CIELAB-Daten					
	$L^*=L^*_a$	a^*_a	b^*_a	$C^*_{ab,a}$	$h^*_{ab,a}$
O _{Ma}	48.75	65.07	39.43	76.08	31
Y _{Ma}	90.92	-10.28	87.24	87.85	97
L _{Ma}	52.69	-65.43	20.75	68.65	162
C _{Ma}	59.61	-28.97	-46.21	54.56	238
V _{Ma}	28.39	23.63	-44.12	50.06	298
M _{Ma}	49.58	73.93	-9.55	74.55	353
N _{Ma}	18.89	0.0	0.0	0.0	0
W _{Ma}	96.9	0.0	0.0	0.0	0
R _{CIE}	39.92	58.74	27.99	65.07	25
J _{CIE}	81.26	-2.88	71.56	71.62	92
G _{CIE}	52.23	-42.41	13.6	44.55	162
B _{CIE}	30.57	1.41	-46.46	46.49	272

Daten für Maximalfarbe (Ma):

$LAB^*LAB^*_{Ma}$: 58 -37 -28

$LAB^*LCH^*_{Ma}$: 58 48 217

$lab^*rgb^*_{Ma}$: 0.0 1.0 1.0

$lab^*olv^*_{Ma}$: 0.0 1.0 0.74

Dreiecks-Helligkeit i^*

%Umfang

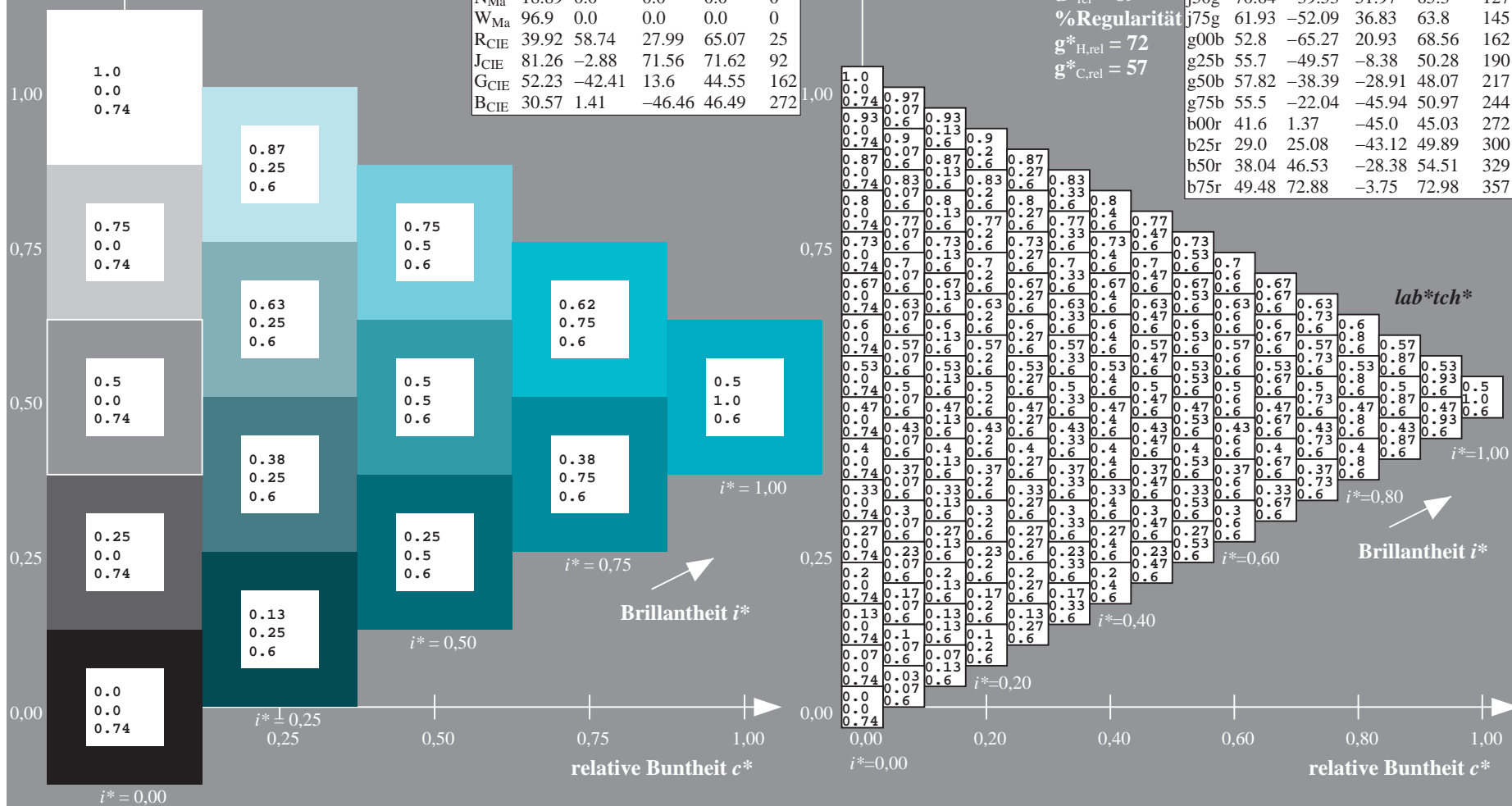
$u^*_{rel} = 89$

%Regularität

$g^*_{H,rel} = 72$

$g^*_{C,rel} = 57$

ORS19_96a; adaptierte CIELAB-Daten					
	$L^*=L^*_a$	a^*_a	b^*_a	$C^*_{ab,a}$	$h^*_{ab,a}$
r00j	48.88	66.47	31.67	73.63	25
r25j	55.85	52.39	47.48	70.7	42
r50j	65.45	35.22	58.37	68.17	59
r75j	75.19	17.82	69.41	71.66	76
j00g	87.03	-3.34	82.83	82.9	92
j25g	80.72	-25.0	69.5	73.86	110
j50g	70.64	-39.53	51.97	65.3	127
j75g	61.93	-52.09	36.83	63.8	145
g00b	52.8	-65.27	20.93	68.56	162
g25b	55.7	-49.57	-8.38	50.28	190
g50b	57.82	-38.39	-28.91	48.07	217
g75b	55.5	-22.04	-45.94	50.97	244
b00r	41.6	1.37	-45.0	45.03	272
b25r	29.0	25.08	-43.12	49.89	300
b50r	38.04	46.53	-28.38	54.51	329
b75r	49.48	72.88	-3.75	72.98	357



Ein und Ausgabe: Farbmetrisches Drucker-Reflektiv-System ORS19_96a für relativen CIELAB-Buntton $h^* = lab^*h^* = h_{ab}/360 = 244/360 = 0.679$ $u^* = g75b$ lab^*tch^*

Daten für jede Farbe:

lab^*tch^* und lab^*icu^*

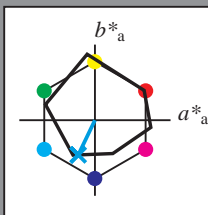
Elementar-Bunttontext:

$u^* = g75b$

Kontrastreduzierungsfaktor:

$c_R = 1.0$

Dreiecks-Helligkeit t^*



ORS19_96a; adaptierte CIELAB-Daten					
	$L^*=L^*_a$	a^*_a	b^*_a	$C^*_{ab,a}$	$h^*_{ab,a}$
O _{Ma}	48.75	65.07	39.43	76.08	31
Y _{Ma}	90.92	-10.28	87.24	87.85	97
L _{Ma}	52.69	-65.43	20.75	68.65	162
C _{Ma}	59.61	-28.97	-46.21	54.56	238
V _{Ma}	28.39	23.63	-44.12	50.06	298
M _{Ma}	49.58	73.93	-9.55	74.55	353
N _{Ma}	18.89	0.0	0.0	0.0	0
W _{Ma}	96.9	0.0	0.0	0.0	0
R _{CIE}	39.92	58.74	27.99	65.07	25
J _{CIE}	81.26	-2.88	71.56	71.62	92
G _{CIE}	52.23	-42.41	13.6	44.55	162
B _{CIE}	30.57	1.41	-46.46	46.49	272

Daten für Maximalfarbe (Ma):

$LAB^*LAB^*_{Ma}$: 55 -21 -45

$LAB^*LCH^*_{Ma}$: 55 51 244

$lab^*rgb^*_{Ma}$: 0.0 0.5 1.0

$lab^*olv^*_{Ma}$: 0.0 0.87 1.0

Dreiecks-Helligkeit t^*

%Umfang

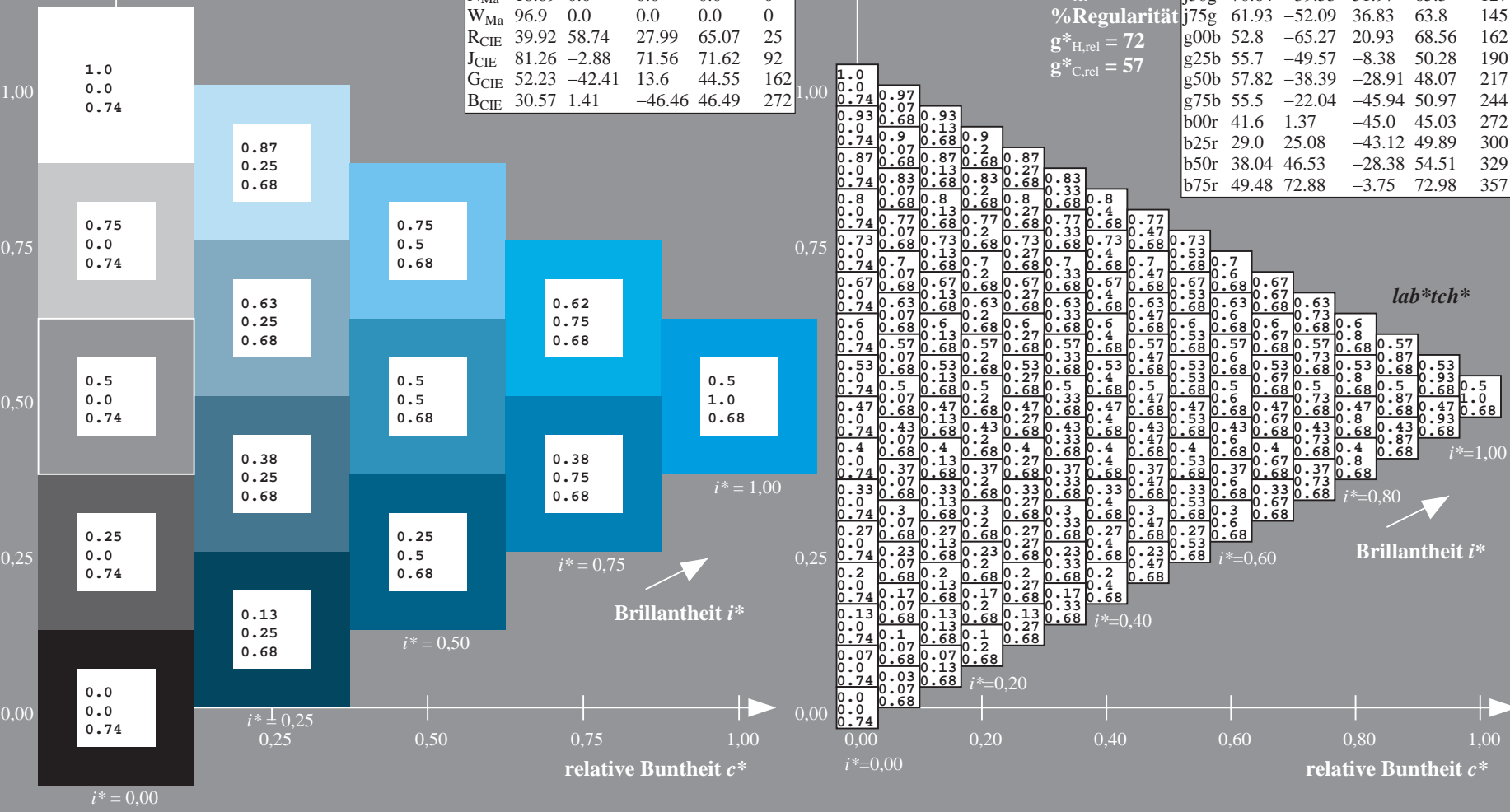
$u^*_{rel} = 89$

%Regularität

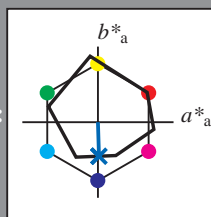
$g^*_{H,rel} = 72$

$g^*_{C,rel} = 57$

ORS19_96a; adaptierte CIELAB-Daten					
	$L^*=L^*_a$	a^*_a	b^*_a	$C^*_{ab,a}$	$h^*_{ab,a}$
r00j	48.88	66.47	31.67	73.63	25
r25j	55.85	52.39	47.48	70.7	42
r50j	65.45	35.22	58.37	68.17	59
r75j	75.19	17.82	69.41	71.66	76
j00g	87.03	-3.34	82.83	82.9	92
j25g	80.72	-25.0	69.5	73.86	110
j50g	70.64	-39.53	51.97	65.3	127
j75g	61.93	-52.09	36.83	63.8	145
g00b	52.8	-65.27	20.93	68.56	162
g25b	55.7	-49.57	-8.38	50.28	190
g50b	57.82	-38.39	-28.91	48.07	217
g75b	55.5	-22.04	-45.94	50.97	244
b00r	41.6	1.37	-45.0	45.03	272
b25r	29.0	25.08	-43.12	49.89	300
b50r	38.04	46.53	-28.38	54.51	329
b75r	49.48	72.88	-3.75	72.98	357



Ein und Ausgabe: Farbmetrisches Drucker-Reflektiv-System ORS19_96a für relativen CIELAB-Buntton $h^* = lab^*h^* = h_{ab}/360 = 272/360 = 0.755$ $u^* = b00r$
Daten für jede Farbe:
 lab^*tch^* und lab^*icu^*
Elementar-Bunttontext:
 $u^* = b00r$
Kontrastreduzierungsfaktor:
 $c_R = 1.0$
Dreiecks-Helligkeit t^*



ORS19_96a; adaptierte CIELAB-Daten					
	$L^*=L^*_a$	a^*_a	b^*_a	$C^*_{ab,a}$	$h^*_{ab,a}$
O _{Ma}	48.75	65.07	39.43	76.08	31
Y _{Ma}	90.92	-10.28	87.24	87.85	97
L _{Ma}	52.69	-65.43	20.75	68.65	162
C _{Ma}	59.61	-28.97	-46.21	54.56	238
V _{Ma}	28.39	23.63	-44.12	50.06	298
M _{Ma}	49.58	73.93	-9.55	74.55	353
N _{Ma}	18.89	0.0	0.0	0.0	0
W _{Ma}	96.9	0.0	0.0	0.0	0
R _{CIE}	39.92	58.74	27.99	65.07	25
J _{CIE}	81.26	-2.88	71.56	71.62	92
G _{CIE}	52.23	-42.41	13.6	44.55	162
B _{CIE}	30.57	1.41	-46.46	46.49	272

Daten für Maximalfarbe (Ma):

$LAB^*LAB^*_{Ma}$: 42 1 -44

$LAB^*LCH^*_{Ma}$: 42 45 272

$lab^*rgb^*_{Ma}$: 0.0 0.0 1.0

$lab^*olv^*_{Ma}$: 0.0 0.42 1.0

Dreiecks-Helligkeit t^*

%Umfang

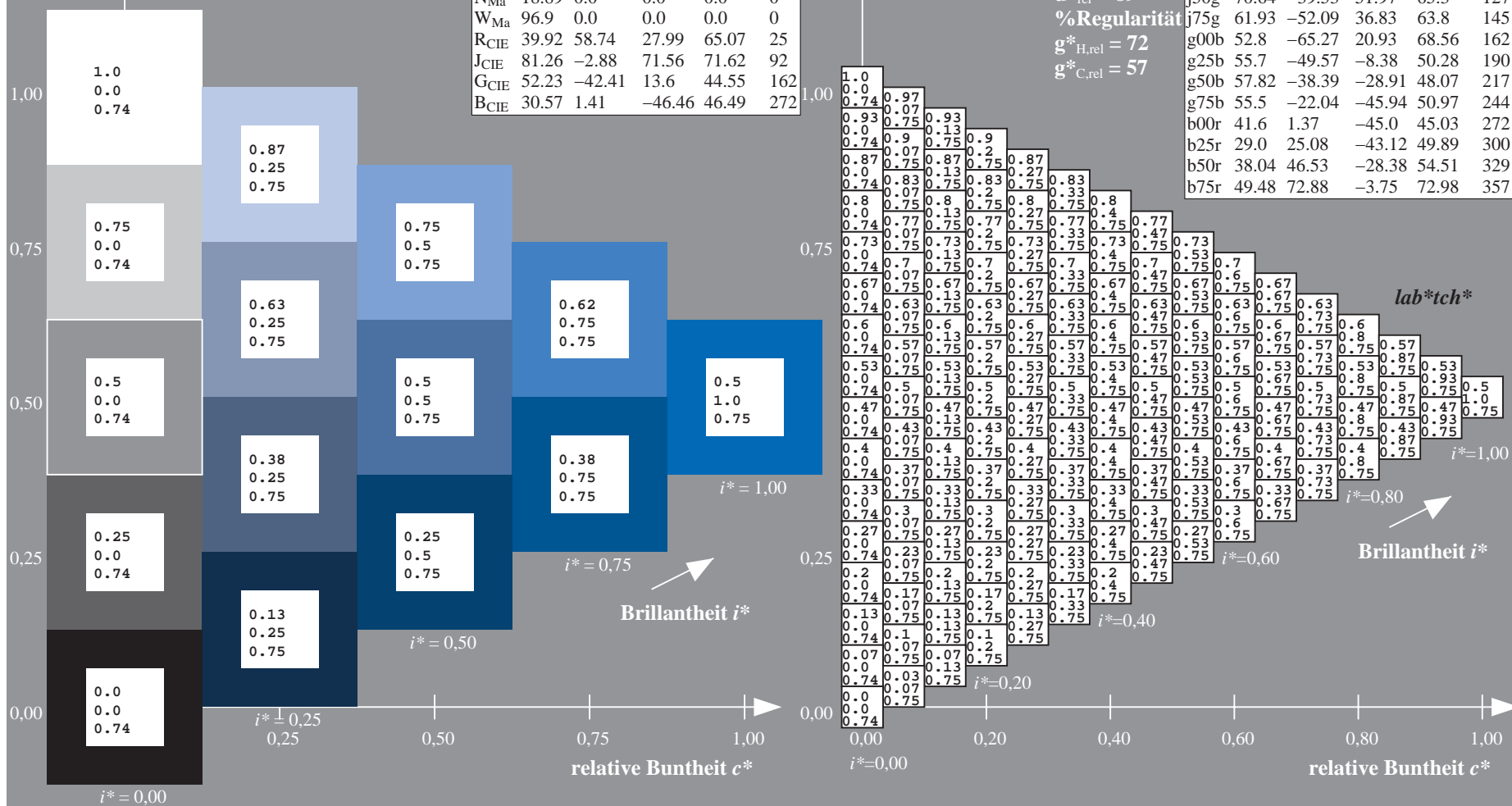
$u^*_{rel} = 89$

%Regularität

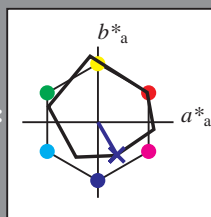
$g^*_{H,rel} = 72$

$g^*_{C,rel} = 57$

ORS19_96a; adaptierte CIELAB-Daten					
	$L^*=L^*_a$	a^*_a	b^*_a	$C^*_{ab,a}$	$h^*_{ab,a}$
r00j	48.88	66.47	31.67	73.63	25
r25j	55.85	52.39	47.48	70.7	42
r50j	65.45	35.22	58.37	68.17	59
r75j	75.19	17.82	69.41	71.66	76
j00g	87.03	-3.34	82.83	82.9	92
j25g	80.72	-25.0	69.5	73.86	110
j50g	70.64	-39.53	51.97	65.3	127
j75g	61.93	-52.09	36.83	63.8	145
g00b	52.8	-65.27	20.93	68.56	162
g25b	55.7	-49.57	-8.38	50.28	190
g50b	57.82	-38.39	-28.91	48.07	217
g75b	55.5	-22.04	-45.94	50.97	244
b00r	41.6	1.37	-45.0	45.03	272
b25r	29.0	25.08	-43.12	49.89	300
b50r	38.04	46.53	-28.38	54.51	329
b75r	49.48	72.88	-3.75	72.98	357



Ein und Ausgabe: Farbmetrisches Drucker-Reflektiv-System ORS19_96a für relativen CIELAB-Buntton $h^* = lab^*h^* = h_{ab}/360 = 300/360 = 0.834$ $u^* = b25r$
Daten für jede Farbe:
 lab^*tch^* und lab^*icu^*
Elementar-Bunttoncontext:
 $u^* = b25r$
Kontrastreduzierungsfaktor:
 $c_R = 1.0$
Dreiecks-Helligkeit t^*



ORS19_96a; adaptierte CIELAB-Daten					
	$L^*=L^*_a$	a^*_a	b^*_a	$C^*_{ab,a}$	$h^*_{ab,a}$
O _{Ma}	48.75	65.07	39.43	76.08	31
Y _{Ma}	90.92	-10.28	87.24	87.85	97
L _{Ma}	52.69	-65.43	20.75	68.65	162
C _{Ma}	59.61	-28.97	-46.21	54.56	238
V _{Ma}	28.39	23.63	-44.12	50.06	298
M _{Ma}	49.58	73.93	-9.55	74.55	353
N _{Ma}	18.89	0.0	0.0	0.0	0
W _{Ma}	96.9	0.0	0.0	0.0	0
R _{CIE}	39.92	58.74	27.99	65.07	25
J _{CIE}	81.26	-2.88	71.56	71.62	92
G _{CIE}	52.23	-42.41	13.6	44.55	162
B _{CIE}	30.57	1.41	-46.46	46.49	272

Daten für Maximalfarbe (Ma):

$LAB^*LAB^*_{Ma}$: 29 25 -42

$LAB^*LCH^*_{Ma}$: 29 50 300

$lab^*rgb^*_{Ma}$: 0.5 0.0 1.0

$lab^*olv^*_{Ma}$: 0.03 0.0 1.0

Dreiecks-Helligkeit t^*

%Umfang

$u^*_{rel} = 89$

%Regularität

$g^*_{H,rel} = 72$

$g^*_{C,rel} = 57$

ORS19_96a; adaptierte CIELAB-Daten					
	$L^*=L^*_a$	a^*_a	b^*_a	$C^*_{ab,a}$	$h^*_{ab,a}$
r00j	48.88	66.47	31.67	73.63	25
r25j	55.85	52.39	47.48	70.7	42
r50j	65.45	35.22	58.37	68.17	59
r75j	75.19	17.82	69.41	71.66	76
j00g	87.03	-3.34	82.83	82.9	92
j25g	80.72	-25.0	69.5	73.86	110
j50g	70.64	-39.53	51.97	65.3	127
j75g	61.93	-52.09	36.83	63.8	145
g00b	52.8	-65.27	20.93	68.56	162
g25b	55.7	-49.57	-8.38	50.28	190
g50b	57.82	-38.39	-28.91	48.07	217
g75b	55.5	-22.04	-45.94	50.97	244
b00r	41.6	1.37	-45.0	45.03	272
b25r	29.0	25.08	-43.12	49.89	300
b50r	38.04	46.53	-28.38	54.51	329
b75r	49.48	72.88	-3.75	72.98	357

lab^*tch^*

$i^* = 1.00$

Brillantheit i^*

$i^* = 0.80$

$i^* = 0.60$

$i^* = 0.40$

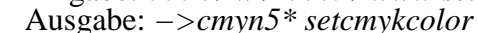
$i^* = 0.20$

$i^* = 0.00$

relative Buntheit c^*

relative Buntheit c^*

100



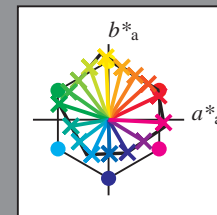
BAM-Registrierung: 20080701-Dg98/10L/L98G00NP.PS/.PDF BAM-Material: Code=rha4ta
- Anwendung für Beurteilung und Messung von Drucker- oder Monitorsystemen

Siehe ähnliche Dateien: <http://www.ps.bam.de/Dg98/>; www.ps.bam.de/Dg.HTM
Technische Information: [http://www.ps.bam.de/Version 2.1, io=1.1, ColSp=1](http://www.ps.bam.de/Version%202.1,%20io=1.1,%20ColSp=1)

[illegible]

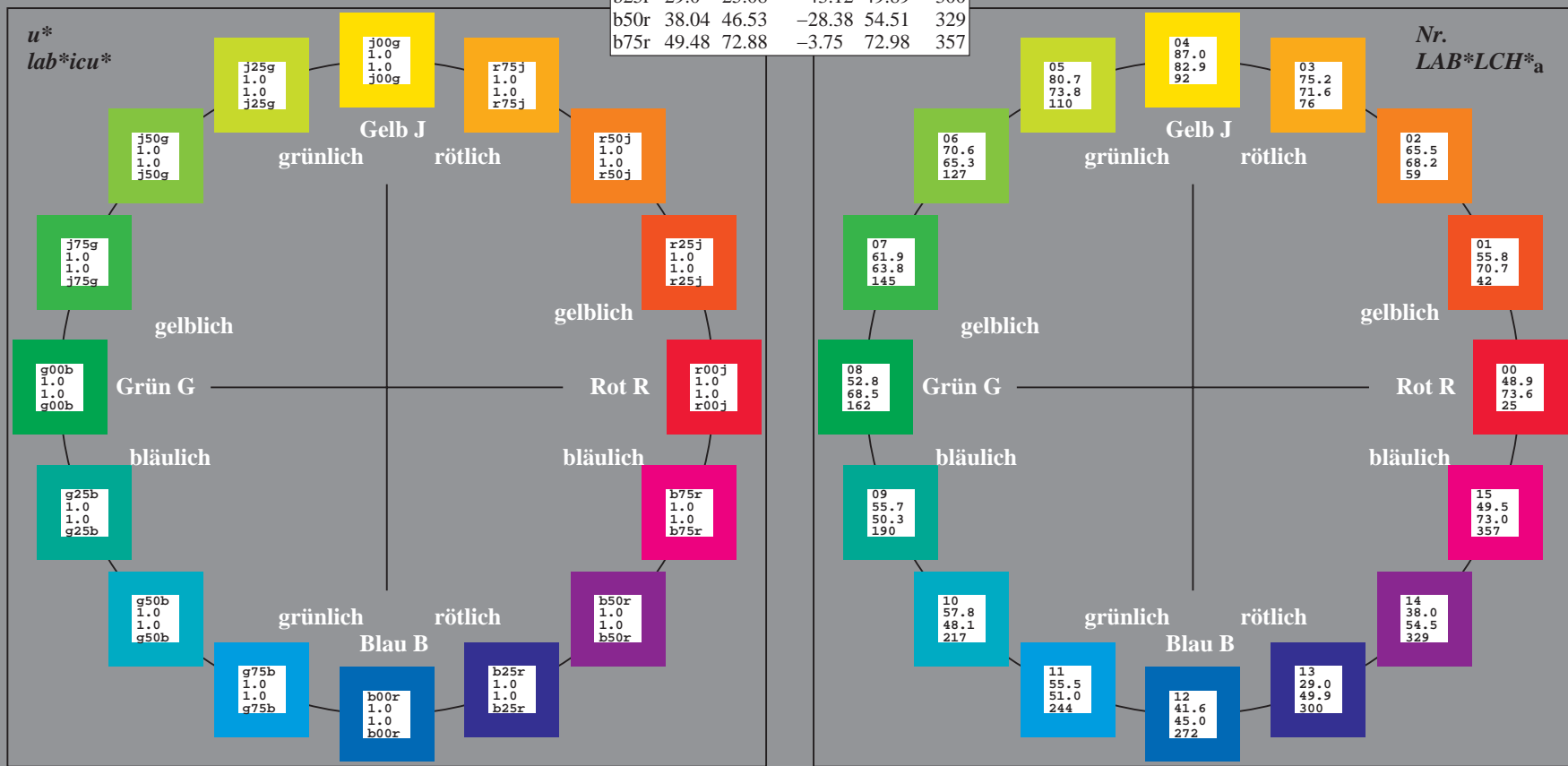
Ein und Ausgabe:
Farbmetrisches Drucker-Reflektiv-System ORS19_96a
Daten für jede Farbe:
*lab*_{tch*}* und *lab*_{icu*}*
Elementar-Bunttontext:
*u** = 16 Bunttöne *r00j*, *r25j*, ..., *b75r*
Kontrastreduzierungsfaktor:
c_R = 1.0

ORS19_96a; adaptierte CIELAB-Daten					
	<i>L*</i> _a	<i>a*</i> _a	<i>b*</i> _a	<i>C*</i> _{ab,a}	<i>h*</i> _{ab,a}
r00j	48.88	66.47	31.67	73.63	25
r25j	55.85	52.39	47.48	70.7	42
r50j	65.45	35.22	58.37	68.17	59
r75j	75.19	17.82	69.41	71.66	76
j00g	87.03	-3.34	82.83	82.9	92
j25g	80.72	-25.0	69.5	73.86	110
j50g	70.64	-39.53	51.97	65.3	127
j75g	61.93	-52.09	36.83	63.8	145
g00b	52.8	-65.27	20.93	68.56	162
g25b	55.7	-49.57	-8.38	50.28	190
g50b	57.82	-38.39	-28.91	48.07	217
g75b	55.5	-22.04	-45.94	50.97	244
b00r	41.6	1.37	-45.0	45.03	272
b25r	29.0	25.08	-43.12	49.89	300
b50r	38.04	46.53	-28.38	54.51	329
b75r	49.48	72.88	-3.75	72.98	357



%Umfang
*u**_{rel} = 89
%Regularität
*g**_{H,rel} = 72
*g**_{C,rel} = 57

ORS19_96a; adaptierte CIELAB-Daten					
	<i>L*</i> _a	<i>a*</i> _a	<i>b*</i> _a	<i>C*</i> _{ab,a}	<i>h*</i> _{ab,a}
OMa	48.75	65.07	39.43	76.08	31
YMa	90.92	-10.28	87.24	87.85	97
LMa	52.69	-65.43	20.75	68.65	162
CMa	59.61	-28.97	-46.21	54.56	238
VMa	28.39	23.63	-44.12	50.06	298
MMa	49.58	73.93	-9.55	74.55	353
NMa	18.89	0.0	0.0	0.0	0
WMa	96.9	0.0	0.0	0.0	0
RCIE	39.92	58.74	27.99	65.07	25
JCIE	81.26	-2.88	71.56	71.62	92
GCIE	52.23	-42.41	13.6	44.55	162
BCIE	30.57	1.41	-46.46	46.49	272



Ein und Ausgabe: Farbmimetrisches Drucker-Reflektiv-System ORS19_96a für relativen CIELAB-Buntton $h^* = lab^*h^* = h_{ab}/360 = 25/360 = 0.071$ $u^* = r00j$
Daten für jede Farbe:
 lab^*ch^* und lab^*icu^*

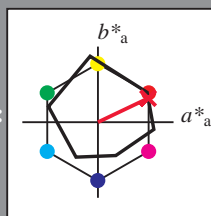
Elementar-Bunttonstext:

$u^* = r00j$

Kontrastreduzierungsfaktor:

$c_R = 1.0$

Dreiecks-Helligkeit t^*



ORS19_96a; adaptierte CIELAB-Daten					
	$L^*=L^*_a$	a^*_a	b^*_a	$C^*_{ab,a}$	$h^*_{ab,a}$
O _{Ma}	48.75	65.07	39.43	76.08	31
Y _{Ma}	90.92	-10.28	87.24	87.85	97
L _{Ma}	52.69	-65.43	20.75	68.65	162
C _{Ma}	59.61	-28.97	-46.21	54.56	238
V _{Ma}	28.39	23.63	-44.12	50.06	298
M _{Ma}	49.58	73.93	-9.55	74.55	353
N _{Ma}	18.89	0.0	0.0	0.0	0
W _{Ma}	96.9	0.0	0.0	0.0	0
R _{CIE}	39.92	58.74	27.99	65.07	25
J _{CIE}	81.26	-2.88	71.56	71.62	92
G _{CIE}	52.23	-42.41	13.6	44.55	162
B _{CIE}	30.57	1.41	-46.46	46.49	272

Daten für Maximalfarbe (Ma):

$LAB^*LAB^*_{Ma}$: 49 66 32

$LAB^*LCH^*_{Ma}$: 49 74 25

$lab^*rgb^*_{Ma}$: 1.0 0.0 0.0

$lab^*olv^*_{Ma}$: 1.0 0.0 0.16

Dreiecks-Helligkeit t^*

%Umfang

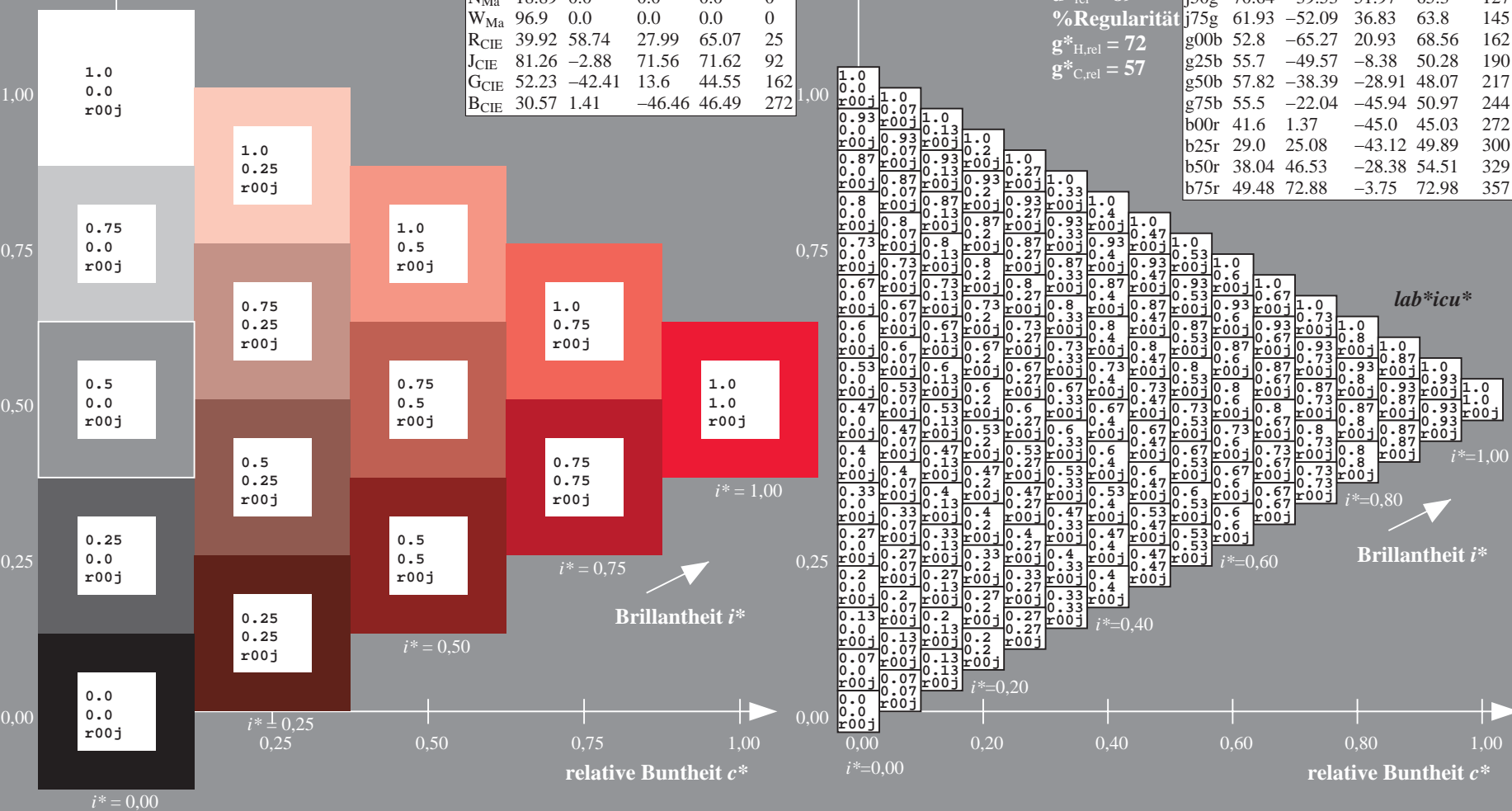
$u^*_{rel} = 89$

%Regularität

$g^*_{H,rel} = 72$

$g^*_{C,rel} = 57$

ORS19_96a; adaptierte CIELAB-Daten					
	$L^*=L^*_a$	a^*_a	b^*_a	$C^*_{ab,a}$	$h^*_{ab,a}$
r00j	48.88	66.47	31.67	73.63	25
r25j	55.85	52.39	47.48	70.7	42
r50j	65.45	35.22	58.37	68.17	59
r75j	75.19	17.82	69.41	71.66	76
j00g	87.03	-3.34	82.83	82.9	92
j25g	80.72	-25.0	69.5	73.86	110
j50g	70.64	-39.53	51.97	65.3	127
j75g	61.93	-52.09	36.83	63.8	145
g00b	52.8	-65.27	20.93	68.56	162
g25b	55.7	-49.57	-8.38	50.28	190
g50b	57.82	-38.39	-28.91	48.07	217
g75b	55.5	-22.04	-45.94	50.97	244
b00r	41.6	1.37	-45.0	45.03	272
b25r	29.0	25.08	-43.12	49.89	300
b50r	38.04	46.53	-28.38	54.51	329
b75r	49.48	72.88	-3.75	72.98	357



Ein und Ausgabe: Farbmetrisches Drucker-Reflektiv-System ORS19_96a für relativen CIELAB-Buntton $h^* = lab^*h^* = h_{ab}/360 = 42/360 = 0.117$ $u^* = r25j$
Daten für jede Farbe:
 lab^*ch^* und lab^*icu^*

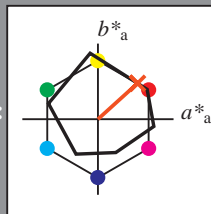
Elementar-Bunttontext:

$u^* = r25j$

Kontrastreduzierungsfaktor:

$c_R = 1.0$

Dreiecks-Helligkeit t^*



ORS19_96a; adaptierte CIELAB-Daten					
	$L^*=L^*_a$	a^*_a	b^*_a	$C^*_{ab,a}$	$h^*_{ab,a}$
O _{Ma}	48.75	65.07	39.43	76.08	31
Y _{Ma}	90.92	-10.28	87.24	87.85	97
L _{Ma}	52.69	-65.43	20.75	68.65	162
C _{Ma}	59.61	-28.97	-46.21	54.56	238
V _{Ma}	28.39	23.63	-44.12	50.06	298
M _{Ma}	49.58	73.93	-9.55	74.55	353
N _{Ma}	18.89	0.0	0.0	0.0	0
W _{Ma}	96.9	0.0	0.0	0.0	0
R _{CIE}	39.92	58.74	27.99	65.07	25
J _{CIE}	81.26	-2.88	71.56	71.62	92
G _{CIE}	52.23	-42.41	13.6	44.55	162
B _{CIE}	30.57	1.41	-46.46	46.49	272

Daten für Maximalfarbe (Ma):

$LAB^*LAB^*_{Ma}$: 56 52 47

$LAB^*LCH^*_{Ma}$: 56 71 42

$lab^*rgb^*_{Ma}$: 1.0 0.25 0.0

$lab^*olv^*_{Ma}$: 1.0 0.17 0.0

Dreiecks-Helligkeit t^*

%Umfang

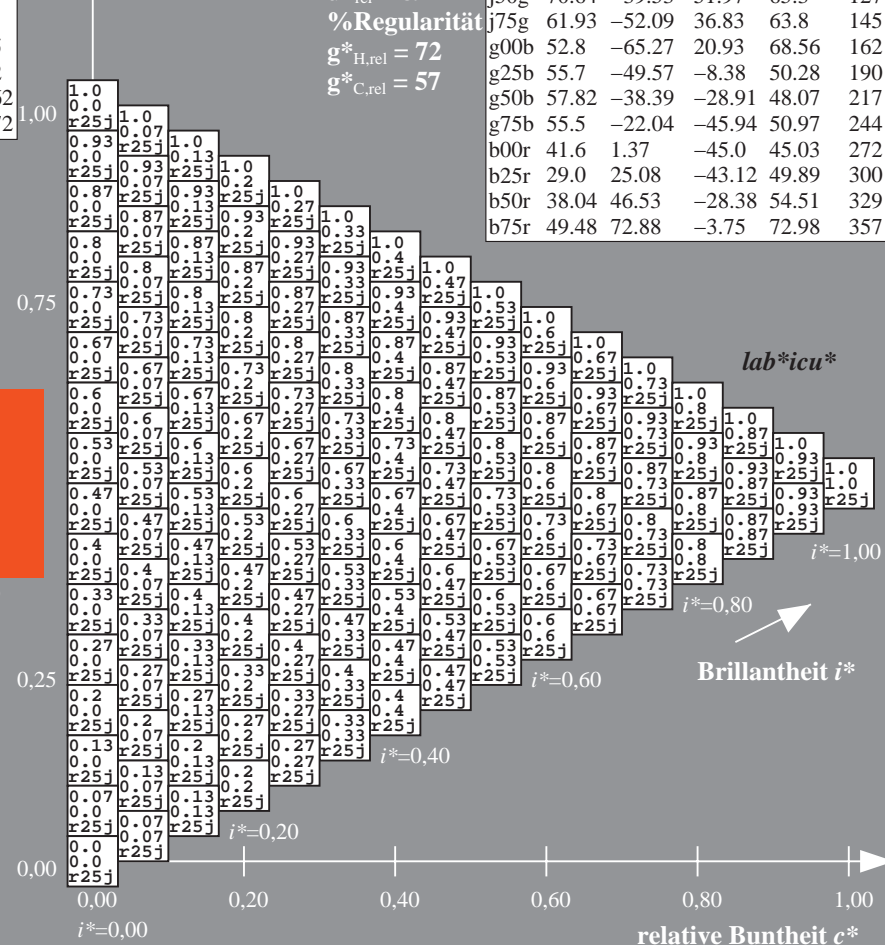
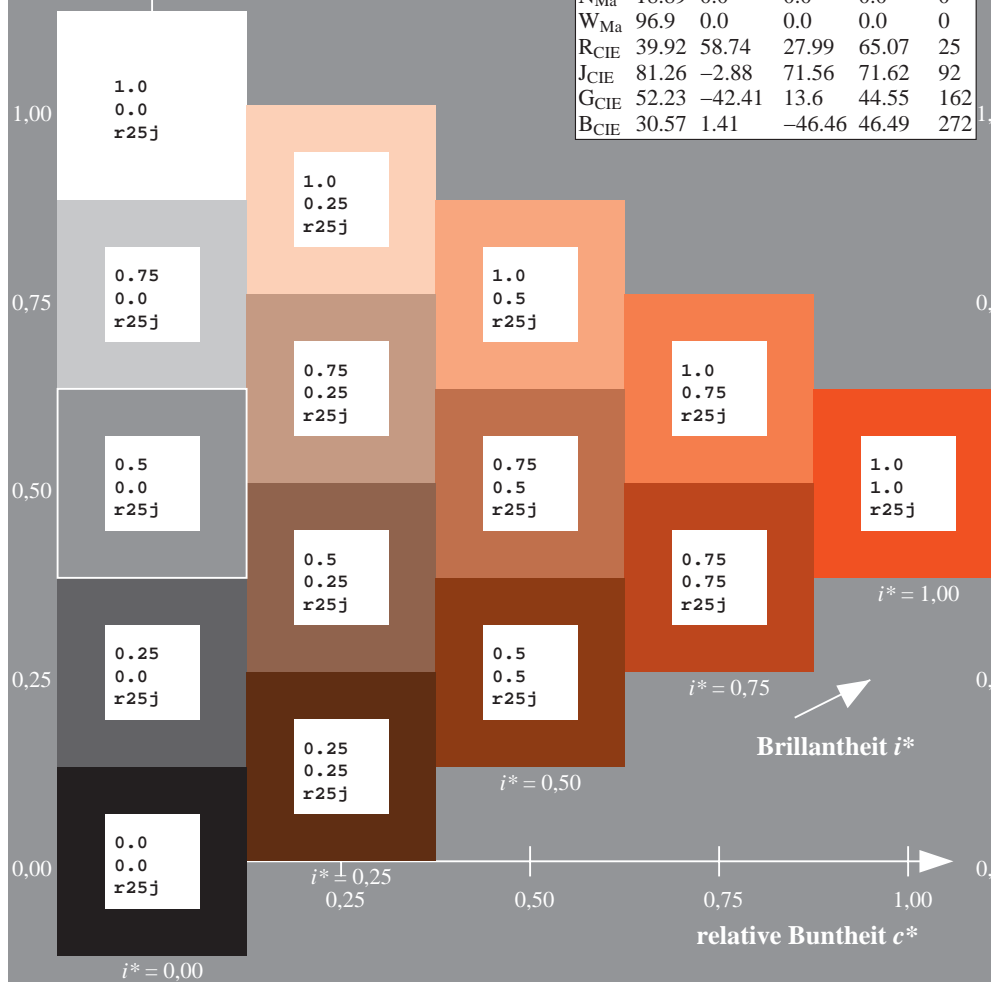
$u^*_{rel} = 89$

%Regularität

$g^*_{H,rel} = 72$

$g^*_{C,rel} = 57$

ORS19_96a; adaptierte CIELAB-Daten					
	$L^*=L^*_a$	a^*_a	b^*_a	$C^*_{ab,a}$	$h^*_{ab,a}$
r00j	48.88	66.47	31.67	73.63	25
r25j	55.85	52.39	47.48	70.7	42
r50j	65.45	35.22	58.37	68.17	59
r75j	75.19	17.82	69.41	71.66	76
j00g	87.03	-3.34	82.83	82.9	92
j25g	80.72	-25.0	69.5	73.86	110
j50g	70.64	-39.53	51.97	65.3	127
j75g	61.93	-52.09	36.83	63.8	145
g00b	52.8	-65.27	20.93	68.56	162
g25b	55.7	-49.57	-8.38	50.28	190
g50b	57.82	-38.39	-28.91	48.07	217
g75b	55.5	-22.04	-45.94	50.97	244
b00r	41.6	1.37	-45.0	45.03	272
b25r	29.0	25.08	-43.12	49.89	300
b50r	38.04	46.53	-28.38	54.51	329
b75r	49.48	72.88	-3.75	72.98	357



Ein und Ausgabe: Farbmetrisches Drucker-Reflektiv-System ORS19_96a für relativen CIELAB-Buntton $h^* = lab^*h^* = h_{ab}/360 = 76/360 = 0.21$ $u^* = r75j$
Daten für jede Farbe:
 lab^*ch^* und lab^*icu^*

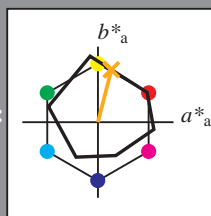
Elementar-Bunttontext:

$u^* = r75j$

Kontrastreduzierungsfaktor:

$c_R = 1.0$

Dreiecks-Helligkeit i^*



ORS19_96a; adaptierte CIELAB-Daten					
	$L^*=L_a^*$	a_a^*	b_a^*	$C^*_{ab,a}$	$h^*_{ab,a}$
O _{Ma}	48.75	65.07	39.43	76.08	31
Y _{Ma}	90.92	-10.28	87.24	87.85	97
L _{Ma}	52.69	-65.43	20.75	68.65	162
C _{Ma}	59.61	-28.97	-46.21	54.56	238
V _{Ma}	28.39	23.63	-44.12	50.06	298
M _{Ma}	49.58	73.93	-9.55	74.55	353
N _{Ma}	18.89	0.0	0.0	0.0	0
W _{Ma}	96.9	0.0	0.0	0.0	0
R _{CIE}	39.92	58.74	27.99	65.07	25
J _{CIE}	81.26	-2.88	71.56	71.62	92
G _{CIE}	52.23	-42.41	13.6	44.55	162
B _{CIE}	30.57	1.41	-46.46	46.49	272

Daten für Maximalfarbe (Ma):

$LAB^*LAB^*_{Ma}$: 75 18 69

$LAB^*LCH^*_{Ma}$: 75 72 76

$lab^*rgb^*_{Ma}$: 1.0 0.75 0.0

$lab^*olv^*_{Ma}$: 1.0 0.63 0.0

Dreiecks-Helligkeit i^*

%Umfang

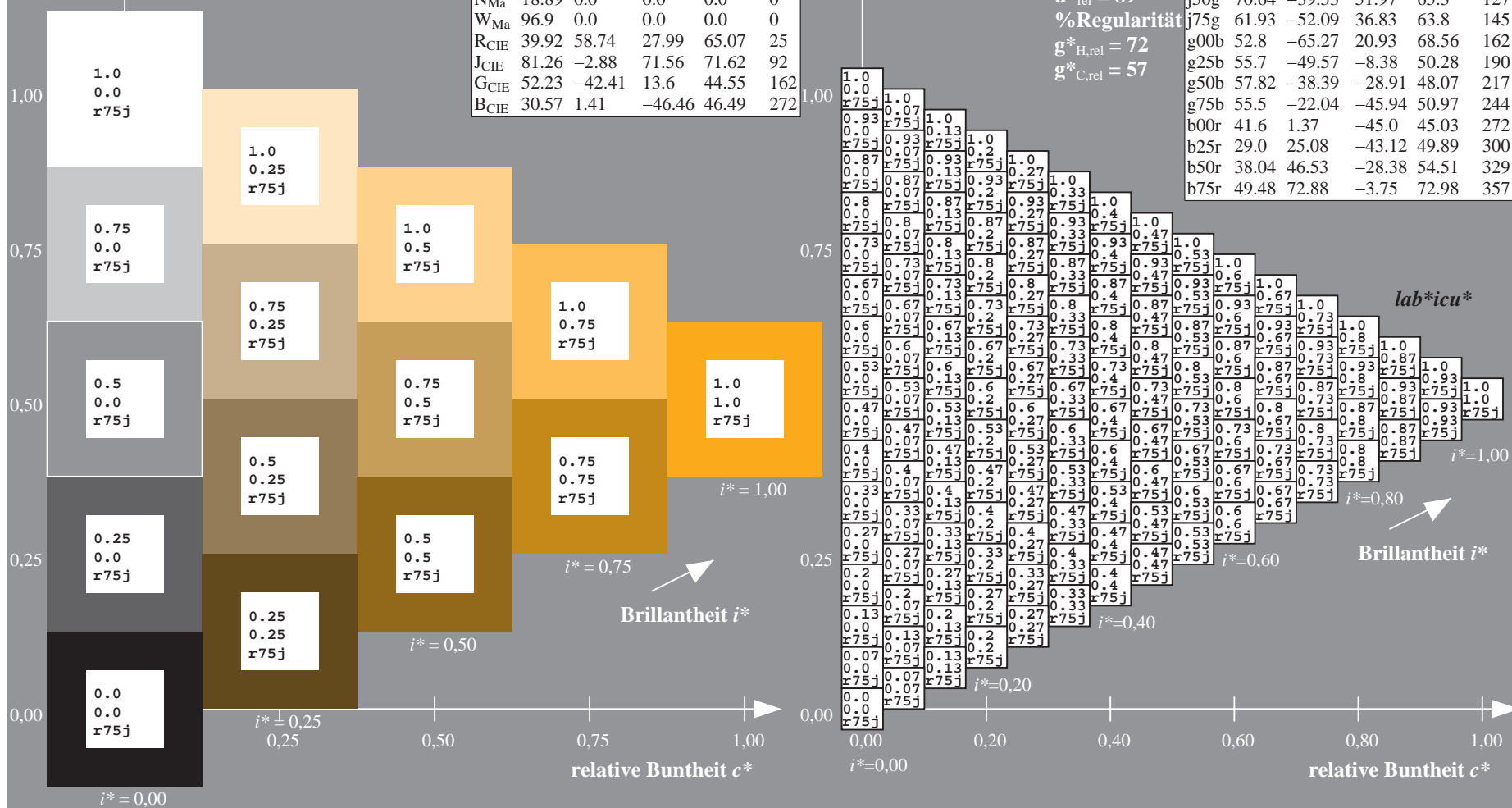
$u^*_{rel} = 89$

%Regularität

$g^*_{H,rel} = 72$

$g^*_{C,rel} = 57$

ORS19_96a; adaptierte CIELAB-Daten					
	$L^*=L_a^*$	a_a^*	b_a^*	$C^*_{ab,a}$	$h^*_{ab,a}$
r00j	48.88	66.47	31.67	73.63	25
r25j	55.85	52.39	47.48	70.7	42
r50j	65.45	35.22	58.37	68.17	59
r75j	75.19	17.82	69.41	71.66	76
j00g	87.03	-3.34	82.83	82.9	92
j25g	80.72	-25.0	69.5	73.86	110
j50g	70.64	-39.53	51.97	65.3	127
j75g	61.93	-52.09	36.83	63.8	145
g00b	52.8	-65.27	20.93	68.56	162
g25b	55.7	-49.57	-8.38	50.28	190
g50b	57.82	-38.39	-28.91	48.07	217
g75b	55.5	-22.04	-45.94	50.97	244
b00r	41.6	1.37	-45.0	45.03	272
b25r	29.0	25.08	-43.12	49.89	300
b50r	38.04	46.53	-28.38	54.51	329
b75r	49.48	72.88	-3.75	72.98	357



Ein und Ausgabe: Farbmetrisches Drucker-Reflektiv-System ORS19_96a für relativen CIELAB-Buntton $h^* = lab^*h^* = h_{ab}/360 = 92/360 = 0.256$ $u^* = j00g$
Daten für jede Farbe: lab^*ch^* und lab^*icu^*

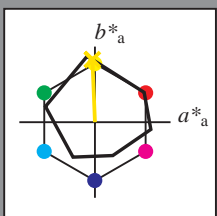
Elementar-Bunttontext:

$u^* = j00g$

Kontrastreduzierungsfaktor:

$c_R = 1.0$

Dreiecks-Helligkeit t^*



ORS19_96a; adaptierte CIELAB-Daten					
	$L^*=L_a^*$	a_a^*	b_a^*	$C^*_{ab,a}$	$h^*_{ab,a}$
O _{Ma}	48.75	65.07	39.43	76.08	31
Y _{Ma}	90.92	-10.28	87.24	87.85	97
L _{Ma}	52.69	-65.43	20.75	68.65	162
C _{Ma}	59.61	-28.97	-46.21	54.56	238
V _{Ma}	28.39	23.63	-44.12	50.06	298
M _{Ma}	49.58	73.93	-9.55	74.55	353
N _{Ma}	18.89	0.0	0.0	0.0	0
W _{Ma}	96.9	0.0	0.0	0.0	0
R _{CIE}	39.92	58.74	27.99	65.07	25
J _{CIE}	81.26	-2.88	71.56	71.62	92
G _{CIE}	52.23	-42.41	13.6	44.55	162
B _{CIE}	30.57	1.41	-46.46	46.49	272

Daten für Maximalfarbe (Ma):

$LAB^*LAB^*_{Ma}$: 87 -2 83

$LAB^*LCH^*_{Ma}$: 87 83 92

$lab^*rgb^*_{Ma}$: 1.0 1.0 0.0

$lab^*olv^*_{Ma}$: 1.0 0.91 0.0

Dreiecks-Helligkeit t^*

%Umfang

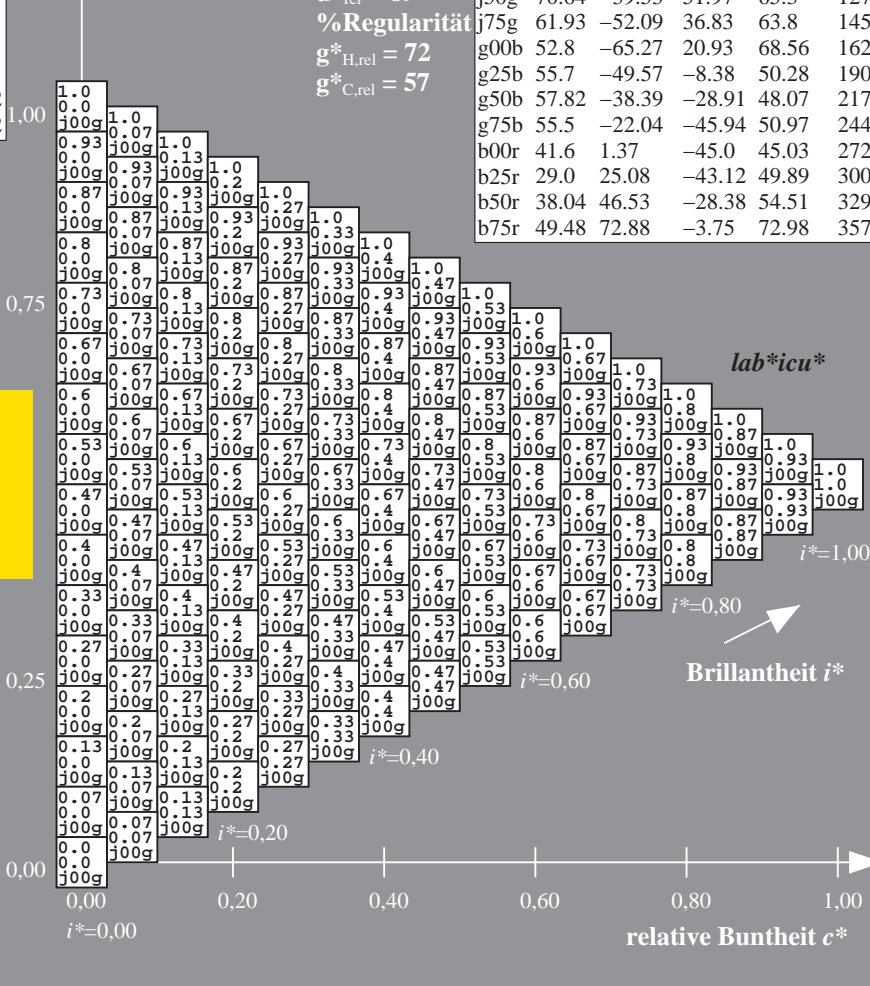
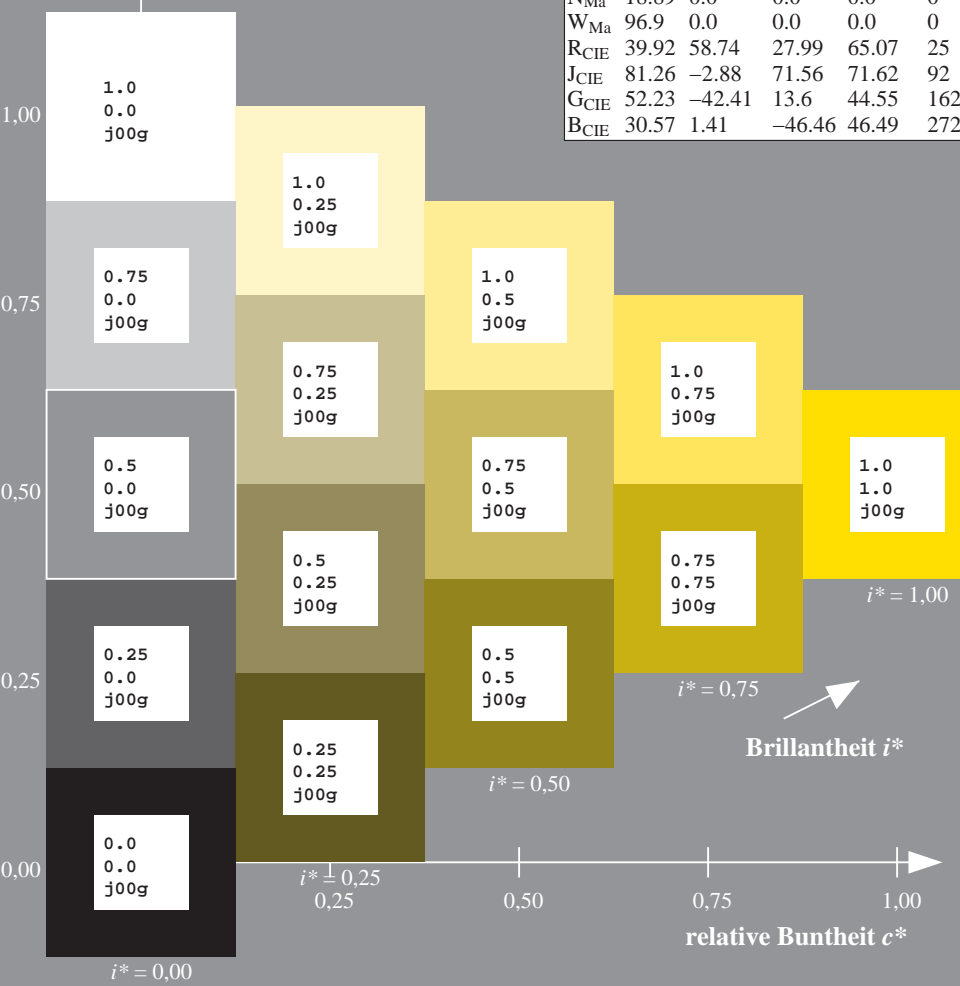
$u^*_{rel} = 89$

%Regularität

$g^*_{H,rel} = 72$

$g^*_{C,rel} = 57$

ORS19_96a; adaptierte CIELAB-Daten					
	$L^*=L_a^*$	a_a^*	b_a^*	$C^*_{ab,a}$	$h^*_{ab,a}$
r00j	48.88	66.47	31.67	73.63	25
r25j	55.85	52.39	47.48	70.7	42
r50j	65.45	35.22	58.37	68.17	59
r75j	75.19	17.82	69.41	71.66	76
j00g	87.03	-3.34	82.83	82.9	92
j25g	80.72	-25.0	69.5	73.86	110
j50g	70.64	-39.53	51.97	65.3	127
j75g	61.93	-52.09	36.83	63.8	145
g00b	52.8	-65.27	20.93	68.56	162
g25b	55.7	-49.57	-8.38	50.28	190
g50b	57.82	-38.39	-28.91	48.07	217
g75b	55.5	-22.04	-45.94	50.97	244
b00r	41.6	1.37	-45.0	45.03	272
b25r	29.0	25.08	-43.12	49.89	300
b50r	38.04	46.53	-28.38	54.51	329
b75r	49.48	72.88	-3.75	72.98	357



Ein und Ausgabe: Farbmetrisches Drucker-Reflektiv-System ORS19_96a für relativen CIELAB-Buntton $h^* = lab^*h^* = h_{ab}/360 = 110/360 = 0.305$ $u^* = j25g$
Daten für jede Farbe: lab^*ch^* und lab^*icu^*

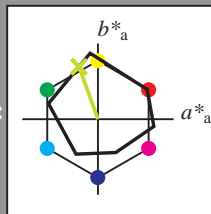
Elementar-Bunttontext:

$u^* = j25g$

Kontrastreduzierungsfaktor:

$c_R = 1.0$

Dreiecks-Helligkeit i^*



ORS19_96a; adaptierte CIELAB-Daten					
	$L^*=L^*_a$	a^*_a	b^*_a	$C^*_{ab,a}$	$h^*_{ab,a}$
O _{Ma}	48.75	65.07	39.43	76.08	31
Y _{Ma}	90.92	-10.28	87.24	87.85	97
L _{Ma}	52.69	-65.43	20.75	68.65	162
C _{Ma}	59.61	-28.97	-46.21	54.56	238
V _{Ma}	28.39	23.63	-44.12	50.06	298
M _{Ma}	49.58	73.93	-9.55	74.55	353
N _{Ma}	18.89	0.0	0.0	0.0	0
W _{Ma}	96.9	0.0	0.0	0.0	0
R _{CIE}	39.92	58.74	27.99	65.07	25
J _{CIE}	81.26	-2.88	71.56	71.62	92
G _{CIE}	52.23	-42.41	13.6	44.55	162
B _{CIE}	30.57	1.41	-46.46	46.49	272

Daten für Maximalfarbe (Ma):

$LAB^*LAB^*_{Ma}$: 81 -24 69

$LAB^*LCH^*_{Ma}$: 81 74 110

$lab^*rgb^*_{Ma}$: 0.75 1.0 0.0

$lab^*olv^*_{Ma}$: 0.73 1.0 0.0

Dreiecks-Helligkeit i^*

%Umfang

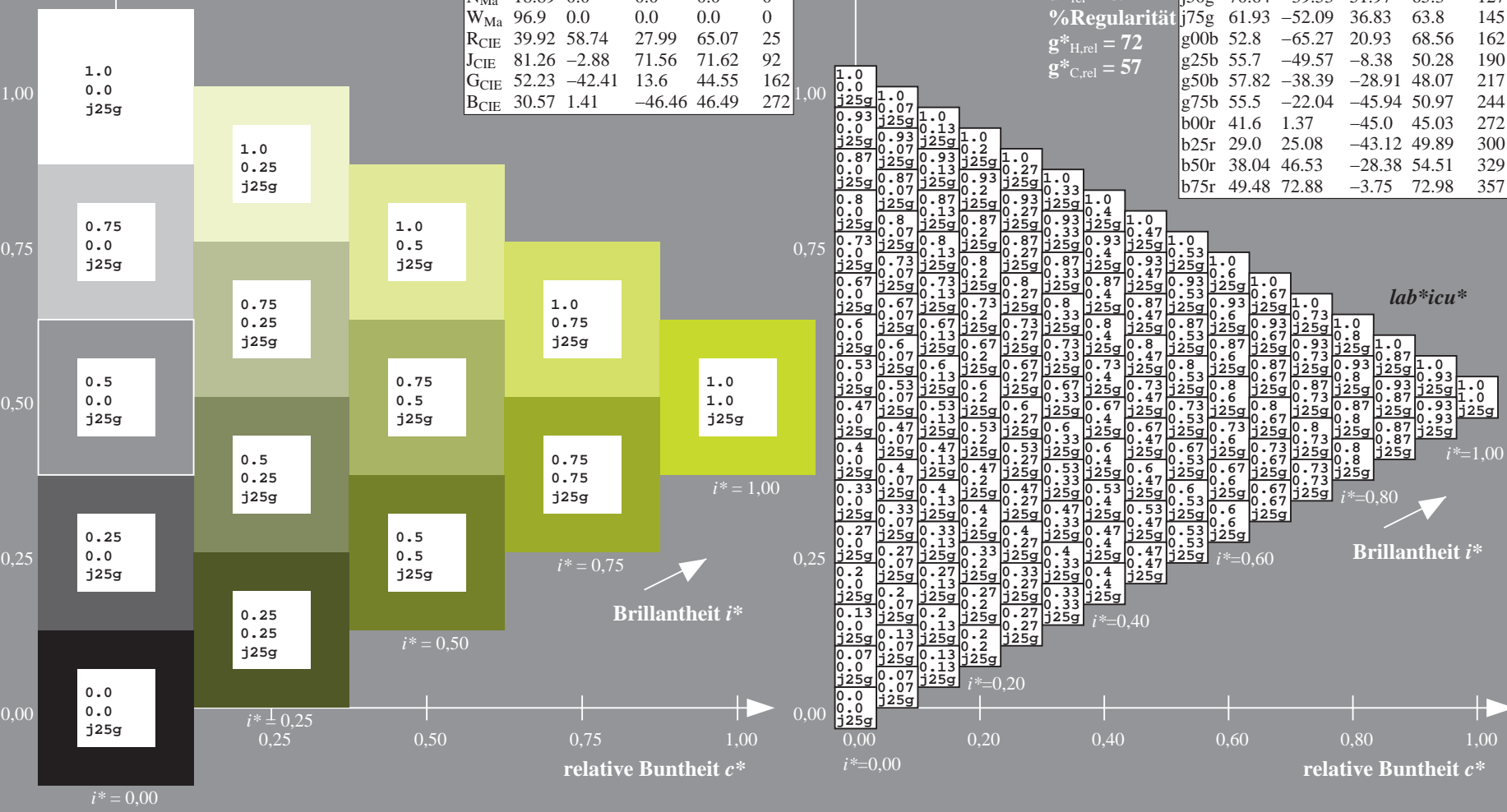
$u^*_{rel} = 89$

%Regularität

$g^*_{H,rel} = 72$

$g^*_{C,rel} = 57$

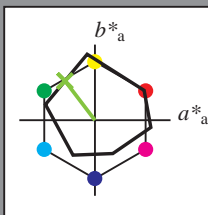
ORS19_96a; adaptierte CIELAB-Daten					
	$L^*=L^*_a$	a^*_a	b^*_a	$C^*_{ab,a}$	$h^*_{ab,a}$
r00j	48.88	66.47	31.67	73.63	25
r25j	55.85	52.39	47.48	70.7	42
r50j	65.45	35.22	58.37	68.17	59
r75j	75.19	17.82	69.41	71.66	76
j00g	87.03	-3.34	82.83	82.9	92
j25g	80.72	-25.0	69.5	73.86	110
j50g	70.64	-39.53	51.97	65.3	127
j75g	61.93	-52.09	36.83	63.8	145
g00b	52.8	-65.27	20.93	68.56	162
g25b	55.7	-49.57	-8.38	50.28	190
g50b	57.82	-38.39	-28.91	48.07	217
g75b	55.5	-22.04	-45.94	50.97	244
b00r	41.6	1.37	-45.0	45.03	272
b25r	29.0	25.08	-43.12	49.89	300
b50r	38.04	46.53	-28.38	54.51	329
b75r	49.48	72.88	-3.75	72.98	357



Ein und Ausgabe: Farbmetrisches Drucker-Reflektiv-System ORS19_96a für relativen CIELAB-Buntton $h^* = lab^*h^* = h_{ab}/360 = 127/360 = 0.354$ $u^* = j50g$
Daten für jede Farbe:
 lab^*ch^* und lab^*icu^*

Elementar-Bunttontext:
 $u^* = j50g$

Kontrastreduzierungsfaktor:
 $c_R = 1.0$
Dreiecks-Helligkeit i^*



ORS19_96a; adaptierte CIELAB-Daten					
	$L^*=L^*_a$	a^*_a	b^*_a	$C^*_{ab,a}$	$h^*_{ab,a}$
O _{Ma}	48.75	65.07	39.43	76.08	31
Y _{Ma}	90.92	-10.28	87.24	87.85	97
L _{Ma}	52.69	-65.43	20.75	68.65	162
C _{Ma}	59.61	-28.97	-46.21	54.56	238
V _{Ma}	28.39	23.63	-44.12	50.06	298
M _{Ma}	49.58	73.93	-9.55	74.55	353
N _{Ma}	18.89	0.0	0.0	0.0	0
W _{Ma}	96.9	0.0	0.0	0.0	0
R _{CIE}	39.92	58.74	27.99	65.07	25
J _{CIE}	81.26	-2.88	71.56	71.62	92
G _{CIE}	52.23	-42.41	13.6	44.55	162
B _{CIE}	30.57	1.41	-46.46	46.49	272

Daten für Maximalfarbe (Ma):

$LAB^*LAB^*_{Ma}$: 71 -39 52

$LAB^*LCH^*_{Ma}$: 71 65 127

$lab^*rgb^*_{Ma}$: 0.5 1.0 0.0

$lab^*olv^*_{Ma}$: 0.47 1.0 0.0

Dreiecks-Helligkeit i^*

%Umfang

$u^*_{rel} = 89$

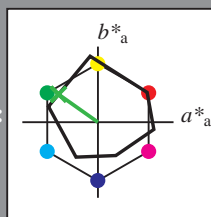
%Regularität

$g^*_{H,rel} = 72$

$g^*_{C,rel} = 57$

ORS19_96a; adaptierte CIELAB-Daten					
	$L^*=L^*_a$	a^*_a	b^*_a	$C^*_{ab,a}$	$h^*_{ab,a}$
r00j	48.88	66.47	31.67	73.63	25
r25j	55.85	52.39	47.48	70.7	42
r50j	65.45	35.22	58.37	68.17	59
r75j	75.19	17.82	69.41	71.66	76
j00g	87.03	-3.34	82.83	82.9	92
j25g	80.72	-25.0	69.5	73.86	110
j50g	70.64	-39.53	51.97	65.3	127
j75g	61.93	-52.09	36.83	63.8	145
g00b	52.8	-65.27	20.93	68.56	162
g25b	55.7	-49.57	-8.38	50.28	190
g50b	57.82	-38.39	-28.91	48.07	217
g75b	55.5	-22.04	-45.94	50.97	244
b00r	41.6	1.37	-45.0	45.03	272
b25r	29.0	25.08	-43.12	49.89	300
b50r	38.04	46.53	-28.38	54.51	329
b75r	49.48	72.88	-3.75	72.98	357

Ein und Ausgabe: Farbmetrisches Drucker-Reflektiv-System ORS19_96a für relativen CIELAB-Buntton $h^* = lab^*h^* = h_{ab}/360 = 145/360 = 0.402$ $u^* = j75g$
Daten für jede Farbe:
 lab^*ch^* und lab^*icu^*
Elementar-Bunttontext:
 $u^* = j75g$
Kontrastreduzierungsfaktor:
 $c_R = 1.0$
Dreiecks-Helligkeit i^*



ORS19_96a; adaptierte CIELAB-Daten					
	$L^*=L^*_a$	a^*_a	b^*_a	$C^*_{ab,a}$	$h^*_{ab,a}$
O _{Ma}	48.75	65.07	39.43	76.08	31
Y _{Ma}	90.92	-10.28	87.24	87.85	97
L _{Ma}	52.69	-65.43	20.75	68.65	162
C _{Ma}	59.61	-28.97	-46.21	54.56	238
V _{Ma}	28.39	23.63	-44.12	50.06	298
M _{Ma}	49.58	73.93	-9.55	74.55	353
N _{Ma}	18.89	0.0	0.0	0.0	0
W _{Ma}	96.9	0.0	0.0	0.0	0
R _{CIE}	39.92	58.74	27.99	65.07	25
J _{CIE}	81.26	-2.88	71.56	71.62	92
G _{CIE}	52.23	-42.41	13.6	44.55	162
B _{CIE}	30.57	1.41	-46.46	46.49	272

Daten für Maximalfarbe (Ma):

$LAB^*LAB^*_{Ma}$: 62 -51 37

$LAB^*LCH^*_{Ma}$: 62 64 145

$lab^*rgb^*_{Ma}$: 0.25 1.0 0.0

$lab^*olv^*_{Ma}$: 0.24 1.0 0.0

Dreiecks-Helligkeit i^*

%Umfang

$u^*_{rel} = 89$

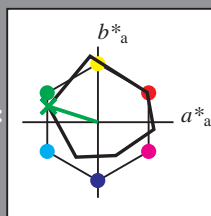
%Regularität

$g^*_{H,rel} = 72$

$g^*_{C,rel} = 57$

ORS19_96a; adaptierte CIELAB-Daten					
	$L^*=L^*_a$	a^*_a	b^*_a	$C^*_{ab,a}$	$h^*_{ab,a}$
r00j	48.88	66.47	31.67	73.63	25
r25j	55.85	52.39	47.48	70.7	42
r50j	65.45	35.22	58.37	68.17	59
r75j	75.19	17.82	69.41	71.66	76
j00g	87.03	-3.34	82.83	82.9	92
j25g	80.72	-25.0	69.5	73.86	110
j50g	70.64	-39.53	51.97	65.3	127
j75g	61.93	-52.09	36.83	63.8	145
g00b	52.8	-65.27	20.93	68.56	162
g25b	55.7	-49.57	-8.38	50.28	190
g50b	57.82	-38.39	-28.91	48.07	217
g75b	55.5	-22.04	-45.94	50.97	244
b00r	41.6	1.37	-45.0	45.03	272
b25r	29.0	25.08	-43.12	49.89	300
b50r	38.04	46.53	-28.38	54.51	329
b75r	49.48	72.88	-3.75	72.98	357

Ein und Ausgabe: Farbmetrisches Drucker-Reflektiv-System ORS19_96a für relativen CIELAB-Buntton $h^* = lab^*h^* = h_{ab}/360 = 162/360 = 0.451$ $u^* = g00b$
Daten für jede Farbe:
 lab^*ch^* und lab^*icu^*
Elementar-Bunttontext:
 $u^* = g00b$
Kontrastreduzierungsfaktor:
 $c_R = 1.0$
Dreiecks-Helligkeit t^*



ORS19_96a; adaptierte CIELAB-Daten					
	$L^*=L^*_a$	a^*_a	b^*_a	$C^*_{ab,a}$	$h^*_{ab,a}$
O _{Ma}	48.75	65.07	39.43	76.08	31
Y _{Ma}	90.92	-10.28	87.24	87.85	97
L _{Ma}	52.69	-65.43	20.75	68.65	162
C _{Ma}	59.61	-28.97	-46.21	54.56	238
V _{Ma}	28.39	23.63	-44.12	50.06	298
M _{Ma}	49.58	73.93	-9.55	74.55	353
N _{Ma}	18.89	0.0	0.0	0.0	0
W _{Ma}	96.9	0.0	0.0	0.0	0
R _{CIE}	39.92	58.74	27.99	65.07	25
J _{CIE}	81.26	-2.88	71.56	71.62	92
G _{CIE}	52.23	-42.41	13.6	44.55	162
B _{CIE}	30.57	1.41	-46.46	46.49	272

Daten für Maximalfarbe (Ma):

$LAB^*LAB^*_{Ma}$: 53 -64 21

$LAB^*LCH^*_{Ma}$: 53 69 162

$lab^*rgb^*_{Ma}$: 0.0 1.0 0.0

$lab^*olv^*_{Ma}$: 0.0 1.0 0.0

Dreiecks-Helligkeit t^*

%Umfang

$u^*_{rel} = 89$

%Regularität

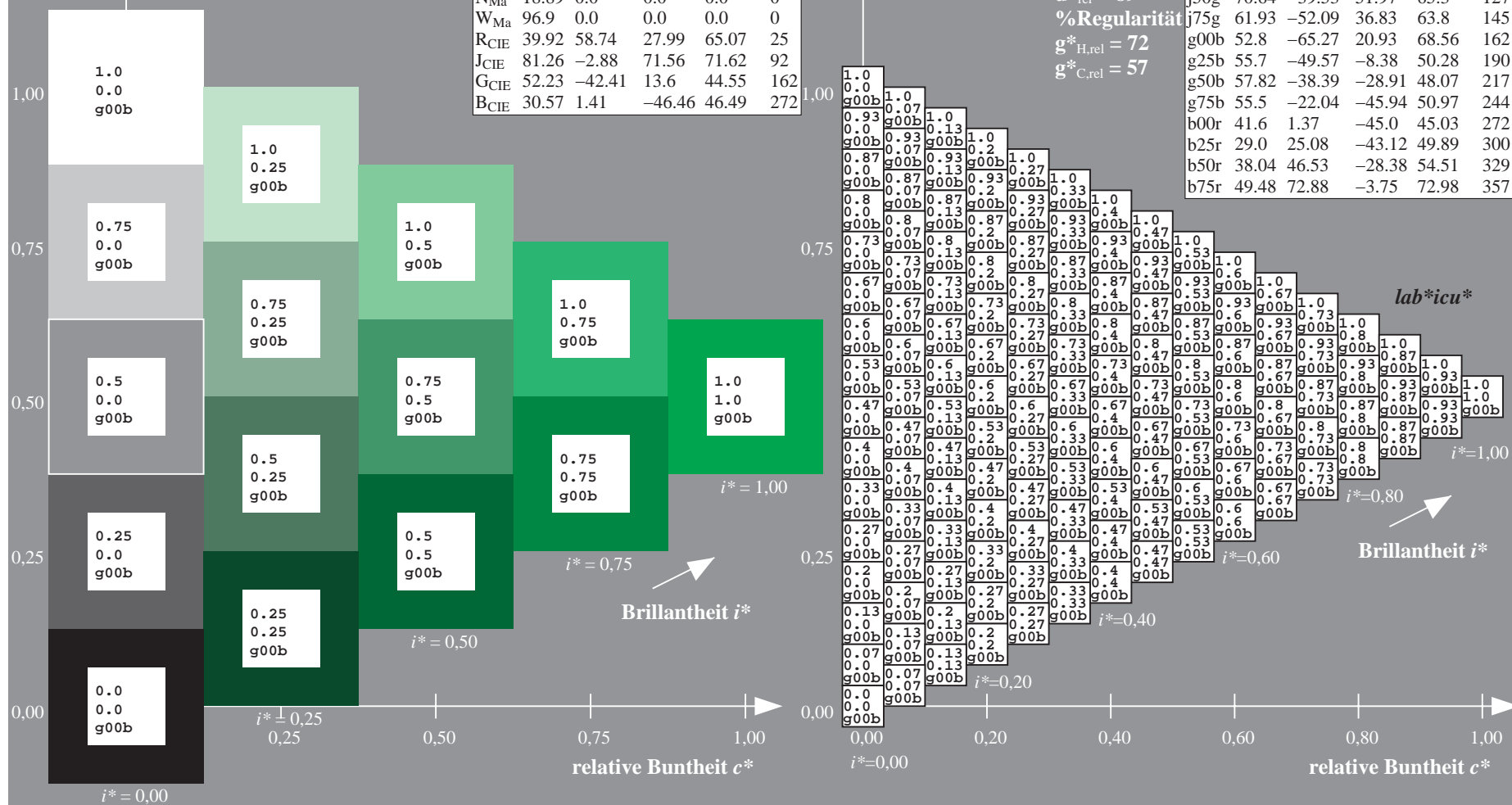
$g^*_{H,rel} = 72$

$g^*_{C,rel} = 57$

ORS19_96a; adaptierte CIELAB-Daten					
	$L^*=L^*_a$	a^*_a	b^*_a	$C^*_{ab,a}$	$h^*_{ab,a}$
r00j	48.88	66.47	31.67	73.63	25
r25j	55.85	52.39	47.48	70.7	42
r50j	65.45	35.22	58.37	68.17	59
r75j	75.19	17.82	69.41	71.66	76
j00g	87.03	-3.34	82.83	82.9	92
j25g	80.72	-25.0	69.5	73.86	110
j50g	70.64	-39.53	51.97	65.3	127
j75g	61.93	-52.09	36.83	63.8	145
g00b	52.8	-65.27	20.93	68.56	162
g25b	55.7	-49.57	-8.38	50.28	190
g50b	57.82	-38.39	-28.91	48.07	217
g75b	55.5	-22.04	-45.94	50.97	244
b00r	41.6	1.37	-45.0	45.03	272
b25r	29.0	25.08	-43.12	49.89	300
b50r	38.04	46.53	-28.38	54.51	329
b75r	49.48	72.88	-3.75	72.98	357

Siehe ähnliche Dateien: <http://www.ps.bam.de/Dg98/>; www.ps.bam.de/Dg98/HTM
Technische Information: <http://www.ps.bam.de> Version 2.1, io=1,1, ColSpx=1

BAM-Registrierung: 20080701-Dg98/10L/L98G00NP.PS/.PDF BAM-Material: Code=rh4ta
Anwendung für Beurteilung und Messung von Drucker- oder Monitorsystemen

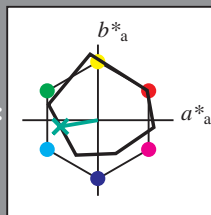


Ein und Ausgabe: Farbmetrisches Drucker-Reflektiv-System ORS19_96a für relativen CIELAB-Buntton $h^* = lab^*h^* = h_{ab}/360 = 190/360 = 0.527$ $u^* = g25b$
Daten für jede Farbe:
 lab^*ch^* und lab^*icu^*

Elementar-Bunttontext:
 $u^* = g25b$

Kontrastreduzierungsfaktor:
 $c_R = 1.0$

Dreiecks-Helligkeit t^*



ORS19_96a; adaptierte CIELAB-Daten					
	$L^*=L^*_a$	a^*_a	b^*_a	$C^*_{ab,a}$	$h^*_{ab,a}$
O _{Ma}	48.75	65.07	39.43	76.08	31
Y _{Ma}	90.92	-10.28	87.24	87.85	97
L _{Ma}	52.69	-65.43	20.75	68.65	162
C _{Ma}	59.61	-28.97	-46.21	54.56	238
V _{Ma}	28.39	23.63	-44.12	50.06	298
M _{Ma}	49.58	73.93	-9.55	74.55	353
N _{Ma}	18.89	0.0	0.0	0.0	0
W _{Ma}	96.9	0.0	0.0	0.0	0
R _{CIE}	39.92	58.74	27.99	65.07	25
J _{CIE}	81.26	-2.88	71.56	71.62	92
G _{CIE}	52.23	-42.41	13.6	44.55	162
B _{CIE}	30.57	1.41	-46.46	46.49	272

Daten für Maximalfarbe (Ma):

$LAB^*LAB^*_{Ma}$: 56 -49 -7

$LAB^*LCH^*_{Ma}$: 56 50 190

$lab^*rgb^*_{Ma}$: 0.0 1.0 0.5

$lab^*olv^*_{Ma}$: 0.0 1.0 0.44

Dreiecks-Helligkeit t^*

%Umfang

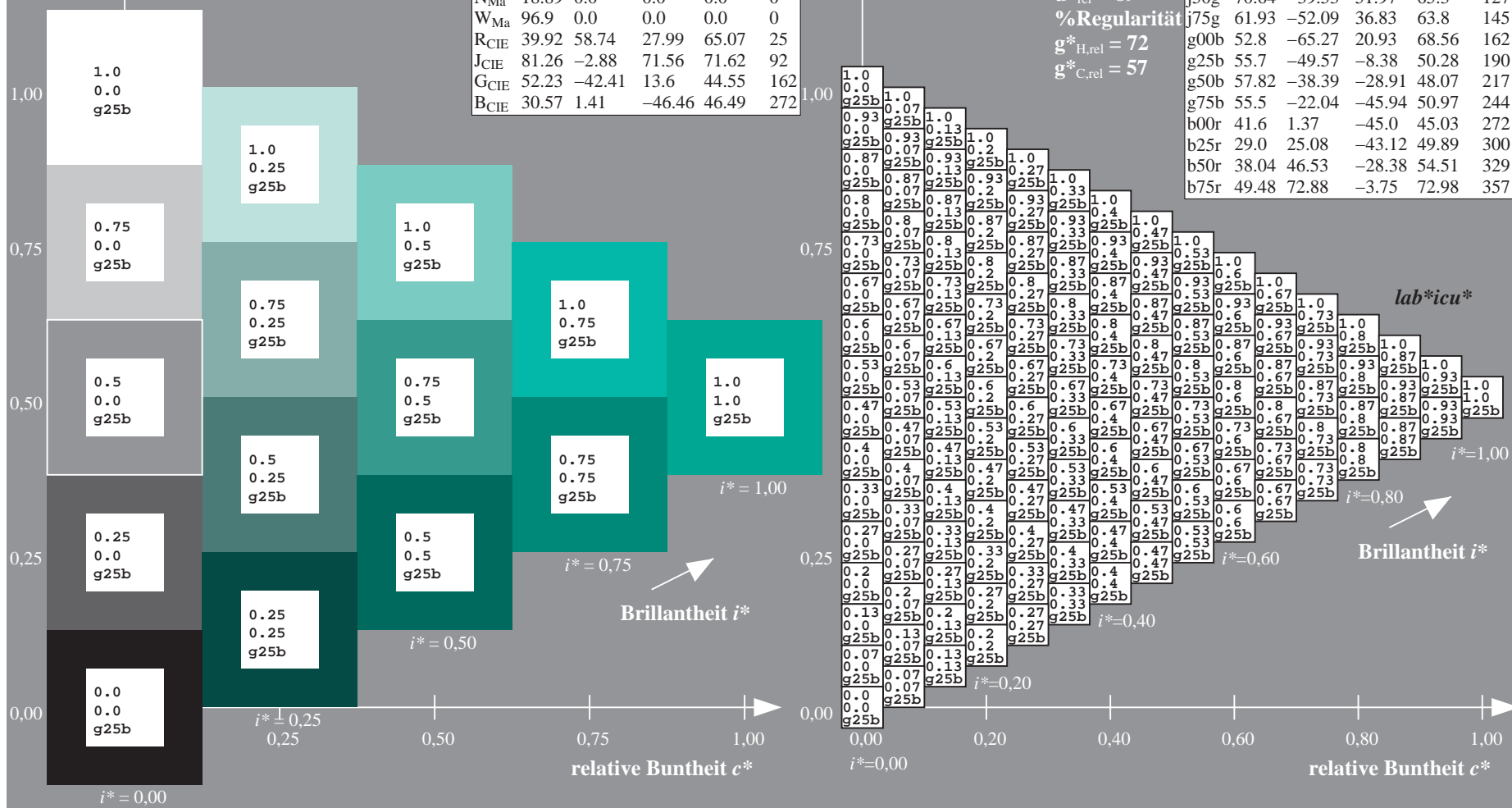
$u^*_{rel} = 89$

%Regularität

$g^*_{H,rel} = 72$

$g^*_{C,rel} = 57$

ORS19_96a; adaptierte CIELAB-Daten					
	$L^*=L^*_a$	a^*_a	b^*_a	$C^*_{ab,a}$	$h^*_{ab,a}$
r00j	48.88	66.47	31.67	73.63	25
r25j	55.85	52.39	47.48	70.7	42
r50j	65.45	35.22	58.37	68.17	59
r75j	75.19	17.82	69.41	71.66	76
j00g	87.03	-3.34	82.83	82.9	92
j25g	80.72	-25.0	69.5	73.86	110
j50g	70.64	-39.53	51.97	65.3	127
j75g	61.93	-52.09	36.83	63.8	145
g00b	52.8	-65.27	20.93	68.56	162
g25b	55.7	-49.57	-8.38	50.28	190
g50b	57.82	-38.39	-28.91	48.07	217
g75b	55.5	-22.04	-45.94	50.97	244
b00r	41.6	1.37	-45.0	45.03	272
b25r	29.0	25.08	-43.12	49.89	300
b50r	38.04	46.53	-28.38	54.51	329
b75r	49.48	72.88	-3.75	72.98	357



Ein und Ausgabe: Farbmetrisches Drucker-Reflektiv-System ORS19_96a für relativen CIELAB-Buntton $h^* = lab^*h^* = h_{ab}/360 = 217/360 = 0.603$ $u^* = g50b$ lab^*icu^*

Daten für jede Farbe:

lab^*ch^* und lab^*icu^*

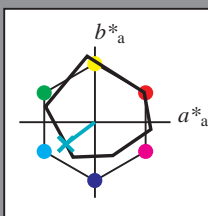
Elementar-Bunttontext:

$u^* = g50b$

Kontrastreduzierungsfaktor:

$c_R = 1.0$

Dreiecks-Helligkeit t^*



ORS19_96a; adaptierte CIELAB-Daten					
	$L^*=L^*_a$	a^*_a	b^*_a	$C^*_{ab,a}$	$h^*_{ab,a}$
O _{Ma}	48.75	65.07	39.43	76.08	31
Y _{Ma}	90.92	-10.28	87.24	87.85	97
L _{Ma}	52.69	-65.43	20.75	68.65	162
C _{Ma}	59.61	-28.97	-46.21	54.56	238
V _{Ma}	28.39	23.63	-44.12	50.06	298
M _{Ma}	49.58	73.93	-9.55	74.55	353
N _{Ma}	18.89	0.0	0.0	0.0	0
W _{Ma}	96.9	0.0	0.0	0.0	0
R _{CIE}	39.92	58.74	27.99	65.07	25
J _{CIE}	81.26	-2.88	71.56	71.62	92
G _{CIE}	52.23	-42.41	13.6	44.55	162
B _{CIE}	30.57	1.41	-46.46	46.49	272

Daten für Maximalfarbe (Ma):

$LAB^*LAB^*_{Ma}$: 58 -37 -28

$LAB^*LCH^*_{Ma}$: 58 48 217

$lab^*rgb^*_{Ma}$: 0.0 1.0 1.0

$lab^*olv^*_{Ma}$: 0.0 1.0 0.74

Dreiecks-Helligkeit t^*

%Umfang

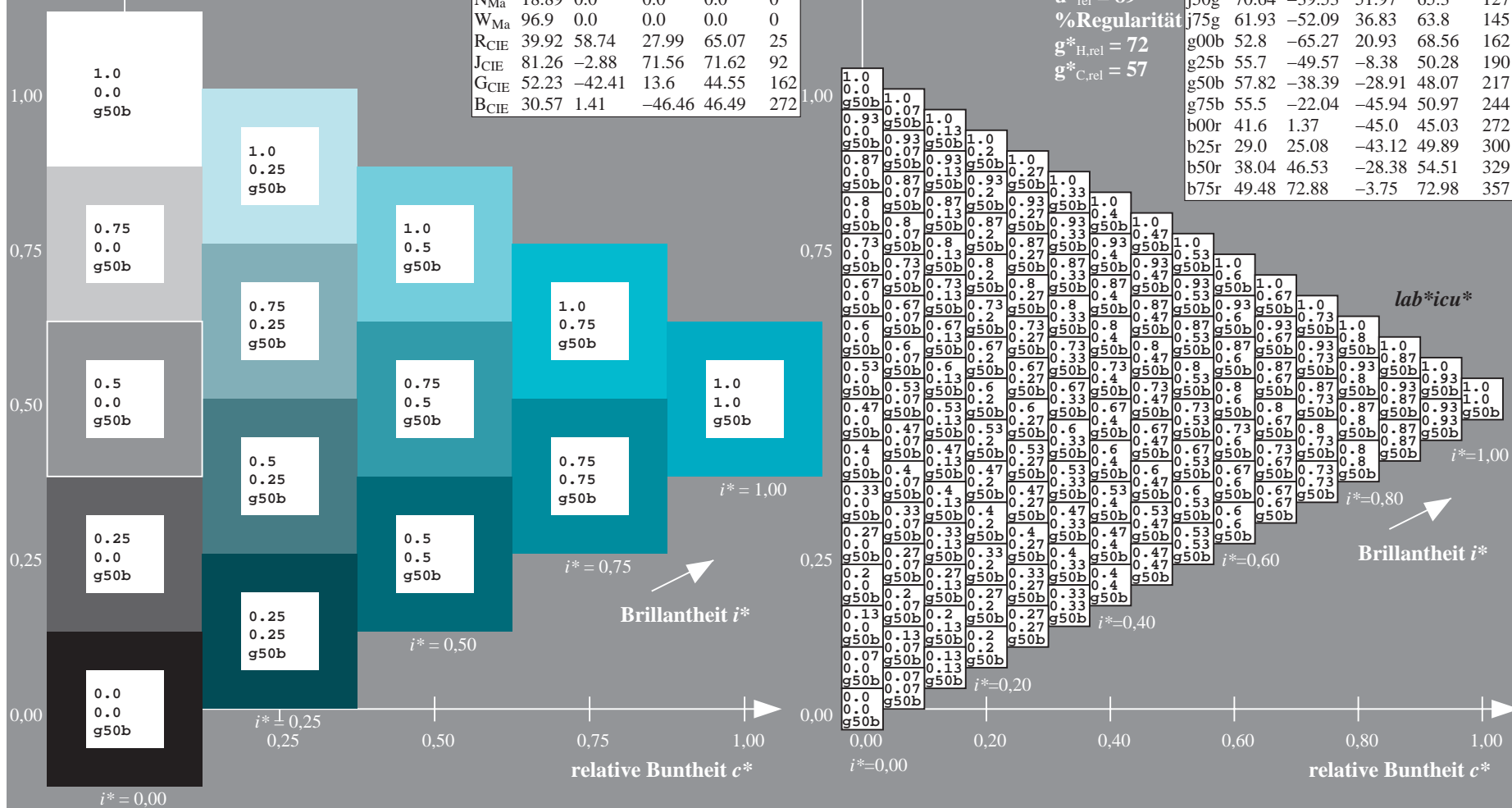
$u^*_{rel} = 89$

%Regularität

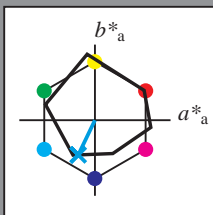
$g^*_{H,rel} = 72$

$g^*_{C,rel} = 57$

ORS19_96a; adaptierte CIELAB-Daten					
	$L^*=L^*_a$	a^*_a	b^*_a	$C^*_{ab,a}$	$h^*_{ab,a}$
r00j	48.88	66.47	31.67	73.63	25
r25j	55.85	52.39	47.48	70.7	42
r50j	65.45	35.22	58.37	68.17	59
r75j	75.19	17.82	69.41	71.66	76
j00g	87.03	-3.34	82.83	82.9	92
j25g	80.72	-25.0	69.5	73.86	110
j50g	70.64	-39.53	51.97	65.3	127
j75g	61.93	-52.09	36.83	63.8	145
g00b	52.8	-65.27	20.93	68.56	162
g25b	55.7	-49.57	-8.38	50.28	190
g50b	57.82	-38.39	-28.91	48.07	217
g75b	55.5	-22.04	-45.94	50.97	244
b00r	41.6	1.37	-45.0	45.03	272
b25r	29.0	25.08	-43.12	49.89	300
b50r	38.04	46.53	-28.38	54.51	329
b75r	49.48	72.88	-3.75	72.98	357



Ein und Ausgabe: Farbmetrisches Drucker-Reflektiv-System ORS19_96a für relativen CIELAB-Buntton $h^* = lab^*h^* = h_{ab}/360 = 244/360 = 0.679$ $u^* = g75b$
Daten für jede Farbe:
 lab^*ch^* und lab^*icu^*
Elementar-Bunttontext:
 $u^* = g75b$
Kontrastreduzierungsfaktor:
 $c_R = 1.0$
Dreiecks-Helligkeit t^*



ORS19_96a; adaptierte CIELAB-Daten					
	$L^*=L^*_a$	a^*_a	b^*_a	$C^*_{ab,a}$	$h^*_{ab,a}$
O _{Ma}	48.75	65.07	39.43	76.08	31
Y _{Ma}	90.92	-10.28	87.24	87.85	97
L _{Ma}	52.69	-65.43	20.75	68.65	162
C _{Ma}	59.61	-28.97	-46.21	54.56	238
V _{Ma}	28.39	23.63	-44.12	50.06	298
M _{Ma}	49.58	73.93	-9.55	74.55	353
N _{Ma}	18.89	0.0	0.0	0.0	0
W _{Ma}	96.9	0.0	0.0	0.0	0
R _{CIE}	39.92	58.74	27.99	65.07	25
J _{CIE}	81.26	-2.88	71.56	71.62	92
G _{CIE}	52.23	-42.41	13.6	44.55	162
B _{CIE}	30.57	1.41	-46.46	46.49	272

Daten für Maximalfarbe (Ma):

$LAB^*LAB^*_{Ma}$: 55 -21 -45

$LAB^*LCH^*_{Ma}$: 55 51 244

$lab^*rgb^*_{Ma}$: 0.0 0.5 1.0

$lab^*olv^*_{Ma}$: 0.0 0.87 1.0

Dreiecks-Helligkeit t^*

%Umfang

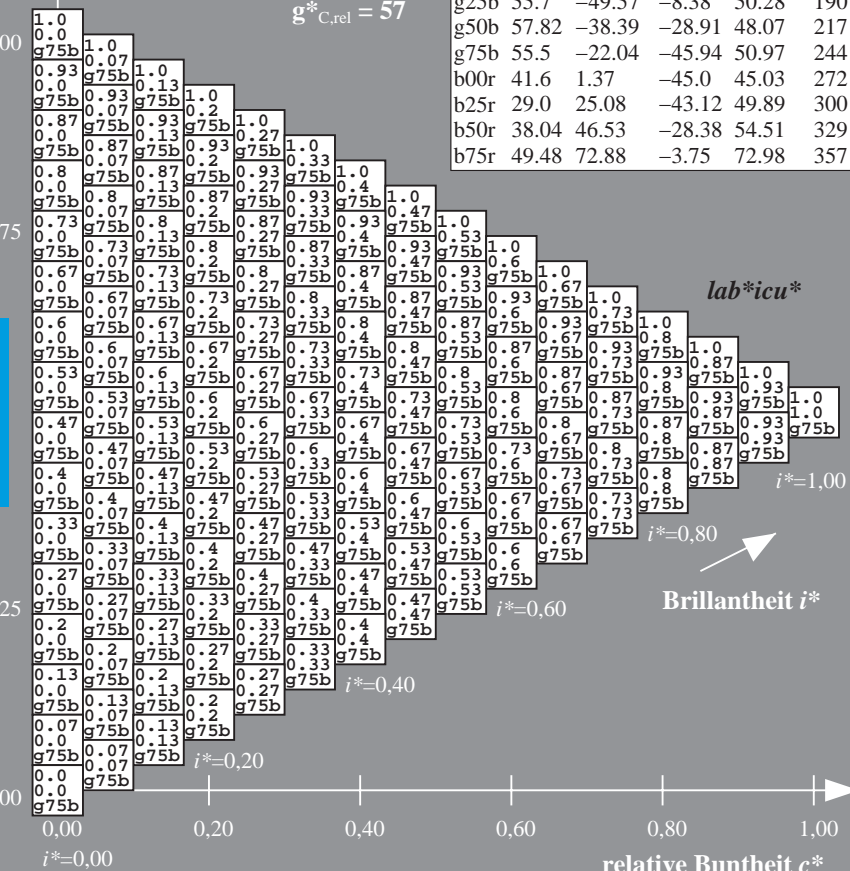
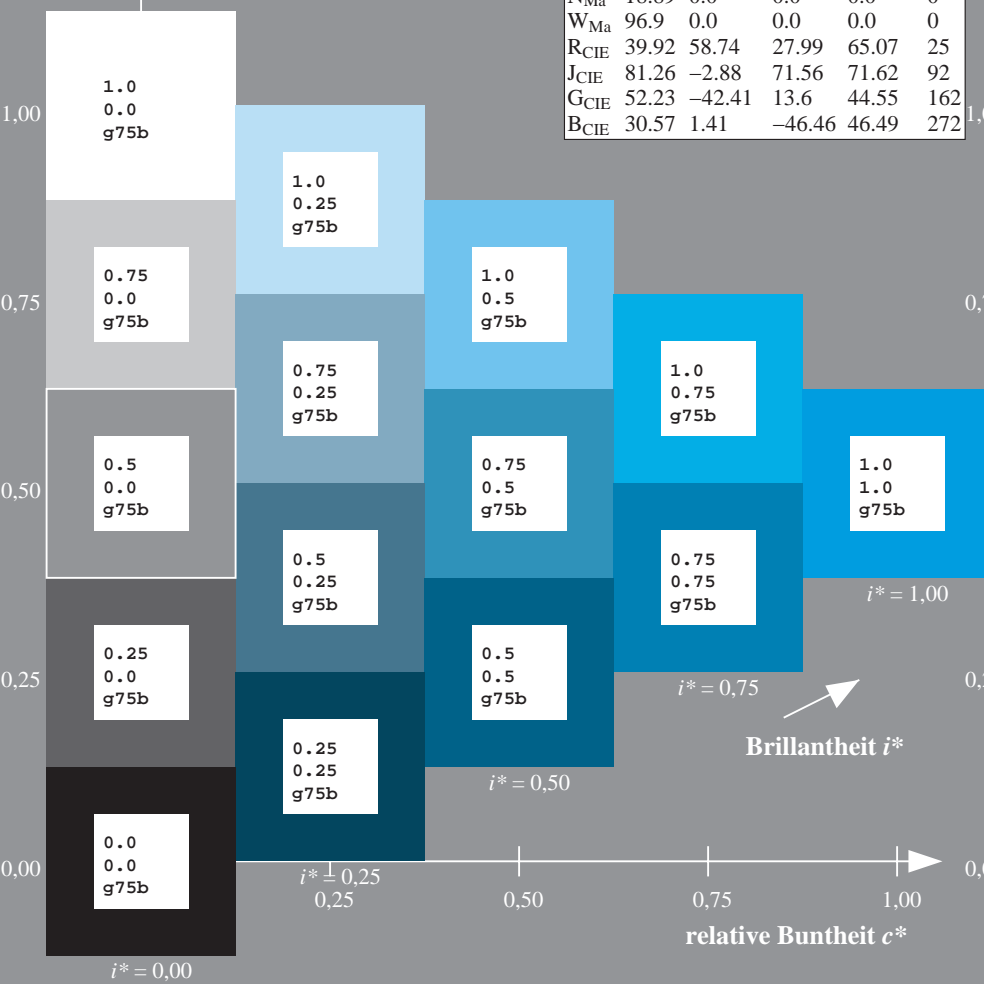
$u^*_{rel} = 89$

%Regularität

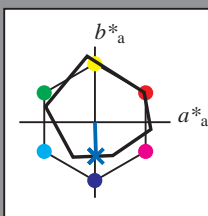
$g^*_{H,rel} = 72$

$g^*_{C,rel} = 57$

ORS19_96a; adaptierte CIELAB-Daten					
	$L^*=L^*_a$	a^*_a	b^*_a	$C^*_{ab,a}$	$h^*_{ab,a}$
r00j	48.88	66.47	31.67	73.63	25
r25j	55.85	52.39	47.48	70.7	42
r50j	65.45	35.22	58.37	68.17	59
r75j	75.19	17.82	69.41	71.66	76
j00g	87.03	-3.34	82.83	82.9	92
j25g	80.72	-25.0	69.5	73.86	110
j50g	70.64	-39.53	51.97	65.3	127
j75g	61.93	-52.09	36.83	63.8	145
g00b	52.8	-65.27	20.93	68.56	162
g25b	55.7	-49.57	-8.38	50.28	190
g50b	57.82	-38.39	-28.91	48.07	217
g75b	55.5	-22.04	-45.94	50.97	244
b00r	41.6	1.37	-45.0	45.03	272
b25r	29.0	25.08	-43.12	49.89	300
b50r	38.04	46.53	-28.38	54.51	329
b75r	49.48	72.88	-3.75	72.98	357



Ein und Ausgabe: Farbmetrisches Drucker-Reflektiv-System ORS19_96a für relativen CIELAB-Buntton $h^* = lab^*h^* = h_{ab}/360 = 272/360 = 0.755$ $u^* = b00r$
Daten für jede Farbe:
 lab^*ch^* und lab^*icu^*
Elementar-Bunttontext:
 $u^* = b00r$
Kontrastreduzierungsfaktor:
 $c_R = 1.0$
Dreiecks-Helligkeit t^*



ORS19_96a; adaptierte CIELAB-Daten					
	$L^*=L^*_a$	a^*_a	b^*_a	$C^*_{ab,a}$	$h^*_{ab,a}$
O _{Ma}	48.75	65.07	39.43	76.08	31
Y _{Ma}	90.92	-10.28	87.24	87.85	97
L _{Ma}	52.69	-65.43	20.75	68.65	162
C _{Ma}	59.61	-28.97	-46.21	54.56	238
V _{Ma}	28.39	23.63	-44.12	50.06	298
M _{Ma}	49.58	73.93	-9.55	74.55	353
N _{Ma}	18.89	0.0	0.0	0.0	0
W _{Ma}	96.9	0.0	0.0	0.0	0
R _{CIE}	39.92	58.74	27.99	65.07	25
J _{CIE}	81.26	-2.88	71.56	71.62	92
G _{CIE}	52.23	-42.41	13.6	44.55	162
B _{CIE}	30.57	1.41	-46.46	46.49	272

Daten für Maximalfarbe (Ma):

$LAB^*LAB^*_{Ma}$: 42 1 -44

$LAB^*LCH^*_{Ma}$: 42 45 272

$lab^*rgb^*_{Ma}$: 0.0 0.0 1.0

$lab^*olv^*_{Ma}$: 0.0 0.42 1.0

Dreiecks-Helligkeit t^*

%Umfang

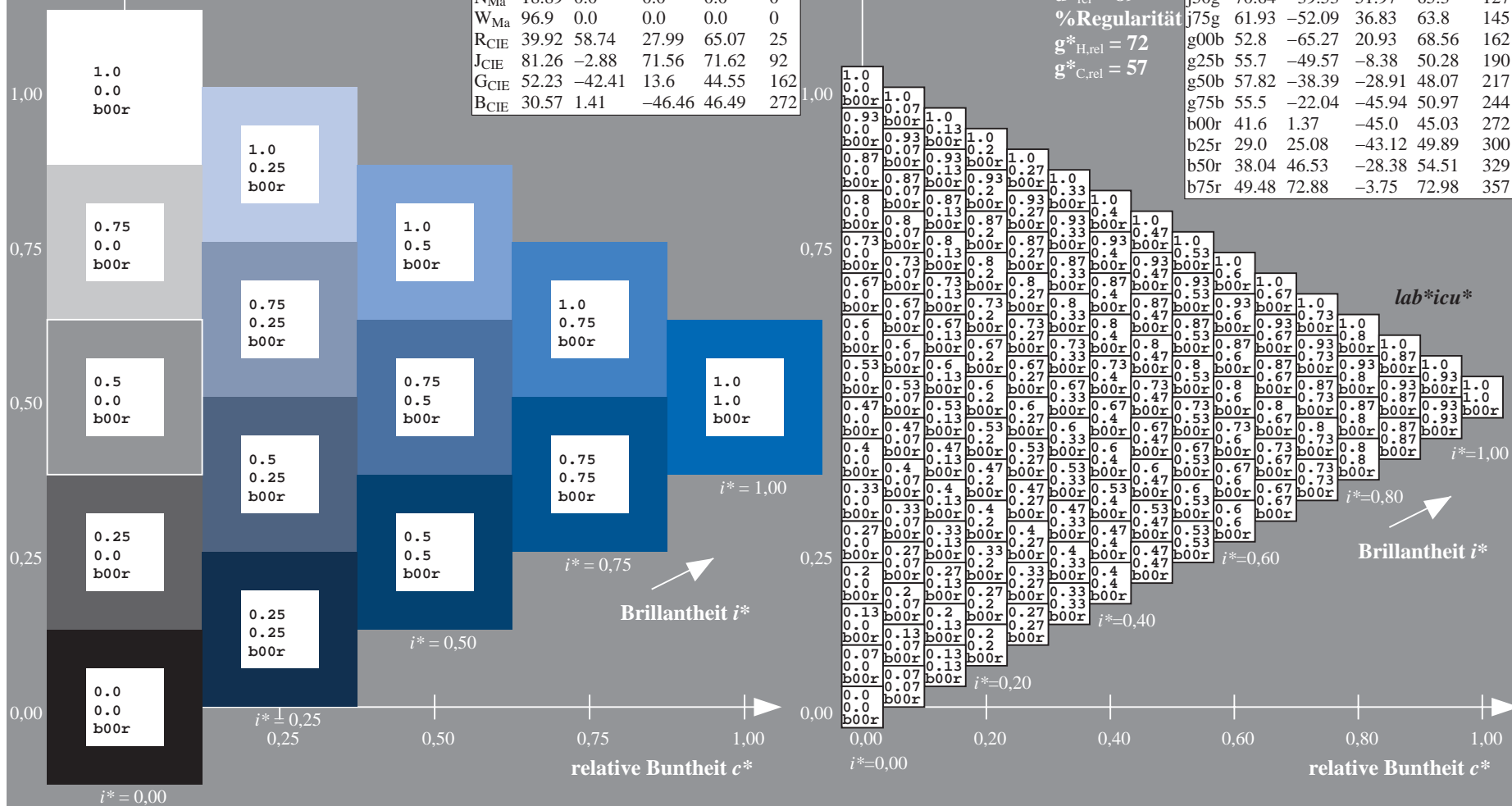
$u^*_{rel} = 89$

%Regularität

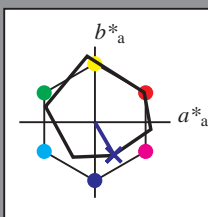
$g^*_{H,rel} = 72$

$g^*_{C,rel} = 57$

ORS19_96a; adaptierte CIELAB-Daten					
	$L^*=L^*_a$	a^*_a	b^*_a	$C^*_{ab,a}$	$h^*_{ab,a}$
r00j	48.88	66.47	31.67	73.63	25
r25j	55.85	52.39	47.48	70.7	42
r50j	65.45	35.22	58.37	68.17	59
r75j	75.19	17.82	69.41	71.66	76
j00g	87.03	-3.34	82.83	82.9	92
j25g	80.72	-25.0	69.5	73.86	110
j50g	70.64	-39.53	51.97	65.3	127
j75g	61.93	-52.09	36.83	63.8	145
g00b	52.8	-65.27	20.93	68.56	162
g25b	55.7	-49.57	-8.38	50.28	190
g50b	57.82	-38.39	-28.91	48.07	217
g75b	55.5	-22.04	-45.94	50.97	244
b00r	41.6	1.37	-45.0	45.03	272
b25r	29.0	25.08	-43.12	49.89	300
b50r	38.04	46.53	-28.38	54.51	329
b75r	49.48	72.88	-3.75	72.98	357



Ein und Ausgabe: Farbmetrisches Drucker-Reflektiv-System ORS19_96a für relativen CIELAB-Buntton $h^* = lab^*h^* = h_{ab}/360 = 300/360 = 0.834$ $u^* = b25r$
Daten für jede Farbe:
 lab^*ch^* und lab^*icu^*
Elementar-Bunttontext:
 $u^* = b25r$
Kontrastreduzierungsfaktor:
 $c_R = 1.0$
Dreiecks-Helligkeit t^*



ORS19_96a; adaptierte CIELAB-Daten					
	$L^*=L^*_a$	a^*_a	b^*_a	$C^*_{ab,a}$	$h^*_{ab,a}$
O _{Ma}	48.75	65.07	39.43	76.08	31
Y _{Ma}	90.92	-10.28	87.24	87.85	97
L _{Ma}	52.69	-65.43	20.75	68.65	162
C _{Ma}	59.61	-28.97	-46.21	54.56	238
V _{Ma}	28.39	23.63	-44.12	50.06	298
M _{Ma}	49.58	73.93	-9.55	74.55	353
N _{Ma}	18.89	0.0	0.0	0.0	0
W _{Ma}	96.9	0.0	0.0	0.0	0
R _{CIE}	39.92	58.74	27.99	65.07	25
J _{CIE}	81.26	-2.88	71.56	71.62	92
G _{CIE}	52.23	-42.41	13.6	44.55	162
B _{CIE}	30.57	1.41	-46.46	46.49	272

Daten für Maximalfarbe (Ma):

$LAB^*LAB^*_{Ma}$: 29 25 -42

$LAB^*LCH^*_{Ma}$: 29 50 300

$lab^*rgb^*_{Ma}$: 0.5 0.0 1.0

$lab^*olv^*_{Ma}$: 0.03 0.0 1.0

Dreiecks-Helligkeit t^*

%Umfang

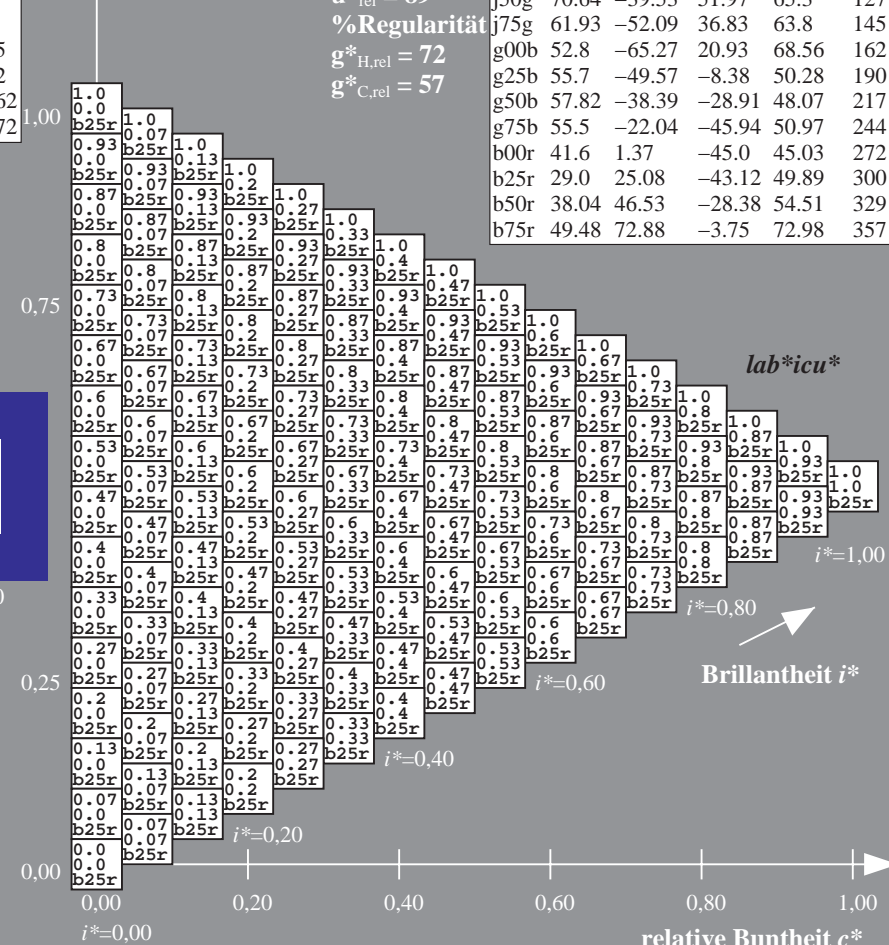
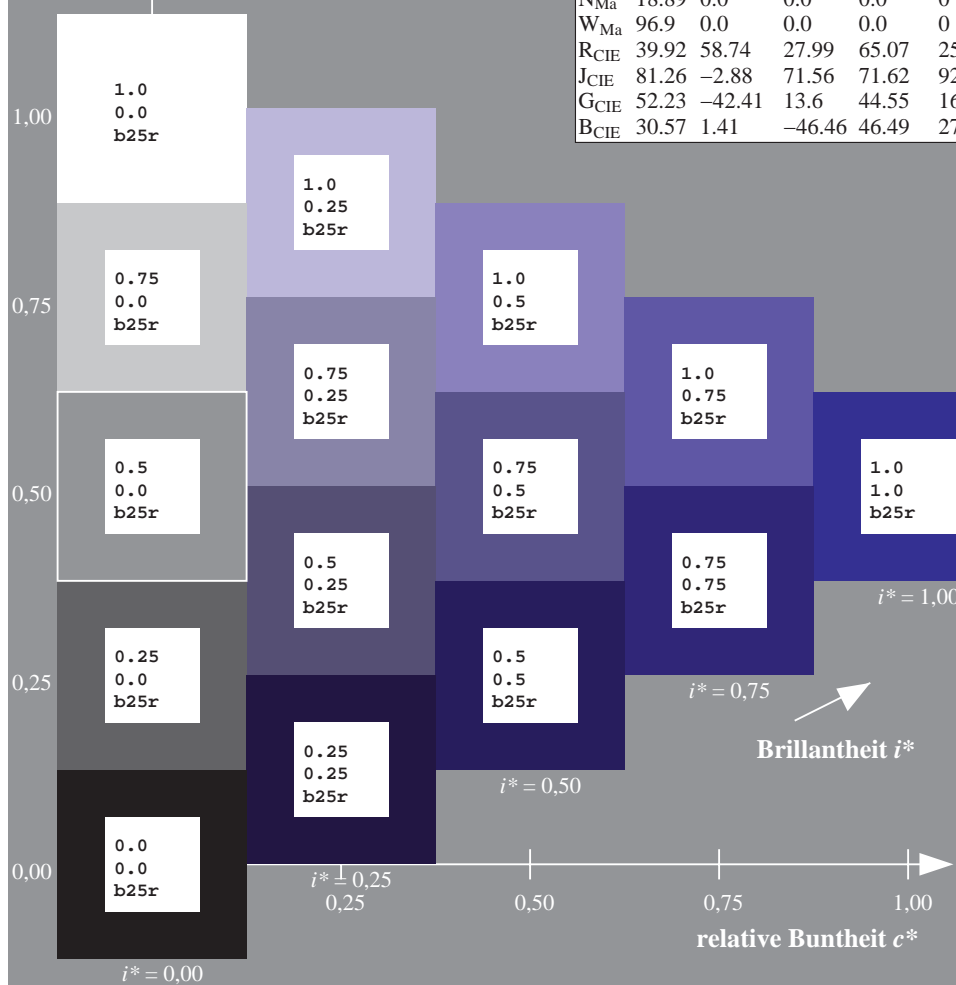
$u^*_{rel} = 89$

%Regularität

$g^*_{H,rel} = 72$

$g^*_{C,rel} = 57$

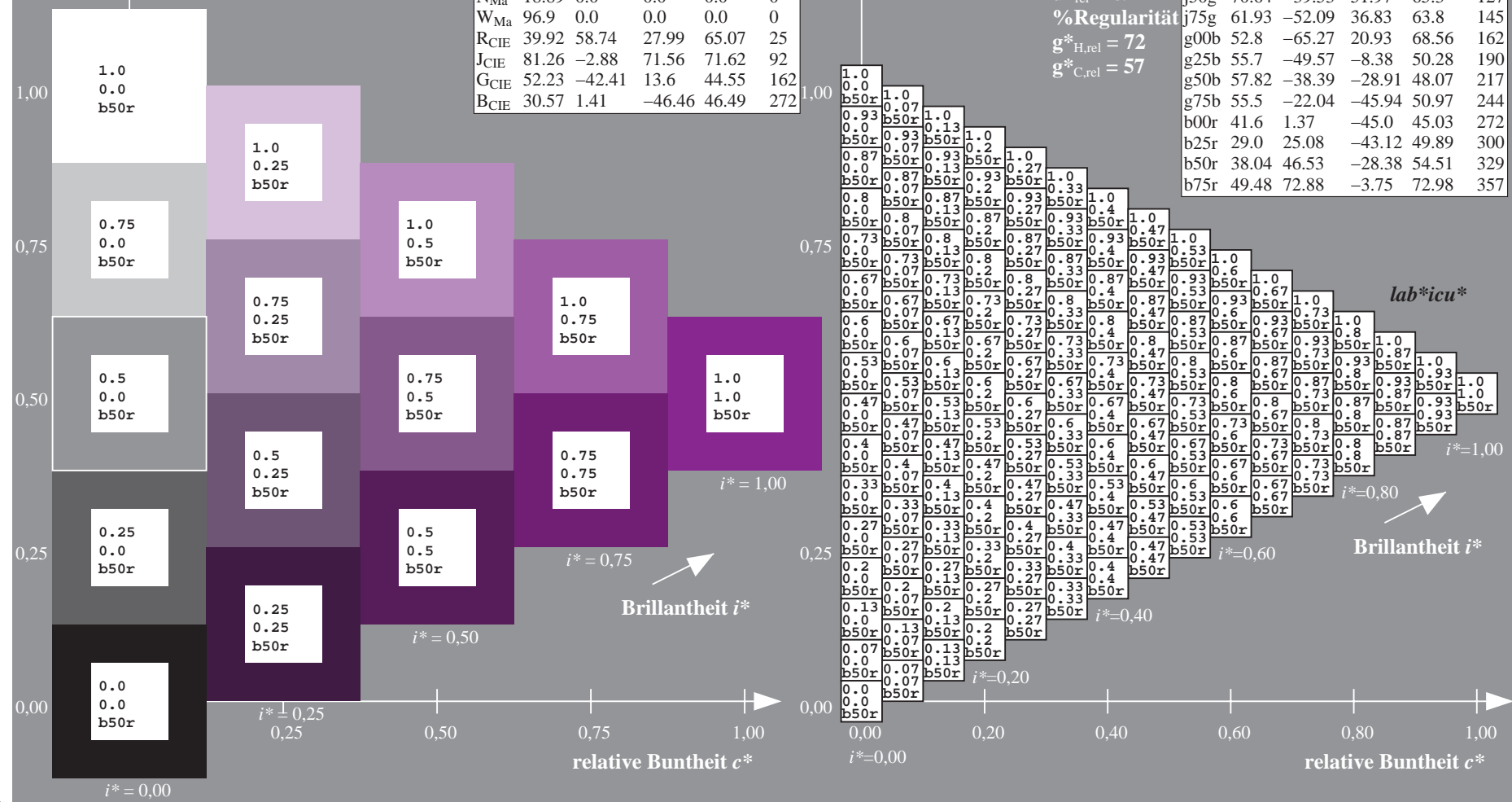
ORS19_96a; adaptierte CIELAB-Daten					
	$L^*=L^*_a$	a^*_a	b^*_a	$C^*_{ab,a}$	$h^*_{ab,a}$
r00j	48.88	66.47	31.67	73.63	25
r25j	55.85	52.39	47.48	70.7	42
r50j	65.45	35.22	58.37	68.17	59
r75j	75.19	17.82	69.41	71.66	76
j00g	87.03	-3.34	82.83	82.9	92
j25g	80.72	-25.0	69.5	73.86	110
j50g	70.64	-39.53	51.97	65.3	127
j75g	61.93	-52.09	36.83	63.8	145
g00b	52.8	-65.27	20.93	68.56	162
g25b	55.7	-49.57	-8.38	50.28	190
g50b	57.82	-38.39	-28.91	48.07	217
g75b	55.5	-22.04	-45.94	50.97	244
b00r	41.6	1.37	-45.0	45.03	272
b25r	29.0	25.08	-43.12	49.89	300
b50r	38.04	46.53	-28.38	54.51	329
b75r	49.48	72.88	-3.75	72.98	357



100



r00j	48.88	66.47	31.67	73.63	25
r25j	55.85	52.39	47.48	70.7	42
r50j	65.45	35.22	58.37	68.17	59
r75j	75.19	17.82	69.41	71.66	76
j00g	87.03	-3.34	82.83	82.9	92
j25g	80.72	-25.0	69.5	73.86	110
j50g	70.64	-39.53	51.97	65.3	127
j75g	61.93	-52.09	36.83	63.8	145
g00b	52.8	-65.27	20.93	68.56	162
g25b	55.7	-49.57	-8.38	50.28	190
g50b	57.82	-38.39	-28.91	48.07	217
g75b	55.5	-22.04	-45.94	50.97	244
b00r	41.6	1.37	-45.0	45.03	272
b25r	29.0	25.08	-43.12	49.89	300
b50r	38.04	46.53	-28.38	54.51	329
b75r	49.48	72.88	-3.75	72.98	357

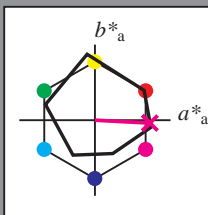


Farbreihen, 8 Datentabellen für 16 Bunttöne *r00j* bis *b75r*

Ausgabe: $\rightarrow cmy\mathbf{n}5^* setcmykcolor$

BAM-Registrierung: 20080701-Dg98/10L/L98G00NP.PS/.PDF BAM-Material: Code=rhdata
- Anwendung für Beurteilung und Messung von Drucker- oder Monitorsystemen

Ein und Ausgabe: Farbmetrisches Drucker-Reflektiv-System ORS19_96a für relativen CIELAB-Buntton $h^* = lab^*h^* = h_{ab}/360 = 357/360 = 0.992$ $u^* = b75r$
Daten für jede Farbe:
 lab^*ch^* und lab^*icu^*
Elementar-Bunttontext:
 $u^* = b75r$
Kontrastreduzierungsfaktor:
 $c_R = 1.0$
Dreiecks-Helligkeit t^*



ORS19_96a; adaptierte CIELAB-Daten					
	$L^*=L^*_a$	a^*_a	b^*_a	$C^*_{ab,a}$	$h^*_{ab,a}$
O _{Ma}	48.75	65.07	39.43	76.08	31
Y _{Ma}	90.92	-10.28	87.24	87.85	97
L _{Ma}	52.69	-65.43	20.75	68.65	162
C _{Ma}	59.61	-28.97	-46.21	54.56	238
V _{Ma}	28.39	23.63	-44.12	50.06	298
M _{Ma}	49.58	73.93	-9.55	74.55	353
N _{Ma}	18.89	0.0	0.0	0.0	0
W _{Ma}	96.9	0.0	0.0	0.0	0
R _{CIE}	39.92	58.74	27.99	65.07	25
J _{CIE}	81.26	-2.88	71.56	71.62	92
G _{CIE}	52.23	-42.41	13.6	44.55	162
B _{CIE}	30.57	1.41	-46.46	46.49	272

Daten für Maximalfarbe (Ma):

$LAB^*LAB^*_{Ma}$: 49 73 -3

$LAB^*LCH^*_{Ma}$: 49 73 357

$lab^*rgb^*_{Ma}$: 1.0 0.0 0.5

$lab^*olv^*_{Ma}$: 1.0 0.0 0.88

Dreiecks-Helligkeit t^*

%Umfang

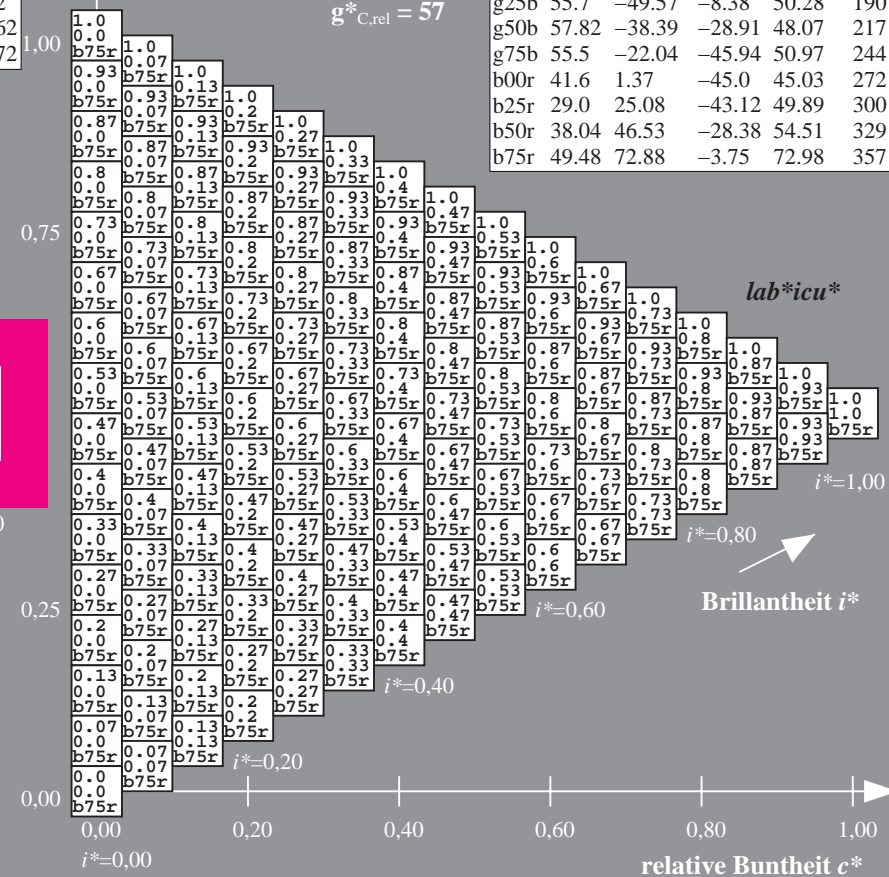
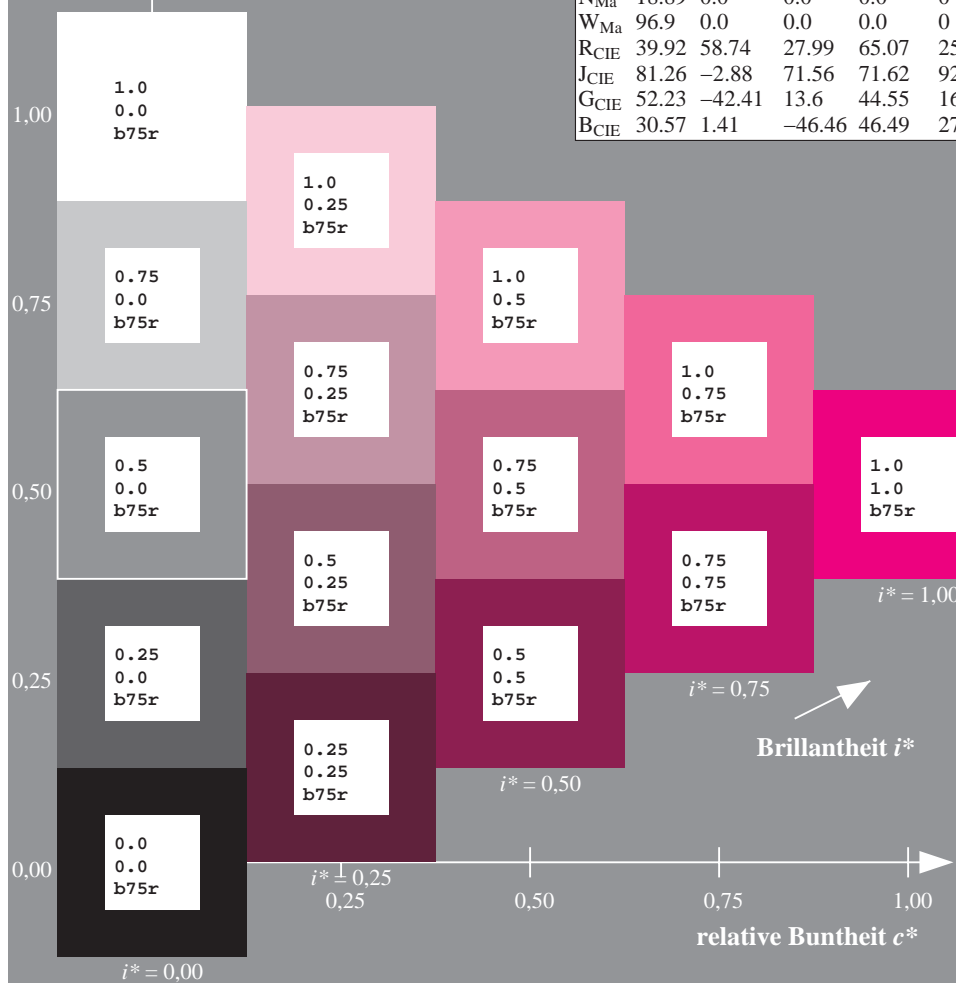
$u^*_{rel} = 89$

%Regularität

$g^*_{H,rel} = 72$

$g^*_{C,rel} = 57$

ORS19_96a; adaptierte CIELAB-Daten					
	$L^*=L^*_a$	a^*_a	b^*_a	$C^*_{ab,a}$	$h^*_{ab,a}$
r00j	48.88	66.47	31.67	73.63	25
r25j	55.85	52.39	47.48	70.7	42
r50j	65.45	35.22	58.37	68.17	59
r75j	75.19	17.82	69.41	71.66	76
j00g	87.03	-3.34	82.83	82.9	92
j25g	80.72	-25.0	69.5	73.86	110
j50g	70.64	-39.53	51.97	65.3	127
j75g	61.93	-52.09	36.83	63.8	145
g00b	52.8	-65.27	20.93	68.56	162
g25b	55.7	-49.57	-8.38	50.28	190
g50b	57.82	-38.39	-28.91	48.07	217
g75b	55.5	-22.04	-45.94	50.97	244
b00r	41.6	1.37	-45.0	45.03	272
b25r	29.0	25.08	-43.12	49.89	300
b50r	38.04	46.53	-28.38	54.51	329
b75r	49.48	72.88	-3.75	72.98	357



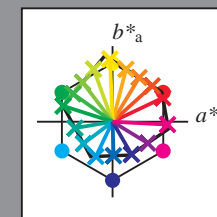
Siehe ähnliche Dateien: <http://www.ps.bam.de/Dg98/>; www.ps.bam.de/Dg98/10L/L98G00NP.PS/.PDF BAM-Material: Code=th4ta
Technische Information: <http://www.ps.bam.de> Version 2.1, io=1,1, ColSpX=1

	A	B	C	D	E	F	G	H	I	J	K	L	M	N	O	P	Q	R	S	T	U	V	W	X	Y	Z	a	b	c	d	e	f	g	h	i	j	k	lab*icu*						
01	0.0	0.13	0.25	0.38	0.5	0.63	0.75	0.88	1.0	0.13	0.13	0.25	0.38	0.5	0.63	0.75	0.88	1.0	0.25	0.25	0.25	0.38	0.5	0.63	0.75	0.88	1.0	1.0	1.0	1.0	1.0	1.0	1.0	1.0	1.0	1.0	0.0	0.0	0.0	0.0				
	g94b	g00b	g00b	g00b	g00b	g00b	g00b	g00b	g00b	r08j	j06g	j46g	j64g	j73g	j78g	j82g	j84g	j86g	r08j	r60j	j06g	j30g	j46g	j56g	j64g	j69g	j73g	g94b	r08j	r08j	r08j	r08j	r08j	r08j	r08j	r08j	r08j	g94b	g94b	g94b	g94b			
02	0.13	0.13	0.25	0.38	0.5	0.63	0.75	0.88	1.0	0.13	0.13	0.25	0.38	0.5	0.63	0.75	0.88	1.0	0.25	0.25	0.25	0.38	0.5	0.63	0.75	0.88	1.0	1.0	0.88	0.88	0.88	0.88	0.88	0.88	0.88	0.88	0.88	0.13	0.13	0.13	0.13			
	b23r	g68b	g29b	g17b	g12b	g09b	g07b	g06b	g05b	b70r	g94b	g00b	g00b	g00b	g00b	g00b	g00b	g00b	b87r	r08j	j06g	j46g	j56g	j64g	j69g	j84g	g68b	g94b	r08j	r08j	r08j	r08j	r08j	r08j	r08j	r08j	r08j	r08j	g94b	g94b	g94b	g94b		
03	0.25	0.25	0.25	0.38	0.5	0.63	0.75	0.88	1.0	0.25	0.25	0.25	0.38	0.5	0.63	0.75	0.88	1.0	0.25	0.25	0.25	0.38	0.5	0.63	0.75	0.88	1.0	1.0	0.88	0.75	0.75	0.75	0.75	0.75	0.75	0.75	0.75	0.75	0.25	0.25	0.25	0.25		
	b23r	g94b	g68b	g43b	g29b	0.5	0.62	0.75	0.87	1.0	0.25	0.13	0.25	0.38	0.5	0.63	0.75	0.87	0.87	b70r	b70r	0.0	0.13	0.25	0.38	0.5	0.63	0.75	0.25	0.13	0.0	0.13	0.25	0.38	0.5	0.63	0.75	0.0	0.0	0.0	0.0			
04	0.38	0.38	0.38	0.38	0.5	0.63	0.75	0.88	1.0	0.38	0.38	0.38	0.38	0.5	0.63	0.75	0.88	1.0	0.38	0.38	0.38	0.38	0.5	0.63	0.75	0.88	1.0	1.0	0.88	0.75	0.63	0.63	0.63	0.63	0.63	0.63	0.38	0.38	0.38	0.38				
	b23r	b05r	g94b	g68b	g50b	g37g	g29b	g24b	g20b	b42r	b23r	g94b	g68b	g43b	g29b	g22b	g17b	g14b	b59r	b51r	b23r	g68b	g29b	g17b	g12b	g09b	g07b	g68b	g68b	g68b	g94b	r08j	r08j	r08j	r08j	r08j	r08j	g94b	g94b	g94b	g94b			
05	0.5	0.5	0.5	0.5	0.5	0.63	0.75	0.88	1.0	0.5	0.5	0.5	0.5	0.5	0.63	0.75	0.88	1.0	0.5	0.5	0.5	0.5	0.5	0.63	0.75	0.88	1.0	1.0	0.88	0.75	0.63	0.63	0.63	0.63	0.63	0.63	0.5	0.5	0.5	0.5				
	b23r	b09r	g94b	g80b	g68b	g54b	g43b	g35b	g29b	b38r	b23r	b05r	g94b	g68b	g50b	g37b	g29b	g24b	b51r	b42r	b23r	g94b	g68b	g43b	g29b	g22b	g17b	g68b	g68b	g68b	g94b	r08j	r08j	r08j	r08j	r08j	r08j	g94b	g94b	g94b	g94b			
06	0.63	0.63	0.63	0.63	0.63	0.63	0.63	0.75	0.88	1.0	0.63	0.63	0.63	0.63	0.63	0.63	0.75	0.88	1.0	0.63	0.63	0.63	0.63	0.63	0.63	0.75	0.88	1.0	1.0	0.88	0.75	0.63	0.5	0.38	0.38	0.38	0.38	0.63	0.63	0.63	0.63			
	b23r	b12r	b01r	g68b	g77b	g68b	g56b	g47b	g39b	b35r	b23r	b09r	g94b	g80b	g68b	g54b	g43b	g35b	b46r	b38r	b23r	b05r	g94b	g68b	g50b	g37b	g29b	g68b	g68b	g68b	g94b	r08j	r08j	r08j	r08j	r08j	r08j	g94b	g94b	g94b	g94b			
07	0.75	0.75	0.75	0.75	0.75	0.75	0.75	0.75	0.88	1.0	0.75	0.75	0.75	0.75	0.75	0.75	0.75	0.88	1.0	0.75	0.75	0.75	0.75	0.75	0.75	0.75	0.88	1.0	1.0	0.88	0.75	0.63	0.5	0.38	0.25	0.25	0.25	0.75	0.75	0.75	0.75			
	b23r	b14r	b05r	g94b	g84b	g84b	g75b	g68b	g58b	g50b	b33r	b23r	b12r	b01r	g88b	g77b	g68b	g56b	g47b	b42r	b35r	b23r	b09r	g94b	g80b	g68b	g54b	g43b	g68b	g68b	g68b	g94b	r08j	r08j	r08j	r08j	r08j	r08j	g94b	g94b	g94b	g94b		
08	0.88	0.88	0.88	0.88	0.88	0.88	0.88	0.88	0.88	1.0	0.88	0.88	0.88	0.88	0.88	0.88	0.88	0.88	1.0	0.88	0.88	0.88	0.88	0.88	0.88	0.88	0.88	1.0	1.0	0.88	0.75	0.63	0.5	0.38	0.25	0.13	0.13	0.88	0.88	0.88	0.88			
	b23r	b15r	b07r	g98b	g90b	g82b	g74b	g68b	g59b	b31r	b23r	b14r	b05r	g94b	g84b	g75b	g68b	g58b	b40r	b33r	b23r	b12r	b01r	g88b	g77b	g68b	g56b	g68b	g68b	g68b	g94b	r08j	r08j	r08j	r08j	r08j	r08j	g94b	g94b	g94b	g94b			
09	1.0	1.0	1.0	1.0	1.0	1.0	1.0	1.0	1.0	1.0	1.0	1.0	1.0	1.0	1.0	1.0	1.0	1.0	1.0	1.0	1.0	1.0	1.0	1.0	1.0	1.0	1.0	1.0	1.0	0.88	0.75	0.63	0.5	0.38	0.25	0.13	0.0	1.0	1.0	1.0	1.0			
	b23r	b16r	b09r	b02r	g94b	g87b	g80b	g73b	g68b	b30r	b23r	b15r	b07r	g98b	g90b	g82b	g74b	g68b	b38r	b31r	b12r	b14r	b05r	g94b	g84b	g75b	g68b	g68b	g68b	g68b	g68b	g68b	g68b	g68b	g68b	g68b	g68b	g68b	g68b	g68b	g68b	g68b	g68b	
10	0.38	0.38	0.38	0.38	0.5	0.63	0.75	0.88	1.0	0.5	0.5	0.5	0.5	0.5	0.63	0.75	0.88	1.0	0.63	0.63	0.63	0.63	0.63	0.63	0.63	0.75	0.88	1.0	1.0	0.88	0.75	0.63	0.5	0.38	0.25	0.13	0.0	1.0	1.0	1.0	1.0			
	r08j	r42j	r78j	j06g	j23g	j36g	j46g	j53g	j59g	r08j	r33j	r60j	r85j	j06g	j19g	j30g	j39g	j46g	r08j	r28j	r49j	r71j	r90j	j06g	j17g	j26g	j34g	g94b	j06g	j06g	j06g	j06g	j06g	j06g	j06g	j06g	j06g	j06g	j06g	j06g	j06g	j06g	j06g	j06g
11	0.38	0.38	0.38	0.38	0.5	0.63	0.75	0.88	1.0	0.38	0.38	0.38	0.38	0.5	0.63	0.75	0.88	1.0	0.63	0.63	0.63	0.63	0.63	0.63	0.63	0.75	0.88	1.0	1.0	0.88	0.88	0.88	0.88	0.88	0.88	0.88	0.88	0.88	0.88	0.88	0.88	0.88		
	b93r	r08j	r60j	j06g	j30g	j46g	j56g	j64g	j69g	b95r	r08j	r42j	r78j	j06g	j23g	j36g	j46g	j53g	b92r	r08j	r33j	r60j	r85j	j06g	j19g	j30g	j39g	j46g	b23r	g94b	j06g	j06g	j06g	j06g	j06g	j06g	j06g	j06g	j06g	j06g	j06g	j06g	j06g	
12	0.38	0.38	0.38	0.38	0.5	0.63	0.75	0.88	1.0	0.5	0.5	0.5	0.5	0.5	0.63	0.75	0.88	1.0	0.63	0.63	0.63	0.63	0.63	0.63	0.63	0.75	0.88	1.0	1.0	0.88	0.75	0.75	0.75	0.75	0.75	0.75	0.75	0.75	0.75	0.75	0.75	0.75	0.75	
	b81r	b87r	r08j	j06g	j46g	j64g	j73g	j78g	j82g	b87r	b93r	r08j	r60j	j06g	j30g	j46g	j56g	j64g	b90r	b95r	r08j	r42j	r78j	j06g	j23g	j36g	j46g	b23r	b23r	g94b	j06g	j06g	j06g	j06g	j06g	j06g	j06g	j06g	j06g	j06g	j06g	j06g	j06g	j06g
13	0.38	0.38	0.38	0.38	0.5	0.63	0.75	0.88	1.0	0.5	0.5	0.5	0.5	0.5	0.63	0.75	0.88	1.0	0.63	0.63	0.63	0.63	0.63	0.63	0.63	0.75	0.88	1.0	1.0	0.88	0.75	0.63	0.5	0.38	0.25	0.13	0.0	1.0	1.0	1.0	1.0			
	b70r	b02r	b70r	g94b	g00b	g00b	g00b	g00b	g00b	b78r	b81r	b87r	r08j	j06g	j46g	j64g	j73g	j78g	b83r	b87r	b93r	r08j	r60j	j06g	j30g	j46g	j56g	b23r	b23r	b23r	g94b	j06g	j06g	j06g	j06g	j06g	j06g	j06g	j06g	j06g	j06g	j06g	j06g	j06g
14	0.5	0.5	0.5	0.5	0.5	0.63	0.75	0.88	1.0	0.5	0.5	0.5	0.5	0.5	0.63	0.75	0.88	1.0	0.63	0.63	0.63	0.63	0.63	0.63	0.63	0.75	0.88	1.0	1.0	0.88	0.75	0.63	0.5	0.5	0.5	0.5	0.5	0.5	0.5	0.5	0.5	0.5	0.5	0.5
	b62r	b59r	b51r	b23r	g68b	g29b	g17b	g12b	g09b	b70r	b70r	b70r	b70r	g94b	g00b	g00b	g00b	g00b	b76r	b78r	b81r	b87r	r08j	j06g	j46g	j64g	j73g	b23r	b23r	b23r	g94b	j06g	j06g	j06g	j06g	j06g	j06g	j06g	j06g	j06g	j06g	j06g	j06g	j06g
15	0.63	0.63	0.63	0.63	0.63	0.63	0.63	0.75	0.88	1.0	0.63	0.63	0.63	0.63	0.63	0.63	0.75	0.88	1.0	0.63	0.63	0.63	0.63	0.63	0.63	0.75	0.88	1.0	1.0	0.88	0.75	0.63	0.5	0.38	0.38	0.38	0.38	0.63	0.63	0.63	0.63			
	b56r	b51r	b42r	b23r	g94b	g68b	g43b	g29b	g22b	b64r	b62r	b59r	b51r	b23r	g68b	g29b	g17b	g12b	b70r	b70r	b70r	b70r	g94b	g00b	g00b	g00b	g00b	g00b	g00b	g00b	g00b	g00b	g00b	g00b	g00b	g00b	g00b	g00b	g00b	g00b	g00b	g00b	g00b	g00b
16	0.75	0.75	0.75	0.75	0.75	0.75	0.75	0.75	0.88	1.0	0.75	0.75	0.75	0.75	0.75	0.75	0.75	0.88	1.0	0.75	0.75	0.75	0.75	0.75	0.75	0.75	0.88	1.0	1.0	0.88	0.75	0.63	0.5	0.38										

BAM-Registrierung: 20080701-Dg98/10L/L98G00NP.PS/.PDF BAM-Material: Code=th4ta
Anwendung für Beurteilung und Messung von Drucker- oder Monitorsystemen

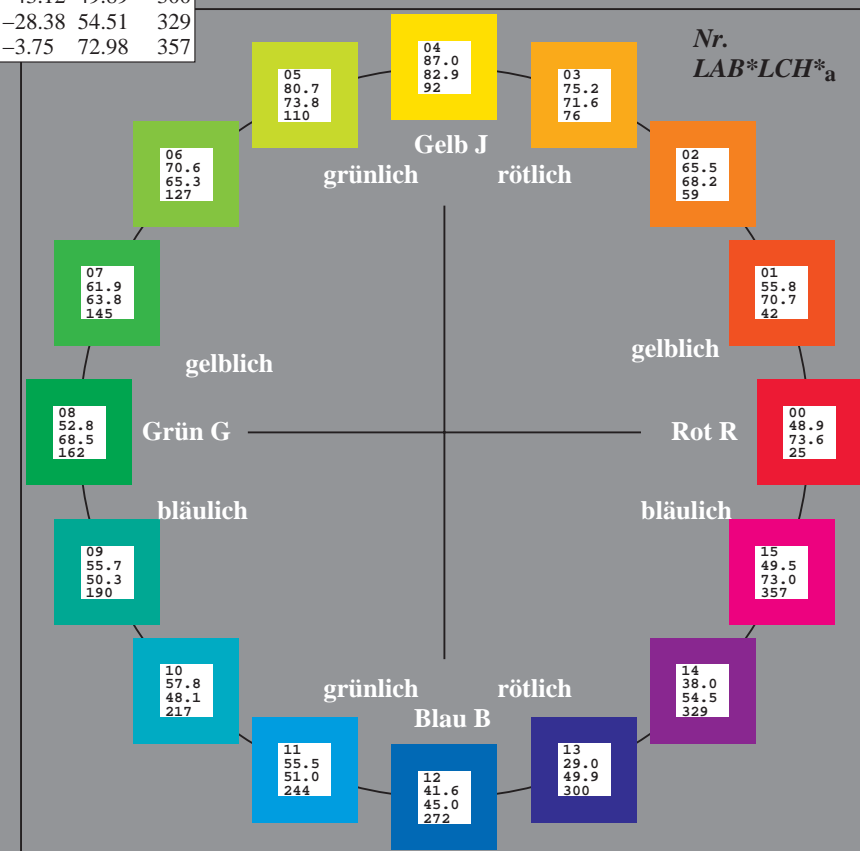
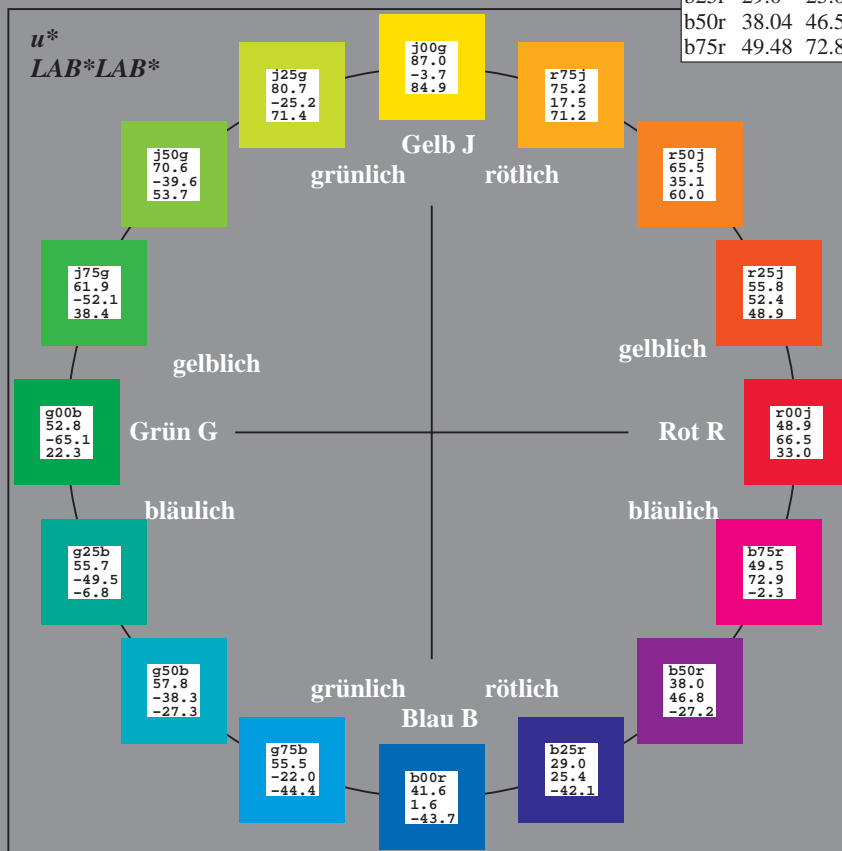
Ein und Ausgabe:
Farbmetrisches Drucker-Reflektiv-System ORS19_96a
Daten für jede Farbe:
*lab*_{rch}** und *lab*_{icu}**
Elementar-Bunttontext:
*u** = 16 Buntttöne *r00j*, *r25j*, ..., *b75r*
Kontrastreduzierungsfaktor:
 $c_R = 1.0$

ORS19_96a; adaptierte CIELAB-Daten					
	$L^*=L^*_a$	a^*_a	b^*_a	$C^*_{ab,a}$	$h^*_{ab,a}$
r00j	48.88	66.47	31.67	73.63	25
r25j	55.85	52.39	47.48	70.7	42
r50j	65.45	35.22	58.37	68.17	59
r75j	75.19	17.82	69.41	71.66	76
j00g	87.03	-3.34	82.83	82.9	92
j25g	80.72	-25.0	69.5	73.86	110
j50g	70.64	-39.53	51.97	65.3	127
j75g	61.93	-52.09	36.83	63.8	145
g00b	52.8	-65.27	20.93	68.56	162
g25b	55.7	-49.57	-8.38	50.28	190
g50b	57.82	-38.39	-28.91	48.07	217
g75b	55.5	-22.04	-45.94	50.97	244
b00r	41.6	1.37	-45.0	45.03	272
b25r	29.0	25.08	-43.12	49.89	300
b50r	38.04	46.53	-28.38	54.51	329
b75r	49.48	72.88	-3.75	72.98	357



%Umfang
 $u^*_{rel} = 89$
%Regularität
 $g^*_{H,rel} = 72$
 $g^*_{C,rel} = 57$

ORS19_96; CIELAB-Daten					
	$L^*=L^*_a$	a^*_a	b^*_a	C^*_{ab}	h^*_{ab}
O _M	48.75	65.16	40.76	76.86	32
Y _M	90.92	-10.77	89.36	90.01	97
L _M	52.69	-65.39	22.15	69.05	161
C _M	59.61	-29.03	-44.68	53.3	237
V _M	28.39	24.0	-43.17	49.4	299
M _M	49.58	74.01	-8.21	74.47	354
N _M	18.89	0.5	0.77	0.92	57
W _M	96.9	-0.56	2.23	2.3	104
R _{CIE}	39.92	58.74	27.99	65.07	25
J _{CIE}	81.26	-2.88	71.56	71.62	92
G _{CIE}	52.23	-42.41	13.6	44.55	162
B _{CIE}	30.57	1.41	-46.46	46.49	272



Ein und Ausgabe: Farbmetrisches Drucker-Reflektiv-System ORS19_96a für relativen CIELAB-Buntton $h^* = lab^*h^* = h_{ab}/360 = 25/360 = 0.071$

Daten für jede Farbe:

lab^*ch^* und lab^*icu^*

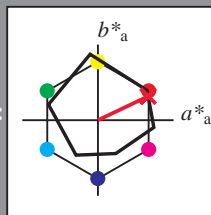
Elementar-Bunttontext:

$u^* = r00j$

Kontrastreduzierungsfaktor:

$c_R = 1.0$

Dreiecks-Helligkeit i^*



ORS19_96; CIELAB-Daten					
	$L^*=L^*$	a^*	b^*	C^*_{ab}	h^*_{ab}
O _M	48.75	65.16	40.76	76.86	32
Y _M	90.92	-10.77	89.36	90.01	97
L _M	52.69	-65.39	22.15	69.05	161
C _M	59.61	-29.03	-44.68	53.3	237
V _M	28.39	24.0	-43.17	49.4	299
M _M	49.58	74.01	-8.21	74.47	354
N _M	18.89	0.5	0.77	0.92	57
W _M	96.9	-0.56	2.23	2.3	104
R _{CIE}	39.92	58.74	27.99	65.07	25
J _{CIE}	81.26	-2.88	71.56	71.62	92
G _{CIE}	52.23	-42.41	13.6	44.55	162
B _{CIE}	30.57	1.41	-46.46	46.49	272

Daten für Maximalfarbe (Ma):

$LAB^*LAB^*_{Ma}$: 49 66 32

$LAB^*LCH^*_{Ma}$: 49 74 25

$lab^*rgb^*_{Ma}$: 1.0 0.0 0.0

$lab^*olv^*_{Ma}$: 1.0 0.0 0.16

Dreiecks-Helligkeit i^*

%Umfang

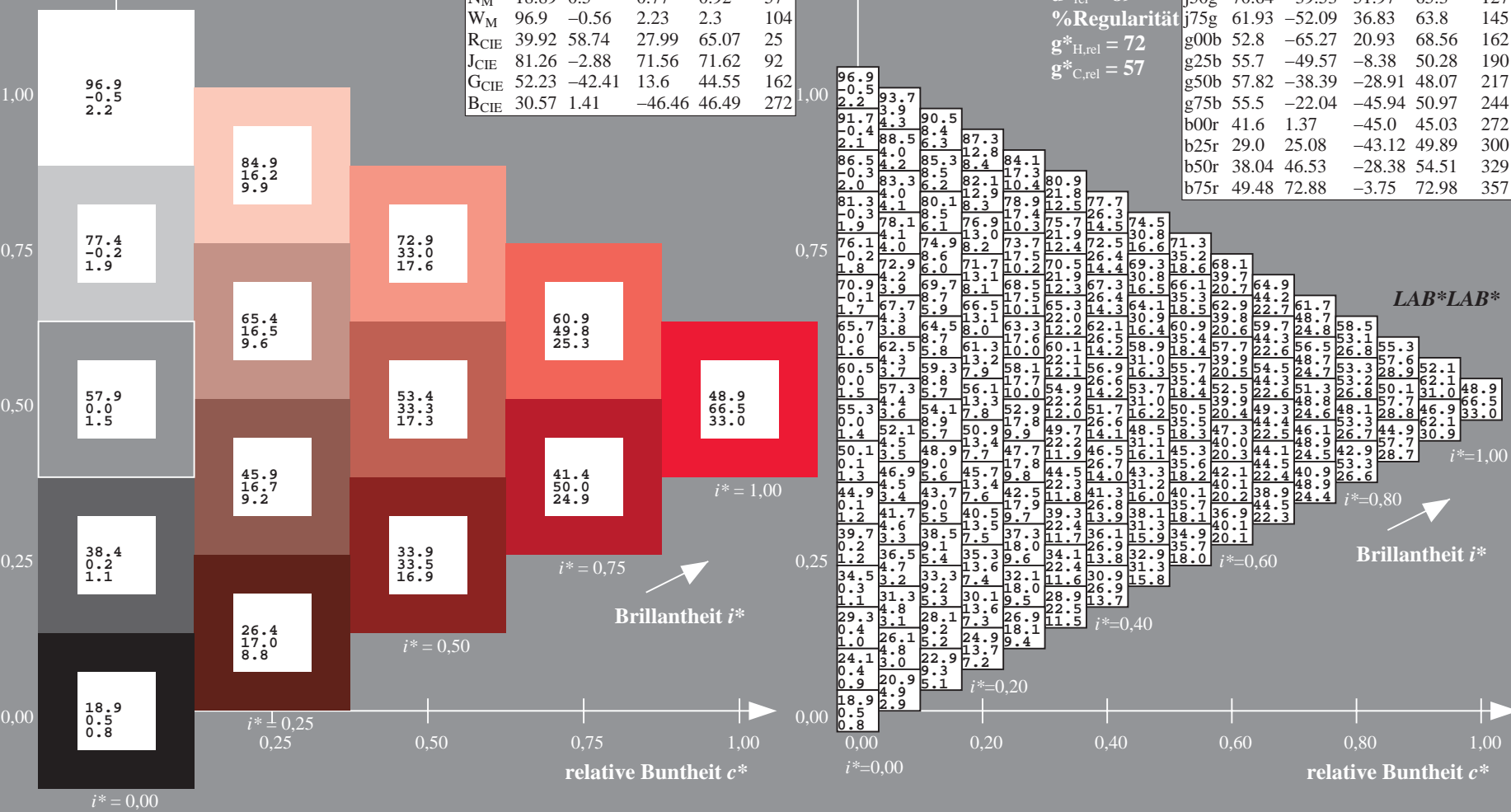
$u^*_{rel} = 89$

%Regularität

$g^*_{H,rel} = 72$

$g^*_{C,rel} = 57$

ORS19_96a; adaptierte CIELAB-Daten					
	$L^*=L^*_a$	a^*_a	b^*_a	$C^*_{ab,a}$	$h^*_{ab,a}$
r00j	48.88	66.47	31.67	73.63	25
r25j	55.85	52.39	47.48	70.7	42
r50j	65.45	35.22	58.37	68.17	59
r75j	75.19	17.82	69.41	71.66	76
j00g	87.03	-3.34	82.83	82.9	92
j25g	80.72	-25.0	69.5	73.86	110
j50g	70.64	-39.53	51.97	65.3	127
j75g	61.93	-52.09	36.83	63.8	145
g00b	52.8	-65.27	20.93	68.56	162
g25b	55.7	-49.57	-8.38	50.28	190
g50b	57.82	-38.39	-28.91	48.07	217
g75b	55.5	-22.04	-45.94	50.97	244
b00r	41.6	1.37	-45.0	45.03	272
b25r	29.0	25.08	-43.12	49.89	300
b50r	38.04	46.53	-28.38	54.51	329
b75r	49.48	72.88	-3.75	72.98	357



Ein und Ausgabe: Farbmimetrisches Drucker-Reflektiv-System ORS19_96a für relativen CIELAB-Buntton $h^* = \text{lab}^*h^* = h_{ab}/360 = 42/360 = 0.117$ $u^* = r25j$

Daten für jede Farbe:

lab^*tch^* und lab^*icu^*

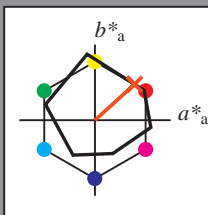
Elementar-Bunttonstext:

$u^* = r25j$

Kontrastreduzierungsfaktor:

$c_R = 1.0$

Dreiecks-Helligkeit t^*



ORS19_96; CIELAB-Daten					
	$L^*=L^*$	a^*	b^*	C^*_{ab}	h^*_{ab}
O _M	48.75	65.16	40.76	76.86	32
Y _M	90.92	-10.77	89.36	90.01	97
L _M	52.69	-65.39	22.15	69.05	161
C _M	59.61	-29.03	-44.68	53.3	237
V _M	28.39	24.0	-43.17	49.4	299
M _M	49.58	74.01	-8.21	74.47	354
N _M	18.89	0.5	0.77	0.92	57
W _M	96.9	-0.56	2.23	2.3	104
R _{CIE}	39.92	58.74	27.99	65.07	25
J _{CIE}	81.26	-2.88	71.56	71.62	92
G _{CIE}	52.23	-42.41	13.6	44.55	162
B _{CIE}	30.57	1.41	-46.46	46.49	272

Daten für Maximalfarbe (Ma):

$\text{LAB}^*\text{LAB}^*_{\text{Ma}}$: 56 52 47

$\text{LAB}^*\text{LCH}^*_{\text{Ma}}$: 56 71 42

$\text{lab}^*\text{rgb}^*_{\text{Ma}}$: 1.0 0.25 0.0

$\text{lab}^*\text{olv}^*_{\text{Ma}}$: 1.0 0.17 0.0

Dreiecks-Helligkeit t^*

%Umfang

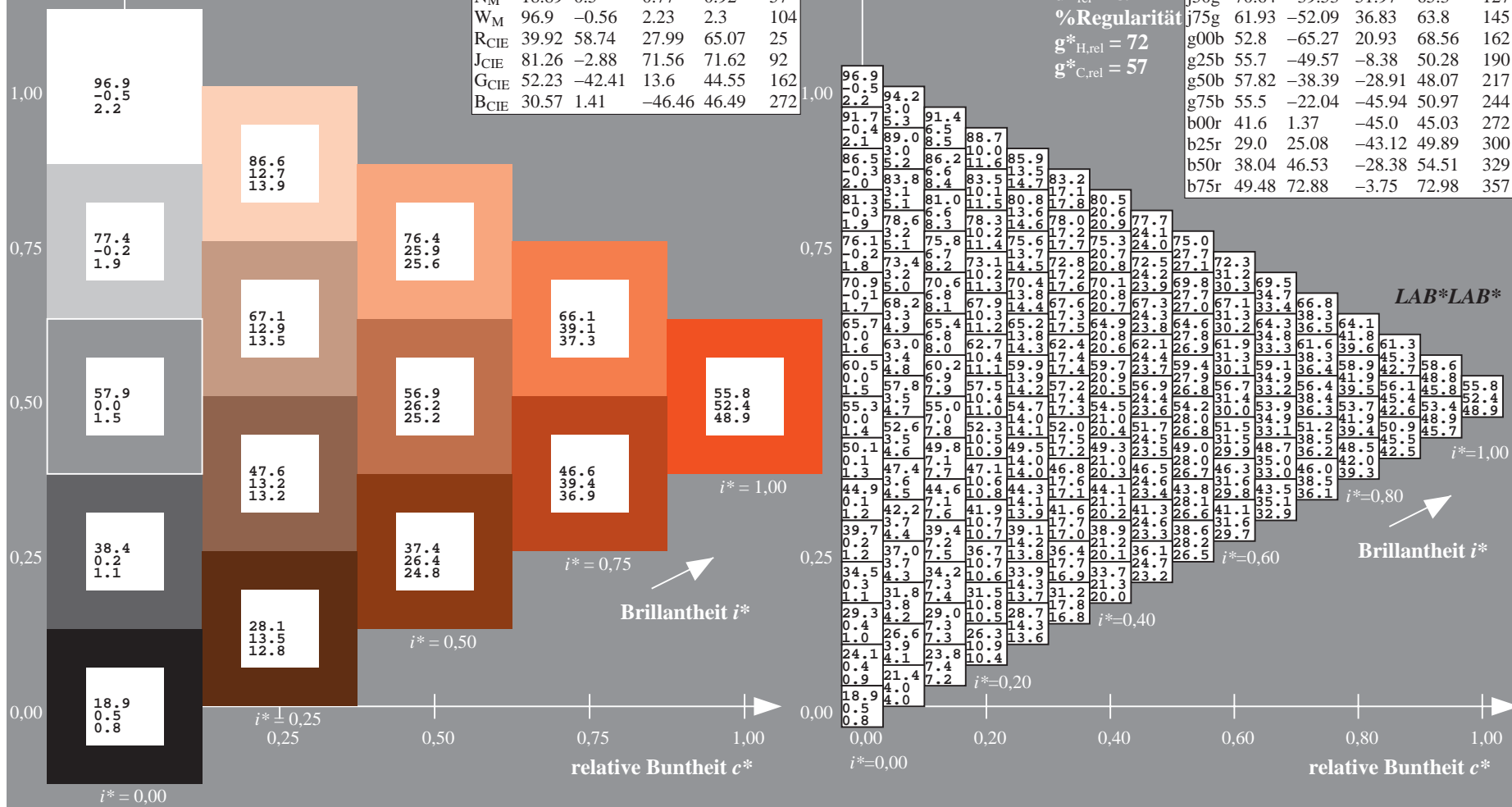
$u^*_{\text{rel}} = 89$

%Regularität

$g^*_{H,\text{rel}} = 72$

$g^*_{C,\text{rel}} = 57$

ORS19_96a; adaptierte CIELAB-Daten					
	$L^*=L^*_a$	a^*_a	b^*_a	$C^*_{ab,a}$	$h^*_{ab,a}$
r00j	48.88	66.47	31.67	73.63	25
r25j	55.85	52.39	47.48	70.7	42
r50j	65.45	35.22	58.37	68.17	59
r75j	75.19	17.82	69.41	71.66	76
j00g	87.03	-3.34	82.83	82.9	92
j25g	80.72	-25.0	69.5	73.86	110
j50g	70.64	-39.53	51.97	65.3	127
j75g	61.93	-52.09	36.83	63.8	145
g00b	52.8	-65.27	20.93	68.56	162
g25b	55.7	-49.57	-8.38	50.28	190
g50b	57.82	-38.39	-28.91	48.07	217
g75b	55.5	-22.04	-45.94	50.97	244
b00r	41.6	1.37	-45.0	45.03	272
b25r	29.0	25.08	-43.12	49.89	300
b50r	38.04	46.53	-28.38	54.51	329
b75r	49.48	72.88	-3.75	72.98	357



Ein und Ausgabe: Farbmetrisches Drucker-Reflektiv-System ORS19_96a für relativen CIELAB-Buntton $h^* = lab^*h^* = h_{ab}/360 = 59/360 = 0.164$ $u^* = r50j$

Daten für jede Farbe:

lab^*ch^* und lab^*icu^*

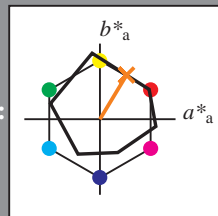
Elementar-Bunttontext:

$u^* = r50j$

Kontrastreduzierungsfaktor:

$c_R = 1.0$

Dreiecks-Helligkeit i^*



ORS19_96; CIELAB-Daten					
	$L^*=L^*$	a^*	b^*	C^*_{ab}	h^*_{ab}
O _M	48.75	65.16	40.76	76.86	32
Y _M	90.92	-10.77	89.36	90.01	97
L _M	52.69	-65.39	22.15	69.05	161
C _M	59.61	-29.03	-44.68	53.3	237
V _M	28.39	24.0	-43.17	49.4	299
M _M	49.58	74.01	-8.21	74.47	354
N _M	18.89	0.5	0.77	0.92	57
W _M	96.9	-0.56	2.23	2.3	104
R _{CIE}	39.92	58.74	27.99	65.07	25
J _{CIE}	81.26	-2.88	71.56	71.62	92
G _{CIE}	52.23	-42.41	13.6	44.55	162
B _{CIE}	30.57	1.41	-46.46	46.49	272

Daten für Maximalfarbe (Ma):

LAB^*LAB^*Ma : 65 35 58

LAB^*LCH^*Ma : 65 68 59

lab^*rgb^*Ma : 1.0 0.5 0.0

lab^*olv^*Ma : 1.0 0.4 0.0

Dreiecks-Helligkeit i^*

%Umfang

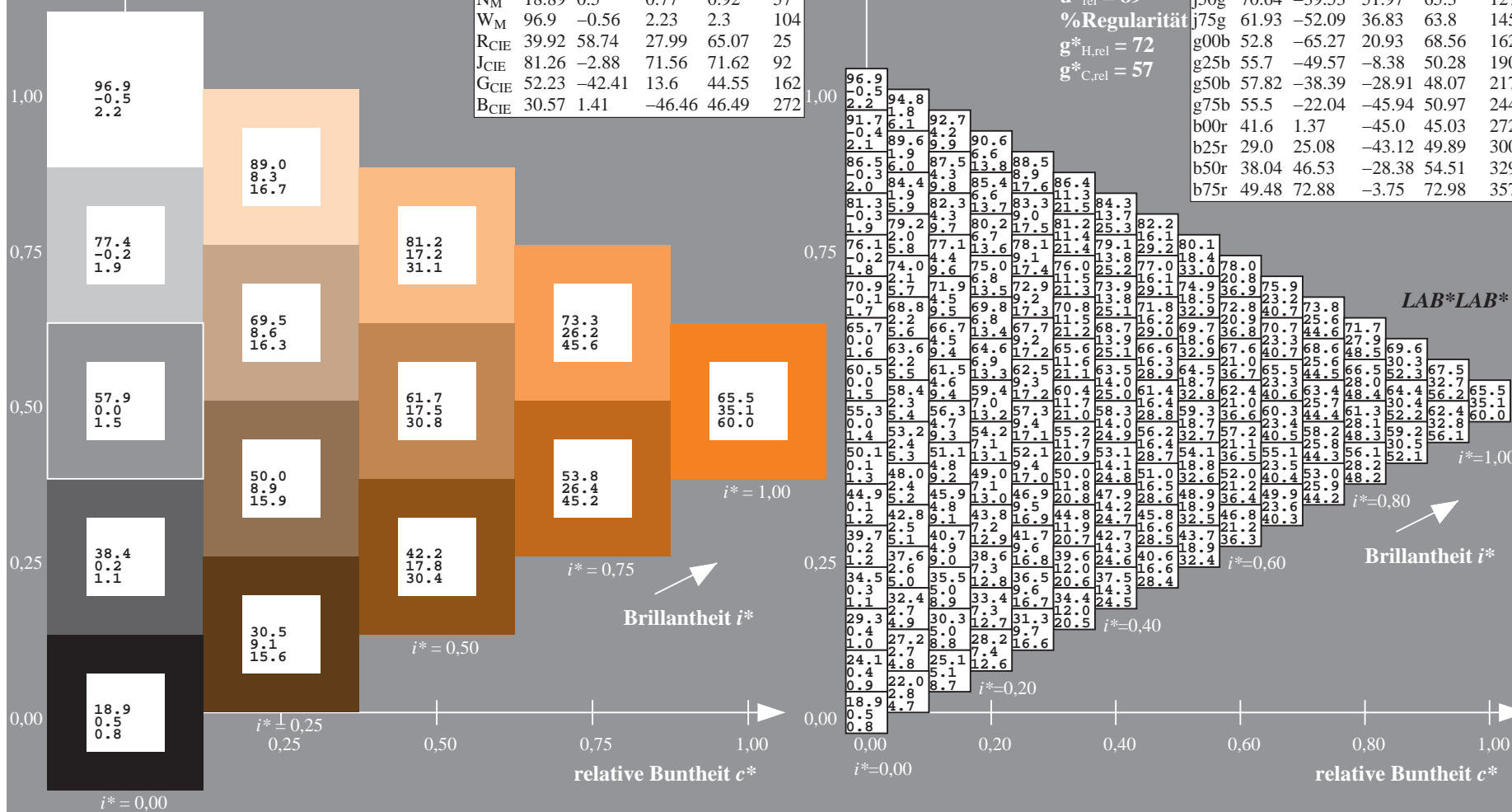
$u^*_{rel} = 89$

%Regularität

$g^*_{H,rel} = 72$

$g^*_{C,rel} = 57$

ORS19_96a; adaptierte CIELAB-Daten					
	$L^*=L^*$	a^*_a	b^*_a	$C^*_{ab,a}$	$h^*_{ab,a}$
r00j	48.88	66.47	31.67	73.63	25
r25j	55.85	52.39	47.48	70.7	42
r50j	65.45	35.22	58.37	68.17	59
r75j	75.19	17.82	69.41	71.66	76
j00g	87.03	-3.34	82.83	82.9	92
j25g	80.72	-25.0	69.5	73.86	110
j50g	70.64	-39.53	51.97	65.3	127
j75g	61.93	-52.09	36.83	63.8	145
g00b	52.8	-65.27	20.93	68.56	162
g25b	55.7	-49.57	-8.38	50.28	190
g50b	57.82	-38.39	-28.91	48.07	217
g75b	55.5	-22.04	-45.94	50.97	244
b00r	41.6	1.37	-45.0	45.03	272
b25r	29.0	25.08	-43.12	49.89	300
b50r	38.04	46.53	-28.38	54.51	329
b75r	49.48	72.88	-3.75	72.98	357



Ein und Ausgabe: Farbmimetrisches Drucker-Reflektiv-System ORS19_96a für relativen CIELAB-Buntton $h^* = \text{lab}^*h^* = h_{ab}/360 = 76/360 = 0.21$

Daten für jede Farbe:

lab^*tch^* und lab^*icu^*

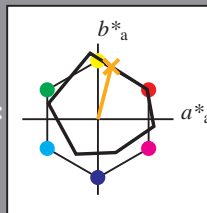
Elementar-Bunttonext:

$u^* = r75j$

Kontrastreduzierungsfaktor:

$c_R = 1.0$

Dreiecks-Helligkeit t^*



ORS19_96; CIELAB-Daten					
	$L^*=L^*$	a^*	b^*	C^*_{ab}	h^*_{ab}
O _M	48.75	65.16	40.76	76.86	32
Y _M	90.92	-10.77	89.36	90.01	97
L _M	52.69	-65.39	22.15	69.05	161
C _M	59.61	-29.03	-44.68	53.3	237
V _M	28.39	24.0	-43.17	49.4	299
M _M	49.58	74.01	-8.21	74.47	354
N _M	18.89	0.5	0.77	0.92	57
W _M	96.9	-0.56	2.23	2.3	104
R _{CIE}	39.92	58.74	27.99	65.07	25
J _{CIE}	81.26	-2.88	71.56	71.62	92
G _{CIE}	52.23	-42.41	13.6	44.55	162
B _{CIE}	30.57	1.41	-46.46	46.49	272

Daten für Maximalfarbe (Ma):

$\text{LAB}^*\text{LAB}^*_{\text{Ma}}$: 75 18 69

$\text{LAB}^*\text{LCH}^*_{\text{Ma}}$: 75 72 76

$\text{lab}^*\text{rgb}^*_{\text{Ma}}$: 1.0 0.75 0.0

$\text{lab}^*\text{olv}^*_{\text{Ma}}$: 1.0 0.63 0.0

Dreiecks-Helligkeit t^*

%Umfang

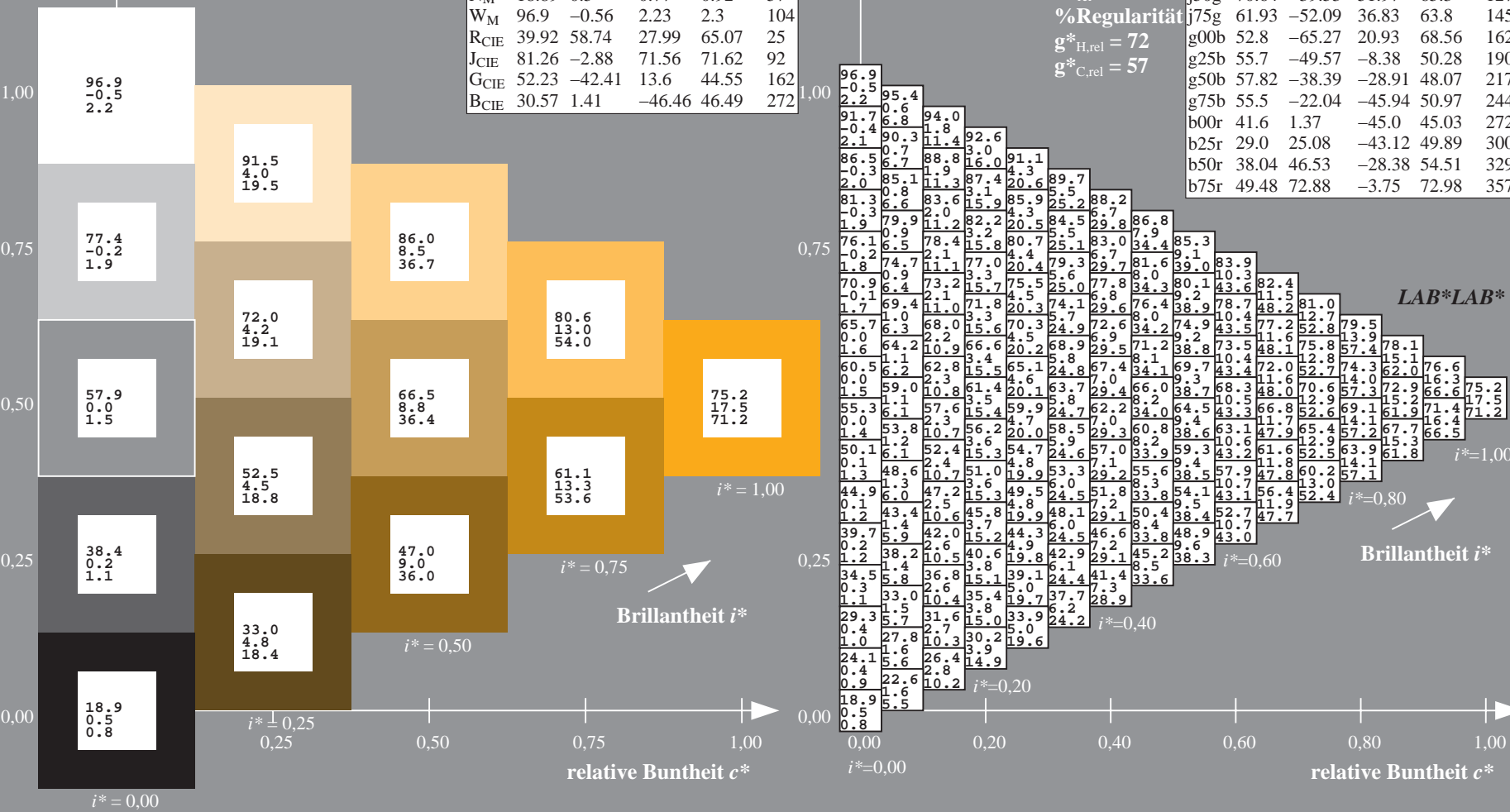
$u^*_{\text{rel}} = 89$

%Regularität

$g^*_{H,\text{rel}} = 72$

$g^*_{C,\text{rel}} = 57$

ORS19_96a; adaptierte CIELAB-Daten					
	$L^*=L^*_a$	a^*_a	b^*_a	$C^*_{ab,a}$	$h^*_{ab,a}$
r00j	48.88	66.47	31.67	73.63	25
r25j	55.85	52.39	47.48	70.7	42
r50j	65.45	35.22	58.37	68.17	59
r75j	75.19	17.82	69.41	71.66	76
j00g	87.03	-3.34	82.83	82.9	92
j25g	80.72	-25.0	69.5	73.86	110
j50g	70.64	-39.53	51.97	65.3	127
j75g	61.93	-52.09	36.83	63.8	145
g00b	52.8	-65.27	20.93	68.56	162
g25b	55.7	-49.57	-8.38	50.28	190
g50b	57.82	-38.39	-28.91	48.07	217
g75b	55.5	-22.04	-45.94	50.97	244
b00r	41.6	1.37	-45.0	45.03	272
b25r	29.0	25.08	-43.12	49.89	300
b50r	38.04	46.53	-28.38	54.51	329
b75r	49.48	72.88	-3.75	72.98	357



Ein und Ausgabe: Farbmetrisches Drucker-Reflektiv-System ORS19_96a für relativen CIELAB-Buntton $h^* = lab^*h^* = h_{ab}/360 = 92/360 = 0.256$ $u^* = j00g$

Daten für jede Farbe:

lab^*ch^* und lab^*icu^*

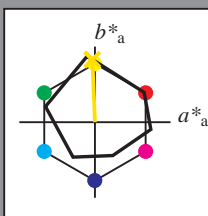
Elementar-Bunttontext:

$u^* = j00g$

Kontrastreduzierungsfaktor:

$c_R = 1.0$

Dreiecks-Helligkeit t^*



ORS19_96; CIELAB-Daten					
	$L^*=L^*$	a^*	b^*	C^*_{ab}	h^*_{ab}
O _M	48.75	65.16	40.76	76.86	32
Y _M	90.92	-10.77	89.36	90.01	97
L _M	52.69	-65.39	22.15	69.05	161
C _M	59.61	-29.03	-44.68	53.3	237
V _M	28.39	24.0	-43.17	49.4	299
M _M	49.58	74.01	-8.21	74.47	354
N _M	18.89	0.5	0.77	0.92	57
W _M	96.9	-0.56	2.23	2.3	104
R _{CIE}	39.92	58.74	27.99	65.07	25
J _{CIE}	81.26	-2.88	71.56	71.62	92
G _{CIE}	52.23	-42.41	13.6	44.55	162
B _{CIE}	30.57	1.41	-46.46	46.49	272

Daten für Maximalfarbe (Ma):

LAB^*LAB^*Ma : 87 -2 83

LAB^*LCH^*Ma : 87 83 92

lab^*rgb^*Ma : 1.0 1.0 0.0

lab^*olv^*Ma : 1.0 0.91 0.0

Dreiecks-Helligkeit t^*

%Umfang

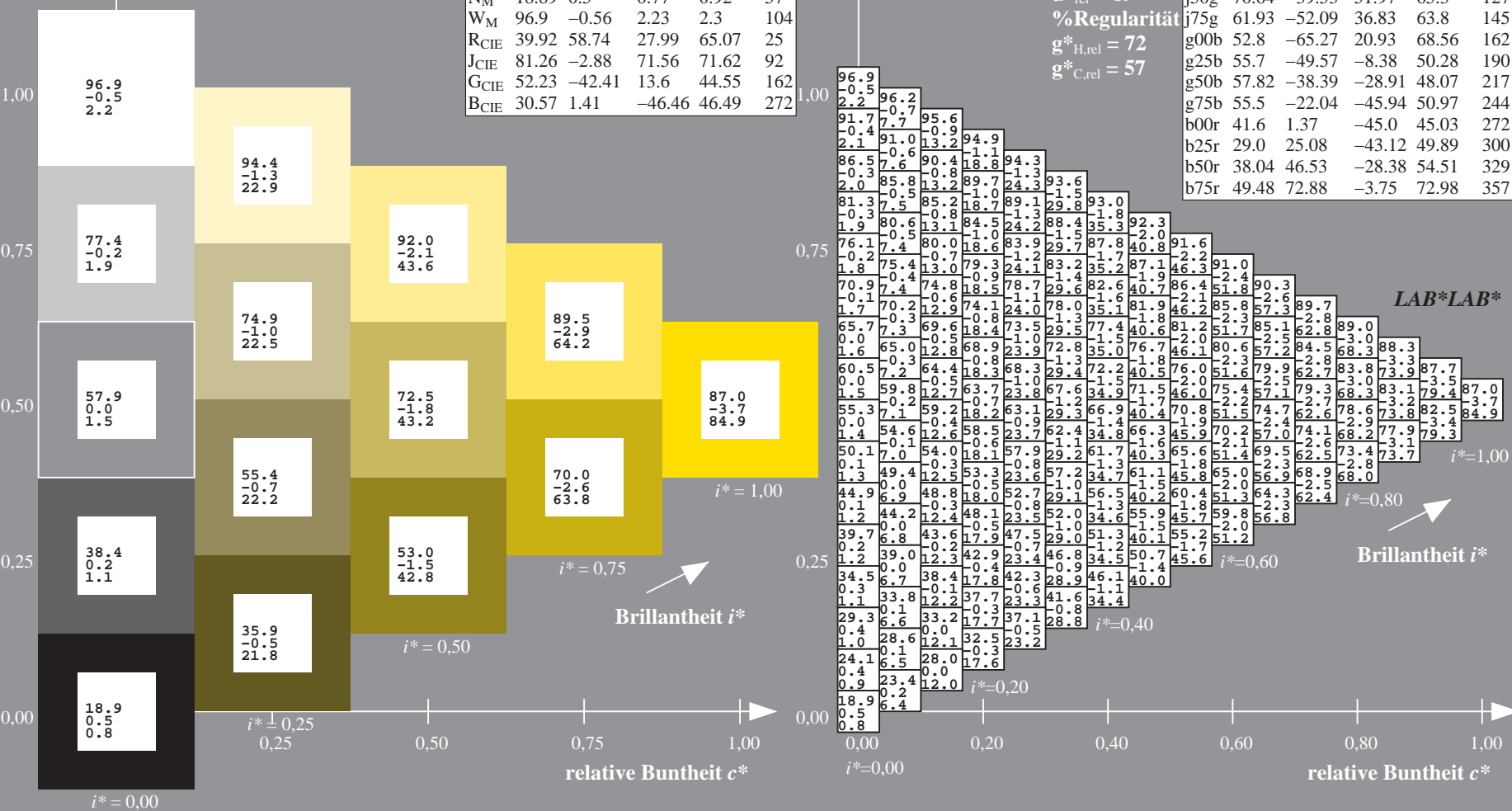
$u^*_{rel} = 89$

%Regularität

$g^*_{H,rel} = 72$

$g^*_{C,rel} = 57$

ORS19_96a; adaptierte CIELAB-Daten					
	$L^*=L^*_a$	a^*_a	b^*_a	$C^*_{ab,a}$	$h^*_{ab,a}$
r00j	48.88	66.47	31.67	73.63	25
r25j	55.85	52.39	47.48	70.7	42
r50j	65.45	35.22	58.37	68.17	59
r75j	75.19	17.82	69.41	71.66	76
j00g	87.03	-3.34	82.83	82.9	92
j25g	80.72	-25.0	69.5	73.86	110
j50g	70.64	-39.53	51.97	65.3	127
j75g	61.93	-52.09	36.83	63.8	145
g00b	52.8	-65.27	20.93	68.56	162
g25b	55.7	-49.57	-8.38	50.28	190
g50b	57.82	-38.39	-28.91	48.07	217
g75b	55.5	-22.04	-45.94	50.97	244
b00r	41.6	1.37	-45.0	45.03	272
b25r	29.0	25.08	-43.12	49.89	300
b50r	38.04	46.53	-28.38	54.51	329
b75r	49.48	72.88	-3.75	72.98	357



Ein und Ausgabe: Farbmetrisches Drucker-Reflektiv-System ORS19_96a für relativen CIELAB-Buntton $h^* = lab^*h^* = h_{ab}/360 = 110/360 = 0.305$ $u^* = j25g$

Daten für jede Farbe:

lab^*ch^* und lab^*icu^*

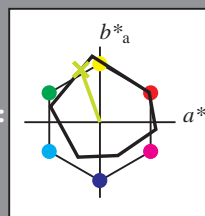
Elementar-Bunttontext:

$u^* = j25g$

Kontrastreduzierungsfaktor:

$c_R = 1.0$

Dreiecks-Helligkeit t^*



ORS19_96; CIELAB-Daten					
	$L^*=L^*$	a^*	b^*	C^*_{ab}	h^*_{ab}
O _M	48.75	65.16	40.76	76.86	32
Y _M	90.92	-10.77	89.36	90.01	97
L _M	52.69	-65.39	22.15	69.05	161
C _M	59.61	-29.03	-44.68	53.3	237
V _M	28.39	24.0	-43.17	49.4	299
M _M	49.58	74.01	-8.21	74.47	354
N _M	18.89	0.5	0.77	0.92	57
W _M	96.9	-0.56	2.23	2.3	104
R _{CIE}	39.92	58.74	27.99	65.07	25
J _{CIE}	81.26	-2.88	71.56	71.62	92
G _{CIE}	52.23	-42.41	13.6	44.55	162
B _{CIE}	30.57	1.41	-46.46	46.49	272

Daten für Maximalfarbe (Ma):

LAB^*LAB^*Ma : 81 -24 69

LAB^*LCH^*Ma : 81 74 110

lab^*rgb^*Ma : 0.75 1.0 0.0

lab^*olv^*Ma : 0.73 1.0 0.0

Dreiecks-Helligkeit t^*

%Umfang

$u^*_{rel} = 89$

%Regularität

$g^*_{H,rel} = 72$

$g^*_{C,rel} = 57$

ORS19_96a; adaptierte CIELAB-Daten					
	$L^*=L^*$	a^*_a	b^*_a	$C^*_{ab,a}$	$h^*_{ab,a}$
r00j	48.88	66.47	31.67	73.63	25
r25j	55.85	52.39	47.48	70.7	42
r50j	65.45	35.22	58.37	68.17	59
r75j	75.19	17.82	69.41	71.66	76
j00g	87.03	-3.34	82.83	82.9	92
j25g	80.72	-25.0	69.5	73.86	110
j50g	70.64	-39.53	51.97	65.3	127
j75g	61.93	-52.09	36.83	63.8	145
g00b	52.8	-65.27	20.93	68.56	162
g25b	55.7	-49.57	-8.38	50.28	190
g50b	57.82	-38.39	-28.91	48.07	217
g75b	55.5	-22.04	-45.94	50.97	244
b00r	41.6	1.37	-45.0	45.03	272
b25r	29.0	25.08	-43.12	49.89	300
b50r	38.04	46.53	-28.38	54.51	329
b75r	49.48	72.88	-3.75	72.98	357

Ein und Ausgabe: Farbmetrisches Drucker-Reflektiv-System ORS19_96a für relativen CIELAB-Buntton $h^* = lab^*h^* = h_{ab}/360 = 127/360 = 0.354$ $u^* = j50g$

Daten für jede Farbe:

lab^*ch^* und lab^*icu^*

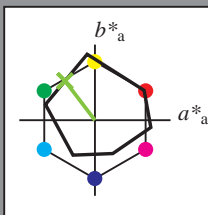
Elementar-Bunttontext:

$u^* = j50g$

Kontrastreduzierungsfaktor:

$c_R = 1.0$

Dreiecks-Helligkeit t^*



ORS19_96; CIELAB-Daten					
	$L^*=L^*$	a^*	b^*	C^*_{ab}	h^*_{ab}
O _M	48.75	65.16	40.76	76.86	32
Y _M	90.92	-10.77	89.36	90.01	97
L _M	52.69	-65.39	22.15	69.05	161
C _M	59.61	-29.03	-44.68	53.3	237
V _M	28.39	24.0	-43.17	49.4	299
M _M	49.58	74.01	-8.21	74.47	354
N _M	18.89	0.5	0.77	0.92	57
W _M	96.9	-0.56	2.23	2.3	104
R _{CIE}	39.92	58.74	27.99	65.07	25
J _{CIE}	81.26	-2.88	71.56	71.62	92
G _{CIE}	52.23	-42.41	13.6	44.55	162
B _{CIE}	30.57	1.41	-46.46	46.49	272

Daten für Maximalfarbe (Ma):

$LAB^*LAB^*_{Ma}$: 71 -39 52

$LAB^*LCH^*_{Ma}$: 71 65 127

$lab^*rgb^*_{Ma}$: 0.5 1.0 0.0

$lab^*olv^*_{Ma}$: 0.47 1.0 0.0

Dreiecks-Helligkeit t^*

%Umfang

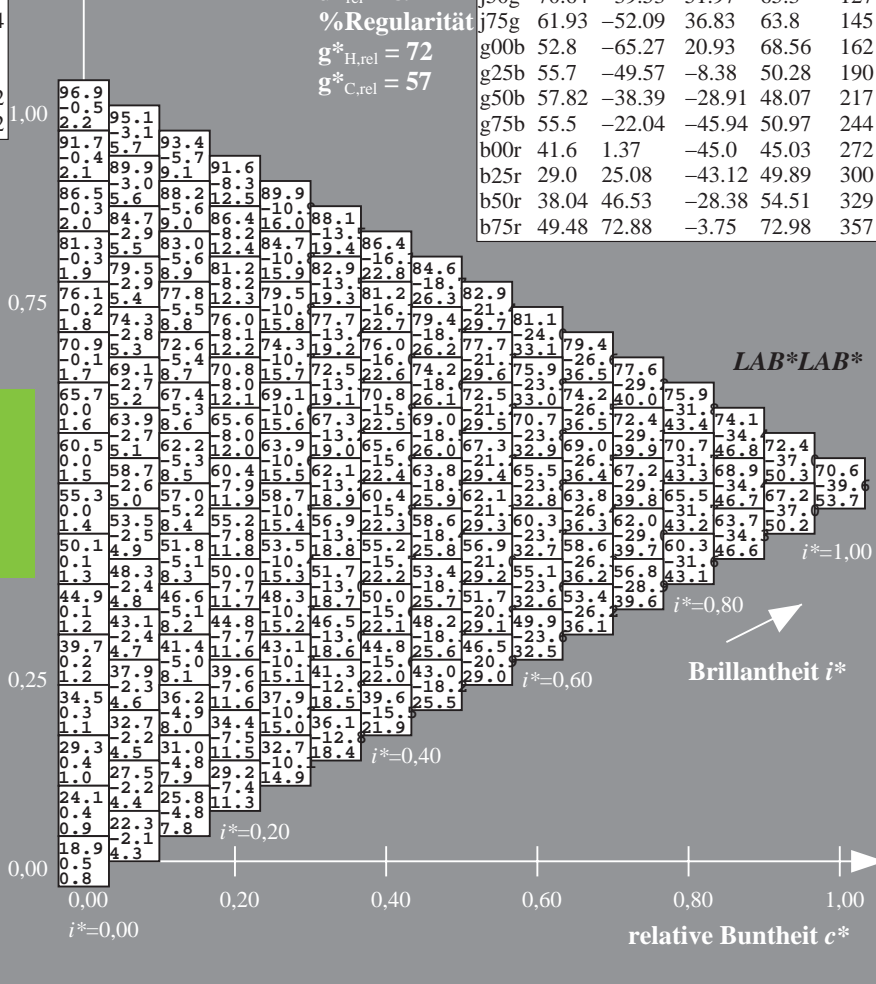
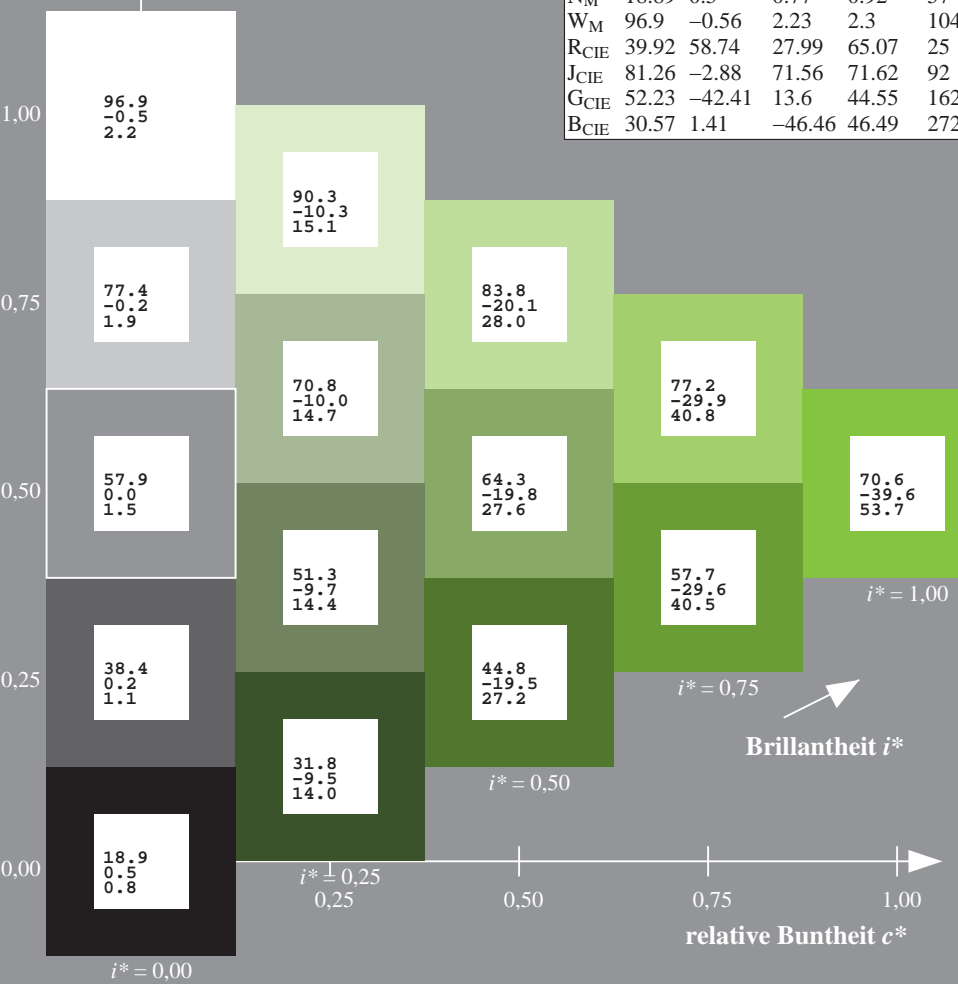
$u^*_{rel} = 89$

%Regularität

$g^*_{H,rel} = 72$

$g^*_{C,rel} = 57$

ORS19_96a; adaptierte CIELAB-Daten					
	$L^*=L^*_a$	a^*_a	b^*_a	$C^*_{ab,a}$	$h^*_{ab,a}$
r00j	48.88	66.47	31.67	73.63	25
r25j	55.85	52.39	47.48	70.7	42
r50j	65.45	35.22	58.37	68.17	59
r75j	75.19	17.82	69.41	71.66	76
j00g	87.03	-3.34	82.83	82.9	92
j25g	80.72	-25.0	69.5	73.86	110
j50g	70.64	-39.53	51.97	65.3	127
j75g	61.93	-52.09	36.83	63.8	145
g00b	52.8	-65.27	20.93	68.56	162
g25b	55.7	-49.57	-8.38	50.28	190
g50b	57.82	-38.39	-28.91	48.07	217
g75b	55.5	-22.04	-45.94	50.97	244
b00r	41.6	1.37	-45.0	45.03	272
b25r	29.0	25.08	-43.12	49.89	300
b50r	38.04	46.53	-28.38	54.51	329
b75r	49.48	72.88	-3.75	72.98	357



Ein und Ausgabe: Farbmetrisches Drucker-Reflektiv-System ORS19_96a für relativen CIELAB-Buntton $h^* = lab^*h^* = h_{ab}/360 = 145/360 = 0.402$ $u^* = j75g$

Daten für jede Farbe:

lab^*ch^* und lab^*icu^*

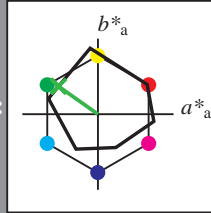
Elementar-Bunttonext:

$u^* = j75g$

Kontrastreduzierungsfaktor:

$c_R = 1.0$

Dreiecks-Helligkeit i^*



ORS19_96; CIELAB-Daten					
	$L^*=L^*$	a^*	b^*	C^*_{ab}	h^*_{ab}
O _M	48.75	65.16	40.76	76.86	32
Y _M	90.92	-10.77	89.36	90.01	97
L _M	52.69	-65.39	22.15	69.05	161
C _M	59.61	-29.03	-44.68	53.3	237
V _M	28.39	24.0	-43.17	49.4	299
M _M	49.58	74.01	-8.21	74.47	354
N _M	18.89	0.5	0.77	0.92	57
W _M	96.9	-0.56	2.23	2.3	104
R _{CIE}	39.92	58.74	27.99	65.07	25
J _{CIE}	81.26	-2.88	71.56	71.62	92
G _{CIE}	52.23	-42.41	13.6	44.55	162
B _{CIE}	30.57	1.41	-46.46	46.49	272

Daten für Maximalfarbe (Ma):

LAB^*LAB^*Ma : 62 -51 37

LAB^*LCH^*Ma : 62 64 145

lab^*rgb^*Ma : 0.25 1.0 0.0

lab^*olv^*Ma : 0.24 1.0 0.0

Dreiecks-Helligkeit i^*

%Umfang

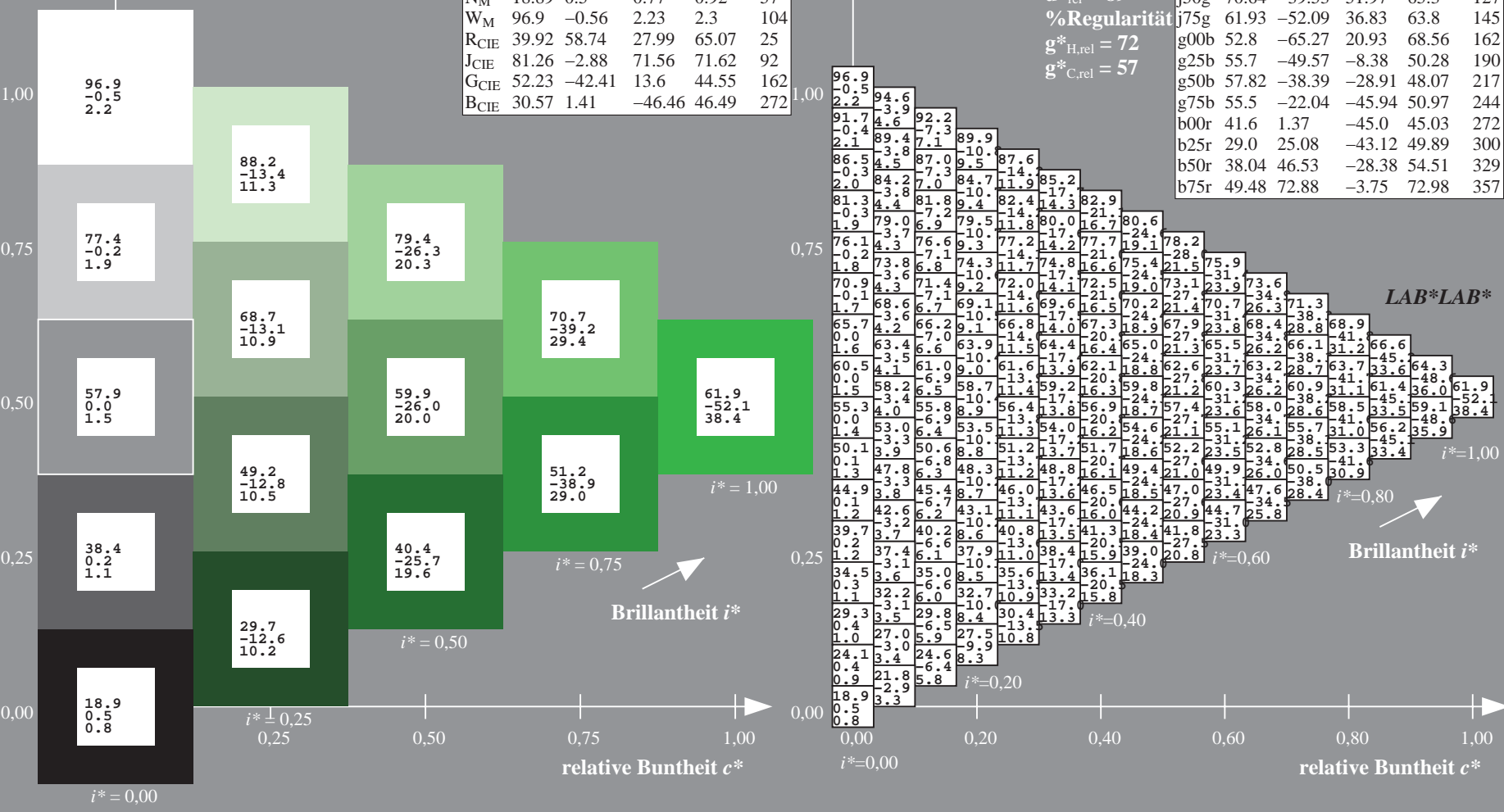
$u^*_{rel} = 89$

%Regularität

$g^*_{H,rel} = 72$

$g^*_{C,rel} = 57$

ORS19_96a; adaptierte CIELAB-Daten					
	$L^*=L^*_a$	a^*_a	b^*_a	$C^*_{ab,a}$	$h^*_{ab,a}$
r00j	48.88	66.47	31.67	73.63	25
r25j	55.85	52.39	47.48	70.7	42
r50j	65.45	35.22	58.37	68.17	59
r75j	75.19	17.82	69.41	71.66	76
j00g	87.03	-3.34	82.83	82.9	92
j25g	80.72	-25.0	69.5	73.86	110
j50g	70.64	-39.53	51.97	65.3	127
j75g	61.93	-52.09	36.83	63.8	145
g00b	52.8	-65.27	20.93	68.56	162
g25b	55.7	-49.57	-8.38	50.28	190
g50b	57.82	-38.39	-28.91	48.07	217
g75b	55.5	-22.04	-45.94	50.97	244
b00r	41.6	1.37	-45.0	45.03	272
b25r	29.0	25.08	-43.12	49.89	300
b50r	38.04	46.53	-28.38	54.51	329
b75r	49.48	72.88	-3.75	72.98	357



Ein und Ausgabe: Farbmetrisches Drucker-Reflektiv-System ORS19_96a für relativen CIELAB-Buntton $h^* = lab^*h^* = h_{ab}/360 = 162/360 = 0.451$ $u^* = g00b$

Daten für jede Farbe:

lab^*ch^* und lab^*icu^*

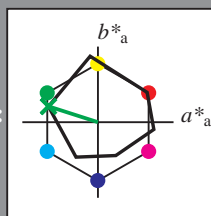
Elementar-Bunttontext:

$u^* = g00b$

Kontrastreduzierungsfaktor:

$c_R = 1.0$

Dreiecks-Helligkeit i^*



ORS19_96; CIELAB-Daten					
	$L^*=L^*$	a^*	b^*	C^*_{ab}	h^*_{ab}
O _M	48.75	65.16	40.76	76.86	32
Y _M	90.92	-10.77	89.36	90.01	97
L _M	52.69	-65.39	22.15	69.05	161
C _M	59.61	-29.03	-44.68	53.3	237
V _M	28.39	24.0	-43.17	49.4	299
M _M	49.58	74.01	-8.21	74.47	354
N _M	18.89	0.5	0.77	0.92	57
W _M	96.9	-0.56	2.23	2.3	104
R _{CIE}	39.92	58.74	27.99	65.07	25
J _{CIE}	81.26	-2.88	71.56	71.62	92
G _{CIE}	52.23	-42.41	13.6	44.55	162
B _{CIE}	30.57	1.41	-46.46	46.49	272

Daten für Maximalfarbe (Ma):

$LAB^*LAB^*Ma: 53 -64 21$

$LAB^*LCH^*Ma: 53 69 162$

$lab^*rgb^*Ma: 0.0 1.0 0.0$

$lab^*olv^*Ma: 0.0 1.0 0.0$

Dreiecks-Helligkeit i^*

%Umfang

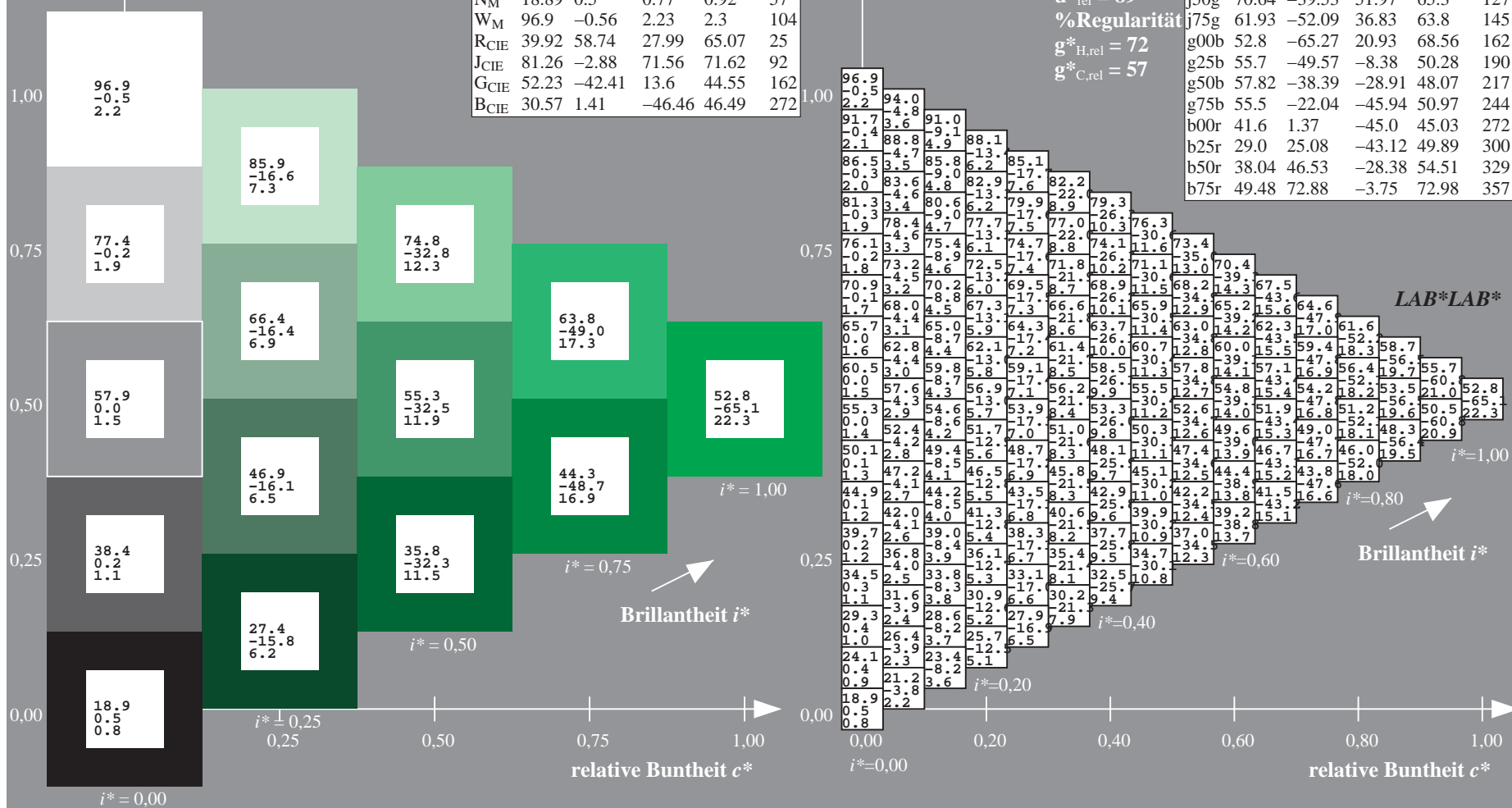
$u^*_{rel} = 89$

%Regularität

$g^*_{H,rel} = 72$

$g^*_{C,rel} = 57$

ORS19_96a; adaptierte CIELAB-Daten					
	$L^*=L^*_a$	a^*_a	b^*_a	$C^*_{ab,a}$	$h^*_{ab,a}$
r00j	48.88	66.47	31.67	73.63	25
r25j	55.85	52.39	47.48	70.7	42
r50j	65.45	35.22	58.37	68.17	59
r75j	75.19	17.82	69.41	71.66	76
j00g	87.03	-3.34	82.83	82.9	92
j25g	80.72	-25.0	69.5	73.86	110
j50g	70.64	-39.53	51.97	65.3	127
j75g	61.93	-52.09	36.83	63.8	145
g00b	52.8	-65.27	20.93	68.56	162
g25b	55.7	-49.57	-8.38	50.28	190
g50b	57.82	-38.39	-28.91	48.07	217
g75b	55.5	-22.04	-45.94	50.97	244
b00r	41.6	1.37	-45.0	45.03	272
b25r	29.0	25.08	-43.12	49.89	300
b50r	38.04	46.53	-28.38	54.51	329
b75r	49.48	72.88	-3.75	72.98	357



Ein und Ausgabe: Farbmetrisches Drucker-Reflektiv-System ORS19_96a für relativen CIELAB-Buntton $h^* = lab^*h^* = h_{ab}/360 = 190/360 = 0.527$ $u^* = g25b$

Daten für jede Farbe:

lab^*ch^* und lab^*icu^*

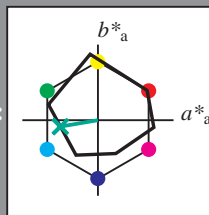
Elementar-Bunttontext:

$u^* = g25b$

Kontrastreduzierungsfaktor:

$c_R = 1.0$

Dreiecks-Helligkeit i^*



ORS19_96; CIELAB-Daten					
	$L^*=L^*$	a^*	b^*	C^*_{ab}	h^*_{ab}
O _M	48.75	65.16	40.76	76.86	32
Y _M	90.92	-10.77	89.36	90.01	97
L _M	52.69	-65.39	22.15	69.05	161
C _M	59.61	-29.03	-44.68	53.3	237
V _M	28.39	24.0	-43.17	49.4	299
M _M	49.58	74.01	-8.21	74.47	354
N _M	18.89	0.5	0.77	0.92	57
W _M	96.9	-0.56	2.23	2.3	104
R _{CIE}	39.92	58.74	27.99	65.07	25
J _{CIE}	81.26	-2.88	71.56	71.62	92
G _{CIE}	52.23	-42.41	13.6	44.55	162
B _{CIE}	30.57	1.41	-46.46	46.49	272

Daten für Maximalfarbe (Ma):

$LAB^*LAB^*_{Ma}$: 56 -49 -7

$LAB^*LCH^*_{Ma}$: 56 50 190

$lab^*rgb^*_{Ma}$: 0.0 1.0 0.5

$lab^*olv^*_{Ma}$: 0.0 1.0 0.44

Dreiecks-Helligkeit i^*

%Umfang

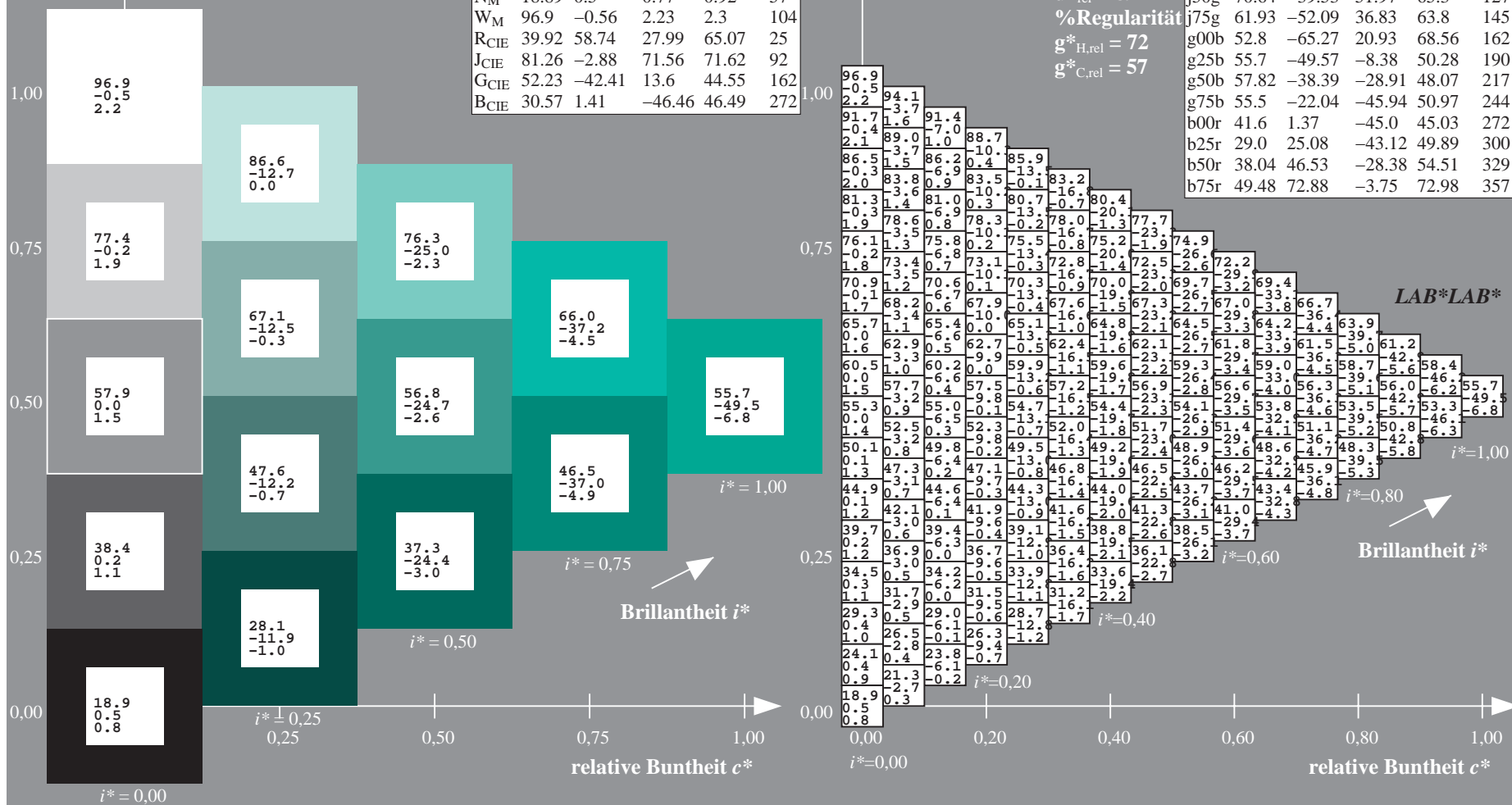
$u^*_{rel} = 89$

%Regularität

$g^*_{H,rel} = 72$

$g^*_{C,rel} = 57$

ORS19_96a; adaptierte CIELAB-Daten					
	$L^*=L^*_a$	a^*_a	b^*_a	$C^*_{ab,a}$	$h^*_{ab,a}$
r00j	48.88	66.47	31.67	73.63	25
r25j	55.85	52.39	47.48	70.7	42
r50j	65.45	35.22	58.37	68.17	59
r75j	75.19	17.82	69.41	71.66	76
j00g	87.03	-3.34	82.83	82.9	92
j25g	80.72	-25.0	69.5	73.86	110
j50g	70.64	-39.53	51.97	65.3	127
j75g	61.93	-52.09	36.83	63.8	145
g00b	52.8	-65.27	20.93	68.56	162
g25b	55.7	-49.57	-8.38	50.28	190
g50b	57.82	-38.39	-28.91	48.07	217
g75b	55.5	-22.04	-45.94	50.97	244
b00r	41.6	1.37	-45.0	45.03	272
b25r	29.0	25.08	-43.12	49.89	300
b50r	38.04	46.53	-28.38	54.51	329
b75r	49.48	72.88	-3.75	72.98	357



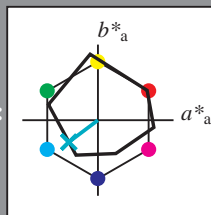
Ein und Ausgabe: Farbmetrisches Drucker-Reflektiv-System ORS19_96a für relativen CIELAB-Buntton $h^* = lab^*h^* = h_{ab}/360 = 217/360 = 0.603$ $u^* = g50b$

Daten für jede Farbe:
 lab^*ch^* und lab^*icu^*

Elementar-Bunttontext:
 $u^* = g50b$

Kontrastreduzierungsfaktor:
 $c_R = 1.0$

Dreiecks-Helligkeit t^*



ORS19_96; CIELAB-Daten					
	$L^*=L^*$	a^*	b^*	C^*_{ab}	h^*_{ab}
O _M	48.75	65.16	40.76	76.86	32
Y _M	90.92	-10.77	89.36	90.01	97
L _M	52.69	-65.39	22.15	69.05	161
C _M	59.61	-29.03	-44.68	53.3	237
V _M	28.39	24.0	-43.17	49.4	299
M _M	49.58	74.01	-8.21	74.47	354
N _M	18.89	0.5	0.77	0.92	57
W _M	96.9	-0.56	2.23	2.3	104
R _{CIE}	39.92	58.74	27.99	65.07	25
J _{CIE}	81.26	-2.88	71.56	71.62	92
G _{CIE}	52.23	-42.41	13.6	44.55	162
B _{CIE}	30.57	1.41	-46.46	46.49	272

Daten für Maximalfarbe (Ma):

LAB^*LAB^*Ma : 58 -37 -28

LAB^*LCH^*Ma : 58 48 217

lab^*rgb^*Ma : 0.0 1.0 1.0

lab^*olv^*Ma : 0.0 1.0 0.74

Dreiecks-Helligkeit t^*

%Umfang

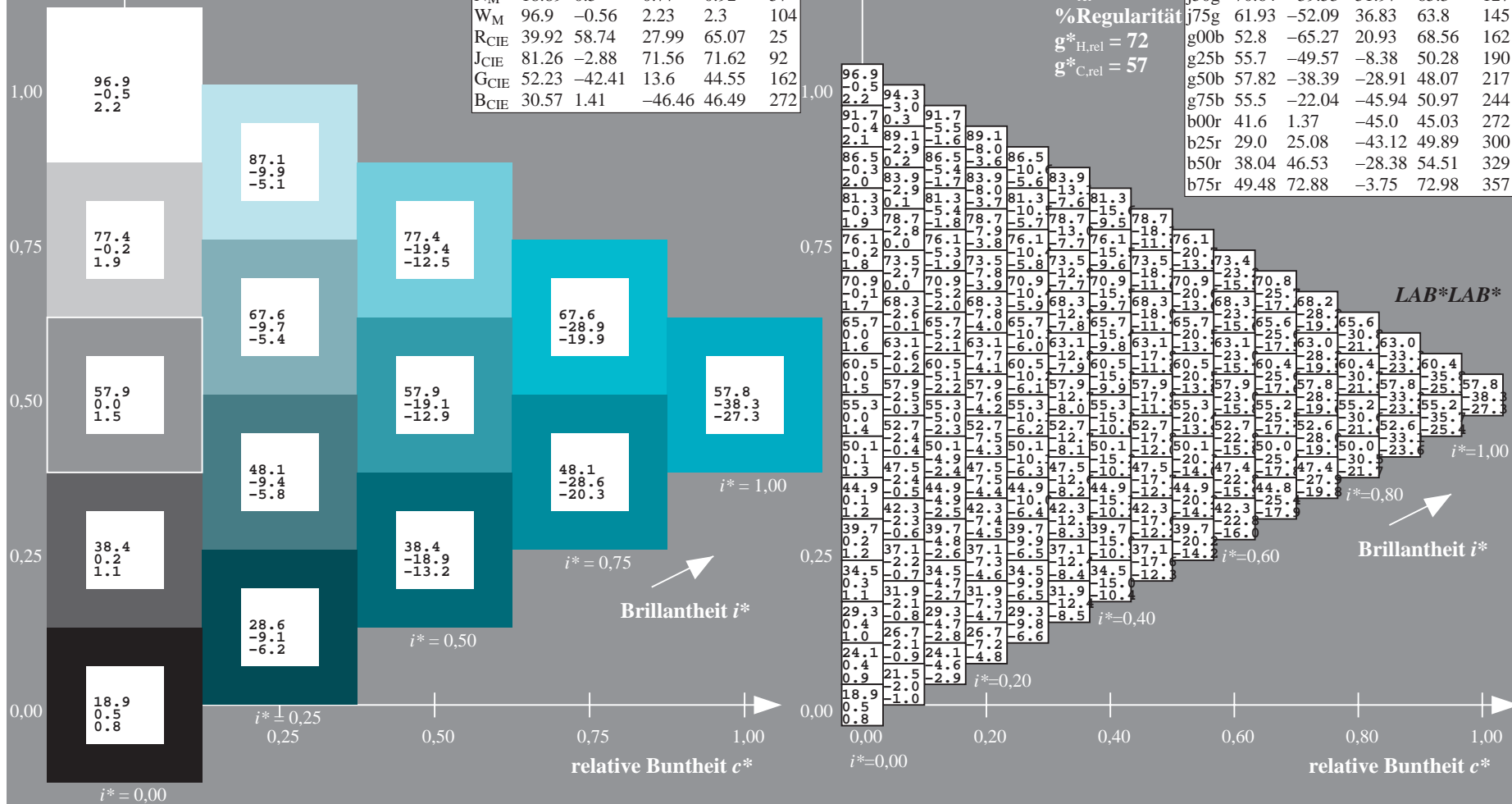
$u^*_{rel} = 89$

%Regularität

$g^*_{H,rel} = 72$

$g^*_{C,rel} = 57$

ORS19_96a; adaptierte CIELAB-Daten					
	$L^*=L^*_a$	a^*_a	b^*_a	$C^*_{ab,a}$	$h^*_{ab,a}$
r00j	48.88	66.47	31.67	73.63	25
r25j	55.85	52.39	47.48	70.7	42
r50j	65.45	35.22	58.37	68.17	59
r75j	75.19	17.82	69.41	71.66	76
j00g	87.03	-3.34	82.83	82.9	92
j25g	80.72	-25.0	69.5	73.86	110
j50g	70.64	-39.53	51.97	65.3	127
j75g	61.93	-52.09	36.83	63.8	145
g00b	52.8	-65.27	20.93	68.56	162
g25b	55.7	-49.57	-8.38	50.28	190
g50b	57.82	-38.39	-28.91	48.07	217
g75b	55.5	-22.04	-45.94	50.97	244
b00r	41.6	1.37	-45.0	45.03	272
b25r	29.0	25.08	-43.12	49.89	300
b50r	38.04	46.53	-28.38	54.51	329
b75r	49.48	72.88	-3.75	72.98	357



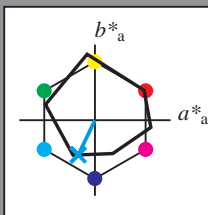
Ein und Ausgabe: Farbmetrisches Drucker-Reflektiv-System ORS19_96a für relativen CIELAB-Buntton $h^* = lab^*h^* = h_{ab}/360 = 244/360 = 0.679$ $u^* = g75b$

Daten für jede Farbe:
 lab^*tch^* und lab^*icu^*

Elementar-Bunttontext:
 $u^* = g75b$

Kontrastreduzierungsfaktor:
 $c_R = 1.0$

Dreiecks-Helligkeit t^*



ORS19_96; CIELAB-Daten					
	$L^*=L^*$	a^*	b^*	C^*_{ab}	h^*_{ab}
O _M	48.75	65.16	40.76	76.86	32
Y _M	90.92	-10.77	89.36	90.01	97
L _M	52.69	-65.39	22.15	69.05	161
C _M	59.61	-29.03	-44.68	53.3	237
V _M	28.39	24.0	-43.17	49.4	299
M _M	49.58	74.01	-8.21	74.47	354
N _M	18.89	0.5	0.77	0.92	57
W _M	96.9	-0.56	2.23	2.3	104
R _{CIE}	39.92	58.74	27.99	65.07	25
J _{CIE}	81.26	-2.88	71.56	71.62	92
G _{CIE}	52.23	-42.41	13.6	44.55	162
B _{CIE}	30.57	1.41	-46.46	46.49	272

Daten für Maximalfarbe (Ma):

$LAB^*LAB^*_{Ma}$: 55 -21 -45

$LAB^*LCH^*_{Ma}$: 55 51 244

$lab^*rgb^*_{Ma}$: 0.0 0.5 1.0

$lab^*olv^*_{Ma}$: 0.0 0.87 1.0

Dreiecks-Helligkeit t^*

%Umfang

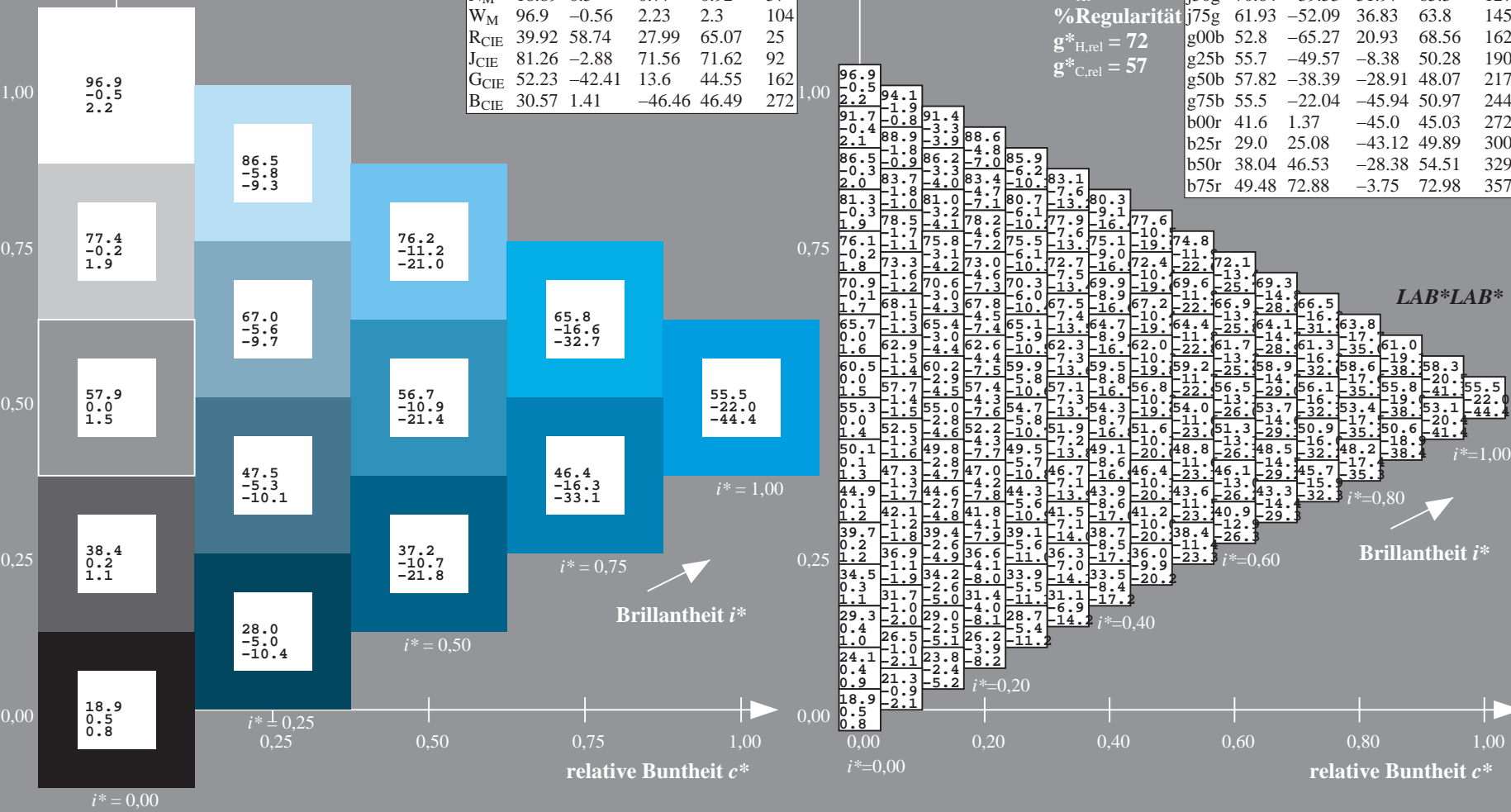
$u^*_{rel} = 89$

%Regularität

$g^*_{H,rel} = 72$

$g^*_{C,rel} = 57$

ORS19_96a; adaptierte CIELAB-Daten					
	$L^*=L^*_a$	a^*_a	b^*_a	$C^*_{ab,a}$	$h^*_{ab,a}$
r00j	48.88	66.47	31.67	73.63	25
r25j	55.85	52.39	47.48	70.7	42
r50j	65.45	35.22	58.37	68.17	59
r75j	75.19	17.82	69.41	71.66	76
j00g	87.03	-3.34	82.83	82.9	92
j25g	80.72	-25.0	69.5	73.86	110
j50g	70.64	-39.53	51.97	65.3	127
j75g	61.93	-52.09	36.83	63.8	145
g00b	52.8	-65.27	20.93	68.56	162
g25b	55.7	-49.57	-8.38	50.28	190
g50b	57.82	-38.39	-28.91	48.07	217
g75b	55.5	-22.04	-45.94	50.97	244
b00r	41.6	1.37	-45.0	45.03	272
b25r	29.0	25.08	-43.12	49.89	300
b50r	38.04	46.53	-28.38	54.51	329
b75r	49.48	72.88	-3.75	72.98	357



Ein und Ausgabe: Farbmimetrisches Drucker-Reflektiv-System ORS19_96a für relativen CIELAB-Buntton $h^* = lab^*h^* = h_{ab}/360 = 272/360 = 0.755$ $u^* = b00r$

Daten für jede Farbe:

lab^*ch^* und lab^*icu^*

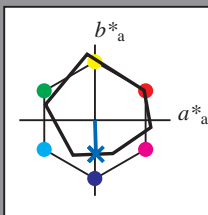
Elementar-Bunttontext:

$u^* = b00r$

Kontrastreduzierungsfaktor:

$c_R = 1.0$

Dreiecks-Helligkeit t^*



ORS19_96; CIELAB-Daten					
	$L^*=L^*$	a^*	b^*	C^*_{ab}	h^*_{ab}
O _M	48.75	65.16	40.76	76.86	32
Y _M	90.92	-10.77	89.36	90.01	97
L _M	52.69	-65.39	22.15	69.05	161
C _M	59.61	-29.03	-44.68	53.3	237
V _M	28.39	24.0	-43.17	49.4	299
M _M	49.58	74.01	-8.21	74.47	354
N _M	18.89	0.5	0.77	0.92	57
W _M	96.9	-0.56	2.23	2.3	104
R _{CIE}	39.92	58.74	27.99	65.07	25
J _{CIE}	81.26	-2.88	71.56	71.62	92
G _{CIE}	52.23	-42.41	13.6	44.55	162
B _{CIE}	30.57	1.41	-46.46	46.49	272

Daten für Maximalfarbe (Ma):

LAB^*LAB^*Ma : 42 1 -44

LAB^*LCH^*Ma : 42 45 272

lab^*rgb^*Ma : 0.0 0.0 1.0

lab^*olv^*Ma : 0.0 0.42 1.0

Dreiecks-Helligkeit t^*

%Umfang

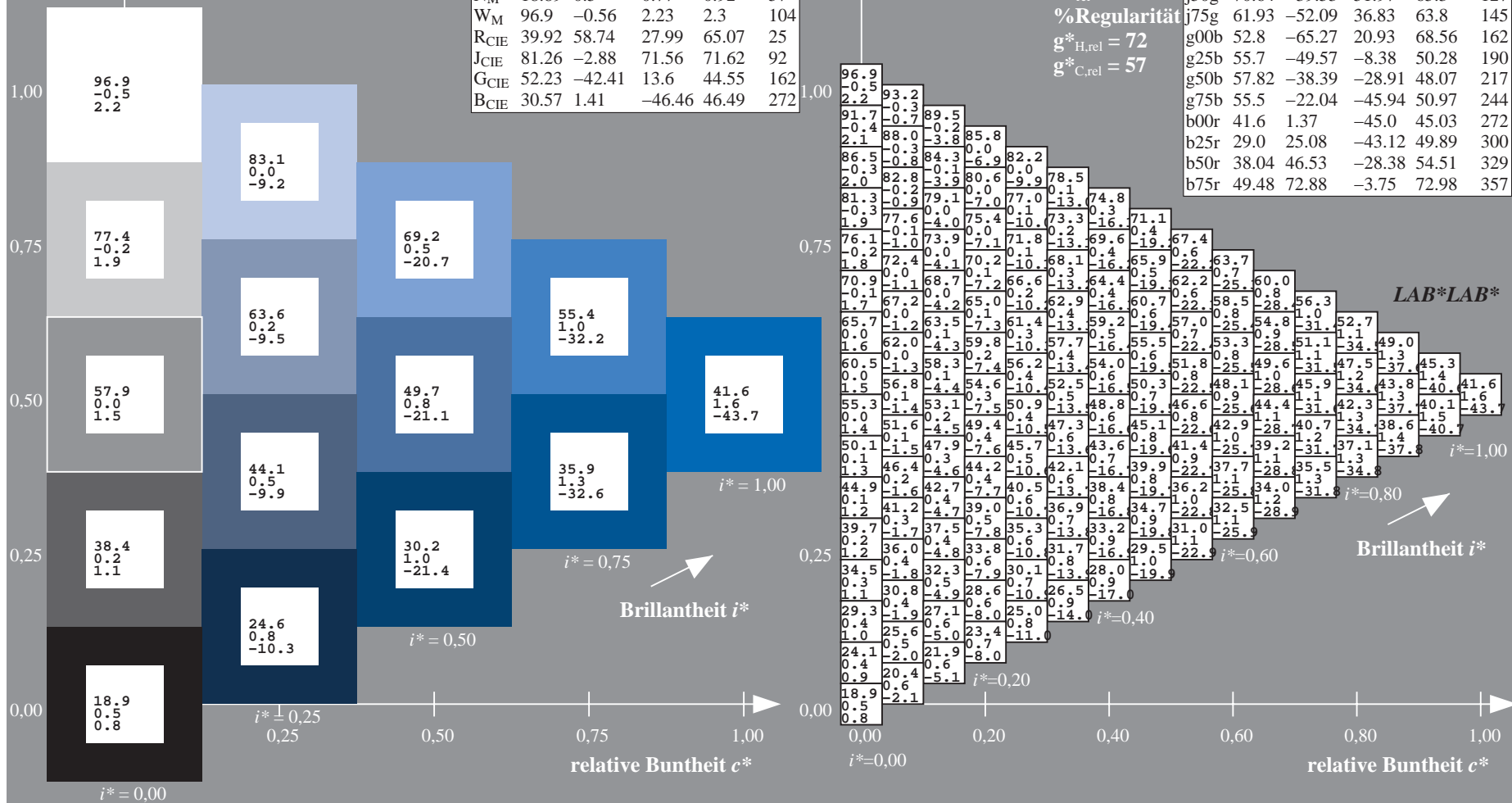
$u^*_{rel} = 89$

%Regularität

$g^*_{H,rel} = 72$

$g^*_{C,rel} = 57$

ORS19_96a; adaptierte CIELAB-Daten					
	$L^*=L^*_a$	a^*_a	b^*_a	$C^*_{ab,a}$	$h^*_{ab,a}$
r00j	48.88	66.47	31.67	73.63	25
r25j	55.85	52.39	47.48	70.7	42
r50j	65.45	35.22	58.37	68.17	59
r75j	75.19	17.82	69.41	71.66	76
j00g	87.03	-3.34	82.83	82.9	92
j25g	80.72	-25.0	69.5	73.86	110
j50g	70.64	-39.53	51.97	65.3	127
j75g	61.93	-52.09	36.83	63.8	145
g00b	52.8	-65.27	20.93	68.56	162
g25b	55.7	-49.57	-8.38	50.28	190
g50b	57.82	-38.39	-28.91	48.07	217
g75b	55.5	-22.04	-45.94	50.97	244
b00r	41.6	1.37	-45.0	45.03	272
b25r	29.0	25.08	-43.12	49.89	300
b50r	38.04	46.53	-28.38	54.51	329
b75r	49.48	72.88	-3.75	72.98	357



Ein und Ausgabe: Farbmetrisches Drucker-Reflektiv-System ORS19_96a für relativen CIELAB-Buntton $h^* = lab^*h^* = h_{ab}/360 = 300/360 = 0.834$ $u^* = b25r$

Daten für jede Farbe:

lab^*ch^* und lab^*icu^*

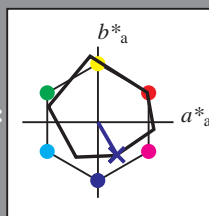
Elementar-Bunttontext:

$u^* = b25r$

Kontrastreduzierungsfaktor:

$c_R = 1.0$

Dreiecks-Helligkeit t^*



ORS19_96; CIELAB-Daten					
	$L^*=L^*$	a^*	b^*	C^*_{ab}	h^*_{ab}
O _M	48.75	65.16	40.76	76.86	32
Y _M	90.92	-10.77	89.36	90.01	97
L _M	52.69	-65.39	22.15	69.05	161
C _M	59.61	-29.03	-44.68	53.3	237
V _M	28.39	24.0	-43.17	49.4	299
M _M	49.58	74.01	-8.21	74.47	354
N _M	18.89	0.5	0.77	0.92	57
W _M	96.9	-0.56	2.23	2.3	104
R _{CIE}	39.92	58.74	27.99	65.07	25
J _{CIE}	81.26	-2.88	71.56	71.62	92
G _{CIE}	52.23	-42.41	13.6	44.55	162
B _{CIE}	30.57	1.41	-46.46	46.49	272

Daten für Maximalfarbe (Ma):

LAB^*LAB^*Ma : 29 25 -42

LAB^*LCH^*Ma : 29 50 300

lab^*rgb^*Ma : 0.5 0.0 1.0

lab^*olv^*Ma : 0.03 0.0 1.0

Dreiecks-Helligkeit t^*

%Umfang

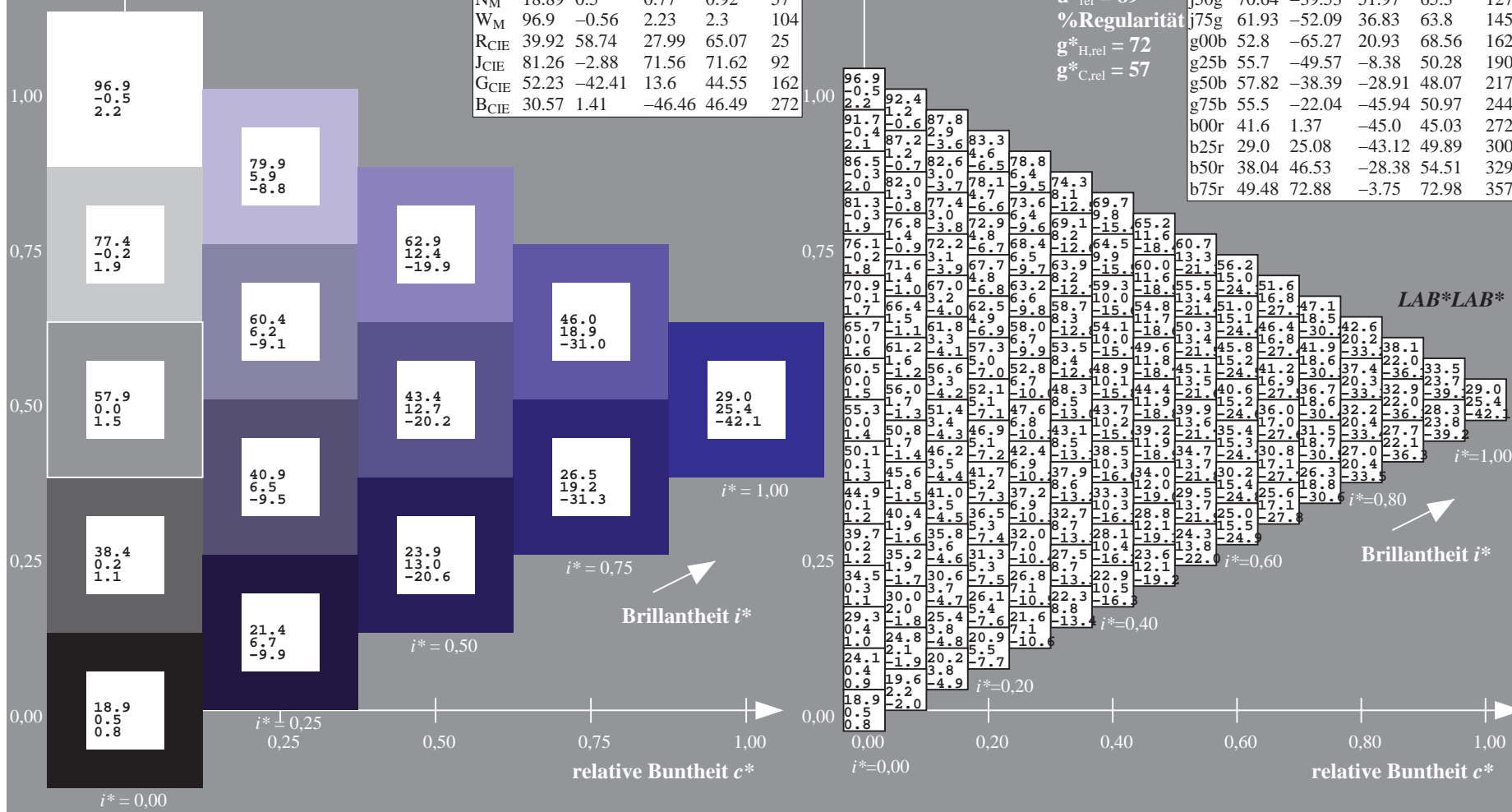
$u^*_{rel} = 89$

%Regularität

$g^*_{H,rel} = 72$

$g^*_{C,rel} = 57$

ORS19_96a; adaptierte CIELAB-Daten					
	$L^*=L^*$	a^*	b^*	$C^*_{ab,a}$	$h^*_{ab,a}$
r00j	48.88	66.47	31.67	73.63	25
r25j	55.85	52.39	47.48	70.7	42
r50j	65.45	35.22	58.37	68.17	59
r75j	75.19	17.82	69.41	71.66	76
j00g	87.03	-3.34	82.83	82.9	92
j25g	80.72	-25.0	69.5	73.86	110
j50g	70.64	-39.53	51.97	65.3	127
j75g	61.93	-52.09	36.83	63.8	145
g00b	52.8	-65.27	20.93	68.56	162
g25b	55.7	-49.57	-8.38	50.28	190
g50b	57.82	-38.39	-28.91	48.07	217
g75b	55.5	-22.04	-45.94	50.97	244
b00r	41.6	1.37	-45.0	45.03	272
b25r	29.0	25.08	-43.12	49.89	300
b50r	38.04	46.53	-28.38	54.51	329
b75r	49.48	72.88	-3.75	72.98	357



Ein und Ausgabe: Farbmetrisches Drucker-Reflektiv-System ORS19_96a für relativen CIELAB-Buntton $h^* = lab^*h^* = h_{ab}/360 = 329/360 = 0.913$ $u^* = b50r$

Daten für jede Farbe:

lab^*ch^* und lab^*icu^*

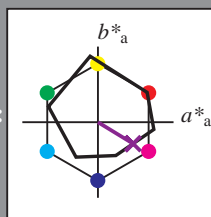
Elementar-Bunttontext:

$u^* = b50r$

Kontrastreduzierungsfaktor:

$c_R = 1.0$

Dreiecks-Helligkeit t^*



ORS19_96; CIELAB-Daten					
	$L^*=L^*$	a^*	b^*	C^*_{ab}	h^*_{ab}
O _M	48.75	65.16	40.76	76.86	32
Y _M	90.92	-10.77	89.36	90.01	97
L _M	52.69	-65.39	22.15	69.05	161
C _M	59.61	-29.03	-44.68	53.3	237
V _M	28.39	24.0	-43.17	49.4	299
M _M	49.58	74.01	-8.21	74.47	354
N _M	18.89	0.5	0.77	0.92	57
W _M	96.9	-0.56	2.23	2.3	104
R _{CIE}	39.92	58.74	27.99	65.07	25
J _{CIE}	81.26	-2.88	71.56	71.62	92
G _{CIE}	52.23	-42.41	13.6	44.55	162
B _{CIE}	30.57	1.41	-46.46	46.49	272

Daten für Maximalfarbe (Ma):

$LAB^*LAB^*_{Ma}$: 38 47 -27

$LAB^*LCH^*_{Ma}$: 38 55 329

$lab^*rgb^*_{Ma}$: 1.0 0.0 1.0

$lab^*olv^*_{Ma}$: 0.46 0.0 1.0

Dreiecks-Helligkeit t^*

%Umfang

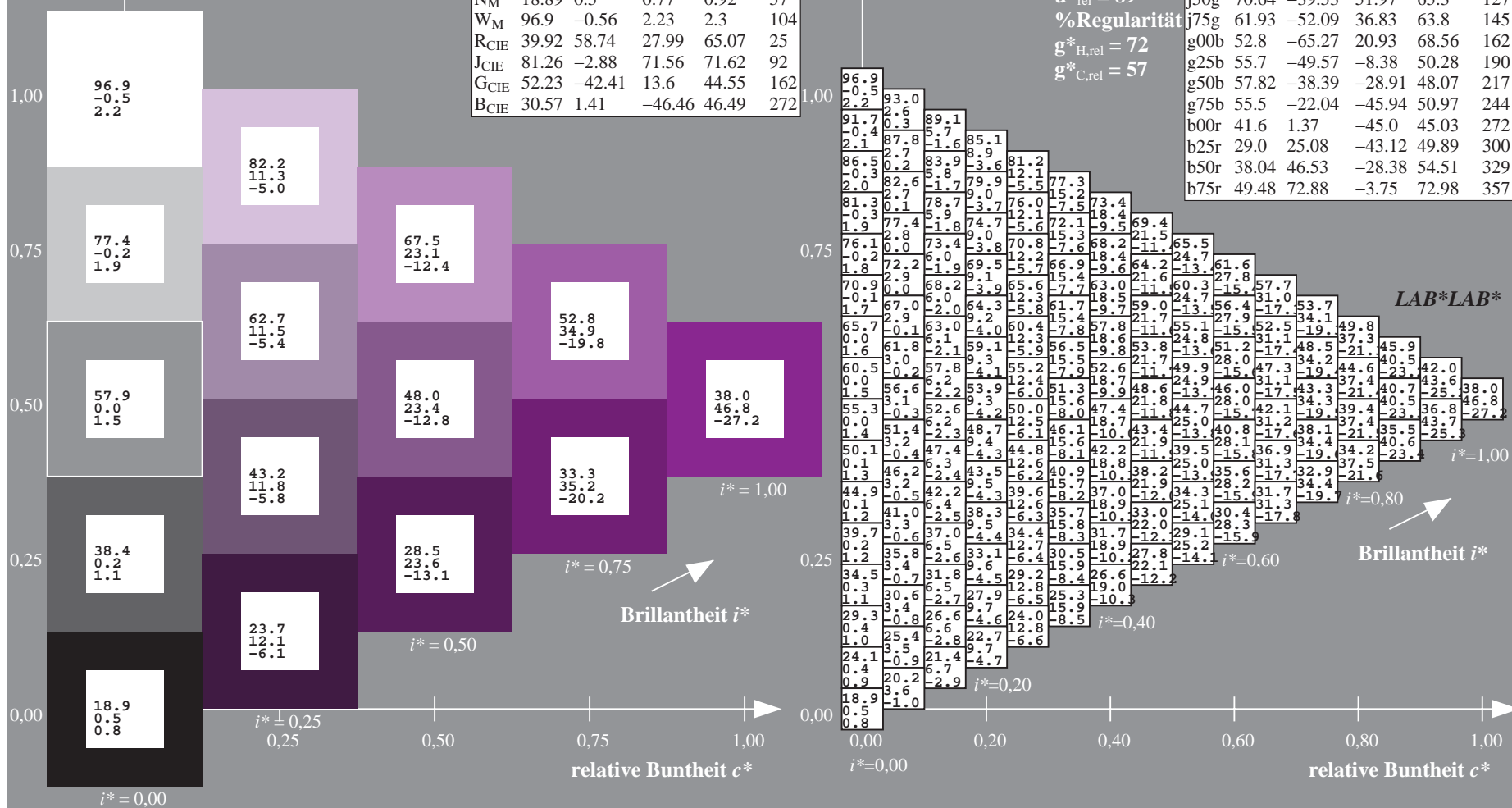
$u^*_{rel} = 89$

%Regularität

$g^*_{H,rel} = 72$

$g^*_{C,rel} = 57$

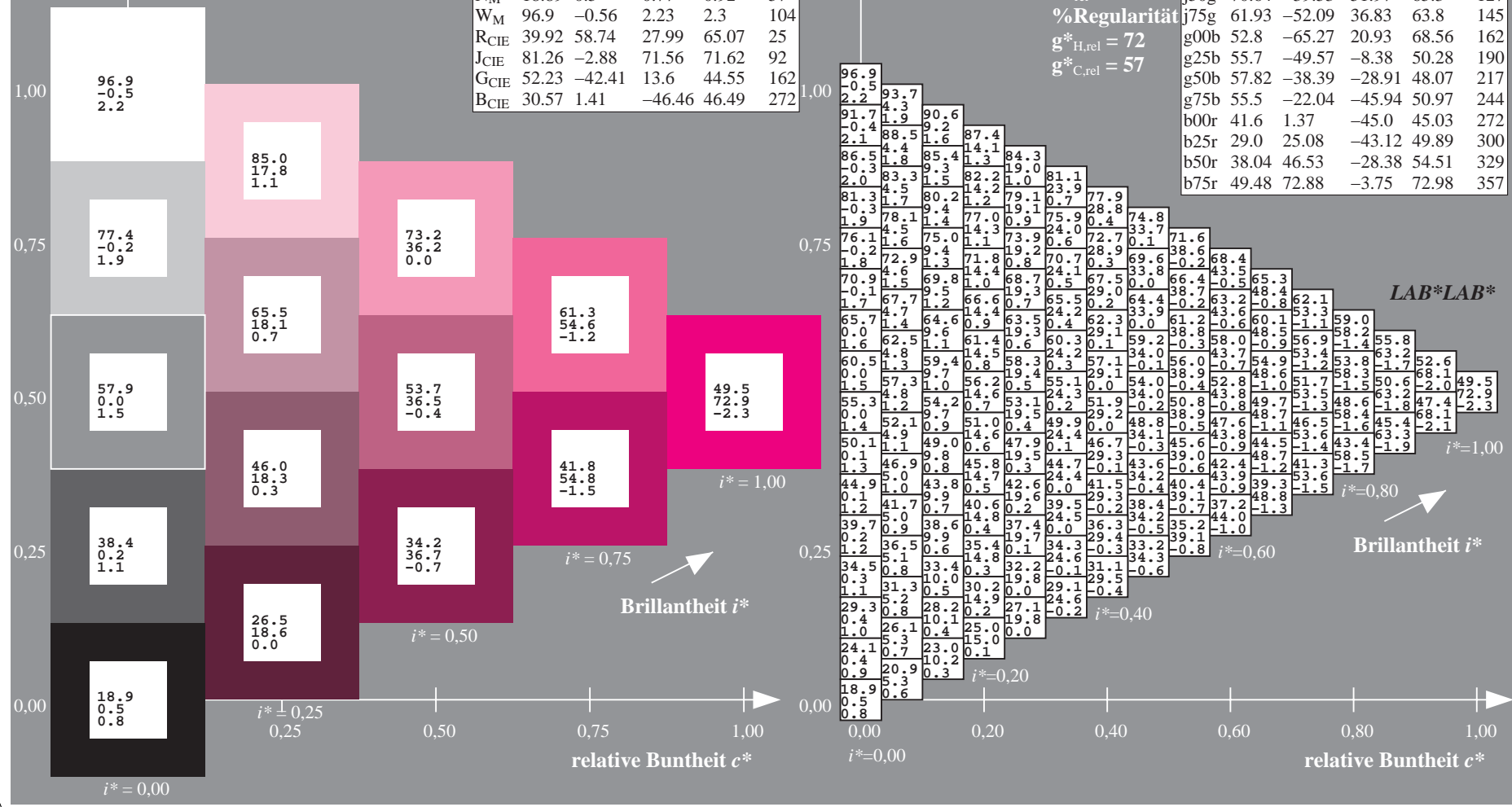
ORS19_96a; adaptierte CIELAB-Daten					
	$L^*=L^*_a$	a^*_a	b^*_a	$C^*_{ab,a}$	$h^*_{ab,a}$
r00j	48.88	66.47	31.67	73.63	25
r25j	55.85	52.39	47.48	70.7	42
r50j	65.45	35.22	58.37	68.17	59
r75j	75.19	17.82	69.41	71.66	76
j00g	87.03	-3.34	82.83	82.9	92
j25g	80.72	-25.0	69.5	73.86	110
j50g	70.64	-39.53	51.97	65.3	127
j75g	61.93	-52.09	36.83	63.8	145
g00b	52.8	-65.27	20.93	68.56	162
g25b	55.7	-49.57	-8.38	50.28	190
g50b	57.82	-38.39	-28.91	48.07	217
g75b	55.5	-22.04	-45.94	50.97	244
b00r	41.6	1.37	-45.0	45.03	272
b25r	29.0	25.08	-43.12	49.89	300
b50r	38.04	46.53	-28.38	54.51	329
b75r	49.48	72.88	-3.75	72.98	357



100



r00j	48.88	66.47	31.67	73.63	25
r25j	55.85	52.39	47.48	70.7	42
r50j	65.45	35.22	58.37	68.17	59
r75j	75.19	17.82	69.41	71.66	76
j00g	87.03	-3.34	82.83	82.9	92
j25g	80.72	-25.0	69.5	73.86	110
j50g	70.64	-39.53	51.97	65.3	127
j75g	61.93	-52.09	36.83	63.8	145
g00b	52.8	-65.27	20.93	68.56	162
g25b	55.7	-49.57	-8.38	50.28	190
g50b	57.82	-38.39	-28.91	48.07	217
g75b	55.5	-22.04	-45.94	50.97	244
b00r	41.6	1.37	-45.0	45.03	272
b25r	29.0	25.08	-43.12	49.89	300
b50r	38.04	46.53	-28.38	54.51	329
b75r	49.48	72.88	-3.75	72.98	357

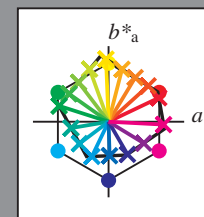


Siehe ähnliche Dateien: <http://www.ps.bam.de/Dg98/>; www.ps.bam.de/Dg98/10L/L98G00NP.PS/.PDF BAM-Material: Code=th4ta
Technische Information: <http://www.ps.bam.de> Version 2.1, io=1.1, ColSpX=1

	A	B	C	D	E	F	G	H	I	J	K	L	M	N	O	P	Q	R	S	T	U	V	W	X	Y	Z	a	b	c	d	e	f	g	h	i	j	k	LAB*LAB*																																																																																																																																																																																																																																																																																																																																																																																																																																																																																																																																																																																																																																																																																																																																																																																																																																																																																																																
01	18.9	23.1	27.3	31.6	35.8	40.0	44.2	48.5	52.7	56.9	61.1	65.3	69.5	73.7	77.9	82.1	86.3	90.5	94.7	98.9	103.1	107.3	111.5	115.7	119.9	124.1	128.3	132.5	136.7	140.9	145.1	149.3	153.5	157.7	161.9	166.1	170.3	174.5	178.7	182.9	187.1	191.3	195.5	199.7	203.9	208.1	212.3	216.5	220.7	224.9	229.1	233.3	237.5	241.7	245.9	250.1	254.3	258.5	262.7	266.9	271.1	275.3	279.5	283.7	287.9	292.1	296.3	300.5	304.7	308.9	313.1	317.3	321.5	325.7	329.9	334.1	338.3	342.5	346.7	350.9	355.1	359.3	363.5	367.7	371.9	376.1	380.3	384.5	388.7	392.9	397.1	401.3	405.5	409.7	413.9	418.1	422.3	426.5	430.7	434.9	439.1	443.3	447.5	451.7	455.9	460.1	464.3	468.5	472.7	476.9	481.1	485.3	489.5	493.7	497.9	502.1	506.3	510.5	514.7	518.9	523.1	527.3	531.5	535.7	539.9	544.1	548.3	552.5	556.7	560.9	565.1	569.3	573.5	577.7	581.9	586.1	590.3	594.5	598.7	602.9	607.1	611.3	615.5	619.7	623.9	628.1	632.3	636.5	640.7	644.9	649.1	653.3	657.5	661.7	665.9	670.1	674.3	678.5	682.7	686.9	691.1	695.3	699.5	703.7	707.9	712.1	716.3	720.5	724.7	728.9	733.1	737.3	741.5	745.7	749.9	754.1	758.3	762.5	766.7	770.9	775.1	779.3	783.5	787.7	791.9	796.1	800.3	804.5	808.7	812.9	817.1	821.3	825.5	829.7	833.9	838.1	842.3	846.5	850.7	854.9	859.1	863.3	867.5	871.7	875.9	880.1	884.3	888.5	892.7	896.9	901.1	905.3	909.5	913.7	917.9	922.1	926.3	930.5	934.7	938.9	943.1	947.3	951.5	955.7	959.9	964.1	968.3	972.5	976.7	980.9	985.1	989.3	993.5	997.7	1001.9	1006.1	1010.3	1014.5	1018.7	1022.9	1027.1	1031.3	1035.5	1039.7	1043.9	1048.1	1052.3	1056.5	1060.7	1064.9	1069.1	1073.3	1077.5	1081.7	1085.9	1090.1	1094.3	1098.5	1102.7	1106.9	1111.1	1115.3	1119.5	1123.7	1127.9	1132.1	1136.3	1140.5	1144.7	1148.9	1153.1	1157.3	1161.5	1165.7	1169.9	1174.1	1178.3	1182.5	1186.7	1190.9	1195.1	1199.3	1203.5	1207.7	1211.9	1216.1	1220.3	1224.5	1228.7	1232.9	1237.1	1241.3	1245.5	1249.7	1253.9	1258.1	1262.3	1266.5	1270.7	1274.9	1279.1	1283.3	1287.5	1291.7	1295.9	1299.7	1303.9	1308.1	1312.3	1316.5	1320.7	1324.9	1329.1	1333.3	1337.5	1341.7	1345.9	1350.1	1354.3	1358.5	1362.7	1366.9	1371.1	1375.3	1379.5	1383.7	1387.9	1392.1	1396.3	1400.5	1404.7	1408.9	1413.1	1417.3	1421.5	1425.7	1429.9	1434.1	1438.3	1442.5	1446.7	1450.9	1455.1	1459.3	1463.5	1467.7	1471.9	1476.1	1480.3	1484.5	1488.7	1492.9	1497.1	1501.3	1505.5	1509.7	1513.9	1518.1	1522.3	1526.5	1530.7	1534.9	1539.1	1543.3	1547.5	1551.7	1555.9	1560.1	1564.3	1568.5	1572.7	1576.9	1581.1	1585.3	1589.5	1593.7	1597.9	1602.1	1606.3	1610.5	1614.7	1618.9	1623.1	1627.3	1631.5	1635.7	1639.9	1644.1	1648.3	1652.5	1656.7	1660.9	1665.1	1669.3	1673.5	1677.7	1681.9	1686.1	1690.3	1694.5	1698.7	1702.9	1707.1	1711.3	1715.5	1719.7	1723.9	1728.1	1732.3	1736.5	1740.7	1744.9	1749.1	1753.3	1757.5	1761.7	1765.9	1770.1	1774.3	1778.5	1782.7	1786.9	1791.1	1795.3	1799.5	1803.7	1807.9	1812.1	1816.3	1820.5	1824.7	1828.9	1833.1	1837.3	1841.5	1845.7	1849.9	1854.1	1858.3	1862.5	1866.7	1870.9	1875.1	1879.3	1883.5	1887.7	1891.9	1896.1	1900.3	1904.5	1908.7	1912.9	1917.1	1921.3	1925.5	1929.7	1933.9	1938.1	1942.3	1946.5	1950.7	1954.9	1959.1	1963.3	1967.5	1971.7	1975.9	1980.1	1984.3	1988.5	1992.7	1996.9	2001.1	2005.3	2009.5	2013.7	2017.9	2022.1	2026.3	2030.5	2034.7	2038.9	2043.1	2047.3	2051.5	2055.7	2059.9	2064.1	2068.3	2072.5	2076.7	2080.9	2085.1	2089.3	2093.5	2097.7	2101.9	2106.1	2110.3	2114.5	2118.7	2122.9	2127.1	2131.3	2135.5	2139.7	2143.9	2148.1	2152.3	2156.5	2160.7	2164.9	2169.1	2173.3	2177.5	2181.7	2185.9	2190.1	2194.3	2198.5	2202.7	2206.9	2211.1	2215.3	2219.5	2223.7	2227.9	2232.1	2236.3	2240.5	2244.7	2248.9	2253.1	2257.3	2261.5	2265.7	2269.9	2274.1	2278.3	2282.5	2286.7	2290.9	2295.1	2299.3	2303.5	2307.7	2311.9	2316.1	2320.3	2324.5	2328.7	2332.9	2337.1	2341.3	2345.5	2349.7	2353.9	2358.1	2362.3	2366.5	2370.7	2374.9	2379.1	2383.3	2387.5	2391.7	2395.9	2400.1	2404.3	2408.5	2412.7	2416.9	2421.1	2425.3	2429.5	2433.7	2437.9	2442.1	2446.3	2450.5	2454.7	2458.9	2463.1	2467.3	2471.5	2475.7	2479.9	2484.1	2488.3	2492.5	2496.7	2500.9	2505.1	2509.3	2513.5	2517.7	2521.9	2526.1	2530.3	2534.5	2538.7	2542.9	2547.1	2551.3	2555.5	2559.7	2563.9	2568.1	2572.3	2576.5	2580.7	2584.9	2589.1	2593.3	2597.5	2601.7	2605.9	2610.1	2614.3	2618.5	2622.7	2626.9	2631.1	2635.3	2639.5	2643.7	2647.9	2652.1	2656.3	2660.5	2664.7	2668.9	2673.1	2677.3	2681.5	2685.7	2689.9	2694.1	2698.3	2702.5	2706.7	2710.9	2715.1	2719.3	2723.5	2727.7	2731.9	2736.1	2740.3	2744.5	2748.7	2752.9	2757.1	2761.3	2765.5	2769.7	2773.9	2778.1	2782.3	2786.5	2790.7	2794.9	2799.1	2803.3	2807.5	2811.7	2815.9	2820.1	2824.3	2828.5	2832.7	2836.9	2841.1	2845.3	2849.5	2853.7	2857.9	2862.1	2866.3	2870.5	2874.7	2878.9	2883.1	2887.3	2891.5	2895.7	2899.9	2904.1	2908.3	2912.5	2916.7	2920.9	2925.1	2929.3	2933.5	2937.7	2941.9	2946.1	2950.3	2954.5	2958.7	2962.9	2967.1	2971.3	2975.5	2979.7	2983.9	2988.1	2992.3	2996.5	3000.7	3004.9	3009.1	3013.3	3017.5	3021.7	3025.9	3030.1	3034.3	3038.5	3042.7	3046.9	3051.1	3055.3	3059.5	3063.7	3067.9	3072.1	3076.3	3080.5	3084.7	3088.9	3093.1	3097.3	3101.5	3105.7	3109.9	3114.1	3118.3	3122.5	3126.7	3130.9	3135.1	3139.3	3143.5	3147.7	3151.9	3156.1	3160.3	3164.5	3168.7	3172.9	3177.1	3181.3	3185.5	3189.7	3193.9	3198.1	3202.3	3206.5	3210.7	3214.9	3219.1	3223.3	3227.5	3231.7	3235.9	3240.1	3244.3	3248.5	3252.7	3256.9	3261.1	3265.3	3269.5	3273.7	3277.9	3282.1	3286.3	3290.5	3294.7	3298.9	3303.1	3307.3	3311.5	3315.7	3319.9	3324.1	3328.3	3332.5	3336.7	3340.9	3345.1	3349.3	3353.5	3357.7	3361.9	3366.1	3370.3	3374.5	3378.7	3382.9	3387.1	3391.3	3395.5	3399.7	3403.9	3408.1	3412.3	3416.5	3420.7	3424.9	3429.1	3433.3	3437.5	3441.7	3445.9	3450.1	3454.3	3458.5	3462.7	3466.9	3471.1	3475.3	3479.5	3483.7	3487.9	3492.1	3496.3	3500.5	3504.7	3508.9	3513.1	3517.3	3521.5	3525.7	3529.9	3534.1	3538.3	3542.5	3546.7	3550.9	3555.1	3559.3	3563.5	3567.7	3571.9	3576.1	3580.3	3584.5	3588.7	3592.9	3597.1	3601.3	3605.5	3609.7	3613.9	3618.1	3622.3	3626.5	3630.7	3634.9	3639.1	3643.3	3647.5	3651.7	3655.9	3660.1	3664.3	3668.5	3672.7	3676.9	3681.1	3685.3	3689.5	3693.7	3697.9	3702.1	3706.3	3710.5	3714.7	3718.9	3723.1	3727.3	3731.5	3735.7	3739.9	3744.1	3748.3	3752.5	3756.7	3760.9	3765.1	3769.3	3773.5	3777.7	3781.9	3786.1	3790.3	3794.5	3798.7	3802.9	3807.1	3811.3	3815.5	3819.7	3823.9	3828.1	3832.3	3836.5	3840.7	3844.9	3849.1	3853.3	3857.5	3861.7	3865.9	388

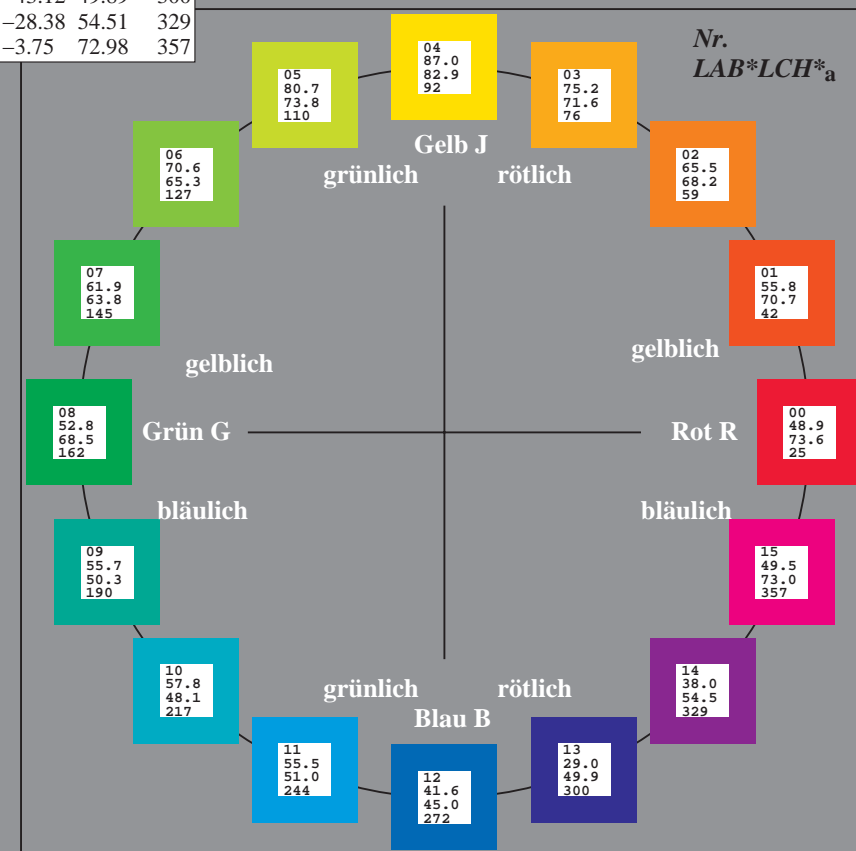
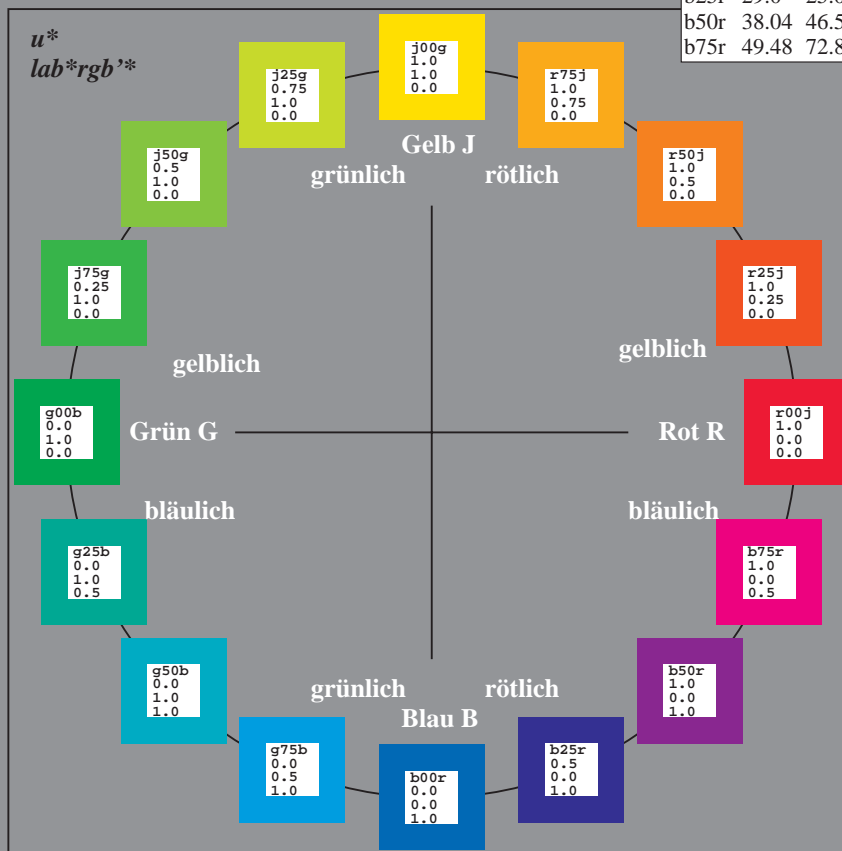
Ein und Ausgabe:
Farbmetrisches Drucker-Reflektiv-System ORS19_96a
Daten für jede Farbe:
 $lab^{*}tch^{*}$ und $lab^{*}icu^{*}$
Elementar-Bunntontext:
 $u^{*} = 16$ Bunttöne $r00j$, $r25j$, ..., $b75r$
Kontrastreduzierungsfaktor:
 $c_R = 1.0$

ORS19_96a; adaptierte CIELAB-Daten					
	$L^{*}=L^{*}_a$	a^{*}_a	b^{*}_a	$C^{*}_{ab,a}$	$h^{*}_{ab,a}$
r00j	48.88	66.47	31.67	73.63	25
r25j	55.85	52.39	47.48	70.7	42
r50j	65.45	35.22	58.37	68.17	59
r75j	75.19	17.82	69.41	71.66	76
j00g	87.03	-3.34	82.83	82.9	92
j25g	80.72	-25.0	69.5	73.86	110
j50g	70.64	-39.53	51.97	65.3	127
j75g	61.93	-52.09	36.83	63.8	145
g00b	52.8	-65.27	20.93	68.56	162
g25b	55.7	-49.57	-8.38	50.28	190
g50b	57.82	-38.39	-28.91	48.07	217
g75b	55.5	-22.04	-45.94	50.97	244
b00r	41.6	1.37	-45.0	45.03	272
b25r	29.0	25.08	-43.12	49.89	300
b50r	38.04	46.53	-28.38	54.51	329
b75r	49.48	72.88	-3.75	72.98	357

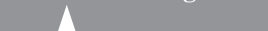


%Umfang
 $u^{*}_{rel} = 89$
%Regularität
 $g^{*}_{H,rel} = 72$
 $g^{*}_{C,rel} = 57$

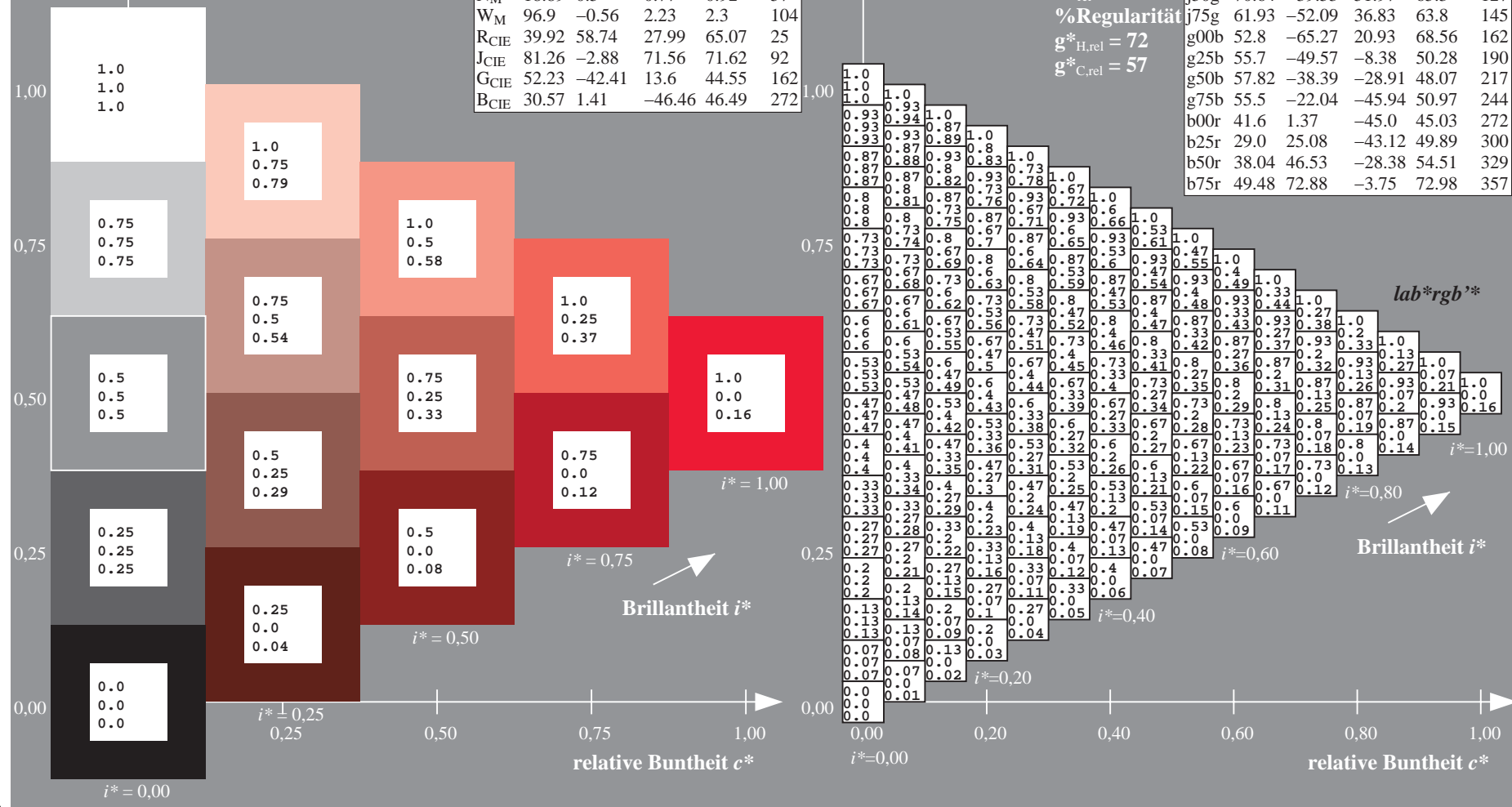
ORS19_96a; CIELAB-Daten					
	$L^{*}=L^{*}$	a^{*}	b^{*}	C^{*}_{ab}	h^{*}_{ab}
O _M	48.75	65.16	40.76	76.86	32
Y _M	90.92	-10.77	89.36	90.01	97
L _M	52.69	-65.39	22.15	69.05	161
C _M	59.61	-29.03	-44.68	53.3	237
V _M	28.39	24.0	-43.17	49.4	299
M _M	49.58	74.01	-8.21	74.47	354
N _M	18.89	0.5	0.77	0.92	57
W _M	96.9	-0.56	2.23	2.3	104
R _{CIE}	39.92	58.74	27.99	65.07	25
J _{CIE}	81.26	-2.88	71.56	71.62	92
G _{CIE}	52.23	-42.41	13.6	44.55	162
B _{CIE}	30.57	1.41	-46.46	46.49	272



100



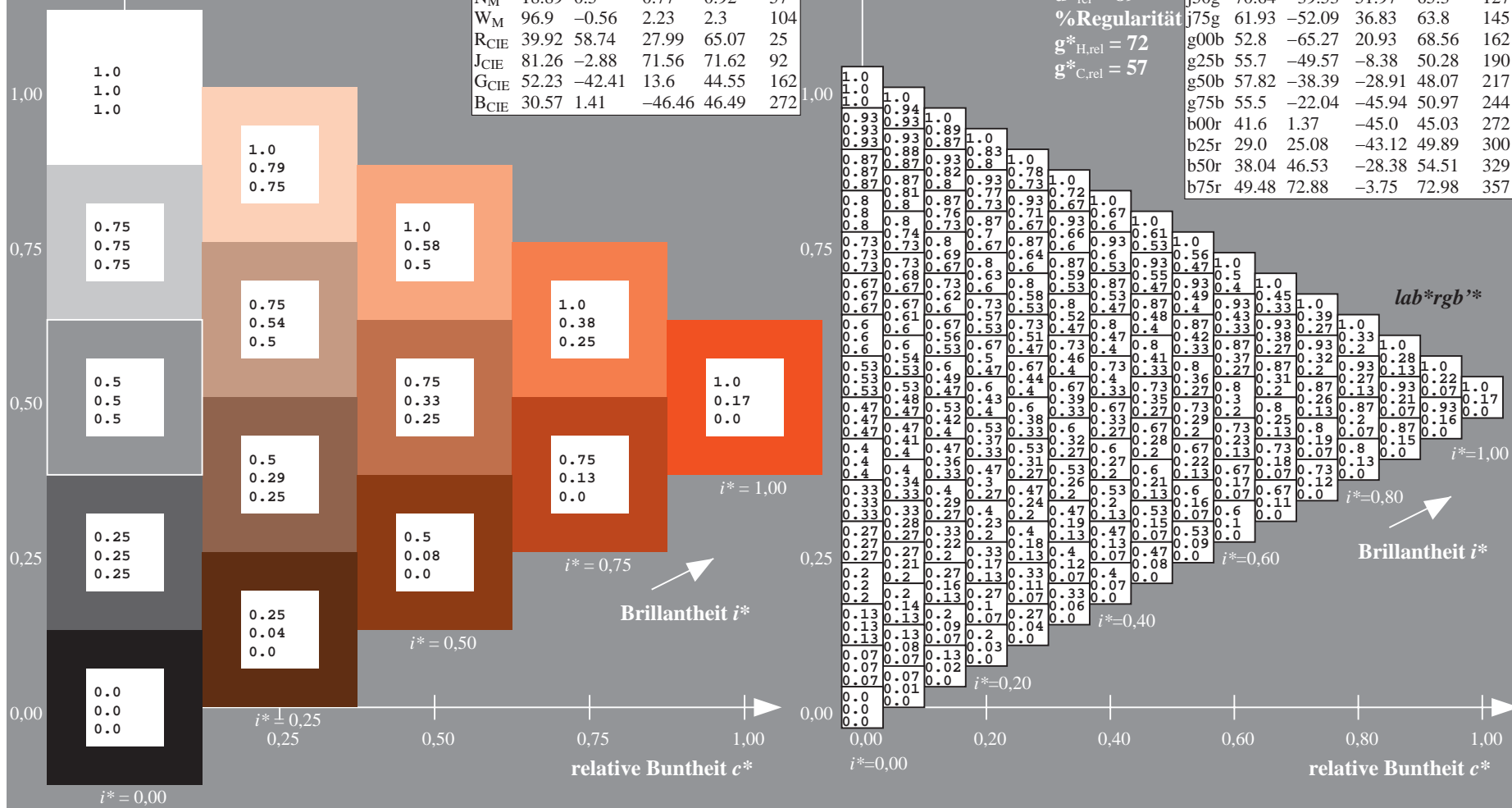
r00j	48.88	66.47	31.67	73.63	25
r25j	55.85	52.39	47.48	70.7	42
r50j	65.45	35.22	58.37	68.17	59
r75j	75.19	17.82	69.41	71.66	76
j00g	87.03	-3.34	82.83	82.9	92
j25g	80.72	-25.0	69.5	73.86	110
j50g	70.64	-39.53	51.97	65.3	127
j75g	61.93	-52.09	36.83	63.8	145
g00b	52.8	-65.27	20.93	68.56	162
g25b	55.7	-49.57	-8.38	50.28	190
g50b	57.82	-38.39	-28.91	48.07	217
g75b	55.5	-22.04	-45.94	50.97	244
b00r	41.6	1.37	-45.0	45.03	272
b25r	29.0	25.08	-43.12	49.89	300
b50r	38.04	46.53	-28.38	54.51	329
b75r	49.48	72.88	-3.75	72.98	357



100



r00j	48.88	66.47	31.67	73.63	25
r25j	55.85	52.39	47.48	70.7	42
r50j	65.45	35.22	58.37	68.17	59
r75j	75.19	17.82	69.41	71.66	76
j00g	87.03	-3.34	82.83	82.9	92
j25g	80.72	-25.0	69.5	73.86	110
j50g	70.64	-39.53	51.97	65.3	127
j75g	61.93	-52.09	36.83	63.8	145
g00b	52.8	-65.27	20.93	68.56	162
g25b	55.7	-49.57	-8.38	50.28	190
g50b	57.82	-38.39	-28.91	48.07	217
g75b	55.5	-22.04	-45.94	50.97	244
b00r	41.6	1.37	-45.0	45.03	272
b25r	29.0	25.08	-43.12	49.89	300
b50r	38.04	46.53	-28.38	54.51	329
b75r	49.48	72.88	-3.75	72.98	357



Farbreihen, 8 Datentabellen für 16 Bunttöne *r00j* bis *b75r*

Ausgabe: $\rightarrow cmy\mathbf{n}5^* setcmykcolor$

BAM-Registrierung: 20080701-Dg98/10L/L98G00NP.PS/.PDF BAM-Material: Code=rha4ta
+ Anwendung für Beurteilung und Messung von Drucker- oder Monitorsystemen

Ein und Ausgabe: Farbmetrisches Drucker-Reflektiv-System ORS19_96a für relativen CIELAB-Buntton $h^* = lab^*h^* = h_{ab}/360 = 59/360 = 0.164$ $u^* = r50j$

Daten für jede Farbe:

lab^*ch^* und lab^*icu^*

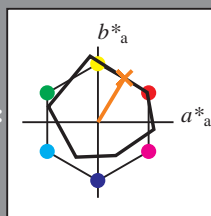
Elementar-Bunttontext:

$u^* = r50j$

Kontrastreduzierungsfaktor:

$c_R = 1.0$

Dreiecks-Helligkeit t^*



ORS19_96a; CIELAB-Daten					
	$L^*=L^*$	a^*	b^*	C^*_{ab}	h^*_{ab}
O _M	48.75	65.16	40.76	76.86	32
Y _M	90.92	-10.77	89.36	90.01	97
L _M	52.69	-65.39	22.15	69.05	161
C _M	59.61	-29.03	-44.68	53.3	237
V _M	28.39	24.0	-43.17	49.4	299
M _M	49.58	74.01	-8.21	74.47	354
N _M	18.89	0.5	0.77	0.92	57
W _M	96.9	-0.56	2.23	2.3	104
R _{CIE}	39.92	58.74	27.99	65.07	25
J _{CIE}	81.26	-2.88	71.56	71.62	92
G _{CIE}	52.23	-42.41	13.6	44.55	162
B _{CIE}	30.57	1.41	-46.46	46.49	272

Daten für Maximalfarbe (Ma):

$LAB^*LAB^*_{Ma}$: 65 35 58

$LAB^*LCH^*_{Ma}$: 65 68 59

$lab^*rgb^*_{Ma}$: 1.0 0.5 0.0

$lab^*olv^*_{Ma}$: 1.0 0.4 0.0

Dreiecks-Helligkeit t^*

%Umfang

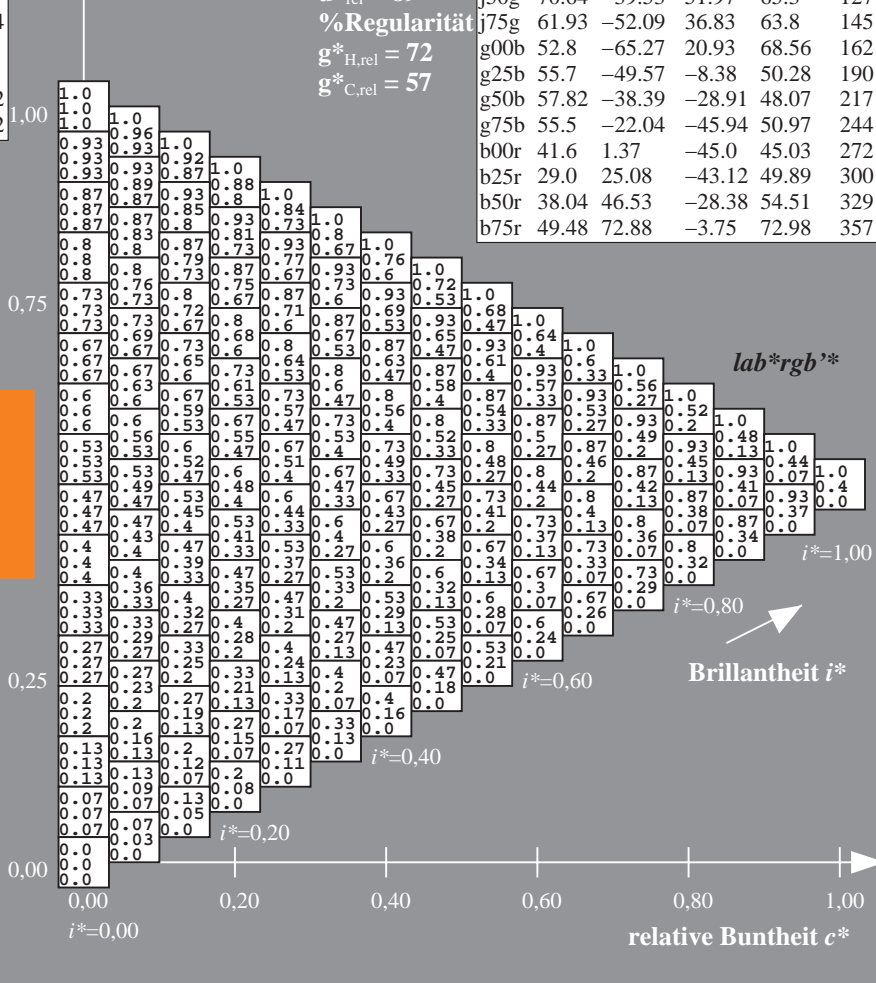
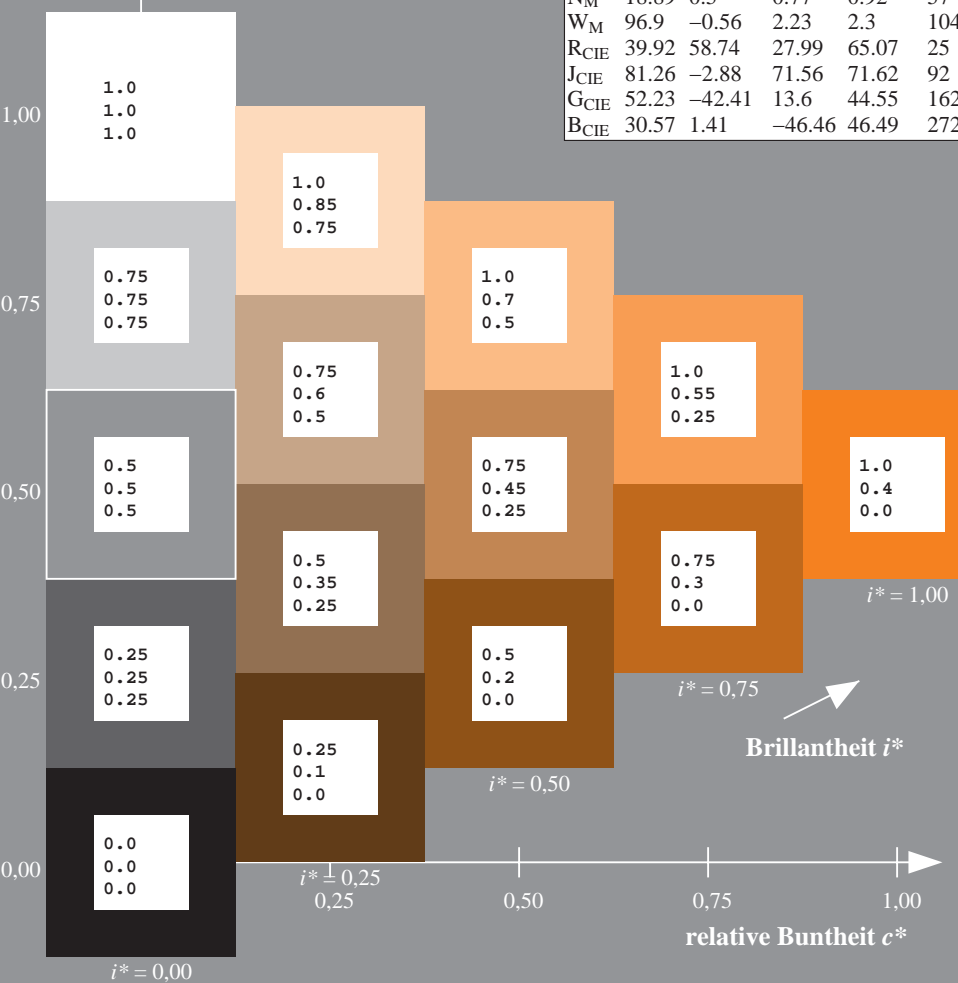
$u^*_{rel} = 89$

%Regularität

$g^*_{H,rel} = 72$

$g^*_{C,rel} = 57$

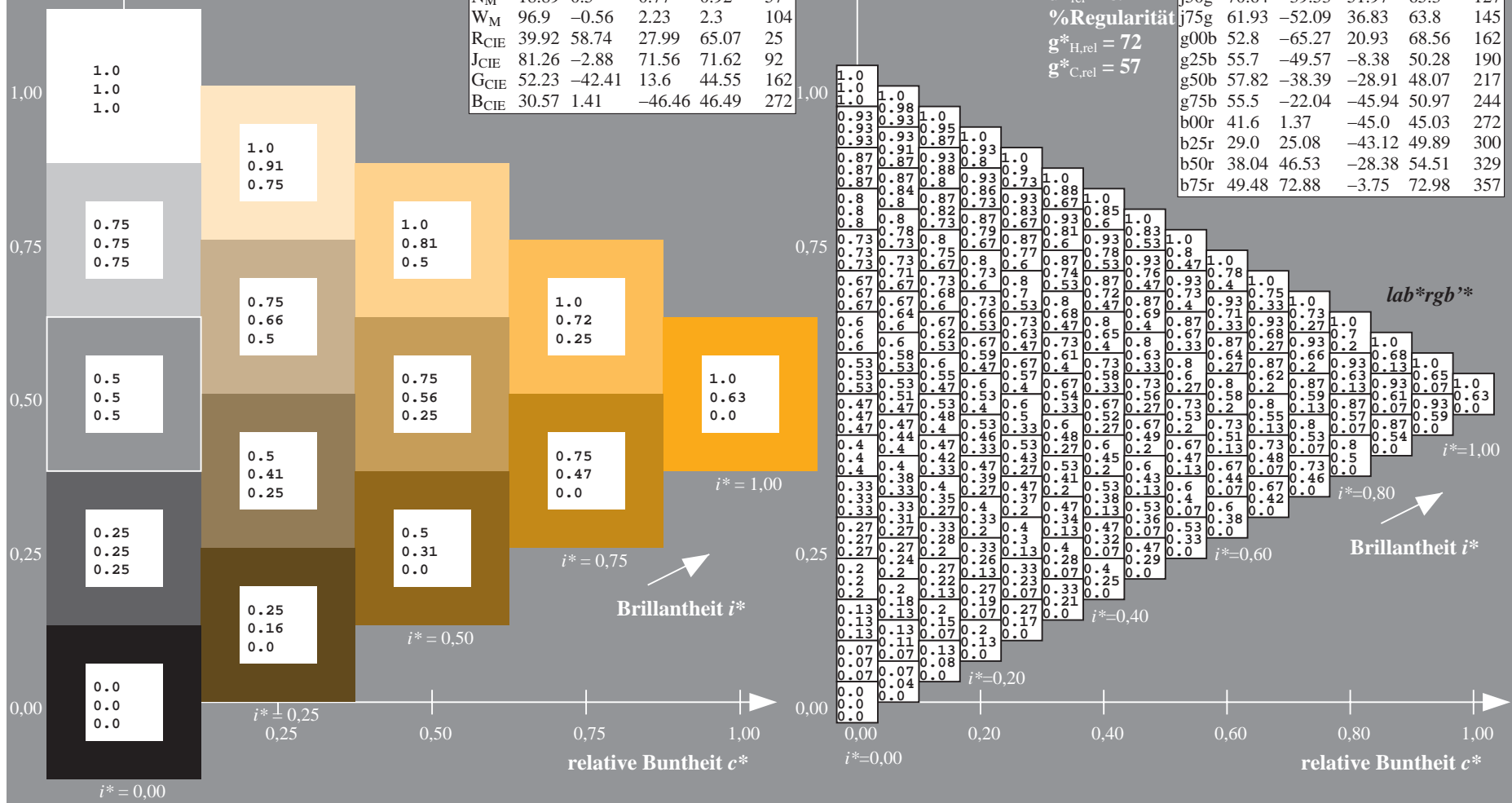
ORS19_96a; adaptierte CIELAB-Daten					
	$L^*=L^*_a$	a^*_a	b^*_a	$C^*_{ab,a}$	$h^*_{ab,a}$
r00j	48.88	66.47	31.67	73.63	25
r25j	55.85	52.39	47.48	70.7	42
r50j	65.45	35.22	58.37	68.17	59
r75j	75.19	17.82	69.41	71.66	76
j00g	87.03	-3.34	82.83	82.9	92
j25g	80.72	-25.0	69.5	73.86	110
j50g	70.64	-39.53	51.97	65.3	127
j75g	61.93	-52.09	36.83	63.8	145
g00b	52.8	-65.27	20.93	68.56	162
g25b	55.7	-49.57	-8.38	50.28	190
g50b	57.82	-38.39	-28.91	48.07	217
g75b	55.5	-22.04	-45.94	50.97	244
b00r	41.6	1.37	-45.0	45.03	272
b25r	29.0	25.08	-43.12	49.89	300
b50r	38.04	46.53	-28.38	54.51	329
b75r	49.48	72.88	-3.75	72.98	357



0



r00j	48.88	66.47	31.67	73.63	25
r25j	55.85	52.39	47.48	70.7	42
r50j	65.45	35.22	58.37	68.17	59
r75j	75.19	17.82	69.41	71.66	76
j00g	87.03	-3.34	82.83	82.9	92
j25g	80.72	-25.0	69.5	73.86	110
j50g	70.64	-39.53	51.97	65.3	127
j75g	61.93	-52.09	36.83	63.8	145
g00b	52.8	-65.27	20.93	68.56	162
g25b	55.7	-49.57	-8.38	50.28	190
g50b	57.82	-38.39	-28.91	48.07	217
g75b	55.5	-22.04	-45.94	50.97	244
b00r	41.6	1.37	-45.0	45.03	272
b25r	29.0	25.08	-43.12	49.89	300
b50r	38.04	46.53	-28.38	54.51	329
b75r	49.48	72.88	-3.75	72.98	357

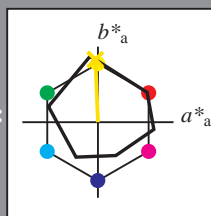


Ein und Ausgabe: Farbmetrisches Drucker-Reflektiv-System ORS19_96a für relativen CIELAB-Buntton $h^* = lab^*h^* = h_{ab}/360 = 92/360 = 0.256$ $u^* = j00g$
Daten für jede Farbe:
 lab^*ch^* und lab^*icu^*

Elementar-Bunttonextext:
 $u^* = j00g$

Kontrastreduzierungsfaktor:
 $c_R = 1.0$

Dreiecks-Helligkeit t^*



ORS19_96a; CIELAB-Daten					
	$L^*=L^*$	a^*	b^*	C^*_{ab}	h^*_{ab}
O _M	48.75	65.16	40.76	76.86	32
Y _M	90.92	-10.77	89.36	90.01	97
L _M	52.69	-65.39	22.15	69.05	161
C _M	59.61	-29.03	-44.68	53.3	237
V _M	28.39	24.0	-43.17	49.4	299
M _M	49.58	74.01	-8.21	74.47	354
N _M	18.89	0.5	0.77	0.92	57
W _M	96.9	-0.56	2.23	2.3	104
R _{CIE}	39.92	58.74	27.99	65.07	25
J _{CIE}	81.26	-2.88	71.56	71.62	92
G _{CIE}	52.23	-42.41	13.6	44.55	162
B _{CIE}	30.57	1.41	-46.46	46.49	272

Daten für Maximalfarbe (Ma):

$LAB^*LAB^*_{Ma}$: 87 -2 83

$LAB^*LCH^*_{Ma}$: 87 83 92

$lab^*rgb^*_{Ma}$: 1.0 1.0 0.0

$lab^*olv^*_{Ma}$: 1.0 0.91 0.0

Dreiecks-Helligkeit t^*

%Umfang

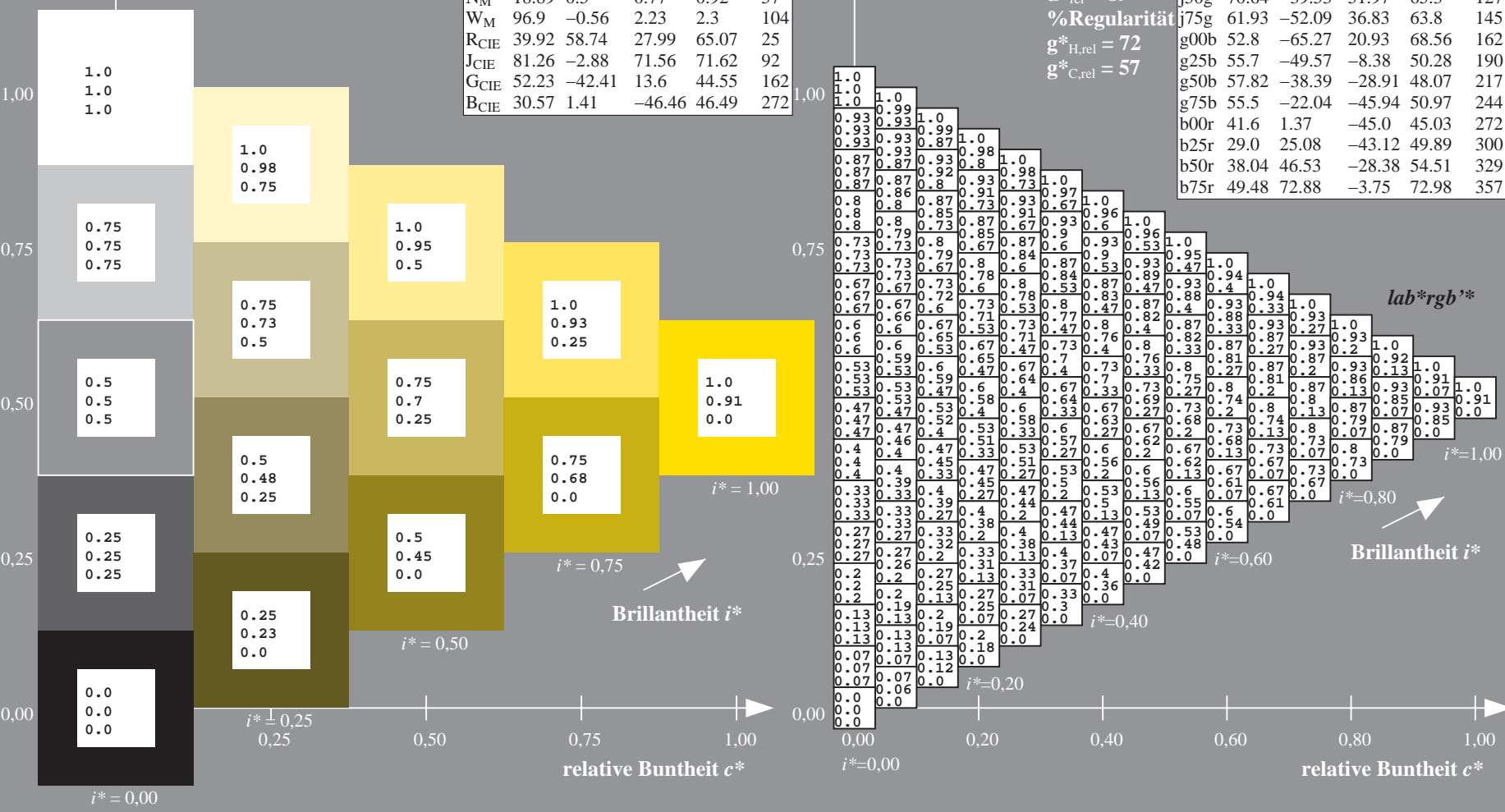
$u^*_{rel} = 89$

%Regularität

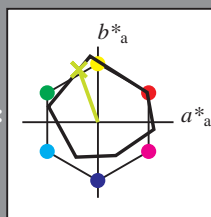
$g^*_{H,rel} = 72$

$g^*_{C,rel} = 57$

ORS19_96a; adaptierte CIELAB-Daten					
	$L^*=L^*_a$	a^*_a	b^*_a	$C^*_{ab,a}$	$h^*_{ab,a}$
r00j	48.88	66.47	31.67	73.63	25
r25j	55.85	52.39	47.48	70.7	42
r50j	65.45	35.22	58.37	68.17	59
r75j	75.19	17.82	69.41	71.66	76
j00g	87.03	-3.34	82.83	82.9	92
j25g	80.72	-25.0	69.5	73.86	110
j50g	70.64	-39.53	51.97	65.3	127
j75g	61.93	-52.09	36.83	63.8	145
g00b	52.8	-65.27	20.93	68.56	162
g25b	55.7	-49.57	-8.38	50.28	190
g50b	57.82	-38.39	-28.91	48.07	217
g75b	55.5	-22.04	-45.94	50.97	244
b00r	41.6	1.37	-45.0	45.03	272
b25r	29.0	25.08	-43.12	49.89	300
b50r	38.04	46.53	-28.38	54.51	329
b75r	49.48	72.88	-3.75	72.98	357



Ein und Ausgabe: Farbmetrisches Drucker-Reflektiv-System ORS19_96a für relativen CIELAB-Buntton $h^* = lab^*h^* = h_{ab}/360 = 110/360 = 0.305$ $u^* = j25g$
Daten für jede Farbe:
 lab^*ch^* und lab^*icu^*
Elementar-Bunttoncontext:
 $u^* = j25g$
Kontrastreduzierungsfaktor:
 $c_R = 1.0$
Dreiecks-Helligkeit i^*



ORS19_96a; CIELAB-Daten					
	$L^*=L^*$	a^*	b^*	C^*_{ab}	h^*_{ab}
O _M	48.75	65.16	40.76	76.86	32
Y _M	90.92	-10.77	89.36	90.01	97
L _M	52.69	-65.39	22.15	69.05	161
C _M	59.61	-29.03	-44.68	53.3	237
V _M	28.39	24.0	-43.17	49.4	299
M _M	49.58	74.01	-8.21	74.47	354
N _M	18.89	0.5	0.77	0.92	57
W _M	96.9	-0.56	2.23	2.3	104
R _{CIE}	39.92	58.74	27.99	65.07	25
J _{CIE}	81.26	-2.88	71.56	71.62	92
G _{CIE}	52.23	-42.41	13.6	44.55	162
B _{CIE}	30.57	1.41	-46.46	46.49	272

Daten für Maximalfarbe (Ma):

$LAB^*LAB^*_{Ma}$: 81 -24 69

$LAB^*LCH^*_{Ma}$: 81 74 110

$lab^*rgb^*_{Ma}$: 0.75 1.0 0.0

$lab^*olv^*_{Ma}$: 0.73 1.0 0.0

Dreiecks-Helligkeit i^*

%Umfang

$u^*_{rel} = 89$

%Regularität

$g^*_{H,rel} = 72$

$g^*_{C,rel} = 57$

ORS19_96a; adaptierte CIELAB-Daten					
	$L^*=L^*_a$	a^*_a	b^*_a	$C^*_{ab,a}$	$h^*_{ab,a}$
r00j	48.88	66.47	31.67	73.63	25
r25j	55.85	52.39	47.48	70.7	42
r50j	65.45	35.22	58.37	68.17	59
r75j	75.19	17.82	69.41	71.66	76
j00g	87.03	-3.34	82.83	82.9	92
j25g	80.72	-25.0	69.5	73.86	110
j50g	70.64	-39.53	51.97	65.3	127
j75g	61.93	-52.09	36.83	63.8	145
g00b	52.8	-65.27	20.93	68.56	162
g25b	55.7	-49.57	-8.38	50.28	190
g50b	57.82	-38.39	-28.91	48.07	217
g75b	55.5	-22.04	-45.94	50.97	244
b00r	41.6	1.37	-45.0	45.03	272
b25r	29.0	25.08	-43.12	49.89	300
b50r	38.04	46.53	-28.38	54.51	329
b75r	49.48	72.88	-3.75	72.98	357

lab^*rgb^*

$i^* = 1.00$

Brillantheit i^*

$i^* = 0.80$

$i^* = 0.60$

$i^* = 0.40$

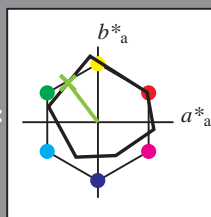
$i^* = 0.20$

$i^* = 0.00$

relative Buntheit c^*

relative Buntheit c^*

Ein und Ausgabe: Farbmetrisches Drucker-Reflektiv-System ORS19_96a für relativen CIELAB-Buntton $h^* = lab^*h^* = h_{ab}/360 = 127/360 = 0.354$ $u^* = j50g$
Daten für jede Farbe:
 lab^*ch^* und lab^*icu^*
Elementar-Bunttontext:
 $u^* = j50g$
Kontrastreduzierungsfaktor:
 $c_R = 1.0$
Dreiecks-Helligkeit i^*



ORS19_96a; CIELAB-Daten					
	$L^*=L^*$	a^*	b^*	C^*_{ab}	h^*_{ab}
O _M	48.75	65.16	40.76	76.86	32
Y _M	90.92	-10.77	89.36	90.01	97
L _M	52.69	-65.39	22.15	69.05	161
C _M	59.61	-29.03	-44.68	53.3	237
V _M	28.39	24.0	-43.17	49.4	299
M _M	49.58	74.01	-8.21	74.47	354
N _M	18.89	0.5	0.77	0.92	57
W _M	96.9	-0.56	2.23	2.3	104
R _{CIE}	39.92	58.74	27.99	65.07	25
J _{CIE}	81.26	-2.88	71.56	71.62	92
G _{CIE}	52.23	-42.41	13.6	44.55	162
B _{CIE}	30.57	1.41	-46.46	46.49	272

Daten für Maximalfarbe (Ma):

$LAB^*LAB^*_{Ma}$: 71 -39 52

$LAB^*LCH^*_{Ma}$: 71 65 127

$lab^*rgb^*_{Ma}$: 0.5 1.0 0.0

$lab^*olv^*_{Ma}$: 0.47 1.0 0.0

Dreiecks-Helligkeit i^*

%Umfang

$u^*_{rel} = 89$

%Regularität

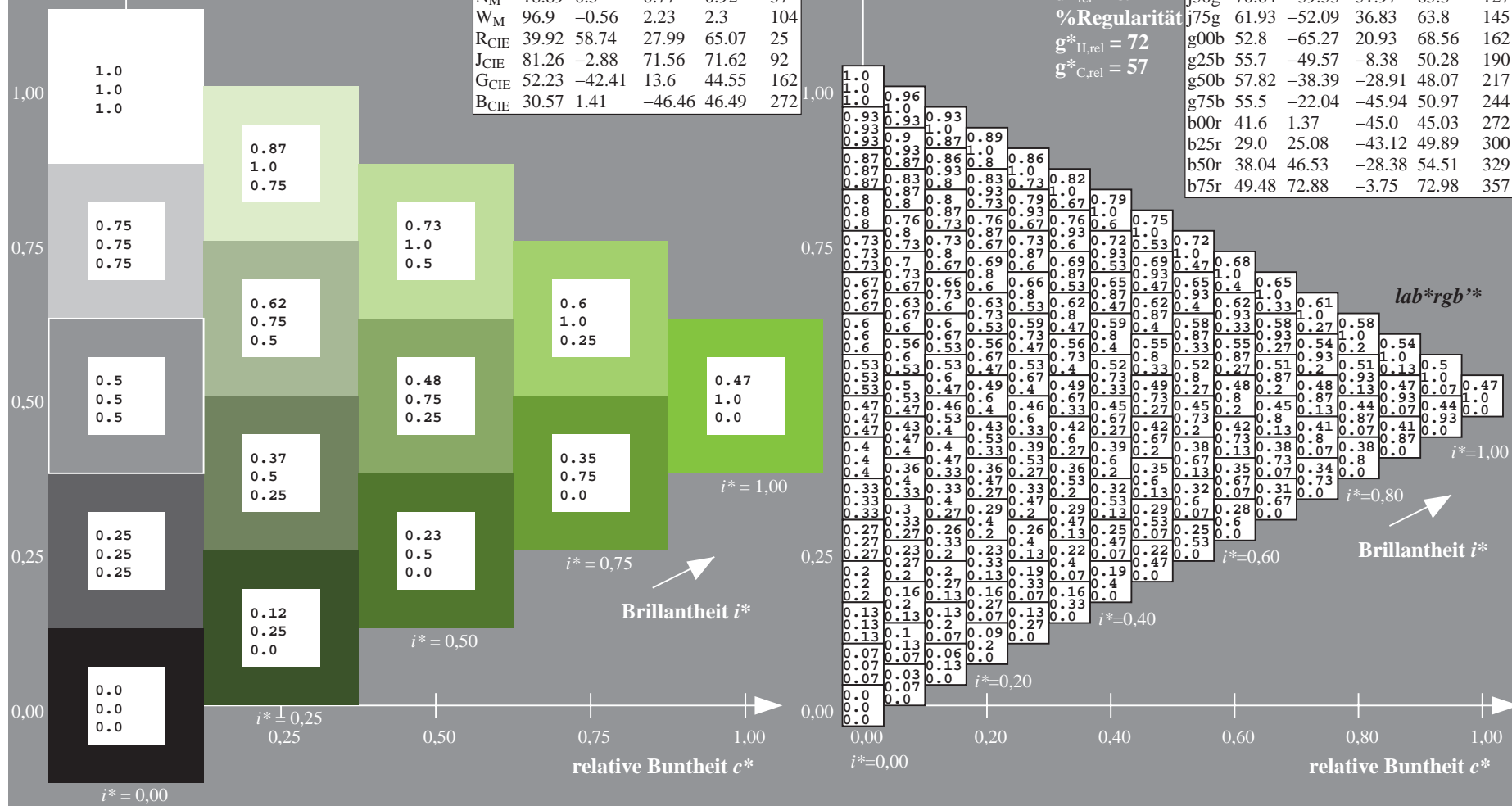
$g^*_{H,rel} = 72$

$g^*_{C,rel} = 57$

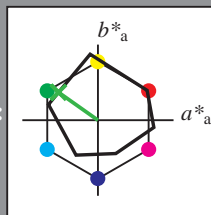
ORS19_96a; adaptierte CIELAB-Daten					
	$L^*=L^*_a$	a^*_a	b^*_a	$C^*_{ab,a}$	$h^*_{ab,a}$
r00j	48.88	66.47	31.67	73.63	25
r25j	55.85	52.39	47.48	70.7	42
r50j	65.45	35.22	58.37	68.17	59
r75j	75.19	17.82	69.41	71.66	76
j00g	87.03	-3.34	82.83	82.9	92
j25g	80.72	-25.0	69.5	73.86	110
j50g	70.64	-39.53	51.97	65.3	127
j75g	61.93	-52.09	36.83	63.8	145
g00b	52.8	-65.27	20.93	68.56	162
g25b	55.7	-49.57	-8.38	50.28	190
g50b	57.82	-38.39	-28.91	48.07	217
g75b	55.5	-22.04	-45.94	50.97	244
b00r	41.6	1.37	-45.0	45.03	272
b25r	29.0	25.08	-43.12	49.89	300
b50r	38.04	46.53	-28.38	54.51	329
b75r	49.48	72.88	-3.75	72.98	357

Siehe ähnliche Dateien: <http://www.ps.bam.de/Dg98/>; www.ps.bam.de/Dg98/HTM
Technische Information: <http://www.ps.bam.de> Version 2.1, io=1,1, ColSpx=1

BAM-Registrierung: 20080701-Dg98/10L/L98G00NP.PS/ .PDF BAM-Material: Code=rh4ta
Anwendung für Beurteilung und Messung von Drucker- oder Monitorsystemen



Ein und Ausgabe: Farbmetrisches Drucker-Reflektiv-System ORS19_96a für relativen CIELAB-Buntton $h^* = lab^*h^* = h_{ab}/360 = 145/360 = 0.402$ $u^* = j75g$
Daten für jede Farbe: lab^*ch^* und lab^*icu^*
Elementar-Bunttoncontext: $u^* = j75g$
Kontrastreduzierungsfaktor: $c_R = 1.0$
Dreiecks-Helligkeit i^*



ORS19_96a; CIELAB-Daten					
	$L^*=L^*$	a^*	b^*	C^*_{ab}	h^*_{ab}
O _M	48.75	65.16	40.76	76.86	32
Y _M	90.92	-10.77	89.36	90.01	97
L _M	52.69	-65.39	22.15	69.05	161
C _M	59.61	-29.03	-44.68	53.3	237
V _M	28.39	24.0	-43.17	49.4	299
M _M	49.58	74.01	-8.21	74.47	354
N _M	18.89	0.5	0.77	0.92	57
W _M	96.9	-0.56	2.23	2.3	104
R _{CIE}	39.92	58.74	27.99	65.07	25
J _{CIE}	81.26	-2.88	71.56	71.62	92
G _{CIE}	52.23	-42.41	13.6	44.55	162
B _{CIE}	30.57	1.41	-46.46	46.49	272

Daten für Maximalfarbe (Ma):

LAB^*LAB^*Ma : 62 -51 37

LAB^*LCH^*Ma : 62 64 145

lab^*rgb^*Ma : 0.25 1.0 0.0

lab^*olv^*Ma : 0.24 1.0 0.0

Dreiecks-Helligkeit i^*

%Umfang

$u^*_{rel} = 89$

%Regularität

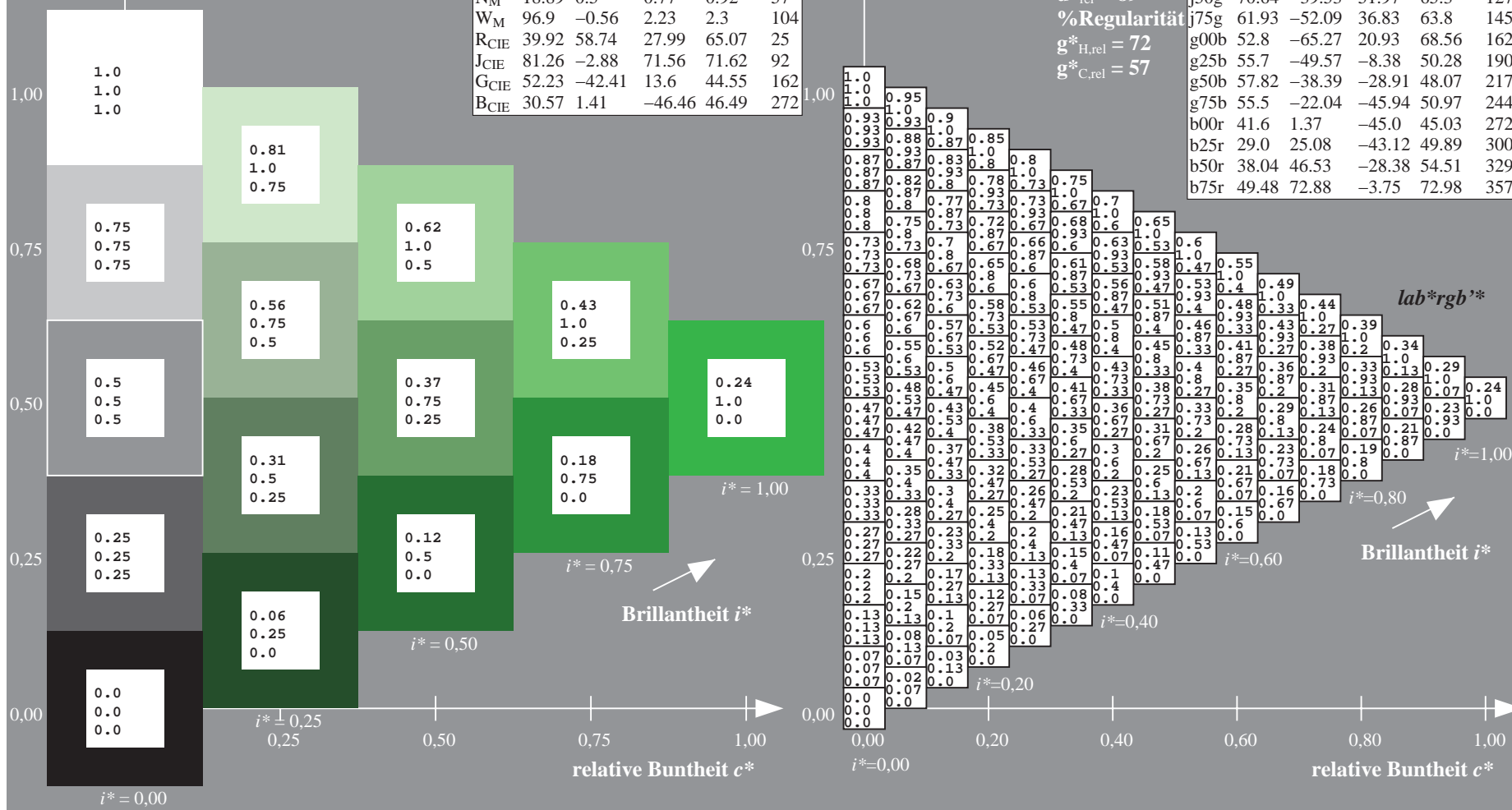
$g^*_{H,rel} = 72$

$g^*_{C,rel} = 57$

ORS19_96a; adaptierte CIELAB-Daten					
	$L^*=L^*_a$	a^*_a	b^*_a	$C^*_{ab,a}$	$h^*_{ab,a}$
r00j	48.88	66.47	31.67	73.63	25
r25j	55.85	52.39	47.48	70.7	42
r50j	65.45	35.22	58.37	68.17	59
r75j	75.19	17.82	69.41	71.66	76
j00g	87.03	-3.34	82.83	82.9	92
j25g	80.72	-25.0	69.5	73.86	110
j50g	70.64	-39.53	51.97	65.3	127
j75g	61.93	-52.09	36.83	63.8	145
g00b	52.8	-65.27	20.93	68.56	162
g25b	55.7	-49.57	-8.38	50.28	190
g50b	57.82	-38.39	-28.91	48.07	217
g75b	55.5	-22.04	-45.94	50.97	244
b00r	41.6	1.37	-45.0	45.03	272
b25r	29.0	25.08	-43.12	49.89	300
b50r	38.04	46.53	-28.38	54.51	329
b75r	49.48	72.88	-3.75	72.98	357

Siehe ähnliche Dateien: <http://www.ps.bam.de/Dg98/>; www.ps.bam.de/Dg98/10L/L98G00NP.PS/.PDF
Technische Information: <http://www.ps.bam.de> Version 2.1, io=1,1, ColSpx=1

BAM-Registrierung: 20080701-Dg98/10L/L98G00NP.PS/.PDF BAM-Material: Code=rh4ta
Anwendung für Beurteilung und Messung von Drucker- oder Monitorsystemen



Ein und Ausgabe: Farbmetrisches Drucker-Reflektiv-System ORS19_96a für relativen CIELAB-Buntton $h^* = lab^*h^* = h_{ab}/360 = 162/360 = 0.451$ $u^* = g00b$

Daten für jede Farbe:

lab^*ch^* und lab^*icu^*

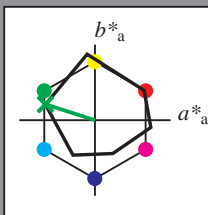
Elementar-Bunttontext:

$u^* = g00b$

Kontrastreduzierungsfaktor:

$c_R = 1.0$

Dreiecks-Helligkeit i^*



ORS19_96a; CIELAB-Daten

	$L^*=L^*$	a^*	b^*	C^*_{ab}	h^*_{ab}
O _M	48.75	65.16	40.76	76.86	32
Y _M	90.92	-10.77	89.36	90.01	97
L _M	52.69	-65.39	22.15	69.05	161
C _M	59.61	-29.03	-44.68	53.3	237
V _M	28.39	24.0	-43.17	49.4	299
M _M	49.58	74.01	-8.21	74.47	354
N _M	18.89	0.5	0.77	0.92	57
W _M	96.9	-0.56	2.23	2.3	104
R _{CIE}	39.92	58.74	27.99	65.07	25
J _{CIE}	81.26	-2.88	71.56	71.62	92
G _{CIE}	52.23	-42.41	13.6	44.55	162
B _{CIE}	30.57	1.41	-46.46	46.49	272

Daten für Maximalfarbe (Ma):

$LAB^*LAB^*_{Ma}$: 53 -64 21

$LAB^*LCH^*_{Ma}$: 53 69 162

$lab^*rgb^*_{Ma}$: 0.0 1.0 0.0

$lab^*olv^*_{Ma}$: 0.0 1.0 0.0

Dreiecks-Helligkeit i^*

%Umfang

$u^*_{rel} = 89$

%Regularität

$g^*_{H,rel} = 72$

$g^*_{C,rel} = 57$

ORS19_96a; adaptierte CIELAB-Daten

	$L^*=L^*_a$	a^*_a	b^*_a	$C^*_{ab,a}$	$h^*_{ab,a}$
r00j	48.88	66.47	31.67	73.63	25
r25j	55.85	52.39	47.48	70.7	42
r50j	65.45	35.22	58.37	68.17	59
r75j	75.19	17.82	69.41	71.66	76
j00g	87.03	-3.34	82.83	82.9	92
j25g	80.72	-25.0	69.5	73.86	110
j50g	70.64	-39.53	51.97	65.3	127
j75g	61.93	-52.09	36.83	63.8	145
g00b	52.8	-65.27	20.93	68.56	162
g25b	55.7	-49.57	-8.38	50.28	190
g50b	57.82	-38.39	-28.91	48.07	217
g75b	55.5	-22.04	-45.94	50.97	244
b00r	41.6	1.37	-45.0	45.03	272
b25r	29.0	25.08	-43.12	49.89	300
b50r	38.04	46.53	-28.38	54.51	329
b75r	49.48	72.88	-3.75	72.98	357

lab^*rgb^*

$i^* = 1.00$

Brillantheit i^*

$i^* = 0.80$

$i^* = 0.60$

$i^* = 0.40$

$i^* = 0.20$

$i^* = 0.00$

Ein und Ausgabe: Farbmetrisches Drucker-Reflektiv-System ORS19_96a für relativen CIELAB-Buntton $h^* = lab^*h^* = h_{ab}/360 = 190/360 = 0.527$ $u^* = g25b$

Daten für jede Farbe:

lab^*ch^* und lab^*icu^*

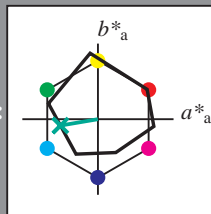
Elementar-Bunttontext:

$u^* = g25b$

Kontrastreduzierungsfaktor:

$c_R = 1.0$

Dreiecks-Helligkeit i^*



ORS19_96a; CIELAB-Daten

	$L^*=L^*$	a^*	b^*	C^*_{ab}	h^*_{ab}
O _M	48.75	65.16	40.76	76.86	32
Y _M	90.92	-10.77	89.36	90.01	97
L _M	52.69	-65.39	22.15	69.05	161
C _M	59.61	-29.03	-44.68	53.3	237
V _M	28.39	24.0	-43.17	49.4	299
M _M	49.58	74.01	-8.21	74.47	354
N _M	18.89	0.5	0.77	0.92	57
W _M	96.9	-0.56	2.23	2.3	104
R _{CIE}	39.92	58.74	27.99	65.07	25
J _{CIE}	81.26	-2.88	71.56	71.62	92
G _{CIE}	52.23	-42.41	13.6	44.55	162
B _{CIE}	30.57	1.41	-46.46	46.49	272

Daten für Maximalfarbe (Ma):

$LAB^*LAB^*_{Ma}$: 56 -49 -7

$LAB^*LCH^*_{Ma}$: 56 50 190

$lab^*rgb^*_{Ma}$: 0.0 1.0 0.5

$lab^*olv^*_{Ma}$: 0.0 1.0 0.44

Dreiecks-Helligkeit i^*

%Umfang

$u^*_{rel} = 89$

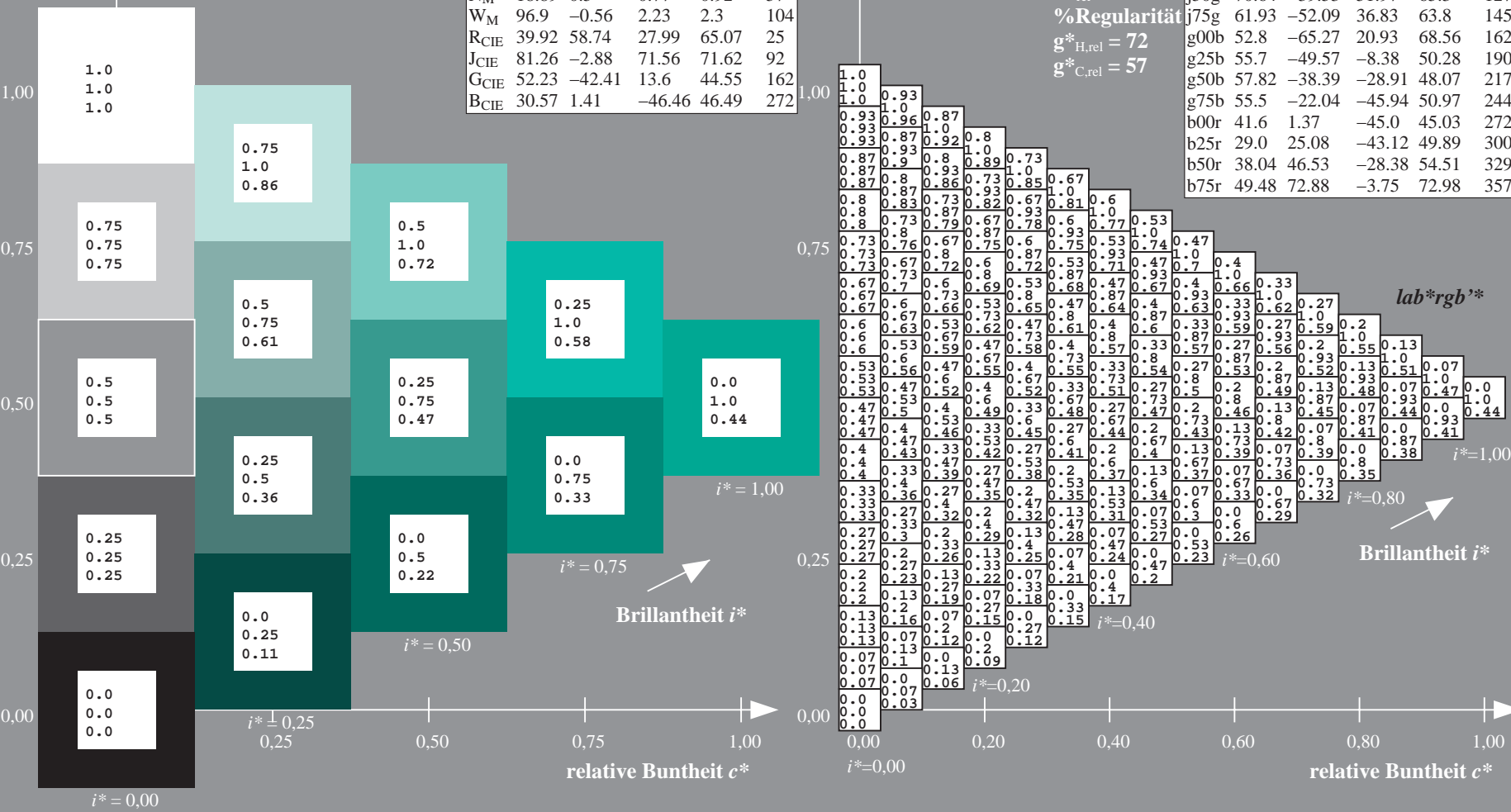
%Regularität

$g^*_{H,rel} = 72$

$g^*_{C,rel} = 57$

ORS19_96a; adaptierte CIELAB-Daten

	$L^*=L^*_a$	a^*_a	b^*_a	$C^*_{ab,a}$	$h^*_{ab,a}$
r00j	48.88	66.47	31.67	73.63	25
r25j	55.85	52.39	47.48	70.7	42
r50j	65.45	35.22	58.37	68.17	59
r75j	75.19	17.82	69.41	71.66	76
j00g	87.03	-3.34	82.83	82.9	92
j25g	80.72	-25.0	69.5	73.86	110
j50g	70.64	-39.53	51.97	65.3	127
j75g	61.93	-52.09	36.83	63.8	145
g00b	52.8	-65.27	20.93	68.56	162
g25b	55.7	-49.57	-8.38	50.28	190
g50b	57.82	-38.39	-28.91	48.07	217
g75b	55.5	-22.04	-45.94	50.97	244
b00r	41.6	1.37	-45.0	45.03	272
b25r	29.0	25.08	-43.12	49.89	300
b50r	38.04	46.53	-28.38	54.51	329
b75r	49.48	72.88	-3.75	72.98	357



Ein und Ausgabe: Farbmetrisches Drucker-Reflektiv-System ORS19_96a für relativen CIELAB-Buntton $h^* = lab^*h^* = h_{ab}/360 = 217/360 = 0.603$ $u^* = g50b$

Daten für jede Farbe:

lab^*ch^* und lab^*icu^*

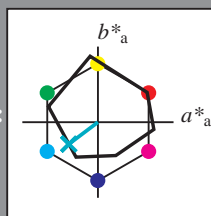
Elementar-Bunttontext:

$u^* = g50b$

Kontrastreduzierungsfaktor:

$c_R = 1.0$

Dreiecks-Helligkeit i^*



ORS19_96a; CIELAB-Daten					
	$L^*=L^*$	a^*	b^*	C^*_{ab}	h^*_{ab}
O _M	48.75	65.16	40.76	76.86	32
Y _M	90.92	-10.77	89.36	90.01	97
L _M	52.69	-65.39	22.15	69.05	161
C _M	59.61	-29.03	-44.68	53.3	237
V _M	28.39	24.0	-43.17	49.4	299
M _M	49.58	74.01	-8.21	74.47	354
N _M	18.89	0.5	0.77	0.92	57
W _M	96.9	-0.56	2.23	2.3	104
R _{CIE}	39.92	58.74	27.99	65.07	25
J _{CIE}	81.26	-2.88	71.56	71.62	92
G _{CIE}	52.23	-42.41	13.6	44.55	162
B _{CIE}	30.57	1.41	-46.46	46.49	272

Daten für Maximalfarbe (Ma):

$LAB^*LAB^*_{Ma}$: 58 -37 -28

$LAB^*LCH^*_{Ma}$: 58 48 217

$lab^*rgb^*_{Ma}$: 0.0 1.0 1.0

$lab^*olv^*_{Ma}$: 0.0 1.0 0.74

Dreiecks-Helligkeit i^*

%Umfang

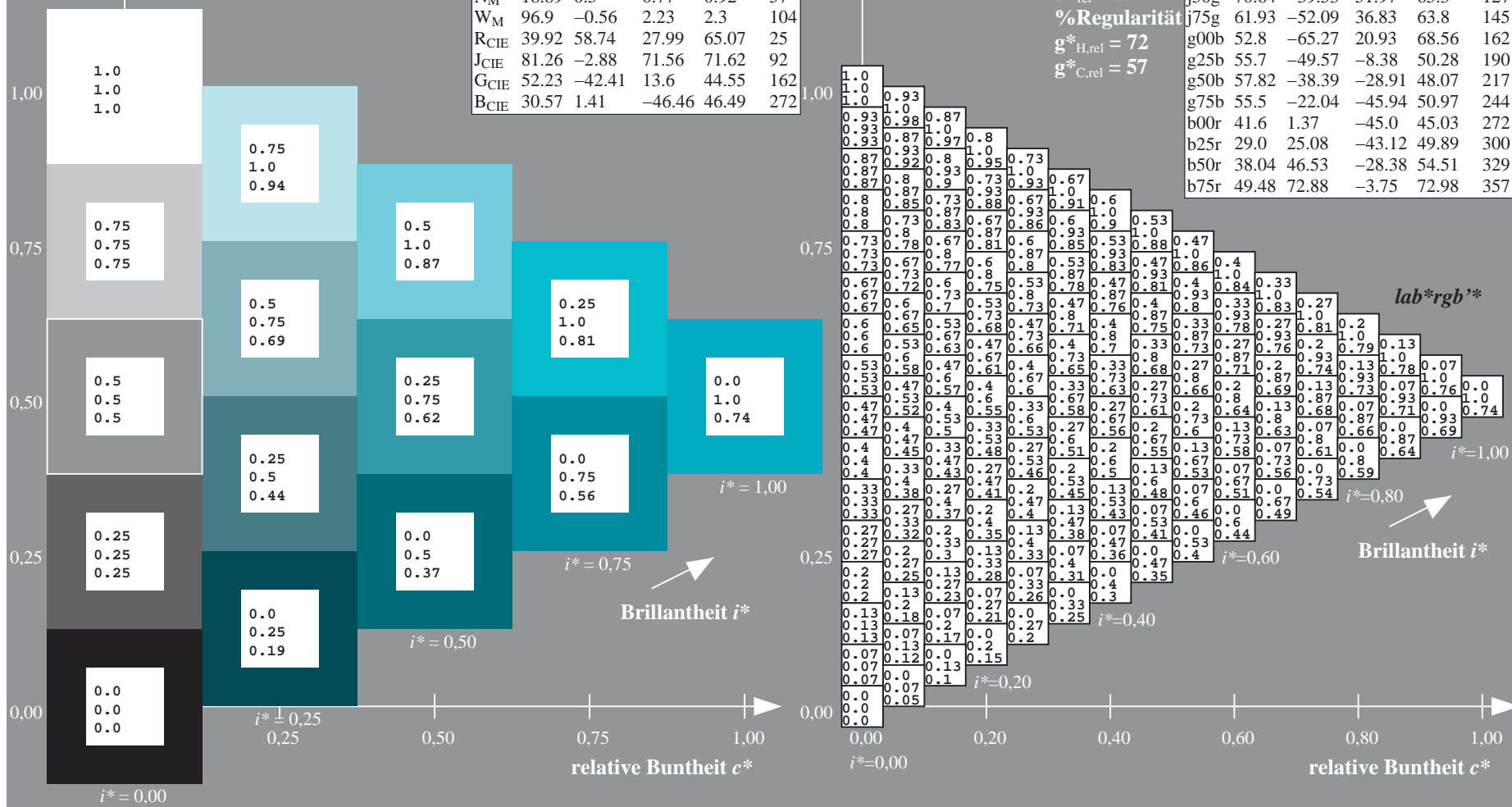
$u^*_{rel} = 89$

%Regularität

$g^*_{H,rel} = 72$

$g^*_{C,rel} = 57$

ORS19_96a; adaptierte CIELAB-Daten					
	$L^*=L^*_a$	a^*_a	b^*_a	$C^*_{ab,a}$	$h^*_{ab,a}$
r00j	48.88	66.47	31.67	73.63	25
r25j	55.85	52.39	47.48	70.7	42
r50j	65.45	35.22	58.37	68.17	59
r75j	75.19	17.82	69.41	71.66	76
j00g	87.03	-3.34	82.83	82.9	92
j25g	80.72	-25.0	69.5	73.86	110
j50g	70.64	-39.53	51.97	65.3	127
j75g	61.93	-52.09	36.83	63.8	145
g00b	52.8	-65.27	20.93	68.56	162
g25b	55.7	-49.57	-8.38	50.28	190
g50b	57.82	-38.39	-28.91	48.07	217
g75b	55.5	-22.04	-45.94	50.97	244
b00r	41.6	1.37	-45.0	45.03	272
b25r	29.0	25.08	-43.12	49.89	300
b50r	38.04	46.53	-28.38	54.51	329
b75r	49.48	72.88	-3.75	72.98	357



Ein und Ausgabe: Farbmetrisches Drucker-Reflektiv-System ORS19_96a für relativen CIELAB-Buntton $h^* = lab^*h^* = h_{ab}/360 = 244/360 = 0.679$ $u^* = g75b$

Daten für jede Farbe:

lab^*ch^* und lab^*icu^*

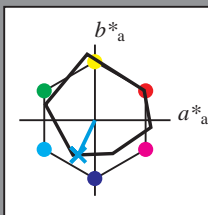
Elementar-Bunttontext:

$u^* = g75b$

Kontrastreduzierungsfaktor:

$c_R = 1.0$

Dreiecks-Helligkeit i^*



ORS19_96a; CIELAB-Daten

	$L^*=L^*$	a^*	b^*	C^*_{ab}	h^*_{ab}
O _M	48.75	65.16	40.76	76.86	32
Y _M	90.92	-10.77	89.36	90.01	97
L _M	52.69	-65.39	22.15	69.05	161
C _M	59.61	-29.03	-44.68	53.3	237
V _M	28.39	24.0	-43.17	49.4	299
M _M	49.58	74.01	-8.21	74.47	354
N _M	18.89	0.5	0.77	0.92	57
W _M	96.9	-0.56	2.23	2.3	104
R _{CIE}	39.92	58.74	27.99	65.07	25
J _{CIE}	81.26	-2.88	71.56	71.62	92
G _{CIE}	52.23	-42.41	13.6	44.55	162
B _{CIE}	30.57	1.41	-46.46	46.49	272

Daten für Maximalfarbe (Ma):

$LAB^*LAB^*_{Ma}$: 55 -21 -45

$LAB^*LCH^*_{Ma}$: 55 51 244

$lab^*rgb^*_{Ma}$: 0.0 0.5 1.0

$lab^*olv^*_{Ma}$: 0.0 0.87 1.0

Dreiecks-Helligkeit i^*

%Umfang

$u^*_{rel} = 89$

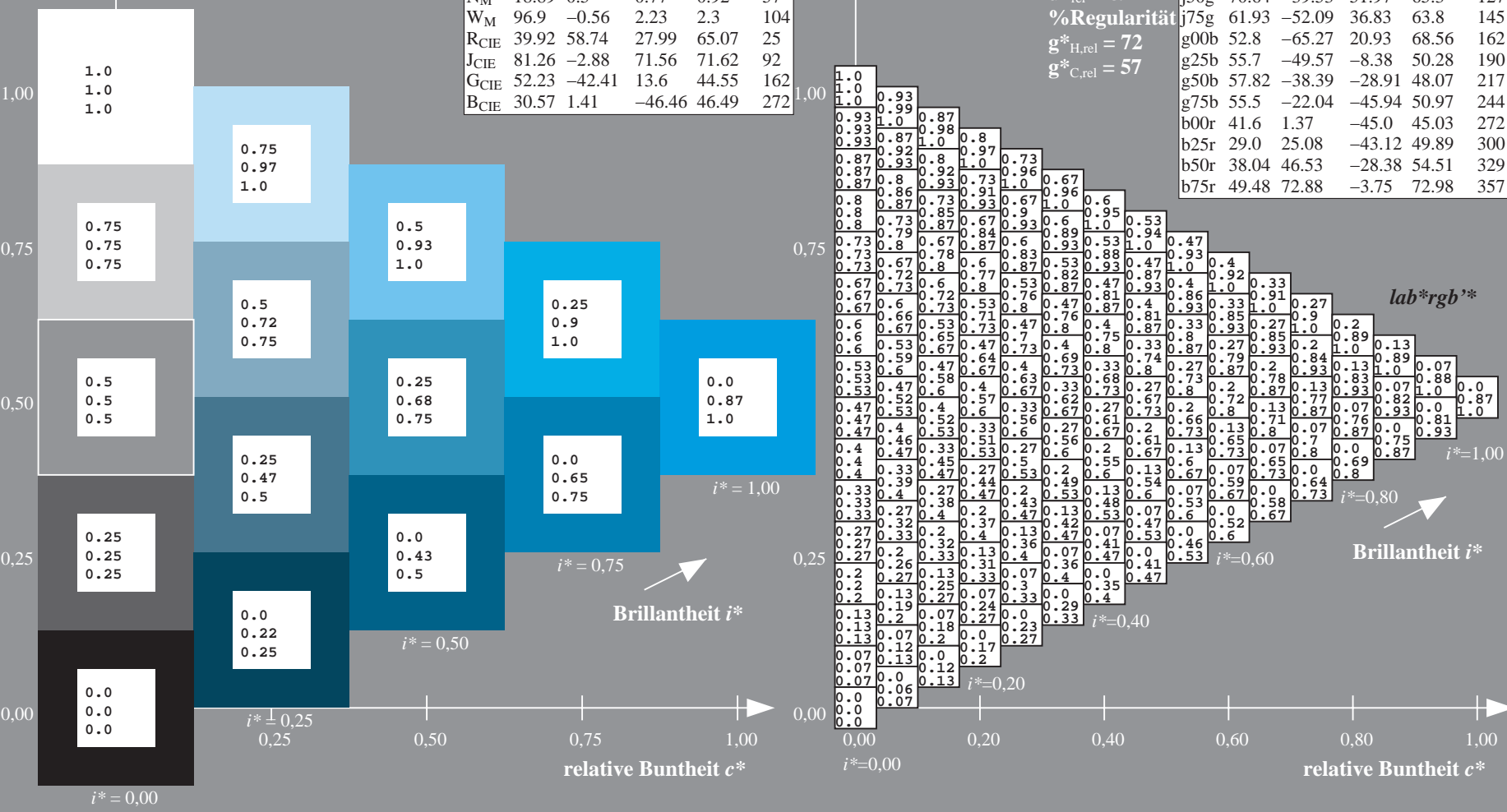
%Regularität

$g^*_{H,rel} = 72$

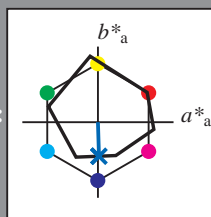
$g^*_{C,rel} = 57$

ORS19_96a; adaptierte CIELAB-Daten

	$L^*=L^*_a$	a^*_a	b^*_a	$C^*_{ab,a}$	$h^*_{ab,a}$
r00j	48.88	66.47	31.67	73.63	25
r25j	55.85	52.39	47.48	70.7	42
r50j	65.45	35.22	58.37	68.17	59
r75j	75.19	17.82	69.41	71.66	76
j00g	87.03	-3.34	82.83	82.9	92
j25g	80.72	-25.0	69.5	73.86	110
j50g	70.64	-39.53	51.97	65.3	127
j75g	61.93	-52.09	36.83	63.8	145
g00b	52.8	-65.27	20.93	68.56	162
g25b	55.7	-49.57	-8.38	50.28	190
g50b	57.82	-38.39	-28.91	48.07	217
g75b	55.5	-22.04	-45.94	50.97	244
b00r	41.6	1.37	-45.0	45.03	272
b25r	29.0	25.08	-43.12	49.89	300
b50r	38.04	46.53	-28.38	54.51	329
b75r	49.48	72.88	-3.75	72.98	357



Ein und Ausgabe: Farbmetrisches Drucker-Reflektiv-System ORS19_96a für relativen CIELAB-Buntton $h^* = lab^*h^* = h_{ab}/360 = 272/360 = 0.755$ $u^* = b00r$
Daten für jede Farbe:
 lab^*ch^* und lab^*icu^*
Elementar-Bunttontext:
 $u^* = b00r$
Kontrastreduzierungsfaktor:
 $c_R = 1.0$
Dreiecks-Helligkeit i^*



ORS19_96a; CIELAB-Daten					
	$L^*=L^*$	a^*	b^*	C^*_{ab}	h^*_{ab}
O _M	48.75	65.16	40.76	76.86	32
Y _M	90.92	-10.77	89.36	90.01	97
L _M	52.69	-65.39	22.15	69.05	161
C _M	59.61	-29.03	-44.68	53.3	237
V _M	28.39	24.0	-43.17	49.4	299
M _M	49.58	74.01	-8.21	74.47	354
N _M	18.89	0.5	0.77	0.92	57
W _M	96.9	-0.56	2.23	2.3	104
R _{CIE}	39.92	58.74	27.99	65.07	25
J _{CIE}	81.26	-2.88	71.56	71.62	92
G _{CIE}	52.23	-42.41	13.6	44.55	162
B _{CIE}	30.57	1.41	-46.46	46.49	272

Daten für Maximalfarbe (Ma):

$LAB^*LAB^*_{Ma}$: 42 1 -44

$LAB^*LCH^*_{Ma}$: 42 45 272

$lab^*rgb^*_{Ma}$: 0.0 0.0 1.0

$lab^*olv^*_{Ma}$: 0.0 0.42 1.0

Dreiecks-Helligkeit i^*

%Umfang

$u^*_{rel} = 89$

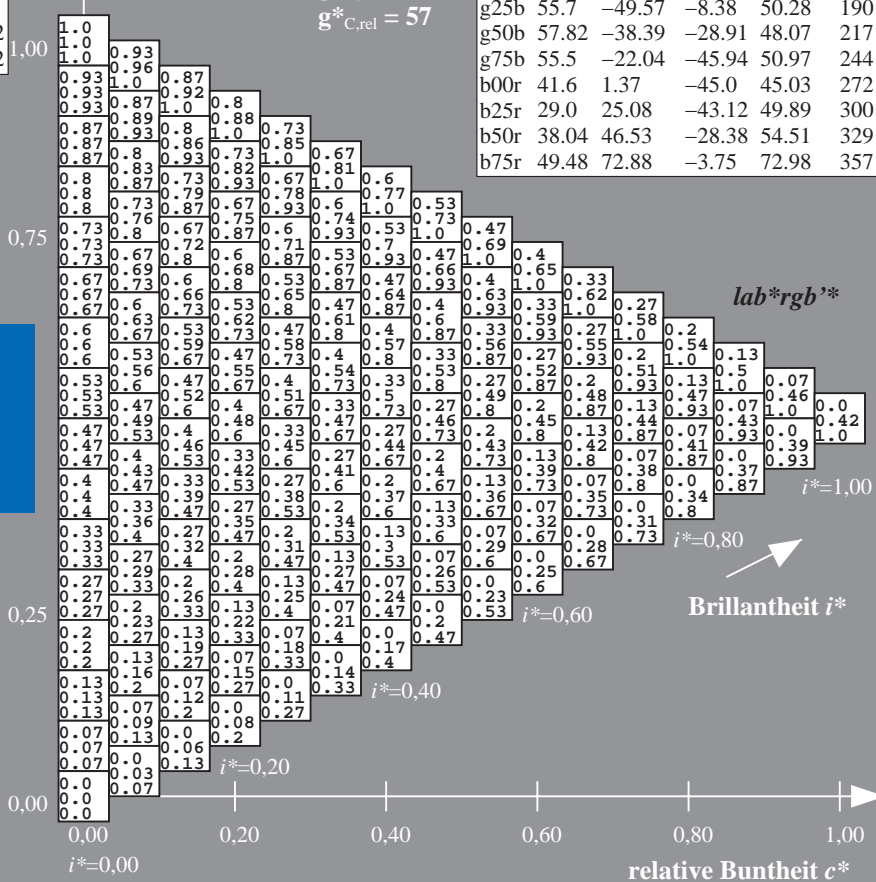
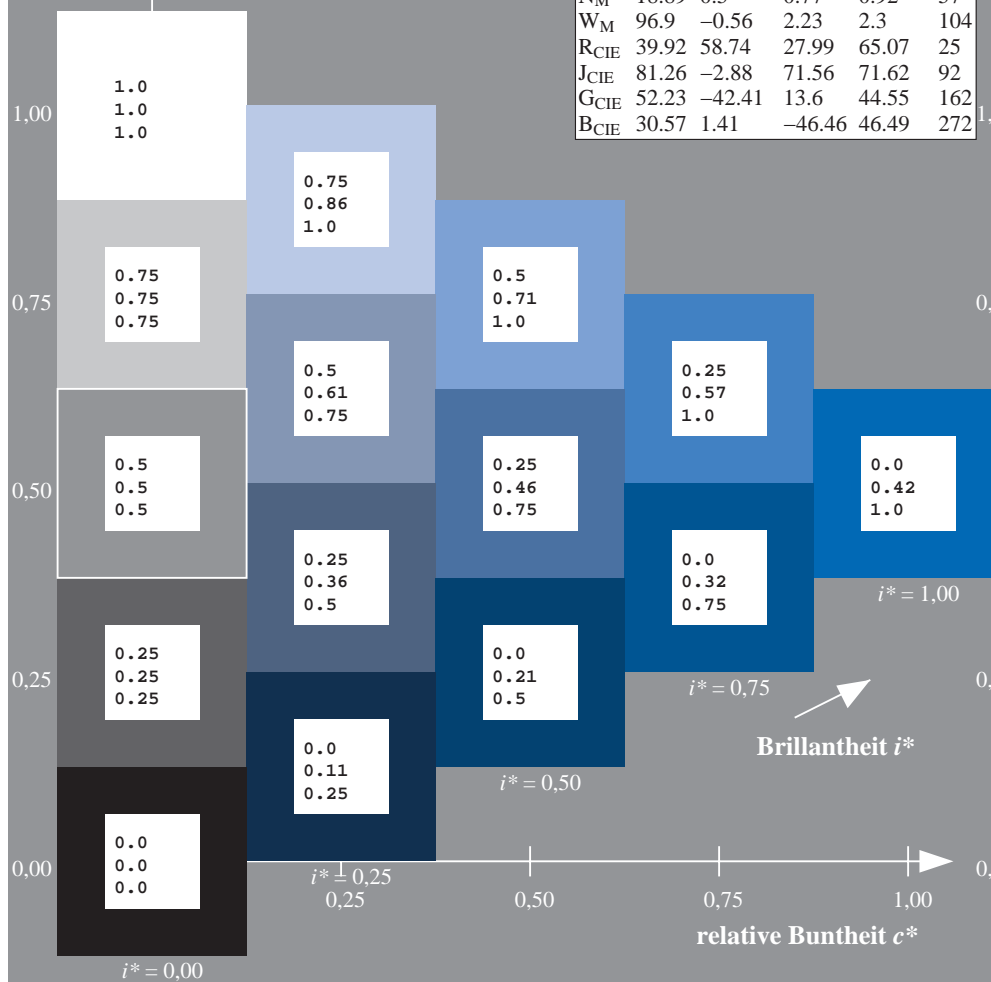
%Regularität

$g^*_{H,rel} = 72$

$g^*_{C,rel} = 57$

ORS19_96a; adaptierte CIELAB-Daten					
	$L^*=L^*_a$	a^*_a	b^*_a	$C^*_{ab,a}$	$h^*_{ab,a}$
r00j	48.88	66.47	31.67	73.63	25
r25j	55.85	52.39	47.48	70.7	42
r50j	65.45	35.22	58.37	68.17	59
r75j	75.19	17.82	69.41	71.66	76
j00g	87.03	-3.34	82.83	82.9	92
j25g	80.72	-25.0	69.5	73.86	110
j50g	70.64	-39.53	51.97	65.3	127
j75g	61.93	-52.09	36.83	63.8	145
g00b	52.8	-65.27	20.93	68.56	162
g25b	55.7	-49.57	-8.38	50.28	190
g50b	57.82	-38.39	-28.91	48.07	217
g75b	55.5	-22.04	-45.94	50.97	244
b00r	41.6	1.37	-45.0	45.03	272
b25r	29.0	25.08	-43.12	49.89	300
b50r	38.04	46.53	-28.38	54.51	329
b75r	49.48	72.88	-3.75	72.98	357

lab^*rgb^*					
	lab^*r	lab^*g	lab^*b	i^*	c^*
r00j	0.0	0.0	1.0	0.0	0.0
r25j	0.0	0.0	0.75	0.0	0.25
r50j	0.0	0.0	0.5	0.0	0.5
r75j	0.0	0.0	0.25	0.0	0.75
j00g	0.0	0.25	0.0	0.0	0.25
j25g	0.0	0.5	0.0	0.0	0.5
j50g	0.0	0.75	0.0	0.0	0.75
j75g	0.0	1.0	0.0	0.0	1.0
g00b	0.25	0.0	0.0	0.0	0.25
g25b	0.5	0.0	0.0	0.0	0.5
g50b	0.75	0.0	0.0	0.0	0.75
g75b	1.0	0.0	0.0	0.0	1.0
b00r	0.0	0.0	0.0	1.0	0.0
b25r	0.25	0.0	0.0	1.0	0.25
b50r	0.5	0.0	0.0	1.0	0.5
b75r	0.75	0.0	0.0	1.0	0.75



Ein und Ausgabe: Farbmetrisches Drucker-Reflektiv-System ORS19_96a für relativen CIELAB-Buntton $h^* = lab^*h^* = h_{ab}/360 = 300/360 = 0.834$ $u^* = b25r$

Daten für jede Farbe:

lab^*ch^* und lab^*icu^*

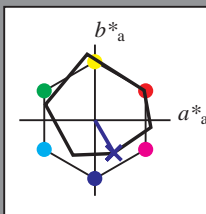
Elementar-Bunttontext:

$u^* = b25r$

Kontrastreduzierungsfaktor:

$c_R = 1.0$

Dreiecks-Helligkeit t^*



ORS19_96a; CIELAB-Daten					
	$L^*=L^*$	a^*	b^*	C^*_{ab}	h^*_{ab}
O _M	48.75	65.16	40.76	76.86	32
Y _M	90.92	-10.77	89.36	90.01	97
L _M	52.69	-65.39	22.15	69.05	161
C _M	59.61	-29.03	-44.68	53.3	237
V _M	28.39	24.0	-43.17	49.4	299
M _M	49.58	74.01	-8.21	74.47	354
N _M	18.89	0.5	0.77	0.92	57
W _M	96.9	-0.56	2.23	2.3	104
R _{CIE}	39.92	58.74	27.99	65.07	25
J _{CIE}	81.26	-2.88	71.56	71.62	92
G _{CIE}	52.23	-42.41	13.6	44.55	162
B _{CIE}	30.57	1.41	-46.46	46.49	272

Daten für Maximalfarbe (Ma):

$LAB^*LAB^*_{Ma}$: 29 25 -42

$LAB^*LCH^*_{Ma}$: 29 50 300

$lab^*rgb^*_{Ma}$: 0.5 0.0 1.0

$lab^*olv^*_{Ma}$: 0.03 0.0 1.0

Dreiecks-Helligkeit t^*

%Umfang

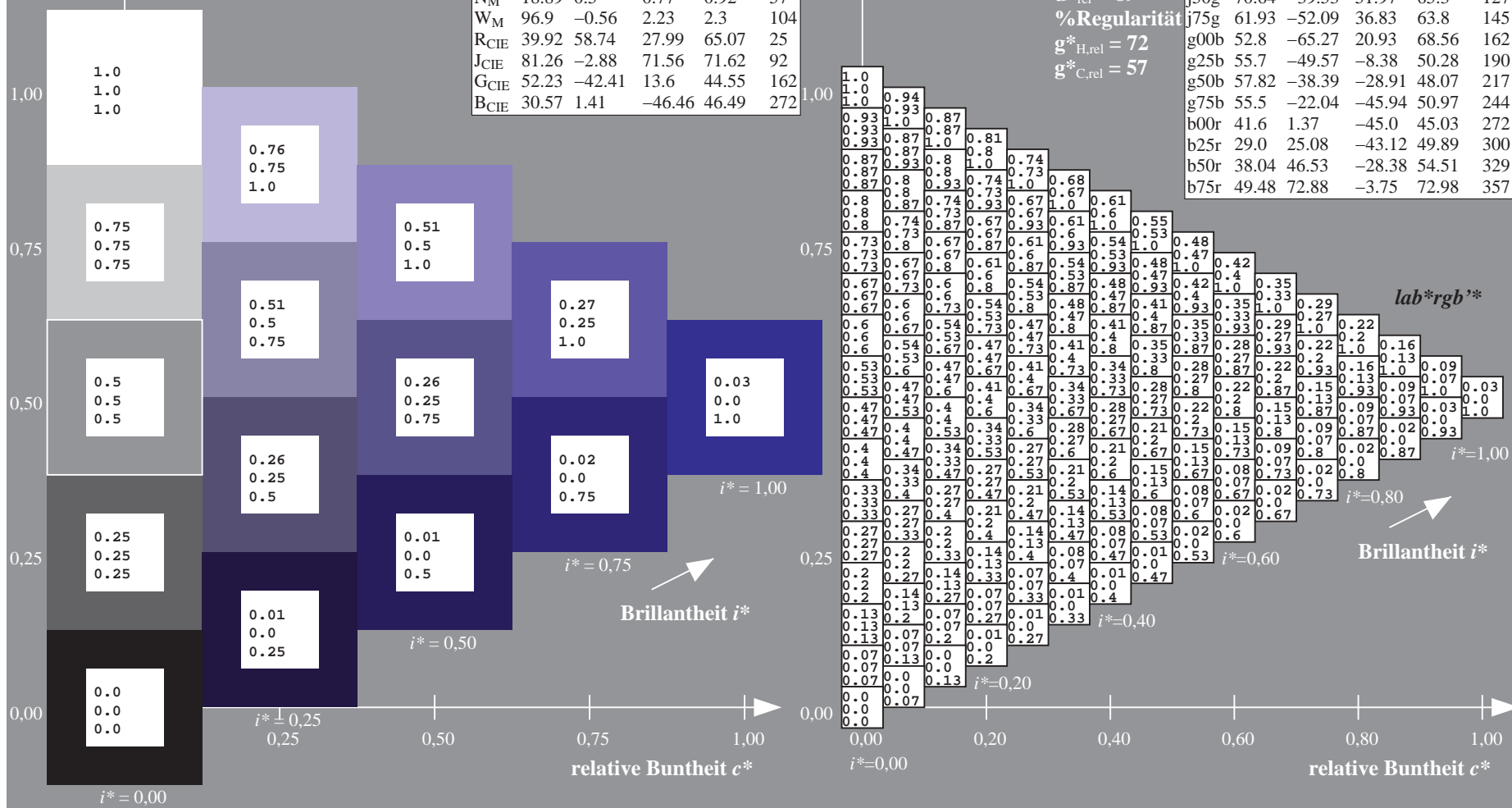
$u^*_{rel} = 89$

%Regularität

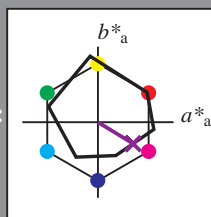
$g^*_{H,rel} = 72$

$g^*_{C,rel} = 57$

ORS19_96a; adaptierte CIELAB-Daten					
	$L^*=L^*_a$	a^*_a	b^*_a	$C^*_{ab,a}$	$h^*_{ab,a}$
r00j	48.88	66.47	31.67	73.63	25
r25j	55.85	52.39	47.48	70.7	42
r50j	65.45	35.22	58.37	68.17	59
r75j	75.19	17.82	69.41	71.66	76
j00g	87.03	-3.34	82.83	82.9	92
j25g	80.72	-25.0	69.5	73.86	110
j50g	70.64	-39.53	51.97	65.3	127
j75g	61.93	-52.09	36.83	63.8	145
g00b	52.8	-65.27	20.93	68.56	162
g25b	55.7	-49.57	-8.38	50.28	190
g50b	57.82	-38.39	-28.91	48.07	217
g75b	55.5	-22.04	-45.94	50.97	244
b00r	41.6	1.37	-45.0	45.03	272
b25r	29.0	25.08	-43.12	49.89	300
b50r	38.04	46.53	-28.38	54.51	329
b75r	49.48	72.88	-3.75	72.98	357



Ein und Ausgabe: Farbmetrisches Drucker-Reflektiv-System ORS19_96a für relativen CIELAB-Buntton $h^* = lab^*h^* = h_{ab}/360 = 329/360 = 0.913$ $u^* = b50r$
Daten für jede Farbe:
 lab^*ch^* und lab^*icu^*
Elementar-Bunttoncontext:
 $u^* = b50r$
Kontrastreduzierungsfaktor:
 $c_R = 1.0$
Dreiecks-Helligkeit i^*



ORS19_96a; CIELAB-Daten					
	$L^*=L^*$	a^*	b^*	C^*_{ab}	h^*_{ab}
O _M	48.75	65.16	40.76	76.86	32
Y _M	90.92	-10.77	89.36	90.01	97
L _M	52.69	-65.39	22.15	69.05	161
C _M	59.61	-29.03	-44.68	53.3	237
V _M	28.39	24.0	-43.17	49.4	299
M _M	49.58	74.01	-8.21	74.47	354
N _M	18.89	0.5	0.77	0.92	57
W _M	96.9	-0.56	2.23	2.3	104
R _{CIE}	39.92	58.74	27.99	65.07	25
J _{CIE}	81.26	-2.88	71.56	71.62	92
G _{CIE}	52.23	-42.41	13.6	44.55	162
B _{CIE}	30.57	1.41	-46.46	46.49	272

Daten für Maximalfarbe (Ma):

$LAB^*LAB^*_{Ma}$: 38 47 -27

$LAB^*LCH^*_{Ma}$: 38 55 329

$lab^*rgb^*_{Ma}$: 1.0 0.0 1.0

$lab^*olv^*_{Ma}$: 0.46 0.0 1.0

Dreiecks-Helligkeit i^*

%Umfang

$u^*_{rel} = 89$

%Regularität

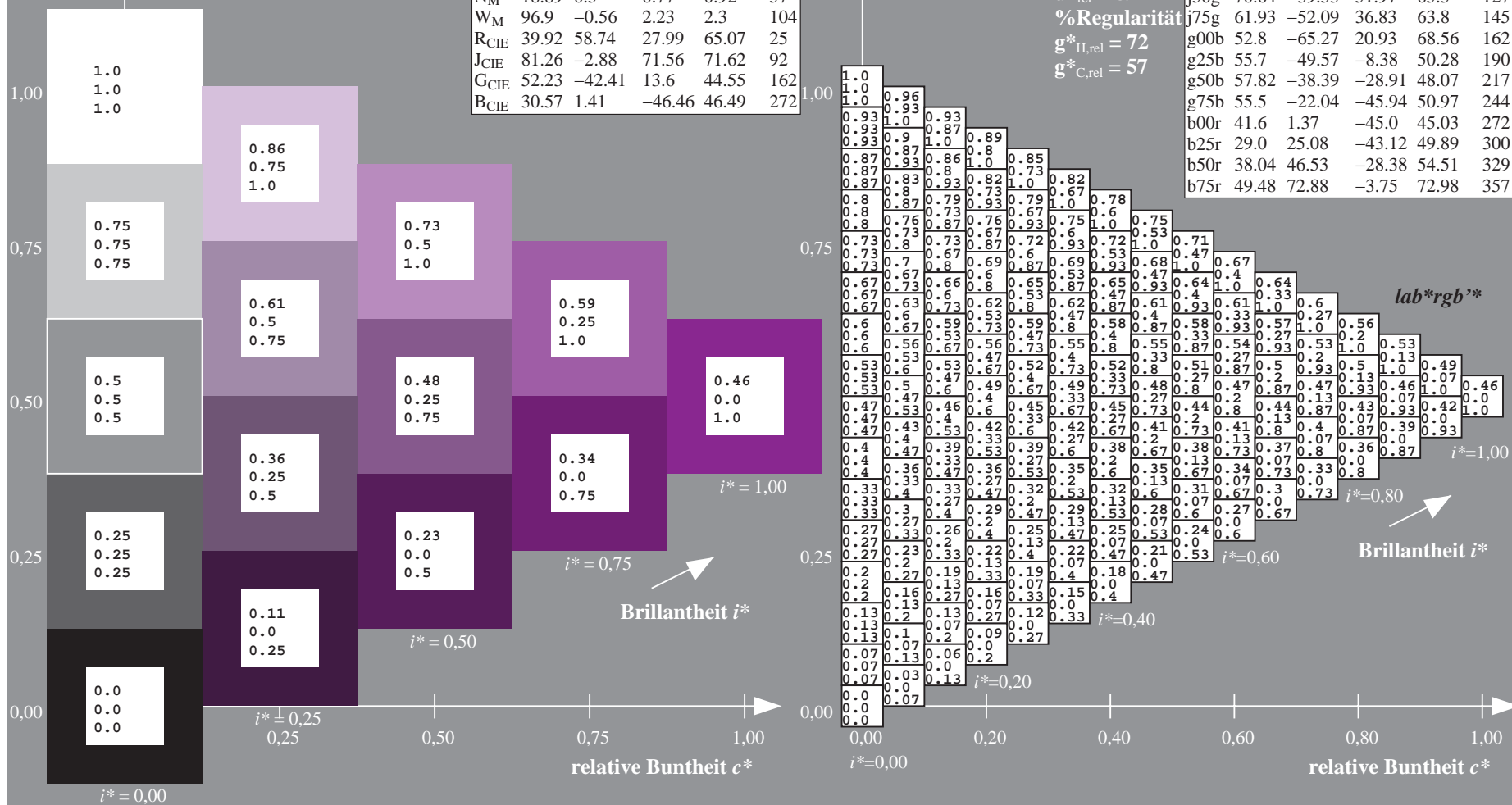
$g^*_{H,rel} = 72$

$g^*_{C,rel} = 57$

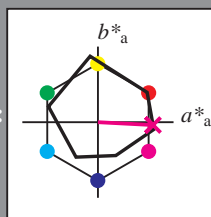
ORS19_96a; adaptierte CIELAB-Daten					
	$L^*=L^*_a$	a^*_a	b^*_a	$C^*_{ab,a}$	$h^*_{ab,a}$
r00j	48.88	66.47	31.67	73.63	25
r25j	55.85	52.39	47.48	70.7	42
r50j	65.45	35.22	58.37	68.17	59
r75j	75.19	17.82	69.41	71.66	76
j00g	87.03	-3.34	82.83	82.9	92
j25g	80.72	-25.0	69.5	73.86	110
j50g	70.64	-39.53	51.97	65.3	127
j75g	61.93	-52.09	36.83	63.8	145
g00b	52.8	-65.27	20.93	68.56	162
g25b	55.7	-49.57	-8.38	50.28	190
g50b	57.82	-38.39	-28.91	48.07	217
g75b	55.5	-22.04	-45.94	50.97	244
b00r	41.6	1.37	-45.0	45.03	272
b25r	29.0	25.08	-43.12	49.89	300
b50r	38.04	46.53	-28.38	54.51	329
b75r	49.48	72.88	-3.75	72.98	357

Siehe ähnliche Dateien: <http://www.ps.bam.de/Dg98/>; www.ps.bam.de/Dg98/10L/L98G00NP.PS/.PDF BAM-Material: Code=rh4ta
Technische Information: <http://www.ps.bam.de> Version 2.1, io=1,1, ColSpx=1

BAM-Registrierung: 20080701-Dg98/10L/L98G00NP.PS/.PDF BAM-Material: Code=rh4ta
Anwendung für Beurteilung und Messung von Drucker- oder Monitorsystemen



Ein und Ausgabe: Farbmetrisches Drucker-Reflektiv-System ORS19_96a für relativen CIELAB-Buntton $h^* = lab^*h^* = h_{ab}/360 = 357/360 = 0.992$ $u^* = b75r$
Daten für jede Farbe:
 lab^*ch^* und lab^*icu^*
Elementar-Bunttontext:
 $u^* = b75r$
Kontrastreduzierungsfaktor:
 $c_R = 1.0$
Dreiecks-Helligkeit t^*



ORS19_96a; CIELAB-Daten					
	$L^*=L^*$	a^*	b^*	C^*_{ab}	h^*_{ab}
O _M	48.75	65.16	40.76	76.86	32
Y _M	90.92	-10.77	89.36	90.01	97
L _M	52.69	-65.39	22.15	69.05	161
C _M	59.61	-29.03	-44.68	53.3	237
V _M	28.39	24.0	-43.17	49.4	299
M _M	49.58	74.01	-8.21	74.47	354
N _M	18.89	0.5	0.77	0.92	57
W _M	96.9	-0.56	2.23	2.3	104
R _{CIE}	39.92	58.74	27.99	65.07	25
J _{CIE}	81.26	-2.88	71.56	71.62	92
G _{CIE}	52.23	-42.41	13.6	44.55	162
B _{CIE}	30.57	1.41	-46.46	46.49	272

Daten für Maximalfarbe (Ma):

$LAB^*LAB^*_{Ma}$: 49 73 -3

$LAB^*LCH^*_{Ma}$: 49 73 357

$lab^*rgb^*_{Ma}$: 1.0 0.0 0.5

$lab^*olv^*_{Ma}$: 1.0 0.0 0.88

Dreiecks-Helligkeit t^*

%Umfang

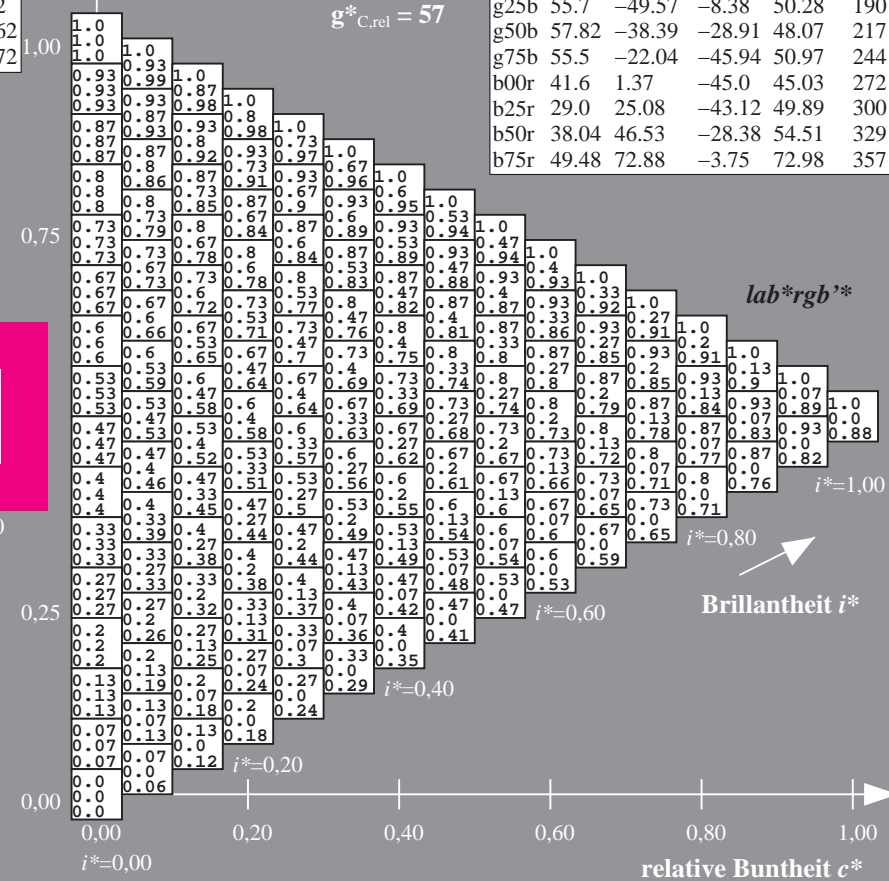
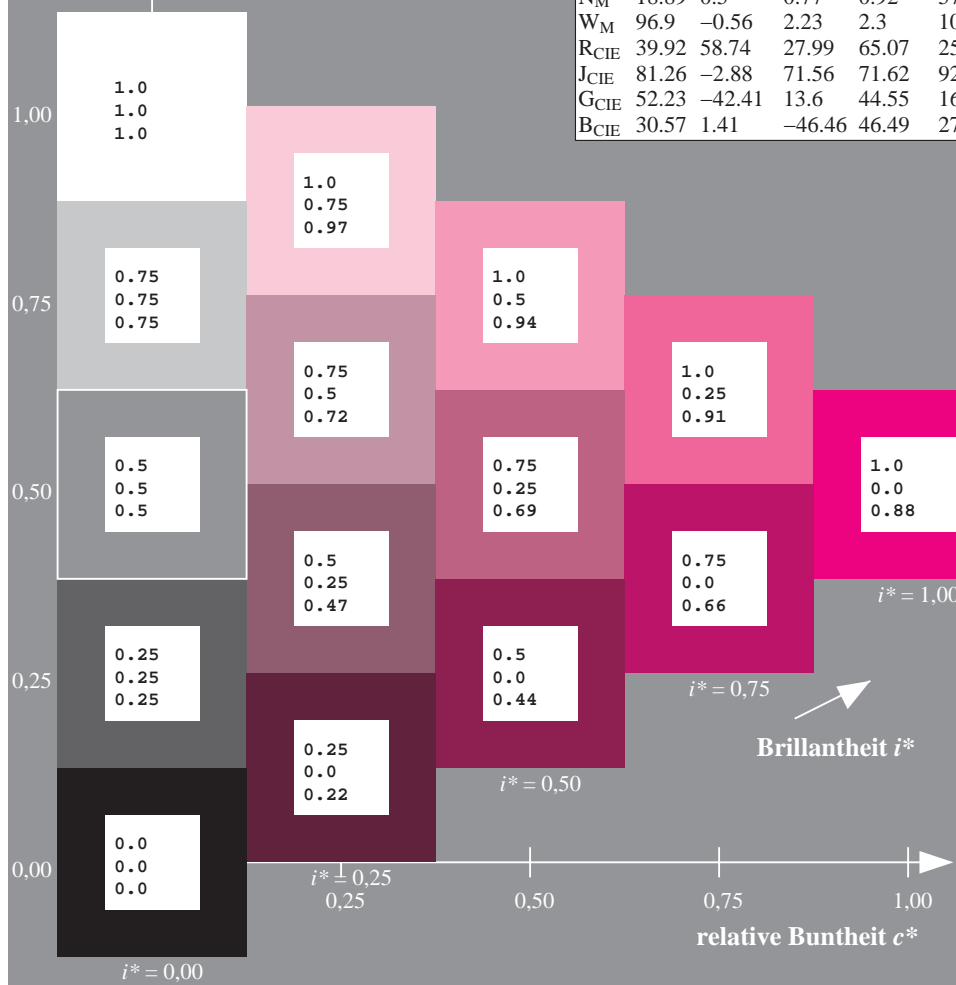
$u^*_{rel} = 89$

%Regularität

$g^*_{H,rel} = 72$

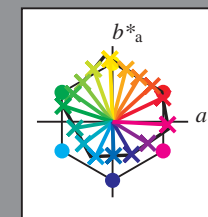
$g^*_{C,rel} = 57$

ORS19_96a; adaptierte CIELAB-Daten					
	$L^*=L^*_a$	a^*_a	b^*_a	$C^*_{ab,a}$	$h^*_{ab,a}$
r00j	48.88	66.47	31.67	73.63	25
r25j	55.85	52.39	47.48	70.7	42
r50j	65.45	35.22	58.37	68.17	59
r75j	75.19	17.82	69.41	71.66	76
j00g	87.03	-3.34	82.83	82.9	92
j25g	80.72	-25.0	69.5	73.86	110
j50g	70.64	-39.53	51.97	65.3	127
j75g	61.93	-52.09	36.83	63.8	145
g00b	52.8	-65.27	20.93	68.56	162
g25b	55.7	-49.57	-8.38	50.28	190
g50b	57.82	-38.39	-28.91	48.07	217
g75b	55.5	-22.04	-45.94	50.97	244
b00r	41.6	1.37	-45.0	45.03	272
b25r	29.0	25.08	-43.12	49.89	300
b50r	38.04	46.53	-28.38	54.51	329
b75r	49.48	72.88	-3.75	72.98	357



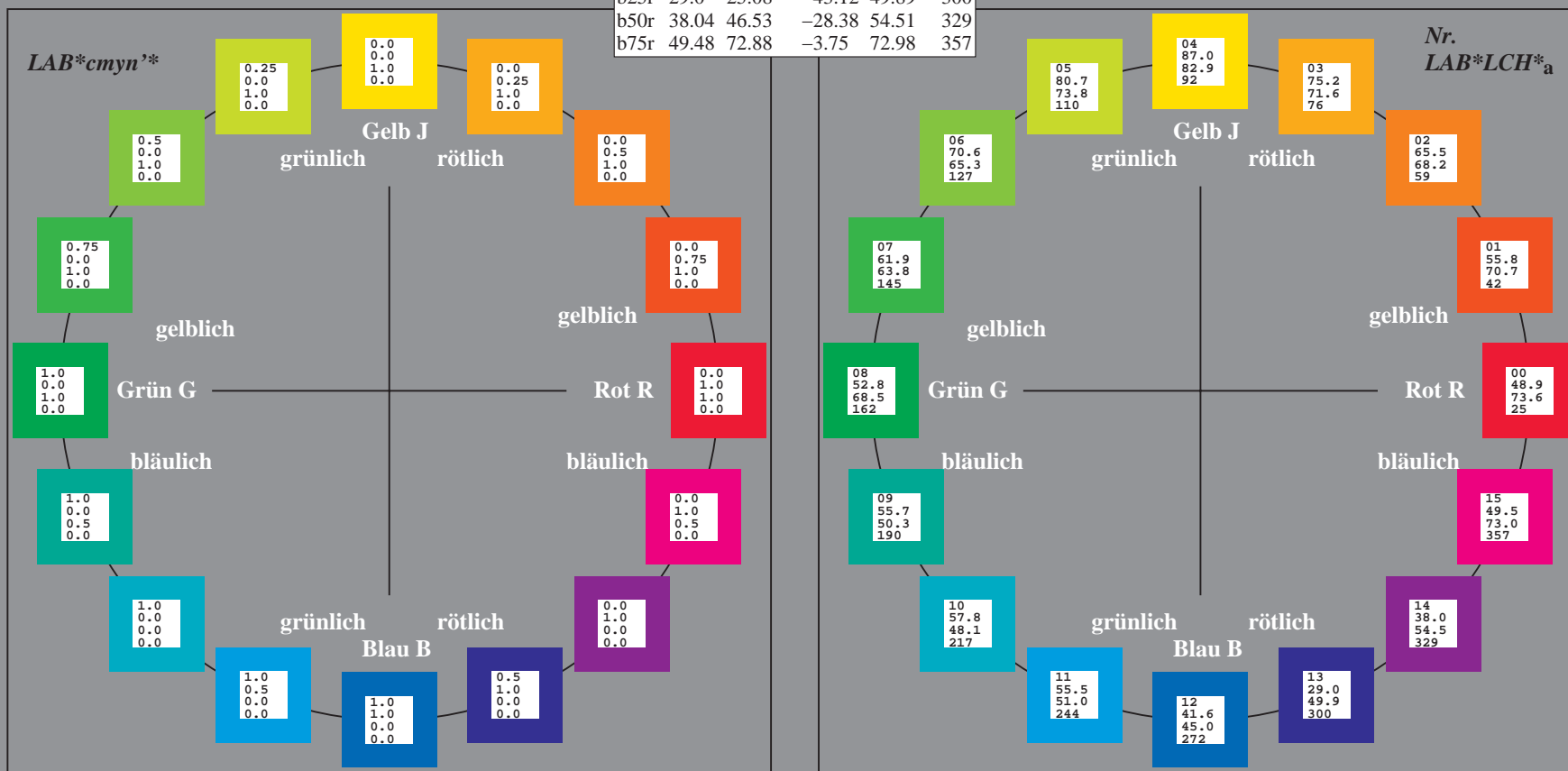
Ein und Ausgabe:
Farbmetrisches Drucker-Reflektiv-System ORS19_96a
Daten für jede Farbe:
*lab*_{tch}** und *lab*_{icu}**
Elementar-Bunttontext:
*u** = 16 Buntttöne *r00j*, *r25j*, ..., *b75r*
Kontrastreduzierungsfaktor:
c_R = 1.0

ORS19_96a; adaptierte CIELAB-Daten					
	<i>L*</i> = <i>L*</i> _a	<i>a*</i> _a	<i>b*</i> _a	<i>C*</i> _{ab,a}	<i>h*</i> _{ab,a}
r00j	48.88	66.47	31.67	73.63	25
r25j	55.85	52.39	47.48	70.7	42
r50j	65.45	35.22	58.37	68.17	59
r75j	75.19	17.82	69.41	71.66	76
j00g	87.03	-3.34	82.83	82.9	92
j25g	80.72	-25.0	69.5	73.86	110
j50g	70.64	-39.53	51.97	65.3	127
j75g	61.93	-52.09	36.83	63.8	145
g00b	52.8	-65.27	20.93	68.56	162
g25b	55.7	-49.57	-8.38	50.28	190
g50b	57.82	-38.39	-28.91	48.07	217
g75b	55.5	-22.04	-45.94	50.97	244
b00r	41.6	1.37	-45.0	45.03	272
b25r	29.0	25.08	-43.12	49.89	300
b50r	38.04	46.53	-28.38	54.51	329
b75r	49.48	72.88	-3.75	72.98	357



%Umfang
*u**_{rel} = 89
%Regularität
*g**_{H,rel} = 72
*g**_{C,rel} = 57

ORS19_96a; CIELAB-Daten					
	<i>L*</i> = <i>L*</i>	<i>a*</i>	<i>b*</i>	<i>C*</i> _{ab}	<i>h*</i> _{ab}
O _M	48.75	65.16	40.76	76.86	32
Y _M	90.92	-10.77	89.36	90.01	97
L _M	52.69	-65.39	22.15	69.05	161
C _M	59.61	-29.03	-44.68	53.3	237
V _M	28.39	24.0	-43.17	49.4	299
M _M	49.58	74.01	-8.21	74.47	354
N _M	18.89	0.5	0.77	0.92	57
W _M	96.9	-0.56	2.23	2.3	104
R _{CIE}	39.92	58.74	27.99	65.07	25
J _{CIE}	81.26	-2.88	71.56	71.62	92
G _{CIE}	52.23	-42.41	13.6	44.55	162
B _{CIE}	30.57	1.41	-46.46	46.49	272



Ein und Ausgabe: Farbmetrisches Drucker-Reflektiv-System ORS19_96a für relativen CIELAB-Buntton $h^* = lab^*h^* = h_{ab}/360 = 25/360 = 0.071$ $u^* = r00j$

Daten für jede Farbe:

lab^*ch^* und lab^*icu^*

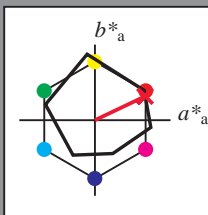
Elementar-Bunttontext:

$u^* = r00j$

Kontrastreduzierungsfaktor:

$c_R = 1.0$

Dreiecks-Helligkeit i^*



ORS19_96a; CIELAB-Daten					
	$L^*=L^*$	a^*	b^*	C^*_{ab}	h^*_{ab}
O _M	48.75	65.16	40.76	76.86	32
Y _M	90.92	-10.77	89.36	90.01	97
L _M	52.69	-65.39	22.15	69.05	161
C _M	59.61	-29.03	-44.68	53.3	237
V _M	28.39	24.0	-43.17	49.4	299
M _M	49.58	74.01	-8.21	74.47	354
N _M	18.89	0.5	0.77	0.92	57
W _M	96.9	-0.56	2.23	2.3	104
R _{CIE}	39.92	58.74	27.99	65.07	25
J _{CIE}	81.26	-2.88	71.56	71.62	92
G _{CIE}	52.23	-42.41	13.6	44.55	162
B _{CIE}	30.57	1.41	-46.46	46.49	272

Daten für Maximalfarbe (Ma):

$LAB^*LAB^*_{Ma}$: 49 66 32

$LAB^*LCH^*_{Ma}$: 49 74 25

$lab^*rgb^*_{Ma}$: 1.0 0.0 0.0

$lab^*olv^*_{Ma}$: 1.0 0.0 0.16

Dreiecks-Helligkeit i^*

%Umfang

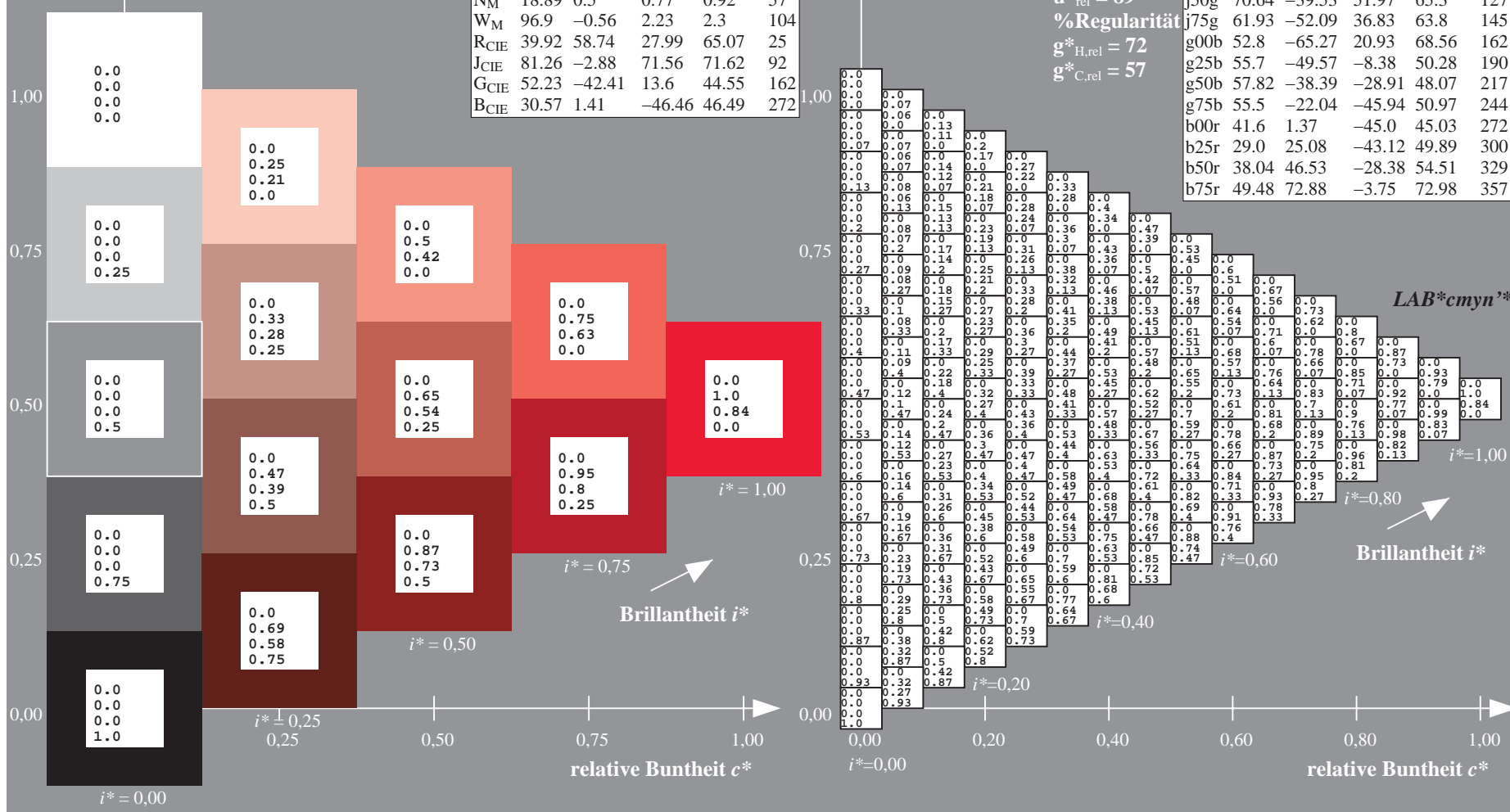
$u^*_{rel} = 89$

%Regularität

$g^*_{H,rel} = 72$

$g^*_{C,rel} = 57$

ORS19_96a; adaptierte CIELAB-Daten					
	$L^*=L^*_a$	a^*_a	b^*_a	$C^*_{ab,a}$	$h^*_{ab,a}$
r00j	48.88	66.47	31.67	73.63	25
r25j	55.85	52.39	47.48	70.7	42
r50j	65.45	35.22	58.37	68.17	59
r75j	75.19	17.82	69.41	71.66	76
j00g	87.03	-3.34	82.83	82.9	92
j25g	80.72	-25.0	69.5	73.86	110
j50g	70.64	-39.53	51.97	65.3	127
j75g	61.93	-52.09	36.83	63.8	145
g00b	52.8	-65.27	20.93	68.56	162
g25b	55.7	-49.57	-8.38	50.28	190
g50b	57.82	-38.39	-28.91	48.07	217
g75b	55.5	-22.04	-45.94	50.97	244
b00r	41.6	1.37	-45.0	45.03	272
b25r	29.0	25.08	-43.12	49.89	300
b50r	38.04	46.53	-28.38	54.51	329
b75r	49.48	72.88	-3.75	72.98	357



Ein und Ausgabe: Farbmetrisches Drucker-Reflektiv-System ORS19_96a für relativen CIELAB-Buntton $h^* = lab^*h^* = h_{ab}/360 = 42/360 = 0.117$ $u^* = r25j$

Daten für jede Farbe:

lab^*ch^* und lab^*icu^*

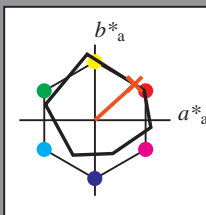
Elementar-Bunttontext:

$u^* = r25j$

Kontrastreduzierungsfaktor:

$c_R = 1.0$

Dreiecks-Helligkeit t^*



ORS19_96a; CIELAB-Daten					
	$L^*=L^*$	a^*	b^*	C^*_{ab}	h^*_{ab}
O _M	48.75	65.16	40.76	76.86	32
Y _M	90.92	-10.77	89.36	90.01	97
L _M	52.69	-65.39	22.15	69.05	161
C _M	59.61	-29.03	-44.68	53.3	237
V _M	28.39	24.0	-43.17	49.4	299
M _M	49.58	74.01	-8.21	74.47	354
N _M	18.89	0.5	0.77	0.92	57
W _M	96.9	-0.56	2.23	2.3	104
R _{CIE}	39.92	58.74	27.99	65.07	25
J _{CIE}	81.26	-2.88	71.56	71.62	92
G _{CIE}	52.23	-42.41	13.6	44.55	162
B _{CIE}	30.57	1.41	-46.46	46.49	272

Daten für Maximalfarbe (Ma):

$LAB^*LAB^*_{Ma}$: 56 52 47

$LAB^*LCH^*_{Ma}$: 56 71 42

$lab^*rgb^*_{Ma}$: 1.0 0.25 0.0

$lab^*olv^*_{Ma}$: 1.0 0.17 0.0

Dreiecks-Helligkeit t^*

%Umfang

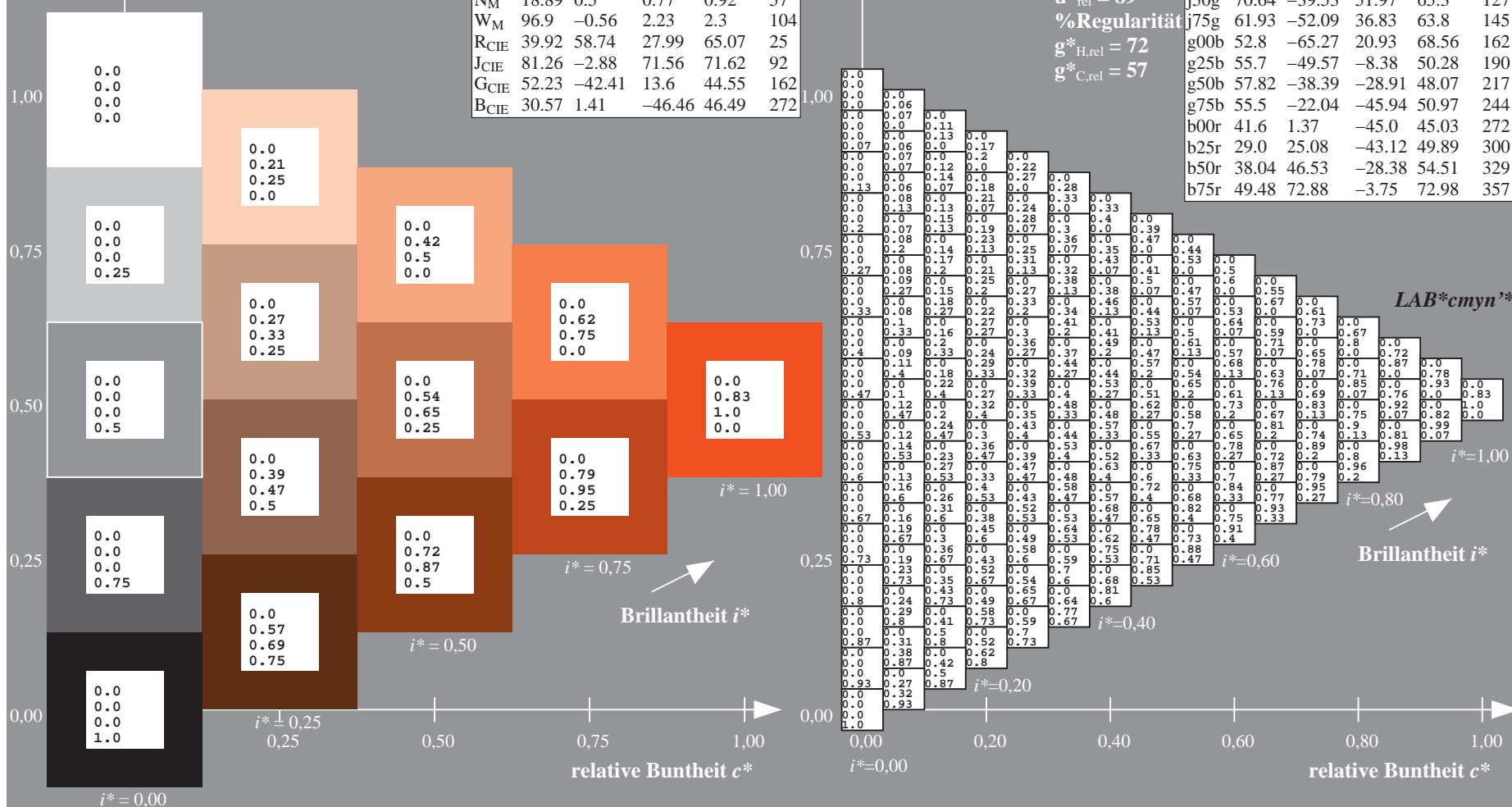
$u^*_{rel} = 89$

%Regularität

$g^*_{H,rel} = 72$

$g^*_{C,rel} = 57$

ORS19_96a; adaptierte CIELAB-Daten					
	$L^*=L^*_a$	a^*_a	b^*_a	$C^*_{ab,a}$	$h^*_{ab,a}$
r00j	48.88	66.47	31.67	73.63	25
r25j	55.85	52.39	47.48	70.7	42
r50j	65.45	35.22	58.37	68.17	59
r75j	75.19	17.82	69.41	71.66	76
j00g	87.03	-3.34	82.83	82.9	92
j25g	80.72	-25.0	69.5	73.86	110
j50g	70.64	-39.53	51.97	65.3	127
j75g	61.93	-52.09	36.83	63.8	145
g00b	52.8	-65.27	20.93	68.56	162
g25b	55.7	-49.57	-8.38	50.28	190
g50b	57.82	-38.39	-28.91	48.07	217
g75b	55.5	-22.04	-45.94	50.97	244
b00r	41.6	1.37	-45.0	45.03	272
b25r	29.0	25.08	-43.12	49.89	300
b50r	38.04	46.53	-28.38	54.51	329
b75r	49.48	72.88	-3.75	72.98	357



Ein und Ausgabe: Farbmetrisches Drucker-Reflektiv-System ORS19_96a für relativen CIELAB-Buntton $h^* = lab^*h^* = h_{ab}/360 = 59/360 = 0.164$

Daten für jede Farbe:

lab^*ch^* und lab^*icu^*

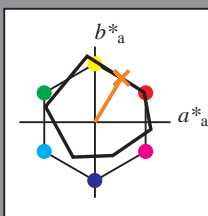
Elementar-Bunttontext:

$u^* = r50j$

Kontrastreduzierungsfaktor:

$c_R = 1.0$

Dreiecks-Helligkeit t^*



ORS19_96a; CIELAB-Daten					
	$L^*=L^*$	a^*	b^*	C^*_{ab}	h^*_{ab}
O _M	48.75	65.16	40.76	76.86	32
Y _M	90.92	-10.77	89.36	90.01	97
L _M	52.69	-65.39	22.15	69.05	161
C _M	59.61	-29.03	-44.68	53.3	237
V _M	28.39	24.0	-43.17	49.4	299
M _M	49.58	74.01	-8.21	74.47	354
N _M	18.89	0.5	0.77	0.92	57
W _M	96.9	-0.56	2.23	2.3	104
R _{CIE}	39.92	58.74	27.99	65.07	25
J _{CIE}	81.26	-2.88	71.56	71.62	92
G _{CIE}	52.23	-42.41	13.6	44.55	162
B _{CIE}	30.57	1.41	-46.46	46.49	272

Daten für Maximalfarbe (Ma):

$LAB^*LAB^*_{Ma}$: 65 35 58

$LAB^*LCH^*_{Ma}$: 65 68 59

$lab^*rgb^*_{Ma}$: 1.0 0.5 0.0

$lab^*olv^*_{Ma}$: 1.0 0.4 0.0

Dreiecks-Helligkeit t^*

%Umfang

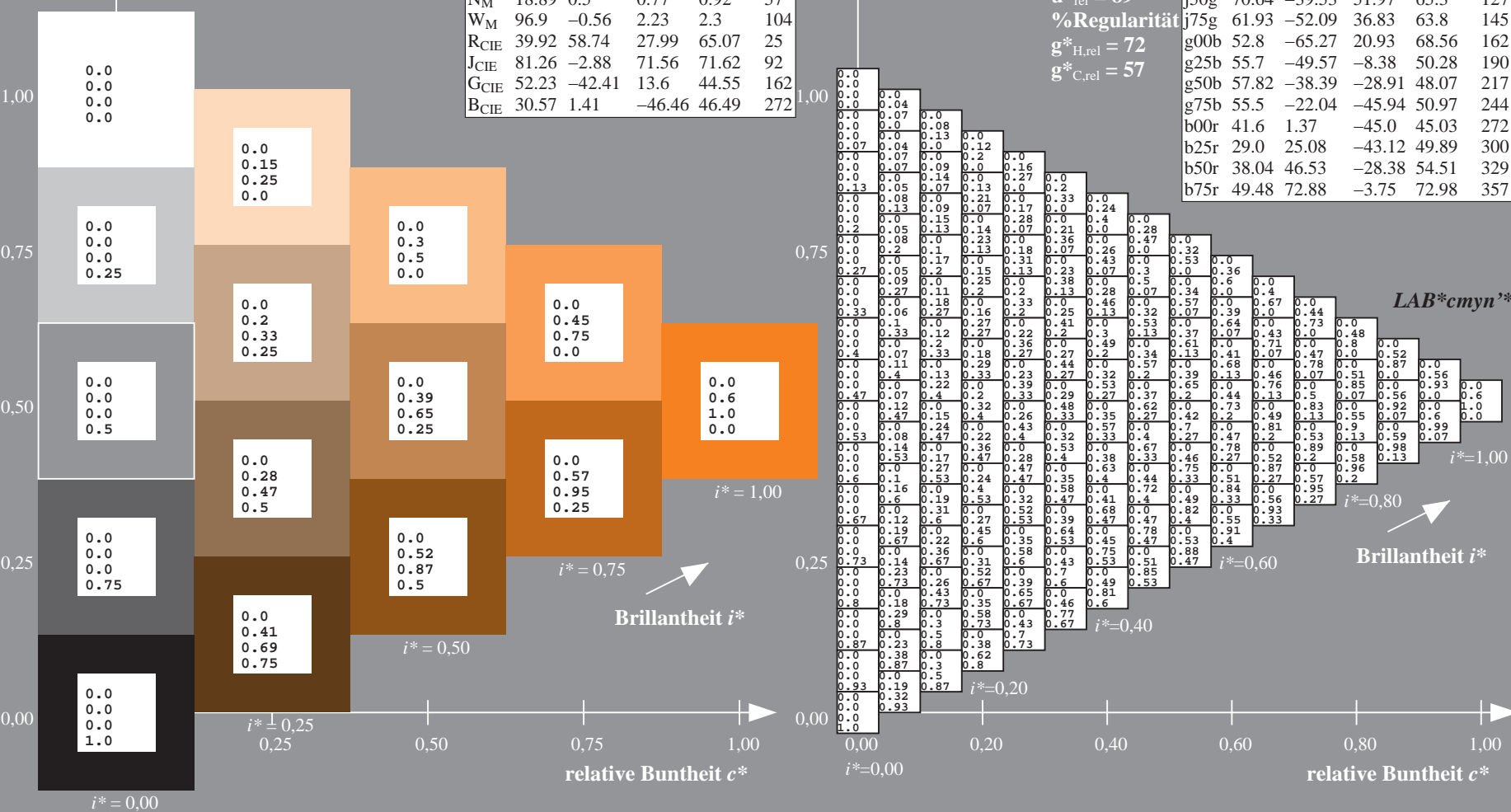
$u^*_{rel} = 89$

%Regularität

$g^*_{H,rel} = 72$

$g^*_{C,rel} = 57$

ORS19_96a; adaptierte CIELAB-Daten					
	$L^*=L^*_a$	a^*_a	b^*_a	$C^*_{ab,a}$	$h^*_{ab,a}$
r00j	48.88	66.47	31.67	73.63	25
r25j	55.85	52.39	47.48	70.7	42
r50j	65.45	35.22	58.37	68.17	59
r75j	75.19	17.82	69.41	71.66	76
j00g	87.03	-3.34	82.83	82.9	92
j25g	80.72	-25.0	69.5	73.86	110
j50g	70.64	-39.53	51.97	65.3	127
j75g	61.93	-52.09	36.83	63.8	145
g00b	52.8	-65.27	20.93	68.56	162
g25b	55.7	-49.57	-8.38	50.28	190
g50b	57.82	-38.39	-28.91	48.07	217
g75b	55.5	-22.04	-45.94	50.97	244
b00r	41.6	1.37	-45.0	45.03	272
b25r	29.0	25.08	-43.12	49.89	300
b50r	38.04	46.53	-28.38	54.51	329
b75r	49.48	72.88	-3.75	72.98	357



Ein und Ausgabe: Farbmetrisches Drucker-Reflektiv-System ORS19_96a für relativen CIELAB-Buntton $h^* = lab^*h^* = h_{ab}/360 = 76/360 = 0.21$

Daten für jede Farbe:

lab^*ch^* und lab^*icu^*

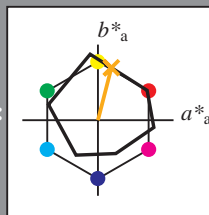
Elementar-Bunttontext:

$u^* = r75j$

Kontrastreduzierungsfaktor:

$c_R = 1.0$

Dreiecks-Helligkeit t^*



ORS19_96a; CIELAB-Daten					
	$L^*=L^*$	a^*	b^*	C^*_{ab}	h^*_{ab}
O _M	48.75	65.16	40.76	76.86	32
Y _M	90.92	-10.77	89.36	90.01	97
L _M	52.69	-65.39	22.15	69.05	161
C _M	59.61	-29.03	-44.68	53.3	237
V _M	28.39	24.0	-43.17	49.4	299
M _M	49.58	74.01	-8.21	74.47	354
N _M	18.89	0.5	0.77	0.92	57
W _M	96.9	-0.56	2.23	2.3	104
R _{CIE}	39.92	58.74	27.99	65.07	25
J _{CIE}	81.26	-2.88	71.56	71.62	92
G _{CIE}	52.23	-42.41	13.6	44.55	162
B _{CIE}	30.57	1.41	-46.46	46.49	272

Daten für Maximalfarbe (Ma):

$LAB^*LAB^*_{Ma}$: 75 18 69

$LAB^*LCH^*_{Ma}$: 75 72 76

$lab^*rgb^*_{Ma}$: 1.0 0.75 0.0

$lab^*olv^*_{Ma}$: 1.0 0.63 0.0

Dreiecks-Helligkeit t^*

%Umfang

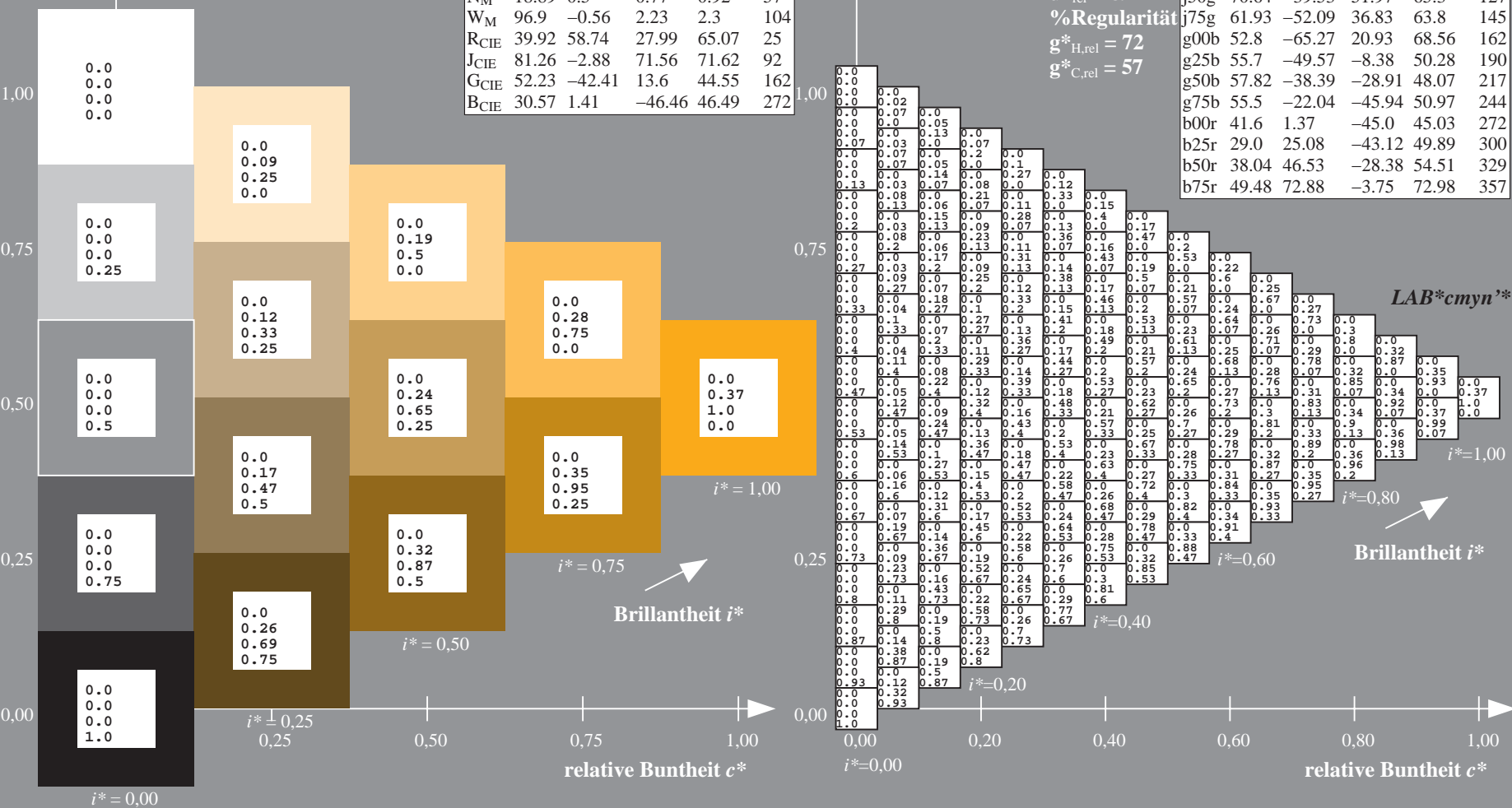
$u^*_{rel} = 89$

%Regularität

$g^*_{H,rel} = 72$

$g^*_{C,rel} = 57$

ORS19_96a; adaptierte CIELAB-Daten					
	$L^*=L^*_a$	a^*_a	b^*_a	$C^*_{ab,a}$	$h^*_{ab,a}$
r00j	48.88	66.47	31.67	73.63	25
r25j	55.85	52.39	47.48	70.7	42
r50j	65.45	35.22	58.37	68.17	59
r75j	75.19	17.82	69.41	71.66	76
j00g	87.03	-3.34	82.83	82.9	92
j25g	80.72	-25.0	69.5	73.86	110
j50g	70.64	-39.53	51.97	65.3	127
j75g	61.93	-52.09	36.83	63.8	145
g00b	52.8	-65.27	20.93	68.56	162
g25b	55.7	-49.57	-8.38	50.28	190
g50b	57.82	-38.39	-28.91	48.07	217
g75b	55.5	-22.04	-45.94	50.97	244
b00r	41.6	1.37	-45.0	45.03	272
b25r	29.0	25.08	-43.12	49.89	300
b50r	38.04	46.53	-28.38	54.51	329
b75r	49.48	72.88	-3.75	72.98	357



Ein und Ausgabe: Farbmetrisches Drucker-Reflektiv-System ORS19_96a für relativen CIELAB-Buntton $h^* = lab^*h^* = h_{ab}/360 = 92/360 = 0.256$ $u^* = j00g$

Daten für jede Farbe:

lab^*tch^* und lab^*icu^*

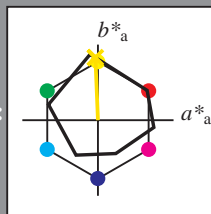
Elementar-Bunttontext:

$u^* = j00g$

Kontrastreduzierungsfaktor:

$c_R = 1.0$

Dreiecks-Helligkeit t^*



ORS19_96a; CIELAB-Daten					
	$L^*=L^*$	a^*	b^*	C^*_{ab}	h^*_{ab}
O _M	48.75	65.16	40.76	76.86	32
Y _M	90.92	-10.77	89.36	90.01	97
L _M	52.69	-65.39	22.15	69.05	161
C _M	59.61	-29.03	-44.68	53.3	237
V _M	28.39	24.0	-43.17	49.4	299
M _M	49.58	74.01	-8.21	74.47	354
N _M	18.89	0.5	0.77	0.92	57
W _M	96.9	-0.56	2.23	2.3	104
R _{CIE}	39.92	58.74	27.99	65.07	25
J _{CIE}	81.26	-2.88	71.56	71.62	92
G _{CIE}	52.23	-42.41	13.6	44.55	162
B _{CIE}	30.57	1.41	-46.46	46.49	272

Daten für Maximalfarbe (Ma):

$LAB^*LAB^*_{Ma}$: 87 -2 83

$LAB^*LCH^*_{Ma}$: 87 83 92

$lab^*rgb^*_{Ma}$: 1.0 1.0 0.0

$lab^*olv^*_{Ma}$: 1.0 0.91 0.0

Dreiecks-Helligkeit t^*

%Umfang

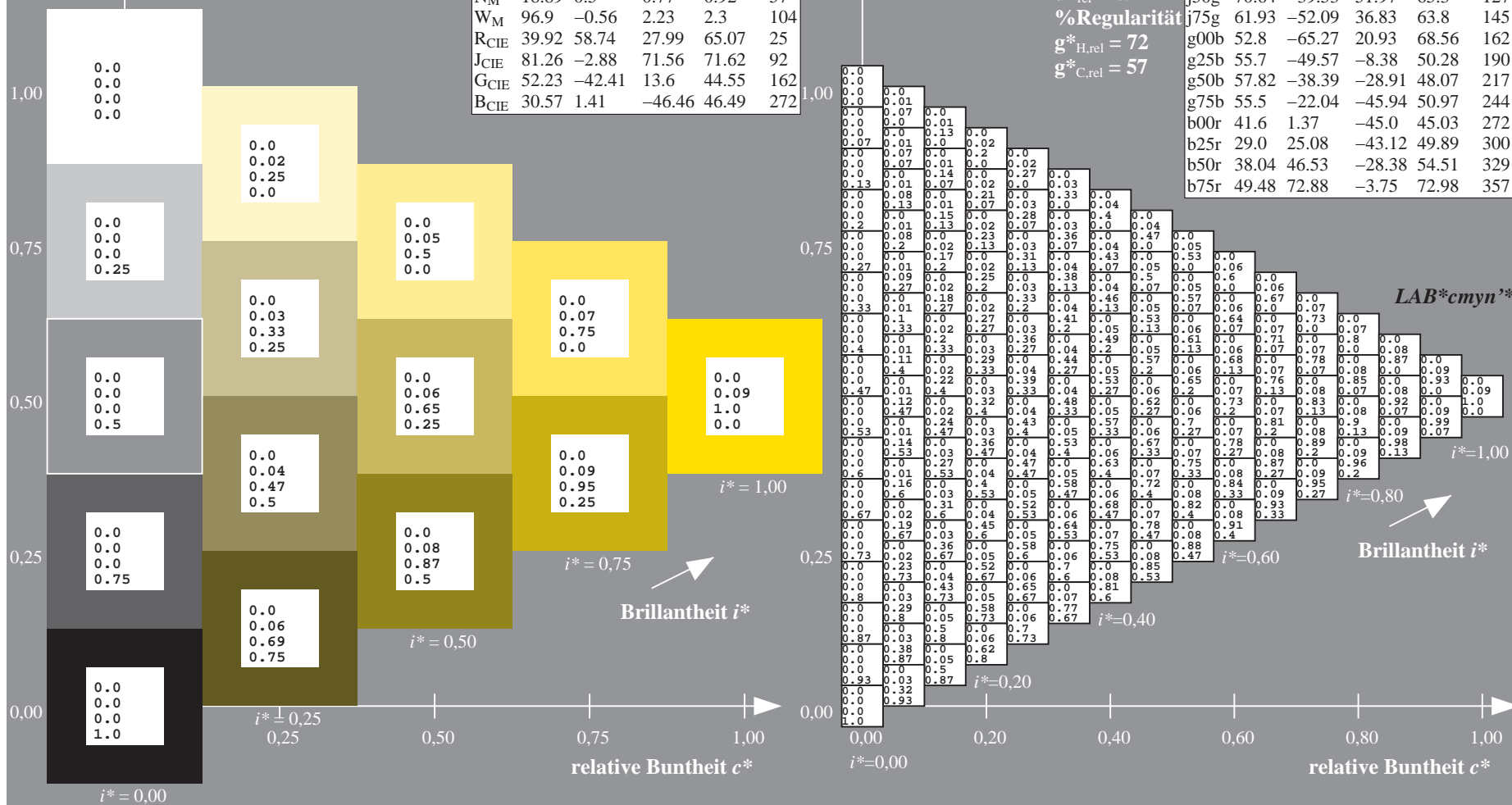
$u^*_{rel} = 89$

%Regularität

$g^*_{H,rel} = 72$

$g^*_{C,rel} = 57$

ORS19_96a; adaptierte CIELAB-Daten					
	$L^*=L^*_a$	a^*_a	b^*_a	$C^*_{ab,a}$	$h^*_{ab,a}$
r00j	48.88	66.47	31.67	73.63	25
r25j	55.85	52.39	47.48	70.7	42
r50j	65.45	35.22	58.37	68.17	59
r75j	75.19	17.82	69.41	71.66	76
j00g	87.03	-3.34	82.83	82.9	92
j25g	80.72	-25.0	69.5	73.86	110
j50g	70.64	-39.53	51.97	65.3	127
j75g	61.93	-52.09	36.83	63.8	145
g00b	52.8	-65.27	20.93	68.56	162
g25b	55.7	-49.57	-8.38	50.28	190
g50b	57.82	-38.39	-28.91	48.07	217
g75b	55.5	-22.04	-45.94	50.97	244
b00r	41.6	1.37	-45.0	45.03	272
b25r	29.0	25.08	-43.12	49.89	300
b50r	38.04	46.53	-28.38	54.51	329
b75r	49.48	72.88	-3.75	72.98	357



Ein und Ausgabe: Farbmetrisches Drucker-Reflektiv-System ORS19_96a für relativen CIELAB-Buntton $h^* = lab^*h^* = h_{ab}/360 = 110/360 = 0.305$ $u^* = j25g$

Daten für jede Farbe:

lab^*ch^* und lab^*icu^*

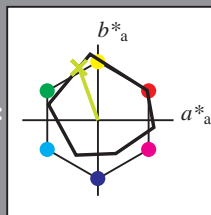
Elementar-Bunttontext:

$u^* = j25g$

Kontrastreduzierungsfaktor:

$c_R = 1.0$

Dreiecks-Helligkeit t^*



ORS19_96a; CIELAB-Daten					
	$L^*=L^*$	a^*	b^*	C^*_{ab}	h^*_{ab}
O _M	48.75	65.16	40.76	76.86	32
Y _M	90.92	-10.77	89.36	90.01	97
L _M	52.69	-65.39	22.15	69.05	161
C _M	59.61	-29.03	-44.68	53.3	237
V _M	28.39	24.0	-43.17	49.4	299
M _M	49.58	74.01	-8.21	74.47	354
N _M	18.89	0.5	0.77	0.92	57
W _M	96.9	-0.56	2.23	2.3	104
R _{CIE}	39.92	58.74	27.99	65.07	25
J _{CIE}	81.26	-2.88	71.56	71.62	92
G _{CIE}	52.23	-42.41	13.6	44.55	162
B _{CIE}	30.57	1.41	-46.46	46.49	272

Daten für Maximalfarbe (Ma):

$LAB^*LAB^*_{Ma}$: 81 -24 69

$LAB^*LCH^*_{Ma}$: 81 74 110

$lab^*rgb^*_{Ma}$: 0.75 1.0 0.0

$lab^*olv^*_{Ma}$: 0.73 1.0 0.0

Dreiecks-Helligkeit t^*

%Umfang

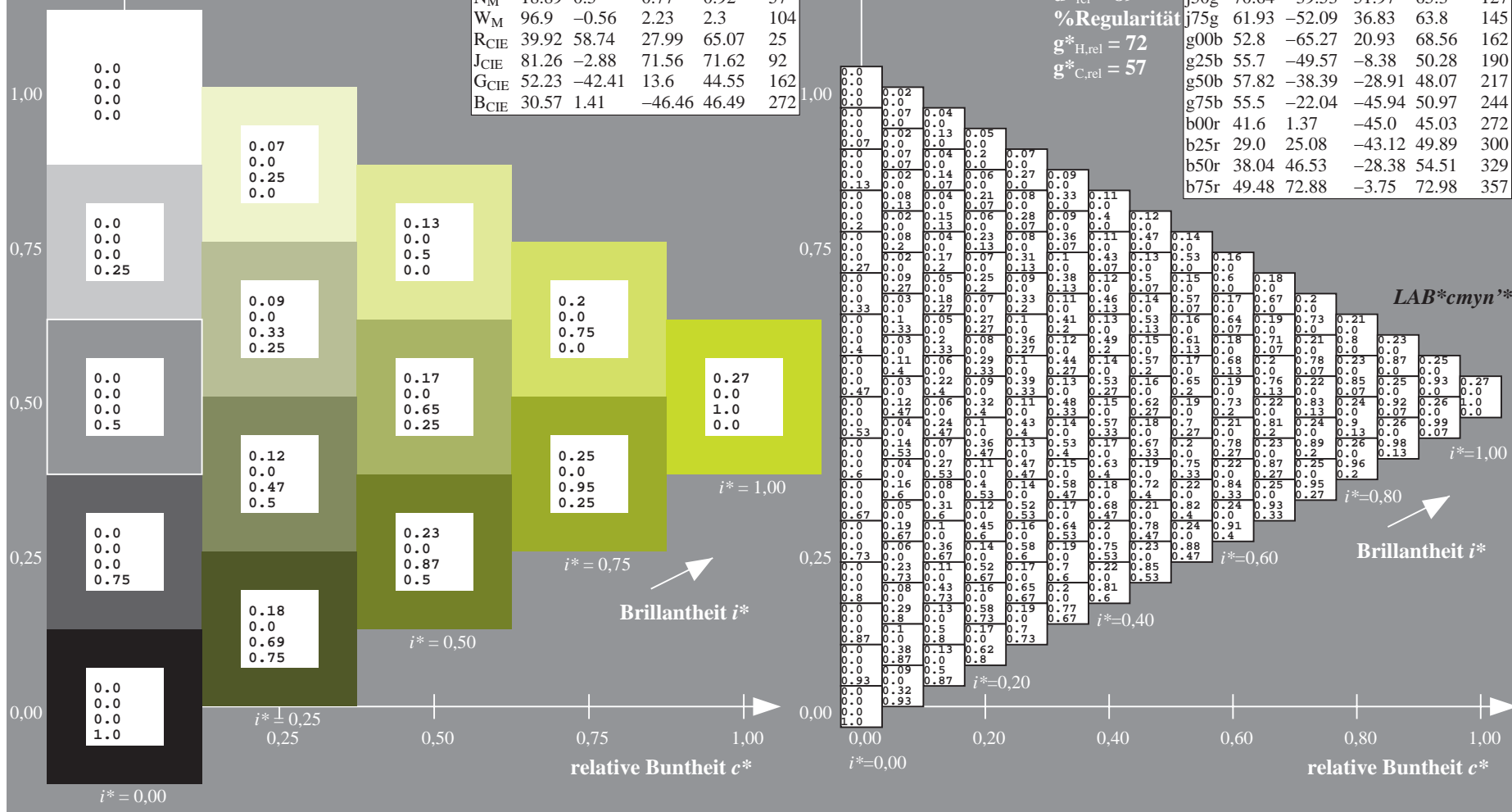
$u^*_{rel} = 89$

%Regularität

$g^*_{H,rel} = 72$

$g^*_{C,rel} = 57$

ORS19_96a; adaptierte CIELAB-Daten					
	$L^*=L^*_a$	a^*_a	b^*_a	$C^*_{ab,a}$	$h^*_{ab,a}$
r00j	48.88	66.47	31.67	73.63	25
r25j	55.85	52.39	47.48	70.7	42
r50j	65.45	35.22	58.37	68.17	59
r75j	75.19	17.82	69.41	71.66	76
j00g	87.03	-3.34	82.83	82.9	92
j25g	80.72	-25.0	69.5	73.86	110
j50g	70.64	-39.53	51.97	65.3	127
j75g	61.93	-52.09	36.83	63.8	145
g00b	52.8	-65.27	20.93	68.56	162
g25b	55.7	-49.57	-8.38	50.28	190
g50b	57.82	-38.39	-28.91	48.07	217
g75b	55.5	-22.04	-45.94	50.97	244
b00r	41.6	1.37	-45.0	45.03	272
b25r	29.0	25.08	-43.12	49.89	300
b50r	38.04	46.53	-28.38	54.51	329
b75r	49.48	72.88	-3.75	72.98	357



Ein und Ausgabe: Farbmetrisches Drucker-Reflektiv-System ORS19_96a für relativen CIELAB-Buntton $h^* = lab^*h^* = h_{ab}/360 = 127/360 = 0.354$ $u^* = j50g$

Daten für jede Farbe:

lab^*ch^* und lab^*icu^*

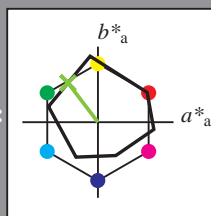
Elementar-Bunttontext:

$u^* = j50g$

Kontrastreduzierungsfaktor:

$c_R = 1.0$

Dreiecks-Helligkeit t^*



ORS19_96a; CIELAB-Daten					
	$L^*=L^*$	a^*	b^*	C^*_{ab}	h^*_{ab}
O _M	48.75	65.16	40.76	76.86	32
Y _M	90.92	-10.77	89.36	90.01	97
L _M	52.69	-65.39	22.15	69.05	161
C _M	59.61	-29.03	-44.68	53.3	237
V _M	28.39	24.0	-43.17	49.4	299
M _M	49.58	74.01	-8.21	74.47	354
N _M	18.89	0.5	0.77	0.92	57
W _M	96.9	-0.56	2.23	2.3	104
R _{CIE}	39.92	58.74	27.99	65.07	25
J _{CIE}	81.26	-2.88	71.56	71.62	92
G _{CIE}	52.23	-42.41	13.6	44.55	162
B _{CIE}	30.57	1.41	-46.46	46.49	272

Daten für Maximalfarbe (Ma):

$LAB^*LAB^*_{Ma}$: 71 -39 52

$LAB^*LCH^*_{Ma}$: 71 65 127

$lab^*rgb^*_{Ma}$: 0.5 1.0 0.0

$lab^*olv^*_{Ma}$: 0.47 1.0 0.0

Dreiecks-Helligkeit t^*

%Umfang

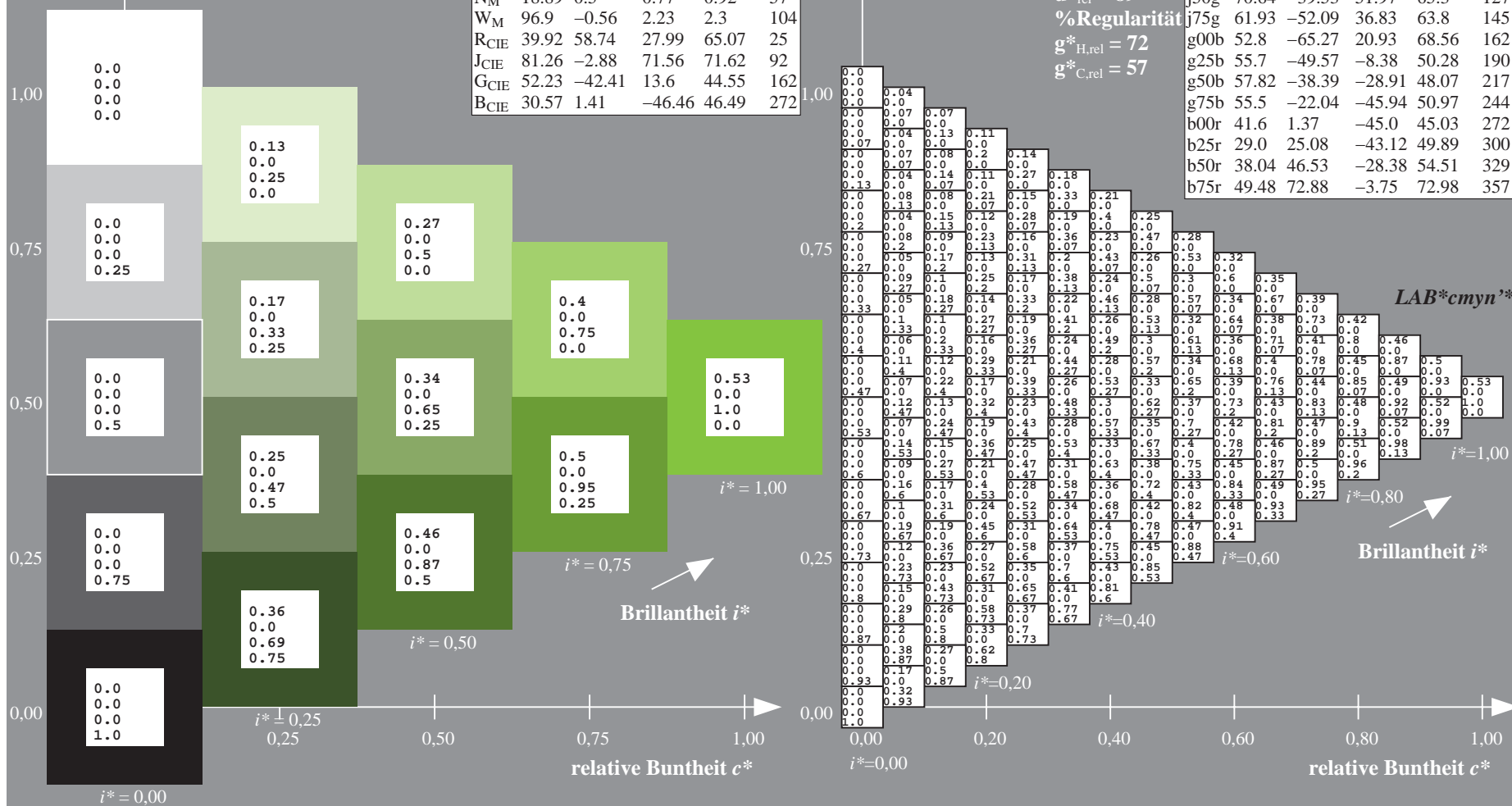
$u^*_{rel} = 89$

%Regularität

$g^*_{H,rel} = 72$

$g^*_{C,rel} = 57$

ORS19_96a; adaptierte CIELAB-Daten					
	$L^*=L^*_a$	a^*_a	b^*_a	$C^*_{ab,a}$	$h^*_{ab,a}$
r00j	48.88	66.47	31.67	73.63	25
r25j	55.85	52.39	47.48	70.7	42
r50j	65.45	35.22	58.37	68.17	59
r75j	75.19	17.82	69.41	71.66	76
j00g	87.03	-3.34	82.83	82.9	92
j25g	80.72	-25.0	69.5	73.86	110
j50g	70.64	-39.53	51.97	65.3	127
j75g	61.93	-52.09	36.83	63.8	145
g00b	52.8	-65.27	20.93	68.56	162
g25b	55.7	-49.57	-8.38	50.28	190
g50b	57.82	-38.39	-28.91	48.07	217
g75b	55.5	-22.04	-45.94	50.97	244
b00r	41.6	1.37	-45.0	45.03	272
b25r	29.0	25.08	-43.12	49.89	300
b50r	38.04	46.53	-28.38	54.51	329
b75r	49.48	72.88	-3.75	72.98	357



Ein und Ausgabe: Farbmetrisches Drucker-Reflektiv-System ORS19_96a für relativen CIELAB-Buntton $h^* = lab^*h^* = h_{ab}/360 = 145/360 = 0.402$ $u^* = j75g$

Daten für jede Farbe:

lab^*ch^* und lab^*icu^*

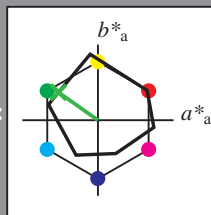
Elementar-Bunttontext:

$u^* = j75g$

Kontrastreduzierungsfaktor:

$c_R = 1.0$

Dreiecks-Helligkeit t^*



ORS19_96a; CIELAB-Daten					
	$L^*=L^*$	a^*	b^*	C^*_{ab}	h^*_{ab}
O _M	48.75	65.16	40.76	76.86	32
Y _M	90.92	-10.77	89.36	90.01	97
L _M	52.69	-65.39	22.15	69.05	161
C _M	59.61	-29.03	-44.68	53.3	237
V _M	28.39	24.0	-43.17	49.4	299
M _M	49.58	74.01	-8.21	74.47	354
N _M	18.89	0.5	0.77	0.92	57
W _M	96.9	-0.56	2.23	2.3	104
R _{CIE}	39.92	58.74	27.99	65.07	25
J _{CIE}	81.26	-2.88	71.56	71.62	92
G _{CIE}	52.23	-42.41	13.6	44.55	162
B _{CIE}	30.57	1.41	-46.46	46.49	272

Daten für Maximalfarbe (Ma):

LAB^*LAB^*Ma : 62 -51 37

LAB^*LCH^*Ma : 62 64 145

lab^*rgb^*Ma : 0.25 1.0 0.0

lab^*olv^*Ma : 0.24 1.0 0.0

Dreiecks-Helligkeit t^*

%Umfang

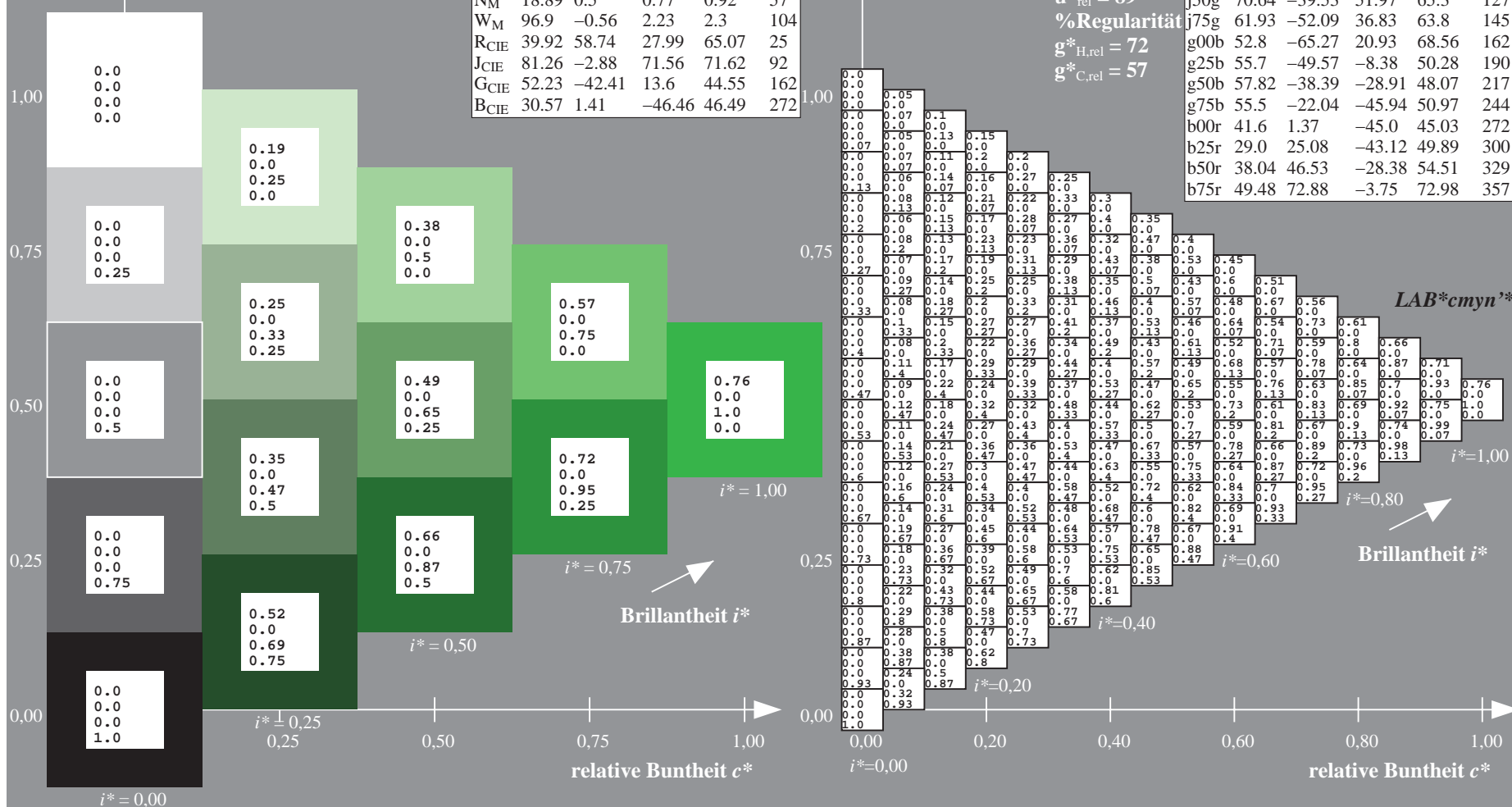
$u^*_{rel} = 89$

%Regularität

$g^*_{H,rel} = 72$

$g^*_{C,rel} = 57$

ORS19_96a; adaptierte CIELAB-Daten					
	$L^*=L^*_a$	a^*_a	b^*_a	$C^*_{ab,a}$	$h^*_{ab,a}$
r00j	48.88	66.47	31.67	73.63	25
r25j	55.85	52.39	47.48	70.7	42
r50j	65.45	35.22	58.37	68.17	59
r75j	75.19	17.82	69.41	71.66	76
j00g	87.03	-3.34	82.83	82.9	92
j25g	80.72	-25.0	69.5	73.86	110
j50g	70.64	-39.53	51.97	65.3	127
j75g	61.93	-52.09	36.83	63.8	145
g00b	52.8	-65.27	20.93	68.56	162
g25b	55.7	-49.57	-8.38	50.28	190
g50b	57.82	-38.39	-28.91	48.07	217
g75b	55.5	-22.04	-45.94	50.97	244
b00r	41.6	1.37	-45.0	45.03	272
b25r	29.0	25.08	-43.12	49.89	300
b50r	38.04	46.53	-28.38	54.51	329
b75r	49.48	72.88	-3.75	72.98	357



Ein und Ausgabe: Farbmetrisches Drucker-Reflektiv-System ORS19_96a für relativen CIELAB-Buntton $h^* = lab^*h^* = h_{ab}/360 = 162/360 = 0.451$ $u^* = g00b$

Daten für jede Farbe:

lab^*ch^* und lab^*icu^*

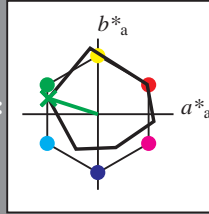
Elementar-Bunttontext:

$u^* = g00b$

Kontrastreduzierungsfaktor:

$c_R = 1.0$

Dreiecks-Helligkeit t^*



ORS19_96a; CIELAB-Daten					
	$L^*=L^*$	a^*	b^*	C^*_{ab}	h^*_{ab}
O _M	48.75	65.16	40.76	76.86	32
Y _M	90.92	-10.77	89.36	90.01	97
L _M	52.69	-65.39	22.15	69.05	161
C _M	59.61	-29.03	-44.68	53.3	237
V _M	28.39	24.0	-43.17	49.4	299
M _M	49.58	74.01	-8.21	74.47	354
N _M	18.89	0.5	0.77	0.92	57
W _M	96.9	-0.56	2.23	2.3	104
R _{CIE}	39.92	58.74	27.99	65.07	25
J _{CIE}	81.26	-2.88	71.56	71.62	92
G _{CIE}	52.23	-42.41	13.6	44.55	162
B _{CIE}	30.57	1.41	-46.46	46.49	272

Daten für Maximalfarbe (Ma):

$LAB^*LAB^*_{Ma}$: 53 -64 21

$LAB^*LCH^*_{Ma}$: 53 69 162

$lab^*rgb^*_{Ma}$: 0.0 1.0 0.0

$lab^*olv^*_{Ma}$: 0.0 1.0 0.0

Dreiecks-Helligkeit t^*

%Umfang

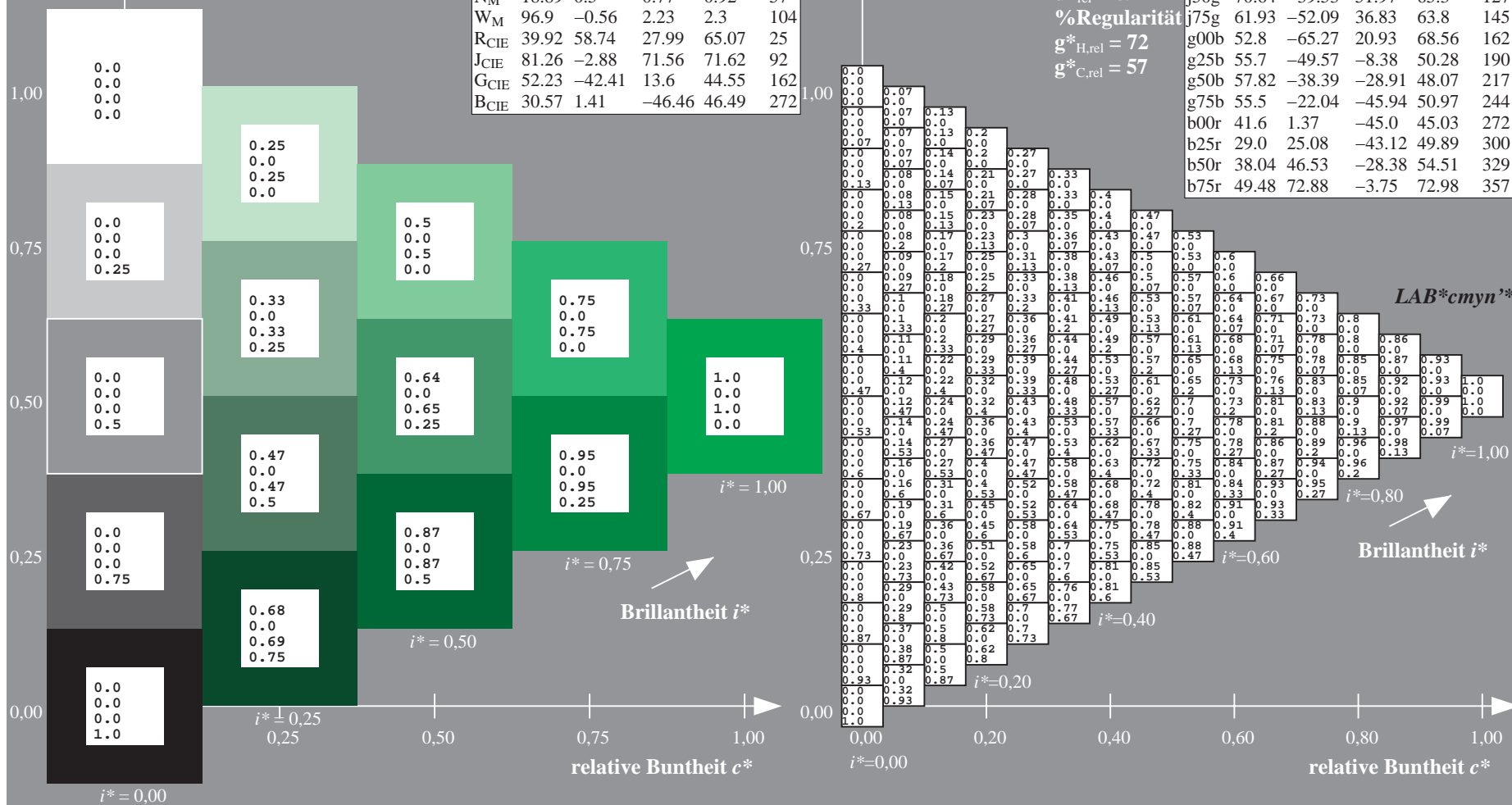
$u^*_{rel} = 89$

%Regularität

$g^*_{H,rel} = 72$

$g^*_{C,rel} = 57$

ORS19_96a; adaptierte CIELAB-Daten					
	$L^*=L^*_a$	a^*_a	b^*_a	$C^*_{ab,a}$	$h^*_{ab,a}$
r00j	48.88	66.47	31.67	73.63	25
r25j	55.85	52.39	47.48	70.7	42
r50j	65.45	35.22	58.37	68.17	59
r75j	75.19	17.82	69.41	71.66	76
j00g	87.03	-3.34	82.83	82.9	92
j25g	80.72	-25.0	69.5	73.86	110
j50g	70.64	-39.53	51.97	65.3	127
j75g	61.93	-52.09	36.83	63.8	145
g00b	52.8	-65.27	20.93	68.56	162
g25b	55.7	-49.57	-8.38	50.28	190
g50b	57.82	-38.39	-28.91	48.07	217
g75b	55.5	-22.04	-45.94	50.97	244
b00r	41.6	1.37	-45.0	45.03	272
b25r	29.0	25.08	-43.12	49.89	300
b50r	38.04	46.53	-28.38	54.51	329
b75r	49.48	72.88	-3.75	72.98	357



Ein und Ausgabe: Farbmetrisches Drucker-Reflektiv-System ORS19_96a für relativen CIELAB-Buntton $h^* = lab^*h^* = h_{ab}/360 = 190/360 = 0.527$ $u^* = g25b$

Daten für jede Farbe:

lab^*ch^* und lab^*icu^*

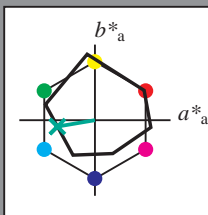
Elementar-Bunttontext:

$u^* = g25b$

Kontrastreduzierungsfaktor:

$c_R = 1.0$

Dreiecks-Helligkeit t^*



ORS19_96a; CIELAB-Daten					
	$L^*=L^*$	a^*	b^*	C^*_{ab}	h^*_{ab}
O _M	48.75	65.16	40.76	76.86	32
Y _M	90.92	-10.77	89.36	90.01	97
L _M	52.69	-65.39	22.15	69.05	161
C _M	59.61	-29.03	-44.68	53.3	237
V _M	28.39	24.0	-43.17	49.4	299
M _M	49.58	74.01	-8.21	74.47	354
N _M	18.89	0.5	0.77	0.92	57
W _M	96.9	-0.56	2.23	2.3	104
R _{CIE}	39.92	58.74	27.99	65.07	25
J _{CIE}	81.26	-2.88	71.56	71.62	92
G _{CIE}	52.23	-42.41	13.6	44.55	162
B _{CIE}	30.57	1.41	-46.46	46.49	272

Daten für Maximalfarbe (Ma):

$LAB^*LAB^*_{Ma}$: 56 -49 -7

$LAB^*LCH^*_{Ma}$: 56 50 190

$lab^*rgb^*_{Ma}$: 0.0 1.0 0.5

$lab^*olv^*_{Ma}$: 0.0 1.0 0.44

Dreiecks-Helligkeit t^*

%Umfang

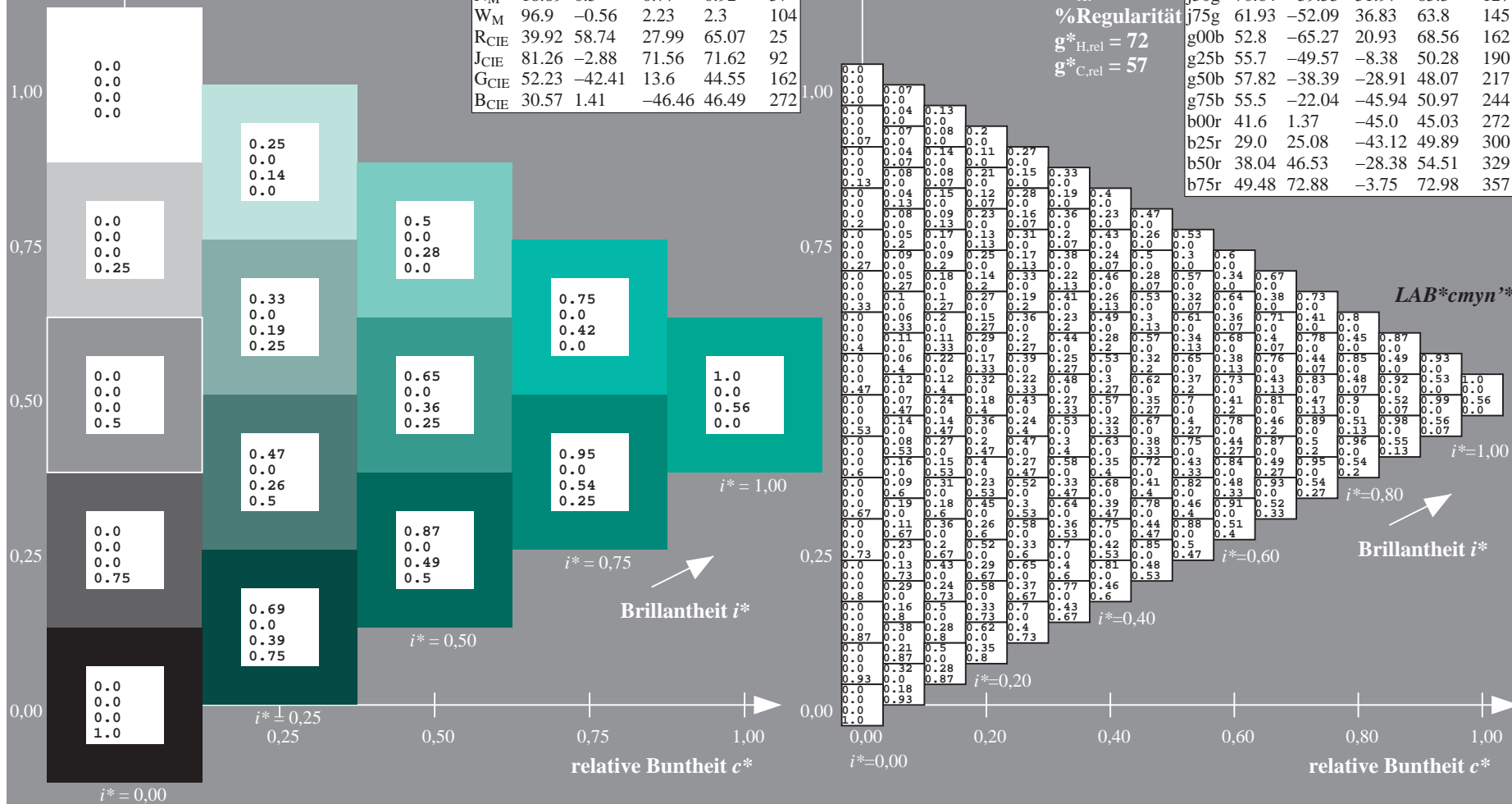
$u^*_{rel} = 89$

%Regularität

$g^*_{H,rel} = 72$

$g^*_{C,rel} = 57$

ORS19_96a; adaptierte CIELAB-Daten					
	$L^*=L^*_a$	a^*_a	b^*_a	$C^*_{ab,a}$	$h^*_{ab,a}$
r00j	48.88	66.47	31.67	73.63	25
r25j	55.85	52.39	47.48	70.7	42
r50j	65.45	35.22	58.37	68.17	59
r75j	75.19	17.82	69.41	71.66	76
j00g	87.03	-3.34	82.83	82.9	92
j25g	80.72	-25.0	69.5	73.86	110
j50g	70.64	-39.53	51.97	65.3	127
j75g	61.93	-52.09	36.83	63.8	145
g00b	52.8	-65.27	20.93	68.56	162
g25b	55.7	-49.57	-8.38	50.28	190
g50b	57.82	-38.39	-28.91	48.07	217
g75b	55.5	-22.04	-45.94	50.97	244
b00r	41.6	1.37	-45.0	45.03	272
b25r	29.0	25.08	-43.12	49.89	300
b50r	38.04	46.53	-28.38	54.51	329
b75r	49.48	72.88	-3.75	72.98	357



Ein und Ausgabe: Farbmetrisches Drucker-Reflektiv-System ORS19_96a für relativen CIELAB-Buntton $h^* = lab^*h^* = h_{ab}/360 = 217/360 = 0.603$ $u^* = g50b$

Daten für jede Farbe:

lab^*ch^* und lab^*icu^*

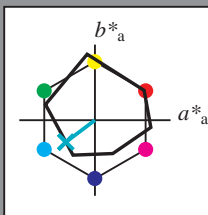
Elementar-Bunttontext:

$u^* = g50b$

Kontrastreduzierungsfaktor:

$c_R = 1.0$

Dreiecks-Helligkeit i^*



ORS19_96a; CIELAB-Daten					
	$L^*=L^*$	a^*	b^*	C^*_{ab}	h^*_{ab}
O _M	48.75	65.16	40.76	76.86	32
Y _M	90.92	-10.77	89.36	90.01	97
L _M	52.69	-65.39	22.15	69.05	161
C _M	59.61	-29.03	-44.68	53.3	237
V _M	28.39	24.0	-43.17	49.4	299
M _M	49.58	74.01	-8.21	74.47	354
N _M	18.89	0.5	0.77	0.92	57
W _M	96.9	-0.56	2.23	2.3	104
R _{CIE}	39.92	58.74	27.99	65.07	25
J _{CIE}	81.26	-2.88	71.56	71.62	92
G _{CIE}	52.23	-42.41	13.6	44.55	162
B _{CIE}	30.57	1.41	-46.46	46.49	272

Daten für Maximalfarbe (Ma):

$LAB^*LAB^*_{Ma}$: 58 -37 -28

$LAB^*LCH^*_{Ma}$: 58 48 217

$lab^*rgb^*_{Ma}$: 0.0 1.0 1.0

$lab^*olv^*_{Ma}$: 0.0 1.0 0.74

Dreiecks-Helligkeit i^*

%Umfang

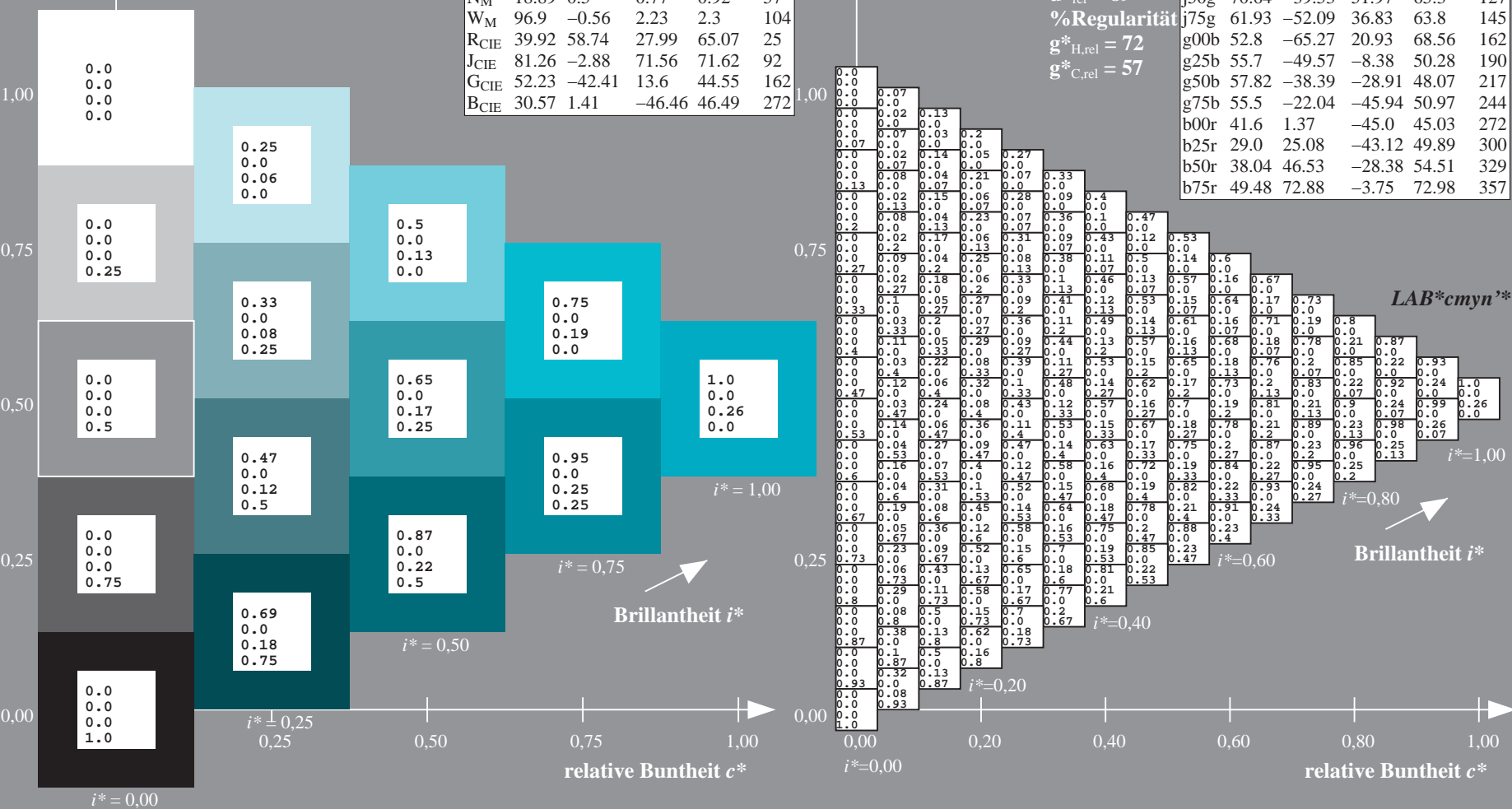
$u^*_{rel} = 89$

%Regularität

$g^*_{H,rel} = 72$

$g^*_{C,rel} = 57$

ORS19_96a; adaptierte CIELAB-Daten					
	$L^*=L^*_a$	a^*_a	b^*_a	$C^*_{ab,a}$	$h^*_{ab,a}$
r00j	48.88	66.47	31.67	73.63	25
r25j	55.85	52.39	47.48	70.7	42
r50j	65.45	35.22	58.37	68.17	59
r75j	75.19	17.82	69.41	71.66	76
j00g	87.03	-3.34	82.83	82.9	92
j25g	80.72	-25.0	69.5	73.86	110
j50g	70.64	-39.53	51.97	65.3	127
j75g	61.93	-52.09	36.83	63.8	145
g00b	52.8	-65.27	20.93	68.56	162
g25b	55.7	-49.57	-8.38	50.28	190
g50b	57.82	-38.39	-28.91	48.07	217
g75b	55.5	-22.04	-45.94	50.97	244
b00r	41.6	1.37	-45.0	45.03	272
b25r	29.0	25.08	-43.12	49.89	300
b50r	38.04	46.53	-28.38	54.51	329
b75r	49.48	72.88	-3.75	72.98	357

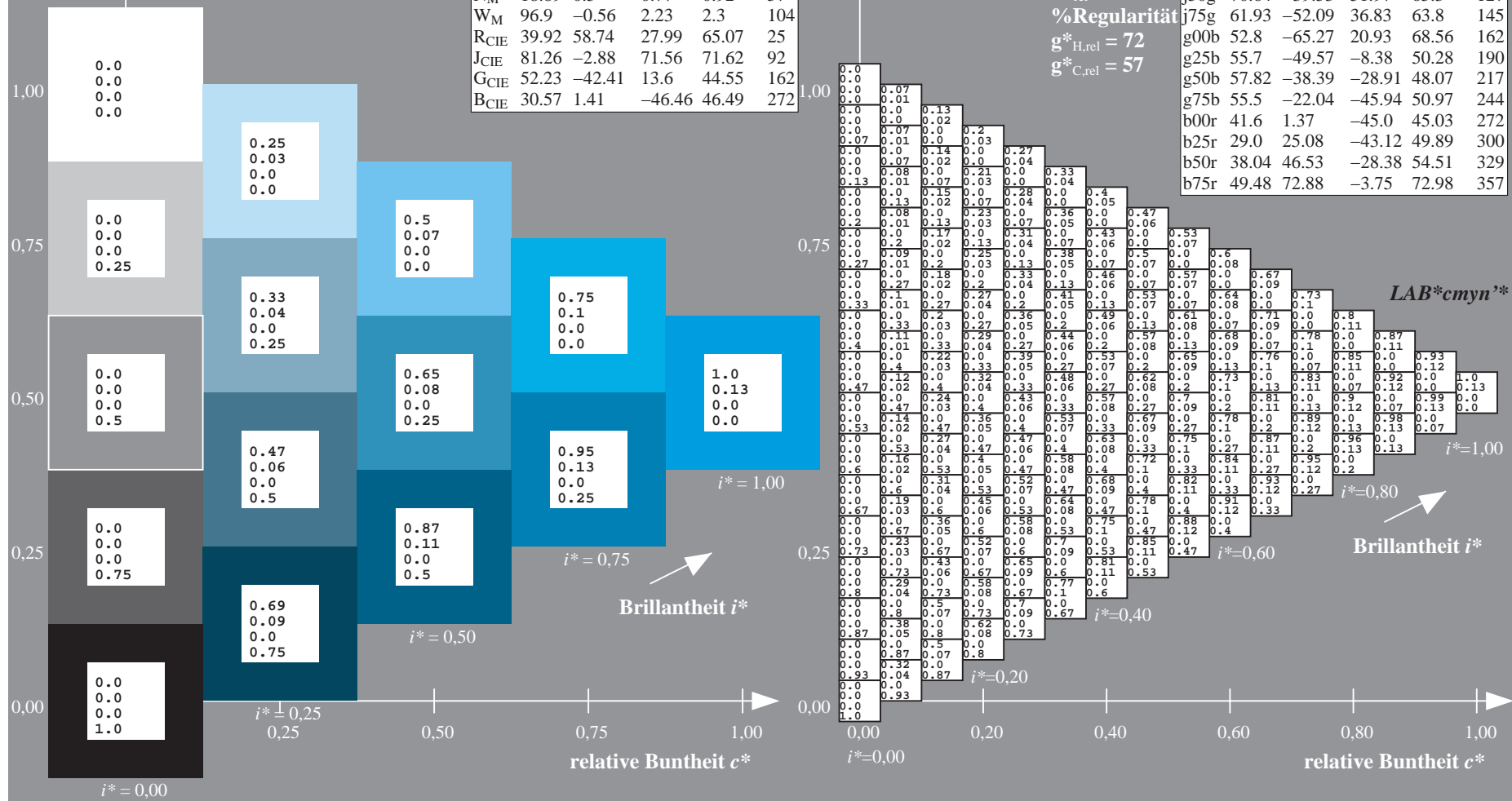


Dreiecks-Helligkeit t^*



Siehe ähnliche Dateien: <http://www.ps.bam.de/Dg98/>; www.ps.bam.de/Dg.HTM
Technische Information: <http://www.ps.bam.de> Version 2.1, io=1, ColSp=1

BAM-Registrierung: 20080701-Dg98/10L/L98G00NP.PS/.PDF BAM-Material: Code=rha4ta
Anwendung für Beurteilung und Messung von Drucker- oder Monitorsystemen



Ein und Ausgabe: Farbmetrisches Drucker-Reflektiv-System ORS19_96a für relativen CIELAB-Buntton $h^* = lab^*h^* = h_{ab}/360 = 272/360 = 0.755$ $u^* = b00r$

Daten für jede Farbe:

lab^*ch^* und lab^*icu^*

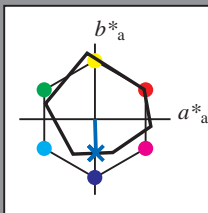
Elementar-Bunttontext:

$u^* = b00r$

Kontrastreduzierungsfaktor:

$c_R = 1.0$

Dreiecks-Helligkeit t^*



ORS19_96a; CIELAB-Daten

	$L^*=L^*$	a^*	b^*	C^*_{ab}	h^*_{ab}
O _M	48.75	65.16	40.76	76.86	32
Y _M	90.92	-10.77	89.36	90.01	97
L _M	52.69	-65.39	22.15	69.05	161
C _M	59.61	-29.03	-44.68	53.3	237
V _M	28.39	24.0	-43.17	49.4	299
M _M	49.58	74.01	-8.21	74.47	354
N _M	18.89	0.5	0.77	0.92	57
W _M	96.9	-0.56	2.23	2.3	104
R _{CIE}	39.92	58.74	27.99	65.07	25
J _{CIE}	81.26	-2.88	71.56	71.62	92
G _{CIE}	52.23	-42.41	13.6	44.55	162
B _{CIE}	30.57	1.41	-46.46	46.49	272

Daten für Maximalfarbe (Ma):

$LAB^*LAB^*_{Ma}$: 42 1 -44

$LAB^*LCH^*_{Ma}$: 42 45 272

$lab^*rgb^*_{Ma}$: 0.0 0.0 1.0

$lab^*olv^*_{Ma}$: 0.0 0.42 1.0

Dreiecks-Helligkeit t^*

%Umfang

$u^*_{rel} = 89$

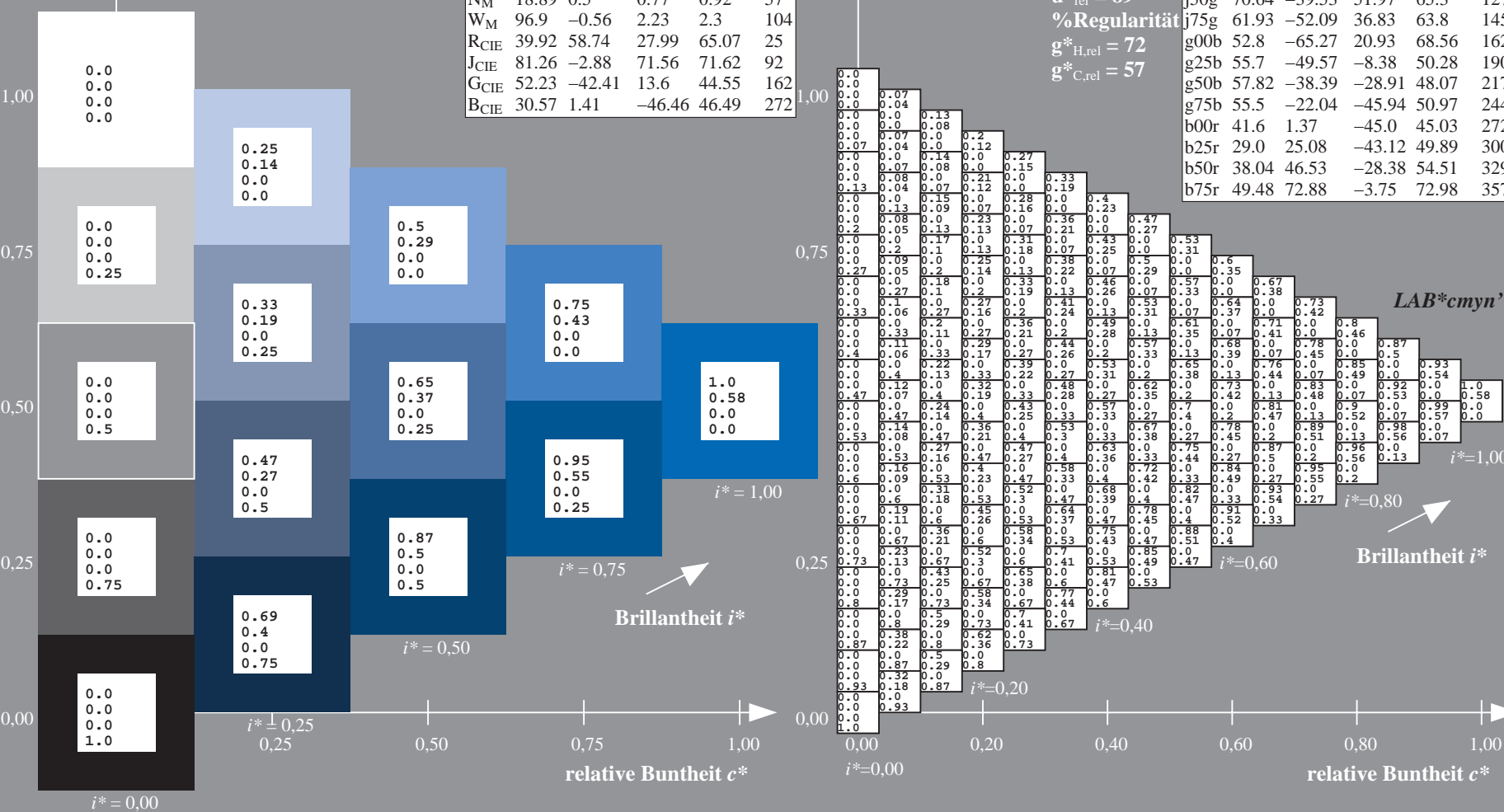
%Regularität

$g^*_{H,rel} = 72$

$g^*_{C,rel} = 57$

ORS19_96a; adaptierte CIELAB-Daten

	$L^*=L^*_a$	a^*_a	b^*_a	$C^*_{ab,a}$	$h^*_{ab,a}$
r00j	48.88	66.47	31.67	73.63	25
r25j	55.85	52.39	47.48	70.7	42
r50j	65.45	35.22	58.37	68.17	59
r75j	75.19	17.82	69.41	71.66	76
j00g	87.03	-3.34	82.83	82.9	92
j25g	80.72	-25.0	69.5	73.86	110
j50g	70.64	-39.53	51.97	65.3	127
j75g	61.93	-52.09	36.83	63.8	145
g00b	52.8	-65.27	20.93	68.56	162
g25b	55.7	-49.57	-8.38	50.28	190
g50b	57.82	-38.39	-28.91	48.07	217
g75b	55.5	-22.04	-45.94	50.97	244
b00r	41.6	1.37	-45.0	45.03	272
b25r	29.0	25.08	-43.12	49.89	300
b50r	38.04	46.53	-28.38	54.51	329
b75r	49.48	72.88	-3.75	72.98	357



Ein und Ausgabe: Farbmetrisches Drucker-Reflektiv-System ORS19_96a für relativen CIELAB-Buntton $h^* = lab^*h^* = h_{ab}/360 = 300/360 = 0.834$ $u^* = b25r$

Daten für jede Farbe:

lab^*ch^* und lab^*icu^*

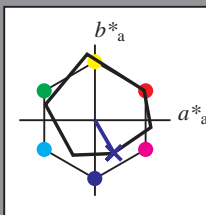
Elementar-Bunttontext:

$u^* = b25r$

Kontrastreduzierungsfaktor:

$c_R = 1.0$

Dreiecks-Helligkeit t^*



ORS19_96a; CIELAB-Daten

	$L^*=L^*$	a^*	b^*	C^*_{ab}	h^*_{ab}
O _M	48.75	65.16	40.76	76.86	32
Y _M	90.92	-10.77	89.36	90.01	97
L _M	52.69	-65.39	22.15	69.05	161
C _M	59.61	-29.03	-44.68	53.3	237
V _M	28.39	24.0	-43.17	49.4	299
M _M	49.58	74.01	-8.21	74.47	354
N _M	18.89	0.5	0.77	0.92	57
W _M	96.9	-0.56	2.23	2.3	104
R _{CIE}	39.92	58.74	27.99	65.07	25
J _{CIE}	81.26	-2.88	71.56	71.62	92
G _{CIE}	52.23	-42.41	13.6	44.55	162
B _{CIE}	30.57	1.41	-46.46	46.49	272

Daten für Maximalfarbe (Ma):

$LAB^*LAB^*_{Ma}$: 29 25 -42

$LAB^*LCH^*_{Ma}$: 29 50 300

$lab^*rgb^*_{Ma}$: 0.5 0.0 1.0

$lab^*olv^*_{Ma}$: 0.03 0.0 1.0

Dreiecks-Helligkeit t^*

%Umfang

$u^*_{rel} = 89$

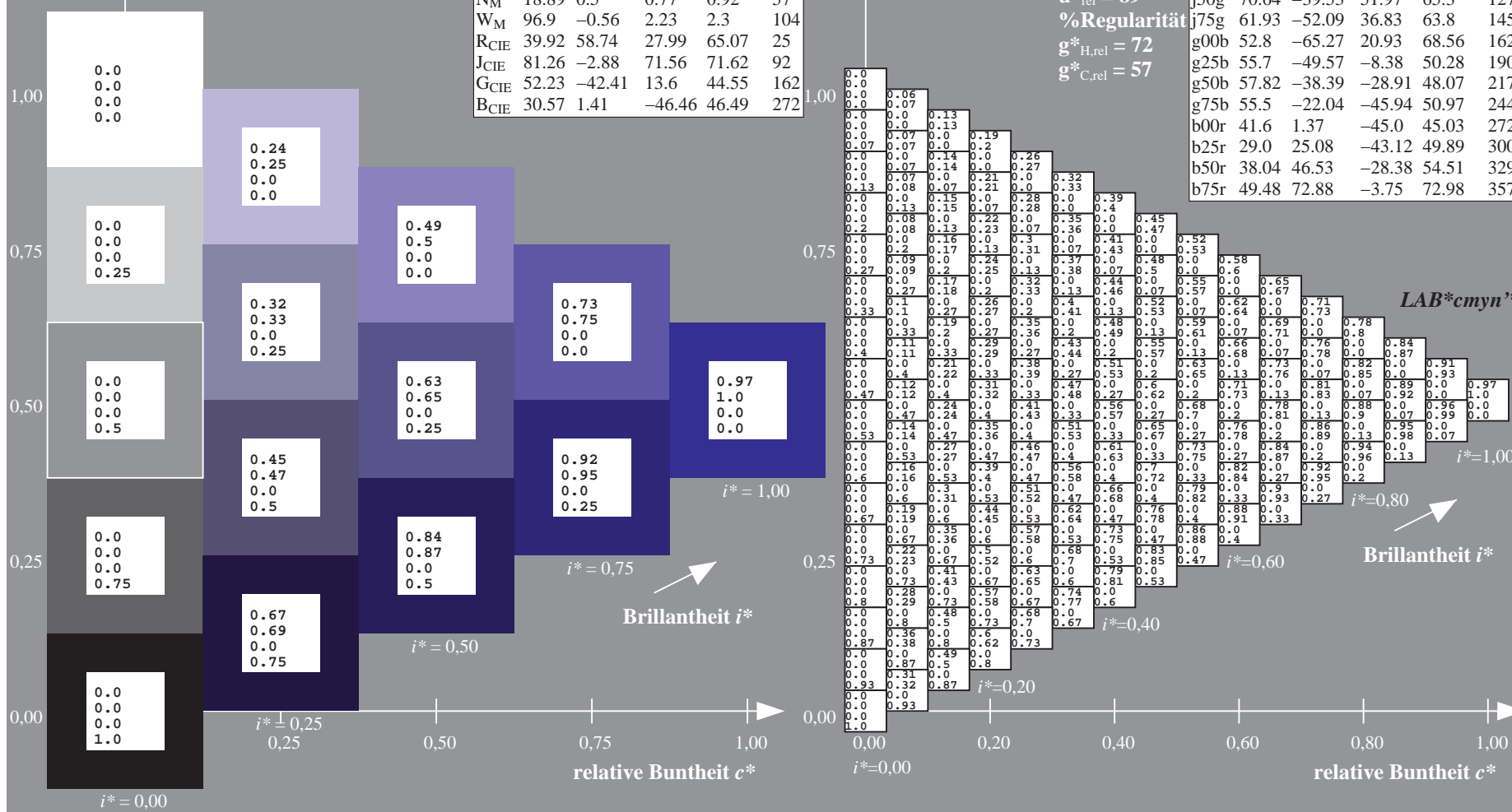
%Regularität

$g^*_{H,rel} = 72$

$g^*_{C,rel} = 57$

ORS19_96a; adaptierte CIELAB-Daten

	$L^*=L^*_a$	a^*_a	b^*_a	$C^*_{ab,a}$	$h^*_{ab,a}$
r00j	48.88	66.47	31.67	73.63	25
r25j	55.85	52.39	47.48	70.7	42
r50j	65.45	35.22	58.37	68.17	59
r75j	75.19	17.82	69.41	71.66	76
j00g	87.03	-3.34	82.83	82.9	92
j25g	80.72	-25.0	69.5	73.86	110
j50g	70.64	-39.53	51.97	65.3	127
j75g	61.93	-52.09	36.83	63.8	145
g00b	52.8	-65.27	20.93	68.56	162
g25b	55.7	-49.57	-8.38	50.28	190
g50b	57.82	-38.39	-28.91	48.07	217
g75b	55.5	-22.04	-45.94	50.97	244
b00r	41.6	1.37	-45.0	45.03	272
b25r	29.0	25.08	-43.12	49.89	300
b50r	38.04	46.53	-28.38	54.51	329
b75r	49.48	72.88	-3.75	72.98	357



Ein und Ausgabe: Farbmimetrisches Drucker-Reflektiv-System ORS19_96a für relativen CIELAB-Buntton $h^* = lab^*h^* = h_{ab}/360 = 329/360 = 0.913$ $u^* = b50r$

Daten für jede Farbe:

lab^*ch^* und lab^*icu^*

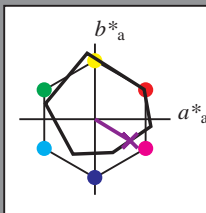
Elementar-Bunttonstext:

$u^* = b50r$

Kontrastreduzierungsfaktor:

$c_R = 1.0$

Dreiecks-Helligkeit t^*



ORS19_96a; CIELAB-Daten					
	$L^*=L^*$	a^*	b^*	C^*_{ab}	h^*_{ab}
O _M	48.75	65.16	40.76	76.86	32
Y _M	90.92	-10.77	89.36	90.01	97
L _M	52.69	-65.39	22.15	69.05	161
C _M	59.61	-29.03	-44.68	53.3	237
V _M	28.39	24.0	-43.17	49.4	299
M _M	49.58	74.01	-8.21	74.47	354
N _M	18.89	0.5	0.77	0.92	57
W _M	96.9	-0.56	2.23	2.3	104
R _{CIE}	39.92	58.74	27.99	65.07	25
J _{CIE}	81.26	-2.88	71.56	71.62	92
G _{CIE}	52.23	-42.41	13.6	44.55	162
B _{CIE}	30.57	1.41	-46.46	46.49	272

Daten für Maximalfarbe (Ma):

$LAB^*LAB^*_{Ma}$: 38 47 -27

$LAB^*LCH^*_{Ma}$: 38 55 329

$lab^*rgb^*_{Ma}$: 1.0 0.0 1.0

$lab^*olv^*_{Ma}$: 0.46 0.0 1.0

Dreiecks-Helligkeit t^*

%Umfang

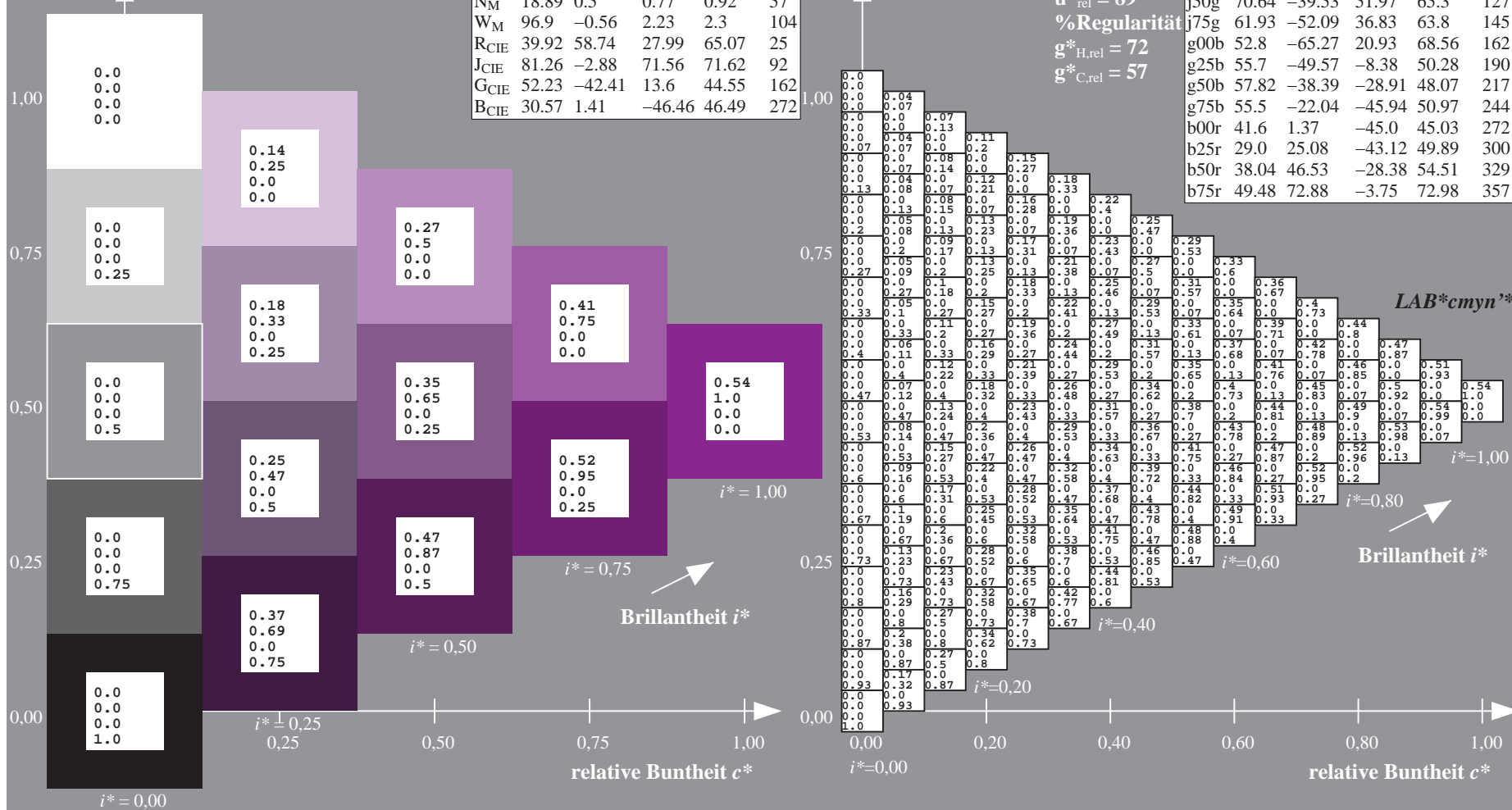
$u^*_{rel} = 89$

%Regularität

$g^*_{H,rel} = 72$

$g^*_{C,rel} = 57$

ORS19_96a; adaptierte CIELAB-Daten					
	$L^*=L^*_a$	a^*_a	b^*_a	$C^*_{ab,a}$	$h^*_{ab,a}$
r00j	48.88	66.47	31.67	73.63	25
r25j	55.85	52.39	47.48	70.7	42
r50j	65.45	35.22	58.37	68.17	59
r75j	75.19	17.82	69.41	71.66	76
j00g	87.03	-3.34	82.83	82.9	92
j25g	80.72	-25.0	69.5	73.86	110
j50g	70.64	-39.53	51.97	65.3	127
j75g	61.93	-52.09	36.83	63.8	145
g00b	52.8	-65.27	20.93	68.56	162
g25b	55.7	-49.57	-8.38	50.28	190
g50b	57.82	-38.39	-28.91	48.07	217
g75b	55.5	-22.04	-45.94	50.97	244
b00r	41.6	1.37	-45.0	45.03	272
b25r	29.0	25.08	-43.12	49.89	300
b50r	38.04	46.53	-28.38	54.51	329
b75r	49.48	72.88	-3.75	72.98	357



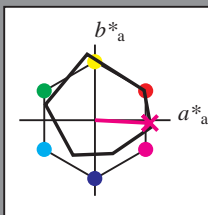
Ein und Ausgabe: Farbmetrisches Drucker-Reflektiv-System ORS19_96a für relativen CIELAB-Buntton $h^* = lab^*h^* = h_{ab}/360 = 357/360 = 0.992$ $u^* = b75r$

Daten für jede Farbe:
 lab^*ch^* und lab^*icu^*

Elementar-Bunttontext:
 $u^* = b75r$

Kontrastreduzierungsfaktor:
 $c_R = 1.0$

Dreiecks-Helligkeit t^*



ORS19_96a; CIELAB-Daten					
	$L^*=L^*$	a^*	b^*	C^*_{ab}	h^*_{ab}
O _M	48.75	65.16	40.76	76.86	32
Y _M	90.92	-10.77	89.36	90.01	97
L _M	52.69	-65.39	22.15	69.05	161
C _M	59.61	-29.03	-44.68	53.3	237
V _M	28.39	24.0	-43.17	49.4	299
M _M	49.58	74.01	-8.21	74.47	354
N _M	18.89	0.5	0.77	0.92	57
W _M	96.9	-0.56	2.23	2.3	104
R _{CIE}	39.92	58.74	27.99	65.07	25
J _{CIE}	81.26	-2.88	71.56	71.62	92
G _{CIE}	52.23	-42.41	13.6	44.55	162
B _{CIE}	30.57	1.41	-46.46	46.49	272

Daten für Maximalfarbe (Ma):

$LAB^*LAB^*_{Ma}$: 49 73 -3

$LAB^*LCH^*_{Ma}$: 49 73 357

$lab^*rgb^*_{Ma}$: 1.0 0.0 0.5

$lab^*olv^*_{Ma}$: 1.0 0.0 0.88

Dreiecks-Helligkeit t^*

%Umfang

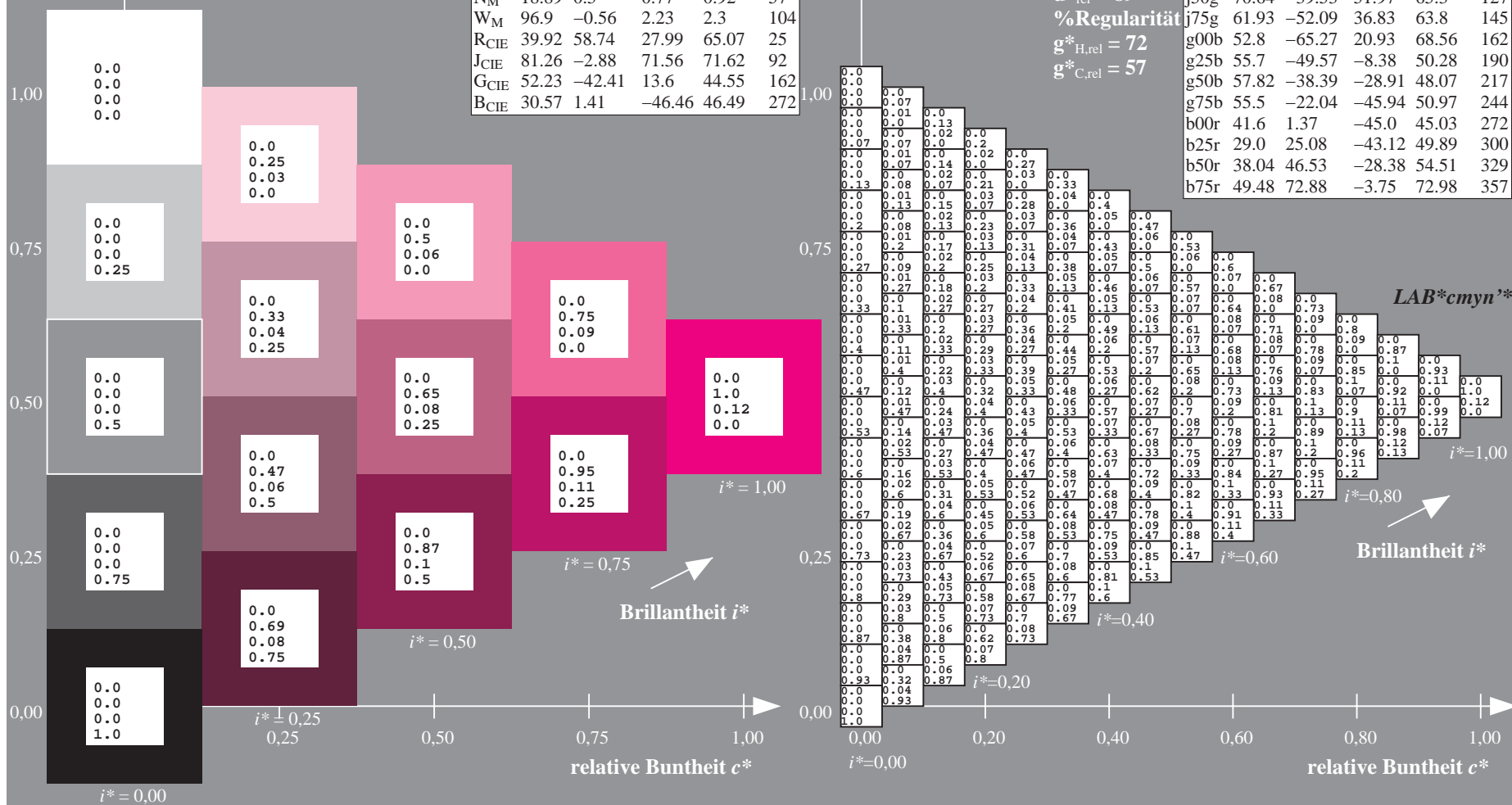
$u^*_{rel} = 89$

%Regularität

$g^*_{H,rel} = 72$

$g^*_{C,rel} = 57$

ORS19_96a; adaptierte CIELAB-Daten					
	$L^*=L^*_a$	a^*_a	b^*_a	$C^*_{ab,a}$	$h^*_{ab,a}$
r00j	48.88	66.47	31.67	73.63	25
r25j	55.85	52.39	47.48	70.7	42
r50j	65.45	35.22	58.37	68.17	59
r75j	75.19	17.82	69.41	71.66	76
j00g	87.03	-3.34	82.83	82.9	92
j25g	80.72	-25.0	69.5	73.86	110
j50g	70.64	-39.53	51.97	65.3	127
j75g	61.93	-52.09	36.83	63.8	145
g00b	52.8	-65.27	20.93	68.56	162
g25b	55.7	-49.57	-8.38	50.28	190
g50b	57.82	-38.39	-28.91	48.07	217
g75b	55.5	-22.04	-45.94	50.97	244
b00r	41.6	1.37	-45.0	45.03	272
b25r	29.0	25.08	-43.12	49.89	300
b50r	38.04	46.53	-28.38	54.51	329
b75r	49.48	72.88	-3.75	72.98	357



[illegible]